

ДОКЛАДЫ

АКАДЕМИИ НАУК СССР

ВЫХОДЯТ ТРИ РАЗА В МЕСЯЦ

редакционная коллегия: акад. Л. А. Арцимович, акад. А. Г. Бетехтин, акад. С. А. Векшинский, акад. Б. А. Казанский, акад. А. Н. Колмогоров (зам. главного редактора), акад. С. А. Лебедев, акад. А. И. Опарин (главный редактор), акад. Е. Н. Павловский, акад. Л. И. Седов, акад. Н. М. Страхов, акад. А. Н. Фрумкин (зам. главного редактора)

27-й ГОД ИЗДАНИЯ

1959

ТОМ 126, № 6

СОДЕРЖАНИЕ

МАТЕМАТИКА

Стр.

Ю. М. Березанский. Об обобщенных решениях краевых задач	1159
О. В. Бесов. О некотором семействе функциональных пространств. Теоремы вложения и продолжения	1163
М. С. Бродский. Об интегральном представлении ограниченных несамосопряженных операторов с вещественным спектром	1166
А. А. Дородницын. К задаче вычисления собственных чисел и собственных векторов матриц	1170
В. В. Иванов и И. Б. Симоненко. О приближенном отыскании всех решений данного линейного уравнения в пространстве Банаха	1172
В. А. Ильин и И. А. Шишмарев. О связи между классическим и обобщенным решениями задачи Дирихле и задачи на собственные значения	1176
И. С. Кац. О густоте спектра струны	1180
Е. И. Ким и Л. П. Иванова. Смешанная граничная задача для одной системы дифференциальных уравнений параболического типа	1183
И. А. Киприянов. Дробная производная и теоремы вложения	1187
А. А. Киселев и И. Ш. Славутский. О числе классов идеалов квадратичного поля и его колец	1191
Р. Е. Кричевский. О сложности реализации функций суперпозициями	1195
В. П. Михайлов. О смешанной задаче для параболической системы на плоскости	1199
Е. Складенко. Несколько замечаний о бесконечномерных пространствах	1203
А. Х. Турецкий. О классах насыщения для некоторых методов суммирования рядов Фурье непрерывных периодических функций	1207
И. С. Хара. Несколько приближенных формул в теории конформных отображений	1210
Н. И. Фельдман. О мере трансцендентности числа π и логарифмов алгебраических чисел	1214

ГИДРОМЕХАНИКА

Н. Н. Кочина. Об особенностях вблизи центра взрыва и о возникновении двух ударных волн	1216
И. И. Ночевкина. О приближенном методе исследования плоских вихревых течений в магнитной гидродинамике	1220

- Е. В. Рязанов. Некоторые точные решения уравнений магнитной газодинамики при наличии сил собственного тяготения и нулевого градиента температуры

АСТРОНОМИЯ

- А. А. Никитин. Эффект автоионизации и его влияние на интенсивность некоторых линий в звездных спектрах

ФИЗИКА

- В. С. Гречишкин и Ф. И. Скрипов. Применение ядерного квадрупольного резонанса для определения частот решеточных колебаний в ряде хлоратов
А. М. Дыхне. К теории рупоров
А. П. Комар и Т. Н. Драгнев. Тонкая структура энергетического спектра фотопротонов из Ca^{40}
Э. В. Теодорович. «Скрытая структура» в модели Ли

ГЕОФИЗИКА

- И. Я. Баллах и М. Ф. Мирчинк. О возможности применения сейсморазведки для прямых поисков залежей нефти и газа
К. Т. Богданов. Новая амфидромическая система суточной приливной волны в заливе Нортон
Н. И. Вульфсон. О механизме разрешения неустойчивости в свободной атмосфере

ТЕХНИЧЕСКАЯ ФИЗИКА

- Ю. В. Воробьев и А. А. Вязигин. О полевых хроматических абберациях в электронном микроскопе
И. М. Грязнов. О характере деформаций на площадке текучести
Л. С. Палатник и В. С. Зорин. К теории зарождения новой фазы при распаде твердых растворов

КРИСТАЛЛОГРАФИЯ

- Н. В. Глики. Изменение габитуса искусственных кристаллов льда в процессе роста

ХИМИЯ

- К. А. Андрианов, А. А. Жданов и Э. А. Кашутин. Синтез триэтилсилоксановых производных ванадия и сурьмы
Б. А. Казанский, И. В. Гостунская и А. И. Леонова. Каталитическое гидрирование диеновых углеводородов с изолированной системой двойных связей в присутствии платины и палладия
Р. Комерс и В. Бажант. Анализ смеси диметилвых эфиров бензолдикарбоновых кислот при помощи газожидкостной хроматографии
В. В. Коршак, Т. М. Фрунзе, В. В. Курашев и А. Ю. Алыбина. О некоторых особенностях неравновесной поликонденсации
К. М. Муравьева и М. Н. Щукина. Синтез и перегруппировки в ряду тиазол-имина
А. А. Петров и В. А. Кормер. О присоединении литийдиэтил и литийдибутиламидов к винилацетилену и винилалкилацетиленам
В. В. Камзолкин, А. Н. Башкиров и М. М. Потарин. О синтезе высших кетонов методом окисления парафиновых углеводородов
С. Р. Рафиков, Б. В. Суворов, Б. А. Жубанов, М. И. Хмура и М. В. Прокопьева. Синтез никотиновой кислоты и ее амида через никотинитрил
М. Б. Турова-Поляк и Н. В. Руденко. Алкилирование бензола и его замещенных изопропиловым спиртом над алюмосиликатным катализатором в атмосферном давлении

ФИЗИЧЕСКАЯ ХИМИЯ

- А. М. Бродский, Р. А. Калинин и К. П. Лавровский. О соотношении кинетических изотопных эффектов при разрыве связей C^{12} — C^{14} и C^{14} — C^{14}
Ю. А. Вдовин, В. Г. Левич и В. А. Мямлин. Анодное растворение германия в соляной кислоте
М. И. Винник, Н. Г. Зарахани, И. М. Медвецкая и Н. М. Чирков. О релаксации в солеобразовании в кислотно-каталитических процессах. Кинетика гидролиза циклогексаноноксима

	Стр.
Л. А. Кочанова, И. А. Андреева и Е. Д. Шукин. О хрупком разрыве чистых и легированных монокристаллов цинка	1304
Тза Чюан-синь и З. А. Иофа. К вопросу о влиянии адсорбированных анионов на перенапряжение водорода	1308
ОЛОГИЯ	
И. Н. Крылов. О строматолитах уральского рифея	1312
Б. Г. Лутц. Стратиграфия и тектоника южной части Анабарского массива . .	1316
В. А. Милашев и Н. И. Шульгина. Новые данные о возрасте кимберлитов Сибирской платформы	1320
Д. И. Мусатов и А. П. Тарков. К вопросу о тектоническом строении центральной части Саяно-Алтайской складчатой области	1323
Мэн Сян-хуа. К петрографии фосфоритов бассейна Каратау	1326
К. О. Ростовцев. О базальных образованиях байоса бассейнов рек Зеленчук и Кубань	1330
Э. Н. Янов. Девонские отложения юго-восточного Горного Алтая (бассейн верховьев р. Чуи)	1334
ИНЕРАЛОГИЯ	
Фань Дэ-лянь. О пиросмалите в месторождении Вафанзы, КНР	1338
ОХИМИЯ	
В. А. Леонова. О влиянии примесей на параметр ячейки уранинита	1342
ЧВОВЕДЕНИЕ	
А. А. Титлянова, А. Н. Тюрюканов и Г. И. Махонина. О десорбирующем действии природных экстрактов	1346
ОФИЗИКА	
И. М. Васильев и Е. И. Маслова. Действие рентгеновского облучения на меристемные клетки зачаточного стебля пшеницы	1351
С. Р. Зубкова и А. Л. Платонов. К механизму защитного действия спирта при рентгеновском облучении мышей	1354
ОХИМИЯ	
Н. Т. Прянишникова и В. А. Пчелин. О связи между анестезирующими свойствами анестетиков и их поверхностной активностью	1358
ФИОЛОГИЯ РАСТЕНИЙ	
А. Н. Бугакова. Скорость поступления серы в растения сои	1362
А. Ш. Галстян и А. Г. Авакян. Изменение физиологической активности корней помидора под влиянием чеканки	1365
С. Н. Литвиненко. Украинский гиббереллин — эффективный ростовой стимулятор	1368
Ю. В. Ракитин и А. Д. Потапова. Влияние гербицидов на дыхание и фотосинтез овса и подсолнечника	1371
И. Н. Сагайдак. Увеличение пигментов в листьях свеклы путем прививки . .	1375
ОЛОГИЯ	
Г. Г. Абрикосов. О родовых подразделениях и географическом распространении голоротых (<i>Gymnolaemata</i>) мшанок континентальных водоемов	1378
О. М. Бочарова-Месснер. Перитрофическая перепонка в кишечнике вредной черешашки (<i>Eurygaster integriceps</i> Put.)	1381
ФИОЛОГИЯ	
М. Е. Лобашев, В. Б. Севватеев и В. Г. Маршин. Адаптация к безусловному раздражителю в процессе образования условного рефлекса	1385
ФИОЛОГИЯ	
Л. В. Данилова. К вопросу о дифференциации сегментов в затылочной области у зародышей овцы (<i>Ovis aries</i>)	1389
Указатель статей к тому 126:	
Систематический	I—XI
Алфавитный	XII—XV
	1155

Iu. M. Berezanskii. Generalized solutions of boundary value problems	11
O. V. Besov. On some families of functional spaces. Imbedding and continuation theorems	11
M. S. Brodskii. Integral representations of bounded non-selfadjointed operators with a real spectrum	11
A. A. Dorodnitsyn. A contribution to the problem of computing eigen values and eigen vectors of matrices	11
V. V. Ivanov and I. V. Simonenko. Approximate search for all solutions of a given linear equation in Banach space	11
V. A. Il'in and I. A. Shishmarev. On the connection between the classical and the generalized solution to Dirichlet's problem and to the problem of eigen values	11
I. S. Kats. Density of the spectrum of a string	11
E. I. Kim and L. P. Ivanova. The mixed boundary value problem for a certain system of parabolic differential equations	11
I. A. Kiprianov. Fractional derivative and imbedding theorems	11
A. A. Kiselev and I. Sh. Slavutskii. On the number of classes of ideals of a quadratic field and its rings	11
R. E. Krichevsky. On the complexity of the realization of functions by superpositions	11
V. P. Mikhailov. A mixed problem for a parabolic system on a plane	11
E. Skliarenko. Some remarks on spaces having an infinite number of dimensions	12
A. Kh. Turetskii. On saturation classes for certain methods of summing Fourier series of continuous periodical functions	12
I. S. Khara. Some approximate formulas in the theory of conformal mappings	12
N. I. Feldman. On the measure of transcendence of number π and of the logarithms of algebraic numbers	12

FLUID MECHANICS

N. N. Kochina. Singularities near the centre of explosion and the appearance of two shock waves	12
I. I. Nochevkina. A rough method of studying plane vortical flows in magnetic hydrodynamics	12
E. V. Riazanov. Some exact solutions to the equations of magnetic gas dynamics in the presence of gravitation and when the temperature gradient is zero	12

ASTRONOMY

A. A. Nikitin. Autoionization effect and its influence on the intensity of certain lines in stellar spectra	12
---	----

PHYSICS

V. S. Grechishkin and F. I. Skrypov. The use of nuclear quadrupole resonance for determining lattice vibrations in the chlorate series	12
A. M. Dykhne. On megaphone theory	12
A. P. Komar and T. N. Dragnev. The fine structure of the energy spectrum of photoprotons from Ca^{40}	12
E. V. Teodorovich. Latent structure in Lie's model	12

GEOPHYSICS

I. J. Ballakh and M. F. Mirchink. The use of the seismic technique in prospecting directly for oil and gas	12
K. T. Bogdanov. A new amphidromic system of diurnal tidal wave in the Norton bay	12
N. I. Vul'fson. On the mechanism of instability lease in the free atmosphere	12

TECHNICAL PHYSICS

Iu. V. Vorobiev and A. A. Viazigin. Chromatic field aberrations in the electron microscope	12
I. M. Griaznov. The character of deformation at the yield point	12
L. S. Palatnik and V. S. Zorin. On the theory of new phase initiation upon the decomposition of solid solutions	12

CRYSTALLOGRAPHY

N. V. Gliki. Changes in the habitus of artificial ice crystals during their growth	12
--	----

CHEMISTRY

K. A. Andrianov, A. A. Zhdanov and E. A. Kashutina. The synthesis of triethylsiloxo derivatives of vanadium and antimony	12
--	----

	Pages
B. A. Kazanskii, I. V. Gostunskaya and A. I. Leonova. Catalytic hydrogenation of diene hydrocarbons with an isolated system of double bonds in the presence of platinum and palladium	1264
R. Komers and V. Bazhant. Use of gas-liquid chromatography in analysing a mixture of dimethyl ethers of benzenedicarboxylic acids	1268
V. V. Korshak, T. M. Frunze, V. V. Kurashev and A. Iu. Alybina. Certain features of non-equilibrium polycondensation	1270
K. M. Muravieva and M. N. Shchukina. Synthesis and regrouping in the triazolinimine series	1274
A. A. Petrov and V. A. Kormer. Addition of lithium-diethyl amide and lithium-dibutyl amide to vinylacetylene and to vinylalkylacetylenes	1278
V. V. Kamzolkin, A. N. Bashkirov and M. M. Potarin. The synthesis of higher ketones by means of the oxidation of paraffins	1282
S. R. Rafikov, B. V. Suvorov, B. A. Zhubanov, M. I. Khmura and M. V. Prokofieva. The synthesis of nicotinic acid and its amide by way of nicotinonitril	1286
M. B. Turova-Polak and N. V. Rudenko. Alkylation of benzene and its substituents by isopropyl alcohol over an aluminium silicate catalyst at atmospheric pressure	1289

PHYSICAL CHEMISTRY

A. M. Brodskii, R. A. Kalinenko and K. P. Lavrovskii. The relation between kinetic isotopic effects on $C^{12} - C^{14}$ and $C^{14} - C^{14}$ bond rupture	1293
Iu. A. Vdovin, V. G. Levich and V. A. Miamlin. Anode dissolution of germanium	1296
M. I. Vinnik, N. G. Zarakhani, I. M. Medvetskaia and N. M. Chirkov. The rôle of salt formation in acid-catalytic processes. The kinetics of cyclohexanoneoxime hydrolysis	1300
L. A. Kochanova, I. A. Andreeva and E. D. Shchukin. The brittle rupture of pure and alloyed zinc single crystals	1304
Tza Chuan-sin and Z. A. Iofa. The effect of adsorbed anions on hydrogen over-voltage	1308

GEOLOGY

I. N. Krylov. On the stromatolites of the Rifean of the Urals	1312
B. G. Luts. Stratigraphic and tectonic conditions in the southern part of the Anabar massive	1316
V. A. Milashev and N. I. Shul'gina. Recent data on the age of the kimberlites of the Siberian platform	1320
D. I. Musatov and A. P. Tarkov. On the problem of the tectonic structure of the central part of the Sayany-Altai fold basin	1323
Men Sian-khua. A contribution to the petrography of the Kara-Tau basin	1326
K. O. Rostovtsev. On basal formations of the Bajocian within the basins of the Zelenchuk and Kuban rivers	1330
E. N. Janov. Devonian deposits of the South-Eastern Altai highland (basin of the upper reaches of the Chum river)	1334

MINERALOGY

Fan De-lian. On pyrosmalite from a Vafanza deposit, in the People's Republic of China	1338
---	------

BIOCHEMISTRY

V. A. Leonova. On the effect of admixtures upon the parameter of uraninite cell	1342
---	------

SOIL SCIENCE

A. A. Titlianova, A. N. Turukanov and G. I. Makhonina. On the desorptive effect of natural extracts	1346
---	------

BIOPHYSICS

I. M. Vasil'ev and E. I. Maslova. The effect of X-ray treatment of the meristematic cells of embryo stem in wheat	1351
S. R. Zubkova and A. L. Platonov. The biochemical mechanisms of the protective effect of alcohol in mice treated with X-rays	1354

BIOCHEMISTRY

N. T. Prianishnikova and V. A. Pchelin. On the relation between the desensibilizing properties of anaesthetics, and their surface activity	1358
	1157

PLANT PHYSIOLOGY

A. N. Bugakova. The rate of sulphur uptake by the soya-bean plant	13
A. Sh. Galstian and A. G. Avakian. The variation of physiological activity of roots in a tomato plant subjected to the mintage procedure	13
S. N. Litvinenko. The Ukrainian gibberelline as an effective growth stimulant	13
Iu. V. Rakitin and A. D. Potapova. The effect of herbicides on the respiration and photosynthesis of barley and sunflower	13
I. N. Sagaydak. Increasing the quantity of pigments in beet-leaves by grafting	13

ZOOLOGY

G. G. Abrikosov. On generic subdivisions and geographic distribution of Gymnolaemata Bryozoa of continental water reservoirs	13
O. M. Bocharova-Messner. A peritrophic membrane in the intestine of <i>Furygaster integriceps</i> Put	13

PHYSIOLOGY

M. E. Lobashev, V. B. Savvateev and V. G. Marshin. Adaptation to an unconditioned stimulus in the process of conditioned reflex formation	13
--	----

EMBRIOLOGY

L. V. Danilova. On the differentiation of segments in the occipital region in the embryo of <i>Ovis aries</i>	128
--	-----

ПОПРАВКИ

В статье Е. Н. Карауловой и Г. Д. Гальперна «Окислительный метс выделения сульфидов из средних фракций нефти», помещенной в ДАН, т. 124, № 1959 г., ссылку в списке цитированной литературы под № 4 следует читать «⁴ А. В. Топчиев, С. С. Нифонтова, И. А. Мусаев, А. А. Сучков» Отчет лаборатории химии нефти и газа, 1956 г. Фонды Инст. нефти АН СССР»

В нашей статье, помещенной в ДАН, т. 123, № 1, 1958 г. (Ф. М. Вайнштейн и Е. А. Шиллов «Кинетический изотопный эффект в реакциях йодирования ароматических аминов»), по нашему недосмотру на рис. 1 перепутаны номера кривых:

Напечатано

Следует читать

1

2

2

1

3

5

5

3

Ф. М. Вайнштейн
Е. А. Шиллов

В статье М. Е. Зубковича «Использование конхилиофауны для реконструкции некоторых условий палеогеографической обстановки», помещенной в ДАН, т. 123, № 3 1958 г., в подписи к рис. 1, в разделе «Фаунистические данные»

Напечатано

Следует читать

Породы

Роды

устрицы

(устрицы)

Ю. М. БЕРЕЗАНСКИЙ

ОБ ОБОБЩЕННЫХ РЕШЕНИЯХ КРАЕВЫХ ЗАДАЧ

(Представлено академиком С. Л. Соболевым 14 III 1959)

В заметке ⁽¹⁾ была указана некоторая точка зрения на разрешимость краевых задач для уравнений, не имеющих определенного типа. Здесь мы несколько обобщим этот подход и покажем, в каких случаях введенное решение будет являться обычной обобщенной функцией. Как окажется, для этих вопросов существенную роль играют неравенства типа неравенств С. Н. Бернштейна — О. А. Ладыженской для эллиптических операторов. Проверка подобных неравенств составляет основную трудность при изучении краевой задачи.

1°. Пусть

$$\mathcal{L}[u] = \sum_{|\alpha| \leq r} a_\alpha(x) D^\alpha u \quad \left(D^\alpha = i^{-|\alpha|} \left(\frac{\partial}{\partial x_1} \right)^{\alpha_1} \dots \left(\frac{\partial}{\partial x_n} \right)^{\alpha_n}; |\alpha| = \alpha_1 + \dots + \alpha_n \right)$$

произвольное дифференциальное выражение порядка r с достаточно гладкими коэффициентами, определенное в конечной области G с границей Γ n -мерного пространства. Формально сопряженное выражение определим так $\mathcal{L}^+[u] = \sum_{|\alpha| \leq r} D^\alpha (\overline{a_\alpha(x)} u)$. В остальном мы сохраняем обозначения ⁽¹⁾:

W_2^l ($l \geq 0$) — соболевское пространство функций на G ; W_2^{-l} — пространство обобщенных функций с отрицательной нормой; $(u, v)_k$ — скалярное произведение в W_2^k .

Обозначим $\overline{W_2^r}$ замыкание в W_2^r всех финитных (т. е. аннулирующихся в полоске вблизи Γ) функций из W_2^r . Всякое подпространство W_2^r (гр) функций из W_2^r , содержащее $\overline{W_2^r}$, называем подпространством функций, удовлетворяющих определенным граничным условиям. Пусть $W_2^r(\text{гр})^+$ — совокупность всех функций $v \in W_2^r$, для которых при любом $u \in \overline{W_2^r}(\text{гр})$ справедливо равенство $(\mathcal{L}[u], v)_0 = (u, \mathcal{L}^+[v])_0$. Такая совокупность является подпространством из W_2^r , охватывающим $\overline{W_2^r}$. О функциях из $W_2^r(\text{гр})^+$ мы будем говорить, что они удовлетворяют сопряженным граничным условиям. Если $W_2^r(\text{гр})_1 \subseteq W_2^r(\text{гр})_2$, то $W_2^r(\text{гр})_1^+ \supseteq W_2^r(\text{гр})_2^+$; $W_2^r(\text{гр})^{++} \supseteq W_2^r(\text{гр})$. Всегда $W_2^r(\text{гр})^{+++} = W_2^r(\text{гр})^+$. Мы будем рассматривать только такие граничные условия, для которых $W_2^r(\text{гр})^{++} = \overline{W_2^r}(\text{гр})$.

Рассмотрим краевую задачу $\mathcal{L}[u] = f$ ($f \in W_2^{-r}$) с краевым условием $u \in W_2^r(\text{гр})$. Эту задачу мы будем называть разрешимой, если существует последовательность $u_n \in W_2^r(\text{гр})$ (аппроксимирующая последовательность)

такая, что $\mathcal{L}[u_n] \rightarrow f$ в смысле сходимости в W_2^{-r} *. Легко дать эквивалентную формулировку разрешимости, в которой будет фигурировать решение — некоторый идеальный элемент. Для этого обозначим через $H_{\mathcal{L}}$ замыкание W_2^r в скалярном произведении $(u, v)_{\mathcal{L}} = (\mathcal{L}[u], \mathcal{L}[v])_{-r}$; пусть $H_{\mathcal{L}}(\text{гр})$ — подпространство $H_{\mathcal{L}}$, натянутое на $W_2^r(\text{гр})$, а L — замыкание оператора $u \rightarrow \mathcal{L}[u]$ ($u \in W_2^r$), действующего непрерывно из $H_{\mathcal{L}}$ в W_2^{-r} . Тогда под обобщенным решением нашей краевой задачи можно понимать такое $\varphi \in H_{\mathcal{L}}(\text{гр})$, что $L\varphi = f$.

Нетрудно видеть, что при предельном переходе $\mathcal{L}[u_n] \rightarrow f$ в W_2^{-r} функции u_n не теряют своего граничного условия. Это нужно понимать следующим образом: пусть u_n дополнительно такова, что в некотором W_2^{-l} $u_n \rightarrow \alpha$ ($\alpha \in W_2^{-l}$); тогда $(\alpha, \mathcal{L}^+[v])_0 = (f, v)_0$ для любого $v \in W_2^r(\text{гр})^+ \cap W_2^{r+l}$. Последнее равенство и следует понимать как то, что α удовлетворяет исходным граничным условиям.

Теорема 1. Для того чтобы краевая задача $\mathcal{L}[u] = f$ ($f \in W_2^{-r}$, $u \in W_2^r(\text{гр})$) имела обобщенное решение, необходимо и достаточно, чтобы $(f, v)_0 = 0$ для всех $v \in W_2^{-r}(\text{гр})^+$, удовлетворяющих уравнению $\mathcal{L}^+[v] = 0$.

2°. Рассмотрим обобщенное решение φ краевой задачи $\mathcal{L}[u] = f$ ($f \in W_2^{-r}$, $u \in W_2^r(\text{гр})$). Будем говорить, что φ совпадает с некоторой обобщенной функцией $\alpha \in W_2^{-l}$ ($l \geq 0$), если для любой аппроксимирующей последовательности u_n при любом $v \in W_2^r(\text{гр})^+ \cap W_2^{r+l}$ $(u_n, \mathcal{L}^+[v])_0 \rightarrow (\alpha, \mathcal{L}^+[v])_0$ и, следовательно, $(\alpha, \mathcal{L}^+[v])_0 = (f, v)_0$. Если эти соотношения справедливы лишь на более узком множестве $v \in W_2^r(\text{гр})_1^+ \cap W_2^{r+l}$, где $W_2^r(\text{гр})_1 \supseteq W_2^r(\text{гр})$, то мы будем говорить о совпадении φ с α лишь вплоть до граничных условий $(\text{гр})_1$.

Теорема 2. Если при некоторых $l, m \geq 0$, $m \leq r + l$

$$\|\mathcal{L}^+[v]\|_l \geq C \|v\|_m \quad (C > 0, v \in W_2^r(\text{гр})_1^+ \cap W_2^{r+l}), \quad (1)$$

то обобщенное решение рассматриваемой краевой задачи, где $f \in W_2^{-q}$, $q = \min(r, m)$, совпадает вплоть до граничных условий $(\text{гр})_1$ с обобщенной функцией $\alpha \in W_2^{-l}$. Если (1) справедливо при $m = r$ и $\mathcal{L}^+[W_2^r(\text{гр})_1^+ \cap W_2^{r+l}] = W_2^l$, то любая аппроксимирующая последовательность и сходится к α в W_2^{-l} .

Если в предыдущем определении $W_2^r(\text{гр})^+$ заменено на W_2^r , то мы будем говорить о совпадении φ с α внутри области G . Естественным образом определяется также совпадение φ с α на некоторой части G . Теорема 2 сохраняется и в этих случаях.

Таким образом для краевой задачи $\mathcal{L}[u] = f$ с граничным условием (гр) мы получаем следующую картину: если $(f, v)_0 = 0$ для всех решений $v \in W_2^r(\text{гр})^+$ уравнения $\mathcal{L}^+[v] = 0$, то краевая задача имеет обобщенное решение φ . Если для функций из $W_2^r(\text{гр})^+ \cap W_2^{r+l}$ будет справедливо неравенство (1), то решение φ будет совпадать с обобщенной функцией α . Если (1) будет выполняться лишь на соответствующих более узких классах функций, то такое совпадение будет иметь место только вплоть до граничных условий $(\text{гр})_1$ или внутри области или на ее части.

3°. В заметке (1) были приведены примеры задач, разрешимых в обобщенном смысле. Мы укажем некоторые классы уравнений, для которых

* Более общо можно было бы рассматривать сходимость не в W_2^{-r} , а в некотором W_2^k ; на этих вопросах мы здесь останавливаться не будем. Мы не будем также касаться единственности решения задачи.

справедливы неравенства вида (1); для таких уравнений решения задач той или иной мере совпадают с обобщенными функциями.

1. В случае уравнения с постоянными коэффициентами решение любой краевой задачи внутри области совпадает с обобщенной функцией из W_2^{-m} , если $f \in W_2^{-m}$ ($0 \leq m \leq r$). В самом деле, для этого достаточно показать неравенство $\|L^+[v]\|_m \geq C \|v\|_m$ ($v \in \dot{W}_2^r \cap W_2^{r+m}$). Но оно при $m=0$ установлено Хёрмандером ⁽²⁾, а при $m > 0$ легко следует из неравенства при $m=0$.

2. Пусть по-прежнему коэффициенты у \mathcal{L} постоянны. Обозначим

$$\mathcal{L}(\xi) = \sum_{|\alpha| \leq r} a_\alpha \xi_1^{\alpha_1} \dots \xi_n^{\alpha_n}, \quad \tilde{\mathcal{L}}(\xi) = \left(\sum_{|\beta| \leq r} \left| \frac{\partial^{|\beta|}}{\partial \xi_1^{\beta_1} \dots \partial \xi_n^{\beta_n}} \mathcal{L}(\xi) \right|^2 \right)^{1/2}$$

$$(\xi = (\xi_1, \dots, \xi_n), \quad \bar{\xi}_j = \xi_j).$$

Предположим, что существует такое s ($0 \leq s \leq r$), что для любого полинома $P(\xi)$ степени $\leq s$ отношение $P(\xi)/\tilde{\mathcal{L}}(\xi)$ для всех ξ ограничено. Тогда из одной теоремы Хёрмандера ⁽²⁾, теорема 2.2) следует, что при ≥ 0 справедлива оценка $\|L^+[v]\|_l \geq C \|v\|_{l+s}$ ($v \in \dot{W}_2^r \cap W_2^{r+l}$). Поэтому решение любой краевой задачи внутри области совпадает с обобщенной функцией из W_2^{-l} , если $f \in W_2^{-q}$, где $q = \min(r, l+s)$.

3. Легко убедиться, что для выражения \mathcal{L} , фигурирующего в задачах 4), 5) и 6) заметки ⁽¹⁾, справедливо неравенство $\|L^+[v]\|_0 \geq C \|v\|_0$ для функций $v \in W_2^2$, удовлетворяющих сопряженным к заданным граничным условиям. Поэтому решения этих задач совпадают вплоть до рассматриваемых граничных условий с функциями из L_2 , если $f \in L_2$.

4. Вывод неравенства (1) для функций, удовлетворяющих граничным условиям, как правило, весьма затруднителен, так как характер допустимых областей и граничных условий зависит от вида дифференциального выражения (см. в связи с этим также ^(3, 4)). Сейчас мы приведем один прием установления неравенства (1) для операторов с постоянными коэффициентами; для простоты ограничимся выражением $\mathcal{L} = \partial^2/\partial x_1^2 - \partial^2/\partial x_2^2$. Будем рассматривать векторы $x = (x_1, x_2)$ двумерной плоскости; (x, y) — скалярное произведение в ней; вектор называется x_1 -подобным, если он лежит внутри горизонтального угла, образованного характеристиками выражения \mathcal{L} ; аналогично определяется x_2 -подобный вектор. Если $x = (x_1, x_2)$, то $x' = (x_1, -x_2)$, $x^* = (-x_2, x_1)$.

Ниже мы будем проводить интегрирование по частям, добиваясь, чтобы каждый интеграл вида $\int_G \frac{\partial^2 v}{\partial x_j^2} x_k \frac{\partial \bar{v}}{\partial x_l} dx$ (j, k и l частично или полностью могут совпадать) был преобразован в интеграл $\int_G \frac{\partial v}{\partial x_l} x_k \frac{\partial \bar{v}}{\partial x_j^2} dx$ плюс дополнительные члены, причем интегрировать по частям каждый из них нужно так, чтобы третьи производные не появлялись. На этом пути трудно получить равенство (G — произвольная область; $v(x)$ — орт внешней нормали; ρ и σ — произвольные орты):

$$2 \operatorname{Re} \int_G (\mathcal{L}v)(x) (\rho, x) \frac{\partial \bar{v}}{\partial \sigma} dx =$$

$$= -(\rho, \sigma') \int_G \left(\left| \frac{\partial v}{\partial x_1} \right|^2 + \left| \frac{\partial v}{\partial x_2} \right|^2 \right) dx + (\rho, \sigma^*) 2 \operatorname{Re} \int_G \frac{\partial v}{\partial x_1} \frac{\partial \bar{v}}{\partial x_2} dx + I_{\text{гп}},$$

$$(2)$$

$$= \int_\Gamma \left(\left| \frac{\partial v}{\partial x_1} \right|^2 + \left| \frac{\partial v}{\partial x_2} \right|^2 \right) (\rho, x) (\sigma, v'(x)) dx + 2 \operatorname{Re} \int_\Gamma \frac{\partial v}{\partial x_1} \frac{\partial v}{\partial x_2} (\rho, x) (\sigma, v^*(x)) dx.$$

Отсюда для ρ и σ , одновременно x_1 - или x_2 -подобных, можно получить неравенство

$$\left\| \frac{\partial v}{\partial x_1} \right\|_0^2 + \left\| \frac{\partial v}{\partial x_2} \right\|_0^2 \leq C_{\rho, \sigma} \| \mathcal{L}[v] \|_0^2, \quad (1)$$

если только $I_{\Gamma} = 0$.

Выберем теперь область G и граничные условия так, чтобы $I_{\Gamma} = 0$. Для этого можно поступить следующим образом: пусть Γ состоит из отрезка Γ_1 x_1 -подобной прямой, проходящей через $(0, 0)$, из отрезков Γ_2 и Γ_3 двух параллельных x_2 -подобных прямых и замыкающей кривой Γ_4 . Граничные условия: $v|_{\Gamma_1}$ снято, $\frac{\partial v}{\partial x_1}|_{\Gamma_2 \cup \Gamma_3} = 0$, $v|_{\Gamma_4} = \frac{\partial v}{\partial \nu}|_{\Gamma_4} = 0$. Если в (3) выбрать $\rho \perp \Gamma_1$ и $\sigma = \eta'$, где η — орт вдоль Γ_2 и Γ_3 , то получим $I_{\Gamma} = 0$ и (3) будет справедливо. Из (3) благодаря соотношению $v|_{\Gamma_4} = 0$ заключаем, что

$$\| \mathcal{L}[v] \|_0 \geq C \| v \|_1 \quad (2)$$

на всех $v \in W_2^2$, удовлетворяющих указанным граничным условиям.

Приведенные граничные условия (если только Γ_4 не содержит кусок характеристик) являются сопряженными к условиям $u|_{\Gamma_1} = \frac{\partial u}{\partial \nu}|_{\Gamma_1} = 0$ и $\frac{\partial u}{\partial \mu} + h \frac{\partial u}{\partial \eta}|_{\Gamma_2 \cup \Gamma_3} = 0$. Здесь $\mu = \nu'$ — орт конормали, h — коэффициент при η в разложении μ по направлениям Ox_1 и η . Благодаря (2) заключаем, что существует обобщенное решение из L_2 краевой задачи для уравнения $\mathcal{L}[u] = f$ ($f \in W_2^{-1}$) в «скошенной» по отношению к области области с приведенными граничными условиями. Напомним, что при обобщенном решении в этом случае следует понимать функцию $\alpha(x) \in W_2^2$ такую, что $(\alpha, \mathcal{L}[v])_0 = (f, v)_0$ для всех $v \in W_2^2(\text{гр})^+$.

Отметим, что можно и при некоторых других областях и граничных условиях добиться равенства $I_{\Gamma} = 0$; это опять даст разрешимость соответствующих краевых задач.

Институт математики
Академии наук УССР

Поступило
23 II 1959

ЦИТИРОВАННАЯ ЛИТЕРАТУРА

- ¹ Ю. М. Березанский, ДАН, 122, № 6 (1958). ² L. Hörmander, Acta Math., 94, № 3—4 (1955). ³ L. Hörmander, Acta Math., 99, № 3—4 (1958). ⁴ К. О. Friedrichs, Comm. Pure and Appl. Math., 11, № 3 (1958).

О. В. БЕСОВ

О НЕКОТОРОМ СЕМЕЙСТВЕ ФУНКЦИОНАЛЬНЫХ ПРОСТРАНСТВ. ТЕОРЕМЫ ВЛОЖЕНИЯ И ПРОДОЛЖЕНИЯ

(Представлено академиком С. Л. Соболевым 13 III 1959)

В этой заметке мы рассматриваем семейство $B_{p, \theta}^{(r_1, \dots, r_n)}$ функциональных пространств. Отдельное функциональное пространство $B_{p, \theta}^{(r_1, \dots, r_n)}$ задается произвольной системой чисел p ($1 \leq p \leq \infty$), θ ($1 \leq \theta < \infty$) $r_i > 0$ ($i = 1, 2, \dots, n$). Мы показываем, что для $B_{p, \theta}^{(r_1, \dots, r_n)}$ имеют место теоремы вложения, формулируемые в точности так же, как теоремы М. Никольского для введенных им пространств $H_p^{(r_1, \dots, r_n)}$. В то же время пространства $B_{p, \theta}^{(r_1, \dots, r_n)}$ интересны тем, что они, в частности, при $p = 2$ и $r_1 = \dots = r_n = l$ ($l = 1, 2, \dots$) совпадают с пространствами Л. Соболева; при $p = 2$ и произвольных $r_i > 0$, а также в некоторых случаях при $1 < p < \infty$ — с пространствами, рассмотренными Л. Н. Слободским.

Пусть R_n обозначает n -мерное пространство точек, $\mathbf{p} = (x_1, \dots, x_n)$, пусть $f(x_1, \dots, x_n) = f(\mathbf{p}) \in L_p$ ($1 \leq p \leq \infty$), т. е.

$$\|f\|_{L_p} = \left\{ \int_{R_n} |f(\mathbf{p})|^p dv \right\}^{1/p} < \infty \quad \text{при } 1 \leq p < \infty,$$

$$\|f\|_{L_\infty} = \text{vrai sup}_{\mathbf{p} \in R_n} |f(\mathbf{p})| < \infty.$$

Обозначим

$$E_{v_1, \dots, v_n}(f)_p = \inf_{g_{v_1, \dots, v_n}} \|f - g_{v_1, \dots, v_n}\|_{L_p},$$

где нижняя грань распространена на всевозможные целые функции v_1, \dots, v_n степеней v_1, \dots, v_n соответственно по x_1, \dots, x_n . Положим еще

$$\omega_k(f, t e_i)_p = \sup_{|h| \leq t} \|\Delta_{x_i}^k(f, h)\|_{L_p} = \sup_{|h| \leq t} \left\| \sum_{v=0}^k (-1)^{k-v} \check{c}_k^v f(\mathbf{p} + v h e_i) \right\|_{L_p},$$

где e_i — единичный вектор, направленный по оси x_i . Пусть $\theta = \theta(p) \geq 1$ — убывающая для $1 \leq p < \infty$ функция. Если $\lim_{p \rightarrow \infty} \theta(p) = A < \infty$, то будем считать, что $\theta(p)$ определена и при $p = \infty$, причем так, что $A \leq \theta(\infty) < \infty$. Пусть также $r_i > 0$, $r_i = \bar{r}_i + \alpha_i$, где \bar{r}_i — целое, $0 < \alpha_i \leq 1$ ($i = 1, 2, \dots, n$).

Определение. Будем говорить, что функция f принадлежит функциональному пространству $B_{p, \theta}^{(r_1, \dots, r_n)}$, если она имеет интегрируемые в степени p ($1 \leq p \leq \infty$) на R_n частные, обобщенные в смысле С. Л. Соболева, несмешанные производные $\partial^k f / \partial x_i^k$ ($k = 0, 1, \dots, \bar{r}_i$; $i = 1, 2, \dots, n$)

и при этом

$$\|f\|_{B_{p,0}^{(r_1, \dots, r_n)}} = \|f\|_L + \sum_{i=1}^n \left\{ \int_0^1 \frac{\omega_{1+[a]}^\theta \left(\frac{\partial \bar{r}_i f}{\partial x_i^{r_i}}, t e_i \right)}{t^{\theta \alpha_i + 1}} dt \right\}^{1/\theta} < \infty.$$

Теорема 1. Число

$$\|f\|_{L_p} + \left\{ \sum_{k=0}^{\infty} b^{k\theta} E_{a_1^k, \dots, a_n^k}^{\theta}(f)_p \right\}^{1/\theta},$$

где $a_i^{r_i} = b > 1$ ($i=1, 2, \dots, n$), является нормой в пространстве $B_{p,0}^{(r_1, \dots, r_n)}$ эквивалентной норме $\|f\|_{B_{p,0}^{(r_1, \dots, r_n)}}$.

При доказательстве этой теоремы используется представление функции в виде ряда, построенного с помощью целых функций наилучшего приближения, оценки С. М. Никольского (⁽¹⁾, стр. 248) и А. С. Джафарова (⁽²⁾). Теорема 1 позволяет свести изучение пространств $B_{p,0}^{(r_1, \dots, r_n)}$ к изучению характера убывания наилучших приближений функций, подобно тому как это сделано у С. М. Никольского в (⁽¹⁾, ⁽²⁾) для пространств $H_p^{(r_1, \dots, r_n)}$.

Теорема 2. Пространства $B_{p,0}^{(r_1, \dots, r_n)}$ являются B -пространствами.

Теорема 3. Пусть $1 \leq p \leq p' \leq \infty$, $1 \leq m \leq n$, $\lambda = \sum_{i=1}^n \lambda_i$, $\kappa = 1$.

$$-\left(\frac{1}{p} - \frac{1}{p'}\right) \sum_{i=1}^m \frac{1}{r_i} - \frac{1}{p} \sum_{m+1}^n \frac{1}{r_i} - \sum_{i=1}^n \frac{\lambda_i}{r_i} > 0.$$

Тогда, если $f(x_1, \dots, x_n) \in B_{p,0}^{(r_1, \dots, r_n)}$, то

$$\phi(x_1, \dots, x_m) = \frac{\partial^\lambda}{\partial x_1^{\lambda_1} \dots \partial x_n^{\lambda_n}} f(x_1, \dots, x_m, x_{m+1}^0, \dots, x_n^0) \in B_{p',0}^{(\rho_1, \dots, \rho_m)},$$

при любых фиксированных x_{m+1}^0, \dots, x_n^0 , где $\theta' = \theta(p')$, $\rho_i = r_i \kappa$ ($i=1, 2, \dots, m$), причем имеет место неравенство

$$\|\phi\|_{B_{p',0}^{(\rho_1, \dots, \rho_m)}} \leq c \|f\|_{B_{p,0}^{(r_1, \dots, r_n)}},$$

где c не зависит от f .

При доказательстве этой теоремы существенно используются неравенства С. М. Никольского (⁽¹⁾, стр. 248, 252 и 254).

Теорема 4. Пусть заданы положительные числа r_i ($i=1, 2, \dots, n$), и всевозможные системы (λ) неотрицательных целых чисел $\lambda_{m+1}, \dots, \lambda_n$ для которых

$$\kappa^{(\lambda)} = 1 - \sum_{j=m+1}^n \frac{\lambda_j}{r_j} - \frac{1}{p} \sum_{j=m+1}^n \frac{1}{r_j} > 0.$$

Пусть, кроме того, каждой системе (λ) приведена в соответствие функция m переменных $\varphi_{(\lambda)}(x_1, \dots, x_m) \in B_{p,0}^{(\rho_1^{(\lambda)}, \dots, \rho_m^{(\lambda)})}$, $\rho_i^{(\lambda)} = r_i \kappa^{(\lambda)}$.

Тогда можно построить функцию $f(x_1, \dots, x_n)$ от n переменных обладающую следующими свойствами:

$$f \in B_{p,0}^{(r_1, \dots, r_n)}, \quad \frac{\partial^\lambda f(x_1, \dots, x_m, 0, \dots, 0)}{\partial x_{m+1}^{\lambda_{m+1}} \dots \partial x_n^{\lambda_n}} = \varphi_{(\lambda)}(x_1, \dots, x_m),$$

$$\|f\|_{B_{p,0}^{(r_1, \dots, r_n)}} \leq c \sum_{(\lambda)} \|\varphi_{(\lambda)}\|_{B_{p,0}^{(\rho_1^{(\lambda)}, \dots, \rho_m^{(\lambda)})}},$$

где c не зависит от функций $\varphi_{(\lambda)}$.

Доказательство теоремы 4 проводится методом С. М. Никольского — представления функции суммой ряда и продолжения каждого члена ряда (2), стр. 296).

Теорема 5. Пространство $B_{2,2}^{(r_1, \dots, r_n)}$ совпадает с точностью до эквивалентности норм с пространством $W_{x_1, \dots, x_n, 2}^{(r_1, \dots, r_n)}(R_n)$ Соболева (по терминологии (4)).

Отсюда следует, что теоремы 3 и 4 содержат как частный случай теоремы Л. Н. Слободецкого для пространств $W_{x_1, \dots, x_n, 2}^{(r_1, \dots, r_n)}(R_n)$.

Теорема 6. Пусть l — натуральное число, $1 < p < \infty$, $f = f(x_1, \dots, x_n) \in W_p^{(l)}(0 < x_n < 1)$.

Тогда при $k = 0, 1, \dots, l-1$ нормальные производные $\partial^k f / \partial x_n^k$ при $x_n = 0$ как функции x_1, \dots, x_{n-1} принадлежат пространствам $B_{p,p}^{(l-k-\frac{1}{p}, \dots, l-k-\frac{1}{p})}$. При этом

$$\left\| \frac{\partial^k f}{\partial x_n^k} \right\|_{B_{p,p}^{(l-k-\frac{1}{p}, \dots, l-k-\frac{1}{p})}} \leq c \|f\|_{W_p^{(l)}(0 < x_n < 1)},$$

где c не зависит от f .

Замечание 1. Верно и обратное утверждение (см. (6, 7)).

Теоремы 6 и 3 дают возможность охарактеризовать дифференциальные свойства функции $f \in W_p^{(l)}(R_n)$ на гиперплоскости m измерений ($m \leq n-1$), где m определяется в соответствии с условиями этих теорем.

Замечание 2. Все теоремы сохраняются, если вместо $B_{p,0}^{(r_1, \dots, r_n)}$ рассматривать пространства периодических по всем переменным функций соответствующим образом введенной нормой и наилучшие приближения при помощи тригонометрических полиномов.

Полученные результаты могут быть соответствующим образом распространены на некоторый класс областей n -мерного пространства.

Московский государственный университет
им. М. В. Ломоносова

Поступило
10 III 1959

ЦИТИРОВАННАЯ ЛИТЕРАТУРА

- ¹ С. М. Никольский, Тр. Матем. инст. им. В. А. Стеклова АН СССР, 38, 244 (1951). ² С. М. Никольский, Матем. сборн., 33 (75), 2, 261 (1953). ³ А. С. Джаров, Тр. Азерб. гос. пед. инст., 2, 110 (1955). ⁴ Л. Н. Слободецкий, ДАН, 128, № 2, 243 (1958). ⁵ Л. Н. Слободецкий, ДАН, 120, № 3, 468 (1958). ⁶ Л. Н. Слободецкий, ДАН, 123, № 4, 616 (1958). ⁷ E. Gagliardo, Rend. sem. Mat. di Padova, 27 (1957).

М. С. БРОДСКИЙ

ОБ ИНТЕГРАЛЬНОМ ПРЕДСТАВЛЕНИИ ОГРАНИЧЕННЫХ НЕСАМОСОПРЯЖЕННЫХ ОПЕРАТОРОВ С ВЕЩЕСТВЕННЫМ СПЕКТРОМ

(Представлено академиком С. Л. Соболевым 14 III 1959)

Линейный ограниченный оператор A , действующий в гильбертовом пространстве H , будем относить к классу Ω_R , если он обладает следующими свойствами: 1) весь спектр оператора A лежит на вещественной оси; 2) $\frac{A-A^*}{i}$ — вполне непрерывный оператор; 3) сумма модулей собственных чисел оператора $\frac{A-A^*}{i}$ конечна; 4) A — простой оператор, т. е. H совпадает с замыканием линейной оболочки всех векторов вида $A^n f$ ($n = 0, 1, 2, \dots; f \in \frac{A-A^*}{i} H$).

Расширим H до некоторого гильбертова пространства $\tilde{H} = H \oplus H_0$. Оператор \tilde{A} , действующий в \tilde{H} , будем называть простым расширением оператора A , если подпространства H и H_0 для него инвариантны и если \tilde{A} порождает в H оператор A , а в H_0 — некоторый эрмитов оператор. Каждый оператор, удовлетворяющий условиям 1), 2), 3), но не удовлетворяющий условию 4), является простым расширением оператора класса Ω_R .

Пусть $A \in \Omega_R$. Обозначим через r ($\leq \infty$) размерность неэрмитова подпространства $\frac{A-A^*}{i}H$ и рассмотрим пространство $L_2^{(r)}$, элементами которого являются матрицы $f(x) = \|f_1(x) f_2(x) \dots f_r(x)\|$, заданные на промежутке $[0, l]$, где l — сумма модулей собственных чисел оператора $\frac{A-A^*}{i}$

и удовлетворяющие условию $\int_0^l f(x) f^*(x) dx < \infty$. Скалярное произведение

в $L_2^{(r)}$ определим равенством $(f(x), g(x)) = \int_0^l f(x) g^*(x) dx$. Согласно теореме М. С. Лившица ^(1,2) некоторое простое расширение \tilde{A} оператора A унитарно эквивалентно действующему в $L_2^{(r)}$ оператору

$$\tilde{B}f(x) = f(x) \alpha(x) + i \int_x^l f(t) \Pi(t) dt J \Pi^*(x), \quad (1)$$

где $\alpha(x)$ — ограниченная неубывающая функция; $\Pi(x) = \|\pi_{ij}(x)\|$ — квадратная матрица r -го порядка, удовлетворяющая условиям

$$\text{sp} [\Pi^*(x) \Pi(x)] \equiv 1, \quad \int_0^l \Pi^*(x) \Pi(x) dx = \begin{pmatrix} p_1^2 & & \\ & p_2^2 & \\ & & \ddots \\ & & & p_r^2 \end{pmatrix}, \quad (2)$$

$J = \|j_{\alpha\beta}\|$ — диагональная матрица, у которой каждый элемент главной диагонали равен либо $+1$, либо -1 . Заметим, что

$$\frac{\tilde{B} - \tilde{B}^*}{i} = \int_0^l f(t) \Pi(t) dt J \Pi^*(x) =$$

$$= \sum_{\alpha=1}^r (f, h_\alpha) j_\alpha h_\alpha (j_\alpha = j_{\alpha\alpha}, h_\alpha(x) = \|\bar{\pi}_{1\alpha}(x) \bar{\pi}_{2\alpha}(x) \dots \bar{\pi}_{r\alpha}(x)\|). \quad (3)$$

1. Оператор \tilde{B} представляет собой приведенную к треугольной форме модель оператора \tilde{A} . Ниже указывается треугольная форма записи посредством для оператора \tilde{A} .

Пусть $F(x)$ ($0 \leq x \leq l$) — проекционный оператор в $L_2^{(r)}$, относящий вектору $h(t)$ вектор

$$F(x) h(t) = \begin{cases} h(t), & 0 \leq t \leq x, \\ 0, & x < t \leq l. \end{cases}$$

Вводя обозначения

$$\tilde{B}_1 f(x) = f(x) \alpha(x), \quad \tilde{B}_2 f(x) = \int_x^l f(t) \Pi(t) dt J \Pi^*(x),$$

тогда

$$(\tilde{B}_1 f, g) = \int_0^l \alpha(x) f(x) g^*(x) dx = \int_0^l \alpha(x) d \int_0^x f(t) g^*(t) dt =$$

$$= \int_0^l \alpha(x) d(F(x) f, g) = \left(\int_0^l \alpha(x) dF(x) f, g \right);$$

$$(\tilde{B}_2 f, g) = \int_0^l \int_x^l f(t) \Pi(t) dt J \Pi^*(x) g^*(x) dx =$$

$$= \sum_{\alpha=1}^r \int_0^l \int_0^l f(t) h_\alpha^*(t) dt j_\alpha h_\alpha(x) g^*(x) dx =$$

$$\sum_{\alpha=1}^r \int_0^l \int_0^x f(t) h_\alpha^*(t) j_\alpha h_\alpha(x) g^*(x) dt dx = \sum_{\alpha=1}^r \int_0^l \int_0^x h_\alpha(t) g^*(t) dt j_\alpha d \int_0^x f(t) h_\alpha^*(t) dt =$$

$$= \sum_{\alpha=1}^r \int_0^l (F(x) h_\alpha, g) j_\alpha d(F(x) f, h_\alpha) = \left(\int_0^l F(x) \frac{\tilde{B} - \tilde{B}^*}{i} dF(x) f, g \right).$$

Таким образом,

$$\tilde{B} = \int_0^l \alpha(x) dF(x) + i \int_0^l F(x) \frac{\tilde{B} - \tilde{B}^*}{i} dF(x)^*. \quad (4)$$

* Легко проверить, что интегральные суммы

$$\sum_{k=1}^n \alpha(\xi_k) (F(x_k) - F(x_{k-1})) \quad (0 = x_0 < x_1 < \dots < x_n = l, x_{k-1} \leq \xi_k \leq x_k)$$

сходятся сильно, а интегральные суммы

$$\sum_{k=1}^n F(\xi_k) \frac{\tilde{B} - \tilde{B}^*}{i} (F(x_k) - F(x_{k-1}))$$

равномерно при $\max(x_k - x_{k-1}) \rightarrow 0$.

В силу (2) и (3) векторы $e_\alpha = \frac{h_\alpha}{p_\alpha}$ образуют ортонормированный базис собственных векторов оператора $\frac{\tilde{B} - \tilde{B}^*}{i}$ в подпространстве $\frac{\tilde{B} - \tilde{B}^*}{i} L_2^{(r)}$ причем

$$\frac{\tilde{B} - \tilde{B}^*}{i} e_\alpha = j_\alpha p_\alpha^2 e_\alpha.$$

Следовательно,

$$\begin{aligned} \operatorname{sp} \left\{ \left| \frac{\tilde{B} - \tilde{B}^*}{i} \right|^{1/2} F(x) \left| \frac{\tilde{B} - \tilde{B}^*}{i} \right|^{1/2} \right\} &= \sum_{\alpha=1}^r \left(\left| \frac{\tilde{B} - \tilde{B}^*}{i} \right|^{1/2} F(x) \left| \frac{\tilde{B} - \tilde{B}^*}{i} \right|^{1/2} e_\alpha, e_\alpha \right) = \\ &= \sum_{\alpha=1}^r (F(x) h_\alpha, h_\alpha) = \operatorname{sp} \int_0^x \Pi^*(x) \Pi(x) dx = x. \end{aligned}$$

Теорема. Если A — оператор класса Ω_R , то существует такое простое расширение \tilde{A} , что

$$\tilde{A} = \int_0^l \alpha(x) dE(x) + i \int_0^l E(x) \frac{\tilde{A} - \tilde{A}^*}{i} dE(x),$$

где l — сумма модулей собственных чисел оператора $\frac{A - A^*}{i}$; $\alpha(x)$ — ограниченная неубывающая функция; $E(x)$ — абсолютное непрерывное ортогональное разложение единицы, удовлетворяющее условию

$$\operatorname{sp} \left\{ \left| \frac{\tilde{A} - \tilde{A}^*}{i} \right|^{1/2} E(x) \left| \frac{\tilde{A} - \tilde{A}^*}{i} \right|^{1/2} \right\} = \operatorname{sp} \left\{ \left| \frac{A - A^*}{i} \right|^{1/2} E(x) \left| \frac{A - A^*}{i} \right|^{1/2} \right\} = x.$$

Доказательство. Так как $\tilde{A} = U^{-1} \tilde{B} U$, где U — некоторое изометрическое отображение пространства \tilde{H} на $L_2^{(r)}$, то, в силу (4):

$$\tilde{A} = \int_0^l \alpha(x) d(U^{-1} F(x) U) + i \int_0^l U^{-1} F(x) U \left(U^{-1} \frac{\tilde{B} - \tilde{B}^*}{i} U \right) d(U^{-1} F(x) U).$$

Полагая $E(x) = U^{-1} F(x) U$ и заметив, что $U^{-1} \frac{\tilde{B} - \tilde{B}^*}{i} U = \frac{A - A^*}{i}$, получим формулу (6). Очевидно, что $E(x)$ — ортогональное разложение единицы в пространстве \tilde{H} . Кроме того,

$$(E(x)f, g) = (F(x)Uf, Ug) = \int_0^x Uf(Ug)^* dt$$

и, следовательно, $E(x)$ — абсолютно непрерывная функция. Равенство легко следует из (5). Теорема доказана.

В силу соотношения

$$\tilde{A} E(x) = \int_0^x \alpha(t) dE(t) + i \int_0^x E(t) \frac{\tilde{A} - \tilde{A}^*}{i} dE(t)$$

полняется равенство $E(x) \tilde{A} E(x) = \tilde{A} E(x)$. Таким образом, подпространство, на которое проектирует оператор $E(x)$ ($0 \leq x \leq l$), инвариантно относительно \tilde{A} . Если спектр оператора A состоит из одной лишь точки 0, $\alpha(x) \equiv 0$ ^(1, 2) и

$$\tilde{A} = i \int_0^l E(x) \frac{\tilde{A} - \tilde{A}^*}{i} dE(x)$$

является непрерывный оператор с тем же спектром.

Заметим, что формулы (6) и (7) можно получить и не пользуясь леммой (1).

2. Оператор (6) действует в пространстве $\tilde{H} = H \oplus H_0$ и является простым расширением действующего в H простого оператора A . Так как $\frac{\tilde{A} - \tilde{A}^*}{i} = \frac{A - A^*}{i} P$, где P — оператор проектирования на подпространство H , то

$$= \int_0^l \alpha(x) dE_0(x) + i \int_0^l E_0(x) \frac{A - A^*}{i} dE_0(x) \quad (E_0(x)f = PE(x)Pf, f \in H). \quad (8)$$

Разложение единицы $E_0(x)$ уже не является, вообще говоря, ортогональным и подлежит дальнейшему изучению. Однако в одном важном случае можно утверждать, что $E_0(x)$ — проекционный оператор от любого x . Именно, пусть $\frac{A - A^*}{i} > 0$ и 0 является единственной точкой спектра оператора A . Тогда подпространство H_0 состоит из тех и только тех векторов, для которых $\tilde{A}f = 0$, и поэтому

$$E(x) \frac{\tilde{A} - \tilde{A}^*}{i} E(x)f, f) = \frac{1}{i} [(\tilde{A}E(x)f, f) - (E(x)\tilde{A}^*f, f)] = 0 \quad (f \in H_0).$$

Таким образом,

$$\frac{\tilde{A} - \tilde{A}^*}{i} E(x)f = 0 \quad (f \in H_0)$$

следовательно,

$$\tilde{A}E(x)f = i \int_0^x E(x) \frac{\tilde{A} - \tilde{A}^*}{i} dE(x)f = 0 \quad (f \in H_0).$$

Последнее равенство означает, что

$$(f, E(x)\tilde{A}^*h) = 0 \quad (f \in H_0, h \in \tilde{H}).$$

как в рассматриваемом случае множество $\tilde{A}^*\tilde{H} = A^*H$ плотно в H , $E(x)H \subset H$, $E_0^2(x) := (PE(x)P)^2 = E_0(x)$ и $E_0(x)$ — проекционный оператор.

Одесский государственный педагогический институт им. А. Д. Ушинского

Поступило
11 III 1959

ЦИТИРОВАННАЯ ЛИТЕРАТУРА

1. М. С. Лившиц, Матем. сборн., **34** (76), 145 (1954). 2. М. С. Бродский, С. Лившиц, Усп. матем. наук, **13**, в. (79), 3 (1958).

Академик А. А. Дородницын

К ЗАДАЧЕ ВЫЧИСЛЕНИЯ СОБСТВЕННЫХ ЧИСЕЛ И СОБСТВЕННЫХ ВЕКТОРОВ МАТРИЦ

Пусть задана симметричная матрица $C = A + \varepsilon B$ n -го порядка:

$$C = \|c_{ik}\|, \quad A = \|a_{ik}\|, \quad B = \|b_{ik}\|,$$

$$c_{ik} = c_{ki}, \quad a_{ik} = a_{ki}, \quad b_{ik} = b_{ki},$$

$$i = k = 1, 2, \dots, n.$$

Предположим, что собственные значения и векторы матрицы A известны, причем собственные значения все различны.

Один из методов определения собственных чисел и векторов основан на теории возмущений, т. е. разложении этих величин в ряды по степеням ε . Однако применение теории возмущений ограничивается достаточно малыми значениями ε , так как при некоторых значениях ε ряды становятся расходящимися, хотя на пути от $\varepsilon = 0$ до данного значения собственные числа и векторы, рассматриваемые как функции параметра, не имеют особенностей. Но даже и в том случае, если ряд сходится, вычисление большого числа членов разложения может оказаться очень трудоемким.

Уравнению для собственных чисел и собственных векторов можно сопоставить эквивалентную систему дифференциальных уравнений. Действительно, рассматривая собственные значения и векторы как функции параметра ε , имеем:

$$(A + \varepsilon B) \mathbf{x}_i(\varepsilon) = \lambda_i(\varepsilon) \mathbf{x}_i(\varepsilon), \quad (\mathbf{x}_i(\varepsilon) \cdot \mathbf{x}_i(\varepsilon)) = 1,$$

где \mathbf{x}_i — собственный нормированный вектор, соответствующий собственному значению λ_i .

Дифференцируя по ε , будем иметь

$$(A + \varepsilon B) \frac{d\mathbf{x}_i}{d\varepsilon} + B \mathbf{x}_i(\varepsilon) = \lambda_i(\varepsilon) \frac{d\mathbf{x}_i}{d\varepsilon} + \frac{d\lambda_i}{d\varepsilon} \mathbf{x}_i;$$

$$\left(\mathbf{x}_i \cdot \frac{d\mathbf{x}_i}{d\varepsilon} \right) = 0.$$

Если при данном значении ε все λ_i различны, то производные $d\lambda_i/d\varepsilon$ конечны; отсюда следует равенство нулю скалярного произведения

$$\left(\mathbf{x}_i \cdot \left(\frac{d\lambda_i}{d\varepsilon} \mathbf{x}_i - B \mathbf{x}_i \right) \right) = 0,$$

т. е.

$$\frac{d\lambda_i}{d\varepsilon} = (\mathbf{x}_i \cdot B \mathbf{x}_i),$$

из условия ортогональности (3)

$$\frac{d x_i}{d \varepsilon} = \sum_k \frac{(x_k(\varepsilon) \cdot B x_i(\varepsilon))}{\lambda_i(\varepsilon) - \lambda_k(\varepsilon)} x_k(\varepsilon) \quad (5)$$

итрих означает, что $i \neq k$).

Таким образом, собственные числа и собственные векторы удовлетворяют системе дифференциальных уравнений (4), (5). Обратно, если для какого-то значения ε (скажем, $\varepsilon = 0$) мы возьмем для λ_i и x_i собственные числа и собственные векторы матрицы C при этом значении ε , то из единственности решения системы (4), (5) при заданных начальных условиях следует, что решение этой системы действительно дает собственные числа и собственные векторы матрицы C .

Но решение системы (4), (5) можно получить одним из известных методов, например методом Эйлера, причем этот метод будет сходиться вплоть до особой точки.

Отсюда легко получаем ряд численных схем определения собственных чисел и собственных значений, например:

I. Метод Эйлера. Разбиваем промежуток изменения ε на m отрезков длиной h ($h = \varepsilon/m$). Обозначая через C_v матрицу C при $\varepsilon = v h$; λ_i^v — соответствующие собственные значения и собственные векторы, будем иметь

$$\lambda_i^v = \lambda_i^{v-1} + h (x_i^{v-1} \cdot B x_i^{v-1}), \quad x_i^v = x_i^{v-1} + h \sum_k \frac{(x_k^{v-1} \cdot B x_i^{v-1})}{\lambda_i^{v-1} - \lambda_k^{v-1}} x_k^{v-1}. \quad (6)$$

II. Метод Эйлера с уточнением. Вычислив по формуле (6) первые приближения для λ_i^v и x_i^v (обозначим их через $\lambda_i^{v'} x_i^{v'}$), уточняем далее эти значения по формулам

$$\begin{aligned} \lambda_i^v &= \lambda_i^{v-1} + \frac{h}{2} \{ (x_i^{v-1} \cdot B x_i^{v-1}) + (x_i^{v'} \cdot B x_i^{v'}) \}, \\ x_i^v &= x_i^{v-1} + \frac{h}{2} \left\{ \sum_k \frac{(x_k^{v-1} \cdot B x_i^{v-1})}{\lambda_i^{v-1} - \lambda_k^{v-1}} x_k^{v-1} + \sum_k \frac{(x_k^{v'} \cdot B x_i^{v'})}{\lambda_i^{v'} - \lambda_k^{v'}} x_k^{v'} \right\} \end{aligned} \quad (7)$$

т. д. Любой из методов решения систем дифференциальных уравнений можно перенести на вычисление собственных чисел и векторов матриц.

Формально изложенный выше метод можно применять и к матрицам бесконечного порядка или к самосопряженным операторам, однако вопрос сходимости в этих случаях подлежит специальному рассмотрению.

Поступило
17 IV 1959

В. В. ИВАНОВ и И. Б. СИМОНЕНКО

О ПРИБЛИЖЕННОМ ОТЫСКАНИИ ВСЕХ РЕШЕНИЙ ДАННОГО ЛИНЕЙНОГО УРАВНЕНИЯ В ПРОСТРАНСТВЕ БАНАХА

(Представлено академиком Н. Н. Боголюбовым 16 II 1959)

Пусть даны два комплексных пространства Банаха E_1 и E_2 , имеющие базисы. Рассмотрим уравнение

$$Kx = y, \quad (1)$$

где K — линейный оператор, определенный на E_1 с областью значений в E_2 такой, что однородное уравнение

$$Kx = 0 \quad (2)$$

имеет α линейно независимых решений $x_1, x_2, \dots, x_\alpha$.

Возьмем произвольную систему функционалов из \bar{E}_1 : $\bar{x}_1, \bar{x}_2, \dots, \bar{x}_\alpha$, для которых выполнено требование:

$$\det \{\bar{x}_j(x_k)\} \neq 0. \quad (E)$$

Обозначим через E_1^0 подпространство E_1 , состоящее из всех таких элементов x , что $\bar{x}_j(x) = 0$, $j = 1, 2, \dots, \alpha$, и найдем произвольную линейно независимую систему элементов $\tilde{x}_1, \tilde{x}_2, \dots, \tilde{x}_\alpha$, удовлетворяющих условию $\det \{\bar{x}_j(\tilde{x}_k)\} \neq 0$.

Далее, пусть уравнение

$$K^* \bar{u} = 0, \quad (3)$$

где K^* — оператор, сопряженный оператору K , имеет β линейно независимых решений $\bar{u}_1, \bar{u}_2, \dots, \bar{u}_\beta$. Возьмем произвольную систему элементов из E_2 : u_1, u_2, \dots, u_β ; для которых выполнено требование

$$\det \{\bar{u}_k(u_j)\} \neq 0. \quad (C)$$

Предположим, наконец, что условие $\bar{u}_k(y) = 0$, $k = 1, 2, \dots, \beta$, необходимо и достаточно для разрешимости уравнения (1).

Теорема 1. Уравнение

$$Kx + \sum_{j=1}^{\beta} c_j u_j = y \quad (4)$$

относительно неизвестных $x \in E_1^0$ и c_1, c_2, \dots, c_β — комплексных постоянных, имеет единственное решение при любом $y \in E_2$.

В самом деле, c_1, c_2, \dots, c_β находим из условия разрешимости уравнения $Kx = y - \sum_{j=1}^{\beta} c_j u_j$. В силу соотношения (C) это всегда возможно.

Общее решение последнего уравнения, очевидно, имеет вид $x = \sum_1^{\alpha} \alpha_k x_k + x^*$. Выбираем $\alpha_1, \alpha_2, \dots, \alpha_{\alpha}$ так, чтобы $x \in E_1^0$. В силу соотношения (B) это также всегда возможно. Единственность легко доказывается от противного*.

Следствие 1. Рассмотрим левую часть уравнения (4) как оператор, преобразующий элементы пространства Банаха $\tilde{E}_1: \tilde{E}_1^0: \chi \{x, c_1, c_2, \dots, c_{\beta}\}$, $\|\chi\| = \|\tilde{x}\|_{E_1} + \left\| \sum_1^{\beta} c_j u_j \right\|_{E_2}$ в элементы пространства E_2 . Из теоремы 1 и известной теоремы Банаха (3) вытекает, что оператор \tilde{K} имеет ограниченный обратный \tilde{K}^{-1} .

Следствие 2. Все линейно независимые решения уравнения (2) можно найти, решая уравнения $K\tilde{x} = K\tilde{x}_k, k = 1, 2, \dots, \alpha$.

Введем в пространстве E_2 оператор проектирования $P_N (P_N^2 = P_N)$ на некоторое подпространство M_N , содержащее, начиная с некоторого N , элементы $u_1, u_2, \dots, u_{\beta}$, и будем искать приближенное решение уравнения (2) в виде $\chi_n \{\varphi_n, c_1, c_2, \dots, c_{\beta}\}$, где $\varphi_n \in L_n \subset E_1^0$, из условия $P_N \tilde{K} \chi_n = P_N y$ ($N = n + \beta$).

Теорема 2. Если

$$\|P_N K \varphi_n - K \varphi_n\| \leq \varepsilon_N \|\varphi_n\|, \quad \varepsilon_N \rightarrow 0, \quad N \rightarrow \infty, \quad (D)$$

то, начиная с некоторого N ,

$$\|P_N \tilde{K} \chi_n\| \geq C \|\tilde{K} \chi_n\|, \quad C > 0. \quad (A)$$

Действительно, начиная с некоторого N ,

$$\begin{aligned} \|P_N \tilde{K} \chi_n\| &= \|P_N K \varphi_n + \sum_1^{\beta} c_j u_j\| \|\tilde{K} \chi_n\| - \|P_N K \varphi_n - K \varphi_n\| \geq \\ &\geq \|\tilde{K} \chi_n\| (1 - \varepsilon_N \|\tilde{K}^{-1}\|) \geq C \|\tilde{K} \chi_n\|. \end{aligned}$$

Из результатов работы (4) и теоремы 2 вытекает, что к уравнению (4) при выполнении условия (D) и условия $\sum_1^{\beta} c_j u_j \in M_N$ применимы проекционные приближенные методы решения.

Проиллюстрируем изложенное выше на конкретных уравнениях.
I. Пусть $K = E - \lambda A$, где E — единичный, A — линейный вполне непрерывный операторы, λ — комплексное число. В этом случае $E_1 = E_2$, $\beta = \beta$. Если $e_1, e_2, \dots, e_n, \dots$ — базис в E_1 , а $\bar{g}_1, \bar{g}_2, \dots, \bar{g}_n, \dots$ — базис в E_1 , причем $g_i(e_j) = \delta_{ij}$, то для любых $x \in E_1$ и $\bar{x} \in E_1$ имеем

$$x = \sum_1^{\infty} g_i(x) e_i, \quad \bar{x} = \sum_1^{\infty} \bar{g}_i(x) \bar{e}_i,$$

в частности для решений уравнений (2) и (3)

$$x_k = \sum_1^{\infty} g_i(x_k) e_i, \quad \bar{u}_k = \sum_1^{\infty} \bar{g}_i(u_k) \bar{e}_i.$$

* Аналогичные построения встречаются в работах (1,2) при создании теории так называемой псевдорезольвенты.

Предположим, что наименьшие индексы i_k и j_k , для которых $g_{ik}(x_k) \neq 0$ и $u_k(e_{jk}) \neq 0$, удовлетворяют условию $i_1 < i_2 < \dots < i_\alpha$ и $j_1 < j_2 < \dots < j_\beta$. Этого всегда можно добиться простыми преобразованиями. Легко показать, что в таком случае за элементы \tilde{x}_j можно взять g_{ij} , за $\tilde{x}_k - e_{ik}$, за $u_k - e_{jk}$. Если M_n с ростом n исчерпывает E_1 и $M_n \supseteq L_n$, то (D) выполнено.

Чтобы $e_{jk} \in M_n$, начиная с некоторого n , достаточно считать, что M_n имеет базисом e_1, e_2, \dots, e_n .

Интересно взять в качестве примера уравнение

$$\varphi(x) = a_1(x) \int_0^1 b_1(t) \varphi(t) dt + a_2(x) \int_0^1 b_2(t) \varphi(t) dt + y(x), \quad x \in [0, 1],$$

$$a_1 = \sin \pi x, \quad b_1 = 2 \sin \pi x + \frac{q^4}{\sqrt{1-q^2}} \sin 3\pi x + \sum_4^\infty q^k \sin k\pi x,$$

$$a_2 = 2 \sin 2\pi x + \frac{q^4}{\sqrt{1-q^2}} \sin 3\pi x - \sum_4^\infty q^k \sin k\pi x, \quad b_2 = \sin 2\pi x, \quad 0 < q < 1.$$

Как показано в ⁽⁵⁾, решая это уравнение приближенно методом Галеркина по системе функций $\{\sin k\pi x\}$, мы не можем справиться с задачей нахождения всех его собственных функций. Наш метод дает решение этой задачи.

II. Пусть

$$K = G - \lambda T, \quad T\varphi = \int_\gamma T(t, t_0) \varphi(t) dt, \quad t_0 \in \gamma;$$

$$G\varphi = A(t_0) \varphi(t_0) + \frac{B(t_0)}{\pi i} \int_\gamma \frac{\varphi(t) dt}{t - t_0}, \quad t_0 \in \gamma;$$

γ — окружность единичного радиуса с центром в начале координат. A, B, T (по обоим аргументам) непрерывны по Гельдеру на γ , причем $A^2 - B^2 \neq 0$ на γ .

В этом случае $E_1 = E_2 = L_2$ — пространству функций, суммируемых квадратом на γ ; $\alpha - \beta = \kappa = \frac{1}{2\pi} [\arg G]_\gamma$, $G = (A - B)(A + B)$. M_n имеет базисом: $t^{-n}, t^{-n+1}, \dots, 1, t, \dots, t^{n-1}$. Условие (D) выполнено (см. ⁽⁶⁾) для оператора $K_1\varphi = \frac{K\varphi}{A+B} \chi^-$, где

$$\chi^- = \exp \left[-\frac{1}{2} \ln (G t^{-\kappa}) + \frac{1}{2\pi i} \int_\gamma \frac{\ln (G t^{-\kappa})}{t - t_0} dt \right],$$

и для

$$\varphi_n = \sum_0^n \alpha_k t^k - \sum_{-n}^{-1} \alpha_k t^{k-\kappa}, \quad \kappa \geq 0;$$

$$\varphi_n = \sum_0^n \alpha_k t^k - \sum_{-n-\kappa}^{-1} \alpha_k t^k, \quad \kappa < 0.$$

Следовательно, уравнение $K_1\varphi = \frac{f\chi^-}{A+B}$ и тем самым уравнение $K\varphi = f$ можно решать приближенно методом Галеркина, руководствуясь следующей схемой. Если $\kappa \geq 0$, λ не есть «характеристическое» число ⁽²⁾, то $\alpha = \kappa$; $\beta = 0$; E_1^0 — пространство функций φ , для которых $\int_{\gamma} \frac{\varphi(t) dt}{t-z}$ имеют бесконечности порядок нуля, не меньший, чем $\kappa + 1$. Если $\kappa < 0$, λ — «характеристическое» число, то $\alpha = 0$, $\beta = -\kappa$, и за систему элементов u_2, \dots, u_β можно принять функции $t^{-1}, t^{-2}, \dots, t^{-\kappa}$.

Вычислительный центр
Академии наук УССР

Поступило
12 II 1959

ЦИТИРОВАННАЯ ЛИТЕРАТУРА

¹ W. A. Hurwitz, Trans. Am. Math. Soc., 13 (1912). ² Н. И. Мусхели-
ли, Сингулярные интегральные уравнения, М.—Л., 1946. ³ С. С. Банах, Курс
функционального анализа, Київ, 1948. ⁴ Н. И. Польский, ДАН, 111, № 6 (1956).
Н. И. Польский, Укр. матем. журн., 7, № 1 (1955). ⁶ В. В. Иванов, ДАН,
№ 5 (1957).

В. А. ИЛЬИН и И. А. ШИШМАРЕВ

О СВЯЗИ МЕЖДУ КЛАССИЧЕСКИМ И ОБОБЩЕННЫМ РЕШЕНИЯМИ ЗАДАЧИ ДИРИХЛЕ И ЗАДАЧИ НА СОБСТВЕННЫЕ ЗНАЧЕНИЯ

(Представлено академиком С. Л. Соболевым 17 III 1959)

В настоящей работе изучается связь между классическим и обобщенным решениями задачи Дирихле

$$\begin{aligned} Lu &= -f \quad \text{в области } g, \\ u|_{\Gamma} &= 0 \end{aligned}$$

и задачи на собственные значения

$$\begin{aligned} Lv + \lambda v &= 0 \quad \text{в области } g, \\ v|_{\Gamma} &= 0. \end{aligned}$$

Здесь g — произвольная нормальная* N -мерная область, содержащая вместе с границей Γ в некоторой открытой области C ; L — дифференциальный самосопряженный оператор

$$Lu = \sum_{i,j=1}^N \frac{\partial}{\partial x_i} \left[a_{ij}(x) \frac{\partial u}{\partial x_j} \right] - c(x)u$$

эллиптического типа, определенный в области C , т. е. такой, что при $x = (x_1, x_2, \dots, x_N) \in C$ выполнены условия:

$$a_{ij}(x) = a_{ji}(x), \quad \sum_{i,j=1}^N a_{ij} \xi_i \xi_j \geq \alpha \sum_{i=1}^N \xi_i^2,$$

где $\alpha = \text{const} > 0$, для любых вещественных $\xi_1, \xi_2, \dots, \xi_N$. Кроме того предполагается, что всюду в области C $c(x) \geq 0$.

Известно, что классическим решением задачи (1) (классической собственной функцией задачи (2)) называется такая функция $u(x)$ (такая не равная тождественно нулю функция $v(x)$), которая: 1) непрерывна в замкнутой области $(g + \Gamma)$; 2) обладает всюду внутри g непрерывными производными до 2-го порядка; 3) удовлетворяет всюду внутри области g (для некоторого λ) уравнению $Lu = -f$ ($\Gamma u + \lambda v = 0$); 4) обращается в нуль на поверхности Γ .

Обобщенным решением задачи (1) (соответственно обобщенной собственной функцией задачи (2)) называется такая функция

* Область g называется нормальной, если в этой области разрешима задача Дирихле для уравнения Лапласа при любой непрерывной граничной функции. Относительно конкретных условий, которые нужно наложить на область g , чтобы она была нормальной, см. (1).

$u(x) \in \overset{0}{D}(g)$ * (соответственно такая не равная тождественно нулю функция $v(x) \in \overset{0}{D}(g)$), которая для любой функции $\phi(x)$ из $\overset{0}{D}(g)$ удовлетворяет интегральному тождеству:

$$\int_g \left[\sum_{i,j=1}^N a_{ij} \frac{\partial u}{\partial x_i} \frac{\partial \phi}{\partial x_j} + cu\phi - f\phi \right] dx = 0, \quad (5)$$

соответственно

$$\int_g \left[\sum_{i,j=1}^N a_{ij} \frac{\partial v}{\partial x_i} \frac{\partial \phi}{\partial x_j} + cv\phi - \lambda v\phi \right] dx = 0. \quad (6)$$

Известно (2), что классическое решение задачи (1) существует и единственно, если выполнены следующие предположения: 1) g — нормальная область, содержащаяся вместе с границей в некоторой открытой области S ; 2) коэффициенты оператора L принадлежат в области S классам **

$$a_{ij}(x) \in C^{(1, \mu)}, \quad c(x) \in C^{(0, \mu)} \quad (\mu > 0) \quad (7)$$

удовлетворяют в этой области условиям (4) и условию $c(x) \geq 0$; 3) $f(x)$ непрерывна в замкнутой области $(g + \Gamma)$ и принадлежит классу $C^{(0, \mu)}$ ($\mu > 0$) в открытой области g .

Обобщенное решение задачи (1) существует и единственно, если выполнены следующие условия (см. (3), стр. 126): 1) g — произвольная ограниченная связная область; 2) $a_{ij}(x)$ и $c(x)$ измеримы и ограничены в области g и удовлетворяют в g условиям (4) и условию $c(x) \geq 0$; 3) $f(x) \in L_2(g)$.

Существование классических собственных функций вытекает из работ Киро (их изложение см. в книге (4), гл. 3) и теории интегральных уравнений, но лишь для областей с границами типа Ляпунова. Мы доказываем, что полная ортонормированная система классических собственных функций существует для произвольной нормальной области g , если выполнены первые два из указанных выше требований, обеспечивающих существование классического решения задачи (1). (Для доказательства используются результаты Таутца (2), свойства функции Грина нормальной области и теория интегральных уравнений с полярным ядром.)

Существование полной ортонормированной системы обобщенных собственных функций установлено (см. (3), стр. 126) при условии, что выполнены первые два из указанных выше требований, обеспечивающих существование обобщенного решения задачи (1).

Таким образом, мы видим, что требования, обеспечивающие существование классических решений задач (1) и (2), и подавно обеспечивают существование обобщенных решений тех же задач. Естественно возникает вопрос, совпадают ли при этом классические и обобщенные решения задач (1) и (2). До последнего времени не удавалось решить этот вопрос даже при гораздо более жестких ограничениях на область g и коэффициенты оператора L , чем те, которые необходимы для существования классического решения задач (1) и (2), хотя и предпринимались попытки получить резуль-

* Классом $\overset{0}{D}(g)$ называется замыкание в норме $W_2^{(1)}(g)$ множества всех непрерывно дифференцируемых в области g функций, равных нулю вблизи границы g .

** Говорят, что функция $f(x)$ принадлежит в ограниченной замкнутой области T классу $C^{(k, \mu)}$, если k -е производные $f(x)$ удовлетворяют в T условию Гельдера с показателем μ . Говорят, что $f(x)$ принадлежит классу $C^{(k, \mu)}$ в открытой области S , если $f(x)$ определена в области S и принадлежит классу $C^{(k, \mu)}$ в любой замкнутой области T , содержащейся в S .

таты в этом направлении (см. ⁽⁵⁾ и ⁽³⁾), стр. 149 — 155, а также ⁽⁶⁾, стр. 46). Лишь для частного вида оператора L ($a_{ij} = 0$ при $i \neq j$, $a_{11} = a_{22}$) и для случая $N = 2$ этот вопрос решен в утвердительном смысле Р. Курантом (⁽⁷⁾, стр. 460 — 482), но при весьма жестких ограничениях на коэффициенты оператора.

В настоящей работе будет доказано, что классическое и обобщенное решения задачи (1) (соответственно полные системы классических и обобщенных собственных функций задачи (2)) совпадают между собой почти всюду в области g , если только выполнены указанные выше условия, обеспечивающие существование классического решения задачи (1) (соответственно задачи (2)).

Теорема 1. Пусть область g , коэффициенты оператора L и правая часть уравнения $f(x)$ удовлетворяют следующим условиям: 1) область g нормальна; 2) $a_{ij}(x)$, $c(x)$ принадлежат классам (7) в некоторой открытой области S , содержащей g с границей, и удовлетворяют в S условиям (4) и условиям $c(x) \geq 0$; 3) $f(x)$ непрерывна в замкнутой области $(g + \Gamma)$ и принадлежит классу $C^{(0,\mu)}$ ($\mu > 0$) в открытой области g .

Тогда классическое решение задачи (1) почти всюду в g совпадает с обобщенным решением этой задачи.

Теорема 2. Пусть область g и коэффициенты оператора L удовлетворяют тем же требованиям, что и в теореме 1. Тогда полная ортонормированная система классических собственных функций задачи (2) является одновременно полной ортонормированной системой обобщенных собственных функций этой задачи.

Замечание 1. Если область g не только нормальна, но и ограничена поверхностью Γ типа Ляпунова, то в условиях теорем 1 и 2 достаточно потребовать, чтобы коэффициенты $a_{ij}(x)$ и $c(x)$ принадлежали классам (7) и удовлетворяли условиям (4) и $c(x) \geq 0$ только в самой области g . В самом деле, в этом случае указанные коэффициенты можно продолжить с сохранением всех отмеченных выше условий на любую открытую область S и даже на всё N -мерное пространство (см. ⁽⁴⁾, стр. 77 — 78).

¹⁰. Наметим схему доказательства теорем 1 и 2. Пусть $K_0(x, y)$ — фундаментальное решение уравнения $Lu = 0$ в некоторой области T , ограниченной поверхностью типа Ляпунова и такой, что $(g + \Gamma) \subset T \subset S$. Рассмотрим обобщенный объемный потенциал $\bar{v}(x) = \int_g K_0(x, y) f(y) dy$. В си-

лу известных (см. ⁽⁴⁾, стр. 35 — 37) свойств объемного потенциала $\bar{v}(x)$ имеет внутри области g непрерывные производные до второго порядка, удовлетворяет внутри g уравнению $L\bar{v} = -f$ и принадлежит в области $(g + \Gamma)$ классу $C^{(1,\mu)}$ ($0 < \mu < 1$), а стало быть, и по давню $\bar{v} \in W^{(1)}(g)$.

Лемма 1. Для того чтобы функция $u(x)$ была обобщенным решением задачи Дирихле (1), необходимо и достаточно, чтобы функция $w(x) = u(x) - \bar{v}(x)$ была обобщенным решением задачи Дирихле

$$Lw = 0 \quad \text{в области } g$$

$$(w + \bar{v})|_{\Gamma} = 0. \quad (8)$$

Лемма 2. Пусть $w^{(g)}(x)$ — обобщенное решение задачи (8), $w^{(g')}(x)$ — обобщенное решение задачи

$$Lw = 0 \quad \text{в области } g'$$

$$[w - w^{(g)}]|_{\Gamma} = 0,$$

где g' — произвольная строго внутренняя подобласть области g , а Γ' — ее граница. Тогда, всюду в g' $w^{(g')}(x) = w^{(g)}(x)$.

Мы рассматриваем последовательность областей g_n с границами Γ_n типа Ляпунова такую, что все g_n содержатся вместе с границами в g .

то всякое замкнутое множество, лежащее внутри g , принадлежит всем областям g_n , начиная с некоторого номера. Легко доказать, используя лемму 1 и результат Жиро ((⁸), стр. 42), что в каждой области g_n классическое и обобщенное решения задачи

$$Lw = -f \quad \text{в области } g_n, \quad (9)$$

$$w|_{\Gamma_n} = 0$$

совпадают между собой. Из обобщенной теоремы Винера заключаем, что последовательность классических решений задачи (9) сходится к классическому решению задачи (1) равномерно в любой строго внутренней подобласти g' области g . С помощью леммы 2 удастся доказать, что последовательность обобщенных решений задачи (9) сходится к обобщенному решению задачи (1) в любой строго внутренней подобласти g' в норме $W_2^{(1)}(g')$. Тем самым теорема 1 доказана.

2°. Теорема 2 является непосредственным следствием теоремы 1 и установленной выше полноты системы классических собственных функций. С помощью теоремы 1 легко доказать, что каждая классическая собственная функция задачи (2) имеет квадратично суммируемые по области g первые производные, а, стало быть, для любой $\psi \in D^0(g)$ удовлетворяет интегральному тождеству (6), т. е. является обобщенной собственной функцией этой задачи).

З а м е ч а н и е 2. Отметим, что теорема 1 может быть обобщена на случай, когда область g не является нормальной, а представляет собой произвольную связную ограниченную N -мерную область. Имеет место следующее утверждение:

Т е о р е м а 3. Пусть выполнены все условия теоремы 1, за исключением требования нормальности области g , которая теперь предполагается лишь ограниченной и связной. Тогда обобщенное (в определенном выше смысле) решение задачи (1) совпадает почти всюду в области g с обобщенным в смысле Винера (см. (⁴), стр. 105 — 107) решением этой задачи.

В частности, это означает, что обобщенное решение имеет внутри области непрерывные вторые производные и удовлетворяет внутри g уравнению $Lu = -f$ в классическом смысле.

З а м е ч а н и е 3. Изложенный выше метод позволяет в предположениях теоремы 1 доказать совпадение классического и обобщенного решений рассматриваемой задачи Дирихле:

$$Lu = -f \quad \text{в области } g,$$

$$u|_{\Gamma} = \varphi,$$

если только функция $\varphi(x)$ непрерывно дифференцируема в замкнутой области $(g + \Gamma)$ и принадлежит классу $C^{(1,\mu)}$ ($\mu > 0$) в открытой области g .

Московский государственный университет
им. М. В. Ломоносова

Поступило
24 II 1959

ЦИТИРОВАННАЯ ЛИТЕРАТУРА

- ¹ М. В. Келдыш, Усп. матем. наук, 8, 171 (1941). ² G. Tautz, Math. Nachr., 2, 279 (1949). ³ С. Г. Михлин, Проблема минимума квадратичного функционала, 1952. ⁴ К. Миранда, Уравнения с частными производными эллиптического типа, М., 1957. ⁵ С. Г. Михлин, ДАН, 77, № 3 (1951). ⁶ О. А. Ладыженская, Смешанная задача для гиперболического уравнения, 1953. ⁷ Р. Курант, Д. Гильберт, Методы математической физики, 2, 1951. ⁸ G. Giraud, Bull. Soc. Math. France, 61, 1 (1933).

И. С. КАЦ

О ГУСТОТЕ СПЕКТРА СТРУНЫ

(Представлено академиком С. Л. Соболевым 14 III 1959)

1. Рассмотрим струну S , натянутую единичной силой между точками $x = 0$ и $x = L$ ($0 < L \leq \infty$) вещественной оси. Пусть $M(x)$ при $0 < x < L$ — масса замкнутого слева интервала $[0, x)$ струны S и $M(0) = 0$. Будем считать, что левый конец струны закреплен одним из обычных способов (неподвижно закреплен или может свободно скользить по направлению, перпендикулярному к равновесному положению струны).

Конец $x = L$ будем называть регулярным, если $L < \infty$ и $M(L) = \lim_{x \uparrow L} M(x) < \infty$.

В противном случае конец $x = L$ назовем сингулярным (мы исключаем из рассмотрения случай, когда $L = \infty$, а $M(x)$, начиная с некоторого значения x , сохраняет постоянное значение).

Если конец $x = L$ регулярен, то будем считать, что он закреплен одним из обычных способов; если же он сингулярен, то не будем накладывать на этом конце механических связей. С п е к т р о м р е г у л я р н о й с т р у н ы будем называть совокупность квадратов частот ее собственных колебаний. Определение спектра в случае сингулярности конца $x = L$ дано в (1), стр. 137.

Спектр регулярной струны всегда дискретен, т. е. представляет собой последовательность (не обязательно бесконечную) неотрицательных вещественных чисел, не имеющую предельных точек, отличных от бесконечности. Для сингулярной струны критерий дискретности спектра был получен в (1).

Как следует из работы М. Г. Крейна (2), любая возрастающая последовательность чисел $(0 \leq) \lambda_0 < \lambda_1 < \lambda_2 < \dots$ может служить спектром некоторой струны. Поэтому могут представить интерес приведенные в настоящей статье предложения, выясняющие условия, при которых спектр струны является такой последовательностью чисел $(0 \leq) \lambda_0 < \lambda_1 < \lambda_2 < \dots$, что при некотором $\alpha > 0$ сходится ряд

$$\sum_{j=1}^{\infty} \frac{1}{\lambda_j^\alpha}.$$

При $\alpha = 1$ окончательный результат в этом направлении был получен М. Г. Крейном ((1), стр. 140) еще в 1952 г.

2. Следующая теорема дает достаточные условия сходимости ряда (1) при $0 < \alpha < 1$.

Теорема 1. Если при некотором $\alpha \in (0, 1)$ выполняется условие

$$\int_{-0}^L dM(x) \int_x^L \left[\int_{x-0}^s (s-r) dM(r) \right]^{\alpha-1} ds < \infty$$

и дуальное* условие

$$\int_0^L dx \int_x^L \left[\int_x^s (M(s) - M(r)) dr \right]^{\alpha-1} dM(s) < \infty,$$

спектр струны S состоит из чисел $(0 \leq) \lambda_0 < \lambda_1 < \lambda_2 < \dots$ таких, что при этом α сходится ряд (1).

При некоторых добавочных ограничениях, наложенных на $M(x)$, теорема 1 допускает уточнения, заключающиеся в приведенных ниже теоремах 2 и 3 и дуальных* им предложениях, формулировки которых мы опускаем из-за недостатка места.

Теорема 2. Если найдется такое $l \in (0, L)$, что $M'(x)$ существует в каждой точке интервала (l, L) и не убывает на нем, то для того чтобы спектр струны S состоял из чисел $(0 \leq) \lambda_0 < \lambda_1 < \lambda_2 < \dots$ таких, что при некотором $\alpha \in (1/2, 1)$ сходится ряд (1), необходимо и достаточно, чтобы при этом α сходилась интеграл

$$\int_l^L dM(x) \int_x^L \left[\int_x^s (s - r) dM(r) \right]^{\alpha-1} ds.$$

Формулируемая ниже теорема 3 касается «стильтьесовской» струны. Следуя М. Г. Крейну, будем называть струну, представляющую собой нить, несущую только сосредоточенные массы с единственной предельной точкой $x = L$. Говоря о стильтьесовской струне, будем считать, что $(0 \leq) x_1 < x_2 < \dots$ — точки сосредоточения масс, а m_1, m_2, \dots — их величины.

Теорема 3. Если S — стильтьесовская струна такая, что, начиная с некоторого значения j , числа m_j не убывают, а числа $l_j = x_{j+1} - x_j$ не возрастают, то для того чтобы спектр струны S состоял из чисел $(0 \leq) \lambda_0 < \lambda_1 < \lambda_2 < \dots$ таких, что при некотором $\alpha \in (0, 1)$ сходится ряд (1), необходимо и достаточно, чтобы при этом α выполнялось условие (2).

Для натуральных α имеет место следующее предложение.

Теорема 4. Для того чтобы спектр струны S состоял из чисел $(0 \leq) \lambda_0 < \lambda_1 < \lambda_2 < \dots$ таких, что ряд (1) сходится при $\alpha = n$, где n — натуральное число, необходимо и достаточно, чтобы сходилась хотя бы один из следующих интегралов:

$$= \int_Q \dots \int T(x_1, x_2) T(x_2, x_3) \dots T(x_{n-1}, x_n) T(x_n, x_1) dx_1 dx_2 \dots dx_n,$$

$$= \int_Q \dots \int \tilde{T}(x_1, x_2) \tilde{T}(x_2, x_3) \dots \tilde{T}(x_{n-1}, x_n) \tilde{T}(x_n, x_1) dx_1 dx_2 \dots dx_n,$$

где Q — множество всех тех точек (x_1, x_2, \dots, x_n) , у которых $0 \leq x_1 \leq x_2 \leq \dots \leq x_n \leq L$; $T(u, v)$, $\tilde{T}(u, v)$ — симметричные ядра, определенные при $u \leq v$ равенствами $T(u, v) = M(u)$, $\tilde{T}(u, v) = M(L) - M(v)$. Заметим, что при $n = 1$ из теоремы 4 вытекает упомянутое в конце 1 предложение М. Г. Крейна. Отметим еще, что при $n = 2$ интегралы (1) и \tilde{T}_n приобретают простой вид:

$$I_2 = 1/2 \int_0^L (L - x)^2 d[M^2(x)], \quad \tilde{I}_2 = 1/2 \int_0^L [M(L) - M(x)]^2 d(x^2).$$

* Два условия или два предложения для струны называются дуальными, если одно получается из другого путем перемены ролей x и $M(x)$.

3. Рассмотрим дифференциальную систему

$$-\frac{d^2\eta}{d\xi^2} + q(\xi)\eta - \lambda\eta = 0 \quad (0 \leq \xi < \infty),$$

$$\eta(0) = 1, \quad \eta'(0) = h,$$

где $q(\xi) \geq 0$ — функция, суммируемая на каждом конечном интервале $h \geq 0$.

Пусть $\Phi(\xi)$ — решение системы (3) при $\lambda = 0$. Спектр этой системы совпадает (см. (1), § 3) со спектром струны S , у которой функция $M(x)$ определяется равенствами

$$x = \int_0^\xi \Phi^{-2}(\zeta) d\zeta, \quad M(x) = \int_0^\xi \Phi^2(\zeta) d\zeta, \quad L = \int_0^\infty \Phi^{-2}(\zeta) d\zeta.$$

Так как $q(\xi) \geq 0$, то $\Phi(\xi)$ является неубывающей на $(0, \infty)$ функцией, и, следовательно, $dM/dx = \Phi^4(\xi)$ не убывает на $(0, L)$. Поэтому теорема 1 приводит нас к следующему выводу:

Для того чтобы спектр системы (3) состоял из чисел $\lambda_0 < \lambda_1 < \lambda_2 < \dots$ таких, что при некотором $\alpha \in (1/2, 1)$ сходится ряд (1), необходимо и достаточно, чтобы при этом α сходился интеграл

$$\int_0^\infty d\xi \int_\xi^\infty \left[\int_\xi^\zeta d\mu \int_\mu^\zeta \frac{\Phi^2(\mu)}{\Phi^2(\nu)} d\nu \right]^{\alpha-1} \frac{\Phi^2(\xi)}{\Phi^2(\zeta)} d\zeta.$$

Предложения, приведенные в п. 2, позволяют сформулировать и ряд других результатов как для системы (3), так и для систем более общего вида.

4. Результаты, относящиеся к стильтесовской струне, т. е. теоремы 1, 3 и 4 и предложение, дуальное теореме 3, позволяют дополнить (см. (1) и (2), стр. 138, 139) исследования Стильтеса о непрерывных дробях (3). Так, например, из теоремы 4 при $n = 2$ можно получить следующее предложение:

Для того чтобы непрерывная дробь

$$\frac{1}{|a_1 z|} + \frac{1}{|a_2|} + \frac{1}{|a_3 z|} + \frac{1}{|a_4|} + \dots$$

сходилась к мероморфной от z функции, полюсы которой расположены в точках $(0 \leq) \lambda_0 < \lambda_1 < \lambda_2 < \dots$ таких, что при $\alpha = 2$ сходится ряд (1) необходимо и достаточно, чтобы:

либо

$$1) \sum_{j=1}^{\infty} a_{2j-1} = \infty, \quad \sum_{k=1}^{\infty} a_{2k} \left(\sum_{j=1}^k a_{2j-1} \right)^2 \left(a_{2k} + 2 \sum_{j=k+1}^{\infty} a_{2j} \right) < \infty;$$

либо

$$2) \sum_{j=1}^{\infty} a_{2j} = \infty, \quad \sum_{k=1}^{\infty} a_{2k+1} \left(\sum_{j=1}^k a_{2j} \right)^2 \left(a_{2k+1} + 2 \sum_{j=k+1}^{\infty} a_{2j+1} \right) < \infty.$$

Поступило
20 XI 1958

ЦИТИРОВАННАЯ ЛИТЕРАТУРА

¹ И. С. К а ц, М. Г. К р е й н, Изв. Высш. учебн. завед., Математика, № 2 (1958). ² М. Г. К р е й н, ДАН, 87, № 6, 881 (1952). ³ Т. И. С т и л ь т е с, Исследования о непрерывных дробях, 1936.

Е. И. КИМ и Л. П. ИВАНОВА

СМЕШАННАЯ ГРАНИЧНАЯ ЗАДАЧА ДЛЯ ОДНОЙ СИСТЕМЫ ДИФФЕРЕНЦИАЛЬНЫХ УРАВНЕНИЙ ПАРАБОЛИЧЕСКОГО ТИПА

(Представлено академиком С. Л. Соболевым 13 III 1959)

1. Рассмотрим систему дифференциальных уравнений

$$\frac{\partial u_i}{\partial t} = \sum_{k=1}^n a_{ik} \Delta u_k, \quad \Delta = \frac{\partial^2}{\partial x^2} + \frac{\partial^2}{\partial y^2} \quad (i = 1, 2, \dots, n), \quad (1)$$

где a_{ik} — постоянные комплексные величины, удовлетворяющие следующим условиям:

Все корни уравнения

$$|A - \lambda E| = 0, \quad (2)$$

где $A = \|a_{ij}\|$; E — единичная матрица, различны и $\operatorname{Re} \lambda > 0$.

Будем искать решение уравнения (1) в области D , ограниченной кусочно-гладкой замкнутой кривой C , удовлетворяющее начальному условию

$$u_i(x, y, t)|_{t=0} = f_i(x, y) \quad (3)$$

граничному условию

$$u_i|_C = \varphi_i(s, t) \quad (i = 1, 2, \dots, n) \quad (4)$$

или

$$\left(\frac{\partial u_i}{\partial n} + \sum_{k=1}^n \alpha_{ik}(s, t) u_k \right) \Big|_C = \varphi_i(s, t) \quad (i = 1, 2, \dots, n), \quad (5)$$

где $f_i(x, y)$ — функции, имеющие ограниченные производные первого порядка в D^* ; $\alpha_{ik}(s, t)$, $\varphi_i(s, t)$ непрерывны по t , а относительно s они ограниченные и периодические с периодом длины дуги кривой C .

Кроме того, на эти функции и кривую C налагаем следующее условие: кривую C можно разбить на конечное число дуг, внутри которых $\varphi_i(s, t)$ и $\alpha_{ik}(s, t)$ непрерывны в смысле Гельдера.

2. Фундаментальные решения системы (1) мы будем искать в следующем виде:

$$G_i^{(k)}(x - \xi, y - \eta, t - \tau) = \sum_{j=1}^n C_j^k B_{ij} \frac{\exp \left[-\frac{(x - \xi)^2 + (y - \eta)^2}{4\lambda_j(t - \tau)} \right]}{4\pi\lambda_j(t - \tau)} \quad (6)$$

$$(i, k = 1, 2, \dots, n).$$

Требуется определить λ_j и B_{ij} таким образом, чтобы функции (6) удовлетворяли системе (1). Так как функции

$$g_j(x - \xi, y - \eta, t - \tau) = \frac{\exp \left[-\frac{(x - \xi)^2 + (y - \eta)^2}{4\lambda_j(t - \tau)} \right]}{4\pi\lambda_j(t - \tau)}$$

* Для первой граничной задачи $f_i(x, y)$ непрерывны и ограничены в области D .

удовлетворяют условиям

$$\frac{\partial g_j}{\partial t} = \lambda_j \left(\frac{\partial^2 g_j}{\partial x^2} + \frac{\partial^2 g_j}{\partial y^2} \right) = \lambda_j \Delta g_j, \quad (7)$$

то из (6) следует

$$\begin{aligned} \sum_{v=1}^n a_{iv} \Delta G_v^k &= \sum_{j=1}^n C_j^k \left(\sum_{v=1}^n a_{iv} B_{vj} \right) \Delta g_j = \\ &= \sum_{j=1}^n C_j^k \left(\sum_{v=1}^n a_{iv} B_{vj} \right) \frac{1}{\lambda_j} \frac{\partial}{\partial t} g_j = \frac{\partial}{\partial t} \sum_{j=1}^n C_j^k \left(\sum_{v=1}^n a_{iv} B_{vj} \right) \frac{1}{\lambda_j} g_j. \end{aligned} \quad (8)$$

Если мы выберем λ_j и B_{ij} таким образом, что

$$\sum_{v=1}^n a_{iv} B_{vj} = \lambda_j B_{ij} \quad (i = 1, 2, \dots, n), \quad (9)$$

из равенства (8) следует

$$\sum_{v=1}^n a_{iv} \Delta G_v^{(k)} = \frac{\partial G_i^{(k)}}{\partial t} \quad (i, k = 1, 2, \dots, n).$$

Для того чтобы система (9) имела нетривиальное решение B_{ii} , необходимо и достаточно, чтобы λ_j удовлетворяли уравнению

$$|A - \lambda E| = 0. \quad (10)$$

По условию это уравнение имеет n различных корней $\lambda_1, \lambda_2, \dots, \lambda_n$, следовательно, матрица $\|B_{ij}\|$ несобственная ⁽¹⁾.

Для определения C_j^k рассмотрим систему линейных алгебраических уравнений

$$\sum_{j=1}^n C_j^k B_{ij} = \begin{cases} 0, & k \neq i, \\ 1, & k = i. \end{cases} \quad (11)$$

В силу неособенности матрицы $\|B_{ij}\|$ система (11) разрешима однозначно.

3. Теперь рассмотрим следующие интегралы:

$$v_i^0(x, y, t) = \sum_{k, j=1}^n A_{ij}^k \iint_D g_j(x - \xi, y - \eta, t - \tau) f_k(\xi, \eta) d\xi d\eta; \quad (12)$$

$$v_i(x, y, t) = \sum_{k, j=1}^n A_{ij}^k \int_0^t dt \int_C \frac{\psi_k(\sigma, \tau)}{2\pi(t - \tau)} \exp \left[-\frac{r_{pp_1}^2}{4\lambda_j(t - \tau)} \right] d\sigma_{p_1}; \quad (13)$$

$$w_i(x, y, t) = \sum_{k, j=1}^n A_{ij}^k \int_0^t d\tau \int_C \frac{\psi_k(\sigma, \tau)}{4\pi\lambda_j(t - \tau)} \exp \left[-\frac{r_{pp_1}^2}{4\lambda_j(t - \tau)} \right] r_{pp_1} \cos(n_{p_1} r_{pp_1}) d\sigma_{p_1} \quad (14)$$

$$(i = 1, 2, \dots, n),$$

где r_{pp_1} — расстояние между двумя точками $p(x, y)$ и $p_1(\xi, \eta)$, $A_{ij}^k = C_j^k B_{ij}$.
Следовательно,

$$\sum_{j=1}^n A_{ij}^k = \begin{cases} 0, & k \neq i, \\ 1, & k = i. \end{cases} \quad (15)$$

Непосредственным дифференцированием можно доказать, что три системы функций (12), (13), (14) удовлетворяют системе (1) в области D для любых функций f_k, ψ_k .

Если функции f_k непрерывны и ограничены в области D , то на основании известных свойств ⁽²⁾

$$\begin{aligned}\lim_{t \rightarrow 0} v_i^0(x, y, t) &= \sum_{k, j=1}^n A_{ij}^k \lim_{t \rightarrow 0} \iint_D g_j(x - \xi, y - \eta, t - \tau) f_k(\xi, \eta) d\xi d\eta = \\ &= \sum_{k, j=1}^n A_{ij}^k f_k(x, y) = \sum_{k=1}^n f_k(x, y) \sum_{j=1}^n A_{ij}^k = f_i(x, y),\end{aligned}$$

е.

$$\lim_{t \rightarrow 0} v_i^0(x, y, t) = f_i(x, y). \quad (16)$$

Если в окрестности точки $p_0(x_s, y_s)$ дуга кривой C гладка и на этой дуге функции $\phi_k(s, t)$ непрерывны в смысле Гельдера, то на основании известных свойств тепловых потенциалов ⁽³⁾ мы имеем

$$w_v^{(i)}(x_s, y_s, t) = \phi_v(s, t) +$$

$$\sum_{k, j=1}^n A_{vj}^k \int_0^t d\tau \int_C \frac{\psi_k(\sigma, \tau)}{4\pi\lambda_j(t-\tau)^2} \exp\left[-\frac{r_{p_0 p_1}^2}{4\lambda_j(t-\tau)}\right] r_{p_0 p_1} \cos(n_{p_1} r_{p_0 p_1}) d\sigma_{p_1}; \quad (17)$$

$$w_v^{(l)}(x_s, y_s, t) = -\phi(s, t) +$$

$$\sum_{k, j=1}^n A_{vj}^k \int_0^t d\tau \int_C \frac{\psi_k(\sigma, \tau)}{4\pi\lambda_j(t-\tau)} \exp\left[-\frac{r_{p_0 p_1}^2}{4\lambda_j(t-\tau)}\right] r_{p_0 p_1} \cos(n_{p_1} r_{p_0 p_1}) d\sigma_{p_1}; \quad (18)$$

$$\left(\frac{\partial v_v}{\partial n}\right)_i = -\phi_v(s, t) +$$

$$+ \sum_{k, j=1}^n A_{vj}^k \int_0^t d\tau \int_C \frac{\psi_k(\sigma, \tau)}{4\pi\lambda_j(t-\tau)} \exp\left[-\frac{r_{p_0 p_1}^2}{4\lambda_j(t-\tau)}\right] r_{p_0 p_1} \cos(n_{p_1} r_{p_0 p_1}) d\sigma_{p_1}; \quad (19)$$

$$\left(\frac{\partial v_v}{\partial n}\right)_l = \phi_v(s, t) +$$

$$\sum_{k, j=1}^n A_{vj}^k \int_0^t d\tau \int_C \frac{\psi_k(\sigma, \tau)}{4\pi\lambda_j(t-\tau)} \exp\left[-\frac{r_{p_0 p_1}^2}{4\lambda_j(t-\tau)}\right] r_{p_0 p_1} \cos(n_{p_1} r_{p_0 p_1}) d\sigma_{p_1}. \quad (20)$$

Функции v_i и w_i обладают теми же свойствами, что и тепловые потенциалы простого и двойного слоев. Поэтому эти функции мы назовем «потенциалами» системы (1). С помощью этих «потенциалов» мы сведем нашу задачу к решению системы интегральных уравнений,

4. Решения будем искать в виде:

я первой задачи

$$u_i(x, y, t) = v_i^0(x, y, t) + w_i(x, y, t) \quad (i = 1, 2, \dots, n); \quad (21)$$

я второй задачи

$$u_i(x, y, t) = v_i^0(x, y, t) + v_i(x, y, t) \quad (i = 1, 2, \dots, n). \quad (22)$$

Невидно, что эти функции удовлетворяют системе (1) и начальному условию (3).

Подберем ϕ_k так, чтобы системы функций (21) и (22) удовлетворяли соответственно граничным условиям (4), (5). Для этого функции u_i , определяемые формулами (21), (22), подставим в (4), (5); получим следующую систему интегральных уравнений:

$$\phi_i(s, t) = \sum_{j=1}^n \int_0^t d\tau \int_C K_{ij}(p_0, p_1, t, \tau) \phi_j(\sigma, \tau) d\sigma_{p_1} + F_i(s, t) \quad (i = 1, 2, \dots, n) \quad (24)$$

где:

для первой задачи

$$K_{ij}(p_0, p_1, t, \tau) = - \sum_{k=1}^n A_{ik}^j \frac{\exp \left[-\frac{r_{p_0 p_1}^2}{4\lambda_k (t-\tau)} \right]}{4\pi\lambda_k (t-\tau)^2} r_{p_0 p_1} \cos(n_{p_1} r_{p_0 p_1}); \quad (24)$$

для второй задачи

$$K_{ij}(p_0, p_1, t, \tau) = \sum_{k=1}^n A_{ik}^j \frac{\exp \left[-\frac{r_{p_0 p_1}^2}{4\lambda_k (t-\tau)} \right]}{4\pi\lambda_k (t-\tau)^2} r_{p_0 p_1} \cos(n_{p_0} r_{p_0 p_1}) + \\ + \sum_{m,k=1}^n \alpha_{im} A_{mk}^j \frac{\exp \left[-\frac{r_{p_0 p_1}^2}{4\lambda_k (t-\tau)} \right]}{2\pi (t-\tau)}; \quad (25)$$

для первой задачи

$$F_i(s, t) = \varphi_i(s, t) - v_i^0|_C; \quad (26)$$

для второй задачи

$$F_i(s, t) = \varphi_i(s, t) - \frac{\partial v_i^0}{\partial n} \Big|_C - \sum_{k=1}^n \alpha_{ik} v_k^0 \Big|_C. \quad (27)$$

Если функции $f_i(x, y)$ имеют ограниченные непрерывные производные первого порядка в области D^* , то

$$|F_i(s, t)| \leq P. \quad (28)$$

Если кривую C можно разбить на конечное число дуг типа Ляпунова, то на этих дугах

$$|K_{ij}(p_0, p_1, t, \tau)| \leq M \frac{\exp \left[-\delta^2 \frac{r_{p_0 p_1}^2}{t-\tau} \right]}{(t-\tau)^{3/2-\varepsilon}} \quad (\varepsilon > 0). \quad (29)$$

Систему интегральных уравнений (23) при условиях (28) и (29) можно решить методом последовательных приближений.

В заключение заметим, что система интегральных уравнений (23) имеет место, когда формулы (17) — (20) справедливы. Например, в точках излома кривой C эта система не имеет места. Следовательно, в таких точках функции ϕ_k не определяются, но это не влияет на определение u_i .

Полученные нами результаты легко обобщаются на многомерный случай.

Харьковский политехнический институт
им. В. И. Ленина

Поступило
10 III 1959

Казахский государственный университет
им. А. А. Жданова

ЦИТИРОВАННАЯ ЛИТЕРАТУРА

- ¹ И. Г. Петровский, Лекции об уравнениях с частными производными, 1950, стр. 75—76. ² С. Л. Соболев, Уравнения математической физики, 1947, стр. 115—120. ³ А. Н. Тихонов, Bull. de l'Univ. d'état de Moscou, sér. internationale, 1, f. (1938).

* Только для второй задачи.

И. А. КИПРИЯНОВ

ДРОБНАЯ ПРОИЗВОДНАЯ И ТЕОРЕМЫ ВЛОЖЕНИЯ

(Представлено академиком С. Л. Соболевым 28 II 1959)

Пусть $f(Q)$ — суммируемая функция, определенная в выпуклой области Ω n -мерного евклидова пространства. Пусть P — фиксированная точка области Ω , а $Q(r, e)$ — произвольная точка той же области, где e — единичный вектор, имеющий направление от P к Q ; r — расстояние между точками P и Q .

Если существует суммируемая по (P, Q) функция $f^{(\alpha)}(P, Q)$ ($0 < \alpha < 1$), удовлетворяющая интегральному равенству

$$\int_0^r f^{(\alpha)}(P, P + et) t^{n-1} dt = \frac{1}{\Gamma(1-\alpha)} \int_0^r (r-t)^{-\alpha} [f(P+et) - f(P)] t^{n-1} dt, \quad (1)$$

назовем ее дробной производной функции f порядка α в точке Q по направлению e . Если же равенство (1) выполняется почти всех $P, Q \in \Omega$, то функцию $f^{(\alpha)}$ называем дробной производной функции f порядка α в области Ω .

Гладкость функций f в терминах дробных производных $f^{(\alpha)}$ формулируется следующим образом.

Теорема 1. Если $f^{(\alpha)}(P, Q)$ ограничена по (P, Q) , то $f \in \text{Lip } \alpha$.

Теорема 2. Если $f^{(\alpha)}(P, Q)$ принадлежит L_p ($p > 1$) по (P, Q) и $1/p$, то $f \in \text{Lip}(\alpha - 1/p, p)^*$.

Имеют место и обратные утверждения, которые указывают классы функций f , имеющих производную порядка α .

Теорема 3. Если $0 < \alpha < \beta \leq 1$ и $f \in \text{Lip } \beta$, то $f^{(\alpha)}(P, Q)$ существует и непрерывна по (P, Q) .

Теорема 4. Если $f \in \text{Lip}(\beta, p)$ ($p > 1$) и $0 < \alpha < \min(\beta, \frac{n}{p})$, то $f^{(\alpha)}(P, Q)$ существует и принадлежит L_p по (P, Q) .

Мы говорим, что $f \in \text{Lip}(\beta, p)$ ($p \geq 1, 0 < \beta \leq 1$), если при $h > 0$

$$\int_{\omega} d(e)^{-h} \int_0^h |f(Q+eh) - f(Q)|^p r^{n-1} dr \leq Ch^{\beta p},$$

$d(e)$ — длина отрезка луча, идущего из точки P с направлением e ; $d\chi$ — элементного угла поверхности единичной сферы в n -мерном пространстве; ω — поверхность сферы.

В обоих случаях дробная производная $f^{(\alpha)}$ вычисляется по формуле

$$f^{(\alpha)}(P, Q) = \frac{\alpha}{\Gamma(1-\alpha)} \int_0^r (r-t)^{-\alpha-1} [f(Q) - f(P + \mathbf{e}t)] \left(\frac{t}{r}\right)^{n-1} dt + \\ + \frac{C_n^{(\alpha)}}{\Gamma(1-\alpha)} [f(Q) - f(P)] r^{-\alpha}.$$

Если суммируемая функция f имеет в области Ω дробную производную $f^{(\alpha)}$, то справедливо тождество

$$f(P) = \frac{1}{|\Omega|} \int_{\Omega} f(Q) dQ - \frac{1}{|\Omega|} \frac{1}{\Gamma(\alpha)} \int_{\Omega} \frac{1}{r^{n-\alpha}} \left(\int_0^{d(\mathbf{e})-r} f^{(\alpha)}(P, P + \mathbf{e}\tau) \tau^{n-1} d\tau \right) dQ,$$

где $|\Omega|$ — мера области Ω .

В самом деле, из формулы

$$f(P) = f(Q) - \frac{1}{\Gamma(\alpha)} \int_0^r (r-t_1)^{\alpha-1} f^{(\alpha)}(P, P + \mathbf{e}t_1) \left(\frac{t_1}{r}\right)^{n-1} dt_1$$

следует, что

$$f(P) r^{n-1} = f(Q) r^{n-1} - \frac{1}{\Gamma(\alpha)} \int_0^r t^{\alpha-1} f^{(\alpha)}(P, P + \mathbf{e}(r-t)) (r-t)^{n-1} dt.$$

Интегрируя обе части (5) по лучу, идущему из точки P с направлением \mathbf{e} в пределах от 0 до $d(\mathbf{e})$, получим

$$f(P) \int_0^{d(\mathbf{e})} r^{n-1} dr = \\ = \int_0^{d(\mathbf{e})} f(Q) r^{n-1} dr - \frac{1}{\Gamma(\alpha)} \int_0^{d(\mathbf{e})} \left(\int_0^r t^{\alpha-1} f^{(\alpha)}(P, P + \mathbf{e}(r-t)) (r-t)^{n-1} dt \right) dr \\ = \int_0^{d(\mathbf{e})} f(Q) r^{n-1} dr - \frac{1}{\Gamma(\alpha)} \int_0^{d(\mathbf{e})} \frac{t^{\alpha-1}}{t^{n-1}} \left(\int_0^{d(\mathbf{e})-t} f^{(\alpha)}(P, P + \mathbf{e}\tau) \tau^{n-1} d\tau \right) t^{n-1} dt = \\ = \int_0^{d(\mathbf{e})} f(Q) r^{n-1} dr - \frac{1}{\Gamma(\alpha)} \int_0^{d(\mathbf{e})} \frac{1}{r^{n-\alpha}} \left(\int_0^{d(\mathbf{e})-r} f^{(\alpha)}(P, P + \mathbf{e}\tau) \tau^{n-1} d\tau \right) r^{n-1} dr.$$

Умножая обе части последнего равенства на элемент телесного угла $d\omega$ поверхности единичной сферы и интегрируя по этой поверхности ω , получим тождество (3).

Обозначим через $W_p^{(\alpha)}(\Omega)$ пространство суммируемых функций f , имеющих в области Ω производные $f^{(\alpha)}(P, Q)$, для которых

$$\int_{\Omega} \operatorname{ess\,sup}_{P \in \Omega} |f^{(\alpha)}(P, Q)|^p dQ < \infty.$$

Норму вводим по формуле

$$\|f\|_{W_p^{(\alpha)}(\Omega)} = \left| \frac{1}{|\Omega|} \int_{\Omega} f(Q) dQ \right| + \left(\int_{\Omega} \operatorname{ess\,sup}_{P \in \Omega} |f^{(\alpha)}(P, Q)|^p dQ \right)^{1/p}.$$

Теорема 5. Если $f \in W_p^{(\alpha)}(\Omega)$ и $\alpha p > n$, то $f \in C(\Omega)$ и выполняется равенство

$$\|f\|_{C(\Omega)} \leq A \|f\|_{W_p^{(\alpha)}(\Omega)}. \quad (8)$$

Оператор вложения $W_p^{(\alpha)}(\Omega)$ в $C(\Omega)$ вполне непрерывен.

Теорема 6. Если $f \in W_p^{(\alpha)}(\Omega)$ и $n \geq \alpha p$, то $f \in L_q$ на любой гиперплоскости s измерений Ω_s , где $n - \alpha p < s \leq n$, $p \leq q < \frac{sp}{n - \alpha p}$ и справедлива оценка

$$\|f\|_{L_q(\Omega_s)} \leq B \|f\|_{W_p^{(\alpha)}(\Omega)}. \quad (9)$$

Оператор вложения пространства $W_p^{(\alpha)}$ в L_q на любой гиперплоскости s измерений Ω_s вполне непрерывен.

Теорема 7. Пространство $W_p^{(\alpha)}(\Omega)$ полное.

Используя представление (3) и представление С. Л. Соболева (1), можно также получить теоремы вложения для функций f , имеющих в области Ω производные порядка $l + \alpha$, где l — целое положительное число, указывающее порядок обобщенной производной в смысле С. Л. Соболева (1). Из тождества (3) и соответствующих оценок для разностей, составленных из интегралов типа потенциала, получаем следующие утверждения.

Теорема 8. Если $f \in W_p^{(\alpha)}(\Omega)$ и $\alpha p > n$, то

$$|f(P + \Delta P) - f(P)| \leq K_0 |\Delta P|^{\alpha - n/p} \left(\int_{\Omega} \operatorname{ess\,sup}_{P \in \Omega} |f^{(\alpha)}(P, Q)|^p dQ \right)^{1/p}, \quad (10)$$

где постоянная K_0 не зависит от функции f .

Теорема 9. Если $f \in W_p^{(\alpha)}(\Omega)$ и $\alpha p \leq n$, $n - \alpha p < s \leq n$, $p \leq q < \frac{sp}{n - \alpha p}$, то справедливо неравенство

$$\|f(P + \Delta P) - f(P)\|_{L_p(\Omega_s)} \leq K_0 |\Delta P|^{\alpha - n/p + s/q} \left(\int_{\Omega} \operatorname{ess\,sup}_{P \in \Omega} |f^{(\alpha)}(P, Q)|^p dQ \right)^{1/p}, \quad (11)$$

где постоянная K_0 не зависит от функции f .

Сравнение последних двух теорем с теоремами 1 и 2 (при сравнении теорем 2 и 9 в неравенстве (11) нужно положить $s = n$, $q = p$ и учесть, что оно выполняется и для случая $\Delta P = e_1 h$ ($h > 0$)) показывает, что с ухудшением свойств дробной производной $f^{(\alpha)}$ как функции пары точек (P, Q) показатель β в условиях Липшица уменьшается.

Через $C^{(\alpha)}(\Omega)$ обозначим множество функций f , непрерывных в области Ω вместе с производной $f^{(\alpha)}$ ($0 < \alpha < 1$). Множество таких функций является линейным, и если в нем ввести норму по формуле

$$\|f\|_{C^{(\alpha)}(\Omega)} = \max_{Q \in \bar{\Omega}} |f(Q)| + \max_{P, Q \in \bar{\Omega}} |f^{(\alpha)}(P, Q)|, \quad (12)$$

$C^{(\alpha)}(\Omega)$ превращается в пространство типа Банаха.

Через $L_q^{(\alpha)}(\Omega)$ обозначим множество функций $f \in L_q$ ($q > 1$) на Ω и имеющих в области Ω дробную производную $f^{(\alpha)}$, принадлежащую L_q по (P, Q) . Это множество также будет линейным.

Норму вводим по формуле

$$\|f\|_{L_q^{(\alpha)}(\Omega)}^p = \left(\int_{\Omega} |f(Q)|^q dQ \right)^{1/q} + \left(\int_{\Omega} \int_{\Omega} |f^{(\alpha)}(P, Q)|^q dP dQ \right)^{1/q}.$$

Пространство $L_q^{(\alpha)}(\Omega)$ также становится пространством типа Банаха.

Через $W_p^{(l)}(\Omega)$ обозначаем пространство С. Л. Соболева ⁽¹⁾ с целым положительным индексом l .

Теорема 10. Если $f \in W_p^{(l)}(\Omega)$ и $lp > n$, то $f \in C^{(\alpha)}(\Omega)$, где $0 < \alpha < \min[1, l - n/p]$, и справедлива оценка

$$\|f\|_{C^{(\alpha)}(\Omega)} \leq A_1 \|f\|_{W_p^{(l)}(\Omega)}.$$

Постоянная A_1 не зависит от выбора f .

Теорема 11. Если $f \in W_p^{(l)}(\Omega)$ и $lp \leq n$, то $f \in L_q^{(\alpha)}$, где $0 < \alpha < \frac{s}{q} - \frac{n}{p} + l$, $n - lp < s \leq n$ и $p \leq q < \frac{sp}{n - lp}$, на любой гиперплоскости s измерений Ω_s и выполняется неравенство

$$\|f\|_{L_q^{(\alpha)}(\Omega_s)} \leq B_1 \|f\|_{W_p^{(l)}(\Omega)},$$

причем B_1 не зависит от выбора f .

Другой подход к построению пространств С. Л. Соболева $W_p^{(k)}$ с дробным индексом k содержится в работах С. М. Никольского и Л. Н. Слободецкого ⁽³⁾.

В заключение автор выражает глубокую благодарность С. Г. Крейн за ряд замечаний.

Воронежский лесотехнический
институт

Поступило
11 XI 1958

ЦИТИРОВАННАЯ ЛИТЕРАТУРА

¹ С. Л. С о б о л е в, Некоторые применения функционального анализа в математической физике, Л., 1950. ² С. М. Н и к о л ь с к и й, Тр. Матем. инст. им. В. А. Стеклова АН СССР, 38 (1951). ³ Л. Н. С л о б о д е ц к и й, ДАН, 118, № 2 (1958).

А. А. КИСЕЛЕВ и И. Ш. СЛАВУТСКИЙ

О ЧИСЛЕ КЛАССОВ ИДЕАЛОВ КВАДРАТИЧНОГО ПОЛЯ И ЕГО КОЛЕЦ

(Представлено академиком В. И. Смирновым 28 II 1959)

1. Пусть $R(\sqrt{d})$ — вещественное квадратичное поле с фундаментальным дискриминантом d , основной единицей $E_1 = T_1 + U_1\sqrt{d}$ и числом классов идеалов $h = h(d)$. В этой заметке для случая, когда p — простое нечетное число и $p \nmid d$, исходя из формул Дирихле, доказывается сравнение

$$h \frac{\bar{U}_l}{p^l} \equiv - \frac{\bar{T}_l}{2d(p-1)p^{l-1}} \sum_{u=0}^{d-1} \left(\frac{d}{u}\right) B_{(p-1)p^{l-1}}\left(\frac{u}{d}\right) \pmod{p^l}. \quad (1)$$

где $\bar{E}_l = \bar{T}_l + \bar{U}_l\sqrt{d} = E_1^{(1 - (\frac{d}{p})\frac{1}{p})p^l}$, $l \geq 1$; $(\frac{d}{u})$ — символ Кронекера;

$B_n(x)$ — полином Бернулли, определяемый символическим равенством $B_m(x) = (B+x)^m$ при условии, что числа Бернулли удовлетворяют символическому соотношению $(B+1)^k = B^k$, $k = 2, 3, \dots$; $B_0 = 1$.

Сравнение (1) для $l = 1$ было получено А. А. Киселевым в ⁽¹⁾ и распространено на $l > 1$ И. Ш. Славутским. В отличие от сравнений, обычно рассматриваемых в таких случаях (см., например, ²⁻⁶), сравнение (1) имеет в качестве модуля степень простого нечетного числа, не делящего дискриминанта $R(\sqrt{d})$.

Легко видеть, что формула Дирихле может быть приведена к виду

$$E_1^h = \sqrt{\lambda} \prod_a (1 - \zeta^a)^{-1},$$

где $\zeta = e^{2\pi i/d}$, $\lambda = \prod_{0 < v < d, (v, d)=1} (1 - \zeta^v)$, $0 < a < d$ и $(\frac{d}{a}) = 1$.

Если ввести в рассмотрение \bar{E}_l и учесть при этом тождества

$$\prod_a (1 - \zeta^a)^{(\frac{d}{p})} = \lambda^{\frac{(\frac{d}{p})-1}{2}} \prod_a (1 - \zeta^{ap}),$$

$$(1 - \zeta^{ap}) = (1 - \zeta^a)(1 - \zeta^a \rho) \dots (1 - \zeta^a \rho^{p-1}), \quad \rho = e^{\frac{2\pi i}{p}},$$

из формулы Дирихле получим

$$\bar{E}_l^h = \lambda^{\frac{p-1}{2} p^{l-1}} \prod_{1 \leq \mu \leq p-1, 0 < a < d, (\frac{d}{a})=+1} [1 + (1 - \rho^\mu)(\zeta^a - 1)^{-1}]^{p^{l-1}}. \quad (2)$$

Положив $r = \frac{p-1}{2} p^{l-1}$ и $m = (p-1) p^{l-1}$, преобразуем (2), вводя σ_k элементарные симметрические функции от величин $(1 - \rho^\mu)$ ($\zeta^a - 1$) к виду

$$\bar{E}_l^k \equiv \lambda^r \left[1 + \sum_k \sigma_k \right]. \quad (3)$$

Так как

$$\begin{aligned} \sum_{\mu, a} (1 - \rho^\mu)^k (\zeta^a - 1)^{-k} &= \sum_{0 < a < d, \left(\frac{d}{a}\right) = +1} (\zeta^a - 1)^{-k} \sum_{1 \leq \mu \leq p-1} (1 - \rho^\mu)^k \equiv \\ &\equiv (-1)^{k+1} p \sum_a \frac{\Delta^k 0^m}{(\zeta^a - 1)^k} \pmod{p^{l+1}}, \end{aligned}$$

то, воспользовавшись формулами Варинга, найдем, что

$$\sigma_k \equiv p^l \sum_a \frac{\Delta^k 0^m}{k (\zeta^a - 1)^k} \pmod{p^{2l}}.$$

Рассматривая (3) как сравнение по $\text{mod } p^{2l}$, заключаем, что

$$\bar{E}_l^h \equiv \lambda^r \left[1 + p^l \sum_a \sum_{k=1}^m \frac{\Delta^k 0^m}{k (\zeta^a - 1)^k} \right] \pmod{p^{2l}}.$$

Тогда в силу $\bar{U}_l \equiv 0 \pmod{p^l}$, тождества

$$\sum_{k=1}^m \frac{\Delta^k 0^m}{k (\zeta^v - 1)^k} = (-1)^{m-1} \frac{d^{m-1}}{m} \sum_{u=0}^{d-1} B_m \left(\frac{u}{d} \right) \zeta^{uv}$$

для $v = 1, 2, \dots, d-1$ (см. (3), формула (12)) и сравнения $\bar{T}_l^h \equiv \lambda^r \pmod{p^l}$ вытекающего из (2), получим (1).

2. Аналогичным образом в случае, когда дискриминант вещественного квадратичного поля $d = np$, $n \geq 1$ натуральное и p простое нечетное число, может быть получено сравнение

$$h \frac{U_l}{p^{l-1}} \equiv - \frac{T_l}{n(p-1)} \left(\frac{n}{p} \right) \sum_{u=1}^n \left(\frac{\varepsilon n}{u} \right) \frac{1}{p^{l-1}} B_{\frac{p-1}{2}} \frac{1}{p^{l-1}} \left(\frac{u}{n} \right) \pmod{p^l},$$

где $E_l = T_l + U_l \sqrt{d} = E_1^{p^{l-1}}$ и $\varepsilon = (-1)^{\frac{p-1}{2}}$ (случай $l = 1$ рассмотрен в (2, 3), эквивалентные результаты позднее получены в (4, 5)).

3. Если рассмотреть группу классов идеалов в узком смысле, то (1) и (4) для числа классов идеалов $H(d\bar{f}^2)$ кольца в $R(\sqrt{d})$ с ведущим идеалом f ($f \geq 1$ натуральное), т. е. кольцо целых чисел $R(\sqrt{d})$, сравнимых по $\text{mod } f$ с рациональным числом (см. (7) или (8)), имеют место сравнения:

$$\begin{aligned} H(d\bar{f}^2) \frac{U_{(f), l}}{p^{l-1}} &\equiv - \times \frac{T_{(f), l}}{n(p-1)} \left(\frac{n}{p} \right) \prod_{q|f} \left(1 - \left(\frac{d}{q} \right) \frac{1}{q} \right) \sum_{u=1}^n \left(\frac{\varepsilon n}{u} \right) \frac{1}{p^{l-1}} B_{\frac{p-1}{2}} \frac{1}{p^{l-1}} \left(\frac{u}{n} \right) \\ &\pmod{p^l} \quad \text{для } p \nmid d; \end{aligned}$$

$$(df^2) \frac{\bar{U}_{(f), l}}{p^l} \equiv -x \frac{\bar{T}_{(f), l}}{2d(p-1)p^{l-1}} \prod_{q|f} \left(1 - \left(\frac{d}{q}\right) \frac{1}{q}\right) \sum_{u=0}^{d-1} \left(\frac{d}{u}\right) B_{(p-1)p^{l-1}} \left(\frac{u}{d}\right) \pmod{p^l}$$

для $p \nmid d$ и $p \nmid f$; (6)

$$(df^2) \frac{U_{(f), l}}{p^{l-1}} \equiv -x \frac{T_{(f), l}}{2d(p-1)p^{l-1}} \prod_{q|f_0} \left(1 - \left(\frac{d}{q}\right) \frac{1}{q}\right) \sum_{u=0}^{d-1} \left(\frac{d}{u}\right) B_{(p-1)p^{l-1}} \left(\frac{u}{d}\right) \pmod{p^l}$$

для $p \nmid d$, $p^c \parallel f$, $f = p^c f_0$, $c \geq 1$. (7)

Здесь $x = 2^{\frac{1+N(E_1)}{2}}$, $E_{(f)} = T_{(f)} + U_{(f)} f \sqrt{d}$ — основная единица кольца, $T_{(f), l} = T_{(f), l} + U_{(f), l} f \sqrt{d} = E_{(f)}^{p^{l-1}}$; $\bar{E}_{(f), l} = E_{(f)}^{\left(1 - \left(\frac{d}{p}\right) \frac{1}{p}\right)p^l}$; произведения берутся по всем простым $q|f$ (соответственно $q|f_0$).

Если использовать сравнение

$$\frac{a^m B_m \left(\frac{x}{a}\right) - B_m}{m} \equiv \sum_{k=0}^{p^l-1} (ak + x)^{m-1} \left[\frac{ak + x}{p^l} \right] + \frac{1-a}{2} B_{m-1} p^l \pmod{p^l},$$

являющееся обобщением сравнений Вороного и Грюна (⁹, ¹¹), в котором x, m целые и $(a, p) = 1$, то (5) — (7) легко придать вид:

$$H(df^2) \frac{U_{(f), l}}{p^{l-1}} \equiv -x \frac{T_{(f), l}}{2} \prod_{q|f} \left(1 - \left(\frac{d}{q}\right) \frac{1}{q}\right) \sum_{0 < v < np^l} \left(\frac{d}{v}\right) \frac{1}{nv} \left[\frac{v}{p^l} \right] \pmod{p^l}$$

для $n > 1$ (причем при $l = 1$ исключается $p = 3$);

$$H(df^2) \frac{U_{(f), l}}{p^{l-1}} \equiv -x \frac{T_{(f), l}}{4} \prod_{q|f} \left(1 - \left(\frac{p}{q}\right) \frac{1}{q}\right) \sum_{0 < v < p^l} \left(\frac{v}{p}\right) \frac{1}{gv} \left[\frac{gv}{p^l} \right] \pmod{p^l} \quad (5')$$

для $d = p$ с $\left(\frac{g}{p}\right) = -1$ (ср. (⁴, ⁵));

$$(df^2) \frac{\bar{U}_{(f), l}}{p^l} \equiv -x \frac{\bar{T}_{(f), l}}{2} \prod_{q|f} \left(1 - \left(\frac{d}{q}\right) \frac{1}{q}\right) \sum_{0 < v < dp^l} \left(\frac{d}{v}\right) \left(\frac{v}{p}\right)^2 \frac{1}{dv} \left[\frac{v}{p^l} \right] \pmod{p^l}; \quad (6')$$

$$(df^2) \frac{U_{(f), l}}{p^{l-1}} \equiv -x \frac{T_{(f), l}}{2} \prod_{q|f_0} \left(1 - \left(\frac{d}{q}\right) \frac{1}{q}\right) \sum_{0 < v < dp^l} \left(\frac{d}{v}\right) \left(\frac{v}{p}\right)^2 \frac{1}{dv} \left[\frac{v}{p^l} \right] \pmod{p^l}. \quad (7')$$

Заметим, что в сравнениях (5) — (7) и (5') — (7') под $H(df^2)$ можно понимать также число классов эквивалентных бинарных квадратичных форм $ax^2 + bxy + cy^2$ с $(a, b, c) = 1$ определителя df^2 .

4. Легко видеть, что U_1 и $\frac{U_l}{p^{l-1}}$ делятся на одинаковые степени $p > 3$,

$\frac{\bar{U}_1}{p}$ и $\frac{\bar{U}_l}{p^l}$ на одинаковые степени любого p . Так как легко получить, например, $h(d) < \frac{3}{2} \sqrt{d}$, то за счет выбора достаточно большого ≥ 1 из (1) и (4) можно арифметически вычислять $h(d)$, а следовательно, $H(df^2)$.

5. Некоторые аналогичные сравнения для числа классов поля и соответствующих колец имеют место и для $d < 0$ (см. (¹, ⁶)). В частности, сравнение

$$\left(\left(\frac{d}{p}\right) - 1\right) h(d) \equiv \sum_{u=1}^{|d|-1} \left(\frac{d}{u}\right) \frac{1}{p} B_p \left(\frac{u}{|d|}\right) \pmod{p}$$

имеет место для $p \nmid d$ и $d < -4$ (см. (¹)).

Полученные сравнения содержат много интересных частных случаев

Отметим, что рассмотрение при $l = 1$ частных случаев сравнения ($d = p$ (см. ⁽²⁾) и $d = 4p$ (см. ⁽³⁾), формула (26)) привело нас к мысли, что если дискриминант имеет в качестве ядра, свободного от квадратов, простое число p , от $U_1 \not\equiv 0 \pmod{p}$. При проверке всех $d < 2000$ мы встретили противоречащего случая. Гипотеза Анкени — Артина — Човла утверждающая, что в поле $R(\sqrt{p})$ всегда $U_1 \not\equiv 0 \pmod{p}$, является частным случаем этого предположения (см. ⁽⁵⁾).

Поступило
25 II 1959

ЦИТИРОВАННАЯ ЛИТЕРАТУРА

- ¹ А. А. Киселев, Научная сессия ЛГУ, Тезисы докладов по секц. матем. наук, Л., 1948, стр. 37. ² А. А. Киселев, ДАН, **61**, № 5 (1948). ³ А. А. Киселев, Уч. зап. ЛГУ, сер. матем. наук, в. 16, 20 (1949). ⁴ N. C. Ankeny, E. Artin, S. Chowla, Proc. Nat. Acad. Sci. USA, **37**, № 8 (1951). ⁵ N. C. Ankeny, E. Artin, S. Chowla, Ann. of Math., (2), **56**, № 3, 479 (1952). ⁶ L. Carlitz, Comment. Math. Helv., **27**, № 4, 338 (1953). ⁷ R. Dedekind, Gesammelte math. Werke, Braunschweig, 1930, S. 148. ⁸ D. Hilbert, Jahresber. Deutsch. Math. Ver., **4**, S. 243 (1897). ⁹ Г. Ф. Вороной, Собр. соч., **1**, Киев, 1952, стр. 7. ¹⁰ O. Grunwald, Jahresber. Deutsch. Math. Ver., **50**, 112 (1940).

Р. Е. КРИЧЕВСКИЙ

О СЛОЖНОСТИ РЕАЛИЗАЦИИ ФУНКЦИЙ СУПЕРПОЗИЦИЯМИ*

(Представлено академиком М. В. Келдышем 17 I 1959)

1. Одной из важных задач кибернетики является задача о простейшей реализации данной функции с помощью конструкций, составляемых из тех или иных исходных элементарных объектов, например с помощью итераций (суперпозиций) некоторых базисных функций, с помощью контактных или электронных схем. Каждой конструкции приписывается неотрицательное число — индекс простоты; простейшей из реализующих функцию конструкций считается та, которая имеет минимальный индекс. Существенной характеристикой множества D функций является число $L(D)$ — верхняя грань индексов простейших конструкций, выражающих функции из D ; удобное число (для более частного случая) впервые было введено в рассмотрение Риорданом и Шенноном ⁽¹⁾. Оценке $L(D)$ при конкретном выборе множества D , множества реализующих конструкций и индекса простоты посвящены многие работы. Некоторые из них ^(2,7) посвящены оценке $L(D)$, когда способ составления конструкций из исходных элементарных объектов каких ограничений не накладывается (например, произвольные контактные схемы); другие ⁽¹⁾ — если разрешаются конструкции лишь типа суперпозиций (например, контактные π -схемы). Эти два вопроса требуют по существу отдельного рассмотрения, так как, например, с помощью π -схем, как видно из сравнения работ ⁽¹⁾ и ⁽²⁾, почти все функции алгебры логики реализуются на порядок сложнее, чем с помощью произвольных контактных схем.

С. В. Яблонским было предложено понятие управляющей системы, охватывающее все известные кибернетические устройства, в частности формулы, составленные из некоторых базисных функций, контактные и электронные схемы, нервные сети и т. д. Возник вопрос об оценке $L(D)$ для случая, когда в качестве реализующих средств используются произвольные управляющие системы.

Здесь, как и в случае контактных схем, необходимо было рассмотреть вопрос: об оценке $L(D)$, если в качестве реализующих конструкций рассматриваются управляющие системы типа суперпозиций и если допускать управляющие системы общего типа, т. е. обязательно типа суперпозиций. Второй вопрос решен в работе ⁽³⁾ (для оценки снизу), первый (также для оценки снизу) решается в настоящей работе. Оказывается, что и для произвольных управляющих систем обычно имеет место отмеченное выше явление: с помощью управляющих систем типа суперпозиций почти все реализуемые объекты реализуются на порядок сложнее, чем с помощью управляющих систем общего типа.

Полученная оценка справедлива для широкого класса индексов простоты.

Как и работа ⁽³⁾, настоящая заметка показывает, что понятие управляющей системы является, несмотря на свою общность, весьма полезным. Утверждения, полученные из рассмотрения произвольных управляющих си-

* Изложение результатов данной заметки (для частного случая) содержится в докладе В. Яблонского ⁽⁸⁾.

стем, будучи применены к конкретным управляющим системам (как формулы, контактные схемы), в точности совпадают с известными ранее результатами. Ряд новых результатов о конкретных управляющих системах получен из рассмотрения произвольных управляющих систем. В настоящей заметке приводится в качестве следствия из основного утверждения ряд новых результатов, относящихся к алгебре логики, N -значной логике, теории сетей и схем, к некоторым арифметическим формулам.

2. Пусть имеется множество $\mathcal{L} = \{\mathcal{L}_k\}$ и пусть каждому символу \mathcal{L}_k поставлено в соответствие натуральное число s_k . Сопоставим дополнительно каждому \mathcal{L}_k символ $\mathcal{L}_k(, \dots,)$, где число пустых мест в скобках справа от \mathcal{L}_k равно s_k . Этот символ будем называть s_k -местным элементарным объектом. Мы будем предполагать, что число l -местных элементарных объектов, которое мы обозначим через k_l , конечно для всех l . Множество элементарных объектов будем обозначать σ_0 . Пусть далее, имеется множество $x = \{x_\mu\}$.

Определение. Любой символ из x называется суперпозицией ранга 0. Выражение $\mathcal{L}_k(A_1, \dots, A_{s_k})$, где A_1, \dots, A_{s_k} — суперпозиции ранга не более $n-1$, называется суперпозицией ранга n , если максимальный из рангов суперпозиций A_i , $i = 1, \dots, s_k$, равен $n-1$. Суперпозицией элементарных объектов из σ_0 называется суперпозиция, ранг которой не ниже 1.

Множество суперпозиций элементарных объектов из σ_0 обозначим через σ . Примером суперпозиции ранга 2 является, при соответствующем выборе множеств x и \mathcal{L} ,

$$\mathcal{L}_2(\mathcal{L}_1(x_1, x_2, x_1, x_3), x_1, x_3).$$

Определение. Индексом простоты называется неотрицательный функционал, определенный на объединении множеств σ_0 , σ и x и равный нулю на множестве x .

3. Пусть $\{f\}$ — множество некоторых элементов f ; σ — множество суперпозиций. Определим понятие реализации $\{f\}$ суперпозициями из σ . Сопоставим каждой суперпозиции единственный элемент f ; при этом пусть для любого элемента f найдется суперпозиция, которой он сопоставлен. Суперпозиции, входящие в прообраз f , называются его реализациями. Обозначим через $\sigma^{(\tau)}$ множество тех суперпозиций из σ , в которых один s_k -местный элементарный объект не встречается подряд более τ раз. Например, суперпозиция $\mathcal{L}_1(\mathcal{L}_1(\mathcal{L}_2(\mathcal{L}_3(\mathcal{L}_1(x_1), \mathcal{L}_1(x_2), \mathcal{L}_1(x_1))))))$ принадлежит любому σ^τ , если $\tau \geq 2$. Мы наложим следующее условие на реализации $\{f\}$, если $\{f\}$ реализуется суперпозициями из σ , то существует τ такое, что $\{f\}$ реализуется и суперпозициями из $\sigma^{(\tau)}$. Обозначим через $L(f)$ нижнюю грань индексов суперпозиций из σ , реализующих f . Если D_h — произвольное конечное подмножество $\{f\}$, то через $L(D_h)$ будем обозначать $\max_{f \in D_h} L(f)$.

4. Мы наложим некоторые ограничения на индекс простоты. Пусть $\mathcal{L}_k(, \dots,)$ — элементарный s_k -местный объект; A_1, \dots, A_{s_k} , $\mathcal{L}_k(A_1, \dots, A_{s_k})$ — суперпозиции из σ ; $I[\mathcal{L}_k(, \dots,)]$, $I[A_1]$, \dots , $I[A_{s_k}]$, $I[\mathcal{L}_k(A_1, \dots, A_{s_k})]$ — соответствующие индексы. Потребуем, чтобы индекс удовлетворял условию

$$I[\mathcal{L}_k(A_1, \dots, A_{s_k})] \geq I[\mathcal{L}_k(, \dots,)] + I[A_1] + \dots + I[A_{s_k}].$$

5. Введем следующие обозначения: p_l — минимальный индекс l -местного элементарного объекта;

$$\rho(n) = \inf_{p_l \leq n, l \geq 2} \frac{p_l}{l-1};$$

$$\phi(n) = \begin{cases} \sup_{l \geq 2, p_l \leq n} \frac{\log_2 k_l}{p_l}, & \text{если } p_1 = 0; \\ \sup_{l \geq 1, p_l \leq n} \frac{\log_2 k_l}{p_l}, & \text{если } p_1 > 0; \end{cases}$$

$j(h)$ — мощность множества D_h ; $j(h)$ — мощность множества различных символов $\{x_\mu\}$, встречающихся в суперпозициях, реализующих множество D_h ; $\tau(h)$ — наименьшее число такое, что все элементы из D_h могут быть реализованы суперпозициями из $\sigma^{(\tau)}$.

Потребуем, чтобы:

$$p_1 \geq 0, \quad p_l > 0, \quad l = 2, 3, \dots; \quad (2)$$

$$\lim_{l \rightarrow \infty} p_l = \infty, \text{ если базис } \sigma_0 \text{ бесконечен.} \quad (3)$$

Теорема 1. Если имеется последовательность классов D_h такая, что для всякого h $j(h)$ конечно и при $h \rightarrow \infty$, $m(h) \rightarrow \infty$, $\frac{\log_2 m(h)}{\log_2 j(h)} \rightarrow \infty$:

1) для любого $\varepsilon > 0$ существует $h_0(\varepsilon)$ такое, что $L(D_h) > n_0(1 - \varepsilon)$ для всех $h > h_0(\varepsilon)$, где n_0 — любое решение неравенства

$$n \left(\frac{\log_2 c \cdot j(h)}{\rho(n)} + \phi(n) \right) \leq \log_2 m(h), \quad c = \text{const}; \quad (4)$$

2) доля элементов из D_h , реализуемых с помощью суперпозиций индекса меньшего, чем $n_0(1 - \varepsilon)$, сколь угодно мала, если h достаточно велико.

^{10.} Приложение к алгебре логики. Пусть $\{f\}$ — замкнутый класс функций алгебры логики ⁽⁴⁾. Известно ⁽⁵⁾, что любой замкнутый класс имеет конечный базис. Для этого базиса $\phi(n) \leq \phi = \text{const}$, $\rho(n) \geq \rho = \text{const}$. Через D_h обозначим множество функций $\{f\}$, зависящих от h аргументов. Имеем следующее следствие теоремы 1:

Если $\frac{\log_2 m(h)}{\log_2 h} \rightarrow \infty$ при $h \rightarrow \infty$, то

$$L(D_h) > \rho \frac{\log_2 m(h)}{\log_2 h} (1 - \varepsilon),$$

где $\varepsilon \rightarrow 0$ при $h \rightarrow \infty$.

Пример 1. $\{f\}$ — класс всех функций алгебры логики,

$$L(D_h) > \rho \frac{2^h}{\log_2 h} (1 - \varepsilon).$$

Пример 2. $\{f\}$ — класс самодвойственных функций,

$$L(D_h) > \rho \frac{2^h}{2 \log_2 h} (1 - \varepsilon).$$

Пример 3. $\{f\}$ — класс монотонных функций

$$L(D_h) > \sqrt{\frac{2}{\pi}} \rho \frac{2^h}{h \log_2 h} (1 - \varepsilon).$$

Полученные О. Б. Лупановым верхние оценки для $L(D_h)$ в ряде случаев асимптотически совпадают с приведенными здесь нижними.

^{20.} Приложение к N -значной логике. Если замкнутый класс N -значной ($N \geq 2$) логики имеет конечный базис, то для этого базиса $L(D_h) > \frac{N^h}{\log_N h} (1 - \varepsilon)$, $\varepsilon \rightarrow 0$ при $h \rightarrow \infty$ (D_h — множество функций, зависящих от h аргументов). Если же базис бесконечен, то, зная величины

$m(h)$, k_l , p_l , характеризующие замкнутый класс и его базис, мы из группы 1 можем получить оценку D_h и в этом случае.

3°. Приложение к теории контактных схем. Рассмотрим класс S двухполюсных сильно связных сетей ⁽⁶⁾, замкнутый относительно операции замены ребра одной сети другой сетью; разрешаются оба возможных способа замены. Множество всех неразделимых сетей ⁽⁶⁾, входящих в S , называется базисом класса S .

Определение. Класс, имеющий конечный базис, называется классом с ограниченной топологией.

Сопоставляя ребрам сетей, входящих в S , контакты, получим класс S^* контактных схем с ограниченной топологией. Пусть $L_{S^*}(D_h)$ — минимальное число контактов, необходимое для реализации схемами из S^* всех функций алгебры логики от h аргументов. Тогда имеет место оценка

$$L_{S^*}(D_h) > \frac{2^h}{\log_2 h} (1 - \epsilon),$$

где $\epsilon \rightarrow 0$ при $h \rightarrow \infty$ и доля функций, реализуемых с меньшим числом контактов, бесконечно мала. Для случая, когда S^* — класс параллельно-последовательных схем, эта оценка получена в работе ⁽¹⁾.

4°. Приложение к теории сетей. Пусть v_i — число неизоморфных неразделимых сетей с i ребрами. Существует бесконечная последовательность чисел $i_1 < i_2 < \dots < i_l < \dots$ такая, что *

$$v_{i_l} > \left(\frac{A i_l}{(\log_2 i_l)^2} \right)^{i_l}, \quad A = \text{const.}$$

5°. Каждое натуральное число может быть получено, исходя из константы 1, с помощью сложений и умножений. Например,

$$10 = (((((1 + 1) + 1) ((1 + 1) + 1)) + 1).$$

Пусть $L(m)$ — наименьшее число сложений и умножений, с помощью которого можно выразить все числа от 1 до m . Имеет место оценка

$$L(m) > \frac{1 - \epsilon}{3} \log_2 m,$$

где $\epsilon \rightarrow 0$ при $m \rightarrow \infty$; доля чисел, выражаемых проще, сколько угодно мала при больших m .

Математический институт им. В. А. Стеклова
Академии наук СССР

Поступило
13 I 1959

ЦИТИРОВАННАЯ ЛИТЕРАТУРА

- ¹ J. Riordan, C. E. Shannon, J. Math. and Phys., 21, 83 (1942). ² C. E. Shannon, Bell. Syst. Techn. J., 28, № 1, 59 (1949). ³ О. Б. Лупанов, ДАН, 103, № 4, 561 (1955). ⁴ С. В. Яблонский, Тр. Матем. инст. им. В. А. Стеклова, 51, 5 (1958). ⁵ E. L. Post, Ann. Math. Stud., 5 (1941). ⁶ Б. А. Трахтенброт, Тр. Матем. инст. им. В. А. Стеклова, 51, 226 (1958). ⁷ О. Б. Лупанов, ДАН, 119, № 1, 23 (1958). ⁸ Ф. Я. Ветухновский, ДАН, 123, № 3, 391 (1958). ⁹ С. В. Яблонский, Тр. III Матем. съезда, 1956 г., 3, 1958, стр. 425—431.

* Напомним, что для числа s_n всех сетей с n ребрами имеет место оценка $s_n > \left(\frac{cn}{(\log_2 n)^2} \right)^n$. После того как был получен этот результат, Ф. Я. Ветухновский установил ⁽⁸⁾, что оценка (5) справедлива для всех i_l .

В. П. МИХАЙЛОВ

О СМЕШАННОЙ ЗАДАЧЕ ДЛЯ ПАРАБОЛИЧЕСКОЙ СИСТЕМЫ НА ПЛОСКОСТИ

(Представлено академиком И. Г. Петровским 2 I 1959)

Рассматривается параболическая система дифференциальных уравнений плоскости

$$L\left(x, t, \frac{\partial}{\partial t}, \frac{\partial}{\partial x}\right)u \equiv \left(\frac{\partial}{\partial t} - A\left(x, t, \frac{\partial}{\partial x}\right)\right)u = f(x, t), \quad (1)$$

$$u(x, t) = (u_1(x, t), \dots, u_N(x, t)); \quad f(x, t) = (f_1(x, t), \dots, f_N(x, t));$$

$L\left(x, t, \frac{\partial}{\partial x}\right) = \sum_{k=0}^{2p} A_k(x, t) \frac{\partial^{2p-k}}{\partial x^{2p-k}}; A_k(x, t), k = 0, \dots, 2p$, — квадратные матрицы N -го порядка с достаточно гладкими элементами; λ — корни оператора

$$\det \|A_0(x, t)(i\alpha)^{2p} - \lambda E\| = 0, \quad (2)$$

которые при действительных α удовлетворяют условию параболичности

$$\operatorname{Re} \lambda < -\delta \alpha^{2p}, \quad (3)$$

где δ — постоянная, не зависящая от x, t .

Простейшая смешанная задача для (1), которая будет рассмотрена ниже, состоит в нахождении решения (1), удовлетворяющего условиям

$$u|_{t=0} = \varphi(x), \quad \frac{\partial^i u}{\partial x^i} \Big|_{x=0} = \chi_i(t), \quad \frac{\partial^i u}{\partial x^i} \Big|_{x=1} = \phi_i(t), \quad i = 0, \dots, p-1; \quad (4')$$

где $\varphi(x), \chi_i(t), \phi_i(t)$ требуется гладкость и согласованность.

Рассмотрение более общих, чем (4'), краевых условий

$$u|_{t=0} = 0, \quad \frac{\partial^i u}{\partial x^i} \Big|_{x=0} = \frac{\partial^i u}{\partial x^i} \Big|_{x=1} = 0,$$

в некоторых естественных ограничениях на матрицы $g_{ij}(t)$ и $G_{ij}(t)$, $i, j = 0, \dots, 2p-1; j = 1, \dots, p$, отличается от проводимого ниже несущественными изменениями в выкладках. Если от функций $f(x, t)$ в (1) и $\chi_i(t), \phi_i(t)$ в (4') потребовать выполнения некоторых условий согласования в точках $(0,0)$ и $(1,0)$, то вместо (4') можно ограничиться рассмотрением однородных условий

$$u|_{t=0} = 0, \quad \frac{\partial^i u}{\partial x^i} \Big|_{x=0} = \frac{\partial^i u}{\partial x^i} \Big|_{x=1} = 0,$$

а функции $f(x, t)$ можно предполагать обладающими свойствами $\frac{\partial^i f}{\partial x^i} \Big|_{x=0} = 0,$

$i = 0, \dots, p-1$.

Теорема. Если элементы матриц $A_k(x, t)$, $k = 0, \dots, 2p$, имеют непрерывные производные до $2p$ -го порядка в $D_T = (0 \leq x \leq 1, 0 \leq t \leq T)$, то задача (1) — (4) корректно поставлена в D_T .

На самом деле справедливость этой теоремы можно установить и при более слабых предположениях относительно коэффициентов.

I. Рассмотрим сначала случай, когда A_k , $k = 0, \dots, 2p$, постоянны, а для $f(x, t)$ существует такое $\kappa > 0$, что $\frac{\partial^i f}{\partial x^i} e^{-(\kappa-1)t} \in L_1(0, \infty)$ равномерно

по $x \in [0, 1]^*$. Если $v(x, \lambda) = \int_0^\infty e^{-\lambda t} u(x, t) dt$, $F(x, \lambda) = \int_0^\infty e^{-\lambda t} f(x, t) dt$,

то для определения $v(x, \lambda)$ получим систему обыкновенных дифференциальных уравнений

$$\lambda v(x, \lambda) = A\left(\frac{d}{dx}\right)v(x, \lambda) + F(x, \lambda)$$

с краевыми условиями

$$\left. \frac{d^i v(x, \lambda)}{dx^i} \right|_{x=0}^{x=1} = 0, \quad i = 0, \dots, p-1.$$

Решение $v(x, \lambda)$ задачи (5) — (6) можно выписать в явном виде:

$$v(x, \lambda) = \int_0^1 G(x, \xi, \lambda) F(\xi, \lambda) d\xi,$$

где $G(x, \xi, \lambda) = \|G_{sn}(x, \xi, \lambda)\|$ — соответствующая матрица Грина:

$$G_{sn} = \begin{cases} \sum_{k=1}^{N_1} \gamma_{sk} e^{\alpha_k x} \left(\frac{W_{nk}}{W} - \sum_{m=1}^{N_1} \sum_{r=1}^{N_1/2} \frac{\Delta_{rk}}{\Delta} \tilde{\gamma}_{rm} e^{\alpha_m} \frac{W_{nm}}{W} \right), & \xi < x; \\ - \sum_{k=1}^{N_1} \gamma_{sk} e^{\alpha_k x} \sum_{m=1}^{N_1} \sum_{r=1}^{N_1/2} \frac{\Delta_{rk}}{\Delta} \tilde{\gamma}_{rm} e^{\alpha_m} \frac{W_{nm}}{W}, & \xi > x; \end{cases}$$

$W(\xi, \lambda)$ — определитель Вронского фундаментальной системы решений $\tilde{\gamma}_i e^{\alpha_i \xi}$, $i = 1, \dots, N_1 = 2pN$, $\tilde{\gamma}_i = (\gamma_{i1}, \dots, \gamma_{iN})$; $W_{kn}(\xi, \lambda)$ — алгебраическое дополнение соответствующего элемента в $W(\xi, \lambda)$; $\alpha_k = \alpha_k(\lambda)$, $k = 1, \dots, N_1$ — корни уравнения $\det \|A(\alpha) - \lambda E\| = 0$; $\tilde{\gamma}_{rm}$ — однородные многочлены от $\alpha_1, \dots, \alpha_{N_1}$ со степенями, не превосходящими $p-1$; $\Delta(\lambda)$ — определитель N_1 -го порядка, первыми $N_1/2$ строками которого являются векторы $(\tilde{\gamma}_{j1} e^{\alpha_1}, \dots, \tilde{\gamma}_{jN_1} e^{\alpha_{N_1}})$, $j = 1, \dots, N_1/2$, а последними — строками векторов $(\tilde{\gamma}_{j1}, \dots, \tilde{\gamma}_{jN_1})$, $j > N_1/2$; Δ_{rk} — его алгебраическое дополнение.

Можно доказать следующие вспомогательные утверждения:

Лемма 1. α — корни уравнения $\det \|A(\alpha) - \lambda E\| = 0$ имеют при $|\lambda| \rightarrow \infty$ асимптотику $\alpha_k = \alpha_k \lambda^\sigma + O(1)$, $k = 1, \dots, N_1$, $\sigma = 1/2p$, α_k — корни уравнения $\det \|A_0 \alpha^{2p} - E\| = 0$, которые в комплексной плоскости α расположены так: для p нечетных α_k , $k = 1, \dots, N_1$, находясь в углах $|\arg \alpha - 2\pi s| < \pi/2$, $s = 0, \dots, 2p-1$, по N штук в каждом угле; для p четных они поровну распределяются по смежным $2p$ углам. При этом для $\operatorname{Re} \lambda > 0$ $\operatorname{Re} \alpha_1 > 0, \dots, \operatorname{Re} \alpha_{N_1/2} > 0$, $\operatorname{Re} \alpha_{N_1/2+1} < 0, \dots, \operatorname{Re} \alpha_{N_1} < 0$, и существует $\varepsilon_0 > 0$, не зависящее от λ и такое, что

* Отметим, что в теореме нет ограничений на рост $f(x, t)$ при $t \rightarrow \infty$.

$s = 1, \dots, N_1/2 \quad |\arg \alpha_s| < \pi/2 - \varepsilon_0$, для $s > N_1/2 \quad |\arg \alpha_s - \pi| < \pi/2 - \varepsilon_0$.

Лемма 2. Матрица $G(x, \xi, \lambda)$ есть мероморфная функция от λ^σ . Ее полюсы в плоскости λ располагаются вне области $Q_{\varepsilon_0, R} = (|\arg \lambda| < \pi/2 + \varepsilon_0) \setminus (|\lambda| \leq R)$ при некотором достаточно большом R . Существует такое число a , $|\arg a| < \pi/2 - \varepsilon_0$, что

$$G(x, \xi, \lambda) = \frac{e^{-a\lambda^\sigma |x-\xi|}}{\lambda^{1-\sigma}} f_0(\lambda) + \frac{e^{-a\lambda^\sigma x}}{\lambda^{1-\sigma}} f_1(\lambda) + \\ + \frac{e^{-a\lambda^\sigma \xi}}{\lambda^{1-\sigma}} f_2(\lambda) + \frac{e^{-a\lambda^\sigma (1-\xi)}}{\lambda^{1-\sigma}} f_3(\lambda) + \frac{e^{-a\lambda^\sigma (1-x)}}{\lambda^{1-\sigma}} f_4(\lambda);$$

f_i , $i = 0, \dots, 4$, — регулярные матрицы и $\lim_{|\lambda| \rightarrow \infty} f_i(\lambda) = C_i$ (C_i — постоянные матрицы) для всех $\lambda \in Q_{\varepsilon_0/2, 2R}$.

Восстанавливая решение задачи (1) — (4) с помощью преобразования Фурье, из (7) получим

$$u(x, t) = \frac{1}{2\pi i} \int_L v(x, \lambda) e^{\lambda t} d\lambda = \int_D G(x, \xi; t, \tau) f(\xi, \tau) d\xi d\tau; \quad (9)$$

$$G(x, \xi; t, \tau) = \frac{1}{2\pi i} \int_L e^{\lambda(t-\tau)} G(x, \xi, \lambda) d\lambda, \quad (10)$$

L — прямая $\operatorname{Re} \lambda = 3R$.

С помощью лемм 1 и 2 и некоторых преобразований контура L в плоскости λ , основным из которых является наклон верхней части контура L ($\operatorname{Im} \lambda > 0$) на угол $\varepsilon_0/4$, а нижней части L ($\operatorname{Im} \lambda < 0$) на угол $-\varepsilon_0/4$ (углы измеряются против часовой стрелки) для матрицы $G(x, \xi; t, \tau)$ получается следующая основная лемма:

Лемма 3. 1) При $t \leq \tau$ $G(x, \xi; t, \tau) \equiv 0$; 2) существуют положительные постоянные c_1 и c_0 такие, что для $t > \tau$

$$\|G(x, \xi; t, \tau)\| \leq c_1 \left(\frac{|x-\xi|^{\sigma/(1-\sigma)}}{(t-\tau)^{\sigma/(1-\sigma)}} \exp \left[-2c_0 \frac{|x-\xi|^{1/(1-\sigma)}}{(t-\tau)^{\sigma/(1-\sigma)}} \right] + \right. \\ + \frac{x^{\sigma/(1-\sigma)}}{(t-\tau)^{\sigma/(1-\sigma)}} \exp \left[-2c_0 \frac{x^{1/(1-\sigma)}}{(t-\tau)^{\sigma/(1-\sigma)}} \right] + \\ + \frac{\xi^{\sigma/(1-\sigma)}}{(t-\tau)^{\sigma/(1-\sigma)}} \exp \times \left[-2c_0 \frac{\xi^{1/(1-\sigma)}}{(t-\tau)^{\sigma/(1-\sigma)}} \right] + \\ + \frac{(1-x)^{\sigma/(1-\sigma)}}{(t-\tau)^{\sigma/(1-\sigma)}} \exp \left[-2c_0 \frac{(1-x)^{1/(1-\sigma)}}{(t-\tau)^{\sigma/(1-\sigma)}} \right] + \\ \left. + \frac{(1-\xi)^{\sigma/(1-\sigma)}}{(t-\tau)^{\sigma/(1-\sigma)}} \exp \left[-2c_0 \frac{(1-\xi)^{1/(1-\sigma)}}{(t-\tau)^{\sigma/(1-\sigma)}} \right] \right) \quad (11)$$

и, более грубо:

$$\|G(x, \xi; t, \tau)\| \leq \frac{c_2}{(t-\tau)^\sigma} \left(\exp \left[-c_0 \frac{|x-\xi|^{1/(1-\sigma)}}{(t-\tau)^{\sigma/(1-\sigma)}} \right] + \exp \left[-c_0 \frac{x^{1/(1-\sigma)}}{(t-\tau)^{\sigma/(1-\sigma)}} \right] + \right. \\ \left. + \exp \left[-c_0 \frac{\xi^{1/(1-\sigma)}}{(t-\tau)^{\sigma/(1-\sigma)}} \right] + \exp \left[-c_0 \frac{(1-x)^{1/(1-\sigma)}}{(t-\tau)^{\sigma/(1-\sigma)}} \right] + \exp \left[-c_0 \frac{(1-\xi)^{1/(1-\sigma)}}{(t-\tau)^{\sigma/(1-\sigma)}} \right] \right). \quad (11')$$

Из леммы 3 следует, что интегрирование в (9) достаточно производить в области $D_t = (0 \leq \xi \leq 1, 0 \leq \tau \leq t)$. Отсюда и из того, что $G(x, \xi; t, \tau)$ интегрируема по любой прямой в плоскости (ξ, τ) , получаем $\lim_{t \rightarrow +0} u(x, t) = 0$.

Выполнение для $u(x, t)$ краевых условий вытекает из (6).

Методами, аналогичными методам работы ⁽¹⁾, доказываемость единственности построенного решения и следующие свойства матрицы $G(x, \xi; t, \tau)$

1. Для любой непрерывной матрицы $\varphi(\bar{x}, \bar{t})$

$$\lim_{t \rightarrow \tau + 0} \int_{D_{\tau t}} G(x, \bar{x}; t, \bar{t}) \varphi(\bar{x}, \bar{t}) d\bar{x} d\bar{t} = \varphi(x, t), \quad D_{\tau t} = (0 \leq \bar{x} \leq 1, \tau \leq \bar{t} \leq t) \quad (11)$$

2. Решение системы (1) при условиях $u|_{t=0} = \varphi(x)$, $\left. \frac{\partial^i u}{\partial x^i} \right|_{x=0}^{x=1} = 0$,

$i = 0, 1, \dots, p-1$, можно представить в виде

$$u(x, t) = \int_0^1 G(x, \xi; t, 0) \varphi(\xi) d\xi + \int_{D_t} G(x, \xi; t, \tau) f(\xi, \tau) d\xi d\tau$$

(здесь снова предполагается, что $\left. \frac{\partial^k f(x, t)}{\partial x^k} \right|_{x=0}^{x=1} = 0, k = 0, \dots, p-1$).

3. Для производных $G(x, \xi; t, \tau)$ справедливы оценки (выпишем только член, соответствующий первому слагаемому в (11'))

$$\left\| \frac{\partial^l G(x, \xi; t, \tau)}{\partial x^l} \right\| \leq c_l \left(\frac{|x - \xi|}{t - \tau} \right)^{\frac{\sigma(l+1)}{1-\sigma}} \exp \left(-c_0 \frac{|x - \xi|^{1/(1-\sigma)}}{(t - \tau)^{\sigma/(1-\sigma)}} \right) + \dots \quad (12)$$

$$\left\| \frac{\partial^s G(x, \xi; t, \tau)}{\partial t^s} \right\| \leq C_s \left(\frac{|x - \xi|}{t - \tau} \right)^{\frac{s+\sigma}{1-\sigma}} \exp \left(-c_0 \frac{|x - \xi|^{1/(1-\sigma)}}{(t - \tau)^{\sigma/(1-\sigma)}} \right) + \dots \quad (12')$$

При помощи оценок (12) и (12') доказана аналитичность по x решения задачи (1) — (4) с аналитической по x правой частью $f(x, t)$ и изучено поведение решения около прямых $x = 0$ и $x = 1$ («нагретых концов»).

II. Решение задачи (1) — (4) в случае переменных $A_k(x, t)$ сводится так же как и в случае постоянных A_k , к построению соответствующей матрицы Грина $G(x, \xi; t, \tau)$ (при этом сохраняется формула (11')).

Построение матрицы Грина проводится методом Е. Е. Леви ^(2, 3) $G(x, \xi; t, \tau)$ ищется в виде

$$G(x, \xi; t, \tau) = G(x, \xi; t, \tau; x, t) + \int_{D_{\tau t}} G(x, \bar{x}; t, \bar{t}; x, t) \varphi(\bar{x}, \bar{t}) d\bar{x} d\bar{t}, \quad (13)$$

где $G(x, \xi; t, \tau; x_0, t_0)$ — матрица Грина задачи (1) — (4) с постоянными коэффициентами, вычисленными в точке (x_0, t_0) ; $\varphi(\bar{x}, \bar{t})$ — матрица, удовлетворяющая интегральному уравнению

$$\begin{aligned} \int_{D_{\tau t}} L_{(x, t)} G(\bar{x}, \bar{x}; t, \bar{t}; x, t) \varphi(\bar{x}, \bar{t}) d\bar{x} d\bar{t} + \varphi(x, \xi; t, \tau) = \\ = -L_{(x, t)} G(x, \xi; t, \tau; x, t). \end{aligned} \quad (14)$$

Пользуясь оценками (12) и (12'), можно показать, что уравнение (14) всегда имеет решение $\varphi(x, \xi; t, \tau)$. Формула (13) дает тогда искомую функцию Грина.

Московский государственный университет
им. М. В. Ломоносова

Поступило
29 XII 1958

ЦИТИРОВАННАЯ ЛИТЕРАТУРА

- ¹ И. Г. Петровский, Бюлл. МГУ, секция А, в. 7 (1939). ² Е. Е. Левин, Усп. матем. наук, в. 8 (1941). ³ С. Д. Эйдельман, Матем. сборн., 38, в. 1 (1956)

Е. СКЛЯРЕНКО

НЕСКОЛЬКО ЗАМЕЧАНИЙ О БЕСКОНЕЧНОМЕРНЫХ ПРОСТРАНСТВАХ

(Представлено академиком П. С. Александровым 14 III 1959)

Известна теорема:

Компакт без изолированных точек тогда и только тогда имеет размерность $\leq k$, когда существует отображение * канторова совершенного множества D^∞ на этот компакт, при котором полные прообразы точек состоят не более чем из $k + 1$ точек.

П. С. Александров поставил задачу: дать классификацию бесконечномерных компактов с точки зрения мощности прообразов точек при отображении на них канторова множества D^∞ . Частичное решение этой задачи дает следующая теорема Нагата ⁽¹⁾:

Компакт без изолированных точек счетномерен ** тогда и только тогда, когда существует отображение канторова множества на этот компакт, при котором полные прообразы всех точек конечны.

В этой заметке теорема Нагата усиливается в двух направлениях:

1°. В любом несчетномерном компакте R при всяком отображении канторова множества на R найдется точка, полный прообраз которой континуален.

(Следовательно, если существует счетнократное отображение множества на некоторый компакт R , то существует и конечнократное отображение этого компакта.)

2°. Множество всех конечнократных отображений множества D^∞ на любой счетномерный компакт R (без изолированных точек) плотно в пространстве всех отображений множества D^∞ на R ***.

Далее рассматривается вопрос о характеристике бесконечной размерности с помощью покрытий. Нагата ⁽¹⁾ доказал, что пространство счетномерно в том и только в том случае, если в нем существует последовательность мельчающихся **** конечных замкнутых покрытий, в которой каждое следующее является дроблением ***** предыдущего, и такая, что в каждой точке отличия всех покрытий последовательности в совокупности ограничены. В отличие от конечномерного случая, характеристики бесконечной размерности с помощью замкнутых и открытых покрытий оказываются неэквива-

* В этой работе под пространством всюду понимается регулярное пространство со счетной базой, а под отображением — непрерывное отображение.

** Пространство называется счетномерным, если оно есть сумма счетного числа нулевых множеств. По известной теореме В. Гуревича, ⁽²⁾ стр. 78) компакт счетномерен тогда и только в том случае, если он имеет трансфинитную размерность.

*** Доказывается соответствующая теорема и для конечномерных компактов.

** Последовательность покрытий называется измельчающейся, если для любой точки любой ее окрестности найдется покрытие из последовательности, звезда точки относительно которого (т. е. сумма элементов покрытия, содержащих точку) содержится в заданной окрестности.

* Покрытие β есть дробление покрытия α , если каждый элемент покрытия α есть объединение некоторых элементов покрытия β .

лентными: в пространстве R тогда и только тогда существует последовательность звездно вписанных * друг в друга измельчающихся конечных открытых покрытий такая, что в каждой точке кратности всех покрытий ограничены, когда это пространство есть счетная сумма своих замкнутых конечномерных подмножеств. Как показывает пример Ю. М. Смирнова (3), класс счетномерных пространств существенно шире, чем класс пространств, являющихся счетными суммами замкнутых конечномерных множеств.

Теорема 1. При непрерывном отображении f канторова множества D^∞ на компакт R без трансфинитной размерности в R существует точный полный прообраз которой имеет мощность континуума.

Доказательство. Множество D^∞ мыслим расположенным на отрезке $[0, 1]$. Пусть ω_n — покрытие множества D^∞ , состоящее из пересечений D^∞ попарно непересекающихся сегментов длины $1/3^n$ в числе 2^n . Делает счетное число шагов. На k -м шаге канторово множество D^∞ разбивается на 2^k попарно непересекающихся замкнутых множеств $H_{i_1 \dots i_k}$ ($i_j = 0, 1, j = 1, \dots, k$), каждое из которых есть сумма элементов покрытия ω_{n_k} на некотором n_k , причем $H_{i_1 \dots i_{k-1}} = H_{i_1 \dots i_{k-1} 0} \cup H_{i_1 \dots i_{k-1} 1}$ для любого кортежа $i_1 \dots i_{k-1}$ и множество $C_k = \bigcap_{\substack{i_j=0,1 \\ j=1, \dots, k}} f(H_{i_1 \dots i_k})$ непусто в R . Отсюда легко следует,

что и множество $C = \bigcap_{k=1}^\infty C_k$ непусто и для любой точки $x \in C$ полный прообраз $f^{-1}(x)$ имеет мощность континуума.

1-й шаг. Выберем точку x_1 компакта R и ее окрестность Ox_1 так, чтобы в всякой окрестности точки x_1 , вписанной в Ox_1 , граница не имела трансфинитной размерности. $f^{-1}(x_1)$ и $f^{-1}(R \setminus Ox_1)$ — непересекающиеся замкнутые множества в D^∞ . Существует натуральное число n_1 такое, что множество $O\omega_{n_1} f^{-1}(x_1)$ ** не пересекается с $f^{-1}(R \setminus Ox_1)$. Полагаем $H_0 = O\omega_{n_1} f^{-1}(x_1)$; $H_1 = D^\infty \setminus H_0$. При этом $C_1 = f(H_0) \cap f(H_1)$ не имеет трансфинитной размерности.

k -й шаг. Пусть после $(k-1)$ -го шага получены $H_{i_1 \dots i_{k-1}}$ ($i_j = 0, 1, j = 1, \dots, k-1$), причем C_{k-1} не имеет трансфинитной размерности. В множестве C_{k-1} существуют точка $x_{k-1}^{(1)}$ и ее окрестность $Ox_{k-1}^{(1)}$ такие, что граница любой окрестности в C_{k-1} точки $x_{k-1}^{(1)}$, вписанной в $Ox_{k-1}^{(1)}$, имеет трансфинитную размерность. Множества $f^{-1}(x_{k-1}^{(1)}) \cap H_{0 \dots 0}$ и $f^{-1}(C_{k-1} \setminus Ox_{k-1}^{(1)}) \cap H_{0 \dots 0}$ замкнуты и не пересекаются в $H_{0 \dots 0}$. Выберем натуральное число $n_k^{(1)} > n_{k-1}$ так, чтобы множество $O\omega_{n_k^{(1)}} \{f^{-1}(x_{k-1}^{(1)}) \cap H_{0 \dots 0}\}$ не имело общих точек с $f^{-1}(C_{k-1} \setminus Ox_{k-1}^{(1)}) \cap H_{0 \dots 0}$. Полагаем $H_{0 \dots 00} = O\omega_{n_k^{(1)}} \{f^{-1}(x_{k-1}^{(1)}) \cap H_{0 \dots 0}\}$; $H_{0 \dots 01} = H_{0 \dots 0} \setminus H_{0 \dots 00}$. Легко видеть, что $f(H_{0 \dots 0}) = f(H_{0 \dots 00}) \cup f(H_{0 \dots 01})$ и что $C_k^{(1)} = C_{k-1} \cap f(H_{0 \dots 00}) \cap f(H_{0 \dots 01})$ не имеет трансфинитной размерности.

Далее, повторяя аналогичные рассуждения, но имея в виду множества $C_k^{(1)}$ и $H_{0 \dots 01}$, построим соответствующие $n_k^{(2)}$, $H_{0 \dots 010}$ и $H_{0 \dots 011}$. Множество $C_k^{(2)}$ не имеет трансфинитной размерности. Применяя аналогичные рассуждения последовательно ко всем множествам $H_{i_1 \dots i_{k-1}}$, ($i_j = 0, 1, j = 1, \dots, k-1$) и к соответствующим $C_k^{(\alpha)}$ ($\alpha = 1, \dots, 2^{k-1}$) (в общем

* Покрытие β звездно вписано в покрытие α , если звезда любого элемента из β относительно β содержится в некотором элементе из α . Звездой множества относительно покрытия называется сумма элементов покрытия, пересекающихся с множеством.

** Т. е. звезда множества $f^{-1}(x_1)$ относительно покрытия ω_{n_1} (см. также предыдущую сноску).

жности 2^{k-1} раз), получим все нужные множества $H_{i_1 \dots i_k}$ ($i_j = 0, 1; j = 1, \dots, k$), $n_k = \max_{1 \leq j \leq 2^{k-1}} n_k^{(j)}$, а также $C_k = C_k^{(2^{k-1})}$, не имеющее трансфинитной размерности. Таким образом, теорема доказана.

Как обратил мое внимание Ю. М. Смирнов, из теоремы 1 и результатов цитированной работы Нагата вытекает

Следствие. Для того чтобы компакт R без изолированных точек имел трансфинитную размерность, необходимо, чтобы существовало отождествление канторова множества D^∞ на R такое, что прообразы точек счетны, и достаточно, чтобы существовало отображение на R некоторого компакта R' с трансфинитной размерностью такое, что прообразы точек имеют мощность меньшую, чем мощность континуума.

При доказательстве второй части утверждения, чтобы освободиться от изолированных точек в R' , достаточно в R' рассмотреть подкомпакт R_1 , состоящий из всех точек полного накопления R' ; при этом, как и R' , R_1 будет отображаться на все R , так как R не содержит изолированных точек.

Теорема 2. Множество конечнократных $((k+1)$ -кратных) отображений канторова множества D^∞ на счетномерный (k -мерный) компакт R , имеющий изолированных точек, плотно в пространстве всех отождествлений множества D^∞ на R^* .

Доказательство непосредственно вытекает из леммы.

Лемма. Пусть f и g — два отображения множества D^∞ на компакт R . Для любого $\varepsilon > 0$ существует автоморфизм θ множества D^∞ такой, что расстояние $\rho(f\theta(x), g(x)) < \varepsilon$ для всех $x \in D^\infty$.

Доказательство. Пусть n выбрано так, что покрытия $\alpha = f(\omega_n)$, $\beta = g(\omega_n)$ компакта R , образованные образами элементов покрытия ω_n соответственно при отображениях f и g , состоят из множеств диаметра $\varepsilon/4$. Разобьем покрытие ω_n двумя способами на непустые группы α_i и β_i , занумерованные одним и тем же множеством индексов I , $\alpha_i \cap \alpha_j = \Lambda$, $\beta_i \cap \beta_j = \Lambda$ при $i \neq j$, таким образом, что в каждой группе можно выбрать по множеству A_i , причем должны выполняться следующие условия: 1) если $B \in \beta_i$, то $g(B) \cap f(A_i) \neq \Lambda$; 2) если $A \in \alpha_i$, то $A \cap O_\beta f(A_i) \neq \Lambda$.

Тогда, если $A \in \alpha_i$, $B \in \beta_i$, $y_1 \in f(A)$, $y_2 \in g(B)$, то $\rho(y_1, y_2) < \varepsilon$. Любой гомоморфизм θ множества D^∞ , который отображает объединение множеств β_i на объединение множеств из α_i для всех $i \in I$, удовлетворяет требованиям леммы.

Теорема 3. Пространство R является счетной суммой своих замкнутых конечномерных подмножеств в том и только в том случае, если существует последовательность звездно вписанных друг в друга исчезающих конечных открытых покрытий такая, что в каждой точке пространства кратности всех покрытий ограничены в совокупности.

Доказательство. Необходимость. Пусть $R = \bigcup_{i=1}^{\infty} A_i$, A_i замкнуты в R , $\dim A_i = n_i < \infty$, $i = 1, 2, \dots$. Фиксируем в R произвольную последовательность $\{\alpha_i\}$ исчезающих конечных открытых покрытий. В покрытие α_1 впишем конечное открытое покрытие β_1 такое, что его кратность на множестве A_1 не превосходит $n_1 + 1$. Предположим, что уже построены покрытия $\beta_1, \dots, \beta_{i-1}$. В покрытие $\beta_{i-1} \wedge \alpha_i$ впишем открытое конечное покрытие β_i такое, что его кратность на множествах A_j , $j = 1, \dots, i$, не превосходит соответственно $n_j + 1$ (см., например, (4)). Построенная последовательность $\{\beta_i\}$ является искомой.

* На это обстоятельство обратил мое внимание Ю. М. Смирнов.

** $\alpha \wedge \beta$ означает покрытие, состоящее из всевозможных пересечений $A \cap B$, где $A \in \alpha$, $B \in \beta$.

Достаточность. Пусть последовательность покрытий $\{\beta_i\}$ удовлетворяет условиям теоремы. Обозначим через A_n совокупность точек пространства R , в которых кратность каждого β_i не превосходит n ($n = 1, 2, \dots$). Множества A_n замкнуты (так как очевидно, что $R \setminus$ открыто), и $R = \bigcup_{n=1}^{\infty} A_n$. Система покрытий $\{\beta_i\}$ отсекает на каждом конфинальную часть некоторой равномерной структуры. Бикompактное расширение множества A_n , соответствующее близости, задаваемой этой структурой (см. (5)), есть компакт, размерность которого не превосходит. Следовательно, $\dim A_n \leq n$. Теорема доказана.

В заключение выражаю глубокую признательность Ю. М. Смирнову ценные советы и замечания.

Московский государственный университет
им. М. В. Ломоносова

Поступило
11 III 1959

ЦИТИРОВАННАЯ ЛИТЕРАТУРА

¹ Nagata, Proc. Japan Acad., 34, № 3, 146 (1958). ² В. Гуревич, Г. В. Осин, Теория размерности, М., 1948. ³ Ю. М. Смирнов, Изв. АН СССР, сер. матем., 23, № 2 (1959). ⁴ Е. Скляренок, ДАН, 123, № 1 (1958). ⁵ Ю. М. Смирнов, Матем. сборн., 31 (73), 543 (1952).

А. Х. ТУРЕЦКИЙ

О КЛАССАХ НАСЫЩЕНИЯ ДЛЯ НЕКОТОРЫХ МЕТОДОВ СУММИРОВАНИЯ РЯДОВ ФУРЬЕ НЕПРЕРЫВНЫХ ПЕРИОДИЧЕСКИХ ФУНКЦИЙ

(Представлено академиком С. Л. Соболевым 14 III 1959)

Эта заметка посвящена проблеме Фавара ⁽¹⁾ отыскания классов насыщения для методов суммирования рядов Фурье непрерывных периодических функций, т. е. задаче отыскания классов функций, для которых тот или иной метод суммирования дает возможно наилучшее приближение. Классы насыщения для некоторых методов суммирования были определены Заманским ⁽²⁾, Алексичем ⁽³⁾ и Бутцером ⁽⁴⁾.

Мы здесь будем пользоваться определением насыщенного метода суммирования и класса насыщения в следующей форме. Пусть задан метод суммирования γ , определенный последовательностью функций $\gamma_k(\xi)$ ($k = 1, 2, \dots$), заданных в данной области Γ изменения параметра ξ точкой сгущения ω , которая может быть и ∞ ; т. е. каждой непрерывной 2π -периодической функции $f(x)$ с рядом Фурье

$$f(x) \sim \frac{a_0}{2} + \sum_{k=1}^{\infty} (a_k \cos kx + b_k \sin kx)$$

приводится в соответствие ряд

$$\frac{a_0}{2} + \sum_{k=1}^{\infty} \gamma_k(\xi) (a_k \cos kx + b_k \sin kx),$$

который будем предполагать сходящимся равномерно относительно x , по крайней мере, для значений ξ , близких к ω , и сумму которого обозначим через $F(x) = F(x, \xi)$.

Пусть существует неотрицательная функция $\varphi_\gamma(\xi)$, стремящаяся к нулю при $\xi \rightarrow \omega$, такая, что для любой функции $f(x)$, непрерывной, 2π -периодической, отличной от тригонометрического полинома порядка ν (ν — фиксированное натуральное число или нуль), будет $\max_x |f(x) - F(x, \xi)| >$

$a\varphi_\gamma(\xi)$, где $a > 0$ — константа, зависящая от f , и, кроме того, существуют функции $f(x)$ (отличные от тригонометрических полиномов порядка ν), для которых $\max_x |f(x) - F(x, \xi)| < b\varphi_\gamma(\xi)$, где $b > 0$ — другая

константа, также зависящая от f . Тогда будем говорить, что метод суммирования γ является насыщенным порядка ν с приближением насыщения порядка $O(\varphi_\gamma(\xi))$. Классом насыщения порядка ν относительно к методу γ назовем множество непрерывных 2π -периодических функций, отличных от тригонометрических полиномов порядка ν , для которых $|f(x) - F(x, \xi)| = O(\varphi_\gamma(\xi))$.

Во многих случаях легко ответить на вопрос: будет ли данный метод суммирования насыщенным и каково приближение насыщения — с помощью следующей теоремы.

Теорема 1. Если для данного метода суммирования γ существует неотрицательная функция $\varphi_\gamma(\xi)$, стремящаяся к нулю при $\xi \rightarrow \omega$, такая, что для всякого фиксированного натурального $k > \nu$ и $\xi \rightarrow \omega$ будет

$$1 - \gamma_k(\xi) \sim c_k \varphi_\gamma(\xi),$$

где $c_k \neq 0$ — константа, зависящая от k , но не зависящая от ξ , то процесс γ является насыщенным порядка ν с приближением насыщения порядка $O(\varphi_\gamma(\xi))$.

Следующая теорема позволяет в некоторых случаях также определить класс насыщения.

Теорема 2. Если к условиям теоремы 1 добавить условия: $\nu = 0$

$$c_k = bk^2 \quad (b \neq 0 \text{ — абсолютная константа}), \quad \frac{1}{2} + \sum_{k=1}^{\infty} \gamma_k(\xi) \cos kt \geq 0, \quad \text{т. е.}$$

класс насыщения, относящийся к методу γ , — это множество непрерывных периодических функций $f(x)$, отличных от констант, имеющих производную $f'(x)$, удовлетворяющую условию Липшица порядка единицы, т. е. для того чтобы $|f(x) - F(x, \xi)| = O(\varphi_\gamma(\xi))$, необходимо и достаточно, чтобы $f(x)$ имела производную $f'(x) \in \text{Lip } 1$.

При доказательстве теоремы 2 мы пользовались теоремой Заманского⁽²⁾, утверждающей, что условие $f'(x) \in \text{Lip } 1$ равносильно условию, что существует константа $c > 0$ такая, что для всех x и $0 \leq h \leq \pi$ выполняется неравенство $|f(x+h) + f(x-h) - 2f(x)| \leq ch^2$.

Условиям теоремы 2 удовлетворяют, например, следующие методы суммирования.

1. Метод Гаусса — Вейерштрасса — Абеля $(A, 2)$, для которого $\gamma_k(\xi) = e^{-\xi k^2/4}$ ($k = 0, 1, \dots$); при фиксированном k и $\xi \rightarrow 0$ имеем $1 - \gamma_k(\xi) \sim \frac{1}{4} k^2 \xi$.

2. Метод суммирования Римана $(R, 2)$, для которого $\gamma_k(\xi) = (\sin k\xi / k\xi)^2$ ($k = 0, 1, \dots$); при фиксированном k и $\xi \rightarrow 0$ имеем $1 - \gamma_k(\xi) \sim \frac{1}{3} k^2 \xi^2$.

3. Метод суммирования, определяемый интегралом Валле-Пуссена, для которого $\gamma_k(n) = (n!)^2 / (n-k)!(n+k)!$ при $k = 0, 1, \dots, n$; $\gamma_k(n) = 0$ для $k > n$; при фиксированном k и $n \rightarrow \infty$ имеем $1 - \gamma_k(n) \sim k^2 / n$.

4. Метод суммирования, определяемый интегралом Джексона, для которого

$$\gamma_k(n) = \frac{1}{2n(2n^2+1)} \left[\frac{(2n-k+1)!}{(2n-k-2)!} - 4 \frac{(n-k+1)!}{(n-k-2)!} \right] \quad \text{при } k = 0, 1, \dots, n-2$$

$$\gamma_k(n) = \frac{1}{2n(2n^2+1)} \frac{(2n-k+1)!}{(2n-k-2)!} \quad \text{при } k = n-1, \dots, 2n-2$$

$$\gamma_k(n) = 0 \quad \text{при } k > 2n-2;$$

при фиксированном k и $n \rightarrow \infty$ имеем $1 - \gamma_k(n) \sim 3k^2 / 2n^2$.

5. Метод суммирования Джексона — Валле-Пуссена, для которого

$$\gamma_k(n) = 1 - \frac{3k^2}{2n^2} + \frac{3k^3}{4n^3} \quad \text{при } k = 0, 1, \dots, n;$$

$$\gamma_k(n) = \frac{1}{4} \left(2 - \frac{k}{n} \right)^3 \quad \text{при } k = n, \dots, 2n;$$

$$\gamma_k(n) = 0 \quad \text{при } k \geq 2n;$$

при фиксированном k и $n \rightarrow \infty$ имеем $1 - \gamma_k(n) \sim 3k^2 / 2n^2$.

Таким образом, все эти методы имеют один и тот же класс насыщения — класс функций $f(x)$, у которых $f'(x) \in \text{Lip } 1$, но с различными приближениями насыщения, соответственно: $O(\xi)$, $O(\xi^2)$, $O(1/n)$ и $O(1/n^2)$ для последних двух методов.

Класс насыщения метода Джексона — Валле-Пуссена был найден Заманским ⁽²⁾.

Часть теоремы 2 допускает следующее обобщение.

Теорема 3. Если к условиям теоремы 1 добавить условия $v=0$, $b \neq 0$ — абсолютная константа, n — натуральное число, из неравенства $|f(x) - F(x, \xi)| = O(\varphi_\gamma(\xi))$ следует для всех $x \leq h \leq \pi/n$ при четном n неравенство $|\Delta_h^n f(x)| = O(h^n)$ или равносильное условие $f^{(n-1)}(x) \in \text{Lip } 1$, а при нечетном n неравенство $|\tilde{f}(x)| = O(h^n)$ или равносильное условие $\tilde{f}^{(n-1)}(x) \in \text{Lip } 1$ или еще одно равносильное условие $\int_{\varepsilon}^{\infty} \frac{\Delta_t^{n+1} f(x)}{t^{n+1}} dt = O(1)$ (равномерно относительно x

> 0). Здесь $\Delta_h^n f(x) = \sum_{k=0}^n (-1)^k c_n^k f[x + (n-2k)h]$.

Равносильность условий установлена Заманским ⁽²⁾.

Условиям последней теоремы удовлетворяют, например, методы суммирования Абеля (A, n) , для которых $\gamma_k(\xi) = e^{-k^n \xi}$ ($k=0, 1, 2, \dots$); при фиксированном k и $\xi \rightarrow 0$ имеем $1 - \gamma_k(\xi) \sim k^n \xi$.

Справедлива также следующая теорема, определяющая класс насыщения для метода суммирования Абеля — Пуассона, для которого, как известно, $\gamma_k(r) = r^k$ ($k=0, 1, 2, \dots$); при фиксированном k и $r \rightarrow 1$ имеем $\gamma_k(r) \sim k(r-1)$.

Теорема 4. Класс насыщения для метода суммирования Абеля — Пуассона — это множество функций $f(x)$, имеющих сопряженную функцию $\tilde{f}(x)$, удовлетворяющую условию Липшица порядка 1; т. е. для того чтобы $|f(x) - F(x, \xi)| = O(1-r)$, необходимо и достаточно, чтобы $f(x)$ для $\tilde{f}(x) \in \text{Lip } 1$.

Необходимость следует из теоремы 3, достаточность доказывается аналогично.

Белорусский государственный университет
им. В. И. Ленина

Поступило
28 VI 1958

ЦИТИРОВАННАЯ ЛИТЕРАТУРА

¹ J. Favard, Bull. sci. mathém., **61**, 209 (1937). ² M. Z am a n s k y, Ann. Sci. Éc. Norm. Sup. (3), **66**, 19 (1949); **67**, 161 (1950). ³ G. A l e x i t s, Acta math. Hung., **3**, 1952). ⁴ P. L. B u t z e r, C. R., **243**, № 20, 1473 (1956).

И. С. ХАРА

НЕСКОЛЬКО ПРИБЛИЖЕННЫХ ФОРМУЛ В ТЕОРИИ КОНФОРМНЫХ ОТОБРАЖЕНИЙ

(Представлено академиком С. Л. Соболевым 12 III 1959)

1. Конформное отображение внутренности единичного круга плоскости z на внутренность произвольного замкнутого многоугольника плоскости ζ осуществляется, как известно, при помощи интеграла Кристоффеля — Шварца

$$z = \int f(\zeta) d\zeta = \int \prod_{k=1}^n (\zeta - \zeta_k)^{\alpha_k - 1} d\zeta,$$

где α_k — внутренние углы многоугольника; $\zeta_k = e^{i\varphi_k}$ — точки единичной окружности, соответствующие вершинам многоугольника; φ_k — так называемые постоянные Кристоффеля — Шварца. Интеграл (1) для многоугольника, имеющего m осей симметрии, принимает вид

$$z = \int \prod_{k=1}^n [(\zeta^m - e^{im\varphi_k})(\zeta^m - e^{-im\varphi_k})]^{\alpha_k - 1} d\zeta,$$

где $0 \leq \varphi_1 < \varphi_2 < \dots < \varphi_n \leq \pi/m$.

Для некоторых множеств конечных и значительно отличающихся от круга многоугольников оказывается возможным установить приближенные формулы в конечном виде, дающие явное аналитическое выражение длин сторон многоугольника через постоянные Кристоффеля — Шварца, которые, в свою очередь, легко выражаются через отношения длин сторон многоугольников. Мы приведем формулы для трех множеств многоугольников.

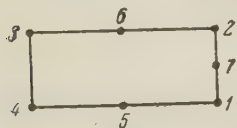


Рис. 1

1. Пусть вершинам A_1, A_2, A_3, A_4 (на всех рисунках точки обозначены цифрами, а в тексте через A_v , где v — номер точки) множества прямоугольников (рис. 1) соответствуют постоянные $\pi/2 - \varphi$; φ ; $\pi - \varphi$; $\pi + \varphi$. При $A_2, A_3: A_1 A_2 = \lambda \gg 1$ имеем приближенные формулы

$$A_1 A_2 = \frac{\pi}{2}, \quad A_2 A_3 = \ln \frac{4}{\varphi}, \quad \varphi = 4e^{-\pi\lambda/2}.$$

2. Пусть точкам A_1, A_2, \dots, A_8 множества многоугольников (рис. 2) соответствуют постоянные $-\pi/2$; $-\varphi_2$; $-\varphi_3$; $-\varphi_4$; φ_5 ; φ_6 ; φ_7 ; $\pi/2$. Через A_9 обозначена точка, соответствующая точке $\zeta = 1$, а через h — ширина полосы. Прямая $A_1 A_8$ является осью симметрии.

Положим $\pi/2 - \varphi_2 = c$; $\pi/2 - \varphi_3 = b$; $\pi/2 - \varphi_4 = a$; $\pi/2 - \varphi_5 = c$; $\pi/2 - \varphi_6 = b_1$; $\pi/2 - \varphi_7 = c_1$; имеем

$$h = \frac{\pi}{2}; \quad A_8 A_4 = f_1(a, b) = \frac{1}{2} \ln \frac{4}{a} - \frac{1}{2} \sqrt{\left(\frac{a}{b}\right)^2 - 1} \operatorname{arctg} \sqrt{\left(\frac{a}{b}\right)^2 - 1}$$

$$A_4 A_3 = f_2(a, b, c) = \frac{1}{4} \sqrt{\left(\frac{a}{b}\right)^2 - 1} \ln \frac{8b}{b-c} - \frac{\pi}{4};$$

$$A_3 A_2 = \frac{\pi}{4} \sqrt{\left(\frac{a}{b}\right)^2 - 1}; \quad A_9 A_5 = f_1(a_1, b_1);$$

$$A_5 A_6 = f_2(a_1, b_1, c_1); \quad A_6 A_7 = \frac{\pi}{4} \sqrt{\left(\frac{a_1}{b_1}\right)^2 - 1}.$$

и $A_2 A_3 = A_6 A_7$; $A_3 A_4 = A_5 A_6$ имеем множество двутавровых профилей с двухосной симметрией.

3. Пусть вершинам A_1, A_2, \dots, A_8 множества многоугольников (рис. 3) соответствуют постоянные $-\pi/2$; $-\varphi_2$; $-\varphi_3$; $-\varphi_4$; φ_5 ; φ_6 ; φ_7 ; $\pi/2$.

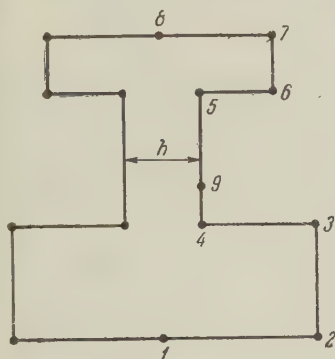


Рис. 2

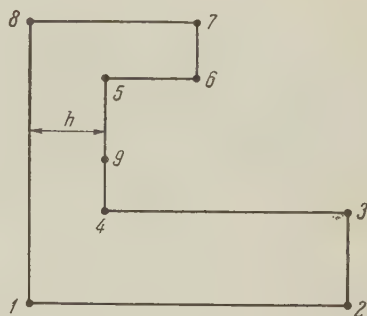


Рис. 3

точка A_9 и величина h имеют прежний смысл. Обозначая $\pi/2 - \varphi_2 = c$; $\pi/2 - \varphi_3 = b$; $\pi/2 - \varphi_4 = a$; $\pi/2 - \varphi_5 = a_1$; $\pi/2 - \varphi_6 = b_1$; $\pi/2 - \varphi_7 = c_1$, имеем

$$h = \frac{\pi}{2}; \quad A_9 A_4 = f_1(a, b) = \frac{1}{2} \ln \frac{8}{a} - \sqrt{\frac{a}{b} - 1} \arctg \sqrt{\frac{a}{b} - 1};$$

$$A_4 A_3 = f_2(a, b, c) = \frac{1}{2} \sqrt{\frac{a}{b} - 1} \ln \frac{16b}{b-c} - \frac{\pi}{2};$$

$$A_2 A_3 = \frac{\pi}{2} \sqrt{\frac{a}{b} - 1}; \quad A_9 A_5 = f_1(a_1, b_1);$$

$$A_5 A_6 = f_2(a_1, b_1, c_1); \quad A_6 A_7 = \frac{\pi}{2} \sqrt{\frac{a_1}{b_1} - 1}.$$

и $A_2 A_3 = A_6 A_7$; $A_3 A_4 = A_5 A_6$ имеем множество швеллеров с аксиальной симметрией.

Так как длины сторон многоугольников выражаются интегралами

ида $\int_{\psi_{k-1}}^{\varphi_k} |f(\zeta)| |d\zeta|$, то вывод всех приведенных выше формул сводится

приближенному вычислению этих интегралов при переменных пределах интегрирования. Мы ограничимся выводом формул только для множества оямоугольников. Имеем

$$A_1 A_2 = 2 \int_0^{\varphi} |f(\zeta)| |d\zeta| =$$

$$= \int_0^{\varphi} [\sin(\varphi - t) \sin(\varphi + t)]^{-1/2} [(\varphi - t)(\varphi + t)]^{1/2} [(\varphi - t)(\varphi + t)]^{-1/2} dt =$$

$$= \int_0^{\varphi} R_1(t, \varphi) [(\varphi - t)(\varphi + t)]^{-1/2} dt = I_1;$$

$$A_2 A_3 = 2 \int_{\varphi}^{\pi/2} |f(\zeta)| |d\zeta| = I_2 = 2 \int_{\varphi}^{\varphi_1} + 2 \int_{\varphi_1}^{\pi/2} = I_2' + I_2'';$$

$$I_2' = \int_{\varphi}^{\varphi_1} [\sin(t - \varphi) \sin(t + \varphi)]^{-1/2} [(t - \varphi)(t + \varphi)]^{1/2} [(t - \varphi)(t + \varphi)]^{-1/2} dt = \\ = \int_{\varphi}^{\varphi_1} R_2(t, \varphi) [(t - \varphi)(t + \varphi)]^{-1/2} dt;$$

$$I_2'' = \int_{\varphi_1}^{\pi/2} \left[1 - \left(\frac{\sin \varphi}{\sin t} \right)^2 \right]^{-1/2} \frac{dt}{\sin t} = \int_{\varphi_1}^{\pi/2} R_3(t, \varphi) \frac{dt}{\sin t}.$$

Так как постоянная φ для сильно вытянутых прямоугольников является малой величиной, то мы можем распорядиться величиной φ_1 так, чтобы она, оставаясь малой, во много раз превосходила постоянную φ . При таком выборе величины φ_1 функции $R_1(t, \varphi)$, $R_2(t, \varphi)$ и $R_3(t, \varphi)$ в соответствующих промежутках интегрирования будут весьма мало отличаться от единицы и, следовательно, могут быть разложены в быстро сходящиеся ряды. Исходя из ряда $\sqrt{\frac{x}{\sin x}} = 1 + \frac{x^2}{12} + \frac{x^4}{160} + \dots$, разложение функции $R_2(t, \varphi)$ в ряд по степеням малых величин находим путем перемножения рядов для $\sqrt{\frac{t - \varphi}{\sin(t - \varphi)}}$ и $\sqrt{\frac{t + \varphi}{\sin(t + \varphi)}}$. Аналогично находится разложение в ряд функций $R_1(t, \varphi)$. Функция $R_3(t, \varphi)$ разлагается в ряд по степеням $\left(\frac{\sin \varphi}{\sin t}\right)^2$. Удержав в указанных рядах по несколько членов, выполнив интегрирование и произведя некоторые преобразования, замечаем, что интеграл I_1 разлагается в степенной ряд по степеням φ^2 , а интеграл I_2 в ряд по степеням φ^2 с коэффициентами, зависящими от $\ln \frac{4}{\varphi}$. Имеем:

$$A_1 A_2 = I_1 = \frac{\pi}{2} \left[1 + \frac{1}{4} \varphi^2 + \frac{11}{192} \varphi^4 + \dots \right]; \quad (3)$$

$$A_2 A_3 = I_2 = \ln \frac{4}{\varphi} + \left(\frac{1}{4} \ln \frac{4}{\varphi} - \frac{1}{12} \right) \varphi^2 + \left(\frac{11}{192} \ln \frac{4}{\varphi} - \frac{193}{5760} \right) \varphi^4 + \dots \quad (4)$$

Обратив ряд (3), находим

$$\lambda = A_2 A_3: A_1 A_2 = \frac{2}{\pi} \ln \frac{4}{\varphi} - \frac{1}{6\pi} \varphi^2 - \frac{73}{2880\pi} \varphi^4 - \dots \quad (5)$$

Удержав в правой части равенства (5) только первое слагаемое, приходим к приближенной формуле $\varphi = 4e^{-\pi\lambda/2}$, степень точности которой оценим следующим образом. Исходя из заданного λ , находим приближенное значение φ по формуле $\varphi = 4e^{-\pi\lambda/2}$; пусть $\bar{\lambda} = \bar{\lambda}(\lambda)$ — точное значение отношения сторон прямоугольника, соответствующее найденному φ а $\lambda^*(\lambda)$ — вычисленное с достаточно большой точностью приближенное значение величины $\bar{\lambda} = \bar{\lambda}(\lambda)$. Представление о степени точности формулы $\varphi = 4e^{-\pi\lambda/2}$ дает величина $|\lambda^*(\lambda) - \lambda| : \lambda = \eta = \eta(\lambda)$. Беря при больших λ в качестве $\lambda^*(\lambda)$ сумму первых двух слагаемых ряда (5), находим $\eta(\lambda) = \frac{8}{3\pi\lambda} e^{-\pi\lambda}$. Числа $\eta(1) = 0,04$; $\eta(2) = 0,0008$; $\eta(5) = 2,6 \cdot 10^{-8}$; $\eta(10) = 1,9 \cdot 10^{-15}$ свидетельствуют, с одной стороны, о быстром росте степени точности формулы $\varphi = 4e^{-\pi\lambda/2}$ при росте λ , а с другой стороны, о применимости этой формулы практически для всех $\lambda \geq 1$. При подсчете чисел $\eta(1) = 0,04$ были использованы три члена ряда (5).

II. Пусть заданному λ соответствуют φ , которое неизвестно, и величина также неизвестная, такая, что равенство $\varphi = 4e^{-\pi\tilde{\lambda}^*/2}$ является точным. Построим числа $\tilde{\lambda}_0, \tilde{\lambda}_1, \dots, \tilde{\lambda}_k$ такие, что $\tilde{\lambda}_k \rightarrow \tilde{\lambda}^*$ при $k \rightarrow \infty$. Положим $\tilde{\lambda}_{k+1} = \tilde{\lambda}_k + \Delta\lambda_k$, где $\Delta\lambda_k = \lambda - \bar{\lambda}_k$; $\bar{\lambda}_k$ соответствует $\bar{\varphi}_k = 4e^{-\pi\tilde{\lambda}_k/2}$. Числа $\bar{\lambda}_k$ могут приближенно вычисляться при помощи ряда (5). Можно считать $\tilde{\lambda}_0 = \lambda$.

Пример 1. Пусть $\lambda = 1$. Имеем $\bar{\lambda}_0 = 0,96$; $\bar{\lambda}_1 = 1,0046$, $\bar{\lambda}_2 = 1,0000$.

Пример 2. Пусть $\lambda = 2$. Имеем $\bar{\lambda}_0 = 1,998408$; $\bar{\lambda}_1 = 1,999984$.

III. Множество прямоугольников, соответствующих множеству значений φ из интервала $0 < \varphi < \pi/4$, будем рассматривать как один прямоугольник переменной длины и проследим в общих чертах характер изменения (деформации) этого прямоугольника при уменьшении постоянного φ . В силу симметрии достаточно проследить деформацию правой половины $A_1A_2A_6A_5$ (рис. 1). Пусть граничная точка A прямоугольника на рис. 1 точка A не показана является образом точки $B(e^{i\psi})$ единичной окружности, где ψ — фиксированная достаточно малая положительная величина. Пусть постоянная φ , монотонно уменьшаясь, проходит через значение ψ . Точка A при $\varphi > \psi$ находится между точками A_7 и A_2 , при $\varphi = \psi$ совпадает с точкой A_2 , при $\varphi < \psi$ находится между точками A_2 и A_1 . Расстояние l точки A от прямой A_5A_6 при $\varphi > \psi$ возрастает, при $\varphi = \psi$ достигает максимума, который приближенно равен $l_{\max} = \frac{1}{2} \ln \frac{2}{\psi}$, при $\varphi < \psi$ убывает и быстро стремится к предельному значению l_{\min} . Так как при $\psi \gg \varphi$ имеем приближенное равенство $l = \frac{1}{2} \ln \operatorname{ctg} \frac{\psi}{2} + \frac{1}{8} \left(\frac{\varphi}{\psi} \right)^2$, $l_{\min} = \frac{1}{2} \ln \operatorname{ctg} \frac{\psi}{2}$. Для малых ψ можно положить $l_{\min} = \frac{1}{2} \ln \frac{2}{\psi}$. Величина $l_{\max} - l_{\min}$ как бы характеризует абсолютное сжатие, а величина $(l_{\max} - l_{\min}) : A_1A_2 = \frac{\ln 2}{\pi} = 0,22$ — относительное сжатие прямоугольника. Полагая $\lambda = 2\lambda_1$, $l_{\min} : A_1A_2 = \lambda_2$, $\lambda_1 - \lambda_2 = \mu$, находим $\frac{\varphi}{\psi} = 2e^{-\pi\mu} = \gamma(\mu)$, $(l_{\max} - l_{\min}) : A_1A_2 = \frac{1}{8} \left(\frac{\varphi}{\psi} \right)^2 : \frac{\pi}{2} = \frac{1}{\pi} e^{-2\pi\mu} = \omega(\mu)$. Так как $\gamma(1) = 0,086$, то условие $\varphi \ll \psi$, на котором основана справедливость приближенной формулы $l = \frac{1}{2} \ln \frac{2}{\psi} + \frac{1}{8} \left(\frac{\varphi}{\psi} \right)^2$, а следовательно, и формулы $\omega(\mu) = \frac{1}{\pi} e^{-2\pi\mu}$, можно считать выполненным при $\mu \geq 1$. Величина относительного сжатия ω , а также числа $\omega(1) = 5,9 \cdot 10^{-4}$, $\omega(2) = 1,1 \cdot 10^{-6}$, $\omega(5) = 7,2 \cdot 10^{-15}$ свидетельствуют о том, что наиболее сильной деформации подвергается лишь узкая полоса прямоугольника, непосредственно прилегающая к стороне A_1A_2 , а деформациями полос, находящихся от стороны A_1A_2 на расстоянии $\mu \geq 1$, практически можно пренебречь. Ширину полосы, которая подвергается заметной деформации, можно считать равной единице.

Н. И. ФЕЛЬДМАН

О МЕРЕ ТРАНСЦЕНДЕНТНОСТИ ЧИСЛА π И ЛОГАРИФМОВ АЛГЕБРАИЧЕСКИХ ЧИСЕЛ

(Представлено академиком П. С. Александровым 16 III 1959)

Мерой трансцендентности числа ζ называют функцию

$$\Phi(H, n, \zeta) = \min_{|a_k| \leq H} |a_0 + a_1 \zeta + \dots + a_n \zeta^n|;$$

a_k — целые рациональные числа; $a_0^2 + a_1^2 + \dots + a_n^2 > 0$.

Если ζ — трансцендентное число, то $\Phi(H, n, \zeta)$ всегда больше нуля. В то же время мера трансцендентности должна достаточно быстро убывать вместе с ростом H или n , именно:

$$\Phi(H, n, \zeta) \leq \begin{cases} c^n H^{-n}, & \text{если } \zeta \text{ — вещественное число,} \\ c^n H^{-\frac{n-1}{2}}, & \text{если } \zeta \text{ — комплексное число.} \end{cases}$$

Здесь c зависит лишь от ζ .

Получаемые оценки функции $\Phi(H, n, \zeta)$ естественно сравнивать с нулем (2).

Оценке снизу меры трансцендентности числа π и логарифмов алгебраических чисел был посвящен ряд работ. Такие оценки были даны Д. Д. Мордухай-Болтовским (1), Попкеном (2) и Зигелем (3). Позднее Малер (4) дал более точные оценки: он показал, что

$$\Phi(H, n, \ln \alpha) \geq c_1(n) H^{-c^n},$$

$$\Phi(H, n, \pi) \geq c_1(n) H^{-c^n}.$$

Здесь n фиксированное; $\ln \alpha$ — вещественная ветвь логарифма положительного рационального числа; постоянные $c_1(n)$ и $c > 1$ не зависят от H .

Автор настоящей статьи получил неравенства

$$\begin{aligned} \Phi(H, n, \ln \alpha) &> e^{-\gamma_1 n^2 \ln(n+1)(1+n \ln n + \ln H) \ln(2+n \ln n + \ln H)}, \\ \Phi(H, n, \pi) &> e^{-\gamma_2 n (1+n \ln n + \ln H) \ln(2+n \ln n + \ln H)}, \end{aligned}$$

где γ_1 зависит лишь от алгебраического числа α и выбора ветви логарифма, а γ_2 — абсолютная постоянная (5, 6). Здесь n и H могут изменяться независимо друг от друга.

Малер (7, 8) уточнил неравенства (3) и распространил их на логарифмы любых алгебраических чисел. Полученные им оценки соответствуют неравенствам

$$\begin{aligned} \Phi(H, n, \ln \alpha) &> H^{-c^n}, \\ \Phi(H, n, \pi) &> H^{-c_1^n}, \quad c, c_1 > 1. \end{aligned}$$

(Малер формулирует свои результаты в несколько иной форме.)

Оценки (5) точнее оценок (4), если $\ln \ln H \geq n$. Для n , растущих быстрее, чем $\ln \ln H$, оценки (4) точнее.

Совершенствование метода, с помощью которого были получены неравенства (4)*, позволяет для $n < \sqrt[4]{\ln H}$ получить неравенства

$$\begin{aligned}\Phi(H, n, \ln \alpha) &> H^{-\gamma_0 n^2 \ln^3(n+1)}, \\ \Phi(H, n, \pi) &> H^{-\gamma_n \ln(n+1)},\end{aligned}\quad (6)$$

γ — абсолютная постоянная, а γ_0 зависит лишь от $\ln \alpha$.

Неравенства (6) значительно ближе к естественной границе (2), чем неравенства (5). Очевидно, существуют такие постоянные n_1 и $n_2(\ln \alpha)$, для $n > n_1$ (соответственно $n > n_2$) неравенства (6) будут точнее неравенств (5).

Оценки меры трансцендентности числа тесно связаны с оценками меры близости между этим числом и алгебраическими числами. Для числа π логарифмов алгебраических чисел справедливы неравенства

$$\begin{aligned}|\pi - \xi| &> e^{-\gamma_3 n \ln(n+2) \ln H}, \\ |\ln \alpha - \xi| &> e^{-\gamma_4 n^2 \ln^2(n+2) \ln H}.\end{aligned}\quad (7)$$

Для $n < \sqrt[4]{\ln H}$; γ_3 — абсолютная постоянная; γ_4 зависит лишь от $\ln \alpha$, — алгебраическое число степени n и высоты H . До сих пор для разностей $|\pi - \xi|$ и $|\ln \alpha - \xi|$ были известны оценки типа (4) и (5).

Соответствующее улучшение получается и для оценки снизу суммы

$$|\ln \alpha_1 - \xi_1| + \dots + |\ln \alpha_k - \xi_k|,$$

$\alpha_1, \dots, \alpha_k, \xi_1, \dots, \xi_k$ — алгебраические числа.

Московский геолого-разведочный институт
им. С. Орджоникидзе

Поступило
13 III 1959

ЦИТИРОВАННАЯ ЛИТЕРАТУРА

- ¹ Д. Д. Мордухай-Болтовский, С. Р., 176, 724 (1923). ² J. Porcken, Math. Zs., 29, 542 (1929). ³ C. L. Siegel, Abh. Preuss. Akad. Wiss., № 1 (1929). ⁴ K. Mahler, J. reine u. angew. Math., 166, 118 (1932). ⁵ Н. И. Фельдман, Изв. АН СССР, сер. матем., 15, № 1, 66, 565 (1949). ⁶ Н. И. Фельдман, Phil. Trans. Roy. Soc. London, A, 245, № 898, 371 (1953). ⁷ K. Mahler, Proc. Koninkl. Nederl. Akad. Wetensch., A, 56, № 1, 30 (1953). ⁸ О. Гельфонд, Трансцендентные и алгебраические числа, М.—Л., 1952.

* Неравенства (4) были выведены благодаря использованию в первую очередь естественного метода А. О. Гельфонда (⁹), с помощью которого он решил седьмую проблему Гильберта.

Н. Н. КОЧИНА

ОБ ОСОБЕННОСТЯХ ВБЛИЗИ ЦЕНТРА ВЗРЫВА И О ВОЗНИКНОВЕНИИ ДВУХ УДАРНЫХ ВОЛН

(Представлено академиком Л. И. Седовым 6 III 1959)

Задача о сильном точечном взрыве в идеальной сжимаемой среде рассматривалась Н. Н. Кочиной и Н. С. Мельниковой⁽²⁾, а также Ю. Л. Якимовичем⁽³⁾; движения предполагались автомодельными. Представляет интерес исследование сред с уравнениями состояния, близкими к уравнениям состояния соответствующим автомодельным движениям. При таком предположении в настоящей статье рассмотрена задача о точечном взрыве в сжимаемой среде (в линеаризированной постановке).

Внутреннюю энергию среды всегда можно представить в виде

$$\varepsilon(p, \rho) = p_0 E(R, P) / \rho_0 + \text{const};$$

$$E(R, P) = P \varphi(R) + \Delta(R, P) \quad (R = \rho / \rho_0, \quad P = p / p_0),$$

где φ и Δ — произвольные функции своих аргументов; p_0 — константа размерности давления и ρ_0 — константа размерности плотности.

Так как

$$dS = \frac{d\varepsilon + p d(1/\rho)}{T}$$

есть полный дифференциал, при заданном $E(R, P)$ температура T удовлетворяет линейному уравнению в частных производных⁽¹⁾

$$T + \frac{\partial T}{\partial P} (R^2 \frac{\partial E}{\partial R} - P) - R^2 \frac{\partial T}{\partial R} \frac{\partial E}{\partial P} = 0.$$

Возьмем в качестве безразмерных переменных

$$\lambda = r / r_2, \quad q = a_1^2 / c^2 \quad (c = dr_2 / dt), \quad f = v / c, \quad g = \rho / \rho_2, \quad h = p / p_2.$$

Индексом 2 отмечены величины за фронтом ударной волны, 1 — перед фронтом; a_1 — скорость звука в невозмущенной среде.

Учитывая (2), (1) и условия на фронте ударной волны, запишем переменных (4) уравнения одномерного неустановившегося движения среды:

$$(f - \lambda) \frac{\partial f}{\partial \lambda} + \left(\frac{\partial f}{\partial q} - \frac{f}{2q} \right) \frac{dq}{ds} + \frac{q}{B} \frac{P_2}{R_2} \frac{1}{g} \frac{\partial \partial}{\partial \lambda} = 0,$$

$$\frac{(f - \lambda)}{g} \frac{\partial g}{\partial \lambda} + \frac{1}{R_2 g} \frac{\partial (R_2 g)}{\partial q} \frac{dq}{ds} + \frac{\partial f}{\partial \lambda} + \frac{(v - 1) f}{\lambda} = 0,$$

$$P_2 (f - \lambda) \frac{\partial h}{\partial \lambda} + \frac{\partial}{\partial q} (P_2 h) \frac{dq}{ds} + \left[R_2 (f - \lambda) \frac{\partial g}{\partial \lambda} + \frac{\partial}{\partial q} (R_2 g) \frac{dq}{ds} \right] \left[- \frac{\chi'(R)}{\chi(R)} P + \right.$$

$$\left. + \left(\frac{\partial \Delta}{\partial R} + \frac{\chi'(R)}{\chi(R)} P \frac{\partial \Delta}{\partial P} \right) / \left(\varphi(R) + \frac{\partial \Delta}{\partial P} \right) \right] = 0,$$

где обозначено

$$s = \ln(p_1 / E_0)^{1/\nu} r_2, \quad B = \rho_0 a_1^2 / p_0,$$

$$\chi(R) = \exp \int \frac{dR}{R^2 \varphi(R)} / \varphi(R), \quad P_2 = P_1 + \frac{B R_1}{q} \left(1 - \frac{R_1}{R_2} \right),$$

$$P_1 \left[\frac{1}{R_1} + \varphi(R_1) \right] + \Delta(R_1, P_1) - P_2 \left[\frac{1}{R_2} + \varphi(R_2) \right] - \Delta(R_2, P_2) = \frac{B}{2q} \left[\left(\frac{R_1}{R_2} \right)^2 - \right.$$

— полная энергия взрыва; $\nu = 1, 2, 3$ соответственно для случая плоской, цилиндрической и сферической симметрии.

Решение задачи о точечном взрыве в сжимаемой среде сводится к интегрированию нелинейной системы уравнений в частных производных с граничными условиями на фронте ударной волны, где $\lambda = 1$:

$$f(1, q) = 1 - R_1/R_2(q), \quad g(1, q) = h(1, q) = 1 \quad (7)$$

еще некоторыми начальными и граничными условиями. Функции T и S находятся соответственно из уравнений (3) и (2).

Для автомодельности движения достаточно, чтобы функция $E(R, P)$ имела вид $(1, 4)$.

$$E(R, P) = P\Phi(R). \quad (8)$$

В предположении, что в выражении (1) функция $\Delta(R, P)$ мала по сравнению с $P\Phi(R)$, используя (2) и (3), найдем следующие выражения для температуры и энтропии среды (Φ — произвольная функция своего аргумента):

$$T = \exp \int \frac{dR}{R^2 \Phi(R)} \left\{ \Phi(\psi) \left[1 - \int \frac{\exp \left(- \int \frac{dR}{R^2 \Phi(R)} \right) \frac{\partial \Delta(R, \psi)}{\partial \psi} dR \right] + \right. \quad (9)$$

$$+ \Phi'(\psi) \int \exp \left(- \int \frac{dR}{R^2 \Phi(R)} \right) \frac{\partial \Delta(R, \psi)}{\partial R} dR \Big\}, \quad S = S_0 + \frac{p_0}{p_0} \left\{ \int \frac{1}{\Phi(\psi)} [d\psi + \right.$$

$$\left. + \exp \left(- \int \frac{dR}{R^2 \Phi(R)} \right) \frac{\partial \Delta(R, \psi)}{\partial R} dR \right\}, \quad \psi = P\Phi(R) \exp \left[- \int \frac{dR}{R^2 \Phi(R)} \right].$$

Ясно, что если $\Delta(R, \psi) \equiv 0$, эти формулы определяют термодинамические функции для автомодельного движения $(1, 2)$.

Остановимся теперь на частном случае $\Delta(R, P) = P^m \Delta_0(R)$ ($0 \leq m < 1$). Линеаризуя условия (6) на ударной волне, получим зависимость функций P_2 и R_2 от q :

$$R_2 = R_{2a} + \xi q^n, \quad P_2 = \frac{1}{q} (\eta + \zeta q^n) + P_1 \quad (n = 1 - m); \quad (10)$$

$$R_1 = \frac{R_{2a}}{1 + 2R_{2a} \Phi(R_{2a})}, \quad \eta = BR_1 \left(1 - \frac{R_1}{R_{2a}} \right), \quad \zeta = B \left(\frac{R_1}{R_{2a}} \right)^2 \xi.$$

При $q = 0$ формулы (10) описывают автомодельное движение; ξ — некоторая константа.)

Будем считать, что функции $s(q)$, $f(\lambda, q)$, $g(\lambda, q)$ и $h(\lambda, q)$ можно представить в виде

$$s(q) = \frac{1}{\nu} \ln A_0 q + \frac{A}{\nu} q^n + \dots, \quad f(\lambda, q) = f_0(\lambda) + q^n f_1(\lambda) + \dots, \quad (11)$$

$$g(\lambda, q) = g_0(\lambda) + q^n g_1(\lambda) + \dots, \quad h(\lambda, q) = h_0(\lambda) + q^n h_1(\lambda) + \dots,$$

$$\left(A_0 = \left(\frac{2}{2 + \nu} \right)^2 \frac{1}{\alpha} \frac{p_1}{\rho_1 a_1^2} \right);$$

$= E_0/E$, где E — константа, входящая в автомодельный закон движения ударной волны; A — неизвестная пока константа; $f_0(\lambda)$, $g_0(\lambda)$ и $h_0(\lambda)$ — функции, дающие решение автомодельной задачи ($q = 0$), предполагаемое известным.

Пользуясь формулами (10) и (11), линеаризуем систему (5). Получим линейную систему обыкновенных дифференциальных уравнений для функций $f_1(\lambda)$, $g_1(\lambda)$ и $h_1(\lambda)$:

$$\frac{b}{B} h_1' + g_0(f_0 - \lambda) f_1' + g_0 \left[\nu \left(n - \frac{1}{2} \right) + f_0' \right] f_1 - \frac{b}{B} \frac{h_0'}{g_0} g_1 +$$

$$+ \frac{c - ab}{B} h_0' + \frac{\nu n A}{2} f_0 g_0 = 0, \quad (12)$$

$$\begin{aligned}
(f_0 - \lambda) g'_1 + g_0 f'_1 + \left[f'_0 + \frac{(v-1)f_0}{\lambda} + \nu n \right] g_1 + \left[g'_0 + \frac{(v-1)g_0}{\lambda} \right] f_1 + \nu a n g_0 &= 0, \\
(f_0 - \lambda) \left[h'_1 - R_{2a} \frac{\chi'(R_0)}{\chi(R_0)} h_0 g'_1 \right] + \left[h'_0 - R_{2a} \frac{\chi'(R_0)}{\chi(R_0)} h_0 g'_0 \right] f_1 + \\
+ \left[\nu(n-1) - R_{2a} \frac{\chi'(R_0)}{\chi(R_0)} g'_0 (f_0 - \lambda) \right] h_1 - \Omega g_1 + \nu \left[n \left(A + \frac{c}{b} \right) + a \right] h_0 - \\
- a(f_0 - \lambda) h'_0 - a \Omega g_0 + \frac{b^{m-1} R_{2a}^m h_0^m g'_0 (f_0 - \lambda)}{\varphi(R_0)} \left\{ m \Delta_0(R_0) \frac{\chi'(R_0)}{\chi(R_0)} + \Delta'_0(R_0) \right\} = \\
= \left(\Omega = \left\{ R_{2a}^2 \frac{[\chi''(R_0) \chi(R_0) - \chi'^2(R_0)]}{\chi^2(R_0)} (f_0 - \lambda) g'_0 + \nu n R_{2a} \frac{\chi'(R_0)}{\chi(R_0)} \right\} h_0 \right), \\
R_0 = R_{2a} g_0, \quad a = \xi / R_{2a}, \quad b = \eta / R_{2a}, \quad c = \zeta / R_{2a}.
\end{aligned}$$

В силу (7) и (10) — (12) граничные условия на ударной волне примут вид

$$\begin{aligned}
f_0(1) &= 1 - R_1 / R_{2a}, \quad g_0(1) = h_0(1) = 1, \\
f_1(1) &= a R_1 / R_{2a}, \quad g_1(1) = h_1(1) = 0.
\end{aligned} \quad (1)$$

При $\Delta(R, P) \equiv 0$ и $n = 1$ уравнения (12) с условиями (13) дают решение линеаризированной задачи о точечном взрыве для среды с внутренней энергией (8) для тех моментов времени, для которых уже нельзя пренебрегать давлением в невозмущенной среде. Аналогично тому, что сделано для этого случая в статье (2), производится оценка моментов времени, до которых можно пользоваться: 1) автомодельными решениями, исходя из линеаризованных условий на ударной волне, и 2) линеаризованными решениями, исходя из точных условий на ударной волне. Случай $\Delta(R, P) \equiv 0$ и $n = 1$ для идеального газа был рассмотрен в работах (5-7) (точечный взрыв в идеальном газе с учетом противодействия, где использовались для этого случая уравнения, аналогичные (5) и (12)).

Рассмотрим в качестве примера среду, слабо отличающуюся от идеального газа с показателем адиабаты $\gamma = 7$. Автомодельная задача имеет простое точное решение (1). Переходя от переменных λ, q к переменным Λ, τ и вводя, как это сделано М. Л. Лидовым (8), функции F, G, H , так что

$$\Lambda = (\rho_1 / E)^{1/5} r t^{-2/5}, \quad \tau = (\rho_0 E^{-2/5} \rho_0^{-9/5})^{n t^{5/5} n}, \quad (1)$$

$$v = 1/10 \frac{r}{t} F, \quad \rho = 4/3 \rho_1^{9/5} E^{-1/5} r t^{-2/5} G, \quad p = \frac{1}{25} \rho_1^{9/5} E^{-1/5} r^3 t^{-12/5} H,$$

видим, что $F = G = H = 1$ есть решение автомодельной задачи. Полагая

$$F(\Lambda, \tau) = 1 + \tau f(\Lambda), \quad G(\Lambda, \tau) = 1 + \tau g(\Lambda), \quad H(\Lambda, \tau) = 1 + \tau h(\Lambda), \quad (1)$$

получим точное решение системы (12) в виде

$$f(\Lambda) = -3 \sum_{i=2}^3 J_i(\Lambda) \Lambda^{k_i}; \quad g(\Lambda) = \sum_{i=1}^3 \mu_i J_i(\Lambda) \Lambda^{k_i}; \quad h(\Lambda) = \sum_{i=1}^3 \sigma_i J_i(\Lambda) \Lambda^{k_i}$$

$$k_1 = 4n; \quad \mu_1 = 1; \quad \sigma_1 = \frac{3}{k_1 + 3}; \quad k_{2,3} = \frac{-(12n + 17) \pm \sqrt{7(48n^2 + 40n + 7)}}{4} \quad (1)$$

$$\mu_i = \frac{4 + k_i}{4n - k_i}, \quad \sigma_i = \frac{24 + 7k_i}{4n - k_i} \quad (i = 2, 3);$$

$$J_i(\Lambda) = C_i + (-1)^i \frac{D_{3i}}{3D_0} \int_1^\Lambda \Lambda^{-k_i-1} \Phi(\Lambda) d\Lambda \quad (i = 1, 2, 3);$$

$$D_0 = \begin{vmatrix} \sigma_1 & 3 + \sigma_2 & 3 + \sigma_3 \\ 1 & 1 + \mu_2 & 1 + \mu_3 \\ \sigma_1 & 7 + \sigma_2 & 7 + \sigma_3 \end{vmatrix}; \quad (16)$$

$$\Phi(\Lambda) = 24(25)^n R_1^{1-3/n} \Lambda^{1-3n} [{}^{4/3}R_1 \Lambda \Delta_0'({}^{4/3}R_1 \Lambda) + 7m\Delta_0({}^{4/3}R_1 \Lambda)];$$

— произвольные константы; D_{3i} — миноры детерминанта D_0 . В статье (7) дано решение (16) для случая $n = 1$, $\Delta(P, R) \equiv 0$.

Пусть для $0 \leq R \leq 4R_1\Lambda_*/3$ $\Delta_0(R) = CR^{-7m}$. Тогда для $0 \leq \Lambda \leq \Lambda_*$ $\Delta \equiv 0$ или, в силу (16), $J_i(\Lambda) = C_i' = J_i(\Lambda_*)$. Для этого интервала значений Λ , а значит и для значений Λ , близких к нулю, решение (16) совпадает с решением (4), найденным М. Л. Лидовым (8), рассматривавшим другую задачу. Вследствие этого к решению (14), рассмотренному при значении $\Lambda = 0$, полностью применимо предлагаемое М. Л. Лидовым (8) качественное исследование системы обыкновенных дифференциальных уравнений для функций $F(x)$, $G(x)$ и $H(x)$, где $x = \tau\Lambda^{k_2}$; при этом $C_3' = 0$, C_1' , C_2' и A определяются из формул (16) и условий на ударной волне.

Детальное качественное исследование обыкновенных дифференциальных уравнений, проведенное нами для значений n в диапазоне $0 < n \leq 1$, показывает, что в зависимости от величины n и знака C_2' получаются следующие картины движения за фронтом ударной волны:

1. При $0 < n < 0,54545$, $C_2' > 0$ решение продолжимо до центра симметрии ($x = \infty$), где плотность и скорость обращаются в нуль, а давление конечно. Асимптотические формулы имеют вид

$$F = 4(k_2 + 3n)/7k_2 + C_4 x^{3/2k_2}; \quad G = C_5 x^{-3/2k_2}, \quad H = C_6 x^{-3/k_2}.$$

2. При $0 < n < 0,24760$, $C_2' < 0$, вблизи центра образуется расширяющаяся со скоростью частиц полость, на границе которой давление и плотность обращаются в нуль, причем $x = x_0 = \text{const}$,

$$F = -4(3n - k_2)/k_2 + C_4(x - x_0); \quad G = C_5(x - x_0)^{2/3}, \quad H = C_6'(x - x_0)^{1/3}.$$

3. При $0,66978 < n \leq 1$, $C_2' < 0$ решение продолжимо до центра симметрии ($x = \infty$), где

$$F = 10 + C_4 x^{-3/2k_2}, \quad G = C_5 x^{-3/2k_2}, \quad H = C_6 x^{-3/2k_2} \quad (l_2 = k_2 + 2n > 0).$$

4. Если для $0 \leq R \leq R_*$ $\Delta_0(R) \equiv 0$, то при $0,54545 < n \leq 1$, $C_2' > 0$, также при $0,24760 < n < 0,66978$, $C_2' < 0$, наряду с ударной волной распространяющейся по невозмущенной среде, возникает вторая ударная волна, движущаяся из центра симметрии медленнее первой. При $C_2' > 0$ асимптотическое поведение решения таково, как в случае 1, при $C_2' < 0$ — в случае 2.

В заключение выражаю благодарность Л. И. Седову за руководство работой и М. Л. Лидову за обсуждение.

Математический институт им. В. А. Стеклова
Академии наук СССР

Поступило
25 II 1959

ЦИТИРОВАННАЯ ЛИТЕРАТУРА

1. Л. И. Седов, Методы подобия и размерности в механике, М., 1957. 2. Н. Н. Кошман, Н. С. Мельникова, Прикл. матем. и мех., 22, в. 1 (1958). 3. Ю. Л. Якин, Распространение ударных волн в идеальных средах с произвольными физическими свойствами, Диссертация, М., 1959. 4. Г. М. Бам-Зеликович, Сборн. № 4 Гидродинамическая гидромеханика, 1949. 5. Н. С. Бурнова-Мельникова, Исследование задачи о точечном взрыве, Диссертация, М., 1953. 6. Akira Sakurai, Phys. Soc. Japan, 8, № 5 (1953); 9, № 2 (1954). 7. В. П. Коробейников, Н. С. Мельникова, ДАН, 116, № 2 (1957). 8. М. Л. Лидов, ДАН, 120, № 6 (1958).

И. И. НОЧЕВКИНА

О ПРИБЛИЖЕННОМ МЕТОДЕ ИССЛЕДОВАНИЯ ПЛОСКИХ ВИХРЕВЫХ ТЕЧЕНИЙ В МАГНИТНОЙ ГИДРОДИНАМИКЕ

(Представлено академиком Л. А. Арцимовичем 6 III 1959)

Рассмотрим плоское установившееся вихревое движение идеальной сжимаемой жидкости, находящейся в магнитном поле, перпендикулярном плоскости течения x, y . Исследование взаимодействий магнитных и гидродинамических явлений проводящей среды с бесконечной проводимостью и определение основных параметров среды математически сводится к решению системы нелинейных дифференциальных уравнений в частных производных

$$\operatorname{rot} [\mathbf{vH}] = 0, \quad \operatorname{div} \mathbf{H} = 0, \quad (\mathbf{v}\nabla) \mathbf{v} = -\frac{1}{\rho} \nabla p + \frac{\mathbf{f}}{\rho},$$

$$\operatorname{div} \rho \mathbf{v} = 0, \quad p = A(\psi) \rho^n - B(\psi),$$

где $\mathbf{H}(x, y)$ — напряженность магнитного поля; $\mathbf{f}(x, y)$ — объемная плотность электромагнитных сил; $\psi(x, y)$ — функция тока; $\rho(x, y)$ — плотность среды; $p(\rho, \psi)$ — давление; $\mathbf{v}(\rho, \psi)$ — вектор скорости; $A(\psi)$, $B(\psi)$ — функции, характеризующие распределение энтропии, постоянные вдоль линии тока.

Из уравнений неразрывности и уравнения поля находим первый интеграл системы (1)

$$\frac{H}{\rho} = a(\psi),$$

где $a(\psi)$ — функция от энтропии, постоянная вдоль линии тока.

Если ввести безразмерные величины

$$\mathbf{v}_\sim = \frac{\mathbf{v}}{a^*}, \quad \mathbf{H}_\sim = \frac{\mathbf{H}}{a^* \sqrt{\rho^*}}, \quad \rho_\sim = \frac{\rho}{\rho^*}, \quad p_\sim = \frac{p}{\rho^* a^{*2}},$$

где ρ^* — плотность в адиабатически заторможенном газе, которую будем считать постоянной во всей области течения, $a^* = (\partial p / \partial \rho)_s$ — скорость звука в адиабатически заторможенном газе, и подставить (2) в (1), то система (1) в проекциях на координатные оси x, y примет вид

$$u_\sim \frac{\partial u_\sim}{\partial x} + v_\sim \frac{\partial u_\sim}{\partial y} = -\frac{1}{\rho_\sim} \frac{\partial}{\partial x} [p_\sim + Q_\sim(\psi) \rho_\sim^2],$$

$$u_\sim \frac{\partial v_\sim}{\partial x} + v_\sim \frac{\partial v_\sim}{\partial y} = -\frac{1}{\rho_\sim} \frac{\partial}{\partial y} [p_\sim + Q_\sim(\psi) \rho_\sim^2],$$

$$\frac{\partial}{\partial x} (\rho_\sim u_\sim) + \frac{\partial}{\partial y} (\rho_\sim v_\sim) = 0, \quad p_\sim = n \rho_\sim^n - B_\sim(\psi), \quad Q_\sim(\psi) = \frac{a_\sim^2(\psi)}{8\pi}.$$

Система (3) равносильна системе обычных гидродинамических уравнений при новом уравнении состояния *

$$P(\rho, \psi) = Q(\psi)\rho^2 + n\rho^n - B(\psi), \quad (4)$$

член $Q(\psi)\rho^2$ — давление магнитного поля; $n\rho^n - B(\psi)$ — давление газа. Представим вектор скорости в виде

$$\mathbf{v}(x, y) = \lambda(x, y) \operatorname{grad} \varphi(x, y), \quad (5)$$

$\varphi(x, y) = C$ — семейство поверхностей, ортогональных к линиям тока; $\lambda(x, y)$ — коэффициент пропорциональности.

Уравнение неразрывности равносильно соотношению

$$\lambda(x, y) \frac{\partial \varphi}{\partial x} = \frac{1}{\rho(x, y)} \frac{\partial \psi}{\partial y}, \quad \lambda(x, y) \frac{\partial \varphi}{\partial y} = -\frac{1}{\rho(x, y)} \frac{\partial \psi}{\partial x}. \quad (6)$$

Проекция векторного уравнения движения на линии тока дает уравнение Бернулли, действительное в случае неизэнтропического процесса вдоль каждой линии тока.

$$\frac{v^2}{2} = -\int \frac{dP}{\rho}. \quad (7)$$

Исследование характеристик среды в магнитном поле сводится к интегрированию уравнений (6) при наличии соотношений (4), (7).

Уравнения (6) равносильны дифференциальному соотношению

$$dz = \left[\lambda(x, y) d\varphi + i \frac{1}{\rho(x, y)} d\psi \right] \frac{e^{i\theta}}{|\mathbf{v}|}, \quad (8)$$

$\theta(x, y)$ — угол между вектором скорости и осью Ox , $z = x + iy$.

Вводим новые независимые переменные ρ и θ ; уравнения (6) в новых переменных получаем из условия интегрируемости (8):

$$\frac{\partial \varphi}{\partial \rho} = -\frac{\left[\frac{1}{\rho^2} + \frac{1}{\rho} \frac{1}{v} \frac{dv}{d\rho} \right]}{\lambda} \frac{\partial \psi}{\partial \theta}, \quad \frac{\partial \varphi}{\partial \theta} = -\frac{1}{\rho \left[\frac{d\lambda}{d\rho} - \lambda \frac{1}{v} \frac{dv}{d\rho} \right]} \frac{\partial \psi}{\partial \rho}. \quad (9)$$

Уравнения (9) действительны вдоль линий тока. Положим $n = 2$ в (4). Уравнение состояния представим в виде

$$P(\rho, \psi) = R(\psi)\rho^2 - B(\psi), \quad R(\psi) = Q(\psi) + 2. \quad (10)$$

Из (7), (10) определим величины

$$v^2(\rho, \psi) = 4R(\psi)(\rho^* - \rho), \quad v \frac{dv}{d\rho} = -2R(\psi), \quad \frac{1}{v} \frac{dv}{d\rho} = -\frac{1}{2(\rho^* - \rho)}, \quad (11)$$

ρ^* — плотность в заторможенном потоке (постоянная интегрирования $\rho^* = 4R(\psi)\rho^*$).

Величина $\frac{1}{v} \frac{dv}{d\rho}$ является инвариантом относительно линий тока, что дает возможность искать решение уравнений (9) во всей области течения. После подстановки (11) в (9) имеем

$$\frac{\partial \varphi}{\partial \rho} = -\left[\frac{\frac{1}{\rho^2} - \frac{1}{2\rho(\rho^* - \rho)}}{\lambda} \right] \frac{\partial \psi}{\partial \theta}, \quad (12a)$$

$$\frac{\partial \varphi}{\partial \theta} = -\left[\frac{1}{\rho \left[\frac{d\lambda}{d\rho} + \frac{\lambda}{2(\rho^* - \rho)} \right]} \right] \frac{\partial \psi}{\partial \rho}. \quad (12b)$$

Определим связь между λ и ρ , подчинив выражение в скобках (1) условию

$$\frac{1}{\rho^2} - \frac{1}{2\rho(\rho^* - \rho)} = -1.$$

Из (13) определим

$$\lambda(\rho) = -\frac{2\rho^* - 3\rho}{2\rho^2(\rho^* - \rho)}.$$

Введем функцию Чаплыгина (1)

$$K(\rho) = \frac{1}{\rho \left[\frac{d\lambda}{d\rho} + \frac{\lambda}{2(\rho^* - \rho)} \right]}.$$

Дифференцируя (14), определим $d\lambda/d\rho$. После подстановки $\lambda(\rho)$ в (15) получим

$$K(\rho) = \frac{4\rho^2(\rho^* - \rho)^2}{15\rho^2 - 20\rho\rho^* + 8\rho^{*2}}.$$

Уравнения (12) на основании (13), (15) принимают вид

$$\frac{\partial\varphi}{\partial\rho} = \frac{\partial\psi}{\partial\theta}, \quad \frac{\partial\varphi}{\partial\theta} = -K(\rho) \frac{\partial\psi}{\partial\rho}.$$

Вводим независимую переменную $r(\lambda)$. Уравнения (17) в переменных r и θ имеют вид

$$\frac{\partial\varphi}{\partial r} = \left[\frac{2\rho^3(\rho^* - \rho)^2}{r'(\lambda)[6\rho^2 - 9\rho\rho^* + 4\rho^{*2}]} \right] \frac{\partial\psi}{\partial\theta}, \quad \frac{\partial\varphi}{\partial\theta} = \left[\frac{-Kr'(\lambda)[6\rho^2 - 9\rho\rho^* + 4\rho^{*2}]}{2\rho^3(\rho^* - \rho)^2} \right] \frac{\partial\psi}{\partial r}.$$

Из (18) можно получить уравнение для функции тока $\psi(r, \theta)$

$$\frac{\partial^2\psi}{\partial r^2} + \frac{d}{dr} \ln \left[\frac{Kr'(\lambda)[6\rho^2 - 9\rho\rho^* + 4\rho^{*2}]}{2\rho^3(\rho^* - \rho)^2} \right] \frac{\partial\psi}{\partial r} + \frac{[2\rho^3(\rho^* - \rho^2)]^2}{K[r'(\lambda)(6\rho^2 - 9\rho\rho^* + 4\rho^{*2})]^2} \frac{\partial^2\psi}{\partial\theta^2} = 0.$$

Аналогичное уравнение получается для функции $\varphi(r, \theta)$.

Будем искать $\lambda(r)$ и $K(r)$ так, чтобы получить уравнение состояния близкое к заданному (10) и чтобы (19) приняло канонический вид, удобный для интегрирования (2).

Из (19) положим

$$\frac{d}{dr} \ln \frac{Kr'(\lambda)(6\rho^2 - 9\rho\rho^* + 4\rho^{*2})}{2\rho^3(\rho^* - \rho)^2} = \frac{1}{r},$$

откуда

$$\frac{\partial r}{\partial \lambda} = Cr \frac{2\rho^3(\rho^* - \rho)^2}{K(6\rho^2 - 9\rho\rho^* + 4\rho^{*2})^2};$$

$$\frac{[2\rho^3(\rho^* - \rho)^2]^2}{\left(\frac{\partial r}{\partial \lambda}\right)^2 K(6\rho^2 - 9\rho\rho^* + 4\rho^{*2})^2} = \frac{K}{C^2 r^2} = \frac{D}{C^2} \left(\frac{1}{r^2} - 1 \right).$$

Из (22) имеем

$$K(r) = D(1 - r^2).$$

Подставляя (23) в (21), получим

$$\frac{\partial r}{\partial \lambda} = Cr \frac{2\rho^3(\rho^* - \rho)^2}{D(1 - r^2)(6\rho^2 - 9\rho\rho^* + 4\rho^{*2})}.$$

Соотношения (23), (24) определяют семейство функций $K(r)$, зависящих от постоянных величин C , D и E (постоянной интегрирования). Определим

постоянные так, чтобы получить наилучшую аппроксимацию к заданному соотношению (10) в интересующем нас диапазоне чисел M . Выбор коэффициентов D, C, E произведем так, чтобы для определенного числа M_1 значения приближенной функции Чаплыгина и ее первой и второй производных были соответственно равны точной функции Чаплыгина и ее первым и вторым производным для заданного неизэнтропического процесса. Значение ρ_1 , соответствующее данному числу M_1 , определим из (25) с помощью (10), (11):

$$M = \sqrt{\frac{2(\rho^* - \rho)}{\rho}}. \quad (25)$$

Уравнение (19) после выбора коэффициентов примет вид

$$\frac{\partial^2 \psi}{\partial r^2} + \frac{1}{r} \frac{\partial \psi}{\partial r} + \frac{D_1}{C_1^2} \left(1 - \frac{1}{r^2} \right) \frac{\partial^2 \psi}{\partial \theta^2} = 0. \quad (26)$$

Применим к (26) метод Фурье. Положим

$$\psi(r, \theta) = \bar{f}_n(r) e^{2in\theta}. \quad (27)$$

Для определения функции $\bar{f}_n(r)$ получим уравнение Бесселя

$$\frac{d^2 \bar{f}_n}{dr^2} + \frac{1}{r} \frac{d\bar{f}_n}{dr} + \frac{4n^2 D_1}{C_1^2} \left(\frac{1}{r^2} - \frac{1}{4} \right) \bar{f}_n = 0. \quad (28)$$

С помощью данного метода получено решение для числа $M = 1,73$. Удовлетворительная аппроксимация имела место в диапазоне $1,56 \leq M \leq 1,9$ (см. рис. 1).

Метод применим при исследовании до- и сверхзвуковых неизэнтропических течений в ограниченных диапазонах чисел M при уравнении состояния, заданном в виде

$$P = A(\psi) \rho^n - B(\psi) \quad (n = 1; 1,5; 2; 3; \dots).$$

Когда $\text{rot } \mathbf{v} \parallel \mathbf{v}$, т. е. процесс можно рассматривать как изэнтропический, метод применим к исследованию характеристик газа при наличии уравнения состояния вида

$$p = A(\psi) \rho^2 + A_1(\psi) \rho^n - B(\psi) \quad (n = 1; 1,5; 2; 3; \dots).$$

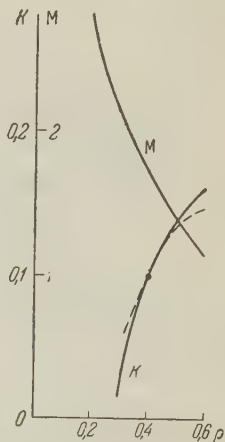


Рис. 1. Сплошной линией представлена функция Чаплыгина, соответствующая точному уравнению состояния, пунктиром — приближенная функция Чаплыгина при различных числах M

Московский государственный университет
им. М. В. Ломоносова

Поступило
5 II 1959

ЦИТИРОВАННАЯ ЛИТЕРАТУРА

- ¹ С. А. Чаплыгин, Собр. соч., 2, Изд. АН СССР, 1933. ² Л. И. Седов, Журн. Теоретическая гидромеханика, № 4, 1949.

Е. В. РЯЗАНОВ

НЕКОТОРЫЕ ТОЧНЫЕ РЕШЕНИЯ УРАВНЕНИЙ МАГНИТНОЙ ГАЗОДИНАМИКИ ПРИ НАЛИЧИИ СИЛ СОБСТВЕННОГО ТЯГОТЕНИЯ И НУЛЕВОГО ГРАДИЕНТА ТЕМПЕРАТУРЫ

(Представлено академиком Л. И. Седовым 17 III 1959)

Для уяснения вопросов, связанных с движением космических газовых масс, представляет интерес изучение движений газа при наличии сил собственного тяготения и магнитного поля. Адиабатические движения гравитирующих масс газа в магнитном поле рассматривались в работах (1-3).

В настоящей заметке даются некоторые точные решения уравнений магнитной газодинамики, описывающие одномерные неустановившиеся движения гравитирующего совершенного газа при цилиндрической симметрии для случая, когда в области течения предполагается отсутствие градиента температуры. При этом считается, что скорость v частицы газа является линейной функцией ее расстояния r от оси симметрии, проводимость газа бесконечна, вязкость и теплопроводность отсутствуют.

Линейная зависимость скорости от радиуса использовалась ранее многими авторами при решении ряда задач как об адиабатических движениях газа (1-7), так и о движениях с нулевым градиентом температуры (8). В последнем случае, следовательно, вместо обычного уравнения адиабатичности в области течения выполняется условие

$$\frac{\partial T}{\partial r} = 0,$$

т. е. считается, что при наличии интенсивного теплообмена между частями газа температура не зависит от координаты, но может меняться с течением времени. В частности, условие (1) верно при изотермических течениях.

1. Пусть магнитное поле перпендикулярно траекториям частиц газа; при этом магнитные силовые линии могут быть: 1) либо прямыми, параллельными оси симметрии, 2) либо концентрическими окружностями с центром на оси симметрии; 3) либо винтовыми линиями.

Вводя обозначения $h_z = H_z^2 / 8\pi$, $h_\varphi = H_\varphi^2 / 8\pi$, где H_z и H_φ — осевая и трансверсальная компоненты вектора напряженности магнитного поля, будем иметь: в случае 1) $h_z \neq 0$, $h_\varphi = 0$; в случае 2) $h_z = 0$, $h_\varphi \neq 0$; в случае 3) $h_z \neq 0$, $h_\varphi \neq 0$.

Уравнения магнитной газодинамики с учетом сил тяготения и условия (1) запишутся в переменных Эйлера следующим образом:

$$\begin{aligned} \rho \frac{dv}{dt} + \frac{\partial}{\partial r} (\rho + h_\varphi + h_z) + \frac{2}{r} (h_\varphi + Gm\rho) &= 0, \\ \frac{d\rho}{dt} + \rho \left(\frac{\partial v}{\partial r} + \frac{v}{r} \right) &= 0, \quad \frac{\partial m}{\partial r} = 2\pi\rho r, \\ \frac{d}{dt} \left(\frac{h_\varphi}{r^2\rho^2} \right) &= 0, \quad \frac{d}{dt} \left(\frac{h_z}{\rho^2} \right) = 0, \quad \rho = \varphi(t)\rho. \end{aligned}$$

Здесь $\varphi(t)$ — некоторая функция от времени, заранее не определенная, все остальные обозначения ясны из уравнений.

Если зависимость скорости частицы газа от координаты и времени взять в виде

$$v = \frac{r}{\mu(t)} \frac{d\mu}{dt}, \quad (3)$$

где $\mu(t)$ — произвольная функция от времени, то система уравнений (2) будет допускать существование следующих трех типов точных частных решений:

$$\text{I.} \quad \rho = \frac{P'}{r\mu}, \quad p = n_1 \frac{P'}{r\mu^3}, \quad h_z = \left(n_2 P - n_1 \frac{\mu}{r} P' + n_3 \right) \mu^{-4}, \\ h_\varphi = \frac{1}{r^2} \left[n_4 \left(\frac{r^2}{\mu^2} P - 2P_1 \right) - 2\pi G P^2 + n_5 \right], \quad m = 2\pi P.$$

Здесь $P(\xi)$ — произвольная функция от лагранжевой координаты ξ ($\xi = r/\mu$); P_1 означает дифференцирование по ξ . Функция $P_1(\xi)$ связана с функцией $P(\xi)$ по формуле $P_1' = \xi P$. Функция $\varphi(t)$ имеет вид $\varphi(t) = n_1 \mu^{-2}$. Зависимость $\mu(t)$ находится из дифференциального уравнения $(d\mu/dt)^2 = n_2 \mu^{-2} - 2n_4 \ln \mu + n_6 = f_1(\mu)$; n_1, \dots, n_6 — произвольные постоянные.

$$\text{II.} \quad \rho = \frac{|P'|}{r\mu}, \quad p = n_7 \frac{|P'|}{r\mu}, \quad h_z = (n_8 P + n_9) \mu^{-4}, \\ h_\varphi = \frac{1}{r^2} \left[n_{10} \left(\frac{r^2}{\mu^2} P - 2P_1 \right) - n_7 \left(\frac{r}{\mu} P' - 2P \right) - 2\pi G P^2 + n_{11} \right], \quad m = 2\pi P.$$

Здесь $\varphi = n_7$; $(d\mu/dt)^2 = n_8 \mu^{-2} - 2n_{10} \ln \mu + n_{12} = f_2(\mu)$; n_7, \dots, n_{12} — произвольные постоянные.

$$\text{III.} \quad \rho = \delta_1 e^{-b_1 \xi^2} \mu^{-2}, \quad p = \delta_1 e^{-b_1 \xi^2} \mu^{-2} \varphi(t), \\ h_z = \left[\delta_1 b_3 \int e^{-b_1 \xi^2} d\xi + \delta_2 \right] \mu^{-4}, \quad m = 2\pi \delta_1 \int e^{-b_1 \xi^2} d\xi, \quad (4) \\ h_\varphi = \frac{1}{r^2} \left[\delta_1 b_2 \int \xi^3 e^{-b_1 \xi^2} d\xi - 4\pi G \delta_1^2 \int \xi e^{-b_1 \xi^2} \left(\int e^{-b_1 \xi^2} d\xi \right) d\xi + \delta_3 \right].$$

Здесь $\varphi(t)$ — произвольная функция; $(d\mu/dt)^2 = b_3 \mu^{-2} + 4b_1 F - 2b_2 \ln \mu + b_4 = f_3(\mu)$; $F(t) = \int \varphi(t) \mu^{-1} d\mu$; $b_1, \dots, b_4, \delta_1, \dots, \delta_3$ — произвольные постоянные.

Если в этих решениях положить всюду $G = 0$, то получим уже известные решения ⁽⁸⁾ для случая, когда гравитационные силы отсутствуют.

В зависимости от вида функций $f_1(\mu)$, $f_2(\mu)$, $f_3(\mu)$ решения I, II, III могут описывать различные случаи движения газа. Исследование возможных движений газа при полученных нами зависимостях $f_1(\mu)$, $f_2(\mu)$, $f_3(\mu)$ мы приводить не будем. Для $f_1(\mu)$ и $f_2(\mu)$ это было довольно подробно сделано в работах ^(2, 3). Отметим только, что при некоторых значениях входящих в функции $f_1(\mu)$, $f_2(\mu)$, $f_3(\mu)$ коэффициентов возможны движения типа периодических пульсаций, разлета от оси симметрии, схлопывания к оси и др. Наличие в выражении $f_3(\mu)$ произвольной функции F позволяет получить самые различные типы движений.

2. Используя полученные нами решения, можно построить течения с ударными волнами, аналогично тому как это было сделано раньше в работах ^(1, 5-8). Заметим при этом, что в работе ⁽¹⁾ учитывались силы тяготения, а в работе ⁽⁸⁾ — магнитные силы.

Для построения течений с ударными волнами воспользуемся, например, решением типа III. Будем считать, что течение за ударной волной описывается формулами (3), (4). На поверхности ударной волны, распространяющейся со скоростью c по покоящемуся газу ($v_1 = 0$), должны выполняться

следующие условия:

$$\begin{aligned}\rho_2 (c - v_2) &= \rho_1 c; \\ h_{z2} (c - v_2)^2 &= h_{z1} c^2; \\ h_{\varphi 2} (c - v_2)^2 &= h_{\varphi 1} c^2; \\ \rho_2^* - \rho_2 v_2 (c - v_2) &= \rho_1^*,\end{aligned}$$

где $p^* = p + h_z + h_\varphi$, а индексом 2 отмечены величины непосредственно за фронтом ударной волны.

Условие сохранения энергии при переходе через поверхность ударной волны выполняется за счет притока тепла из области возмущенного движения газа. Этот приток тепла обусловлен отсутствием градиента температуры.

Считая $\rho_1(r)$ произвольной функцией, из условия (5) можно найти закон движения ударной волны $r_2(t)$. В самом деле, так как

$$1 - \frac{v_2}{c} = 1 - \frac{r_2}{\mu} \frac{d\mu}{dr_2} = \frac{r_2}{\xi_2} \frac{d\xi_2}{dr_2},$$

то, подставляя в (5) значение ρ_2 из (4), получим

$$\rho_1(r_2) r_2 dr_2 = \delta_1 \xi_2 e^{-b_1 \xi_2^2} d\xi_2.$$

Из этого уравнения определяется зависимость r_2 от ξ_2 , а следовательно и зависимость $r_2[\mu(t)]$.

Так как связь между ξ_2 и r_2 известна, то из (4), (6), (7) находим

$$\begin{aligned}h_{z1}(r_2) &= \frac{h_{z2}}{\rho_2^2} \rho_1^2(r_2) = \frac{\delta_2 + \delta_1 b_3 \int e^{-b_1 \xi_2^2} \xi_2 d\xi_2}{\delta_1^2 e^{-2b_1 \xi_2^2}} \rho_1^2(r_2); \\ h_{\varphi 1}(r_2) &= \frac{h_{\varphi 2}}{\rho_2^2} \rho_1^2(r_2) = \\ &= \frac{[\delta_3 + \delta_1 b_2 \int \xi_2^3 e^{-b_1 \xi_2^2} d\xi_2 - 4\pi G \delta_1^2 \int \xi_2 e^{-b_1 \xi_2^2} (\int e^{-b_1 \xi_2^2} \xi_2 d\xi_2) d\xi_2]}{\delta_1^2 \xi_2^4 e^{-2b_1 \xi_2^2}} r_2^2 \rho_1^2(r_2).\end{aligned}\quad (1)$$

Из равновесного распределения характеристик газа, даваемого формулой

$$\frac{\partial}{\partial r} (\rho_1 + h_{z1} + h_{\varphi 1}) + \frac{2}{r} (h_{\varphi 1} + G m_1 \rho_1) = 0, \quad (1')$$

используя зависимости $\rho_1(r)$, $h_{z1}(r)$ и $h_{\varphi 1}(r)$, можно найти начальное распределение давления $p_1(r)$. Затем из условия (8) определяется функция $F[\mu(t)]$, и задача построения течения с ударной волной полностью решена.

Для построения течений с ударными волнами можно использовать также решения типа I или II. Вид зависимости $\rho_1(r)$ в каждом из этих двух случаев также произволен. Связь между функциями $\rho_1(r_2)$ и $P(\xi_2)$ определяется из условий (5) — (8) на ударной волне и уравнения (12).

Автор выражает благодарность Л. И. Седову, а также В. П. Коробейникову и А. Г. Куликовскому за внимание к работе и ценные советы.

Математический институт им. В. А. Стеклова
Академии наук СССР

Поступило
9 III 1959

ЦИТИРОВАННАЯ ЛИТЕРАТУРА

- ¹ L. I. Sedov, Rev. Modern Phys., **30**, № 3 (1958). ² А. Г. Куликовский, Диссертация, МГУ, 1958. ³ Е. В. Рязанов, Прикл. матем. и мех., **23**, в. 1 (1959). ⁴ Л. И. Седов, Методы подобия и размерности в механике, М., 1957. ⁵ В. П. Коробейников, Е. В. Рязанов, Прикл. матем. и мех., **22**, в. 2 (1958). ⁶ Е. В. Рязанов, Прикл. матем. и мех., **22**, в. 5 (1958). ⁷ И. С. Шикин, ДАН, **122**, № 1 (1958). ⁸ В. П. Коробейников, Е. В. Рязанов, ДАН, **124**, № 1 (1959).

А. А. НИКИТИН

ЭФФЕКТ АВТОИОНИЗАЦИИ И ЕГО ВЛИЯНИЕ НА ИНТЕНСИВНОСТЬ НЕКОТОРЫХ ЛИНИЙ В ЗВЕЗДНЫХ СПЕКТРАХ

(Представлено академиком В. Г. Фесенковым 20 III 1959)

Ранее отмечалось ⁽¹⁾, что интенсивность некоторых линий в звездных спектрах может зависеть от возбуждения и ионизации не только внешних, но и внутренних электронов. Атом, находящийся после выброса внутреннего электрона в возбужденном состоянии, может возвратиться в нормальное состояние либо путем излучения кванта, либо путем безрадиационного перехода — выброса одного или нескольких электронов из внешней оболочки. Для легких элементов, как следует из ⁽²⁾, такие безрадиационные переходы — автоионизация гораздо более вероятны, чем переходы с излучением радиации.

Если допустить существование в оболочке звезды поля радиации, способного ионизовать атомы с выбросом внутреннего электрона, то следствием этого процесса и последующей автоионизации должно быть:

1. Распределение атомов по состояниям ионизации в некоторых случаях может стать аномальным, например, в спектре появятся линии элемента, находящегося в низшей или высшей стадии ионизации, но будут слабыми или будут отсутствовать линии, относящиеся к промежуточным стадиям. Возможно и другое явление: элементы с примерно одинаковыми потенциалами ионизации внешнего электрона могут находиться в различных стадиях ионизации. Указанная аномалия может быть особенно заметна, если поле излучения нестационарно. В нестационарном поле в принципе возможны и случаи, когда линии эмиссии элемента в более высокой стадии ионизации появятся раньше линий этого же элемента в более низкой стадии ионизации.

2. При ионизации атома с выбросом внутреннего K - или L -электрона вновь образованный ион будет находиться не в основном состоянии, а в возбужденном (некоторые из таких ионов метастабильны). Если этот процесс достаточно интенсивен, то он должен сказаться определенным образом на яркостях эмиссионных линий, связанных с возбужденным уровнем.

3. Так как автоионизация наиболее вероятна для легких элементов, то ее действие должно проявиться наиболее полно у C , N , O , так как эти элементы наиболее обильны и многие их линии доступны для изучения. То же самое будет иметь место для некоторых ионов Fe и др., имеющих электронную структуру, подобную структуре C , N , O . Для этих ионов автоионизация возможна с выбросом не одного электрона, а нескольких — после такого процесса атом может оказаться многократно ионизованным. Следует еще заметить, что оже-электроны, образовавшиеся после автоионизации, обладают большими энергиями, что может сказаться на электронной температуре оболочки и т. д.

Обратимся к наблюдательным данным; начнем рассмотрение с новых звезд.

1. На определенном этапе развития новой в ее спектре появляются интенсивные линии $N II$, через некоторое время для ее спектра характерны

яркие эмиссионные линии N III, позднее в ряде случаев появляются и интенсивные линии эмиссии N II ⁽³⁾. Развитие «азотного» спектра новых характерно иногда и появлением в поглощении линий N V, быстро меняющих свою интенсивность и положение в спектре ⁽³⁾. Эти особенности спектра азота можно попытаться качественно объяснить на основе изложенных выше соображений.

Под действием радиации, особенно интенсивной в области ~ 400 эв, N III ионизируется с выбросом K-электрона и одного оже-электрона из внешней оболочки. Ион N IV, образовавшийся в результате такого процесса, рекомбинируя с электронами, дает эмиссию N III и затем N II. Следует заметить, что, наряду с процессом ионизации N II \rightarrow N IV, также весьма интенсивно идет обычный процесс N II \rightarrow N III, так как коэффициент поглощения у N II изменяется с частотой медленно, как ν^{-1} . Наблюдения показывают большую интенсивность и переменность линий N III в поглощении. Эти же процессы могут внести дополнительные вклады в образование ионов N V. Ультрафиолетовая радиация должна воздействовать также на другие атомы и ионы имеющие потенциалы ионизации с K-, L-, M-уровней ~ 400 эв. В эту группу попадают ионы Fe XIII — Fe XV, дающие корональные линии. Как известно ⁽³⁾, в спектрах новых, наряду с линиями Fe V, VI и т. д., найдены линии Fe X и Fe XIV. Подобное появление высокоионизованных линий CN, O и линий Fe зарегистрировано и в спектрах других нестационарных звезд (1) и, по-видимому, в спектре Солнца и протуберанцев ⁽⁴⁾, где недавно найдены линии O, N в высокой стадии ионизации. Наблюдения ⁽⁵⁾ также показывают наличие в спектре Солнца переменного рентгеновского излучения, иногда достигающего значительной интенсивности.

2. В оболочках некоторых звезд и туманностей найдены ионы, образовавшиеся в результате внутренней ионизации атома. Так, в спектре туманности NGC 7009 и др. ⁽⁶⁾ обнаружены линии N III, образовавшиеся при рекомбинации электрона с ионом N IV конфигурации $1s^2 2s2p^3 P_1$ (нормальная конфигурация $1s^2 2S^2 1s$). При определенных условиях интенсивность рекомбинационного спектра N III может зависеть от скорости ионизации иона N III за счет выброса как s-, так и p-электронов. Структура иона Fe XIV сходна со структурой N III, его конфигурация $1s^2 2s^2 2p^6 3s^2 3p$. Ионизация Fe XIV может осуществляться также за счет выброса как 3 p-, так и 3 s-электронов. В последнем случае образуется Fe XV в состоянии $3 p^3 P_{0,1,2}$. Переходы между подуровнями которого дают корональную линию $\lambda 7059.62$, интенсивность этой линии может зависеть от рассматриваемого процесса.

Можно привести и другие примеры, показывающие, что при исследовании процессов ионизации и возбуждения в нестационарных звездах целесообразно в отдельных случаях включать в рассмотрение эффект автоионизации. В настоящей заметке рассматривалась качественная сторона вопроса.

Поступило
16 III 1959

ЦИТИРОВАННАЯ ЛИТЕРАТУРА

- ¹ А. А. Никитин, Вестн. ЛГУ, в. 3, № 13 (1956). ² G. Wentzel, Zs. f. Phys., 43, 524 (1927). ³ Б. А. Воронцов-Вельяминов, Газовые туманности и новые звезды, гл. V, VI, VII, Изд. АН СССР, 1948. ⁴ F. S. Johnson, H. H. Matison, et al., Ap. J., 127, № 1 (1958). ⁵ К. Ягер, Усп. физ. наук, 61, № 4 (1957). ⁶ A. Wyse, Ap. J., 95, № 3 (1941).

В. С. ГРЕЧИШКИН и Ф. И. СКИПОВ

ПРИМЕНЕНИЕ ЯДЕРНОГО КВАДРУПОЛЬНОГО РЕЗОНАНСА ДЛЯ ОПРЕДЕЛЕНИЯ ЧАСТОТ РЕШЕТОЧНЫХ КОЛЕБАНИЙ В РЯДЕ ХЛОРАТОВ

(Представлено академиком А. Н. Терениным 9 III 1959)

Частота ядерного квадрупольного резонанса (я. к. р.) является функцией термодинамического состояния твердого тела. Зависимостью от давления практически часто можно пренебречь, но температурный ход изменения частоты я. к. р. достаточно резко выражен и имеет одинаковый порядок величины с изменениями колебательных частот кристаллической решетки. Уже в ранних экспериментах по наблюдению я. к. р. исследовалась зависимость частоты от температуры в транс-дихлорэтилене⁽¹⁾. В дальнейшем теория температурной зависимости была разработана Байером⁽²⁾, который учел вращательные качания ядер, приводящие к усреднению градиента электрического поля. Теория Байера была обобщена и конкретизирована в работах⁽³⁻⁵⁾, где производился учет и других видов колебаний кристаллической решетки. Таким образом, исследование температурной зависимости частот я. к. р. при малых объемных эффектах позволяет сделать заключение о характере решеточных колебаний. Частоты решеточных колебаний могут быть определены и путем наблюдения спектров комбинационного рассеяния. Однако для получения таких спектров обычно требуются однородные монокристаллы, тогда как для наблюдения я. к. р. можно использовать порошкообразные образцы*.

В настоящей работе мы исследовали температурную зависимость частот я. к. р. в ряде хлоратов с одновалентным и двухвалентным металлом. Для наблюдения квадрупольного резонанса использовался суперрегенератор с самогашением, что позволило получить высокую чувствительность. На рис. 1 приведен сигнал ядерного квадрупольного резонанса в хлорате бария при комнатной температуре. Два пика появляются в силу того, что частота изменялась таким образом, чтобы условия резонанса выполнялись дважды за период модуляции.

Результаты эксперимента представлены в табл. 1. Некоторые точки температурной зависимости частот я. к. р. в NaClO_3 и KClO_3 были сняты в ра-



Рис. 1

* Метод я. к. р. в отношении объема получаемой информации, конечно, не может конкурировать с комбинационными спектрами малых частот, поскольку он позволяет оценить лишь среднюю величину решеточных частот. Однако он применим и в тех случаях, когда метод комбинационных спектров не дает результатов (для интенсивно окрашенных образцов или при неактивности колебательных частот решетки в этом виде спектров).

ботах (^{3,4}). Мы сняли дополнительную точку при температуре жидкого хлорода. Необходимо отметить, что существенных различий с данными упомянутых работ не наблюдалось. Температурная зависимость в хлорате с двухвалентным металлом исследовалась нами впервые. После экстраполяции была определена величина квадрупольной связи при температуре абсолютного нуля.

Нам неизвестен спектр комбинационного рассеяния в хлоратах магния, бария и кальция, данные же по хлоратам калия и натрия приведены в работе (⁶). Наблюдение спектра комбинационного рассеяния показывает, что решеточные колебания в хлоратах разделяются на высокочастотные и низкочастотные. Высокочастотные колебания соответствуют внутренним деформациям группы ClO_3^- , и можно показать, что они вносят малый вклад в величину температурной зависимости частот я. к. р. При учете двух степеней температурный коэффициент определяется выражением

$$\frac{1}{\nu_0} \frac{d\nu}{dT} = - \frac{3k}{4\pi^2 I_1 \nu_1^2} \exp\left(\frac{h\nu_1}{kT}\right), \quad (1)$$

где k — постоянная Больцмана; I_1 — момент инерции; ν_1 — частота вращательных качаний. Пренебрегая влиянием объемного эффекта и учитывая, что $I_1 = 88 \cdot 10^{-40}$ г · см², мы получили среднюю частоту вращательных качаний в хлорате натрия приблизительно 105 см^{-1} , что согласуется с данными комбинационных спектров.

Таблица 1

Вещество	$T, ^\circ\text{K}$	$\nu_0(\text{Cl}^{35})$ Мгц	$\epsilon Q q_0$, Мгц	$\frac{1}{\nu_0} \frac{d\nu}{dT} \cdot 10^4$, град ⁻¹ *
KClO_3	289	28,093	58	—2,35
	273	28,21		
	203	28,61		
	90	28,92		
NaClO_3	290	29,93	61,4	—2,25
	273	30,04		
	203	30,48		
	90	30,69		
$\text{Ba}(\text{ClO}_3)_2$	285	29,59	60	—0,9
	273	29,62		
	203	29,79		
	90	29,94		
$\text{Ca}(\text{ClO}_3)_2$	284	29,69	60	—0,9
	273	29,72		
	203	29,82		
	90	29,98		
$\text{Mg}(\text{ClO}_3)_2$	283	29,72	60	—0,9
	273	29,75		
	203	29,89		
	90	29,99		

* При комнатной температуре.

Из табл. 1 видно, что в хлоратах с двухвалентным металлом температурный коэффициент приблизительно в два раза меньше, чем в NaClO_3 . На основе экспериментальных данных по формуле (1) была оценена средняя частота вращательных качаний в хлоратах бария, кальция и магния, она оказалась равной примерно 150 см^{-1} . Низкий температурный коэффициент хлоратов с двухвалентным металлом делает данные вещества удобными для использования в качестве рабочего тела при стабилизации слабых магнитных полей по величине сигнала я. к. р. С другой стороны, в приборах, предназначенных для точного измерения низких температур, лучше применять хлорат калия (⁷).

Исследование спектров я. к. р. в принципе позволяет оценить также среднее время жизни кванта вращательных качаний τ_a . В ⁽²⁾ Байер разработал теорию квадрупольной релаксации. Им было получено выражение, определяющее основной вклад во время спин-решеточной релаксации:

$$T_1 | \Delta m_z | = 2 = \frac{16}{3} \frac{(\pi \nu_1 I_1)^2}{(h \nu_0)^2 \tau_a} \frac{(e^x - 1)^2}{\frac{2(\operatorname{ch} x - 1)}{1 + \omega^2 \tau_a^2 (e^x - 1)^2} + \frac{2 \operatorname{ch} x - 1}{1 + \omega^2 \tau_a^2}}, \quad (2)$$

где $x = h \nu_1 / kT$.

Мы измерили T_1 в хлорате калия при комнатной температуре. Для измерения применялась методика, аналогичная использовавшейся одним из нас ранее ⁽⁸⁾. После обработки кривых насыщения было получено $\tau_1 = 0,04$ сек. Оценка по теории Байера приводит к двум значениям: $0,5 \cdot 10^{-11}$ или $7 \cdot 10^{-6}$ сек. Второе значение представляется слишком большим; для сравнения можно, например, указать, что оценка среднего времени жизни кванта трансляционных колебаний (фонона) из коэффициентов теплопроводности дает порядок 10^{-11} сек. при комнатной температуре ⁽⁹⁾. Значение $\tau_a = 0,5 \cdot 10^{-11}$ сек. обуславливает среднюю естественную ширину соответствующих линий комбинационного рассеяния в хлорате калия порядка $2 \div 6$ см^{-1} (экспериментально наблюдается 10 см^{-1}). Аналогичная оценка по литературным данным о временах релаксации ^(10,11) и колебательных частотах ^(12,13) для парадихлорбензола дала $\tau_a \sim 10^{-10}$ сек. как при комнатной температуре, так и при -196° , что приводит к вкладу в ширину линий комбинационного рассеяния порядка $1,3$ см^{-1} .

Аномальной является сильная зависимость T_1 от температуры для нитрата азота в кристаллическом уротропине ⁽¹⁴⁾. Для этого вещества вращательные качания неактивны в спектре комбинационного рассеяния, но их средняя частота может быть оценена из температурной зависимости частот я. к. р. ⁽¹⁴⁾ или из рентгеноструктурных данных по амплитудам тепловых колебаний ⁽¹⁵⁾; при этом, как и следовало ожидать, получается $\nu_1 \sim 100$ см^{-1} . Подстановка этой оценки в (2) приводит к странному выводу о сокращении τ_a при понижении температуры (примерно в 5 раз от 0° до -196°). Представляется вероятным, что эта аномалия связана с особенностями молекулярной динамики в кристалле уротропина при высоких температурах, приводящими к неприменимости теории Байера; в пользу этого предположения говорит тот факт, что при 0° время T_1 в уротропине в 40 раз короче, чем в других азотсодержащих веществах ⁽¹⁴⁾.

Ленинградский государственный университет
им. А. А. Жданова

Поступило
7 III 1959

ЦИТИРОВАННАЯ ЛИТЕРАТУРА

- ¹ H. G. Dehmelt, H. Kröger, Naturwiss., 37, 111 (1950). ² H. Bayer, Z. f. Phys., 130, 227 (1951). ³ T. Wang, Phys. Rev., 99, 566 (1955). ⁴ T. Kuchida, G. Benedek, N. Bloembergen, Phys. Rev., 104, 1364 (1956). ⁵ Ф. И. Скрипов, Материалы 10 Совещ. по спектроскопии, Львов, 1956. ⁶ S. Shastha Kumari, Proc. Ind. Acad. Sci., A32, 177 (1950). ⁷ G. Benedek, T. Kuchida, Rev. Sci. Instr., 28, 92 (1957). ⁸ В. С. Гречишкин, ЖЭТФ, 35, 364 (1958). ⁹ Р. Е. Пайерлс, Квантовая теория твердых тел, ИЛ, 1956. ¹⁰ D. E. Woessner, H. S. Gutowsky, J. Chem. Phys., 27, 1072 (1957). ¹¹ D. Dautreppe, J. Dreyfus, M. Soutif, C. R., 238, 2309 (1954). ¹² М. Ф. Вукс, ЖЭТФ, 7, 70 (1937). ¹³ А. В. Коршунов, ДАН, 74, 691 (1950). ¹⁴ G. D. Watkins, C. V. Pound, Phys. Rev., 85, 1062 (1952). ¹⁵ P. A. Schaffer, J. Am. Chem. Soc., 69, 1557 (1947).

А. М. ДЫХНЕ

К ТЕОРИИ РУПОРОВ

(Представлено академиком М. А. Леонтовичем 21 III 1959)

1. Локальное отражение. В работе ⁽¹⁾ было рассмотрено отражение и рассеяние волн на локальных «дефектах» формы плоского волновода. Для этого был развит метод, основанный на введении ортогональной системы координат η, ζ такой, чтобы линии $\eta = \pm 1$ совпадали с границами волновода, а координата ζ мало отличалась от z , направленной вдоль оси волновода.

Когда размеры сечения волновода стремятся к бесконечности, построение системы координат, всюду удовлетворяющей обоим указанным требованиям, становится невозможным. Однако, как видно из результатов ⁽¹⁾ формулы, определяющие коэффициенты отражения и рассеяния, входят лишь параметры, характеризующие сечение, от которого происходит отражение (для плоского волновода — величина сечения и скачок на изгибе), и терпящей разрыв производной функции, описывающей границы волновода.

Таким образом, можно полагать, что метод и результаты работы применимы и для рупоров. В самом деле, представим себе волновод, имеющий две нерегулярности формы в виде углов. Тогда отраженная волна складывается из волн, отраженных от каждой из нерегулярностей. Если устремить вторую нерегулярность к бесконечности, то в пределе волновод перейдет в рупор. Отражение от второй нерегулярности при этом будет стремиться к нулю, так как в связи с увеличением сечения плотность электромагнитной энергии в этом сечении будет убывать. Таким образом, коэффициенты отражения и рассеяния в рупорах могут быть определены по формулам работы ⁽¹⁾.

Приведем, например, выражение для амплитуды отражения в случае сочленения регулярного волновода и прямого рупора:

$$R_n = -\frac{i \operatorname{tg}(\alpha/2)}{4ak_n} \left(\frac{k^2}{k_n^2} + \alpha_{nn} \lambda_n^2 + \beta_{nn} \right);$$

здесь α — угол раствора рупора; $k_n + \sqrt{k^2 - \lambda_n^2/a^2}$ — величины, относящиеся к регулярному участку волновода; α_{nn} и β_{nn} — численные коэффициенты.

Очевидно, то же самое относится к коэффициентам рассеяния. Коэффициенты отражения и рассеяния в круглых и прямоугольных рупорах могут быть получены из результатов работ ^(2,3) предельным переходом, аналогичным рассмотренному выше.

2. Нелокальное отражение. Аналогичная ситуация наблюдается при рассмотрении нелокального отражения в волноводах и рупорах. Как показывает анализ метода, развитого в ^(1,4) и основанного на разложении оператора Лапласа по степеням малого параметра, разложение остается справедливым и для рупоров, хотя построенная в этом случае координатная сетка сильно отличается от декартовой.

Таким образом, результаты (4), где найдены амплитуды нелокального отражения и рассеяния в волноводах, могут быть без всякого изменения применены к рупорам. Выпишем их здесь. Пусть распространяется волна индексом n . Ее амплитуда отражения

$$R = -i \exp\left(2i \int_{\zeta_0}^{\zeta} k_n d\zeta\right), \quad k_n = \sqrt{k^2 - \frac{\lambda_n^2}{f^2}}. \quad (1)$$

Амплитуда рассеяния назад l -й волны, вызванной прохождением n -й:

$$M_{nl} = \frac{i\pi (\lambda_n^2 - \lambda_l^2) \alpha_{nl}}{3} \exp\left[i \int (k_l + k_n) d\zeta\right] (1 + O(\alpha^{3/2})). \quad (2)$$

Здесь ζ_0 — комплексный корень соответствующего подынтегрального выражения, дающий наименьшее положительное значение мнимой части интеграла, остальные обозначения взяты из (4).

Б. Л. Рождественским (5) был рассмотрен плоский рупор частного вида, уравнение границ которого параметрически записывалось в виде

$$z = \frac{a}{\alpha} (\varphi + e^\varphi \cos \alpha), \quad y = a \left(1 + e^\varphi \frac{\sin \varphi}{\alpha}\right),$$

— ось рупора.

Применив формулы (1), (2) к этому частному случаю, можно получить коэффициенты отражения и рассеяния. В частности, коэффициент отражения называется равным по модулю:

$$|R| = \exp\left(-\frac{2\pi k_n a}{\alpha}\right), \quad k_n = \sqrt{k^2 - \frac{\lambda_n^2}{a^2}},$$

что совпадает с результатами Рождественского.

Пользуюсь случаем выразить благодарность В. Л. Покровскому за обсуждение работы.

Институт радиофизики и электроники
Сибирского отделения Академии наук СССР

Поступило
18 III 1959

ЦИТИРОВАННАЯ ЛИТЕРАТУРА

¹ В. Л. Покровский, Ф. Р. Улинич, С. К. Саввиных, ДАН, **120**, 3, 504 (1958). ² В. Л. Покровский, Ф. Р. Улинич, С. К. Саввиных, ДАН, **124**, № 2, 304 (1959). ³ С. К. Саввиных, Радиотехн. и электроника, **4**, № 6 (1959). ⁴ М. С. Рывкин, Радиотехн. и электроника, **4**, № 9 (1959) ⁵ Б. Л. Рождественский, ЖТФ, **23**, № 9, 1603 (1953).

Академик АН УССР А. П. КОМАР и Т. Н. ДРАГНЕВ

ТОНКАЯ СТРУКТУРА ЭНЕРГЕТИЧЕСКОГО СПЕКТРА ФОТОПРОТОНОВ ИЗ Ca^{40}

Изучались энергетические и угловые распределения фотопротонов Ca^{40} с помощью фотоэмульсии НИКФИ-22 толщиной 200 μ . Пластины Ca толщиной 8,4 мг/см² облучались γ -излучением синхротрона Физико-технического института АН СССР с максимальной энергией 85 Мэв. Фотопротонные стинки располагались в вакуумной камере под следующими углами θ к направлению γ -лучей: 20; 40; 60; 70; 80; 90; 100; 110; 120; 140 и 160°. На всех пластинках было измерено ~7000 следов фотопротонов.

Полученная гистограмма энергетического распределения (рис. 1) обрабатывалась по методу Феррейра и Валошека ⁽¹⁾. При такой обработке случайные пики гистограммы сглаживаются и анализ спектра упрощается. На гистограмме и кривой видны пики, выходящие за пределы статистических ошибок. Особенно четко выделяется группа пиков в области энергий 9,5 до 12 Мэв. Учитывая спектр остаточного ядра K^{39} и экспериментально установленное значение энергии гигантского резонанса Ca^{40} , можно объяснить часть энергетического спектра в предположении, что поглощение γ -кванта ведет к образованию составного ядра. Однако объяснить наличие групп протонов B и D таким образом не удастся. Если же предположить справедливость модели Вилкинсона, то структуру спектра в интервале 9,5 — 12 Мэв можно объяснить «прямым резонансным» процессом.

«Плато» на кривой в области энергий от 7,5 до 9,5 Мэв при этом объясняется наличием фотопротонов, соответствующих переходам с возбужденных уровней Ca^{40} в области гигантского резонанса на группу первых возбужденных уровней K^{39} (от 2,5 до 3 Мэв).

Угловые распределения фотопротонов различных энергетических интервалов, обработанные по методу наименьших квадратов, описываются следующими формулами:

$$\text{от } 3,4 \text{ до } 9,5 \text{ Мэв} \quad 1 + 0,4 \sin^2 \theta (1 + 0,65 \cos \theta)^2;$$

$$\text{от } 9,5 \text{ до } 15 \text{ Мэв} \quad 1 + 1,2 \sin^2 \theta (1 + 0,5 \cos \theta)^2;$$

$$\text{от } 6,6 \text{ до } 7,6 \text{ Мэв (группа } A) \quad 1 + 0,75 \sin^2 \theta (1 + 0,6 \cos \theta)^2;$$

$$\text{от } 7,5 \text{ до } 9,5 \text{ Мэв («плато»)} \quad 1 + 1,1 \sin^2 \theta (1 + 0,5 \cos \theta)^2;$$

$$\text{от } 9,7 \text{ до } 10,8 \text{ Мэв (группа } B) \quad 1 + 1,3 \sin^2 \theta (1 + 0,35 \cos \theta)^2.$$

Значительное различие в анизотропии угловых распределений фотопротонов энергетических областей (3,4 ÷ 9,5 Мэв) и (9,5 ÷ 15 Мэв) и угловые распределения фотопротонов групп А и В также согласуются с предложен-

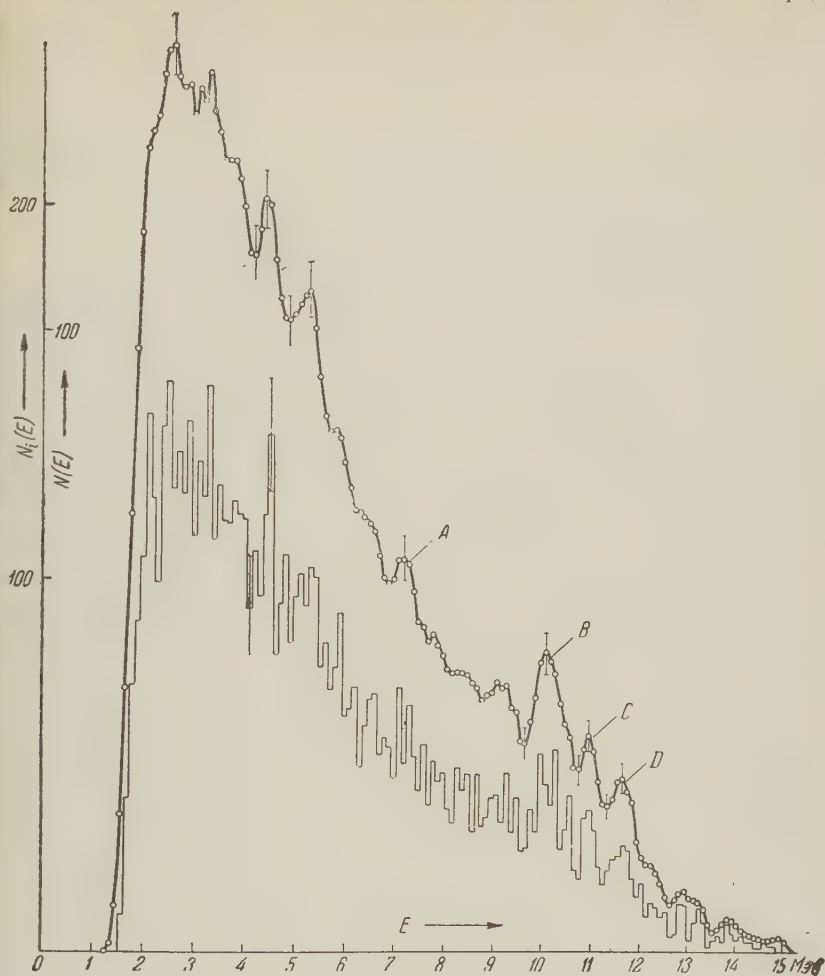


Рис. 1. $N(E)$ — гистограмма энергетического распределения фотопротонов из Ca^{40} ; $N_i(E)$ — кривая этого же распределения, полученная из гистограммы по методу Феррейра и Валошека ⁽¹⁾

им выше объяснением тонкой структуры энергетического спектра в указанном интервале энергий.

Физико-технический институт
Академии наук СССР

Поступило
18 IV 1959

Ленинградский политехнический институт
им. М. И. Калинина

ЦИТИРОВАННАЯ ЛИТЕРАТУРА

¹ Е. П. Феррейра, П. Я. Валошек, Материалы международн. конф. Женева, август 1955 г., 2, стр. 147, 1958. ² D. H. Wilkinson, Physica, 1039 (1956).

Э. В. ТЕОДОРОВИЧ

«СКРЫТАЯ СТРУКТУРА» В МОДЕЛИ ЛИ

(Представлено академиком Н. Н. Боголюбовым 20 III 1959)

1°. Как было показано в работах ^(1,2), уравнение Лоу имеет множество решений и однозначный выбор решения зависит от предположения о числе и расположении нулей амплитуды рассеяния как функции энергии. Существование нулей амплитуды рассеяния может быть интерпретировано с помощью введения дополнительных состояний свободного гамильтониана, которые не приводят к возникновению дополнительных состояний полного гамильтониана, соответствующих полюсам амплитуды рассеяния ^(3,4). Такие состояния, получившие название «скрытой структуры», не являются асимптотическими состояниями полного гамильтониана при адиабатическом снятии взаимодействия, и для теорий подобного типа адиабатическое рассмотрение вообще неприменимо.

Отметим, что предположение об indefinitности метрики состояний скрытой структуры не приводит к трудностям, таким как, например, появление отрицательных вероятностей переходов в модели Ли, ведущих к нарушению унитарных свойств S -матрицы ⁽⁵⁾. Более того, часть состояний скрытой структуры обязательно должна входить с indefinitной метрикой, для того чтобы между двумя значениями энергии, при которых амплитуда рассеяния обращается в нуль, не возникало полюса, интерпретируемого как дополнительное состояние полного гамильтониана. Состояния положительной и indefinitной метрики должны чередоваться между собой, образуя, например, состояние типа «призрачных диполей» (dipole-ghost), предложенное Гайзенбергом ^(6,7).

2°. Рассмотрим вопрос о возможности существования скрытой структуры в модели Ли. Исследуется случай модели Ли, когда константа связи не лежит в нормальной области. Как известно, при этом матрица рассеяния становится неунитарной в связи с появлением дополнительного состояния физической V -частицы, обладающей отрицательной нормой ⁽⁵⁾.

Пусть гамильтониан свободного поля имеет одно дополнительное состояние φ_z ; метрику состояний V -частицы следует взять indefinitной согласно обычной теории. Неперенормированный гамильтониан системы имеет вид

$$\begin{aligned} H &= H_0 + H_1, \\ H_0 &= -m_V \sum_p \psi_V^\dagger(p) \psi_V(p) + m_N \sum_p \psi_N^\dagger(p) \psi_N(p) + \\ &+ \sum_k \omega(k) a^\dagger(k) a(k) + E_\alpha \sum_p \varphi_\alpha^\dagger(p) \varphi_\alpha(p), \\ H_1 &= -\frac{g_0}{\sqrt{V}} \sum_{p, k=p-p'} \frac{\hat{f}(\omega)}{\sqrt{2\omega}} [a^\dagger(k) \psi_N^\dagger(p') \psi_V(p) - \psi_V^\dagger(p) \psi_N(p') a(k)] - \\ &- g_{0\alpha} \sum_p [\varphi_\alpha^\dagger(p) \psi_V(p) - \psi_V^\dagger(p) \varphi_\alpha(p)], \quad \omega = \sqrt{k^2 + \mu^2}; \end{aligned}$$

при этом имеет место

$$\{\phi_V^+(\mathbf{p})\phi_V(\mathbf{p}')\} = -\delta_{\mathbf{p}\mathbf{p}'}, \quad g_0^2 < 0, \quad g_{0\alpha}^2 < 0.$$

Полный гамильтониан системы обладает двумя хорошими квантовыми числами

$$Q_1 = n_V + n_N + n_\alpha, \quad Q_2 = n_N - n_0,$$

где через n_V , n_N , n_α , n_0 обозначены числа соответствующих частиц.

Рассмотрим сектор $Q_1 = 1$, $Q_2 = 0$. Состояния этого сектора могут быть записаны в виде

$$|z\rangle = \left[-c\phi_V^+(\mathbf{p}) + b\phi_\alpha^+(\mathbf{p}) + \phi_N^+(\mathbf{p}') \sum_{\mathbf{k}=\mathbf{p}-\mathbf{p}'} \Phi(\mathbf{k}) a^+(\mathbf{k}) \right] |0\rangle.$$

Подставив в уравнение Шредингера $H|z\rangle = E|z\rangle$, получим систему уравнений для амплитуд:

$$(m_V - E)c = \frac{g_0}{V\sqrt{V}} \sum_{\mathbf{k}} \frac{f(\omega)}{\sqrt{2\omega}} \Phi(\mathbf{k}) + g_{0\alpha}b,$$

$$(E_\alpha - E)b = g_{0\alpha}c,$$

$$(\omega - E)\Phi(\mathbf{k}) = \frac{g_0 c}{V\sqrt{V}} \frac{f(\omega)}{\sqrt{2\omega}}$$

где здесь положили $m_N = 0$.

В результате исключения b и $\Phi(\mathbf{k})$ для случая рассеяния $E \geq \mu$ приходим к уравнению

$$h^+(E)g_0c = -\frac{f(E)}{\sqrt{2VE}},$$

где

$$h^+(E) = \lim_{z \rightarrow E+i0} h(z), \quad h(z) = \frac{z - m_V}{g_0^2} + \frac{1}{2V} \sum_{\mathbf{k}} \frac{f^2(\omega)}{\omega(\omega - z)} + \frac{g_{0\alpha}^2}{g_0^2(E_\alpha - z)}.$$

Рассеяние θ -частиц на N -частицах определяется функцией

$$\Phi(\mathbf{k}) = \delta_{\mathbf{k}\mathbf{k}_0} - \frac{1}{2V} \frac{f(\omega)f(E)}{\sqrt{\omega E} h^+(E)(\omega - E - i0)}.$$

Вопрос о нахождении состояний физической V -частицы сводится к задаче отыскания корней уравнения $h(z) = 0$ в области $z < \mu$.

Предварительно совершив перенормировку массы и заряда, выделив в $h(z)$ части, не зависящую от z и пропорциональную z :

$$h(z) = a + bz + z^2 G(z),$$

$$a = -\frac{m_V}{g_0^2} + \frac{1}{2V} \sum_{\mathbf{k}} \frac{f^2(\omega)}{\omega^2} + \frac{g_{0\alpha}^2}{g_0^2 E_\alpha}, \quad b = \frac{1}{g_0^2} + \frac{1}{2V} \sum_{\mathbf{k}} \frac{f^2(\omega)}{\omega^3} + \frac{g_{0\alpha}^2}{g_0^2 E_\alpha^2},$$

$$G(z) = \frac{1}{2V} \sum_{\mathbf{k}} \frac{f^2(\omega)}{\omega^3(\omega - z)} + \frac{g_{0\alpha}^2}{g_0^2 E_\alpha^2 (E_\alpha - z)}.$$

Произведем перенормировку массы, положив $a = 0$, что соответствует лучу $m_{VR} = m_N = 0$.

Перенормировку заряда произведем с помощью соотношений

$$\frac{1}{g^2} = \frac{1}{g_0^2} + \frac{1}{2V} \sum_{\mathbf{k}} \frac{f^2(\omega)}{\omega^3} + \frac{g_{0\alpha}^2}{g_0^2 E_\alpha^2}; \quad -g_0^2 N^2 = g^2,$$

$$-g_{0\alpha}^2 N^2 = g_\alpha^2, \quad -N^2 = \left[1 - \frac{g^2}{2V} \sum_{\mathbf{k}} \frac{f^2(\omega)}{\omega^3} \right] \left[1 + \frac{g_{0\alpha}^2}{E_\alpha^2} \right]^{-1}.$$

После проведения перенормировок

$$h(z) = \frac{z}{g^2} \left[1 + \frac{g^2 z}{2V} \sum_k \frac{f^2(\omega)}{\omega^3 (\omega - z)} + \frac{g_\alpha^2 z}{E_\alpha^2 (E_\alpha - z)} \right].$$

Как было показано в работе ⁽⁵⁾, в случае, когда константа связи не лежит в нормальной области, уравнение

$$1 + \frac{g^2 z}{2V} \sum_k \frac{f^2(\omega)}{\omega^3 (\omega - z)} = 0$$

имеет корень при $z = -\lambda$ ($\lambda > 0$).

Допустим, что энергия дополнительного состояния E_α лежит в окрестности точки $z = -\lambda$. Тогда уравнение $h(z) = 0$ не будет иметь других корней, кроме $z = 0$, при достаточно малых $g_{0\alpha}^2$ (см. рис.

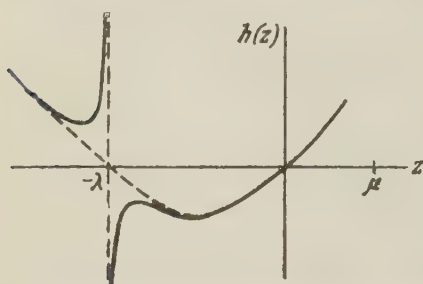


Рис. 1. График функции $h(z)$; пунктирная линия — случай Челлена — Паули

В результате второе состояние физической V -частицы, обладающее отрицательной нормой и приводящее к нарушению унитарности матрицы рассеяния, отсутствует в рассматриваемом варианте теории модели Ли. Сечение рассеяния в этом случае несколько больше, чем в обычном варианте модели Ли, но это расхождение может быть сделано сколь угодно малым при достаточно малых значениях параметра $g_{0\alpha}^2$. В случае, когда константа связи лежит вне нормальной зоны, но недалеко от критического

значения ($N^2 \ll 1$), можно с помощью введения второго состояния скрытой структуры с энергией $E_\beta < E_\alpha$ добиться восстановления эрмитовости неперенормированного гамильтониана, получив для g_0^2 положительное значение.

3°. В настоящее время представляется правдоподобным, что константа связи π -мезонной теории (а, возможно, также и электродинамики) лежит вне своей нормальной зоны и, следовательно, в реальных физических теориях имеет место та же трудность, что и в модели Ли ^(6,8). Устранение этой трудности может быть проведено с помощью наложения нефизических состояний требования отсутствия обмена динамическими характеристиками с физическими состояниями в результате рассеяния (см. также ⁽¹⁰⁾). Однако такое условие эквивалентно введению нелокального взаимодействия, в то время как наш метод исключения призрачных состояний не приводит к нарушению локальных свойств теории и сохраняет микроскопическую причинность.

Автор выражает благодарность проф. Д. Д. Иваненко и А. М. Бродскому за дискуссию, а также Б. В. Медведеву и М. К. Поливанову за критические замечания.

Московский государственный университет
им. М. В. Ломоносова

Поступило
18 III 1959

ЦИТИРОВАННАЯ ЛИТЕРАТУРА

- ¹ L. Castillejo, R. Dalitz, F. Dyson, Phys. Rev., **101**, 453 (1956); F. Dyson, Phys. Rev., **106**, 157 (1957). ² R. Norton, A. Klein, Phys. Rev., **109**, 5 (1958). ³ R. Haag, Nuovo Cim., **5**, 203 (1957). ⁴ D. Fairlie, J. Polkinghorne, Nuovo Cim., **8**, 345 (1958); **8**, 555 (1958). ⁵ K. Källén, R. Pauli, Dan. Mat. Fys., Medd., **30**, 7 (1956). ⁶ W. Heisenberg, Zs. f. Phys., **144**, 1 (1956). ⁷ W. Heisenberg, Nucl. Phys., **4**, 532 (1957). ⁸ Х. Умедзава, Квантовая теория поля, ИЛ, 1958, стр. 36. ⁹ Н. Боголюбов, Б. Медведев, М. Поливанов, Научн. докл. Высш. школы, сер. физ.-матем., **2**, 147 (1958). ¹⁰ Л. Максмов, ЖЭТФ, **36**, 140 (1959).

И. Я. БАЛЛАХ и член-корреспондент АН СССР М. Ф. МИРЧИНК

О ВОЗМОЖНОСТИ ПРИМЕНЕНИЯ СЕЙСМОРАЗВЕДКИ ДЛЯ ПРЯМЫХ ПОИСКОВ ЗАЛЕЖЕЙ НЕФТИ И ГАЗА

Сейсморазведка является важным средством при поисках и разведке нефтяных и газовых месторождений; она успешно применяется для изучения глубинной тектоники и поисков структурных форм. Вместе с тем, вследствие сложности первичного сейсмического материала, вызванной глубинными сейсмогеологическими условиями, часто затруднительно проследить отдельные отражающие горизонты. В этих случаях сейсмическая запись характеризуется, как правило, изменением ее формы и периодическим появлением и исчезновением отдельных отражений. Одной из причин, осложняющих сейсмический материал, является нефте-газосодержание пород. Нефте-газосодержание пород влияет на их плотности, скорости упругих колебаний в них, волновые сопротивления этих пород и тем самым изменяет коэффициент отражения от границ, приуроченных к нефте-газоносным пластам, прослеживаемым по изучаемой площади.

Рассмотрим, как влияет нефте-газосодержание пород на упругие свойства этих пород в различных геологических условиях их залегания.

Весь нефте-газоносный пласт является многокомпонентной неоднородной средой и по упругим свойствам представляет собой систему, состоящую из твердой, жидкой и газовой компонент. Твердой компонентой являются верна породы, из которой состоит скелет коллектора и цементирующее вещество; жидкой и газовой — нефть и газ в нефте-газовой залежи и вода с незначительным содержанием газа в водосодержащей части пласта. Кроме того, в нефте-газовой залежи содержится некоторое количество связанной воды, в которой также растворен газ. В неоднородных средах при отсутствии внешнего давления на породу скорости упругих колебаний, длина волн которых несоизмеримо больше размеров неоднородностей, определяются макроскопическими свойствами неоднородных сред ⁽¹⁾. Если пористая (неоднородная) среда находится под внешним давлением, то, в соответствии с теорией Герца о деформации соприкасающихся шаров ⁽²⁾, скорости определяются также контактом зерен. Принимая во внимание эти положения и учитывая ⁽³⁾, уравнение скорости продольной сейсмической волны (a_{p2}) в нефтяной залежи в предположении, что коллектор представлен зернами песка, в первом приближении сферической формы с гексагональной их упаковкой, имеет вид *

$$a_{p2} = \frac{1}{\rho^{1/2}} \left[\frac{\left(1 - \frac{1}{3} \frac{C \Delta P^{1/2}}{K_m}\right)^2}{\Pi \beta + \frac{1 - \Pi}{K_m} - \frac{1}{6} \frac{C \Delta P^{1/2}}{K_m^2}} - \frac{2}{3} C \Delta P^{1/2} \right]^{1/2}, \quad (1)$$

* Рассмотрим случай, когда газ полностью растворен в нефти, а количество связанной воды равно нулю.

где $\Delta P = P_{\mathcal{D}} - P$; ρ — средняя плотность пористой породы, насыщенной жидкостями; Π — коэффициент пористости коллектора; β — сжимаемость пластовой нефти; K_m — модуль всестороннего сжатия зерен песка коллектора; $P_{\mathcal{D}}$ — геодинамическое давление; P — пластовое давление; C — величина, характеризующая модуль Юнга и коэффициент Пуассона зерен песка коллектора.

Величину a_{p2} по (1) в естественных условиях однозначно определить невозможно из-за неопределенности $P_{\mathcal{D}}$.

Не останавливаясь на обсуждении возможных соотношений $P_{\mathcal{D}}$ и в различных геотектонических условиях и учитывая, что в основном $P_{\mathcal{D}} \leq P < P_m$, а также, что в результате деформации пород $P_m \geq P_{\mathcal{D}}$, рассмотрим предельные значения ΔP (P_0 — гидростатическое давление; P_n — геостатическое давление).

1) $P_{\mathcal{D}} = P$, где $P_{\mathcal{D}} \leq P_m$, $P \geq P_0$. Тогда $\Delta P = 0$ и уравнение перепишется в виде

$$a_{p2} = \left[\frac{1}{\rho \left(\Pi\beta + \frac{1-\Pi}{K_m} \right)} \right]^{1/2}.$$

2) $P_{\mathcal{D}} > P$, где $P_{\mathcal{D}} = P_m$, $P = P_0$. Тогда $\Delta P = P_m - P_0$ и a_{p2} определяются по (1).

3) $P_{\mathcal{D}} \gg P$, где $P \geq P_0$, $P_{\mathcal{D}} > P_m$. Этот случай соответствует большим и неопределенным значениям $P_{\mathcal{D}}$.

Предварительно заметим, что при определении a_{p2} мы исходили из предположения, что механические примеси в поровом пространстве либо совершенно отсутствуют, либо находятся как бы во взвешенном состоянии и испытывают только давление всестороннего сжатия и не сказываются на упругом соприкосновении зерен песка. В действительности же примеси, расположенные между зернами песка, уменьшают упругость контактов, возникающую в соответствии с теорией Герца; в этом случае в (1) вместо величины C следует подставить $\Delta C = C - C_1$, где C_1 характеризует микроскопические упругие свойства примесей, их количество и расположение в порах. В пределе, при $\Delta C \rightarrow 0$, уравнение (1) перепишется в виде

$$a_{p2} = \left[\frac{1}{\rho \left(\Pi\beta + \frac{1-\Pi}{K_{m0}} \right)} \right]^{1/2}.$$

Промежуточные массы, образованные примесями, являются зонами связывающими элементарные объемы зерен песка. В этих условиях K_{m0} том понимании, как дано автором (1), представляет собой распределенную упругость. Скорость a_{p2} в этих условиях для третьего случая (и для второго) определяется по уравнению (3).

Скорости a_{p2} , вычисленные для постоянных параметров коллектора пластовой нефти (скелет коллектора пористостью 20% представлен кварцевыми зернами, сжимаемость нефти $\beta = 12 \cdot 10^{-11}$ бар⁻¹) имеют следующие значения: по (1) при $H = 3000$ м $a_{p2} = 1970$ м/сек; по (2) $a_{p2} = 1300$ м/сек; по (3) $a_{p2} = 1330$ м/сек. Скорости, вычисленные по уравнению (1), резко отличны от скоростей, вычисленных по уравнениям (2) и (3), и выяснить сколько-нибудь определенно степень влияния пластовой нефти на упругие свойства пород по значениям a_{p2} пока не представляется возможным.

Для того чтобы охарактеризовать это влияние воспользуемся отношением скоростей в нефтесодержащей (a_{p2}) и в водосодержащей (a_{p3}) частях нефтеносного пласта, где все параметры, кроме флюидов, наполняющих поры коллектора, а также геологические условия его залегания являются в первом приближении одинаковыми.

Характеристика a_{p2}/a_{p3} , вычисленная при $H = 3000$ м, равна $a_{p2}/a_{p3} = 74 \pm 8\%$; при $H = 2000$ м $a_{p2}/a_{p3} = 74 \pm 8\%$ и при $H = 1000$ м $a_{p2}/a_{p3} = 72 \pm 6\%$ *. Интервалы изменения a_{p2}/a_{p3} соответствуют отклонениям значений a_{p2}/a_{p3} при $\Delta P \leq 0$ и $\Delta P > 0$ от средней величины и словно могут служить пределами точности характеристики влияния пластовой нефти на упругие свойства пористых пород в естественных условиях.

Коэффициент отражения от водо-нефтяного контакта нормально падающей продольной сейсмической волны для указанных выше глубин залегания пласта (3000; 2000 и 1000 м), его параметров и сжимаемости нефти равен соответственно 17 ± 5 ; 17 ± 5 и $18 \pm 4\%$.

Порядок величин коэффициента отражения от поверхности водо-нефтяного контакта указывает, что отражения от этих поверхностей в ряде случаев регистрируются на сейсмограммах и являются одной из причин периодического появления и исчезновения отдельных отражений на этих сейсмограммах.

Величины отношений a_{p2}/a_{p3} указывают, что коэффициенты отражения от кровли и от подошвы нефтеносного пласта в пределах его водосодержания и нефтесодержания различны и являются одной из причин изменения формы сейсмической записи.

Полученные ориентировочные величины, характеризующие степень влияния пластовой нефти на упругие свойства пород, дают возможность сделать вывод о возможности оконтуривания по упругим свойствам нефте-газосодержащей части пласта в окружающих отложениях. Это позволяет поставить вопрос о возможности использования сейсморазведки не только для поисков структурных форм, но и для непосредственного обнаружения нефтяных и газовых залежей и их оконтуривания, т. е. для прямых поисков нефти и газа.

Институт геологии и разработки горючих ископаемых
Академии наук СССР

Поступило
18 III 1959

ЦИТИРОВАННАЯ ЛИТЕРАТУРА

¹ Ю. В. Ризниченко, Изв. АН СССР, сер. геогр. и геофиз., № 2 (1949).
H. R. Hertz, Gesammelte Werke, 1, Leipzig, 1895, S. 155—173. ² F. Gassman, Geophysics, 16, 673 (1951).

* a_{p2}/a_{p3} при этих условиях, для кубической упаковки зерен (сферической формы) соответственно равно 72 ± 6 ; 72 ± 6 ; $70 \pm 4\%$.

К. Т. БОГДАНОВ

НОВАЯ АМФИДРОМИЧЕСКАЯ СИСТЕМА СУТОЧНОЙ ПРИЛИВНОЙ ВОЛНЫ В ЗАЛИВЕ НОРТОН

(Представлено академиком В. В. Шулейкиным 14 III 1959)

Рассматривая характер приливных движений уровенной поверхности в восточной части Берингова моря, удалось подметить особенности в распространении суточных приливных волн K_1 и O_1 на акватории залива Нортон и в северной части Берингова моря между островом Св. Лаврентия и полуостровом Сьюард.

Эти особенности соответствуют имеющимся представлениям о характере распространения суточных волн K_1 и O_1 в этом районе, почерпнутым из опубликованных каталогов котидальных линий для Берингова моря. Для анализа распространения суточных приливных волн в этом районе не использовались значения гармонических постоянных приливных колебаний уровня, опубликованные в изданиях Международного гидрографического бюро ⁽¹⁾ и в Приливных таблицах Английского адмиралтейства ⁽²⁾.

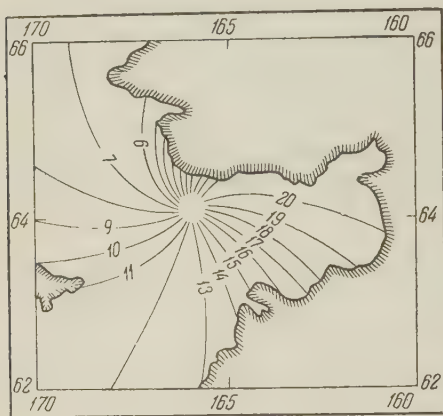


Рис. 1. Карта котидальных линий волн K_1 для залива Нортон

Для более наглядного представления приливных движений уровенной поверхности были построены карты изогипс волн K_1 . Материалом для построения этих карт послужили ежечасные высоты уровня, вычисленные для пунктов, имеющих гармонические постоянные приливных колебаний уровня в этом районе моря. Карты изогипс волны K_1 , построенные для каждого часа суток, показывают, что уровенная поверхность залива Нортон и района моря между островом Св. Лаврентия и полуостровом Сьюард всегда имеет почти постоянный наклон к горизонтальной плоскости, причем наклоненная уровенная поверхность вращается вокруг некоторой точки в течение приливного периода. Это говорит о том, что в данном районе моря приливные колебания уровенной поверхности суточного периода имеют характер стоячих колебаний (в поле силы Кориолиса).

Можно было бы подобным же образом построить карты изогипс волн O_1 . Однако это делать нецелесообразно, так как гармонические постоянные волны O_1 во многом сходны с гармоническими постоянными волн K_1 . Полуамплитуды H волны O_1 примерно на 50% меньше соответствующих амплитуд волны K_1 , углы положения g волны O_1 в тех же пунктах побережья залива Нортон изменяются таким же образом, как и углы положения волны K_1 . Поэтому форма уровенной поверхности и характер ее изменения, обусловленные суточной волной O_1 , в общем очень сходны с формой уровенной поверхности и характером ее изменения, обусловленные волной K_1 .

Взяв за основу карты изогипс волн K_1 , построенные для каждого часа приливного периода (при условиях $B = 1$, $b = 0$, $C = 1$ и $c = 0$), и пользуясь методом изогипс, нетрудно построить карту котидальных линий волны K_1 . Эта карта (см. рис. 1) вскрывает наличие в северной части залива Нортон амфидромической системы суточной волны K_1 , центр которой (амфидромическая точка) расположен вблизи острова Следж.

Аналогичную картину, как это указывается выше, даст карта котидальных линий волны O_1 , поскольку гармонические постоянные волн K_1 и O_1 во многом сходны.

Амфидромические системы суточных волн в заливе Нортон ранее не отмечались ни на одной из опубликованных карт котидальных линий.

Институт океанологии
Академии наук СССР

Поступило
13 III 1959

ЦИТИРОВАННАЯ ЛИТЕРАТУРА

¹ International Hydrographic Bureau, Tides, Harmonic constant, Special Publication, Monaco, march, 1940. ² Admiralty Tide Tables, P. II, London, 1938.

Н. И. ВУЛЬФСОН

О МЕХАНИЗМЕ РАЗРЕШЕНИЯ НЕУСТОЙЧИВОСТИ В СВОБОДНОЙ АТМОСФЕРЕ

(Представлено академиком Л. И. Седовым 16 II 1959)

1. В настоящее время не существует прямых методов, позволяющих исследовать механизм возникновения и развития конвективных движений в свободной атмосфере. Однако характер этих процессов может быть определен косвенно, путем исследования законов изменения с высотой температуры или скорости конвективных потоков, которые, как известно, зависят от типа источников тепла, характера движения воздуха в струях, стратификации атмосферы и т. д. (¹⁻³). Измерить указанные параметры в действительно взятом восходящем потоке в природных условиях также не представляется возможным. Однако разработанный в последние годы метод индикации восходящих конвективных потоков при помощи чувствительного термометра, установленного на самолете (⁴), и метод статистической интерпретации результатов измерений (⁵) позволяют получить распределения температур в центрах восходящих потоков. Это дает возможность статистически исследовать изменения температуры конвективных потоков с высотой.

2. Распределение $F(s, T_0)$ действительных диаметров s конвективных струй в плоскости полета и температур T_0 в их центрах связано с экспериментально полученным распределением $w(l, T)$ размеров l случайных сечений струй самолетом и температур T , соответствующих этим сечениям, соотношением

$$F(s, T_0) = -\frac{2\bar{s}}{\pi s^{\lambda-1}} \int_s^\infty \frac{d}{dl} [l^{\lambda-1} w(l, T_0)] \frac{dl}{V l^2 - s^2}.$$

Здесь \bar{s} — момент 1-го порядка распределения $F(s)$ только размеров струй

$$F(s) = -\frac{2\bar{ss}}{\pi_i} \int_s^\infty \frac{d}{dl} \left[\frac{w(l)}{l} \right] \frac{dl}{V l^2 - s^2}$$

($w(l)$ — распределение размеров случайных сечений); λ — параметр, определяющий профиль температуры в струе, который предполагается имеющим вид

$$T = T_0 \left(1 - \frac{r^2}{R^2} \right)^{\lambda/2} = T_0 \frac{l^\lambda}{s^\lambda},$$

где r — расстояние от центра струи до центра сечения размером l , а R — радиус струи. Средние температуры в центрах струй \bar{T}_0 определяются из рассчитанных распределений (1).

3. Очевидно, что профиль температуры (3) в любом сечении струи будет таким же, как и в центральном сечении. Поэтому значение λ можно определить из формы импульсов температуры, полученных при пересечении конвективных потоков самолетом. На основании этих данных было найдено, что (3) достаточно хорошо оправдывается при $\lambda = 1$ *. Полученные

* Полученные импульсы температуры, как правило, несимметричны. Если за центр сечения принять точку, соответствующую максимальной температуре, то $\lambda = 2$. Однако в приведенные ниже результаты полностью сохраняются и в этом случае.

кон мало меняется с высотой* (см. табл. 1). Таким образом, предполагаемое подобие профилей температуры в свободно поднимающихся струях

Таблица 1

Высота полета, м	Число измерений	Расстояние от центров импульсов размером l					
		0	$l/8$	$l/4$	$3l/8$	$7l/16$	$l/2$
		Средн. знач. относительн. температур T/T_0					
10	90	1,00	0,99	0,83	0,52	0,26	0,00
50	77	1,00	0,96	0,82	0,53	0,28	0,00
100	60	1,00	0,97	0,89	0,58	0,31	0,00
200	47	1,00	0,96	0,82	0,58	0,37	0,00
300	37	1,00	0,98	0,92	0,62	0,44	0,00
500	46	1,00	0,93	0,84	0,60	0,40	0,00
700	35	1,00	0,99	0,84	0,63	0,43	0,00
1000	25	1,00	0,94	0,81	0,58	0,43	0,00

3) оправдывается и в условиях свободной атмосферы. Этим подтверждается правомочность сравнения результатов расчетов для различных высот.

4. Распределения (1) рассчитывались на основании данных измерений более 25 000 конвективных потоков на высотах от 8 до 3000 м **, полученных в период 1952—1956 гг. в различных районах от 40 до 60° с. ш. Измерения производились в условиях равнины, летом, в солнечную погоду в период от 10 до 16 час., когда градиенты температуры вблизи поверхности земли превышали адиабатический, а выше в среднем 300 м почти во всем слое конвекции были меньше, но близки к нему. Средние температуры в центрах струй, рассчитанные для высот z , равных 8; 30; 50; 100; 300; 500; 1000; 1500 и 2000 м, представлены точками на рис. 1. Эти данные показывают, что падение температуры вдоль оси струй достаточно точно описывается законом ***

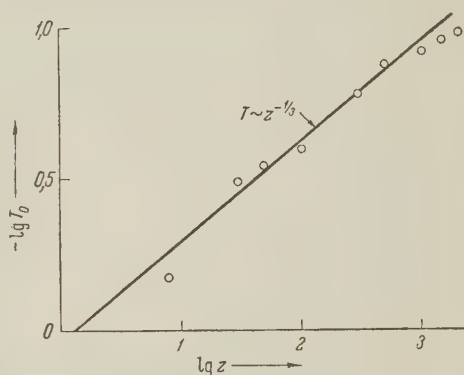


Рис. 1. Изменение с высотой средней температуры центров конвективных потоков

500; 1000; 1500 и 2000 м, представлены точками на рис. 1. Эти данные показывают, что падение температуры вдоль оси струй достаточно точно описывается законом ***

$$\bar{T}_0 = c_1 z^{-1/3} \quad (c_1 \approx 1,1 \text{ м}^{1/3} \text{ град})^{***}, \quad (4)$$

который получен теоретически для случая спонтанного возникновения турбулентных струй в неустойчивой атмосфере (2, 6). Качественно этот результат следует также из сопоставления записи температур на осциллограммах с характером подстилающей поверхности, над которой производились полеты. Привязанные к подстилающей поверхности струи наблюдаются только над сравнительно нагретыми участками земли и являются преобладающей формой конвективных потоков главным образом в условиях гор, где

* Профиль температуры в конвективных потоках меняется главным образом в нижних 100—200 м; выше 200—300 м он почти точно соответствует закону (3) при $\lambda = 1$.

** 8 м — средняя высота бреющих полетов по радиовысотометру.

*** Тенденции к некоторому отклонению температур конвективных потоков от закона (4) на высоте 8 м вызвана, по-видимому, тем, что струи зарождаются не непосредственно у поверхности земли, на высотах 1500 и 2000 м — процессами конденсации, в результате которых средние температуры потоков на уровнях 2500 и 3000 м даже несколько растут с высотой.

**** Значение c_1 зависит от широты мест а; на широтах 58; 49 и 41° эти значения приблизительно равны 0,9; 1,2 и 1,4.

контрасты температур особенно сильны. (Над характерными вершинами конвективных потоки систематически отмечались в различные дни, разное время дня и на различных высотах до 800—1000 м.) При полетах над относительно однородной подстилающей поверхностью (в частности, при неоднократном повторении полетов вдоль какого-либо маршрута) привязать полученные импульсы температуры к конкретным участкам маршрута представляется возможным. Таким образом, эти данные, так же как и приведенные выше результаты расчетов, являются экспериментальным доказательством того, что конвективные потоки в том виде, в котором они осуществляются над подавляющей частью поверхности Земли, не привязаны к подстилающей поверхности, а возникают спонтанно в слое со сверхадиабатическими градиентами температуры.

5. Законы изменения температуры и скорости вдоль оси спонтанно возникающих струй

$$T_0 \sim z^{-1/3}, \quad (5)$$

$$w_0 \sim z^{1/3} \quad (6)$$

получаются, если потенциальная температура Θ в неустойчивом слое меняется по закону

$$\Theta(z) - \Theta(z_0) \sim z^{-1/3}, \quad (7)$$

что и имеет место] при свободной конвекции ^(7,8). Законы (5) и (6) получены для случая турбулентных струй. Однако методами, аналогичными

(²) или (⁶), нетрудно показать, что эти законы справедливы и для ламинарных струй, а также при отсутствии трения вообще. Меняется только форма струй, которая для турбулентного движения определяется законом $R \sim z^{1/3}$ *, для ламинарного $R \sim z^{1/2}$ *.

Независимость законов (5) и (6) от характера движения в струях показывает, что изменения с высотой температуры и скорости струй определяются исключительно неустойчивостью атмосферы (⁷) (²). Вместе с тем, поскольку наличие трения или турбулентности выражается в изменении формы струй, то весьма вероятно, что законы (5) и (6) не должны зависеть также от формы конвективных потоков**, даже если они не являются струями. Следует

отметить, что закон (5) оправдывается в предположении, что конвективные потоки представляют собой пузыри в форме эллипсоидов вращения (⁵), так же хорошо, как и в предположении, что эти потоки — струи.

6. Теоретическая связь законов (5) и (6) и экспериментальное подтверждение справедливости (5) в природных условиях позволяют считать, что изменение скорости восходящих потоков в свободной атмосфере независимо от предполагаемого характера движения близко к закону***

$$\bar{w}_0 = c_2 z^{1/3} \quad (c_2 \approx 0,2 \text{ м/сек}^{-1}) \quad (8)$$

* Полученное на основании (2) изменение средних размеров струй с высотой показало, что в нижних 100 — 300 м, т. е. в слое, где $\partial\Theta/\partial z \leq 0$, форма конвективных потоков близка к форме ламинарных струй; выше 100 — 300 м размеры конвективных потоков почти не меняются с высотой.

** Законы (5) и (6) могут быть получены не только для круглых, но и для «линейных» струй (⁶) и, по-видимому, справедливы для нестационарных процессов (если охлаждение центральных областей конвективных потоков происходит адиабатически).

*** Такие сравнительно небольшие средние скорости конвективных потоков и относительно малое изменение их с высотой подтверждаются данными планерных полетов, например (⁹), хотя эти полеты происходят в потоках, как правило, более мощных, чем «средние»

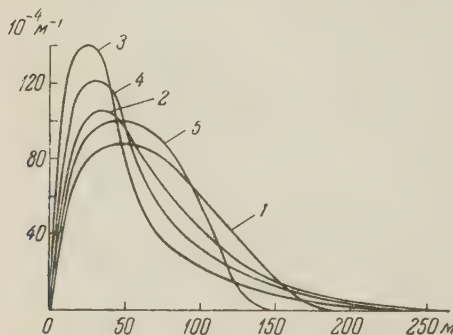


Рис. 2. Дневной ход распределений размеров струй на высоте 100 м 17 VIII 1955 г. (~50° с.ш.). Среднее время измерений: 1—6 час. 50 мин., 2—9 час. 35 мин., 3—12 час. 55 мин., 4—16 час. 10 мин., 5—18 час. 35 мин.

значение c_2 легко определяется на основании экспериментально полученного значения c_1 (2). Таким образом, температура и скорость в любой точке струи приблизительно равны

$$T \approx 1,1 z^{-1/3} (1 - r^2/R^2)^{1/2}, \quad (9)$$

$$w \approx 0,2 z^{1/3} (1 - r^2/R^2)^{1/2}. \quad (10)$$

7. Расчеты размеров конвективных потоков (5) по данным измерений, проведенных в различных физико-географических условиях, показали, независимо от предположения о форме потоков, что размеры их систематически уменьшаются с ростом неустойчивости или турбулентности атмосферы* (табл. 2), что особенно наглядно проявляется в изменении размеров потоков в течение дня (рис. 2). (Только в горах, где конвективные струи

Таблица 2

Время дня, условия погоды или характер подстил. поверхности	Высота полетов в м	Число измерений	Средн. размеры		Средн. конц. потоков	
			струй, диаметры в м	пузырей, гориз. оси эллипсоидов в м	число струй на 1 км ²	$\frac{1}{m}$ пузырей в 1 км ³ *
Равнина						
утро и вечер **	8—1000	6732	61	52	39	653
день	8—1000	13261	55	41	82	2100
безобл.	50—2000	1726	56	46	64	1330
развитие мощн. облаков	50—2000	1088	52	41	79	1940
море ***	100—1000	371	53	41	26	648
суша	100—1000	314	48	36	38	1090
озеро ***	20—300	2372	58	48	84	1430
суша	30—300	7969	52	40	127	3170
поле	50—300	2983	58	47	88	1730
лес	50—300	5741	56	42	100	2390
Горы						
утро и вечер **		2883	78	62	26	409
день		4407	83	66	41	638

* m — отношение горизонтальных ссей эллипсоидов к вертикальным.

** К утренним и вечерним относятся измерения, выполненные до 10 час. и после 16 час. среднего местного времени.

*** Измерения над морем и озерами производились ночью.

не являются спонтанными, размеры потоков днем больше, чем утром и вечером.) Таким образом, данные табл. 2 также согласуются с тем, что разрешение неустойчивости в свободной атмосфере осуществляется главным образом путем развития спонтанных конвективных потоков.

Институт прикладной геофизики
Академии наук СССР

Поступило
11 II 1959

ЦИТИРОВАННАЯ ЛИТЕРАТУРА

¹ Я. Б. Зельдович, ЖЭТФ, 7, в. 12 (1937). ² G. K. Batchelor, Quart. Roy. Met. Soc., 80, № 345 (1954). ³ С. Н. В. Priestley, F. K. Ball, Quart. Roy. Met. Soc., 81, № 348 (1955). ⁴ Н. И. Рюльфон, Изв. АН СССР, сер. геофиз., № 5 (1956). ⁵ Н. И. Вульфсон, Изв. АН СССР, сер. геофиз., № 7 (1958). ⁶ С. Н. В. Priestley, Proc. Roy. Soc., A, 238 № 1214 (1957). ⁷ А. С. Монин, М. Обухов, Тр. Геофиз. инст. АН СССР, № 24 (151) (1954). ⁸ С. Н. В. Priestley, Austral. J. Phys., 7, № 1 (1954). ⁹ W. Woodward, Aero Rev., 31, № 9 (1956).

* Несмотря на уменьшение размеров потоков, их относительный объем возрастает, так как существенно увеличивается концентрация потоков.

Ю. В. ВОРОБЬЕВ и А. А. ВЯЗИГИН

О ПОЛЕВЫХ ХРОМАТИЧЕСКИХ АБЕРРАЦИЯХ В ЭЛЕКТРОННОМ МИКРОСКОПЕ

(Представлено академиком А. А. Лебедевым 23 III 1959)

Исследованию полевых хроматических aberrаций в электромагнитном микроскопе посвящены работы Морито ⁽¹⁾ и Каная ⁽²⁾. Этими авторами было показано, что полевые хроматические aberrации увеличения и поворота могут быть исправлены подбором величин токов и их направлений в линзах электронного микроскопа.

В настоящей работе будет исследован вопрос о полевых хроматических aberrациях в электронном микроскопе, в котором оси осветителя, объективной и проекционной линз смещены относительно друг друга, как это фактически всегда имеет место.

Если рассматривать систему без действующей апертурной диафрагмы, считать, что апертура электронных пучков определяется апертурой осветителя, то величина смещения изображения произвольной точки на объекте при изменении ускоряющего напряжения с U на $U + \Delta U$ определяется формулой

$$\Delta X = \frac{\Delta m}{m} X - \Delta \theta Y + am,$$

$$\Delta Y = \Delta \theta X + \frac{\Delta m}{m} Y + bm,$$

где X и Y — координаты изображения рассматриваемой точки объекта; ΔX и ΔY — проекции на оси координат отрезка, на который смещается это изображение при изменении ускоряющего напряжения; m — увеличение микроскопа.

Коэффициенты $\Delta m/m$ — относительное изменение увеличения и $\Delta \theta$ — изменение угла поворота изображения соответствуют полевым хроматическим aberrациям в осесимметричной системе. Оси координат X и Y выбраны так, что начало совпадает с точкой пересечения оси проекционной линзы с плоскостью изображения.

Величины a и b не зависят от положения точки, изображение которой рассматривается, а определяются величинами смещения осей оптических элементов микроскопа.

$$\begin{aligned} a = & -\cos \theta_2 \left[f_0 \left(\Delta \theta_0 \alpha_Y - \frac{\Delta m_0}{m_0} \alpha_X \right) + \frac{f_1}{f_0} \Delta z_0 (\cos \theta_1 X'_0 - \sin \theta'_1 Y'_0) \right] + \\ & + \sin \theta_2 \left[-f_0 \left(\Delta \theta_0 \alpha_X + \frac{\Delta m_0}{m_0} \alpha_Y \right) + \frac{f_1}{f_0} \Delta z_0 (X'_0 \sin \theta_1 + Y'_0 \cos \theta_1) \right], \\ b = & -\sin \theta_2 \left[f_0 \left(\Delta \theta_0 \alpha_Y - \frac{\Delta m_0}{m_0} \alpha_X \right) + \frac{f_1}{f_0} \Delta z_0 (X'_0 \cos \theta_1 - Y'_0 \sin \theta_1) \right] - \\ & - \cos \theta_2 \left[-f_0 \left(\Delta \theta_0 \alpha_X + \frac{\Delta m_0}{m_0} \alpha_Y \right) + \frac{f_1}{f_0} \Delta z_0 (X'_0 \sin \theta_1 + Y'_0 \cos \theta_1) \right]. \end{aligned}$$

Здесь f_0, f_1 — фокусные расстояния объективной линзы; θ_1 и θ_2 — углы поворота объективной и проекционной линз; α_X, α_Y — углы наклона осей

объектива относительно оси проектива в плоскостях Xz и Yz ; X'_0, Y'_0 — углы наклона осветителя относительно оси объектива в плоскости Xz и Yz ; ΔZ_0 — изменение расстояния первой главной плоскости объективной линзы от ее центра при изменении ускоряющего напряжения с U на $U + \Delta U$; $\Delta \theta_0$ — соответствующее изменение угла поворота изображения объективной линзы; $\Delta m_0 / m_0$ — относительное изменение увеличения объективной линзы.

Из формул (1) видно, что отрезок полной полевой хроматической аберрации является векторной суммой отрезка полевой хроматической аберрации осесимметричной системы, равного

$$m \Delta r'_{xp} = \sqrt{\left(\frac{\Delta m}{m}\right)^2 + (\Delta \theta)^2} \sqrt{X^2 + Y^2} \quad (2)$$

и отрезка хроматической аберрации, вызванной несоосностью оптических элементов системы:

$$m \Delta r''_{xp} = m \left\{ \left[f_0 \left(\Delta \theta_0 \alpha_Y - \frac{\Delta m_0}{m_0} \alpha_X \right) + \frac{f_1}{f_0} \Delta z_0 (X'_0 \cos \theta_1 - Y'_0 \sin \theta_1) \right]^2 + \right. \\ \left. + \left[-f_0 \left(\Delta \theta_0 \alpha_X + \frac{\Delta m_0}{m_0} \alpha_Y \right) + \frac{f_1}{f_0} \Delta z_0 (X'_0 \sin \theta_1 + Y'_0 \cos \theta_1) \right]^2 \right\}^{1/2}. \quad (3)$$

Как показано в работах Морито и Каная, величина $\Delta r'_{xp}$ может быть сведена к нулю подбором величин и направления токов в линзах. Однако в этом нет необходимости, так как в существующих микроскопах высокого разрешения поле зрения и колебания напряжения очень малы, поэтому $\Delta r'_{xp}$ не превышает десятых ангстрема.

При $\sqrt{(X'_0)^2 + (Y'_0)^2} = 7 \cdot 10^{-3}$ рад., $\alpha_X = 5 \cdot 10^{-3}$ рад., $\alpha_Y = 0$ получим для типичного электронного микроскопа $\Delta r'_{xp} / \Delta r''_{xp} = 3 \cdot 10^{-2}$. Величина же полевой хроматической аберрации $\Delta r''_{xp}$, вызванной дефектами юстировки системы, как это видно из формулы (3), не зависит от величины и направления тока в проекционной линзе и может быть уменьшена лишь за счет улучшения качества юстировки и снижения величины колебаний ускоряющего напряжения:

$\Delta U / U$	10^{-4}	$4 \cdot 10^{-3}$
$\Delta r'_{xp}, \text{ \AA}$	0,66	0,264
$\Delta r''_{xp}, \text{ \AA}$	21,6	8,48

Поступило
16 III 1959

ЦИТИРОВАННАЯ ЛИТЕРАТУРА

- ¹ N. Morito, J. Appl. Phys., 25, № 8, 986 (1954). ² K. Kanaya, Res. Electr. Lab., № 548, 20 (1955).

И. М. ГРЯЗНОВ

О ХАРАКТЕРЕ ДЕФОРМАЦИЙ НА ПЛОЩАДКЕ ТЕКУЧЕСТИ

(Представлено академиком Ю. Н. Работновым 16 II 1959)

В работах ^(1,2) утверждается, что деформация в армо-железе, в мягкой и средней стали на площадке текучести происходит путем поворотов зерен, а полосы скольжения образуются на восходящей части кривой растяжения. Эти данные находятся в противоречии с нашими наблюдениями о появлении полос скольжения в самом начале пластической деформации, т. е. в начале площадки текучести. Недостаточная обоснованность выводов ⁽³⁾, но не была подтверждена опытами.

Исследование развития полос скольжения при растяжении производилось на армо-железе, углеродистой стали с 0,08% С, красной меди и латуни ЛС59-1. Гагаринские образцы шп

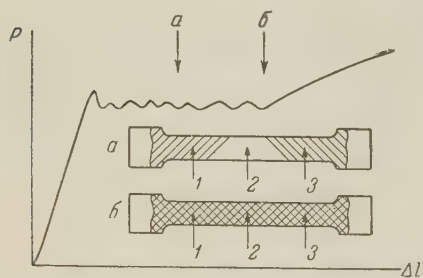


Рис. 1. Схема постепенного распространения фигур Чернова — Людерса при прохождении площадки текучести. а — растяжение на половину площадки текучести; б — растяжение до конца площадки текучести. Стрелками отмечены места, в которых фотографировалась микроструктура

того, вырисовываются контуры зерен, что указывает на смещение и повороты зерен (рис. 2 а). При этом распределение деформаций крайне неравномерно: в некоторых зернах полосы скольжения не наблюдаются. В остальных частях образца, не затронутой фигурами текучести, полосы скольжения были обнаружены.

Дальнейшее растяжение в пределах площадки текучести приводит к распространению фигур текучести по всей рабочей части образца, и в зернах каждой новой фигуры текучести происходят сдвиги и повороты. Так продолжается до конца площадки текучести, когда вся рабочая часть образца покрывается фигурами текучести. С этого момента начинается восходящая часть диаграммы растяжения. Дальнейшее деформирование за площадку текучести (на восходящей части диаграммы) сопровождается развитием полос скольжения, образовавшихся на площадке текучести; новые поло

ни ЛС59-1. Гагаринские образцы шлифовались с одной стороны так, что по всей рабочей длине получалась плоская площадка шириной около 2 мм. Эта площадка обрабатывалась затем как металлографический шлиф. Образцы растягивались на заданное удлинение и после разгрузки на них фотографировались одни и те же места.

Оказалось, что при деформировании до начала площадки текучести видимых изменений макро- и микроструктуры не наблюдается. Выход на площадку текучести сопровождается появлением фигур текучести Чернова — Людерса на части рабочей длины образца, обычно у его головок (рис. 3). Внутри фигур текучести в зернах появляются полосы скольжения и, кроме

скольжения образуются в незначительном количестве. Так продолжается момент образования шейки (рис. 2 б).

На снимке рис. 2 б видно, что в зернах феррита, даже при больших деформациях, редко возникает больше двух систем скольжения.

Ни в одном случае нельзя было установить связи между направлением течения скольжения в зернах и конфигурацией фигур текучести Чернова—Андерса.

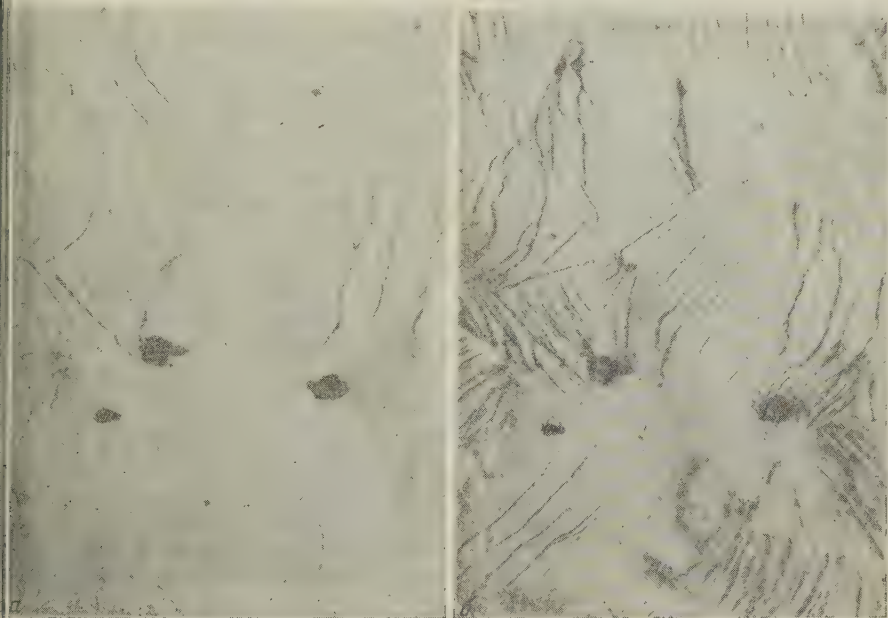


Рис. 2. Микроструктура армо-железа. а — после растяжения на 2% (в пределах площадки текучести); б — растяжение на 15,6% (до момента образования шейки). В основном получили развитие полосы скольжения, наметившиеся на площадке текучести. Образец не травлен. 600 X

В небольшом числе зерен видна вторая перекрестная система полос скольжения (рис. 2 и 3). Почти все полосы скольжения оканчиваются внутри зерен или упираются в их границы и только в немногих случаях переходят в соседние зерна. Ясно видна волнистость полос скольжения, и в каждом зерне полосы скольжения имеют направление, независимое от направления течения скольжения в соседних зернах. Так, собственно, и должно быть, так как плоскости, по которым произошел сдвиг, являются наиболее благоприятно ориентированными для сдвига при деформировании образца в данном направлении. Эта причина, а также распространение вызванного сдвигом упрочнения на всю толщю зерна затрудняет образование новых полос скольжения; последние в каждом зерне чаще идут в одном направлении, появление полос скольжения в другом (пересекающем) направлении происходит реже.

У пластичных металлов, не имеющих площадки текучести (например, меди и латуни), с увеличением степени деформации также идет главным образом развитие полос скольжения, образовавшихся на ранних стадиях деформирования.

На нетравленных образцах армо-железа, стали, латуни и меди одновременно с появлением первых полос скольжения начинают вырисовываться контуры зерен, что указывает на смещение их границ. Указанное явление на основании геометрических соображений (см., например, рис. 3) объясняется тем, что, независимо от того, прочнее границы тела зерна, или нет, но в поликристаллическом металле не может поворачиваться как единое целое, так как оно зажато по границам соседними зернами, и поворот

зерна может произойти только вследствие сдвига одних частей данной зерна относительно других или (если оно прочнее соседей) за счет сдвига в соседних зернах.

Указанные соображения справедливы, пока не действует диффузионный механизм, т. е. при сравнительно невысоких температурах и не очень малых скоростях деформации.

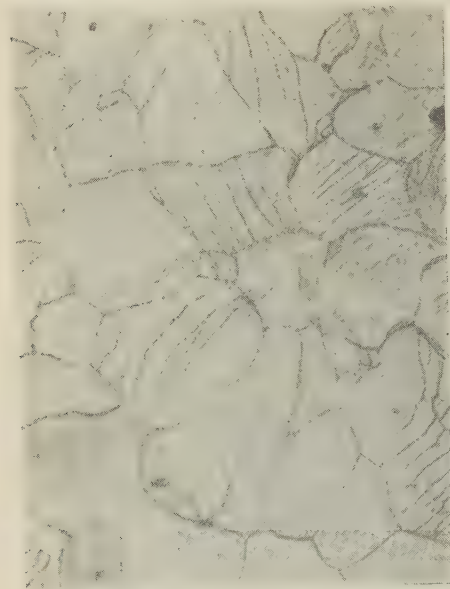


Рис. 3. Полосы скольжения в армо-железе, растянутом на 8,3%. Образец травлен для выявления границ зерен до растяжения. 600 \times

чае при повторном растяжении сначала деформируется неупрочненная часть образца и на диаграмме растяжения появляется площадка текучести длиннее соответствующей не затронутой деформацией сдвигами части образца (рис. 4 а, б). Такое же явление наблюдается в наклепанной за площадку текучести и состаренной стали при повторных наклепах и старении, если только образец подвергался новому старению раньше, чем была пройдена новая площадка текучести, повышенная предыдущим наклепом и старением.

Исследование микроструктуры по окончании растяжения до и после старения показало, что после старения при деформировании в том же направлении происходит преимущественно развитие полос скольжения, образовавшихся во время наклепа, при этом новые полосы скольжения получаются в очень небольшом числе.

Так как старение выражается в затруднении сдвигов, то можно было ожидать, что оно благоприятствует образованию новых полос скольжения, вызывая блокирование сдвигов, бывших до старения, однако опыты этого не подтверждают. Очевидно, в каждом зерне имеется некоторое достаточно малое число слабых плоскостей, сдвиг по которым происходит значительно легче, чем в остальной массе зерна; настолько легче, что даже значительное

Исследовалось также влияние старения после наклепа на распространение полос скольжения в углеродистой стали с 0,08% С. При старении после наклепа предел текучести повышается и становится выше напряжения наклепа, если деформировать в том же направлении, как и при наклепе, причем новая площадка текучести получается более длинной, чем площадка до наклепа. Старение имеет то же влияние, что и после каждого последующего наклепа, и новые площадки текучести обычно получаются все более длинными, пока не исчезнет восходящая часть диаграммы растяжения и площадка текучести непосредственно перейдет в нисходящую часть, заканчивающаяся разрывом (рис. 4).

Если задать предварительное растяжение (наклеп) в пределах площадки текучести, то упрочнение от наклепа и от последующего старения произойдет только в наклепанной части образца (в районе фигур текучести). В этом случае

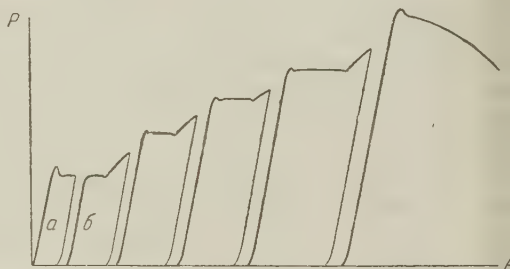


Рис. 4. Влияние повторных наклепов и старения (20 мин. при 100°) после каждого наклепа на диаграммы растяжения стали с 0,08% С

днение этого сдвига, вызванное старением, не переводит сдвиг на новые скорости. Нужно думать, что этому способствуют две причины: ориентировка и расположение соседних зерен, ограничивающих возможные виды деформации данного зерна, и упрочнение прилегающей к полосам скольжения остальной массы зерна.

В ы в о д ы

1. При растяжении армко-железа, углеродистой стали, меди и латуни появление полос скольжения сопровождается поворотами зерен. Можно считать, что это присуще всем металлам.
2. Начало площадки текучести сопровождается появлением фигур текучести Чернова — Людерса, которые начинаются в перенапряженных частях образца и к концу площадки текучести покрывают всю рабочую часть образца.
3. В фигурах текучести Чернова — Людерса в зернах получают полосы скольжения и повороты зерен.
4. Большая часть полос скольжения образуется на площадке текучести. При деформировании за площадку текучести идет развитие этих полос скольжения, новые полосы скольжения образуются в незначительном количестве.
5. В состаренном после наклепа растяжением образце при последующем растяжении идет главным образом развитие полос скольжения, образовавшихся во время наклепа.
6. Новая площадка текучести в состаренной после наклепа стали сопровождается появлением фигур текучести Чернова — Людерса как в п. 2.
7. Утверждается, что смещение и повороты зерен не могут происходить без сдвигов в толще зерен.

Московский государственный университет
им. М. В. Ломоносова

Поступило
29 I 1959

ЦИТИРОВАННАЯ ЛИТЕРАТУРА

- ¹ В. С. Иванова, а) ДАН, **94**, № 2, 217 (1954); б) Тр. Сибирск. физ.-техн. инст., **34**, 139 (1955). ² Я. Р. Раузин, А. Р. Железнякова, Физ. металл. и металловед., **3**, в. 1, 146 и 155 (1956). ³ Б. А. Сидоров, Физ. металл. и металловед., в. 1, 191 (1958).

Л. С. ПАЛАТНИК и В. С. ЗОРИН

К ТЕОРИИ ЗАРОЖДЕНИЯ НОВОЙ ФАЗЫ ПРИ РАСПАДЕ ТВЕРДЫХ РАСТВОРОВ

(Представлено академиком С. А. Векшинским 23 III 1959)

Известно (¹⁻³), что центры новой фазы образуются в результате флуктуационного роста зародышей. При распаде твердых растворов критическое число атомов в зародыше равно (⁴)

$$j^* = \frac{8}{27} \frac{\alpha^3}{\psi^3},$$

где

$$\alpha = \kappa v^{2/3} \gamma, \quad \psi = -\frac{1}{L} \left[F_2 - F_0 - (y - x) \frac{\partial F_0}{\partial x} \right]_T;$$

κ — коэффициент формы зардыша; v — средний атомный объем в растворе; γ — удельная поверхностная энергия на межфазной границе; F_2 и F_0 — свободные энергии 1 моля новой фазы с концентрацией y и исходного раствора с концентрацией x (см. рис. 1); L — число Авогадро и T — температура распада.

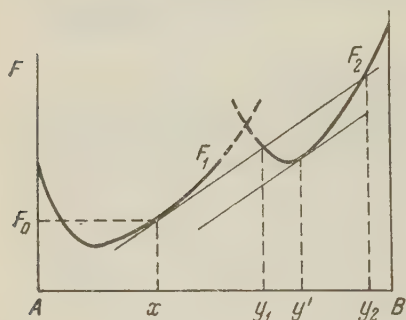


Рис. 1

Докритический зародыш может находиться в соприкосновении с исходным раствором с концентрацией, близкой x . Тогда необходимый для образования новой фазы избыточный растворенный элемент доставляется к зародышу постепенно по мере его роста. Однако возможно, что в некоторой области с числом атомов $j \geq j^*$ в результате флуктуации состава концентрация стала близкой

равновесному составу новой фазы. В такой области центр может образоваться путем роста зародыша без перераспределения растворенного компонента.

В нуклеационной теории выделения (⁴) рассматривается первый процесс образования центров, который, по-видимому, является преимущественным при высоких температурах распада. Однако при низких температурах, при малой подвижности атомов, центры образуются в основном в тех областях, в которых уже в момент переохлаждения имелась соответствующая флуктуация состава. Если скорость перестройки решетки в таких областях достаточно велика, то перестройка успеет произойти в большинстве из них. В этом случае для приближенного нахождения числа центров, образовавшихся в течение всего процесса выделения, надо определить число указанных областей, существовавших в начальный момент.

Если до переохлаждения раствор находился достаточно долго при температуре T_0 , то вероятность существования в некоторой области с числом

атомов j концентрации между y и $y + dy$ определяется работой образования такой флуктуации. Величина работы равна ⁽⁵⁾

$$\Delta F = \frac{j}{L} \left[F_1 - F_0 - (y - x) \frac{\partial F_0}{\partial x} \right]_{T_0}, \quad (3)$$

вероятность

$$dP = P_0 \exp \left(- \frac{j}{kT_0 L} \left[F_1 - F_0 - (y - x) \frac{\partial F_0}{\partial x} \right]_{T_0} \right) dy, \quad (4)$$

где F_1 — свободная энергия раствора с концентрацией y .

Используя условие нормировки

$$P_0 \int_0^1 \exp \left(- \frac{\Delta F}{kT_0} \right) dy = 1 \quad (5)$$

приближенно вычисляя интеграл при $j \gg \frac{1}{x}$, получим

$$dP = V \sqrt{\frac{F_{xx} j}{2\pi kT_0 L}} \exp \left(- \frac{j\varphi}{kT_0} \right) dy, \quad (6)$$

где

$$\varphi = \frac{1}{L} \left[F_1 - F_0 - (y - x) \frac{\partial F_0}{\partial x} \right]_{T_0}. \quad (7)$$

при достаточно быстром переохлаждении концентрация в отдельных областях раствора практически не изменится.

Полное число областей, содержащих j атомов и имеющих форму равновесного зародыша и произвольную концентрацию, равно числу атомов n единице объема. Среди них $n dP$ областей имеют концентрацию в интервале $y, y + dy$. Однако в числе этих $n dP$ областей имеются частично совпадающие друг с другом, из которых надо учитывать только одну. Две такие области, отличающиеся друг от друга только одним атомом, образуют область определенной формы с числом атомов $j + 1$ и концентрацией в интервале $y, y + dy$. Число таких областей с точ-

ностью до множителя $\sqrt{1 + \frac{4}{j}}$ равно $ne^{-\varphi/kT_0} dP$. Каждая такая область дважды учтена в числе $n dP$. Поэтому число областей, в которых могут образоваться зародыши новой фазы с составом между y и $y + dy$ и размером, не меньше критического, равно

$$dN = n \sqrt{\frac{4F_{xx}\alpha^3}{27\pi kT_0 L \psi^3}} (1 - e^{-\varphi/kT_0}) e^{-\frac{8}{27} \frac{\alpha^3}{kT_0} \frac{\varphi}{\psi^3}} dy. \quad (8)$$

Для равновесного зародыша одинаково вероятен как рост, так и уменьшение размера, пока концентрация в его окрестности не уменьшится в результате роста других центров. Поэтому число центров с концентрацией, образовавшихся в процессе выделения, равно βdN . Коэффициент β зависит от скорости роста центров, но при достаточно низких температурах $\beta \approx 1/2$.

Центры могут иметь лишь такой состав, при котором $\phi > 0$. На рис. 1 величина ϕ изображается ординатой, заключенной между прямой $F_0 + (y - x) \frac{\partial F_0}{\partial x}$, касающейся кривой F_1 в точке x , и кривой F_2 . Из рисунка видно, что $\phi > 0$ при $y_1 < y < y_2$, где y_1 и y_2 — корни уравнения $\phi = 0$.

Поэтому полное число центров, образовавшихся в процессе выделения, равно

$$N = n\beta \sqrt{\frac{4F_{xx}\alpha^3}{27\pi kT_0 L}} \int_{y_1}^{y_2} (1 - e^{-\frac{\varphi}{kT_0}}) e^{-\lambda \frac{\varphi}{\psi^3}} \frac{dy}{\psi^{3/2}}, \quad (9)$$

где $\lambda = \frac{8}{27} \frac{\alpha^3}{kT_0} \gg 1$. Весь показатель $\lambda \frac{\varphi}{\psi^3}$ также существенно больше единицы. Поэтому интеграл можно вычислить методом перевала. В результате получим

$$N = \frac{n\beta}{2} \left(1 - e^{-\frac{\varphi_0}{kT_0}}\right) \sqrt{\frac{\psi_0 F_{xx}}{L(\psi_0 \varphi_{yy} - 2\varphi_y \psi_y - 3\varphi_0 \psi_{yy})}} e^{-\frac{8}{27} \frac{\alpha^3}{kT_0} \frac{\varphi_0}{\psi_0^3}}. \quad (1)$$

Функция φ , ψ и их производные по y берутся в точке y_0 , определяемой из уравнения

$$\psi \varphi_y = 3\varphi \psi_y. \quad (1)$$

Величина y_0 дает наиболее вероятный начальный состав центров.

Таким образом, в рассмотренном случае, не находя скорости зарождения в каждый момент, можно определить полное число центров, образовавшихся в процессе выделения.

Мы рассматривали двухфазный распад. Однако такой характер зарождения возможен также при «однофазном» распаде, когда «выделение» представляет собою области упорядоченного исходного раствора. Энергия активации для упорядочения обогащенных областей может быть достаточно малой при низких температурах, так что упорядочение успеет произойти в большинстве критических областей, существовавших в начальный момент. При этом критический размер упорядоченных областей можно определять так же, как и для зародышей новой фазы (1). Для этого надо считать, что остального раствора их отделяет более или менее резкая «межфазная» граница, для образования которой необходима определенная (поверхностная) энергия.

Такое представление о зарождении центров при «однофазном» распаде позволяет с единой точки зрения рассмотреть процессы естественного и искусственного старения сплавов, например сплава алюминий — медь.

При естественном старении сплава типа алюминий — медь термодинамически выгодны как «однофазный», так и двухфазный распады раствора. Однако критический размер для первого меньше, чем для второго, а энергия активации для упорядочения меньше, чем для перестройки решетки в одной той же области. Поэтому выполняется правило ступеней, т. е. вначале осуществляется «однофазный» распад раствора. Тем самым выделение новой фазы практически исключается на довольно длительный срок, нередко исчисляемый многими годами. Перестройка атомов в упорядоченной области в решетку новой фазы становится термодинамически выгодной только в том случае, когда при этом уменьшается свободная энергия, т. е.

$$\Delta F = \frac{j}{L} F_2 + \alpha j^{2/3} - \frac{j}{L} F_1 - \alpha' y^{2/3} < 0,$$

где $\alpha' = \kappa v^{2/3} \gamma'$ — поверхностная энергия границы между упорядоченной областью и остальным раствором. Это будет иметь место после достижения упорядоченной областью размера

$$j' = \frac{(\Delta\alpha)^3}{\eta}, \quad \Delta\alpha = \alpha - \alpha', \quad \eta = -\frac{1}{L} (F_2 - F_1). \quad (12)$$

При естественном старении средний размер упорядоченных областей достигает этой величины лишь в результате «коалесценции», после завершения процесса старения. При более же высоких температурах средний размер упорядоченных областей может достигнуть величины j' еще в процессе старения, до установления квазиравновесного состояния сплава. Поэтому старение не ограничится только «выделением» упорядоченных областей. Такое явление имеет место в сплаве алюминий — медь при температурах порядка 150° , когда одновременно наблюдаются и зоны Гинье — Престон⁽²⁾, и центры выделения новой фазы.

Средний размер упорядоченных областей \bar{j} к моменту достижения квазиравновесия зависит от числа N' этих областей, образовавшихся в процессе выделения» (10). В процессе роста упорядоченных областей их состав y' и состав остального раствора x' стремятся к значениям y'_∞ и x'_∞ , которые определяются из следующих условий:

$$\left. \frac{\partial F_1}{\partial y'} \right|_{y'_\infty} = \left. \frac{\partial F_0}{\partial x'} \right|_{x'_\infty}; \quad (13)$$

$$\left[F_1 - F_0 - (y' - x') \frac{\partial F_0}{\partial x'} \right]_{x'_\infty, y'_\infty} = 0. \quad (14)$$

Если воспользоваться приближенным выражением для равновесной концентрации y поверхности зародыша с числом атомов \bar{j}

$$x' = x'_\infty + \frac{\delta}{j^{1/3}}, \quad (15)$$

где $\delta = x'_\infty \alpha' / kT$, или более точной формулой Томсона, то вместе с законом сохранения растворенного компонента

$$N' (y'_\infty - x') \bar{j} = n (x - x') \quad (16)$$

это дает возможность определить \bar{j} методом последовательных приближений. Первое приближение получим, полагая $x' = x'_\infty$. Ограничиваясь вторым приближением и приравнявая значения \bar{j} и j' , получим уравнение:

$$\frac{N' \frac{y'_\infty - x'_\infty - \zeta \sqrt[3]{N'}}{n}}{x - x'_\infty - \zeta \sqrt[3]{N'}} = \frac{\eta^3}{(\Delta \alpha)^3}, \quad (17)$$

где

$$N' = \frac{n\beta}{2} \left(1 - e^{-\frac{\varphi_0}{kT_0}} \right) \sqrt{\frac{\psi'_0 F_{xx}}{L (\psi'_0 \varphi_{yy} - 2\varphi_y \psi'_y - 3\varphi_0 \psi'_{yy})}} e^{-\frac{8}{27} \frac{\alpha'^3}{kT_0} \frac{\varphi_0}{\psi_0'^{1/3}}}; \quad (18)$$

$$\psi' = -\frac{1}{L} \left[F_1 - F_0 - (y - x) \frac{\partial F_0}{\partial x} \right]_{T, y_0}; \quad (19)$$

$$\zeta = \delta \sqrt[3]{\frac{1}{n} \frac{y'_\infty - x'_\infty}{x' - x'_\infty}}, \quad \eta = \frac{1}{L} (F_2 - F_1)_T \quad (20)$$

являются функциями температуры старения. Это уравнение определяет граничную температуру интервалов естественного и искусственного старения. Ниже граничной температуры в процессе старения не будет происходить заметного выделения новой фазы.

Таким образом, рассмотренные представления о характере зарождения центров превращения при распаде твердых растворов позволяют судить о причинах различия механизмов естественного и искусственного старения. Такой механизм зарождения центров может иметь место и при распаде других твердых растворов.

Харьковский политехнический институт
им. В. И. Ленина

Поступило
23 III 1959

Харьковский государственный университет
им. А. М. Горького

ЦИТИРОВАННАЯ ЛИТЕРАТУРА

¹ Я. И. Френкель, ЖЭТФ, 9, 952 (1939). ² R. Smoluchowski, Phase transformations in Solids, 1951, p. 149. ³ D. Turnbull, Metals Technology, Techn. Publ., 2365, June (1948). ⁴ R. Becker, Zs. Metallkunde, 29, 245 (1937); Ann. Phys., 2, 128 (1938). ⁵ G. Borelius, Ann. Phys., 28, 507 (1937); 33, 517 (1938); Ark. mat., astron. och. fys., (1) 32, 1 (1946); J. Metals, 3, 477 (1951).

Н. В. ГЛИКИ

ИЗМЕНЕНИЕ ГАБИТУСА ИСКУССТВЕННЫХ КРИСТАЛЛОВ ЛЬДА В ПРОЦЕССЕ РОСТА

(Представлено академиком А. В. Шубниковым 19 III 1959)

Рост кристаллов льда из пара — широко распространенное в природе явление. Известно, что если в облаке, состоящем из переохлажденных водяных капель, появляются ледяные частички, то, вследствие разности в давлении пара над переохлажденной водой и над льдом, немедленно начинается диффузионный перенос влаги от капелек к кристаллам. Изменение размеров и формы льдинок, происходящее при этом, может быть легко прослежено в лабораторных условиях.

Опыты по изучению взаимовлияния переохлажденных капель и льдинок находящихся на близком расстоянии друг от друга, показывают, что при сближении капли и льдинки на расстояние порядка десятых долей миллиметра на льдинке образуется иглообразное ответвление в сторону капли. Скорость роста такого ответвления зависит от расстояния между каплей и льдинкой и от влажности окружающего воздуха (^{1,2}).

В настоящей работе рассматривается рост пластинчатого кристалла льда в поле влажности, создаваемом жидкой переохлажденной каплей воды (см. рис. 1), а также изменение скорости роста кристалла в условиях, когда переохлажденная капля замерзает под воздействием частиц йодистого свинца.

Опыты проводились в небольшой камере при температурах от $-9,5^{\circ}$ до -14° . Капля воды подвешивалась на тонком стеклянном волосе, вводилась в камеру и устанавливалась вблизи другого стеклянного волоса, на конце которого имелся ледяной зародыш. Наблюдение за развитием зародыша, оказавшегося в поле влажности, создаваемом переохлажденной каплей, велось через микроскоп, и процесс роста регистрировался на 16-миллиметровую киноплёнку. При этом по мере роста кристалла волос, несущий его, непрерывно отводился от капли так, что зазор между каплей и растущим краем кристалла сохранялся по порядку величины постоянным. Таким образом, предполагалось обеспечить приблизительно постоянное пересыщение для кристалла, растущего при неизменной температуре. В некоторый момент времени с помощью частиц йодистого свинца вызывалась кристаллизация переохлажденной капли. Очевидно, что поле влажности вокруг переохлажденной капли таково, что у поверхности капли давление пара соответствует давлению насыщенного пара над водой данной температуры; по мере удаления от капли давление пара постепенно падает (при этом характер спада зависит от влажности окружающего воздуха). Вокруг закристаллизовавшейся капли поле влажности станет таким, что давление пара у поверхности капли будет соответствовать давлению насыщенного пара над льдом данной температуры; по мере удаления от капли давление пара опять-таки будет постепенно падать до значения, соответствующего влажности воздуха в камере.

Опыты позволили проследить за характером изменения поля влажности вокруг капли в момент ее кристаллизации. При этом растущий кристалл

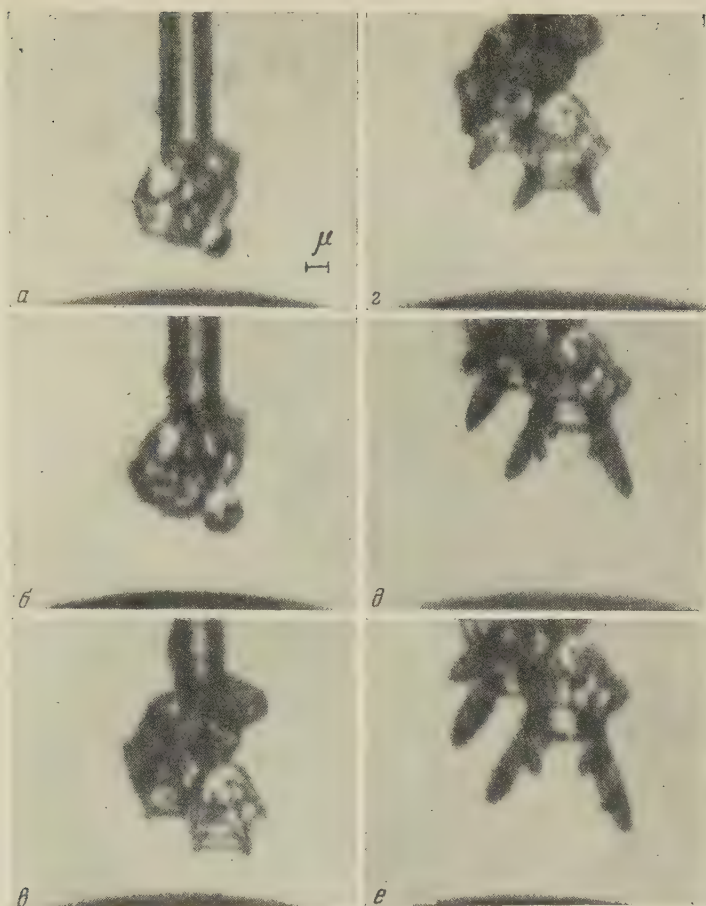


Рис. 1. Последовательные стадии развития кристалла льда, растущего в поле влажности замерзающей капли воды, увеличенные кадры кинофильма. Интервал съемки: а — б — 8,40 сек.; б — в — 24,14 сек.; в — г — 1,99 сек.; г — д — 3,32 сек.; д — е — 3,44 сек.

К статье В. А. Милашева и Н. И. Шульгиной, к стр. 1320



Рис. 1. *Pachyteuthis* (?) sp., найденный в коренном обнажении кимберлитов трубки «Обнаженная», р. Куойка (приток р. Оленек) в 3,5 км от устья. Коллекция В. А. Милашева. Ростр с брюшной стороны (черное — кусочки вмещающего кимберлита). Нат. вел.

трал роль своеобразного датчика влажности, так как предполагалось, что изменения характера роста кристалла при неизменной температуре зависят от изменений поля влажности. В момент замерзания капли, в поле влажности которой растет кристалл льда, происходит значительное увеличение скорости роста кристалла. При этом особенно резко ускоряется рост в направлениях $[11\bar{2}0]$, что приводит к изменению габитуса кристалла.

Характер изменения скорости роста кристалла можно представить графически (см. рис. 2). Из кривых 1, 2 и 3 видно, что в некоторый момент вре-

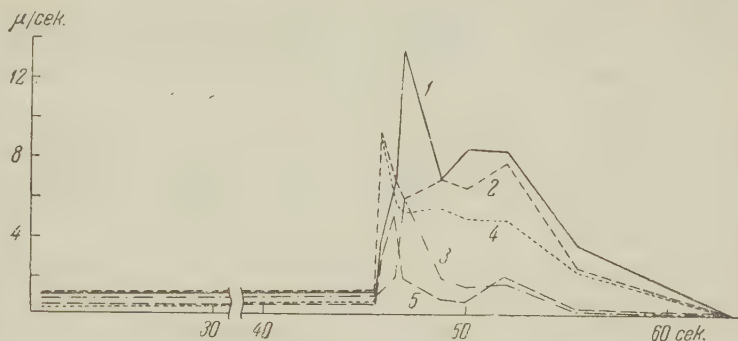


Рис. 2. Графики изменения скорости роста кристалла льда, находящегося вблизи замерзающей капли воды. 1, 2 и 3 — первый кристалл: 1 — в направлении $[11\bar{2}0]$, 2 — в направлении $[2\bar{1}\bar{1}0]$, 3 — в направлении $[10\bar{1}0]$; 4 и 5 — второй кристалл: 4 — в направлении $[2\bar{1}\bar{1}0]$, 5 — в направлении $[10\bar{1}0]$

мени происходит довольно резкое увеличение скоростей роста и в течение 10 — 15 сек. происходит ускоренный рост кристалла. Кривые 4 и 5 показывают изменения скоростей роста меньшего, более удаленного (а потому медленнее растущего) кристалла. Как и в случае первого кристалла, в момент ускоренного роста предельная скорость роста в направлении $[10\bar{1}0]$ достигает значительно меньшей величины, чем скорость роста в направлении $[2\bar{1}\bar{1}0]$. Следует заметить, что в период ускоренного роста кристалла было трудно сохранять постоянным зазор между каплей и растущим кристаллом, поэтому график дает несколько искаженное представление о характере спада скоростей роста по достижении максимальных значений.

Значительное увеличение скоростей роста свидетельствует о сильном повышении давления водяного пара вблизи растущего кристалла в первые доли секунды после воздействия на каплю частицами PbJ_2 . Наблюдаемое при этом преобразование пластинчатой формы роста в дендритную, как показал Накайя ⁽³⁾, изучавший условия образования дендритных форм роста кристаллов льда, также говорит в пользу этого вывода. Отмеченный эффект увеличения влажности воздуха следует учитывать при последовательном воздействии частицами PbJ_2 на ряд капель: после замерзания первой капли частицы PbJ_1 , предназначенные для воздействия на соседнюю каплю, оказываются в условиях повышенной влажности и их активность при данной температуре может измениться ⁽⁴⁾.

Параллельно изучалось распределение температуры воздуха внутри камеры. В качестве датчиков температуры использовались полупроводниковые микротермосопротивления; показания их регистрировались микроамперметром. Предварительные данные об изменениях температурного поля показывают, что в момент замерзания капли температура воздуха вблизи нее повышается не менее, чем на $1,5 - 2^\circ$. Этот температурный эффект, легко объясняемый сравнительно большим значением величины скрытой теплоты кристаллизации воды, может послужить основой для объяснения зарегист-

рированного нами изменения поля влажности. Если принять, что температура закристаллизовавшейся капли повышается хотя бы на $1,5 - 2^\circ$, давление пара у поверхности замерзшей капли соответственно изменится, а именно, повысится: для -12° $p_v = 1,83$ мм, $p_l = 1,63$ мм, $\Delta p = 0,20$ мм при замерзании капли давление пара у ее поверхности становится: $p_l = 1,95$ мм (для -10°) и $\Delta p = 0,32$ мм.

Таким образом, если в системе переохлажденная капля — ледяная чешуйка происходит замерзание капли, то плотность диффузионного потока направленного от капли к кристаллу, резко увеличивается.

Проведенные опыты дали возможность выяснить также роль пересыщения как фактора, влияющего на габитус кристалла льда, растущего при определенной температуре. При этом наблюдается преобразование пластинчатой формы растущего кристалла в дендритную.

Зависимость габитуса кристаллов льда от температуры и пересыщения водяного пара привлекала внимание многих исследователей (^{3, 5-8}). Часть полученных нами экспериментальных данных находится в соответствии с основными положениями теории роста кристаллов льда, развиваемой Маршаллом и Ланглебеном.

Маршалл и Ланглебен (⁵), рассмотрев вопрос об изменении истинного избытка плотности водяного пара вблизи растущего кристалла, приходят к выводу, что форма кристаллов льда есть функция избытка плотности окружающего пара относительно плотности пара, находящегося в равновесии с поверхностью растущего кристалла льда, т. е. величиной, близкой к пересыщению и пропорциональной потоку пара, направленного к кристаллу. Область существования дендритов на диаграмме Накайя (³) соответствует максимальным значениям именно этого избытка плотности пара. Маршалл и Ланглебен предполагают далее, что равновесная плотность пара над кристаллами, как и над жидкостями, есть функция кривизны поверхности; вследствие этого поверхностная плотность пара у ребер гексагонального кристалла льда должна быть больше, чем у плоских граней, а у верши кристалла должна быть максимальной. Таким образом, для роста верши кристалла необходимо значительное повышение плотности окружающего пара.

Известные до сих пор экспериментальные данные опровергали возможность такой интерпретации. Например, согласно опытам Шоу и Мейсона (⁶) габитус кристалла определяется в основном температурой; пересыщение, хотя и влияет довольно сильно на абсолютную скорость роста грани, мало влияет на относительные скорости роста в разных кристаллографических направлениях. Халлетт и Мейсон в недавно вышедшей работе (⁷) также подчеркивают, что существенные изменения габитуса определяются главным образом изменениями температуры, но при условии, что пересыщение превышает значение, необходимое для роста любой грани кристалла. Однако авторы отмечают, что значительные изменения пересыщения вызывают изменение второстепенных черт габитуса (развитие копьевидных форм).

Институт кристаллографии
Академии наук СССР

Поступило
10 III 1959

ЦИТИРОВАННАЯ ЛИТЕРАТУРА

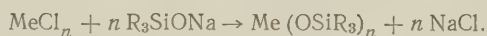
- ¹ В. Я. Никандров, Тр. Главн. геофиз. obs., **31**, 39 (1951). ² В. Я. Никандров, Тр. Главн. геофиз. obs., **57**, 3 (1956). ³ U. Nakaya, Snow Crystals: Natural and Artificial, Cambridge, 1954. ⁴ R. Sängner, Zs. angew. Math. und Phys., **7**, № 6, 538 (1956). ⁵ J. S. Marshall, M. P. Langleben, J. of Meteor., **11**, № 2, 10 (1954). ⁶ D. Shaw, B. J. Mason, Phil. Mag., **46**, № 374, 249 (1955). ⁷ J. Hall, B. J. Mason, Proc. Roy Soc., A247, № 1251, 440 (1958). ⁸ K. Isono, M. Komabayasi, A. Ono, J. Meteorol. Soc. Japan, **35**, № 6, 327 (1957).

Член-корреспондент АН СССР К. А. АНДРИАНОВ, А. А. ЖДАНОВ
и Э. А. КАШУТИНА

СИНТЕЗ ТРИЭТИЛСИЛОКСИПРОИЗВОДНЫХ ВАНАДИЯ И СУРЬМЫ

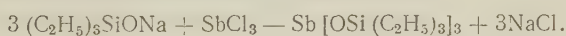
Развитие исследований в области синтеза полимеров, содержащих в основной цепи чередующиеся атомы металла и кислорода, непосредственно связано с разработкой методов синтеза мономерных соединений со связью $\text{Si} - \text{O} - \text{Me}$, из которых определенный интерес представляют триалкилсилоксипроизводные металлов общей формулы $(\text{R}_3\text{SiO})_n \text{Me}$, где n — валентность металла.

Из описанных в настоящее время в литературе путей синтеза соединений этого типа представляет интерес реакция взаимодействия триалкилсиланолятов натрия и некоторых других металлов с галогенидами металлов по схеме:



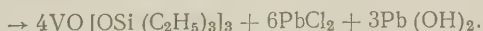
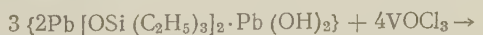
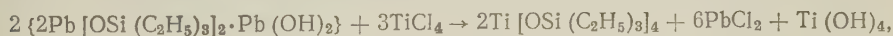
Этим путем нами впервые был синтезирован тетраakis-(триметилсилокси)-титан ⁽¹⁾, а также тетраakis-(триэтилсилокси)-титан ⁽²⁾, тетраakis-(диметилфенилсилокси)-титан ⁽³⁾ и тетраakis-(триэтилсилокси)-олово ⁽²⁾.

В настоящей работе мы развили описанный выше метод для синтеза триэтилсиланолятов ванадия и сурьмы по следующим схемам реакций:



Проведенные опыты показали, что эти реакции проходят с выходом продуктов 60 — 70% теоретического.

При исследовании свойств синтезированного нами ранее ⁽⁴⁾ триэтилсиланолята свинца мы установили, что это соединение обладает значительной реакционной способностью. Так, при действии на комплексное соединение триэтилсиланолята свинца четыреххлористым титаном или хлорокисью ванадия образуются соответственно тетраakis-(триэтилсилокси)-титан или трис-(триэтилсилокси)-ванадат по схемам:



Эти реакции, исследованные нами применительно к четыреххлористому титану и хлорокиси ванадия, имеют общее значение для получения триалкилсилильных производных различных элементов.

Исследования инфракрасных спектров некоторых из синтезированных соединений, выполненные во Всесоюзном электротехническом институте им. В. И. Ленина Н. Гашиковой, показали, что характеристические частоты колебаний (в см^{-1}) для исследованных соединений выражаются следующими значениями: $\text{VO}[\text{OSi}(\text{C}_2\text{H}_5)_3]_3$, 2967, 2907, 2950, 2882, 1592, ($\text{V} = \text{O}$), 2468, 1458, 1232, 1209, 1060 (шир.), 1004, 989, 979, 962, 909

Таблица 1

Название вещества	Формула вещества	Т-ра кип., °C/мм	n_D^{20}	d_4^{20}	Найдено, %				Вычислено, %				Выход, %
					C	H	Si	Me	C	H	Si	Me	
1. Трис-(триэтилсилиокси)-ванадат	$V[OSi(C_2H_5)_3]_3$	186,5/3,5	1,4820	0,9816	46,88 46,86	10,22 10,38	17,58 17,41	10,68 10,54	46,92	9,84	18,27	14,06	60
2. Трис-(триэтилсилиокси)-стибин	$Sb[OSi(C_2H_5)_3]_3$	160—162/1,5	1,4681	1,1037	41,60 41,48	9,28 9,35	16,08 16,11	23,26 23,30	41,93	8,79	16,33	23,62	56

(V—O—?), 875 (V—O—?), 727. $2Pb[OS(C_2H_5)_3]_2 \cdot Pb(OH_2)$, 2967, 2907, 2950, 2882, 148, 1460, 1239, 1210, 1053, 1000, 988, 962, 861 (Pb—O), 724.

Свойства синтезированных соединений приведены в табл. 1.

Экспериментальная часть

Трис-(триэтилсилиокси)-ванадат. В трехгорлую колбу, снабженную мешалкой, холодильником с хлоркальциевой трубкой, капельной воронкой, помещали раствор 37,5 (0,24 моля) триэтилсиланолята натрия в 200 мл сухого бензола. К раствору при тщательном перемешивании прибавляли по каплям раствор 14 (0,08 моля) хлорокиси ванадия в 50 мл сухого бензола в течение 40 мин. По окончании реакции раствор отфильтровывали от осадка, осадок промыли на фильтре 100 мл сухого бензола, с фильтрата на водяной бане отогнали бензол, остаток затем перегнали в вакууме. Было получено 21 г (60% теоретического) светло-желтой жидкости с т. кип. $186,5^\circ/3,5$ мм; d_D^{20} 0,9816; n_D^{20} 1,4820

Найдено %: C 46,88; 46,86; H 10,22; 10,38; Si 17,58; 17,41; V 10,68; 10,54

$C_{18}H_{45}O_4Si_3V$. Вычислено %: C 46,92; H 9,84; Si 18,27; V 11,06

Трис-(триэтилсилиокси)-стибин. Был получен из 46 г (0,3 моля) триэтилсиланолята натрия и 23 г (0,1 моля) треххлористой сурьмы в 400 мл бензола по аналогичной методике.

При фракционировании было выделено 22 г (56% теоретического) прозрачной бесцветной жидкости с т. кип. $160—162^\circ/1,5$ мм; d_4^{20} 1,1037; n_D^{20} 1,4681.

Найдено %: C 41,60; 41,48; H 9,28; 9,35; Si 16,08; 16,11; Sb 23,26; 23,30

$C_{18}H_{45}O_3Si_3Sb$. Вычислено %: C 41,93; H 8,79; Si 16,33; Sb 23,62

Тетракс-(триэтилсилиокси)-титан. Реакция проводилась в том же приборе. В колбу помещали раствор 58 г (0,05 моля) производного бис-триэтилсилиокси свинца в 100 мл сухого бензола. К раствору прибавляли по каплям раствор 14,4 г (0,074 моля) четыреххлористого титана в 50 мл бензола в течение 1,5 час. Выпавший осадок отфильтровывали, от фильтрата отгоняли бензол и остаток разгоняли в вакууме. Было получено 14 г (50% теоретического) тетракс-(триэтилсилиокси)-титана с т. кип. $176—178^\circ/2,5$ мм, т. пл. 96° .

Трис-(триэтилсилокси)-ванадат. Был получен аналогично тетраakis-(триэтилсилокси)-титану из 67,4 г (0,06 моля) свинцового производного и 12 г (0,02 моля) хлорокиси ванадия в 200 мл бензола. В результате разгонки фильтрата после удаления осадка хлористого свинца был получен трис-(триэтилсилокси)-ванадат с т. кип. $169 - 171^{\circ}/1,5$ мм; n_D^{20} 0,9809; n_D^{20} 1,4812.

Институт элементоорганических соединений
Академии наук СССР

Поступило
10 IV 1959

ЦИТИРОВАННАЯ ЛИТЕРАТУРА

¹ К. А. Андрианов, А. А. Жданов, Н. А. Курашева, В. Г. Дува, ДАН, **112**, 1050 (1957). ² К. А. Андрианов, А. А. Жданов, Изв. АН СССР, ОХН, № 6, 779 (1958). ³ К. А. Андрианов, Н. В. Делазари, ДАН, **122**, 393 (1958). ⁴ К. А. Андрианов, А. А. Жданов, Э. А. Кашуна, ЖПХ, **32**, 463 (1959).

Академик Б. А. КАЗАНСКИЙ, И. В. ГОСТУНСКАЯ и А. И. ЛЕОНОВА

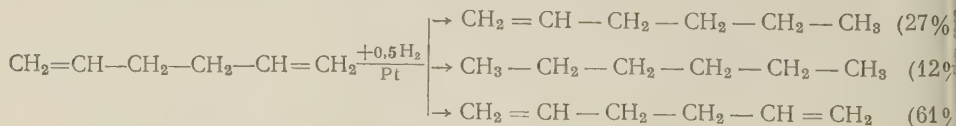
КАТАЛИТИЧЕСКОЕ ГИДРИРОВАНИЕ ДИЕНОВЫХ УГЛЕВОДОРОДОВ С ИЗОЛИРОВАННОЙ СИСТЕМОЙ ДВОЙНЫХ СВЯЗЕЙ В ПРИСУТСТВИИ ПЛАТИНЫ И ПАЛЛАДИЯ

Металлические платина и палладий, обладая общей способностью катализировать реакции присоединения водорода к ненасыщенным соединениям, в процессе гидрирования ведут себя по-разному.

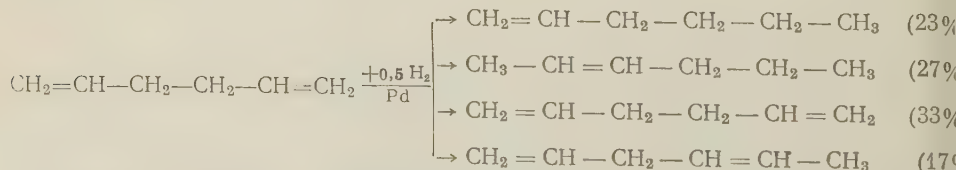
Так, например, при неполном гидрировании моноолефинов в жидкой фазе в присутствии палладия в продуктах реакции появляются новые моноолефины, образующиеся путем перемещения двойных связей в исходном углеводороде (^{1,2}). В присутствии платины такое перемещение связей не имеет места (^{2,3}).

Нам казалось интересным выяснить, как будут себя вести в этих условиях диены с изолированной системой двойных связей. Известно, что в условиях гетерогенного катализа при температурах выше 200° такие диены в присутствии палладия и платины изомеризуются в диены с сопряженной системой двойных связей (⁴). В данной работе в качестве объектов исследования были взяты гексадиен-1,5 (диаллил), 2-метилгексадиен-2,5, 2-метилгексадиен-1,5 и 2,5-диметилгексадиен-1,5 (диизобутилен). К ним при комнатной температуре в присутствии платины и палладия присоединялась половина молекулы водорода; при этом в каждом случае должна была образоваться смесь из равных количеств моно- и диолефина.

Оказалось, что при частичном гидрировании гексадиена-1,5 в присутствии платины в продуктах реакции содержались не только гексен-1, но и *n*-гексан наряду с непрореагировавшим диаллилом:



В присутствии палладия продукт гидрирования состоял из гексена-1 и изомерного ему гексена-2; наряду с непрореагировавшим гексадиеном-1,5 появился продукт его изомеризации — гексадиен-1,4. *n*-Гексан отсутствовал:



Следует подчеркнуть, что в продуктах гидрирования диаллила с палладием не был найден ожидаемый диен с сопряженной системой двойных связей. Продукты гидрирования 2-метилгексадиена-1,5 и 2,5-диметилгексадиена-1,5 также не содержали сопряженных диенов, т. е. и в этих случаях перемещению подвергалась только одна из двух двойных связей.

В отличие от 1,5-диенов 2-метилгексадиен-2,5 в тех же условиях изомеризовался в диен с сопряженной системой двойных связей — 2-метилгексадиен-2,4 примерно на 15%.

По-видимому, отсутствие сопряженных диенов при гидрировании диенов с палладием следует объяснить неблагоприятным соотношением скоростей реакции гидрирования и изомеризации, протекающих на поверхности палладия. Следует также отметить, что обе реакции затрагивают только одну из двух двойных связей диена. Перемещение двойных связей во время гидрирования с палладием непрерывных соединений может повлиять на кинетику присоединения водорода. Поэтому выводы о связи между строением гидрируемого соединения и скоростью присоединения водорода должны делаться осторожно и с учетом этих возможных осложнений.

Экспериментальная часть

Характеристики использованных диенов. Гексадиен-1,5:

т. кип. 59,7°, n_D^{20} 1,4042, d_4^{20} 0,6909. 2-метилгексадиен-1,5: т. кип. 88,2°, 1,4184, d_4^{20} 0,7196. 2-метилгексадиен-2,5: т. кип. 93,0°, n_D^{20} 1,4258, 0,7252. 2,5-диметилгексадиен-1,5: т. кип. 114,2° n_D^{20} 1,4293, 0,7412.

Методика проведения опытов. Гидрирование проводилось при комнатной температуре и атмосферном давлении в среде 95% этилового спирта (2). Платиновая и палладиевая черни брались в количестве 2,3 молярных процентов по отношению к диену. Состав продуктов реакции устанавливался путем разгонки на колонке в 80 т. т.

Гидрирование диаллила в присутствии платиновой черни. Взято для гидрирования 27,6 г диена; получено 26,5 г продуктов гидрирования. Кривая разгонки приведена на рис. 1, характеристики фракций в табл. 1.

Сравнение свойств полученных фракций со свойствами углеводородов, которые могут образоваться при гидрировании и изомеризации диаллила (табл. 2), показывает, что фракция 1 представляет исходный диаллил, фракция 3 — гексен-1, остаток — гексан.

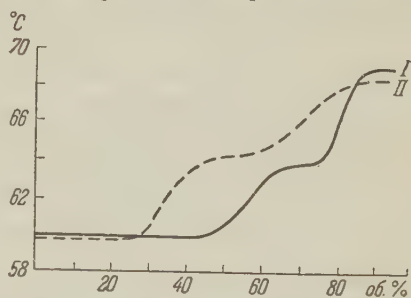


Рис. 1. Кривые разгонки продуктов гидрирования гексадиена-1,5: I — в присутствии платины, II — в присутствии палладия

Таблица 1

Углевод.	Т. кип. °С при 760 мм	Количество в г	n_D^{20}	d_4^{20}	Непродельность в %
1	59,2—59,5	11,7	1,4042	0,6910	200
2	59,6—62,7	4,1	1,3990	0,6850	172
3	62,8—63,7	4,4	1,3890	0,6739	105
4	63,8—68,2	1,7	1,3839	0,6684	64
ост.	—	2,6	1,3770	0,6610	9

Таблица 2

Углеводород	Т. кип.	n_D^{20}	d_4^{20}	Цит. лит.	Углеводород	Т. кип.	n_D^{20}	d_4^{20}	Цит. лит.
Гексадиен-1,4	65	1,415	0,699	(*)	2-метилгексен-2	95,4	1,4106	0,7082	(*)
Гексадиен-1,3	73	1,438	0,705	(*)	2-метилгексен-4 цис	91,0	1,400	0,700	(*)
Гексадиен-2,4	80	1,450	0,720	(*)	2-метилгексен-4 транс	86,0			
Гексен-1	63,5	1,3879	0,6732	(*)	2-метилгексен-5	85,3	1,3966	0,6920	(*)
Гексен-2 цис	68,8	1,3977	0,6869	(*)	2,5-диметилгексадиен-1,4	116,5	1,437	0,749	(*)
Гексен-2 транс	67,9	1,3935	0,6784	(*)	2,5-диметилгексадиен-2,4	134,5	1,4781	0,7615	(*)
Гексан	68,7	1,3749	0,6594	(*)	2,5-диметилгексен-1	111,6	1,4105	0,7172	(*)
2-метилгексадиен-2,5	91,5—92,0	1,4390	0,7258	(*)	2,5-диметилгексен-2	112,2	1,4140	0,7203	(*)
2-метилгексадиен-2,4	111,5	1,4680	0,7449	(*)					
2-метилгексен-1	92,0	1,4094	0,7030	(*)					

Гидрирование диаллила в присутствии палладиевой черни. Взято в реакцию 55,2 г диена; получено 52,7 г продуктов гидрирования. Кривая разгонки дана на рис. 1, характеристики фракций в табл. 3.

Таблица 3

№№ фр.	Т. кип., °С при 760 мм	Количество, г	n_D^{20}	d_4^{20}	Непределельность, %
1	59,6—60,0	15,2	1,4042	0,6909	200
2	60,1—63,1	4,1	1,3975	0,6838	159
3	63,2—63,8	6,8	1,3910	0,6763	114
4	63,9—64,8	6,1	1,3970	0,6832	128
5	64,9—66,0	4,1	1,4045	0,6909	173
6	66,1—67,0	2,4	1,4000	0,6848	129
7	67,1—68,3	10,6	1,3948	0,6794	97
ост.	—	1,9	1,3998	0,6875	97

Таблица 4

№№ фр.	Т. кип., °С при 760 мм	Количество, г	n_D^{20}	d_4^{20}	Непределельность, %
1	86,0—86,7	2,1	1,4030	0,6970	—
2	86,7—88,1	4,2	1,4089	0,7055	—
3	88,1—88,5	2,8	1,4125	0,7118	—
4	88,5—90,7	4,3	1,4140	0,7131	—
5	90,8—91,5	10,7	1,4130	0,7114	—
6	91,5—91,9	9,9	1,4111	0,7110	—
7	92,0—93,7	2,9	1,4161	0,7165	—
ост.	—	3,6	1,4138	0,7110	—

Фракция 1 представляет диаллил, фракция 3 близка к гексену, фракция 5, судя по непределельности, содержит значительное количество диена. Дополнительной разгонкой на колонке из этой фракции была выделена узкая фракция с т. кип. 65,3 — 65,4°, n_D^{20} 1,4081, d_4^{20} 0,6970. По всем показателям эта фракция близка к гексадиену 1,4.

Гидрирование 2-метилгексадиена-1,5 в присутствии палладиевой черни. Взято для гидрирования 43,9 г диена; получено 41,9 г продуктов гидрирования. Кривая разгонки дана на рис. 2; характеристики фракций в табл. 4.

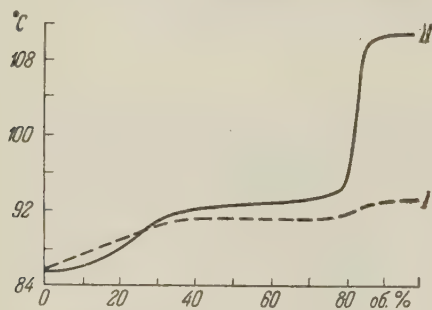


Рис. 2. Кривые разгонок продуктов гидрирования: I—2-метилгексадиена-1,5, II—2-метилгексадиена-2,5

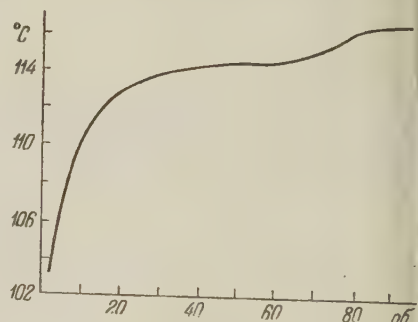


Рис. 3. Кривая разгонки продуктов гидрирования 2,5-диметилгексадиена

диена; получено 41,9 г продуктов гидрирования. Кривая разгонки дана на рис. 2; характеристики фракций в табл. 4.

Сравнение свойств полученных фракций со свойствами возможных продуктов реакции (табл. 2) показывает, что реакционная смесь очень сложна и с полной достоверностью можно судить только о том, что в смеси отсутствует диен с сопряженной системой двойных связей 2-метилгексадиен-2.

Гидрирование 2-метилгексадиена-2,5 в присутствии палладиевой черни. Взято для гидрирования 14,2 г диена; получено 13,8 г продуктов гидрирования. Кривая разгонки дана на рис. 3; характеристики фракций в табл. 5.

Таблица 5

№№ фр.	Т. кип., °С при 760 мм	Количество, г	n_D^{20}	d_4^{20}	Непределельность, %
1	85,8—86,2	1,1	1,3990	0,6927	102
2	86,3—88,1	1,5	1,4012	0,6951	108
3	88,2—91,0	1,5	1,4085	0,7038	131
4	91,1—93,0	5,7	1,4188	0,7174	178
5	93,7—105	1,4	1,4167	0,7174	—
6	105—111	1,9	1,4638	0,7465	—

Таблица 6

№№ фр.	Т. кип., °С при 760 мм	Количество, г	n_D^{20}	d_4^{20}	Непределельность, %
1	103,0—112,1	3,6	1,4079	0,7101	100
2	112,2—113,9	4,6	1,4145	0,7193	108
3	113,9—114,4	6,5	1,4185	0,7237	124
4	114,4—115,0	3,6	1,4230	0,7305	153
5	115,0—116,5	4,4	1,4311	0,7404	188
6	116,5—	2,4	1,4360	0,7444	189

ена; получено после гидрирования 13,5 г углеводов. Кривая разгонки
иведена на рис. 2, характеристики фракций в табл. 5.

Фракция 6 содержит диен с сопряженной системой двойных связей 2-метилгексадиен-2,4 (табл. 2), содержание которого в продуктах реакции составляет примерно 15%.

Гидрирование 2,5-диметилгексадиена - 1,5 в присутствии палладиевой черни. Взято для гидрирования 4 г диена; получено 26,5 г продуктов гидрирования. Кривая разгонки на рис. 3; характеристики фракций в табл. 6.

Фракции 5 и 6 содержат, по-видимому, 2,5-диметилгексадиен-1,4 (табл. 2).

Московский государственный университет
им. М. В. Ломоносова

Поступило
18 IV 1959

ЦИТИРОВАННАЯ ЛИТЕРАТУРА

¹ Б. А. Казанский, М. Ю. Лукина, А. И. Малышев, В. Т. Алексанян, Х. Я. Стерин, Изв. АН СССР, ОХН, 1956, 36. ² И. В. Гостуня, Н. Б. Добросердова, Б. А. Казанский, ЖОХ, 27, 2393 (1957). ³ Б. А. Казанский, М. Ю. Лукина, А. И. Малышев, В. Т. Алексанян, Х. Я. Стерин, Изв. АН СССР, ОХН, 1956, 1102. ⁴ Р. Я. Левина, ЖОХ, 11092 (1936). ⁵ F. D. Rossini, S. P. Kenneth, Selected Values of Physical and Thermodynamic Properties of Hydrocarbons and Related Compounds, Pittsburgh, 1953. M. P. Doss, Physical Constants of the Principal Hydrocarbons, N. Y., 1943.

Р. КОМЕРС и В. БАЖАНТ

АНАЛИЗ СМЕСИ ДИМЕТИЛОВЫХ ЭФИРОВ БЕНЗОЛДИКАРБОНОВЫХ КИСЛОТ ПРИ ПОМОЩИ ГАЗОЖИДКОСТНОЙ ХРОМАТОГРАФИИ

(Представлено академиком Б. А. Қазанским 1 IV 1959)

Бензолдикарбоновые кислоты (фталевая, изофталевая и терефталевая) как промежуточные продукты получения некоторых пластмасс, приобрели за последнее время большое значение; в частности, это касается терефталевой кислоты, служащей для производства искусственных волокон полиэфира нового типа. Решающим фактором для хорошего качества волокон является возможно высокая чистота терефталевой кислоты или же ее диметилевого эфира — исходного продукта для производства полиэтилентерефталата.

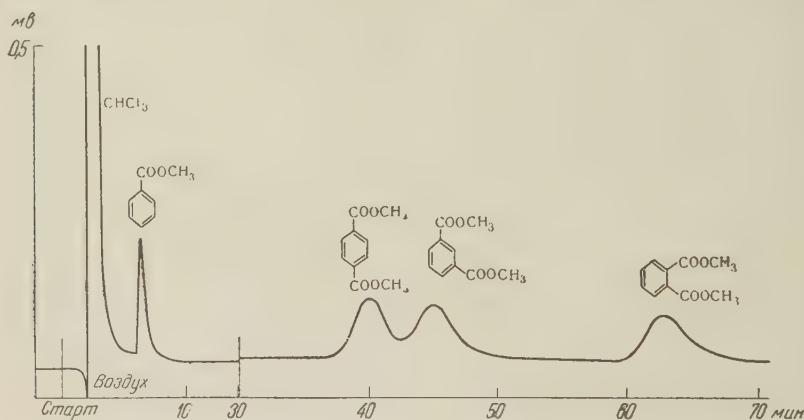


Рис. 1. Хроматограмма смеси метилового эфира бензойной кислоты и диметилевого эфира бензолдикарбоновых кислот в колонне (длина 4,80 м) с эритритом в качестве стационарной фазы, при температуре 165°C

Описанные в литературе ⁽¹⁻⁶⁾ способы определения чистоты терефталевой кислоты, ее изомеров и их производных, с одной стороны, очень трудоемки и не отличаются значительной точностью, а с другой — не позволяют осуществить одновременное определение всех трех изомеров. Весовым методом разделяли смесь терефталевой и изофталевой кислот на основании различной растворимости их таллиевых солей ⁽¹⁾. При помощи хроматографии на силикагеле ^(2, 3) и на бумаге ⁽⁴⁾ отделяют фталевую кислоту от смеси изофталевой и терефталевой кислот, причем эта смесь остается неразделенной. Михель и Швеппе ⁽⁵⁾ превращают смесь изомерных бензолдикарбоновых кислот в гидроксамовые кислоты, которые затем хроматографируют на бумаге. Однако полученные значения R_f , соответствующие изофталевой и терефталевой кислотам, очень близки друг к другу, причем и метод применим только в ограниченной степени. Поскольку хроматографией на бумаге не удастся достичь распределения изофталевой и терефталевой кислот, Франц

исал нитрование их смеси с последующим распределением полученных нитропроизводных на бумаге. Помехой здесь является присутствие фталевой кислоты (ее 3- и 4-нитропроизводных).

Нами было установлено, что при применении хроматографии в системе газ — жидкость ⁽⁷⁾ на некоторых стационарных фазах, содержащих оксигруппы, можно достичь требуемого распределения на основании различной ассоциации отдельных изомерных метиловых эфиров со стационарной фазой. Присутствие эфира бензойной кислоты не оказывает на результаты хроматографического анализа никакого влияния, потому что его элюционная характеристика другого порядка, чем характеристики эфиров вышеуказанных дикарбоновых кислот.

Для работы нами использовался прибор фирмы Griffin and George (Лондон) в обычной схеме с проточным плазменным детектором, основанным на измерении теплопроводности, и с самопишущим милливольтметром (0 — 1 мв). Газом-носителем служил азот. Рабочая температура была 165°, в качестве насадки колонны применялся пористый материал «porovina» ⁽⁸⁾ с размером зерен 20 — 0,30 мм, пропитанный 10,8% нитрита. Характеристические элюционные данные были определены с применением колонны с насадкой, содержавшей 18,65 г активного вещества; данные были выдержаны в виде отношений к диметилизофталату. Для диметилизофталата был рассчитан удельный элюционный объем V_g^0 . Результаты приведены в табл. 1. Ход хроматографического анализа представлен на рис. 1.

Отделение органической технологии
Химического института
Чехословацкой Академии наук
Прага

Поступило
27 III 1959

ЦИТИРОВАННАЯ ЛИТЕРАТУРА

- ¹ D. Bryce-Smith, Chem. and Ind., 1953, 244. ² R. Turriziani, G. Giovani, Ricerca Sci., 24, 2099 (1954). ³ V. R. Mohan Rao, J. Sci. and Industr. Res., 14B, 161 (1955). ⁴ A. Long, J. R. Quayle, R. J. Stedman, J. Chem. Soc., 1951, 2197. ⁵ F. Michael, H. Schweppe, Angew. Chemie, 66, 137 (1954). ⁶ J. Franc, Chem. Listy, 51, 2041 (1957). Coll. Czechoslov. Chem. Commun., 23, 655 (1958). ⁷ A. T. James, A. J. P. Martin, Biochem. J., 50, 679 (1952). ⁸ Чехосл. пат. № PV — 6264/58 (1958).

Таблица 1

Хроматографический спектр смеси метилового эфира бензойной кислоты и диметиловых эфиров бензолдикарбоновых кислот

Вещество	Т. кип., °C	Относительный элюционный объем
Метиловый эфир бензойной кислоты	198	0,10
Диметиловый эфир фталевой кислоты	264	1,42
Диметиловый эфир изофталевой кислоты*	269	1,00
Диметиловый эфир терефталевой кислоты	274	0,88

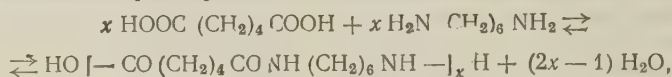
* V_g^0 диметилового эфира изофталевой кислоты = 85.

Член-корреспондент АН СССР В. В. КОРШАК, Т. М. ФРУНЗЕ,
В. В. КУРАШЕВ и А. Ю. АЛЫБИНА *

О НЕКОТОРЫХ ОСОБЕННОСТЯХ НЕРАВНОВЕСНОЙ ПОЛИКОНДЕНСАЦИИ**

Как ранее было показано одним из нас в ряде исследований ⁽¹⁾, равновесная поликонденсация, протекающая при взаимодействии диамина с дикарбоновыми кислотами или последних с гликолями, отличается рядом особенностей.

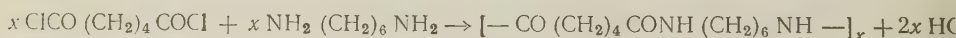
Одной из важнейших особенностей равновесной поликонденсации является обратимый характер как основной реакции синтеза полимера:



так и тех сопутствующих превращений — обменных реакций, — которые происходят одновременно ⁽²⁾. Эти реакции протекают между растущими молекулами полиамида за счет их концевых групп и амидных связей в макромолекуле ⁽³⁾. Такие обменные реакции — по большей части деструктивного характера — обуславливают определенное, довольно узкое, распределение по молекулярным весам у образующегося полимера ⁽⁴⁾.

Наличие обменных реакций приводит к тому, что в равновесной поликонденсации устанавливается система реакций, обозначаемая как «поликонденсационное равновесие» ⁽⁵⁾. Как следствие этого равновесия имеет место большое влияние, оказываемое избытком одного из исходных компонентов на молекулярный вес получаемого продукта ⁽⁶⁾, как это показано на рис. 1. Точно так же влияют добавки монофункциональных веществ, снижая молекулярный вес получаемого полимера.

Данное исследование было нами предпринято с целью выяснить, как изменяются эти зависимости в том случае, если поликонденсация проводится как неравновесный процесс. Примером такого рода реакции может служить взаимодействие дихлорангидридов дикарбоновых кислот с диаминами



Если эту реакцию проводить на границе двух фаз, применяя исходные реагенты в растворах двух несмешивающихся жидкостей ⁽⁷⁾, то она протекает очень быстро и при низких температурах, т. е. в условиях, когда не имеют места никакие обменные превращения.

Нами была исследована реакция между гексаметилендиамином и хлорангидридом адипиновой кислоты. Для реакции применялись: водный раствор гексаметилендиамина, к которому добавлялось необходимое количество щелочи, и бензольный раствор хлорангидрида адипиновой кислоты.

Предварительно было выяснено влияние концентрации исходных веществ на выход и величину молекулярного веса образующихся полимеров. Как показано на рис. 1, оптимальной концентрацией, приводящей к получению наиболее высокомолекулярных продуктов с наибольшим выходом

* В экспериментальной работе принимал участие П. А. Алиевский.

** В статье приведена лишь часть полученных результатов. Более полное описание работы будет дано в подробной статье в другом месте.

валась концентрация 0,15 мол/л раствора. Поэтому все дальнейшие опыты проводились при этой концентрации, причем оба исходных реагента изменялись в виде растворов одинаковой концентрации. Для выяснения вопроса о влиянии соотношения исходных веществ на молекулярный вес образующихся полимеров нами был поставлен ряд опытов, в которых либо одно, либо другое исходное вещество брали в избытке. Избыток исходных веществ в обоих случаях доходил до 100 мол. %.

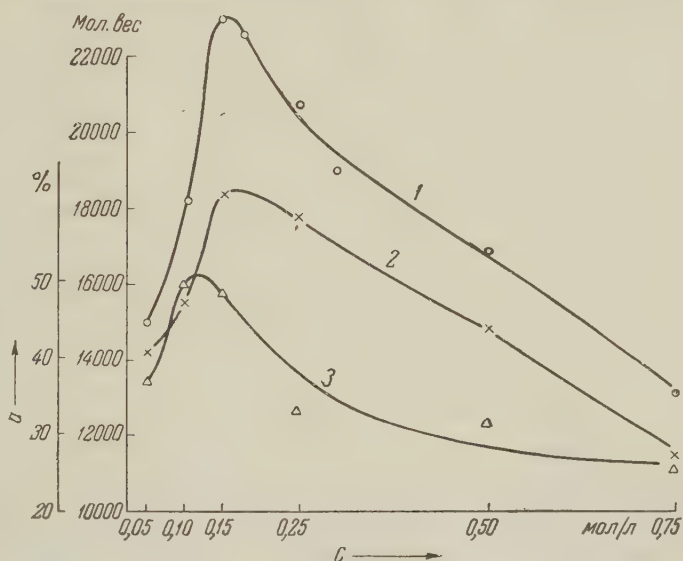


Рис. 1. Изменение молекулярного веса (1, 2) и выхода (3) полиамида в зависимости от исходных концентраций реагирующих веществ: 1 — при вытяжке полиамида из раствора; 2 — при перемешивании исходных растворов; 3 — изменение выхода полиамида при перемешивании

Однако, несмотря на наличие таких больших избытков того или другого исходного реагента, полученные полиамиды имеют практически одинаковые молекулярные веса. Колебания величин молекулярных весов лежат в пределах ошибки опыта, как это можно видеть из табл. 1.

Таблица 1

Количество избыточного компонента, мол. %	При избытке гексаметилен-диамина			При избытке хлорангидрида адипиновой кислоты		
	уд. вязкость 0,5% растворов в трикрезоле при 20°C	мол. вес	выход, % от теории	уд. вязкость 0,5% растворов в трикрезоле при 20°C	мол. вес	выход, % от теории
0	0,53	14300	32	0,53	14300	32
5	0,55	14700	30	0,58	15400	39
10	0,53	14300	25	0,54	14500	22
25	0,49	13400	16	0,53	14300	33
50	0,55	14800	35	0,49	13400	33
100	0,52	14100	28	0,57	15400	22

Примечание. Реакция проводилась при перемешивании 0,15 М растворов исходных реагентов в течение 10 мин. при скорости мешалки около 1000 оборотов в минуту.

Следовательно, практически изменение соотношений исходных веществ оказывает никакого влияния на молекулярный вес образующихся полиамидов. Эту особенность реакции неравновесной поликонденсации интересно поставить с тем, что в равновесной поликонденсации при реакции самих

дикарбоновых кислот с диаминами наблюдается зависимость, показанная на рис. 2, где отчетливо видно большое влияние избытка одного из исходных веществ. Для сравнения на этом же рисунке показаны данные, полученные нами для неравновесной поликонденсации.

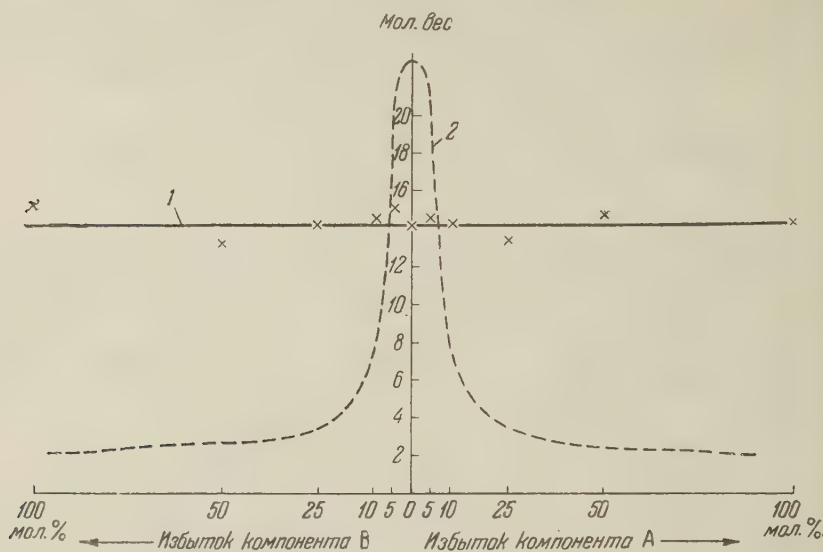


Рис. 2. Зависимость молекулярного веса полиамида от избытка исходных компонентов: 1 — в неравновесной поликонденсации в зависимости от избытка гексаметилендиамина (А) и хлорангидрида адипиновой кислоты (В); 2 — в равновесной поликонденсации в зависимости от избытка гексаметилендиамина (А) и адипиновой кислоты (В).

В этом случае фактором, приводящим к прекращению реакции и остановке роста цепи, является образование полиамидной пленки на границе раздела двух фаз. Исходные реагенты не могут диффундировать через образовавшуюся пленку, поэтому реакция останавливается задолго до полного исчерпания исходных веществ. Следовательно, влияние избытка того или иного компонента не имеет значения. Иное положение мы имеем в случае равновесной поликонденсации, где реакция протекает в гомогенном расплаве, благодаря этому взятые в реакцию исходные вещества успевают полностью прореагировать.

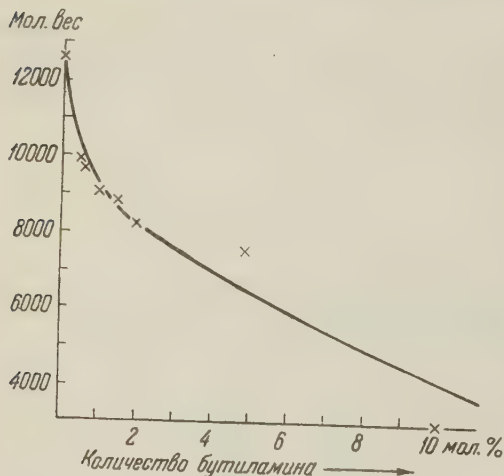


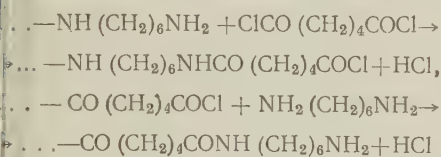
Рис. 3. Изменение молекулярного веса полиамида в зависимости от добавления различных количеств бутиламина (полимер получен при перемешивании)

вещества основной реакции. С этой целью нами было исследовано влияние добавки хлорангидрида масляной кислоты в бензольный раствор исходного хлорангидрида,

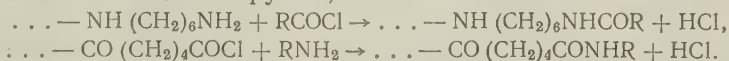
Как видно из этого рисунка, добавка хлорангидрида масляной кислоты приводит к значительному снижению молекулярного веса образующегося полиамида. Для того, чтобы убедиться в надежности этого результата и исключить влияние случайности, мы провели реакцию с добавкой *n*-бутиламина к водному раствору гексаметилендиамина. При этом также обнаружилось значительное влияние добавки на молекулярный вес полиамида (ср. рис. 3 и 4). С увеличением количества *n*-бутиламина молекулярный вес получаемого полиамида снижается.

Такое отличие в поведении моnofункциональных и бифункциональных веществ в этой реакции можно объяснить только исходя из того механизма роста цепи, который имеет место в этом случае.

Наличие избытка одного из исходных веществ не приводит к потере реакционной способности концевых групп образующегося полимера, как это показано ниже:



Поэтому концевые группы не теряют способности реагировать с другим исходным веществом и, таким образом, цепь растет дальше, до тех пор, пока рост ее не прервется под влиянием других факторов. В случае добавок моnofункциональных веществ, они закрывают реакционноспособные концевые группы, как показано ниже:



Таким образом полимер, у которого с обеих сторон будут такие неакционноспособные группы, теряет способность к дальнейшему росту. При этом снижение молекулярного веса находится в прямой зависимости от количества добавленного моnofункционального вещества.

Эти результаты указывают на существенное различие в реакциях равновесной и неравновесной поликонденсации. В обоих этих случаях влияние избытка исходных веществ сказывается по-разному, в то время как влияние обавок моnofункционального вещества действует одинаково, снижая молекулярный вес.

Институт элементоорганических соединений
Академии наук СССР

Поступило
17 IV 1959

ЦИТИРОВАННАЯ ЛИТЕРАТУРА

- ¹ В. В. Коршак, Усп. хим., **21**, 121 (1952). ² С. Р. Рафиков, В. В. Коршак, ЖОХ, **13**, 988 (1944). ³ В. В. Коршак, В. А. Замятина, ДАН, **59**, 99 (1948). ⁴ В. В. Коршак, В. А. Замятина, Изв. АН СССР, ОХН, **1948**, 12; С. Р. Рафиков, В. В. Коршак, Г. Н. Челнокова, ДАН, **57**, 57 (1947). ⁵ С. Р. Рафиков, В. В. Коршак, Г. Н. Челнокова, Изв. АН СССР, ОХН, **1948**, 647. ⁶ В. В. Коршак, С. Р. Рафиков, ДАН, **48**, 5 (1945); В. В. Коршак, В. В. Голубев, Изв. АН СССР, ОХН, **1946**, 185. Англ. пат. 737 184 (1955); РЖХим., 1957, № 18, 354; Chem. Eng. News, **36**, № 37, 2 (1958).

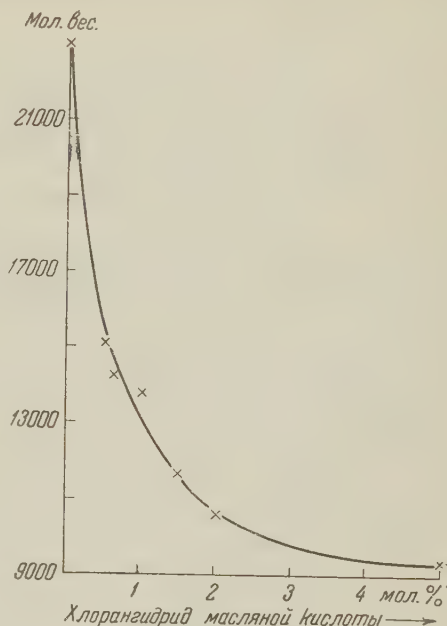


Рис. 4. Изменение молекулярного веса полиамида в зависимости от добавления различных количеств хлорангидрида масляной кислоты (полимер получен при вытяжке из раствора)

К. М. МУРАВЬЕВА и М. Н. ЩУКИНА

СИНТЕЗ И ПЕРЕГРУППИРОВКИ В РЯДУ ТИАЗОЛИНИМИНА

(Представлено академиком И. Л. Кнунянцем 24 II 1959)

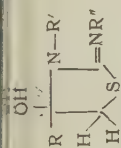
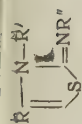
При конденсации тиомочевины или ее замещенных с α -галоидокарбонильными соединениями образуются производные 2-аминотиазола, или тиазолимина.

На примере конденсации замещенных 2-меркаптоимидазолов с α -галоидокетонами было показано, что образование имидазо-(2,1-b)-тиазолола протекает через промежуточную стадию S- β -карбонильных соединений (^{1,2}).

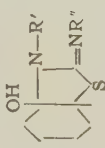
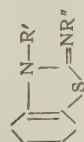
В настоящей работе мы изучили конденсацию α -галоидокетонов с симметричными диарил- и арил-ацилтиомочевинами, а также исследовали нарушенные нами перегруппировки полученных циклических соединений.

Нами было подтверждено, что ход реакции зависит от присутствия в реакционной среде ионов водорода. Если образующийся галоидоводород связывать триэтиламином, то получают производные 4-окситиазолидина, которые при растворении их в водной или спиртовой соляной кислоте отщепляют воду. Промежуточные оксисоединения нестойки, в особенности в тех случаях, когда они получены из диарилтиомочевин. Например, при конденсации хлорацетона с тиокарбанилидом в растворе хлористого метилена в присутствии триэтиламина при комнатной температуре получено соединение, элементарный анализ, определение гидроксила и и.-к. спектры которого показывают, что оно является 2-фенилимино-3-фенил-4-метил-4-окситиазолидином (табл. 1, Ia). Это вещество при нагревании теряет воду и превращается в 2-фенилимино-3-фенил-4-метилтиазолин (I), получаемый из хлорацетона и тиокарбанилида (³) в спиртовом растворе без добавки основания. Смешанная проба (I) и (Ia) дает депрессию температуры плавления только в заплавленном капилляре. При конденсации симметричной дитолил- и дифенетидилтиомочевины с хлорацетоном не удалось получить промежуточных оксисоединений, а были получены непосредственно 2-толилимино-3-толил-4-метилтиазолин (II) и 2-*n*-этоксифенилимино-3-*n*-этоксифенил-4-метилтиазолин (III), которые образуются и при конденсации компонентов без связывания хлористого водорода основанием.

Более прочными оказались промежуточные вещества, полученные при конденсации α -галоидокетонов с N-арил-N'-ацилтиомочевинами. На ряде примеров было показано, что 4-окситиазолидиновые соединения получают в присутствии триэтиламина как в растворе хлористого метилена при комнатной температуре, так и в растворе спирта при нагревании. При действии соляной кислоты на холоду или при нагревании со спиртовым раствором хлористого водорода они отщепляют воду, переходя в соответствующие тиазолиновые соединения, в большинстве случаев резко отличающиеся по температуре плавления. Нами были получены из хлорацетона бензоилфенилтиомочевина 2-бензоилимино-3-фенил-4-метил-4-окситиазолидин (IVa) и 2-бензоилимино-3-фенил-4-метилтиазолин (IV), из хлорацетона фенил-*n*-нитробензоилтиомочевина 2-(*n*-нитробензоилимино)-3-фенил-4-метил-4-окситиазолидин (Va) и 2-(*n*-нитробензоилимино)-3-фенил-4-метилтиазолин (V), и аналогичные пары веществ (VI и VIa) из хлорацетона и фенилацетилтиомочевины; из α -хлорциклогексанона и фенилацетилтиомочевины.

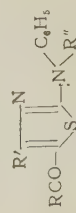


№№	R	R'	R''	Т. пл. в °С	Вычислено в %				Найдено в %				Т. пл. в °С	Вычислено в %				Найдено в %						
					C	H	N	S	C	H	N	S		C	H	N	S	OH	C	H	N	S	OH	
I	CH ₃	C ₆ H ₅	C ₆ H ₅	138—139	72,4	5,28	10,52	12,02					Ia	137—138	67,7	5,65	9,92	11,26	5,65	67,84	5,63	10,15	10,97	5,32
II	CH ₃	n-C ₄ H ₉	n-CH ₃ C ₂ H ₅	111—113	73,8	6,31	9,55	10,89																
III	CH ₃	n-C ₄ H ₉	n-C ₂ H ₅ OC ₄ H ₉	162—163	68,00	6,28	7,93	9,08					IVa	158—160	65,34	5,16	8,97	10,26	5,44	65,86	5,37	8,88	9,93	5,75
IV	CH ₃	C ₆ H ₅	COCH ₃	156—158	69,37	4,8	9,5	10,89					Va	160—162	57,1	4,23	11,76	8,97	4,06	57,33	4,28	11,58	9,14	4,46
V	CH ₃	C ₆ H ₅	COCH ₃	184—185	60,16	3,86	12,38	9,45					VIIa	132,5—133,5	57,58	5,64	11,19	12,81	6,8	57,51	5,71	11,30	12,99	8,34
VI	CH ₃	C ₆ H ₅	COCH ₃	182—183									VIIa	155,5—156,5	70,55	4,84	7,48	8,56	4,54	70,30	4,67	7,74	8,53	3,58
VII	C ₆ H ₅	C ₆ H ₅	COCH ₃	203—204	74,13	4,52	7,86	8,99																



№№	R'	R''	Т. пл. в °С	Вычислено в %				Найдено в %				№№	Т. пл. в °С	Вычислено в %				Найдено в %			
				C	H	N	S	C	H	N	S			C	H	N	S	OH	C	H	N
IX	C ₆ H ₅	COC ₆ H ₅	204—205	71,85	5,42	8,38	9,59	72,42	5,38	8,30	9,40										
X	C ₆ H ₅	COC ₆ H ₄ NO ₂ -n	167,5—169	63,31	4,51	11,08	8,45	63,36	4,62	11,00	8,55										
XI	C ₆ H ₅	COCH ₃	144,5—145,5	66,68	5,92	10,29	11,77	66,71	6,11	10,20	11,57	XIa	158—159	62,05	6,25	9,65	11,04	5,86	62,16	6,37	9,52
XII	C ₆ H ₅	H	117—118	67,76	6,13	12,17	13,92	67,88	6,23	12,06											11,45

№№	R	R'	R''	T. пл. в °C	Вычислено в %				Т. пл. в °C	№№	Вычислено в %				Найдено в %			
					C	H	N	S			C	H	N	S	C	H	N	S
XIII	C ₆ H ₅	C ₆ H ₅	COCH ₃	197,5—198,5	72,6													
XIV	C ₆ H ₅	C ₆ H ₅	H	195,5—197,5	74,13													
XV	C ₆ H ₅	C ₆ H ₅	COCH ₃	174—175	61,50													
XVI	C ₆ H ₅	C ₆ H ₅	H	152—153	62,04													



чевины — 2-ацетилимино-3-фенил-4-окси-4,5-циклотетраметилентиазоли, (XIa) и 2-ацетилимино-3-фенил-4,5-циклотетраметилентиазолин-4 (XII) из ω -бромацетофенона и фенилбензоилтиомочевины — 2-бензоилимино-3,4-дифенил-4-окситиазолидин (VIIa) и 2-бензоилимино-3,4-дифенилтиазолин (VII). Во всех случаях наличие оксигруппы в тиазолидиновом соединении доказано и.к. спектрами, а также прямым определением оксигруппы по Церевитинову. При этом 4-окситиазолидиновое соединение (XIa) дало, при кипячении метана, что соответствует поведению спиртов, имеющих водород третичном α -углеродном атоме. При конденсации α -хлорциклогексана с фенилбензоилтиомочевиной в растворе хлористого метилена в присутствии триэтиламина была получена смесь оксисоединения с соответствующим тиазолином (IX). При перекристаллизации и еще быстрее при действии соляной кислоты происходило отщепление воды и образование (IX) 2-бензоилимино-3-фенил-4,5-циклотетраметилентиазолина. При реакции фенил-*n*-нитробензоилтиомочевины с α -хлорциклогексаном промежуточного соединения также не удалось выделить. Нестойкость 4-оксисоединений в этих случаях можно объяснить конформацией ядра циклогексана, обуславливающей приближение водорода и гидроксила к транс-положению. Подобное явление наблюдал Стивенс для 4,5-циклотетраметилентиазолинов-2 (4).

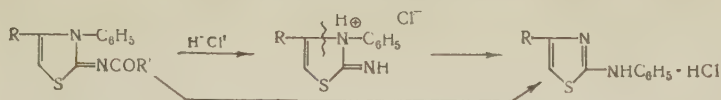
Полученные нами ацилиминотиазолины (IV, V, VI) при кратковременном нагревании в течение нескольких минут с соляной кислотой омыляются до 2-имино-3-фенил-4-метилтиазолин-4 (т. пл. 85 — 86°, ацетильное производное т. пл. 182 — 183°), описанный Бейером (5). Если этот имин кипятить с 20% соляной кислотой в течение нескольких часов (или кипятить IV, V, VI), то происходит перегруппировка с образованием 2-фениламино-4-метилтиазола. Последний был идентифицирован нами с полученным Трауманну (6) из хлорацетона и фенилтиомочевины. Соединение VII было омылено в 2-имино-3,4-дифенилтиазолин-4, полученный Бейером из ω -бромацетофенона и солянокислого анилина (5). Этот имин при длительном кипячении с соляной кислотой перегруппировывается в 2-фениламино-4-фенилтиазол, идентифицированный нами с описанным в литературе (5).

При нагревании ω -бромацетофенона и фенилацетилтиомочевины в абсолютном спиртовом растворе нами был получен 2-ацетилимино-3,4-дифенилтиазолин-4 (VIII). Это соединение описано Бейером и омыляется в 2-имино-3,4-дифенилтиазолин-4. Однако в присутствии триэтиламина ω -бромацетофенон и фенилацетилтиомочевина образуют оксисоединение IVa, полученное в тех же условиях из хлорацетона и фенилбензоилтиомочевины. Таким образом, в ходе реакции бензоил как бы переходит от метиленовой группы к азоту тиомочевинного остатка, а ацетил от этого атома азота к метиленовой группе.

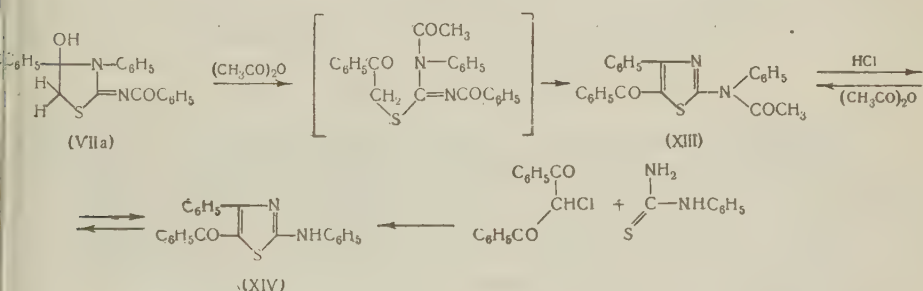
Соединение (IX), 2-*n*-нитробензоил-3-фенил-4,5,6,7-тетрагидробензтиазолин (X) и 2-ацетилимино-3-фенил-4,5,6,7-тетрагидробензтиазолин (XI) при нагревании с 20% соляной кислотой омыляются до 2-имино-3-фенил-4, 5, 6, 7-тетрагидробензтиазолина (XII). При многодневном кипячении с 20% соляной кислотой происходит превращение этого вещества в 2-фениламино-4,5,6,7-тетрагидробензтиазол (получен индийскими авторами конденсацией циклогексанона с фенилтиомочевиной в присутствии йода (8)). Интересно отметить, что при попытке получения этого вещества конденсацией α -хлорциклогексанона с фенилтиомочевиной был получен (XII).

Описанные превращения мы считаем возможным объяснить следующим образом: замещенные тиомочевины в своей изоформе вступают в реакцию с α -галоидокетонами, образуя S- β -кетозамещенные изотиомочевины, быстро подвергающиеся дальнейшим превращениям. Карбонильный кислород оттягивает протон от аминоксильного остатка, в результате чего и устанавливается N — C связь с образованием 4-окситиазолидиновых соединений, которые легко отщепляют воду. Перегруппировку 2-имино-3,4-замещенного тиазолина при кипячении с соляной кислотой можно объяснить присоединением протона к азоту кольца, разрывом 3,4-связи и поляризацией вслед-

ие этого молекулы с последующим замыканием цикла по азоту имино-
ппы с образованием 2-фениламино-4-замещенных тиазолов.



Для 4-окситиазолидиновых соединений мы пытались провести ацети-
рование оксигруппы с помощью хлористого ацетила или уксусного ан-
рида. Однако при этом О-ацетилирования не происходит, а имеет место
бо отщепление воды, как в случае (IVa), (Va), и образование (IV), (V),
бо перегруппировка, связанная с разрывом 3,4 связи. Так (VIIa) при
гревании с уксусным ангидридом образует 2-(N-фенил-N-ацетил)-амино-4-
нил-5-бензоилтиазол (XIII), в котором с помощью и.-к. спектра показано
личие кетогруппы. Это вещество омыляется 20% соляной кислотой с об-
зованием 2-фениламино-4-фенил-5-бензоилтиазола (XIV), строение кото-
го доказано нами синтезом из дибензоилхлорметана и фенилтиомоче-
ны. (XIV) ацетируется уксусным ангидридом в (XIII). Анало-
ные превращения происходят с (VIa), который при действии уксусного
рида образует не только (VI), отщепляя молекулу воды, но и 2-(N-фе-
л-N-ацетил)-амино-4-метил-5-ацетилтиазол (XV). Последний был омы-
н до 2-фениламино-4-метил-5-ацетилтиазола (XVI). Строение (XVI)
казано синтезом из диацетилхлорметана и фенилтиомочевины. Это же



вещество (XVI) было получено из фенилацетилтиомочевины и хлорацетона
спирте в присутствии триэтиламина. Эти превращения можно объ-
нить следующим образом. При действии уксусного ангидрида на (VIIa),
(Ia), происходит размыкание тиазолидинового кольца по 3,4-связи с об-
зованием S-β-кетопроизводных изотиомочевины и ацетилирование вторич-
й аминогруппы. В этих кетосоединениях атомы водорода метиленовой
уппы обладают большой подвижностью и вступают во взаимодействие
карбонилем азотного остатка при иминогруппе, образуя (XIII), (XV).
Исследованные реакции показывают, что конденсация α-галлоидокетонов
N-фенил-N'-ацитлиомочевины протекает через стадию 4-окситиазоли-
новых производных и что эти соединения, так же как и 2-иминотиазоли-
-4, очень лабильны и способны к перегруппировкам, связанным с раскры-
ем гетероцикла.

Всесоюзный научно-исследовательский
химико-фармацевтический институт
им. С. Орджоникидзе

Поступило
19 II 1959

ЦИТИРОВАННАЯ ЛИТЕРАТУРА

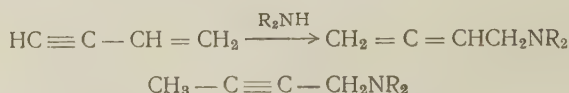
- ¹ П. М. Кочергин, М. Н. Щукина, ЖОХ, **26**, 458 (1956). ² П. М. Ко-
ргин, М. Н. Щукина, ЖОХ, **26**, 2905 (1956). ³ V. Traumann, Lieb.
n., **249**, 51 (1888); Вг. Pawlewski, Ber., **21**, 403 (1888). ⁴ G. de Stevens,
F. Hopkinson et al., J. Am. Chem. Soc., **80**, 2201 (1958). ⁵ H. Beyer,
Ruhlig, Chem. Ber., **89**, 111 (1956). ⁶ V. Traumann, Lieb. Ann., **249**, 47 (1888).
⁷ A. Eberly, F. B. Dains, Chem. Zbl., **1**, 4626 (1938); Univ. Kansas Sci. Bull.,
45 (1936). ⁸ G. N. Mohapatra, M. K. Rout, Chem. Abstr., **49**, 12446c (1955);
Sci. Ind. Res., **13B**, 407 (1954).

А. А. ПЕТРОВ и В. А. КОРМЕР

О ПРИСОЕДИНЕНИИ ЛИТИЙДИЭТИЛ- И ЛИТИЙДИБУТИЛАМИДОВ К ВИНИЛАЦЕТИЛЕНУ И ВИНИЛАЛКИЛАЦЕТИЛЕНАМ

(Представлено академиком Б. А. Арбузовым 4 III 1959)

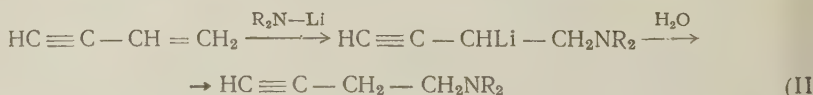
По взаимодействию винилацетиленовых углеводородов с аминами в литературе имеются весьма малочисленные указания⁽¹⁻³⁾. Исследовалось только присоединение аммиака и некоторых аминов к винилацетилену, причем реакция проводилась при 100° и повышенном давлении⁽¹⁾ или на гетерогенном катализаторе при 250°⁽²⁾. В результате были получены алленовые амины (I) или продукты их изомеризации — ацетиленовые амины (II)



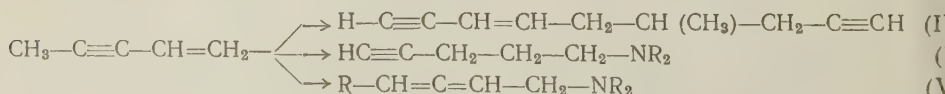
В данной работе показано, что аддукты аминов (диэтил- и дибутиламинов) к винилацетиленовым углеводородам (винилацетилен, винилметил- и винилэтилацетилены) получают путем обработки водой продуктов присоединения к этим углеводородам литийдиалкиламинов. Последние реагируют с винилацетиленами при комнатной температуре и обычном давлении. В литературе эта реакция не описана.

В зависимости от природы винилацетиленового углеводорода и амина в результате реакции получают различные продукты.

Винилацетилен образует амины (III) с конечной ацетиленовой группировкой (в случае диэтиламина — выход 20%) без каких-либо побочных процессов.



Винилметилацетилен дает преимущественно димер (IV) с выходом около 40% и полимеры (выход 25—30%). Амины образуются в очень небольшом количестве (5%), причем имеют различное строение в зависимости от природы амида: в случае присоединения литийдиэтиламида образуется амин с конечной ацетиленовой группировкой (V), в случае литийдибутиламида — алленовый амин типа (VI).



Винилэтилацетилен дает с литийдиалкиламидами алленовые амины типа (VI) с выходом 45—55%. Количество димера в этом случае не превышает 10%.

Строение аминов доказывалось, прежде всего, по их инфракрасным спектрам. В спектрах аминов, полученных из винилацетилена, винилметилацетилена и литийдиэтиламида, имелись только полосы конечной ацетиленовой группировки (3300 и 2123 см^{-1}) и отсутствовали полосы алленовой, 3-диеновой систем (рис. 1, 1 и 2). В спектрах аминов, полученных из винилметилацетилена и дибутиламина, а также всех аминов из винилэтилацетилена, имелись только полосы алленовой системы 1960 см^{-1} (рис. 1, 3 и 4). Амины, полученные из винилацетилена, винилметилацетилена и диэтиламина, оказались идентичными по константам соответственно с 1-диэтиламинобутин-3 и 1-диэтиламинопентин-4, описанными в литературе (4). Следует заметить, что изомерные амины типа $\text{HC}\equiv\text{C}-\text{CH}(\text{NR}_2)-\text{R}$, которые могли возникнуть при ином порядке присоединения литийдиалкиламидов к винилацетиленам, обладают совершенно другими константами (4).

Строение аминов, полученных из винилэтилацетилена, было подтверждено гидрированием их на коллоидном палладии до соответствующих диалкилгексиламинов, которые для сравнения получались другим методом. Изомерные амины типа $\text{C}_2\text{H}_5-\text{CH}(\text{NR}_2)-\text{C}_3\text{H}_7$ имеют значительно более низкие температуры кипения (5).

Димер винилметилацетилена при каталитическом гидрировании на коллоидном палладии присоединял 5 молекул H_2 с образованием 4-метилнона-1, следовательно, имел открытую цепь углеродных атомов. Обычным методом (6) в нем были обнаружены две конечных ацетиленовых связи.

В инфракрасном спектре димера (рис. 1, 5) были обнаружены две полосы, отвечающие конечным ацетиленовым связям, одна из которых (2100 см^{-1}) сопряжена с двойной. Сопряженной двойной связи соответствует полоса 1616 см^{-1} . Наличие поглощения в области 964 см^{-1} свидетельствует о том, что двойная связь входит в группировку $-\text{CH}=\text{N}-$.

Все эти данные позволяют приписать димеру формулу 6-метилнонен-3-ина-1,8 (VI). Судя по спектральным данным (найлены частоты $969, 2092, 2127, 3024, 3290\text{ см}^{-1}$), димер винилметилацетилена имеет аналогичное строение.

Наиболее вероятно, что димеры образуются в результате присоединения винилалкилацетиленам продуктов их металлирования с перемещением под влиянием литийдиалкиламидов кратных связей на конец цепи. Константы полученных веществ даны в табл. 1.

Таким образом, в результате данного исследования установлено, что литийдиалкиламиды присоединяются к винилацетиленам подобно литийалкилам — радикал вступает в 4 положение (7). В обоих случаях реакция происходит, вероятно, по радикальному механизму.

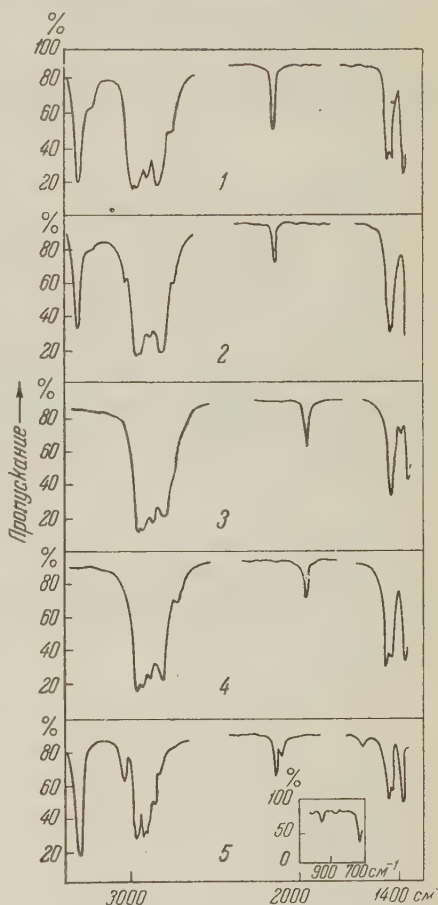


Рис. 1. Инфракрасные спектры пропускания: 1—1-диэтиламинобутин-3, 2—1-диэтиламинопентин-4, 3—1-диэтиламинопентадиен-2,3, 4—1-диэтиламиногексадиен-2,3, 5—6-метилнонен-3-дин-1,8

Вещество	Т. кип., °C (20 мм)	d_4^{20}	n_D^{20}	MR	
				най-ден.	вычис.
$\text{HC}\equiv\text{C}-\text{CH}_2-\text{CH}_2\text{N}(\text{C}_2\text{H}_5)_2^*$	48	0,8031	1,4388	40,99	41,1
$\text{HC}\equiv\text{C}-\text{CH}_2-\text{CH}_2-\text{CH}_2\text{N}(\text{C}_2\text{H}_5)_2^{**}$	60,5—61,5	0,7901	1,4378	46,24	45,1
$\text{CH}_3-\text{CH}=\text{C}=\text{CH}-\text{CH}_2\text{N}(\text{C}_4\text{H}_9)_2$	123—124	0,8119	1,4588	65,75	65,1
$\text{C}_2\text{H}_5-\text{CH}=\text{C}=\text{CH}-\text{CH}_2\text{N}(\text{C}_2\text{H}_5)_2$	85—86	0,8111	1,4554	51,30	51,1
$\text{C}_2\text{H}_5-\text{CH}=\text{C}=\text{CH}-\text{CH}_2\text{N}(\text{C}_4\text{H}_9)_2$	136—136,5	0,8150	1,4558	69,80	69,0
$\text{HC}\equiv\text{C}-\text{CH}=\text{CH}-\text{CH}_2-\underset{\text{CH}_3}{\text{CH}}-\text{CH}_2-\text{C}\equiv\text{CH}$	71—72	0,8346	1,4780	44,84	43,1

* Т. кип. 143—143,5°/765 мм, 85°/110 мм. Литературные данные (4): т. кип. 139—142°/680 мм, 85°/110 мм, n_D^{18} 1,4390.

** Т. кип. 76°/40 мм. Литературные данные (4): т. кип. 76°/40 мм, n_D^{20} 1,4380.

Экспериментальная часть

Литийдиалкилами́ды приготавливались действием соответствующих аминов (0,5 — 0,7 г-моля) на эфирные растворы литийметила или литийэтила (0,5 — 0,6 г-моля) (8). При введении в эти растворы винилацетиленовых углеводов (0,25 г-моля) наблюдалась энергичная реакция с повышением температуры. После стояния в течение 1 — 24 часов (в случае винилэтила — 1 — 2 часа, в остальных — 12 — 24 часа) смесь обрабатывалась водой, сушилась над окисью алюминия и подвергалась разгонке, сначала при обычном давлении, затем в вакууме. Амины очищались от углеводов растворением в разбавленной соляной кислоте с последующим высаживанием щелочью. Аналитические данные для вновь полученных веществ даны в табл. 2.

Таблица 2

Вещество	Найдено, %			Вычислено, %		
	C	H	N	C	H	N
$\text{CH}_3-\text{CH}=\text{C}=\text{CH}-\text{CH}_2\text{N}(\text{C}_4\text{H}_9)_2$	79,71 79,75	12,94 13,07	7,52	79,93	12,90	7,17
$\text{C}_2\text{H}_5-\text{CH}=\text{C}=\text{CH}-\text{CH}_2\text{N}(\text{C}_2\text{H}_5)_2$	78,23 78,41	12,46 12,53	8,99 9,50	78,36	12,46	9,14
$\text{C}_2\text{H}_5-\text{CH}=\text{C}=\text{CH}-\text{CH}_2\text{N}(\text{C}_4\text{H}_9)_2$	80,48 80,47	12,90 12,86	7,14 6,88	80,31	13,00	6,69
$\text{HC}\equiv\text{C}-\text{CH}=\text{CH}-\text{CH}_2-\underset{\text{CH}_3}{\text{CH}}-\text{CH}_2-\text{C}\equiv\text{CH}^*$	90,91 90,83	9,12 9,12	— —	90,85	9,15	—

* Найдено: Мол. вес 131,3, 132,9; количество $-\text{C}\equiv\text{CH}$ 1,98, 1,97%.
Вычислено: Мол. вес 132,2; количество $-\text{C}\equiv\text{CH}$ 2,00%.

Гидрирование 1-диэтиламиногексадиена-2,3. При исчерпывающем гидрировании 3,1 г амина поглотилось 980 мл H_2 (757 мм, 18°) т. е. около 100% от теории. Из реакционной смеси выделен диэтилгексил амин (2,8 г) с т. кип. 179—180°/750 мм, 75,5—76,5°/20 мм, d_4^{20} 0,7688 n_D^{20} 1,4252. Тот же амин, полученный из диэтиламина и бромистого гексила, имел константы: т. кип. 179—180°/750 мм, d_4^{20} 0,7676, n_D^{20} 1,4242. Инфракрасные спектры обоих образцов амина не отличались между собой

Гидрирование 1-дибутиламиногексадиена-2,3. При исчерывающем гидрировании 4,15 г амина поглотилось 978 мл H_2 (745,5 мм, 16°), т.е. около 100% от теории. Из реакционной смеси был выделен дибутилгексиламин (3,8 г) с т. кип. 129—130°/20 мм, d_4^{20} 0,7864, n_D^{20} 1,4360. Тот же амин, полученный из дибутиламина и бромистого гексила имел: т. кип. 129—130°/20 мм, d_4^{20} 0,7853, n_D^{20} 1,4350. Спектры обоих образцов одинаковы также не отличались между собой.

Гидрирование димера винилметилацетилен. При исчерывающем гидрировании 3,3 г димера поглотилось 2966 мл H_2 (766,3 мм, 16°), что отвечает 98% от теории. Получено 2,9 г 4-метилнонана с т. кип. 164—165°/750 мм, 82—82,5°/50 мм, d_4^{20} 0,7350, n_D^{20} 1,4148. Эти константы весьма близки к приведенным в литературе для 4-метилнонана⁽⁹⁾. Инфракрасные спектры углеводородов и заведомого 4-метилнонана не отличались между собой.

Поступило
28 II 1959

ЦИТИРОВАННАЯ ЛИТЕРАТУРА

- ¹ V. A. Engelhardt, J. Am. Chem. Soc., 78, 107 (1956); Amer. пат. 2647147; Chem. Abstr., 48, 7625 (1954). ² A. W. Sloan, Amer. пат. 2419736; Chem. Abstr., 41, 4811 (1947). ³ Англ. пат. 516586; Chem. Abstr., 35, 6267 (1941). ⁴ Л. Б. Фишер, Усп. хим., 27, 589 (1958). ⁵ P. Bruylants, Bull. Soc. chim. Belg., 33, 477 (1924). ⁶ С. Вайбель, Идентификация органических соединений, ИЛ, 1957. ⁷ А. А. Петров, В. А. Кормер, ДАН, 125, 1041 (1959). ⁸ H. Gilman, N. Gronse et al., J. Am. Chem. Soc., 67, 2106 (1945). ⁹ Р. Д. Оболенцев, Физические константы углеводородов, жидких топлив и масел, М.—Л., 1953.

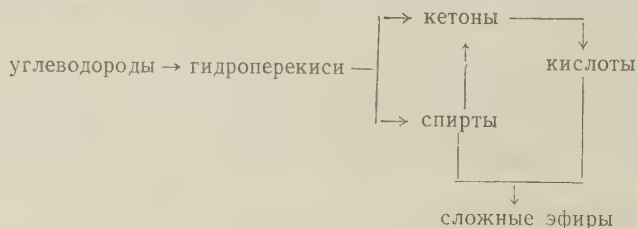
В. В. КАМЗОЛКИН, член-корреспондент АН СССР А. Н. БАШКИРОВ
и М. М. ПОТАРИН

О СИНТЕЗЕ ВЫСШИХ КЕТОНОВ МЕТОДОМ ОКИСЛЕНИЯ ПАРАФИНОВЫХ УГЛЕВОДОРОДОВ

При изучении процесса жидкофазного окисления парафиновых углеводородов нами было отмечено, что при температурах 120 — 160° в начальной стадии окисления образование карбонильных соединений протекает со значительной скоростью, превышающей скорость образования спиртов и кислот.

Руководствуясь представлениями о последовательности образования кислородсодержащих соединений различных классов в процессе окисления углеводородов (см. схему) ^(1,2), можно было полагать, что в этом случае кетоны образуются главным образом непосредственно из гидроперекиси. Это наблюдение послужило основанием для постановки исследования, имеющего целью выяснить возможность направленного синтеза высших кетонов методом жидкофазного окисления парафиновых углеводородов.

Схема образования кислородсодержащих соединений



Для решения поставленной задачи нами было изучено влияние условий проведения реакции (температура, содержание кислорода в окисляющем газе, продолжительность окисления), а также влияние некоторых добавок на скорость окисления и состав получающихся продуктов.

Окислению подвергалась фракция синтетических парафиновых углеводородов (гидрированных), выкипающая в пределах 105 — 130° при 1 мм рт. ст. и состоящая из углеводородов с числом углеродных атомов от 16 до 18. Данная фракция имела йодное число 2,3; d_4^{20} 0,7722 и n_D^{20} 1,4366.

Используемая аппаратура и методики окисления и анализа описаны ранее ⁽³⁾. Загрузка окисляемых углеводородов составляла 60 г в каждом опыте, а расход окисляющего газа равнялся 1000 л/кг·час для азотнокислородных смесей и 200 л/кг·час при использовании кислорода.

Изучение влияния температуры (см. табл. 1) показало, что повышение температуры до 165° значительно увеличивает глубину превращения исходных углеводородов. Дальнейшее увеличение температуры до 185° практически не сказывается на глубине превращения. Наибольший выход кетонов наблюдается при температурах 120 — 140° (табл. 1). При окислении углеводородов азотнокислородной смесью, содержащей 3,5% кислорода, и кислородом сохраняются те же закономерности.

При изучении влияния концентрации кислорода в окисляющем газе было установлено, что увеличение содержания последнего с 3,5 до 21% приводит к снижению доли кетонов в продуктах реакции (см. табл. 2). Одновременно с этим возрастает и степень превращения исходных углеводородов. Наибольший выход кетонов наблюдается при низком содержании кислорода

окисляющей газовой смеси. Однако не исключена возможность нахождения условий окисления, обеспечивающих получение кетонов с высоким выходом. Так, например, снижение удельного расхода окисляющего

Таблица 1
Влияние температуры на состав продуктов окисления парафиновых углеводородов
(Окисление воздухом, продолжительность окисления 4 часа)

	Анализ оксидата					Количество образовавшихся кислородсодержащих соединений			
	перекисное число	кислотное число	эфирное число	гидро- кисильное число	карбо- нильное число	всего, ммоль г	в том числе, мол. %		
							кислоты	кетоны	спирты
0	2,0	3,4	5,4	6,4	12,5	0,59	26,8	37,6	35,6
10	—	9,9	5,0	13,0	36,7	1,24	21,4	52,6	26,0
20	—	22,0	48,2	59,0	52,8	4,02	31,3	23,5	45,2
30	—	29,2	53,6	41,7	51,0	4,10	36,1	22,2	41,7
40	—	27,3	51,5	46,5	58,5	4,21	33,5	24,9	41,6

* Расход газа — 500 л/кг·час.

а с 1000 л/кг·час до 200 л/кг·час и использовании при этом в качестве окисляющего газа кислорода позволяет получить выход кетонов около 40 мол. % на прореагировавший парафин (см. табл. 2).

Таблица 2
Влияние концентрации кислорода в окисляющем газе на состав продуктов окисления парафиновых углеводородов

Мале опата	Концент- рация кис- лорода в окисляю- щем газе, %	Анализ оксидата					Количество образовавшихся кислородсодержащих соединений			
		перекисное число	кислотное число	эфирное число	гидрокси- ное число	карбониль- ное число	всего, ммоль г	в том числе, мол. %		
								кис- лоты	кетоны	спирты

Температура 120°, продолжительность окисления 4 часа

1	3,5	4,2	4,1	0,0	5,0	13,6	0,406	18,2	60,0	21,8
2	21,0	2,0	3,5	5,4	6,4	12,5	0,593	26,8	37,6	35,6
3	100,0	—	4,4	1,1	12,0	22,8	0,740	13,4	55,0	31,6

Температура 120°, продолжительность окисления 6 часов

4	3,5	7,5	4,9	0,0	0,0	17,85	0,410	22,0	78,0	0,0
5	21,0	6,1	3,0	8,3	0,3	18,6	0,727	32,9	45,7	21,4
6	100,0	—	6,3	0,0	14,5	25,8	0,834	13,5	55,4	31,1

Влияние продолжительности окисления парафиновых углеводородов на состав оксидата изучалось при окислении азотнокислородной смесью, содержащей 3,5% кислорода, и температуре 140° (табл. 3).

Таблица 3
Влияние продолжительности окисления на состав продуктов окисления парафиновых углеводородов

Продол- житель- ность окисле- ния, час	Анализ оксидата					Количество образовавшихся кислородсодержащих соединений			
	перекисное число	кислотное число	эфирное число	гидро- кисильное число	карбо- нильное число	всего, ммоль г	в том числе, мол. %		
							кислоты	кетоны	спирты
4	10,3	5,2	8,1	20,0	35,2	1,37	17,4	46,0	36,6
6	6,3	7,0	7,0	21,3	28,2	1,25	19,9	40,2	39,9
8	3,5	9,7	15,7	24,0	33,6	1,76	24,8	34,0	41,2

Данные табл. 3 показывают, что при увеличении времени окисления возрастает глубина превращения исходных углеводов и снижается выход кетонов. В зависимости от условий реакции максимальный выход кетонов наблюдается при различной продолжительности окисления. При окислении воздухом при 140° оптимальное время окисления 3—4 часа.

При температуре 120° процесс окисления углеводов через некоторое время затормаживается по достижении некоторой предельной степени превращения, зависящей от условий проведения реакции (см. рис. 1).

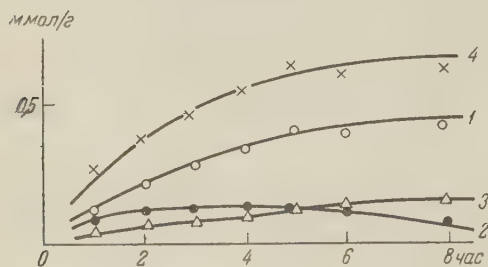
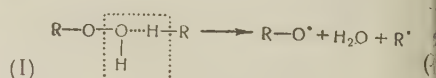
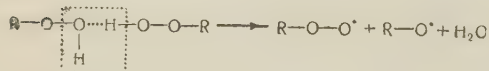


Рис. 1. Кинетика накопления кислородсодержащих соединений (окисление кислородом, темп. 120°). 1 — карбонильные соединения, 2 — гидроксильные соединения, 3 — кислоты (свободные и связанные), 4 — общее содержание кислородсодержащих соединений

Процесс окисления углеводов протекает по цепному свободнорадикальному механизму и является процессом с вырожденным разветвлением цепей. Наличие автоускорения реакции окисления углеводов при сравнительно низких температурах обуславливается распадом гидроперекиси. Скорость окисления в сильной степени зависит от скорости образования концентрации свободных радикалов в зоне реакции.

Бимолекулярный распад гидроперекиси (4) по реакциям:



приводит к разветвлению цепи. В системе с развившейся реакцией распада гидроперекиси может протекать также (1) при взаимодействии с радикалом по реакциям III.

Наблюдаемое нами затормаживание реакции окисления углеводов (при температуре 120°) является, по-видимому, следствием того, что концентрация свободных радикалов, ответственных за протекание реакции окисления, резко снижается, либо их образование вообще прекращается.

При более высоких температурах затормаживания реакции не наблюдается, окисление углеводов протекает до значительной степени превращения (35—40 мол. %). Однако в этом случае наряду с кетонами происходит накопление большого количества спиртов, сложных эфиров, кислот и других кислородсодержащих соединений (рис. 2).

Попытка увеличить выход кетонов путем введения добавок KMnO_4 и других солей металлов переменной валентности не привела к положительным результатам. Поэтому в дальнейшем наше внимание было обращено на выявление возможности воздействовать на скорость распада гидроперекиси по реакциям (I) и (II). Можно было ожидать, что в случае если эти реакции являются ответственными за разветвление, скорость окисления и предельная глубина окисления могут быть увеличены.

ведением веществ, способных образовывать (водородную связь с кислородом гидроперекиси⁵⁾). Для экспериментальной проверки высказанного предположения нами были проведены опыты с добавками монокарбоновых кислот (муравьиная, масляная, капроновая) и двухосновных жирных кислот (щавелевая, янтарная, адипиновая, себациновая), а также бромистого и хлористого водорода и сероводорода. Проведенное исследование показало, что введение односторонних и двухосновных кислот в ряде случаев увеличивает долю кетонов за счет уменьшения образования побочных продуктов (спиртов и кислот), скорость окисления при этом несколько снижается. Введение бромистого и хлористого водорода и сероводорода в зону реакции существенным образом не изменяет глубины превращения углеводородов и соотношения между основными продуктами в оксидате.

Полученные экспериментальные данные позволяют предполагать, что в изученных нами условиях образование свободных радикалов, ответственных за разветвление, происходит главным образом не по реакциям (I) и (II), а по реакции (III).

Для исследования состава карбонильных соединений, полученных при окислении парафиновых углеводородов, оксидат (кислотное число 5,4; эфирное число 1,6; гидроксильное 5,4 и карбонильное число 25,5) был подвергнут разделению, включающему следующие операции: 1) хроматографическое отделение непрореагировавших углеводородов от кислородсодержащих соединений; 2) омыление последних щелочью с целью выделения жирных кислот через их соли; 3) этерификация спиртов борной кислотой; 4) отгонка в вакууме карбонильных соединений от борноэфирных эфиров спиртов. Полученный дистиллят имел карбонильное число 201,0, кислотное и эфирное числа нуль и гидроксильное число 3,1. Выделенные карбонильные соединения представляли собой высшие алифатические кетоны.

Таким образом, в результате исследования показано, что высшие алифатические кетоны могут быть получены прямым окислением парафиновых углеводородов с выходом около 65 мол. % от превращенного углеводорода. При этом степень превращения углеводородов составляет 10 — 15 мол. %. Окисление в условиях, обеспечивающих большую степень превращения углеводородов, приводит к образованию (наряду с кетонами) значительных количеств спиртов и кислот.

Институт нефтехимического синтеза
Академии наук СССР

Поступило
16 III 1959

ЦИТИРОВАННАЯ ЛИТЕРАТУРА

¹ Н. Н. Семенов, О некоторых проблемах химической кинетики и реакционной способности, Изд. АН СССР, 1958. ² Л. С. Вартанян, З. К. Майзус, М. М. Эмануэль, ЖФХ, 30, 862 (1956). ³ А. Н. Башкиров, Хим. наука пром., 1, 273 (1956). ⁴ L. Bateman, H. Hughes, A. Morris, Disc. Farad. Soc., 14, 190 (1953); L. Bateman, Quart. Rev., 8, 147 (1954). ⁵ Н. И. Мицкевич, Т. И. Сороко, Б. В. Ерофеев, ДАН, 115, 103 (1957).

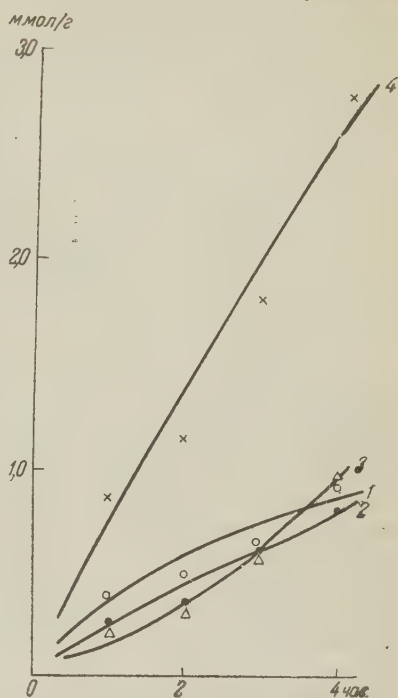


Рис. 2. Кинетика накопления кислородсодержащих соединений (окисление кислородом, темп. 140°). 1 — карбонильные соединения, 2 — гидроксильные соединения, 3 — кислоты (свободные и связанные), 4 — общее содержание кислородсодержащих соединений

С. Р. РАФИКОВ, Б. В. СУВОРОВ, Б. А. ЖУБАНОВ, М. И. ХМУРА
и М. В. ПРОКОФЬЕВА

СИНТЕЗ НИКОТИНОВОЙ КИСЛОТЫ И ЕЕ АМИДА ЧЕРЕЗ НИКОТИНОНИТРИЛ

(Представлено академиком М. М. Шемякиным 20 X 1958)

Никотиновая кислота и ее амид нашли широкое применение в качестве противопеллагрического витамина «РР» и для синтеза многих важных физиологически активных веществ (¹). Никотиновая кислота применяется также в качестве эффективного ускорителя роста хлопчатника (²).

Несмотря на большую и все возрастающую потребность в никотиновой кислоте и ее амиде, современные промышленные методы их получения основаны на окислении производных пиридина до кислоты с применением таких окислителей, как марганцовокислый калий, азотная кислота, бихромат калия (³), и дальнейшем превращении кислоты в амид (⁴). Выход никотиновой кислоты при этом колеблется в пределах 45—60% от теории, а выход амида составляет около 60% на взятую кислоту, т. е. не более 35% на исходный алкилпиридин. Попытки применить в качестве окислителя хлороформа дали ничтожные выходы (⁵).

Мы получали никотиновую кислоту и никотинамид омылением нитрида никотиновой кислоты, образующегося с высоким выходом при окислительном аммонолизе β -пиколина на ванадиевых катализаторах. На возможность парофазного каталитического аммонолиза β -пиколина с образованием никотинонитрила ранее указывалось в некоторых патентах (⁶). В данной работе была использована методика, разработанная для окислительного аммонолиза алкилбензолов (⁷).

β -Пиколин, выделенный из заводской β -пиколиновой фракции (⁸), имеет следующие показатели: т. кип. 142—143°, d_4^{20} 0,9560, n_D^{20} 1,5062.

Окислительный аммонолиз β -пиколина проводился в реакторе проточного типа. Катализатором служил гранулированный ванадат олова. В качестве окислителя использовался воздух; аммиак вводился в зону реакции в виде 20% водного раствора. Время контакта 0,2—0,6 сек., объемная скорость подачи исходного продукта 0,04—0,07 литра на литр катализатора в час.

Продукты реакции последовательно проходили через две колбы объемом по 3 литра, охлаждаемые холодной водой, два барботера с водой и через скруббер, орошаемый 5% раствором щелочи.

Никотинонитрил и непрореагировавший β -пиколин извлекались серным эфиром. Экстракт высушивался над прокаленным сернокислым натрием и разгонялся на фракции. Основная часть никотинонитрила перегонялась при 190—192°/695 мм, т. пл. 49—50°. При омылении водой под давлением с несколькими каплями водного аммиака никотинонитрил давал амид никотиновой кислоты с т. пл. 129—130° и никотиновую кислоту с т. пл. 232—234°. Выход никотинамида и никотиновой кислоты зависит от условий проведения реакции омыления никотинонитрила. Необходимо отметить, что омыление никотинонитрила протекает даже при обычном кипяче-

и с водой. Изменяя условия омыления, можно получать с количественным выходом никотиновую кислоту или ее амид.

Анализ газообразных продуктов реакции — цианистого водорода, оксиуглевода и двуокиси углерода — проводился по методике, разработанной ранее (9).

Во всех опытах из остатка реакционной жидкости путем упаривания его нейтрализации соляной кислотой до pH 3,6 выделялось дополнительно некоторое количество (4—5% от теории) никотиновой кислоты с т. пл. 233—234°. Возможно, что она образуется в системе улавливания, благодаря легкой омыляемости никотинонитрила.

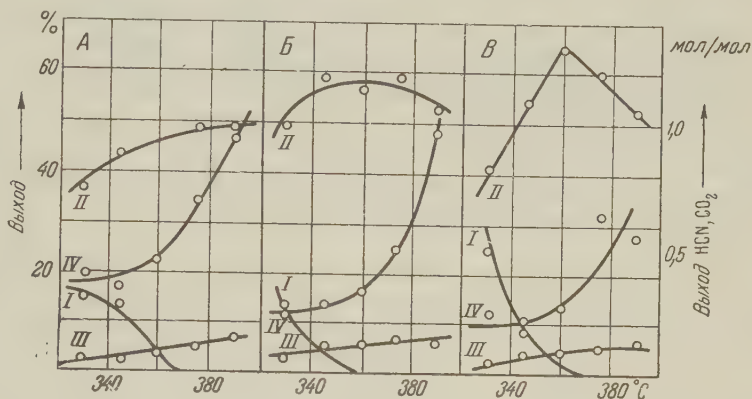


Рис. 1. Окислительный аммонолиз β -пиколина: А — 5-кратный избыток аммиака. Б — 10-кратный избыток аммиака. В — 20-кратный избыток аммиака. I — непрореагировавший β -пиколин, II — нитрил никотиновой кислоты, III — синильная кислота, IV — двуокись углерода

В результате предварительных опытов было установлено, что время контакта в исследуемом интервале температур заметного влияния на окислительный аммонолиз β -пиколина не оказывает и дальнейшие эксперименты проводились при времени контакта 0,4 сек.

Существенное влияние на выход никотинонитрила оказывает температура реакции (рис. 1). С возрастанием ее от 310 до 370° наблюдается увеличение выхода никотинонитрила. Дальнейшее повышение температуры (до 400°) приводит к снижению выхода; одновременно с этим резко возрастает образование двуокиси углерода. Следует отметить, что такое влияние температуры на каталитический окислительный аммонолиз β -пиколина характерно для всех проведенных опытов, несмотря на то, что соотношения исходных реагентов, время контакта, объемная скорость при этом варьировались в широких пределах. На основании этого можно предполагать, что при высоких температурах (>370°), наряду с реакцией окислительного аммонолиза β -пиколина, протекают также реакции глубокого окисления, приводящие к образованию двуокиси углерода.

Как видно из рис. 1, изменение количества вводимого в реакционную зону аммиака также оказывает влияние на ход окислительного аммонолиза β -пиколина. В описанной серии опытов наивысший выход никотинонитрила (65,0% от теории) и наименьшее образование двуокиси углерода наблюдаются при 20-кратном (против теории) избытке аммиака. Следовательно, избыток аммиака подавляет протекание процессов глубокого окисления.

Выход синильной кислоты незначителен и в зависимости от условий проведения опытов колеблется в пределах 0,05—0,1 моля на моль взятого β -пиколина.

Таким образом, использование реакции каталитического окислительного аммонолиза β -пиколина позволяет получить никотиновую кислоту с общим выходом более 65% или никотинамид с выходом более 60% на взятый исход-

ный продукт. Способ не требует применения дефицитных окислителей. Для синтеза никотинонитрила может быть использована обычная аппаратура применяемая при каталитическом окислении углеводов.

Институт химических наук
Академии наук КазССР

Поступило
23 X 1958

ЦИТИРОВАННАЯ ЛИТЕРАТУРА

- ¹ Гетероциклические соединения, 1, ИЛ, 1953, стр. 311. ² И. Л. Захарьян, З. И. Горбачева, Н. Л. Зглинская, Тр. Инст. бот. и зоол., в. 3, Ташкент, 1950, стр. 48. ³ А. А. Беэр, И. А. Рубцов, Синтез витаминов, М., 1956, стр. 13. ⁴ E. F. Pike, R. S. Shane, Ам. пат. 2412749; Chem. Abstr., 41, 1714 (1947). ⁵ А. С. Садыков, ДАН УзССР, 8, 30 (1953); R. W. Lewis, O. W. Brown, Ind. and Eng. Chem., 36, 890 (1944). ⁶ W. I. Denton, R. B. Bishop, Ам. пат. 2592123; Chem. Abstr., 47, 616 (1953). ⁷ С. Р. Рафиков, Б. В. Суворов, М. И. Хмура, А. С. Костромин, Авт. свид. 113518 от 11 апреля 1958 г.; авт. свид. 112361 от 3 февраля 1958 г. ⁸ F. E. Cislak, W. B. Wheeler, Ам. пат. 2272159; Chem. Abstr., 36, 3514 (1942). ⁹ Б. В. Суворов, М. И. Хмур, В. С. Кудинова, Изв. АН КазССР, сер. хим., 63 (1957).

М. Б. ТУРОВА-ПОЛЯК и Н. В. РУДЕНКО

АЛКИЛИРОВАНИЕ БЕНЗОЛА И ЕГО ЗАМЕЩЕННЫХ ИЗОПРОПИЛОВЫМ СПИРТОМ НАД АЛЮМОСИЛИКАТНЫМ КАТАЛИЗАТОРОМ ПРИ АТМОСФЕРНОМ ДАВЛЕНИИ

(Представлено академиком А. А. Баландиным 4 III 1959)

Алкилирование бензола и его производных привлекает большое внимание исследователей. Это связано со все возрастающим значением разнообразных алкилпродуктов.

Как известно, при проведении каталитических реакций в настоящее время широко используются алюмосиликатные катализаторы. Однако паразитное алкилирование при атмосферном давлении в присутствии этих катализаторов еще недостаточно исследовано.

Мы изучали алкилирование бензола, толуола, фенола, хлор-, бромбензола и нитробензола изопропиловым спиртом, в указанных выше условиях.

В результате были получены:

кумол, который является источником получения фенола и ацетона; цимол, из которого можно получить гомологи стирола (мономеры для получения синтетического каучука) ⁽²⁾; алкилфенолы, используемые в качестве моющих веществ, фенол-формальдегидных смол, исходных соединений для получения морозоустойчивых каучуков ⁽³⁾; полидозамещенные бензола, которые могут быть использованы как

алкилпродукты для различных синтезов, в частности для получения галоидированных ⁽⁴⁾ и др. Выход алкилпродуктов достигал в случае кумола 73%, цимола 79%, изопропилфенола 81%, изопропилбромбензола 69% и изопропилорбензола 63% на взятый в реакцию спирт. Алкилирование нитробензола к положительным результатам не привело.

В работе показано также, что активность катализатора сохраняется достаточно высокой на протяжении приблизительно 19 час. (рис. 1).

Основываясь на полученных данных, можно считать целесообразным применение для реакции алкилирования (в наших условиях) алюмосиликатных катализаторов, учитывая также простоту их регенерации и антикоррозионные свойства.

Изучению кинетики алкилирования в присутствии алюмосиликатных катализаторов уделяется недостаточное внимание.

Чтобы подойти к изучению этого вопроса, в настоящей работе исследовалось влияние следующих факторов на выход моноалкилпродуктов: характер функциональных групп в бензольном кольце, температуры проведения реакции, объемной скорости подачи реагирующих компонентов и молярного отношения реагентов

Полученные нами данные хорошо согласуются с теоретическими положениями, основанными на различной активности функциональных групп.

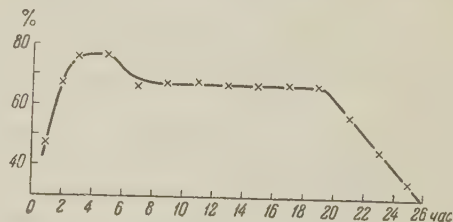


Рис. 1. Зависимость выходов изопропилфенола от времени работы катализатора (210°; 0,2 час.-1; 6:1)

Большая по сравнению с бензолом реакционная способность фенола и толуола в случае электрофильного замещения объясняется способностью ориентантов 1-го рода сильно повышать электронную плотность ядра.

Наличие в продуктах алкилирования толуола кроме *n*-цимола еще *m*-цимола противоречит данным о преимущественном ориентирующем влиянии метильной группы в *o*- и *n*-положениях. Однако при каталитическом алкилировании гомологов бензола основным продуктом реакции обы-

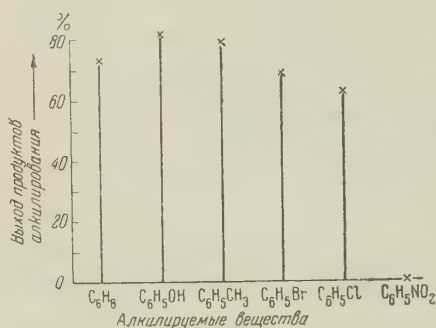


Рис. 2. Зависимость выходов продуктов алкилирования от заместителя в бензольном кольце

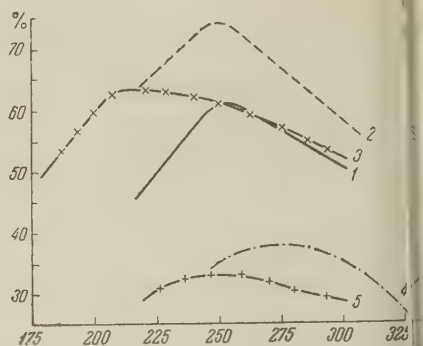


Рис. 3. Зависимость выходов продуктов алкилирования от температуры (0,2 часа): 1 — бензола, 2 — толуола, 3 — *o*-нола, 4 — бромбензола, 5 — хлор-бензола

является *m*-изомер ⁽⁵⁾. Соотношение продуктов нормальной и аномальной ориентации, по литературным данным ⁽⁶⁾, зависит от условий алкилирования. Чем выше активность катализатора, продолжительность и температура реакции, тем больше тенденция к образованию аномального *m*-продукта.

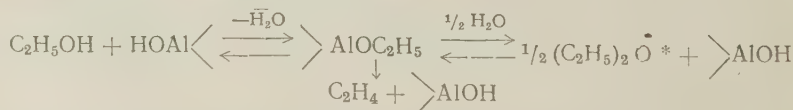
Несколько пониженные выходы изопропилбром- и изопропилхлорбензолов по сравнению с выходами кумола объясняются тем, что, как известно, распределение электронной плотности в молекуле бром- и особенно хлорбензола таково, что реакция электрофильного замещения затруднена по сравнению с бензолом.

Наличие в бензольном ядре нитрогруппы еще сильнее уменьшает электронную плотность кольца, особенно в *o*- и *n*-положениях. Этот факт хорошо согласуется с полученными нами данными (рис. 2).

Механизм каталитического алкилирования ароматических соединений спиртами окончательно не выяснен. Существует мнение, что алкилирование может происходить либо при непосредственном взаимодействии ароматических соединений со спиртами, либо олефинами или эфирами, полученными при предварительной дегидратации спиртов.

Для объяснения механизма алкилирования ароматических соединений спиртами в присутствии алюмосиликатных катализаторов необходимо иметь в виду следующее: алюмосиликатный катализатор содержит ⁽⁷⁾ тип гидроксильных групп, которые различаются своим положением. Кислотный ион водорода гидроксильной группы алюмосиликатного центра служит катализатором многих реакций, связанных с переносом протона. К таким реакциям относится и реакция алкилирования ⁽⁸⁾.

На поверхности алюмосиликата дегидратация спиртов (на примере этилового спирта) протекает по следующей схеме ⁽¹⁰⁾:

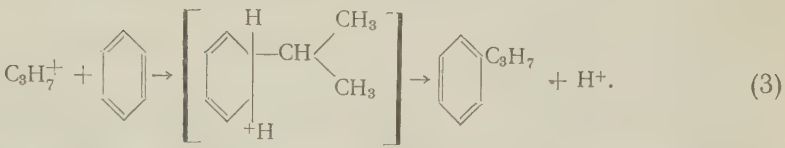
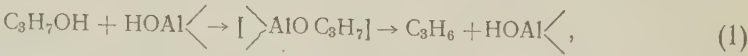


* В наших условиях диизопропиловый эфир не образуется.

по нашим наблюдениям дегидратация изопропилового спирта до пропина на поверхности алюмосиликата происходит с большой легкостью (кажущаяся энергия активации 6000 ккал/моль).

Получающийся пропилен образует с водородом гидроксильной группы алюмосиликатного центра положительно заряженный «ион карбония». Дальнейшее взаимодействие «иона карбония» с бензольным ядром приводит к образованию алкилпродуктов и регенерации протона ^(12, 14, 15).

В общем виде механизм изучаемой нами реакции может быть описан следующими уравнениями:



Алкилирование проводилось в присутствии 100 мл промышленного шамотового алюмосиликата на стандартной проточной установке. Продолжительность опыта колебалась от 1 до 3,5 час. при подаче реагирующих компонентов в интервале скоростей от 0,1 до 1,0 час.⁻¹. Температура опытов изменялась от 200 до 350°.

Оптимальные выходы кумола, толуола и изопропилхлорбензола получались при 250°, изопропилбромбензола при 275° и изопропилфенола при 210 — 230° (рис. 3). Во всех случаях объемная скорость подачи реагирующих компонентов оставляла 0,2 час.⁻¹ (рис. 4). При изучении зависимости выходов моноалкилпродуктов от молярного соотношения реагирующих компонентов было установлено, что уменьшение концентрации спирта в смесях способствует увеличению выходов моноалкилпродуктов. Особенно резко это сказывается при увеличении концентрации алкилируемого вещества от 2 до 6 молекул на молекулу спирта. В этом случае выход алкилпродуктов повышался вдвое.

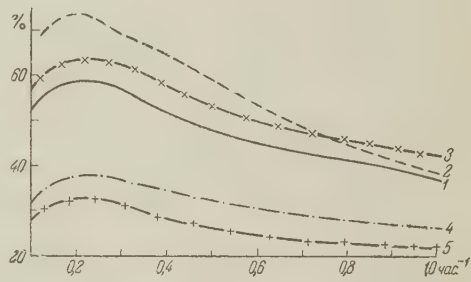


Рис. 4. Зависимость выходов продуктов алкилирования от объемной скорости (оптимальная температура; 6 : 1): 1 — бензола, 2 — толуола, 3 — фенола, 4 — бромбензола, 5 — хлорбензола

Таблица 1

Молярные соотношения реагентов	Выходы продуктов алкилирования в процентах									
	изопропилбензола		изопропилтолуола		изопропилфенола		изопропилбромбензола		изопропилхлорбензола	
	I*	II**	I	II	I	II	I	II	I	II
2 : 1	29,6	29,8	39,0	40,8	39,0	—	16,5	19,5	13,0	14,5
4 : 1	53,0	58,6	60,0	62,6	58,0	58,7	31,0	37,0	31,0	33,0
6 : 1	59,0	64,6	74,0	80,2	63,5	73,9	38,0	45,0	33,0	39,5
8 : 1	60,2	68,5	74,8	82,5	70,0	—	42,0	53,5	40,0	50,5
20 : 1	73,5	94,0	79,5	96,3	81,0	98,0	69,0	92,0	63,3	81,0

* Чистые исходные вещества.
 ** Те же вещества, но не вошедшие в реакцию в предыдущих опытах (избыточно).

При использовании смесей, в которые входили непрореагировавшие (в предыдущих опытах) избыточный бензол, толуол, галоидобензолы и спирт в количестве 20 молекул на молекулу спирта выход моноалкилпродуктов в оптимальных условиях возрастал в некоторых случаях от 73 до 94 (табл. 1). Такое повышение выходов мы объясняем присутствием в реакционной смеси незначительных количеств непредельных соединений, активирующих реакцию алкилирования⁽¹⁶⁾.

На примере алкилирования фенола было установлено, что в течение первых 5 час. работы активность катализатора достаточно высока (выход алкилфенолов 75%), затем она несколько снижается и остается постоянной еще на протяжении 15 час. (выход алкилфенолов 60—65%), после чего активность резко снижается (рис. 1). Пропусканием сильной струи сухого воздуха в течение 2—2,5 час. при 500—550° активность катализатора полностью восстанавливается.

Индивидуальные продукты алкилирования выделялись разгонкой на колонках эффективностью в 40 и 80 т. т.

Строение продуктов алкилирования подтверждалось получением пробы в водных и в некоторых случаях — спектральным анализом.

Полученный кумол обладал константами, соответствующими литературным: т. кип. 151,5—151,7°/750 мм; n_D^{20} 1,4919; d_4^{20} 0,8624; цимол т. кип. 89°/45 мм; n_D^{20} 1,4931; d_4^{20} 0,8613. Спектральным анализом было установлено, что он представляет собой смесь, состоящую приблизительно из 63% *n*-изомера и 37% *m*-изомера.

Алкилированием хлорбензола были получены *o*- и *n*-изопропилхлорбензолы со следующими константами: *o*-изомер имел т. кип. 189—190,5°/760 мм; n_D^{20} 1,5170; d_4^{20} 1,0338; *n*-изомер т. кип. 193—194,5°/760 мм; n_D^{20} 1,5131; d_4^{20} 1,0223. Из них окислением были получены *o*-хлорбензойная кислота с т. пл. 143° и *n*-хлорбензойная кислота с т. пл. 241—242°.

При алкилировании бромбензола была получена смесь *o*- и *n*-изопропилбромбензолов с т. кип. 212—212,7°/753 мм; n_D^{20} 1,5371 и d_4^{20} 1,2840. При окислении ее были выделены *o*-бромбензойная кислота с т. пл. 148,5° и *n*-бромбензойная кислота с т. пл. 256°.

Алкилированием фенола были получены *o*-изопропилфенол с т. кип. 124—124,3°/41 мм, т. пл. 15,5°; n_D^{20} 1,5282; d_4^{20} 0,9963 и *n*-изопропилфенол с т. пл. 51°. Из них были получены *o*- и *n*-изопропилфеноксиуксусные кислоты с т. пл. 131,5 и 81,5°.

Изопропилфениловый эфир в продуктах реакции не был обнаружен.

Московский государственный университет
им. М. В. Ломоносова

Поступило
4 III 1959

ЦИТИРОВАННАЯ ЛИТЕРАТУРА

- ¹ Б. Д. Кружалов, П. Г. Сергеев, Хим. наука и пром., № 3, 1, 287 (1956).
² К. Кобе, R. Romans, Ind. and Eng. Chem., 43, 8, 1755 (1951). ³ В. И. Исагулянц, Хим. пром., № 2, 20 (1958). ⁴ Ю. Г. Мамедалиев, Ш. В. Велиев, IV Международн. нефт. конгресс, Рим, 5, 1956, стр. 142. ⁵ И. П. Цукервани, Г. Вихрова, ЖОХ, 7, 632 (1937). ⁶ И. Прайс, Органические реакции, ИЛ 1951. ⁷ Б. Н. Долгов, А. С. Черкасов, ЖОХ, 24, 5, 825 (1954). ⁸ J. M. Kenna, F. Sowa, J. Am. Chem. Soc., 59, 470 (1937). ⁹ D. Erichsen, Angew. Chem., 61, 322 (1949). ¹⁰ P. Given, D. Hammick, J. Chem. Soc., 1947, 921. ¹¹ К. В. Топчиева, Уч. зап. Московск. унив., в. 174, 75 (1955). ¹² C. Price, Chem. Rev., 29, 37 (1941). ¹³ К. В. Топчиева, Юн-Пин, ЖФХ, 29, 11, 20 (1955). ¹⁴ W. Griusfelder, H. Voge, G. Good, Ind. and Eng. Chem., 4, 2573 (1949). ¹⁵ В. И. Исагулянц, В. Н. Тишкова, Тр. Всесоюз. совещ. по компл. химич. переработке нефтяных газов, Изд. АН СССР, 1956, стр. 464. ¹⁶ М. Б. Торова-Поляк, Н. В. Данилова, Н. В. Кукулина, ЖОХ, 26, 1936 (1956).

ФИЗИЧЕСКАЯ ХИМИЯ

А. М. БРОДСКИЙ, Р. А. КАЛИНЕНКО
и член-корреспондент АН СССР К. П. ЛАВРОВСКИЙ

**О СООТНОШЕНИИ КИНЕТИЧЕСКИХ ИЗОТОПНЫХ ЭФФЕКТОВ
ПРИ РАЗРЫВЕ СВЯЗЕЙ $C^{12} - C^{14}$ И $C^{14} - C^{14}$**

В настоящей работе описывается изучение кинетического изотопного эффекта при высокотемпературном крекинге смеси этана $C^{12}H_6 - C^{13}H_6$ дважды меченого C^{14} этана $C^{14}H_6 - C^{14}H_6$ и приводится сравнение соответствующим эффектом при крекинге $C^{14}H_6 - C^{12}H_6$, описанным в (1). Постановка этого исследования была связана с тем, что в работе (1), а также в ряде других работ по крекингу $C^{13}H_6 - C^{12}H_6$ (2), $C^{14}H_6 - C^{12}H_6$ (3) были определены величины изотопного эффекта, превышающие значения, полученные на основе принятых в настоящее время теоретических предположений. Согласно этим представлениям (4,5) при высоких температурах, когда относительно незначительные изотопические изменения энергии активации играют второстепенную роль, главный вклад в кинетический изотопный эффект в случае мономолекулярной реакции диссоциации вносит «кинематическое» влияние изменения массы. Это влияние определяется только величиной приведенной массы, соответствующей частоте колебания реакционной связи, причем отношение констант скоростей k и k' разрыва связей $R_1 - R_2$ и $R_1' - R_2'$ при возбуждении одного i -го колебания можно хорошей точностью приравнять*:

$$\frac{k}{k'} = \frac{k_0}{k'_0} \exp \left[\frac{-(E - E')}{RT} \right] = \sqrt{\frac{m'}{m}} \exp \left\{ \frac{1}{RT} \left[\frac{h}{2} (\nu_1^0 - \nu_1'^0) - \Delta E_i^* \right] \right\} \cong$$

$$\cong 1 + \alpha \left(1 + \frac{C}{T} \right) \geq 1 + \alpha, \quad (1)$$

де

$$\alpha = \sqrt{\frac{m'}{m}} - 1 \ll 1, \quad (2)$$

$$\Delta E_i^* = E_i^* - E_i^{*'}; \quad C = \frac{1}{R} \left(\frac{h\nu_i^0}{2} - \frac{1 + \alpha}{\alpha} \Delta E_i^* \right) \leq \frac{1}{R} \frac{h\nu_i^0}{2};$$

ν_i^0 и $\nu_i'^0$ — характеристические частоты в невозбужденном состоянии; E^* и $E^{*'}$ — энергии возбужденного (активированного) состояния, предшествующего распаду; m и m' — приведенные массы для нормальных колебаний, соответствующих разрывающейся связи. Штрихом обозначены величины, относящиеся к изотопически замещенным молекулам.

Из формулы (1) видно, что при высоких температурах основная доля кинетического изотопного эффекта, определяемого разностью $k/k' - 1$, пропорциональна α . В частности, в случае крекинга пропана относительное изменение частоты разрыва углерод-углеродной связи должно составлять не 8%, как было получено в (2,3), или 12%, как получено в (1) для этана, а лишь примерно 4% при разрыве связи $C^{12} - C^{14}$ и 2% при разрыве связи $C^{12} - C^{13}$.

* Формула (1) без труда обобщается на случай участия в реакции нескольких связей (нормальных колебаний).

Возможное объяснение ⁽¹⁾ аномально большой величины эффекта и фактического приближительного равенства в случае разрыва связей $C^{12}-C^{12}$ и $C^{12}-C^{14}$ связано, как мы считаем, с тем, что в случае молекул углеводородов, которые обладают плоскостью симметрии, перпендикулярной направлению цепочки, или соответствующей зеркальной поворотной осью симметрии ⁽⁶⁾, введение в углеродный скелет меченого углерода нарушает симметрию. Указанное обстоятельство может оказать существенное влияние на скорость распада в связи с тем, что существование дополнительной

Таблица 1*

Содержание этилена в газе крекинга в объемн. %	Активность	
	CH_4 в % от $\frac{1}{2} A$	C_2H_4 в % от A
9,3	—	97 ± 1
12,7	$94 \pm 2,5$	—
15,3	95 ± 1	$97,9 \pm 0,5$
24,9	$95 \pm 1,5$	$97,8 \pm 1$

* Содержание этилена в газе крекинга характеризует глубину превращения. Подробный состав продуктов крекинга приведен в ⁽⁷⁾.

плоскости симметрии или зеркальной поворотной оси накладывает определенные ограничения на возможность переходов из исходного в конечное или активированное состояние. В то же время волновые функции молекул $C^{12}H_3-C^{14}H_3$ не обладают определенной четностью (свойствами симметрии в указанном смысле, благодаря чему в случае такой молекулы не возникает никаких ограничений*. Подобным образом изменение изотопного состава углеводорода может привести к значительному кинетическому эффекту при переходе от «симметричных» к «несимметричным» молекулам.

В этой связи изучение кинетического изотопного эффекта при крекинге смеси этанов $C^{12}H_3-C^{12}H_3$ и $C^{14}H_3-C^{14}H_3$ может служить экспериментальной проверкой высказанных представлений, так как в данном случае введение изотопов в молекулу не нарушает симметрии. Существенно также, что ядра C^{12} и C^{14} обладают одинаковым нулевым спином. При этом согласно упрощенной формуле (1) изотопный эффект при разрыве связи $C^{12}-C^{14}$ должен быть примерно в два раза меньше, чем при разрыве связи $C^{14}-C^{14}$. В случае же представлений, развиваемых в настоящей работе, эффект может, наоборот, оказаться, вообще говоря, большим при крекинге $C^{12}H_3-C^{14}H_3$, чем при крекинге $C^{14}H_3-C^{14}H_3$.

Изучение проводилось при температуре 850° , давлении 94 ± 2 мм, по методике, описанной в ^(1,7), в реакторе с практически полным перемешиванием. Исходная смесь $C^{12}H_3-C^{12}H_3$ и $C^{14}H_3-C^{14}H_3$ обладала активностью $A = 1,1 \cdot 10^4$ имп/мин·см³ **. Полученные данные по активности метана и этилена приведены в табл. 1.

Так как относительная молярная концентрация радиоактивного этана в исходном газе была весьма малой ($\sim 10^{-4}$), отклонение активности метана A^{CH_4} от $\frac{1}{2} A$ дает непосредственно величину кинетического изотопного эффекта при разрыве C—C-связи.

Действительно, в реакторе с полным перемешиванием при не слишком больших степенях превращения ***

$$\frac{[C^{14}H_4]}{[C^{12}H_4]} = \alpha \frac{2k' [C^{14}H_3 C^{14}H_3]}{2k [C^{12}H_3 C^{12}H_3]} = \frac{1}{2} \frac{\beta k'}{k} A, \quad (3)$$

где α и β — коэффициенты пропорциональности.

* Отметим, что количественная оценка указанного эффекта симметрии требует специального рассмотрения.

** Исходная смесь практически не содержала $C^{14}H_3-C^{12}H_3$.

*** В случае крекинга $C^{14}H_3-C^{12}H_3$ имеет место та же суммарная формула (3)

$$\frac{[C^{14}H_4]}{[C^{12}H_4]} = \alpha \frac{k' [C^{14}H_3 C^{12}H_3]}{2k [C^{12}H_3 C^{12}H_3] + k' [C^{12}H_3 C^{14}H_3]} \cong \beta \frac{1}{2} \frac{k'}{k} A.$$

Отсюда

$$\frac{k'}{k} = \frac{\beta^{-1} [C^{14}H_4]}{1/2 A [C^{12}H_4]} = \frac{A^{CH_4}}{1/2 A} \quad (4)$$

Приведенные в табл. 1 экспериментальные данные показывают, что кинетический изотопный эффект по метану при образовании метана из $CH_3 - C^{14}H_3$ составляет $5 \pm 1\%$ и значительно меньше величины $12 \pm 2\%$, полученной при крекинге $C^{14}H_3 - C^{12}H_3$ в работе (1). При этом существенно отметить, что в обоих случаях измерения проводились в одинаковых условиях, по одинаковой методике. При учете того, что в естественном этане $C^{12} - C^{12}$ содержится примерно 15% примеси этана $- C^{13}$, полученная величина эффекта ($5 \pm 1\%$) хорошо согласуется с значением ($\sim 6,5\%$), определенным по формуле (1), при $C = 0$. Отметим также сравнительно большой изотопный эффект по этилену ($\sim 2\%$), превышающий соответствующую величину, получающуюся по формуле (1) при разрыва связи $C - H$ ($\sim 0,3\%$).

Полученный экспериментальный результат показывает отсутствие прямой пропорциональности между кинетическим изотопным эффектом и приведенной массой и подтверждает высказанное предположение о влиянии нарушения симметрии молекулы на скорость реакции.

Результаты опытов с $C^{14}H_3 - C^{14}H_3$ показывают

$$\frac{C}{T} \leq 0,01. \quad (5)$$

Из неравенства (5) и формулы (2) следует, что

$$\frac{v_{C-C}^0 - \frac{\Delta E^* (1 + \alpha)}{\alpha}}{v_{C-C}^0} < \frac{2 \cdot 10^{-2} RT}{h} \simeq 0,05.$$

Полученная оценка указывает, что изотопическое смещение энергий колебаний в возбужденном состоянии близко по величине к смещению в исходном состоянии. Следует специально подчеркнуть, что из полученных выше данных выясняется возможность косвенного влияния различных ядерных состояний на скорость молекулярных реакций, составляющих крекинг.

В заключение авторы считают своим приятным долгом выразить благодарность Н. Д. Соколову за дискуссии.

Институт нефтехимического синтеза
Академии наук СССР

Поступило
10 IV 1959

ЦИТИРОВАННАЯ ЛИТЕРАТУРА

¹ А. М. Бродский, Р. А. Калинин, К. П. Лавровский, ДАН, 114, № 2 (1959). ² D. P. Stevenson, C. D. Wagner et al., J. Chem. Phys., 18, 993 (1948). ³ Н. М. Frey, C. J. Danby, C. Hinshelwood, Proc. Roy. Soc., 234, № 1198, 301 (1956). ⁴ J. Bigeleisen, M. G. Mayer, J. Chem. Phys., 26, 261 (1947); J. Bigeleisen, J. Chem. Phys., 17, № 3, 344 (1949). ⁵ С. З. Ронинский, Теоретические основы изотопных методов изучения химических реакций, Изд. АН СССР, 1956; В. Н. Кондратьев, Кинетика газовых реакций, Изд. АН СССР, 1958. ⁶ Л. Ландау, Е. Лифшиц, Квантовая механика, 1948. ⁷ А. М. Бродский, Р. А. Калинин, К. П. Лавровский, В. Б. Тихонов, ДАН, 116, № 5, 789 (1957).

Ю. А. ВДОВИН, член-корреспондент АН СССР В. Г. ЛЕВИЧ и В. А. МЯМЛИН

АНОДНОЕ РАСТВОРЕНИЕ ГЕРМАНИЯ

Электрохимические свойства полупроводников мало изучены. Имеющиеся работы в основном посвящены исследованию свойств контакта германия с электролитом (¹⁻⁴). В этих работах содержатся некоторые противоречия, однако экспериментальные данные все же позволяют сделать определенные выводы относительно характера анодного растворения германия. Установлено, что при растворении электронного германия наблюдается ток насыщения, а в дырочном германии такого тока насыщения нет.

При токах, значительно меньших тока насыщения, *n*-германия, в обоих случаях наблюдается линейная зависимость потенциала от логарифма плотности анодного тока. Установлено также, что для первичной электрохимической реакции на электроде необходимы дырки. В настоящей работе принята попытка количественного рассмотрения процесса растворения.

Сформулируем основные уравнения, описывающие процесс в объеме полупроводника. Для германия *n*-типа уравнения удобно записать в безразмерной форме; они имеют вид

$$dz/dt = zy + \lambda_-;$$

$$dp/dt = -py - \frac{1}{K}(\lambda - \lambda_-);$$

$$d\lambda_-/dt = A(p - b);$$

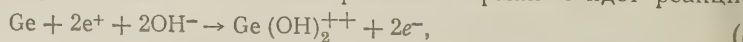
$$dy/dt = z - p - 1,$$

где введены обозначения: $t = x\chi$; $\chi = \sqrt{\frac{4\pi e^2 N_-}{\epsilon KT}}$; $y = \frac{e}{KT\chi} \frac{d\phi}{dx} = \frac{d\psi}{dt}$; $z = \frac{n}{N_-}$; $p = \frac{n_+}{N_-}$; $\lambda_- = \frac{j_-}{u_- N_- KT\chi}$; $\lambda = \frac{j_+ + j_-}{j_+} = \frac{j}{KT\chi u_- N_-}$; $K = \frac{u}{u_-}$; $b = \frac{n_i^2}{N_-^2}$; $D_+ = \frac{KT}{e} u_+$; $D_- = \frac{KT}{e} u_-$; $A = \frac{D_+}{D_- L^2 \chi^2}$. Здесь через D_- и L

обозначим коэффициенты диффузии электронов и дырок; u_- и u_+ — соответственно их подвижности; n_- и n_+ — концентрации свободных электронов и дырок; j_- и j_+ — плотности электрических токов электронов и дырок; ϕ — потенциал электрического поля; N_- — концентрация донорных уровней; $-e$ — заряд электрона; n_i — концентрация электронов в собственном полупроводнике; ϵ — диэлектрическая проницаемость германия; $n_+(\infty)$ — концентрация дырок при $x \rightarrow \infty$; L — диффузионная длина неосновных носителей. Более детально эти уравнения рассмотрены в работе (⁵). Уравнение (4) есть обычное уравнение Пуассона, причем предположено, что донорные уровни целиком ионизованы.

При решении задачи об анодном растворении германия мы предполагаем, что падением напряжения в электролите, за исключением падения в гелъмгольцевом двойном слое, можно пренебречь. Кроме того, предполагается, что изменение концентрации ионов у поверхности электрода несущественно.

Ряд авторов (^{1,6}) считают, что на поверхности германия идет реакция



т. е. в этой реакции поглощаются две дырки и освобождаются два электрона. С другой стороны, в работе Флина (⁴) допускается возможность

гой реакции, для которой требуется одна дырка и освобождаются три электрона. Мы для общности расчета будем считать, что поглощается r дырок и выделяется m электронов. В соответствии с работами ^(7,8) граничное условие пишется в виде

$$\lambda = -\lambda_0 \frac{p_k^r}{(p_k^0)^r} e^{\beta(\Delta\psi - \Delta\psi_0)}. \quad (6)$$

Здесь λ_0 — ток обмена для данной реакции; p_k и p_k^0 — концентрации дырок в контакте соответственно при токе λ и в равновесии ($\lambda = 0$); $\Delta\psi$ и $\Delta\psi_0$ — падение потенциала в гетельмгольцевом слое при токе λ и в равновесии ($\lambda = 0$). Так как в реакции требуется r дырок, концентрация p_k берется в степени r .

Электронные и дырочные токи на контакте связаны соотношением

$$\lambda_+(0)/\lambda_-(0) = r/m. \quad (7)$$

Плоскость контакта выбрана плоскость $x = 0$. Будем считать далее, что электролит расположен в области $x < 0$, а полупроводник при $x > 0$. Поэтому при анодном процессе всегда $j < 0$.

Соотношение (7) будет нарушаться, если существенна рекомбинация на поверхности полупроводника. С учетом тока рекомбинации оно переписывается в виде:

$$\frac{\lambda_+(0) - \lambda_{+рек}}{\lambda_-(0) - \lambda_{-рек}} = \frac{r}{m}; \quad (8)$$

$$-\lambda_{+рек} = +\lambda_{-рек} = c_0 (z_k p_k - b); \quad (9)$$

— константа поверхностной рекомбинации. На границе гетельмгольцевого слоя и полупроводника мы требуем также равенства индукций

$$D_{2n} = D_{1h}. \quad (10)$$

Для решения уравнений (1) — (4) необходимо сформулировать граничные условия на бесконечности. Учитывая, что $b \ll 1$ ($b \sim 10^{-4}$), эти условия можно записать в виде

$$p(\infty) = 1; \quad p(\infty) = b; \quad \lambda_-(\infty) = \lambda(1 - kb); \quad y_\infty = -\lambda[1 + b(k + 1)]. \quad (11)$$

Система уравнений (1) — (4) не может быть решена точно. Мы решили эту систему приближенно, разбивая пространство на три области. Первая область, именуемая квазинейтральной, расположена настолько далеко от контакта, что влиянием последнего можно пренебречь; в этой области изменение концентрации электронов невелико. В двух других областях существен объемный заряд, обусловленный контактом с электролитом. Будем предполагать, в соответствии с работами ^(1,6), что уже в равновесии приконтактная область n -германия обогащена дырками и, следовательно, соединена электронами. Поэтому разумно считать, что во второй области, замыкающей к квазинейтральной, выполняется соотношение $z \ll 1$; $p \ll 1$; наконец, в третьей приконтактной области $p \gg 1$; $z \ll 1$.

Полагая в квазинейтральной области $z = 1 + \alpha$, где $\alpha \ll 1$, систему уравнений (1) — (4) можно переписать в виде

$$d\alpha/dt = y + \lambda_-; \quad (1')$$

$$dp/dt = -\frac{1}{K}(\lambda - \lambda_-); \quad (2')$$

$$d\lambda_-/dt = A(p - b); \quad (3')$$

$$dy/dt = \alpha - p. \quad (4')$$

В уравнении (2') мы опустили член py , так как в этой области он всюду по порядку величины равен $b\lambda$; в то же время, как это будет видно из дальнейшего, $\frac{1}{K}(\lambda - \lambda_-)$ меняется от $b\lambda$ до значений порядка λ .

Исключая переменную t из системы (1') — (4'), можно найти концентрацию дырок p как функцию λ_+ :

$$p = b + \lambda_+ / \sqrt{AK}.$$

Изменением z и y в этой области можно пренебречь.

Вторая область достаточно узка (по сравнению с диффузионной длиной неосновных носителей), и в ней можно пренебрегать рекомбинацией. То же самое можно сказать и про третью область. В соответствии с указанным уравнения (3) и (4) во второй области будут иметь вид:

$$d\lambda_-/dt = 0; \quad dy/dt = -1.$$

Решение такой системы запишется в виде

$$p = e^{y^2/2} \left[c_1 - \frac{1}{K} (\lambda - \lambda_-) \int_0^y e^{-y^2/2} dy \right], \quad z = e^{-y^2/2} \left[c_2 - \lambda_- \int_0^y e^{y^2/2} dy \right].$$

Константы c_1 и c_2 определяются из сшивания с решениями в квазинейтральной области. При этом надо помнить, что на границе квазинейтральной области в силу уравнений (13) $\lambda_- = \lambda_-(0)$. Пренебрегая малыми членами, для констант c_1 и c_2 получаем

$$c_1 = b + \frac{1}{\sqrt{AK}} \lambda_+(0), \quad c_2 = 1.$$

В третьей области в уравнении (2) пренебрегаем членом $\frac{1}{K} \lambda_+$ по сравнению с величиной py . В уравнении (4) опускаем единицу и концентрацию электронов z по сравнению с p . Решение имеет вид:

$$z = \frac{c_3 - \lambda_- y}{y^2/2 + c_4}, \quad p = y^2/2 + c^4.$$

Константы определяем из сшивания с предыдущей областью на плоскости $p = 1$:

$$c_3 = b \left(1 + \frac{\lambda_+(0)}{b\sqrt{KA}} \right) + \lambda_-(0) \sqrt{-2 \ln \left(b + \frac{\lambda_+(0)}{\sqrt{KA}} \right)},$$

$$c_4 = -2 \ln \left(b + \frac{\lambda_+(0)}{\sqrt{KA}} \right).$$

Падение потенциала в полупроводнике и гетельмгольцевом слое Ψ равно $\Psi = \Psi_1 + \Psi_2 + \Psi_3 + \Delta\Psi$. Здесь Ψ_1, Ψ_2, Ψ_3 — падения потенциала в соответствующих областях полупроводника; $\Delta\Psi$ — падение потенциала в гетельмгольцевом слое. Из (10) следует, что $\Delta\Psi = y_k t_0$, где y_k — значение y на контакте; $t_0 = dx \varepsilon / \varepsilon_1$, где d — толщина и ε_1 — диэлектрическая постоянная гетельмгольцева слоя. Так как мы не интересуемся омическим падением потенциала, а в квазинейтральной области поле меняется слабо, величиной Ψ_1 пренебрегаем. Потенциалы равны:

$$\Psi_2 = \int y dt = \int_{y'}^{y''} y \frac{dt}{dy} dy = -\ln \left[b + \frac{\lambda_+(0)}{\sqrt{KA}} \right];$$

$$\Psi_3 = \int y dt = \int_{p_K}^1 y \frac{dt}{dp} dp = \ln p_K.$$

Найдем величину p_K , предполагая, что начальное обогащение p_K^0 при контактной области дырками достаточно велико, т. е. что $p_K \gg 1$. Проведем вольт-амперную характеристику, считая, что $y_k t_0 > 1$. При этих условиях в (6) можно пренебречь изменением предэкспоненциального мно

чителя по сравнению с изменением экспоненты. Учитывая, что $\Delta\psi = y_k t_0$, в (6) находим

$$y_k = y_k^0 + \frac{1}{\beta t_0} \ln \frac{-\lambda}{\lambda_0}. \quad (20)$$

Вольт-амперная характеристика теперь получается

$$\psi = y_k^0 t_0 + \frac{1}{\beta} \ln \frac{-\lambda}{\lambda_0} + \ln \left[\frac{1}{2} \left(y_k^0 + \frac{1}{\beta t_0} \ln \frac{-\lambda}{\lambda_0} \right)^2 \right] - \ln \left(b + \frac{\lambda_+(0)}{\sqrt{KA}} \right), \quad (21)$$

где $\lambda_+(0)$, как следует из (8), (9), (16), имеет вид

$$\lambda_+(0) = \lambda \frac{\frac{r}{m+r} + C_0 y_k}{1 + \frac{C_0}{\sqrt{KA}} + y_k C_0}. \quad (22)$$

Из формулы (21) видно, что третий и четвертые члены вплоть до токов, очень близких к току насыщения, меняются слабо. Таким образом, наблюдается логарифмическая зависимость потенциала от тока.

Ток насыщения неявно определяется уравнением

$$j_{\text{нас}} = - \frac{n_i^2 D_+ e^2 u_- \frac{\rho}{L} \left[1 + C'_0 \frac{\epsilon}{4\pi} \frac{|E_k^0|}{eD_-} + C'_0 \frac{\epsilon_1}{\beta 4\pi e d u_-} \ln \frac{|j_{\text{нас}}|}{j_0} \right] + e C'_0 n_i^2}{\frac{r}{r+m} + C'_0 \frac{\epsilon}{4\pi} \frac{|E_k^0|}{eD_-} + C'_0 \frac{\epsilon_1}{\beta 4\pi e d u_-} \ln \frac{|j_{\text{нас}}|}{j_0}}. \quad (23)$$

Здесь C'_0 — константа поверхностной рекомбинации, которая получается из уравнения (9), если переписать его в размерном виде. Если считать, что величина C'_0 хотя бы на порядок меньше, чем в системе германий — аз (9), т. е. $C'_0 = 6 \cdot 10^{-13}$ см⁴/сек, то в формуле (23) можно опустить все члены, содержащие константу C'_0 . Ток насыщения соответственно будет

$$j_{\text{нас}} = - n_i^2 D_+ e^2 u_- \frac{\rho}{L} \left(1 + \frac{m}{r} \right) \quad (\rho — удельное сопротивление). \quad (24)$$

Сравнивая формулу (24) с данными Флина (4), который считает, что в его опытах поверхностная рекомбинация незначительна, находим отношение $m/r = 3$. Это означает, что в реакции на поверхности электрода потребляется одна дырка и освобождаются три электрона. Возможно, что другие значения коэффициента усиления по току, полученные, например, в работах (2, 10), обусловлены влиянием поверхностных эффектов. Это означает, что в формуле (23) не всегда можно опускать члены, содержащие C'_0 , C'_0/E_k^0 .

При токах, значительно меньших тока насыщения, в ряде работ, например (1, 3), наблюдалась логарифмическая зависимость потенциала от тока. Экспериментальные данные находятся в согласии с результатами, даваемыми формулой (21) при условии, что $\beta = 1/2$.

Аналогичными вычислениями можно получить вольт-амперную характеристику для p -германия. Зависимость напряжения от тока опять дается формулой (21), но уже без последнего члена, приводящего к насыщению n -германии.

Институт электрохимии
Академии наук СССР

Поступило
9 IV 1959

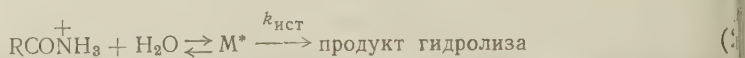
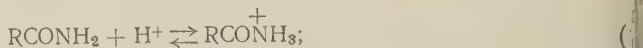
ЦИТИРОВАННАЯ ЛИТЕРАТУРА

- ¹ D. Turner, J. Electrochem., 103, 252 (1956). ² W. Brattain, G. Garrett, Bell. Syst. Techn. J., 34, 129 (1955). ³ Е. А. Ефимов, И. Г. Ерусалимский, ЖФХ, 32, 413, 1103 (1958). ⁴ J. В. Flupp, J. Electrochem., 105, 715 (1958). К. В. Толпыго, И. Г. Заславская, ЖТФ, 25, 995 (1955). ⁵ K. Woenamf, H. J. Emgell, Zs. f. Electrochem., 61, 1184 (1957). ⁶ Ю. А. Вдовин, Г. Г. Левиц, В. А. Мамлин, Некоторые вопросы теоретической физики, М., 1958. ⁷ Ю. А. Вдовин, В. А. Мамлин, В. А. Мямлин, ДАН, 124, 350 (1959). W. H. Brattain, J. Bardeen, Bell. Syst. Techn. J., 32, 1 (1953). ¹⁰ H. Geisler, F. Beck, Zs. phys. Chem., 13, 389 (1957).

М. И. ВИННИК, Н. Г. ЗАРАХАНИ, И. М. МЕДВЕЦКАЯ и Н. М. ЧИРКОВ
О РОЛИ СОЛЕОБРАЗОВАНИЯ В КИСЛОТНО-КАТАЛИТИЧЕСКИХ ПРОЦЕССАХ. КИНЕТИКА ГИДРОЛИЗА ЦИКЛОГЕКСАНОНОКСИМА

(Представлено академиком В. Н. Кондратьевым 26 II 1959)

Гидролиз амидов и оксимов ускоряется кислотами и основаниями. При кислотном гидролизе упомянутых веществ наблюдается аномальная зависимость скорости реакции от кислотности среды. Так например, константы скорости гидролиза ацетамида (1), тиацетамида (2), амида пропионовой кислоты (3) и ацетоксима (4) с увеличением концентрации кислоты-катализатора (HCl) возрастают до определенного значения, а затем падают. Для объяснения такого явления принимают (2), что при гидролизе лимитирующая стадия представляет собою бимолекулярную реакцию между протонизованной молекулой реагента и водой:



При таком механизме наблюдаемая константа скорости $k_{\text{эф}}$ будет равна:

$$(k_{\text{эф}})_{\text{бим}} = k_{\text{ист}} \frac{k_{\text{B}} a_{\text{H}^+}}{1 + k_{\text{B}} h_0} \frac{f_{\text{B}} f_{\text{H}_2\text{O}}}{f_{\text{M}^*}} = k_{\text{ист}} k_{\text{B}} \frac{C_{\text{H}_3\text{O}^+}}{1 + k_{\text{B}} h_0} \frac{f_{\text{B}} f_{\text{H}_3\text{O}^+}}{f_{\text{M}^*}} f_{\text{H}_2\text{O}}, \quad (3)$$

где h_0 — кислотность среды; f_{B} , f_{M^*} , $f_{\text{H}_3\text{O}^+}$ — коэффициенты активностей непротонизованного реагента, активированного комплекса и оксоний-иона соответственно.

Согласно изложенному выше механизму уменьшение наблюдаемой константы скорости при увеличении кислотности среды следует ожидать при значительной протонизации реагента ($k_{\text{B}} h_0 \gg 1$), где h_0 возрастает быстрее, чем концентрация гидроксоний-ионов ($C_{\text{H}_3\text{O}^+}$), если отношение коэффициентов активностей $f_{\text{B}} f_{\text{H}_3\text{O}^+} / f_{\text{M}^*}$ изменяется мало. Однако при помощи этого механизма невозможно количественно описать закономерности гидролиза амидов и оксимов в широком интервале концентрации кислоты-катализатора.

Как нам кажется, наблюдаемые зависимости константы скорости гидролиза амидов и оксимов от кислотности среды могут быть количественно объяснены, если предположить, что протонизованные формы реагентов способны связываться с анионом кислоты в недиссоциированную соль.

С целью выяснения роли солеобразования в кислотных процессах нами была изучена реакция гидролиза оксима циклогексанона при каталитическом воздействии соляной кислоты. Кинетика процесса изучалась спектрофотометрическим методом по уменьшению оптической плотности раствора циклогексаноноксима в соляной кислоте при λ 222 мμ.

Концентрация оксима в кислоте составляла $2 \cdot 10^{-4} - 1 \cdot 10^{-3}$ мол/л. При концентрациях HCl выше 0,1 моляльной процесс практически не обратим; более разбавленных растворах HCl реакция обратима. Растворы продукта реакции — циклогексанона — в HCl не поглощают при λ 222 мμ. Это позволило определить соотношение равновесных концентраций оксима циклогексанона по величинам начальной оптической плотности раствора D_0 оптической плотности при окончании процесса D_{∞} . Относительно оксима реак

я мономолекулярна. При заметной обратимости кинетические кривые описываются уравнением, учитывающим, мономолекулярность гидролиза оксима и бимолекулярность процесса образования оксима из циклогексанона и гидроксил-мина.

На рис. 1 представлена типичная кинетическая кривая (зависимость текущей оптической плотности D от времени t) и ее логарифмическая анаморфоза (зависимость $\lg \frac{D_0^2/D_\infty - D}{(D_0 - D_\infty)}$ от t), где учитывается обратимость процесса.

В табл. 1 и на рис. 2 представлены полученные экспериментальные данные, из которых видно, что при изменении концентрации HCl

константа скорости гидролиза $k_{\text{эф}}$ проходит через максимум. Для растворов HCl выше 0,05 моляльного справедливо соотношение:

Таблица 1

Константы скорости гидролиза циклогексаноноксима $k_{\text{эф}}$ и обратной реакции k_2 при различных концентрациях соляной кислоты и $T=25^\circ$

Моляльность HCl	$k_{\text{эф}}$, мин. ⁻¹	k_2 , л/моль·мин	H_0	$\lg a_{\text{HCl}}$	$\lg k_{\text{эф}} \times \frac{a_{\text{HCl}}}{h_0}$
$5 \cdot 10^{-4}$	0,125	925	3,30	-6,60	—
$9,3 \cdot 10^{-4}$	0,171	614	3,03	-6,06	—
$3,71 \cdot 10^{-3}$	0,291	246	2,43	-4,86	—
$3,65 \cdot 10^{-3}$	0,330	181	2,33	-4,66	—
$3,57 \cdot 10^{-3}$	0,330	190	2,25	-4,50	—
$3,52 \cdot 10^{-3}$	0,330	81	2,19	-4,38	—
$3,54 \cdot 10^{-3}$	0,307	—	2,10	-4,22	—
$3,64 \cdot 10^{-2}$	0,159	—	1,49	-2,81	-2,12
$3,3 \cdot 10^{-2}$	0,112	—	1,05	-2,23	-2,13
0,245	$4,57 \cdot 10^{-2}$	—	0,68	-1,43	-2,09
0,927	$1,41 \cdot 10^{-2}$	—	-0,03	-0,27	-2,15
1,940	$7,25 \cdot 10^{-3}$	—	-0,475	0,575	-2,02
4,03	$2,82 \cdot 10^{-3}$	—	-1,16	1,70	-2,01
5,43	$1,82 \cdot 10^{-3}$	—	-1,605	2,32	-2,02

Примечание. Значения a_{HCl} взяты из книги (5), а величины H_0 — из (6).

константу ионизации через $k_B = \frac{a_{\text{RNOH}} a_{\text{H}^+}}{a_{\text{RNOH}_2^+}}$ и константу солеобразования через $k_c = \frac{a_{\text{RNOH}_2^+} a_{\text{A}^-}}{a_{\text{соли}}}$, можно выразить концентрацию ионизованной формы оксима таким образом:

$$C_{\text{RNOH}_2^+} = \frac{C_0}{1 + k_B \frac{f_{\text{RNOH}_2^+}}{a_{\text{H}^+} f_{\text{RNOH}}} + a_{\text{A}^-} \frac{f_{\text{RNOH}_2^+}}{k_c f_{\text{соли}}}} = \frac{C_0}{1 + \frac{k_1}{h_0} + \frac{a_{\text{HA}}}{k_c h_0} \frac{f_{\text{RNOH}}}{f_{\text{соли}}}}, \quad (5)$$

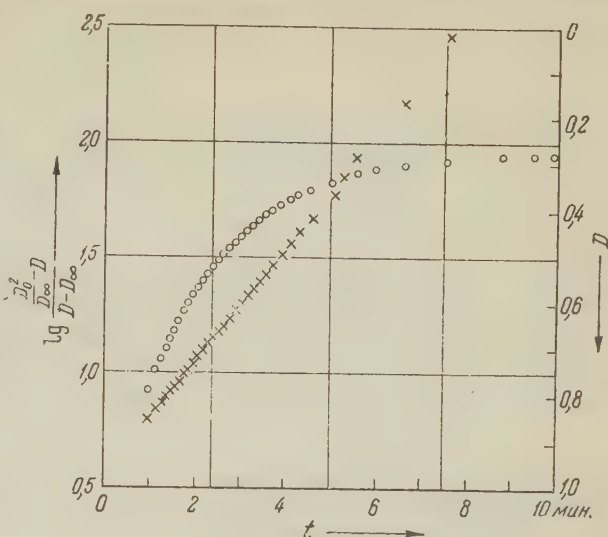
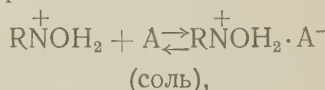


Рис. 1. Кинетическая кривая и ее логарифмическая анаморфоза гидролиза циклогексаноноксима в среде соляной кислоты

$$k_{\text{эф}} \frac{a_{\text{HA}}}{h_0} = \text{const.} \quad (4)$$

Если ионизованная форма оксима находится в равновесии с солью:



то в растворе в общем случае реагирующее вещество должно находиться в трех формах: неионизованной RNOH , ионизованной RNOH_2^+ и соли. Соотношение между концентрациями этих форм определяется кислотностью среды h_0 и активностью аниона a_{A^-} соляной кислоты. Обозначив

где $a_{\text{HA}} = a_{\text{H}^+} a_{\text{A}^-}$ — термодинамическая активность кислоты; $C_0 = C_{\text{RNOH}^+} + C_{\text{RNOH}_2} + C_{\text{соли}}$.

Соотношение коэффициентов активностей двух незаряженных частиц — оксима f_{RNOH} и соли $f_{\text{соли}}$, по-видимому, не должно изменяться концентрацией кислоты. Обозначи

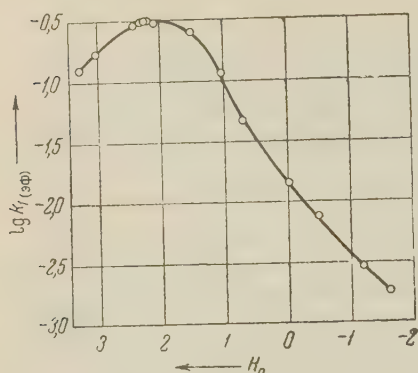
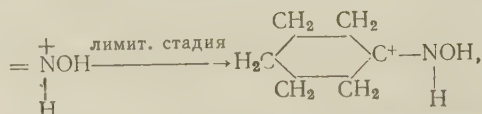
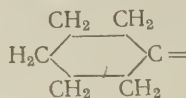


Рис. 2. Зависимость логарифма константы скорости гидролиза циклогексанон-оксима от функции кислотности среды

$\frac{k_c f_{\text{соли}}}{f_{\text{RNOH}}} = k'_c$, получим, что

$$C_{\text{BH}^+} = \frac{C_0}{1 + \frac{k_B}{h_0} \frac{a_{\text{HA}}}{k'_c h_0}}. \quad (6)$$

Для лимитирующей стадии гидролиза оксимов мыслимы два варианта мономолекулярный и бимолекулярный. Если лимитирующая стадия представляет собой мономолекулярный процесс изомеризации иона:



то для эффективной константы скорости $k_{\text{эф}}$ будет справедливо уравнение

$$k_{\text{эф}} = k_{\text{ист}} \frac{1}{1 + \frac{k_B}{h_0} + \frac{a_{\text{HA}}}{k'_c h_0}} \frac{f_{\text{BH}^+}}{f_{\text{M}^*}}. \quad (7)$$

Если лимитирующая стадия представляет собою бимолекулярную реакцию между ионом RNOH_2^+ и молекулой воды, то

$$k_{\text{эф}} = k_{\text{ист}} \frac{1}{1 + \frac{k_B}{h_0} + \frac{a_{\text{HA}}}{k'_c h_0}} \frac{a_{\text{H}_2\text{O}} f_{\text{BH}^+}}{f_{\text{M}^*}}. \quad (8)$$

При мономолекулярном механизме активированный комплекс не отличается по составу от протонизованной формы оксима, и их коэффициенты активностей должны быть одинаковыми. Приняв $f_{\text{BH}^+} = f_{\text{M}^*}$, получим

$$k_{\text{эф}} = \frac{k_{\text{ист}}}{1 + \frac{k_B}{h_0} + \frac{a_{\text{HA}}}{k'_c h_0}}. \quad (9)$$

Если $|1 + k_B/h_0 \ll a_{\text{HA}}/k'_c h_0|$, получаем зависимость:

$$k_{\text{эф}} \frac{a_{\text{HA}}}{h_0} = k_{\text{ист}} k'_c. \quad (10)$$

При бимолекулярном механизме активированный комплекс включает протонизованную молекулу оксима и молекулу воды. Так как активированный комплекс не отличается по заряду от ионизованной формы, то есть основание принять, что f_{BH^+} и f_{M^*} будут изменяться одинаковым образом при изменении кислотности среды. В таком случае при условии $|1 + k_B/h_0 \ll a_{\text{HA}}/k'_c h_0|$ должно было бы иметь место $a_{\text{HA}} k_{\text{эф}}/h_0 a_{\text{H}_2\text{O}} = k'_c k_{\text{ист}}$.

Как видно из табл. 1, экспериментальные данные хорошо укладываются в уравнение (10), где предполагается мономолекулярность лимити

щей стадии. Из уравнения (9) следует, что максимальное значение будет наблюдаться при кислотности среды h_0 , где

$$\frac{k_B}{h_0^2} - \frac{1}{k_c} \frac{da_{HA}}{dh_0} + \frac{a_{HA}}{k_c h_0^2} = 0. \quad (11)$$

Максимальное значение константы скорости гидролиза оксима наблюдается в интервале моляльностей $HCl \sim 4,6 \cdot 10^{-3} - 6,5 \cdot 10^{-3}$, где $a_{HA} = h_0^2$.

позволяет упростить уравнение (11), связывая k_B и $k'_c: k_B k'_c = (h_0)_{\max}^2$.

После подстановки значения k_B в уравнение получаем

$$(k_{эф})_{\max} = \frac{k_{ист}}{1 + 2h_0/k_c} = 0,33 \text{ мин}^{-1}. \quad (12)$$

как в данном случае максимум размыт, для расчета взято значение $(h_0)_{\max} = 5,5 \cdot 10^{-3}$.

Из уравнений $k'_c k_{ист} = 1 \cdot 10^{-2}$ и (12) были численно вычислены величины $k_{ист} = 1,9 \cdot 10^{-2}$; $k_{ист} = 0,52 \text{ мин}^{-1}$ и $k_B = 1,6 \cdot 10 (pk_B = 2,8)$.

Если гидролиз оксимов протекает по бимолекулярному механизму, то одновременно должно оправдываться соотношение $\frac{a_{H_2O} f_{RNOH}}{f_{M^*}} = \text{const}$, что, очевидно, маловероятно.

Для подтверждения гипотезы о возможности превращения протонизованной формы оксима в недиссоциированную соль были проведены опыты по гидролизу $C_6H_{10}NOH$ в растворах HCl с добавками $NaCl$ и $LiCl$. Результаты этих опытов представлены в табл. 2.

Как и следовало ожидать, добавки $NaCl$ и $LiCl$ к HCl , приводящие к увеличению активности аниона, понижают скорость гидролиза. И в данном случае справедливо соотношение $k_{эф} a_{HA}/h_0 = \text{const}$.

На основании полученных данных можно заключить, что солеобразование является вредным в кислотно-каталитических процессах, так как оно приводит к уменьшению концентрации реакционноспособной формы реагента. Лимитирующей при гидролизе оксима циклогексанона является стадия изомеризации протонизованной формы.

Таблица 2

Константы скорости гидролиза циклогексаноноксида в смесях HCl с $NaCl$ и $LiCl$

Моляльность HCl	Моляльность соли	$k_{эф}$, мин^{-1}	Активность HCl , a_{HCl}	H_0	$\lg k_{эф} \times \frac{a_{HCl}}{h_0}$
Смесь с $NaCl$					
1,0411	3,0274	$9,2 \cdot 10^{-3}$	1,89	-0,23	-1,99
1,0411	4,325	$7,24 \cdot 10^{-3}$	5,28	-0,47	-1,89
1,0411	3,089	$6,12 \cdot 10^{-3}$	8,61	-0,61	-1,89
1,0411	4,6136	$4,7 \cdot 10^{-3}$	22,61	-0,94	-1,91
0,1857	0,9943	$4,28 \cdot 10^{-3}$	0,124	0,50	-1,77
0,1888	3,0448	$2,48 \cdot 10^{-3}$	0,772	0,19	-1,53
Смесь с $LiCl$					
1,0411	2,9946	$4,44 \cdot 10^{-3}$	13,12	-0,74	-1,975

Примечание. Значения H_0 растворов HCl с $NaCl$ и $LiCl$ определены нами. В качестве индикатора применялся *o*-нитроанилин. Активности a_{HCl} в этих растворах рассчитаны по формуле Хьюккеля с использованием данных работы Хавкинса (7).

Поступило
20 II 1959

ЦИТИРОВАННАЯ ЛИТЕРАТУРА

- ¹ H. Euler, A. Olander, Zs. phys. Chem., **131**, 107 (1928); T. W. J. Taylor, Chem. Soc., **1930**, 2741. ² D. Rosental, J. Taylor, J. Am. Chem. Soc., **79**, 84 (1957). ³ B. S. Rabinovitch, C. A. Winkler, Canad. J. Res., **20**, № 5, (1942). ⁴ A. Olander, Zs. phys. Chem., **129**, 1 (1927). ⁵ Г. Н. Льюис Рендалл, Химическая термодинамика, Л., 1936. ⁶ М. И. Винник, Н. Круглов, Н. М. Чирков, ЖФХ, **30**, 827 (1956). ⁷ J. E. Hawkins, Am. Chem. Soc., **54**, 4480 (1932).

Л. А. КОЧАНОВА, И. А. АНДРЕЕВА и Е. Д. ШУКИН
О ХРУПКОМ РАЗРЫВЕ ЧИСТЫХ И ЛЕГИРОВАННЫХ
МОНОКРИСТАЛЛОВ ЦИНКА

(Представлено академиком П. А. Ребиндером 17 II 1959)

Нами были описаны (¹⁻⁴) закономерности разрушения монокристаллов чистого цинка по плоскости спайности (0001) и сформулировано условие постоянства произведения нормальных и скалывающих напряжений при хрупком разрыве:

$$\rho_c \tau_c = \text{const} = K^2; \quad K = \gamma (G\sigma/L)^{1/2}; \quad P_c = K (\sin^3 \chi_1 \cos \chi_1)^{-1/2},$$

где G — модуль сдвига, σ — удельная свободная поверхностная энергия, L — максимальная величина области локализации незавершенных сдвигов (порядка диаметра монокристалла), P_c — истинное растягивающее напряжение, χ_1 — угол между осью образца и плоскостью (0001) при разрыве. Безразмерный коэффициент γ для монокристаллов цинка при -196°C составляет около 0,4; такое же значение γ мы получаем, используя данные (^{5,6}). По-видимому, этот коэффициент сохраняет примерно то же значение и при комнатной температуре.

Таблица 1

Чистота цинка	Диаметр образцов L_0 , мм	$K = (P_c V \sin^3 \chi_1 \cos \chi_1)_{\text{средн.}}$ Г/мм ²		a_0 , %	$\frac{a_0}{a_0'}$	$\bar{f} = \frac{K'^2 L_0}{K^2 L_0}$ при -196°C
		неамальгамиров. при -196°C	амальгамиров. при 20°C			
Zn—99,999%	} 0,9 = L'_0	209 = K'	92	6—7 = a'_0	1	1
Zn—99,99%			97			
Zn+0,2% Cd	0,54	346	153	3	~0,5	0,72
Zn—техн.	0,9	263	124	2—3	~0,4	0,63
Zn+0,5% Cd	0,54	381	230	2	~0,3	0,50

Монокристаллы цинка, покрытые пленкой ртути, вследствие значительного понижения σ становятся хрупкими уже при комнатной температуре (^{1-4, 7-11}); при этом K падает более чем вдвое, что соответствует уменьшению σ примерно до 200 эрг/см².

Примеси значительно изменяют пластичность и прочность кристаллов, несомненный интерес представляет поэтому сравнение условий хрупкого разрыва монокристаллов различной чистоты. В данной работе использован чистый цинк с содержанием основного металла 99,999 и 99,99%, технический цинк и цинк, легированный кадмием. Сплавы, содержащие 0,2 и 0,5 вес. % кадмия, приготавливались из цинка чистоты 99,99%. Для точного определения концентраций кадмия применялся полярографический анализ, который показал соответственно 0,20 и 0,45 вес. % кадмия. Монокристаллы различной ориентации выращивались методом зонной кристаллизации (^{12, 13}); разрыв образцов производился на приборе Поляни при скорости растяжения 10—15 % мин⁻¹.

Обнаружено, что закономерности хрупкого разрушения монокристаллов чистоты 99,99% хорошо воспроизводятся и на монокристаллах после тщательной очистки, и на легированных кристаллах как для неамальгамированных образцов при -196° , так и для покрытых ртутью образцов при

Значения величины K для всех исследованных случаев приведены в табл. 1. В качестве примера на рис. 1 приведены данные для образцов Zn 99,999% (показавших полное совпадение результатов (далее мы объединим эти образцы общим названием чистый цинк); кривые построены в соответствии с условием $p_c \tau_c = \text{const}$, т. е. выражают функцию $K (\sin^3 \chi_1 \cos \chi_1)^{-1/2}$ для $K = 209 \text{ Г/мм}^2$ (кривая a) и $K = 95 \text{ Г/мм}^2$ (кривая b).

С переходом к амальгамированным образцам величина K падает в среднем несколько больше чем в два раза, — что отвечает примерно 4-кратному (или несколько большему) понижению σ . Полагая $G = 3 \cdot 10^{11} \text{ дн/см}^2$ и $\sigma = 10^3 \text{ эрг/см}^2$ для чистых монокристаллов цинка с диаметром 0,9 мм, разорванных в жидком потоке, находим $\gamma = 0,36$.

Из табл. 1 следует также, что с увеличением количества примесей K возрастает. Поскольку условие $p_c \tau_c = K^2$ связано с представлением о формировании незавершенных локальных сдвигов в процессе пластического течения, различия в величине K для образцов чистого и легированного цинка следует сопоставить с различиями в их деформационных кривых. На рис. 2 приведены значения скалывающих напряжений τ для образцов чистого цинка; стрелками отмечены точки, соответствующие

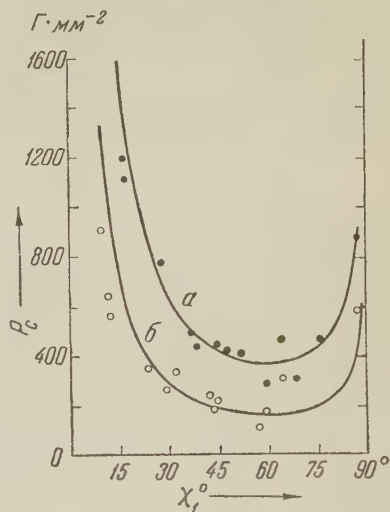


Рис. 1. Истинные значения разрывных напряжений p_c для монокристаллов чистого цинка при различных ориентировках χ_1 в момент разрыва: a — неамальгамированные образцы при -196° ; b — амальгамированные образцы при 20°

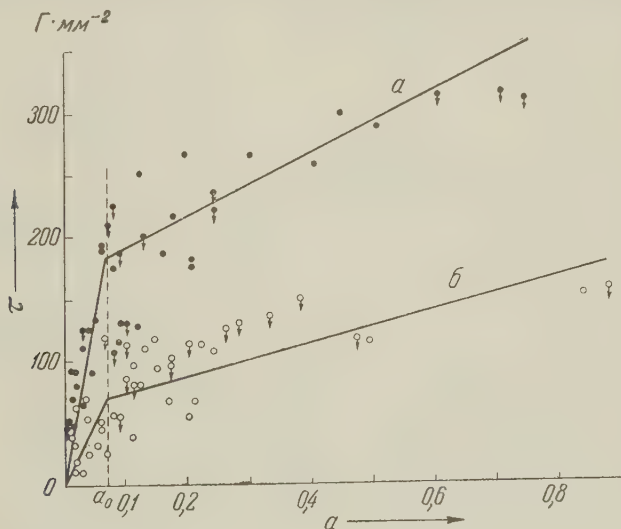


Рис. 2. Зависимость скалывающих напряжений τ от кристаллографического сдвига a для монокристаллов чистого цинка: a — неамальгамированные образцы при -196° ; b — амальгамированные образцы при 20°

моменту разрыва, т. е. те точки, которые нанесены на рис. 1* (большим предельным сдвигам a_c отвечают кристаллы с меньшим углом χ_1 , см. (1)); сплошные линии соответствуют усредненной форме кривых $\tau(a)$.

Рис. 2 показывает, что характерному излому деформационных кривых («пределу текучести») для кристаллов чистого цинка при данных условиях опытов отвечает сдвиг $a_0 \sim 0,06 - 0,07$; отмеченные стрелками точки разрыва кристаллов лежат при больших значениях a . Можно предположить, что излом кривой $\tau(a)$ обусловливается изменением в характере сдвигообразования (^{4,11}): высокий коэффициент упрочнения при $a < a_0$ связан с формированием и ростом незавершенных сдвигов (дислокационных скоплений); при этом параметр L быстро возрастает до некоторой величины порядка диаметра кристалла, тем большей, чем больше сдвиг a_0 ; после достижения определенного τ препятствия сдвигообразованию становятся преодолимыми, рост величины незавершенных сдвигов приостанавливается и величина L меняется значительно медленнее, что и обуславливает постоянство K для разрыва монокристалла в широком диапазоне ориентировок.

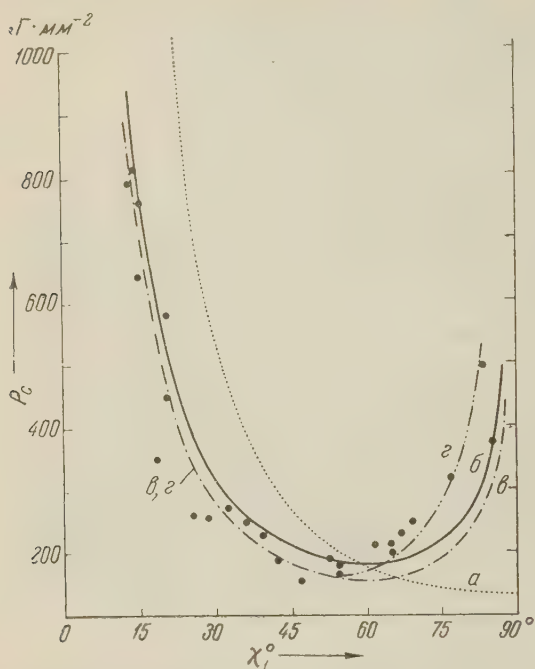


Рис. 3. Значения истинных напряжений P_c при разрыве в жидком азоте по плоскости базиса различно ориентированных монокристаллов цинка с диаметром 6 мм при одном действующем направлении скольжения по данным (⁵)

Значения сдвига a_0 для чистых и легированных образцов цинка приведены в табл. 1 (значения a_0 для амальгированных и не покрытых ртутью образцов одинаковой чистоты примерно совпадают). С увеличением степени леги-

рования (и ростом упрочнения) a_0 падает. Можно считать, что эффективное значение L , характеризующее степень неоднородности сдвигообразования, непосредственно связано с величиной a_0 ; предположим, как и ранее, что для монокристаллов чистого цинка L достигает диаметра образца L_0 ; тогда, вводя для обозначения образцов чистого цинка индекс штрих, запишем зависимость L от a_0 в виде $L = f(a_0/a_0') L_0$, причем $f(1) = 1$. Сопоставляя выражения $K' = \gamma [G\tau/L_0']^{1/2}$ и $K = \gamma [G\tau/f(a_0/a_0') L_0]^{1/2}$, имеем для величины безразмерной функции f содержащее лишь экспериментальные данные определение: $f = (K'/K)^2 L_0'/L_0$. Значения f приведены в табл. 1; зависимость f от a_0/a_0' передается функцией $f \approx (a_0/a_0')^{1/2}$, впрочем, при столь ограниченном числе приближенно оцененных экспериментальных точек названную форму зависимости нельзя считать окончательно установленной.

В свете изложенного особый интерес представляет анализ данных Деруиттера и Гриноу (рис. 3). Кривая б рис. 3 проведена нами, исходя из условия $p_c \tau_c = K^2$, причем в качестве $K = 104 \text{ Г/мм}^2$ взята средняя величина $P_c (\sin^3 \chi_1 \cos \chi_1)^{1/2}$ для всех 25 экспериментальных точек. В целом эта кривая удовлетворительно передает расположение экспериментальных точек (для сравнения проведена кривая а, отвечающая закону Зонке $p_c = \text{const}$, т. е. $P_c = \text{const}/\sin^2 \chi_1$, где в качестве $\text{const} = 135 \text{ Г/мм}^2$ взято среднее из всех экспериментальных значений $P_c \sin^2 \chi_1$); однако при $\chi_1 > 60^\circ$ экспериментальные точки лежат заметно выше кривой б. Объяснение этому отклонению можно найти, исходя из анализа данных (⁵)

и предельных сдвигов a_c , предшествовавших разрыву тех же 25 кристаллов (рис. 4); для 8 кристаллов с большими χ_1 предельные сдвиги при данных условиях опытов весьма малы — меньше величины $0,05 \sim 0,16 \sim a_0'$, — в этой области значений a_c естественно ожидать роста K с уменьшением a_c .

Кривая в рис. 3 проведена, как и кривая б, исходя из условия $p_c \tau_c = K^2$, но в качестве величины K взято $K' = 91 \text{ Г/мм}^2$, являющееся одним лишь для 17 левых точек при $\chi_1 < 60$. В конце, кривая г при $a_c > a_0'$ совпадает с кривой в (т. е. $K = K'$), тогда как при $a_c < a_0'$ $K = K'/f^{1/2}$, где в качестве f по аналогии с табл. 1 принята функция $f = (a_c/a_0')^{1/2}$; значения $a_c(\chi_1)$ взяты по усредненной кривой, приведенной на рис. 4. Кривая г рис. 3 хорошо совпадает с экспериментальными точками во всем исследованном диапазоне ориентировок.

Итак, при разрыве монокристаллов цинка плоскости спайности очень большая роль принадлежит предшествующей пластической деформации, в ходе которой неоднородности деформирования и связанные с ними концентрации напряжений подготавливают зародыши разрушения — микротрещины. Если пластическая деформация не слишком мала, то формирование неоднородностей можно считать в основном законченным, — тогда хорошо выполняется условие $p_c \tau_c = \text{const} = K^2$, причем значения K тем выше, чем меньше области локализации этих неоднородностей, т. е. чем более однородно деформирование (при легировании). Величина возрастает также, если предшествующие разрыву сдвиги очень малы (процесс формирования неоднородностей не закончен); это может иметь место при больших χ_1 .

Условие $p_c \tau_c = K^2$ справедливо как для разрыва неамальгмированных монокристаллов цинка различной чистоты при пониженных температурах, так и для разрыва амальгмированных образцов при комнатной температуре; в последнем случае благодаря большому понижению σ значения K падают вдвое или несколько больше.

Авторы глубоко признательны В. И. Лихтману за ценные советы и неизменный интерес к данной работе.

Институт физической химии
Академии наук СССР

Поступило
10 II 1959

ЦИТИРОВАННАЯ ЛИТЕРАТУРА

- ¹ В. И. Лихтман, Л. А. Кочанова, Л. С. Брюханова, ДАН, 120, 7 (1958). ² В. Н. Рожанский, Н. В. Перцов, Е. Д. Шукин, А. Ребиндер, ДАН, 116, 769 (1957). ³ Е. Д. Шукин, В. И. Лихтман, ДАН, 124, 307 (1959). ⁴ В. И. Лихтман, Е. Д. Шукин, Усп. физ. наук, 213 (1958). ⁵ A. Deryutté, G. V. Greenough, J. Inst. Metals, 84, № 9, 7 (1955—56). ⁶ Е. Шмид, В. Боас, Пластичность кристаллов, М., 1938. ⁷ П. А. Ребиндер, В. И. Лихтман, Л. А. Кочанова, ДАН, 111, 1278 (1956). ⁸ П. А. Ребиндер, Новые проблемы физико-химической механики. Докл. на пост. коллоквиуме по твердым фазам переменного состава совм. с Моск. коллоидным коллоквиумом 26 I 1956 г.; П. А. Ребиндер, Изв. АН СССР, ОХН, 11, 1284 (1957). ⁹ Е. Д. Шукин, П. А. Ребиндер, Колл. журн., 20, 645 (1958). ¹⁰ Н. В. Перцов, П. А. Ребиндер, ДАН, 123, 1068 (1958). ¹¹ Е. Д. Шукин, ДАН, 118, 1105 (1958). ¹² В. И. Лихтман, Б. М. Масленников, ДАН, 93 (1949). ¹³ В. Н. Рожанский, Н. В. Декартова, И. А. Бакеева, Изв. мат. и металлвед., 4, в. 3 (1957).

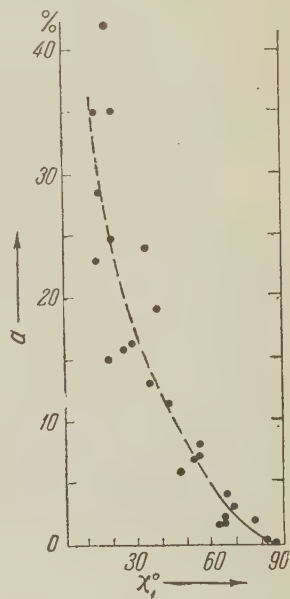


Рис. 4. Экспериментальные значения предельных деформаций до разрыва a_c для различно ориентированных монокристаллов цинка по данным (5); усредненная кривая проведена нами

ТЗА ЧЮАН-СИНЬ и З. А. ИОФА

К ВОПРОСУ О ВЛИЯНИИ АДсорбированных АНИОНОВ НА ПЕРЕНАПРЯЖЕНИЕ ВОДОРОДА

(Представлено академиком А. Н. Фрумкиным 20 III 1959)

Согласно теории замедленного разряда ⁽¹⁾ уравнение для перенапряжения выделения водорода из кислых растворов имеет вид:

$$\eta_L = \frac{RT}{\alpha F} \ln i - \frac{1-\alpha}{\alpha} \frac{RT}{F} \ln [H_3O^+] + \frac{1-\alpha}{\alpha} \psi_{10} + \text{const}, \quad (1)$$

где ψ_{10} — среднее значение потенциала на расстоянии одного ионного радиуса от поверхности электрода (потенциал «внешнего гельмгольцевского слоя»).

В работе ⁽²⁾ была сделана попытка сравнить кривые перенапряжения электрокапиллярными кривыми в тех же растворах. Было найдено, что в

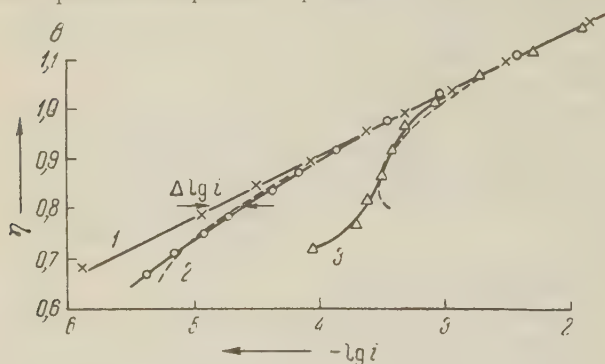


Рис. 1. Кривые перенапряжения в растворах: 1—1 N HCl + 2N KCl, 2—1 N HCl + 2 N KBr, 3—1 N HCl + + 2 N KJ

качественном согласии с указанным выше уравнением (1) галоидные анионы Cl^- , Br^- и I^- понижают перенапряжение водорода на ртути в областях малых поляризации, и примерно в той же области потенциалы они понижают пограничное натяжение на границе ртуть — раствор. Однако отклонение с прямолинейного течения η , $\lg i$ кривой и начал снижения перенапряжения наблюдались при значительно более отрицательных потенциалах, чем потенциалы начала расхождения соответствующих электрокапиллярных кривых с электрокапиллярными кривыми раствора, не содержащего поверхностноактивных анионов. Было сделано предположение, что несовпадение потенциалов десорбции этих анионов, определенных по двум методам, объясняется тем, что малая величина адсорбции, не обнаруживаемая еще по электрокапиллярным кривым, уже может вызывать заметное снижение перенапряжения.

В настоящее время, в результате усовершенствования техники измерения, мы располагаем более чувствительным методом изучения строения двойного слоя, а именно, методом измерения дифференциальной емкости. Поэтому интересно было уточнить наши сведения о влиянии адсорбции анионов на перенапряжение водорода с помощью этого метода.

На рис. 1 приведены кривые водородного перенапряжения в кислых растворах, содержащих KCl, KBr и KJ. Эти кривые были получены на капел-

м электроде при 20° по методике, описанной в работе (3). На рис. 2 приведены кривые дифференциальной емкости, полученные с теми же растворами на ртутном капельном электроде по методике (4). Так как в кислых растворах при достаточно отрицательных потенциалах начинается выделение водорода и система обнаруживает проводимость в переменном токе, то в этой области потенциалов истинное значение емкости двойного слоя вычислялось по формуле

$$C_{\text{ист}} = \frac{C_M}{1 + 4\pi^2 f^2 C_M^2 (R_M - R_p)^2},$$

где C_M и R_M — значения емкости и сопротивления, полученные непосредственно при помощи моста, в котором стандартные магазины емкости и сопротивления соединены последовательно; f — частота применяемого переменного тока и R_p — суммарное сопротивление капилляра и раствора.

Сравнение кривых перенапряжения и емкости показывает, что дифференциальная емкость более чувствительна к адсорбции анионов, чем пограничное натяжение и чем величина перенапряжения. Расхождение кривых дифференциальной емкости делается заметным при более отрицательных потенциалах, чем расхождение кривых перенапряжения. Как будет показано ниже,

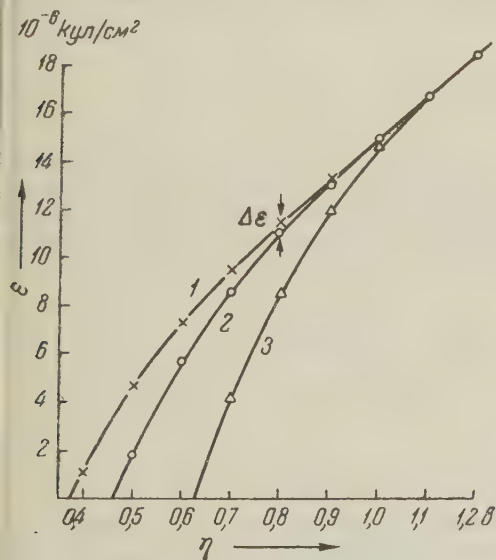


Рис. 3. Зависимость плотности заряда ϵ от потенциала в тех же растворах

расхождение в обратном порядке, начиная с $\eta = 1,2$ в. Зависимость ϵ от потенциала приведена на рис. 3.

Между ходом кривых ϵ , η и η , $\lg i$ имеется удовлетворительное согласие. В тех областях потенциалов, в которых кривые ϵ , η практически

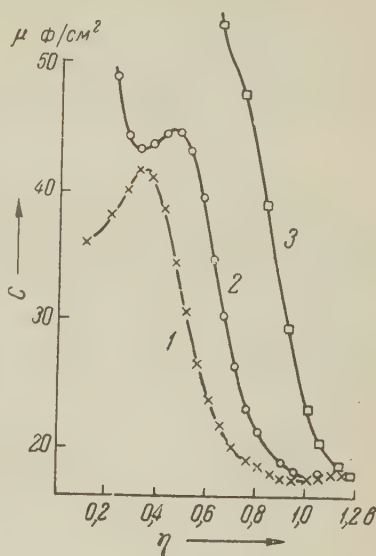


Рис. 2. Кривые дифференциальной емкости в тех же растворах (см. рис. 1), частота 5000 гц

для выяснения влияния структуры двойного слоя на кинетику электрохимических процессов целесообразно использовать не величину пограничного натяжения или дифференциальной емкости, а величину плотности заряда ϵ .

Для вычисления ϵ мы пользовались сначала значениями $\Phi_{\epsilon=0}$, найденными из электрокапиллярных кривых этих же растворов. Но полученные таким путем величины ϵ для трех растворов отличались друг от друга примерно на 1—2% при $\eta = 1,2$ в, где кривые емкости сходятся. Такое расхождение вызвано неточностью определения $\Phi_{\epsilon=0}$ методом электрокапиллярных кривых, поэтому мы взяли среднее значение ϵ при $\eta = 1,2$ в в качестве постоянной интегрирования для всех трех растворов и произвели интегрирование

прямолинейны, кривые η , $\lg i$ тоже прямолинейны. В растворе KCl при молипейный ход сохраняется в исследованном интервале потенциалов. Потенциалы, при которых начинается отклонение от прямолинейного хода в растворах KBr и KJ, в обоих случаях одинаковы ($-0,95$ в для KBr и $-1,05$ в для KJ).

В области потенциалов, в которой адсорбция анионов еще не очень велика, было найдено эмпирическое отношение:

$$\left(\frac{\Delta \lg i}{\Delta \varepsilon}\right)_{\eta} \approx 0,5, \quad (1)$$

где $\Delta \lg i$ и $\Delta \varepsilon$ — отклонение $\lg i$ и ε от соответствующих величин, определенных в растворе KCl при том же потенциале, ε выражено в $\mu\text{кул/см}^2$ (см. рис. 1 и 3). На рис. 1 рядом с опытными кривыми (сплошные кривые) приведены значения $\lg i$, вычисленные из соотношения $\Delta \lg i = 0,5 \Delta \varepsilon$ (пунктирные кривые). Как видно, вычисленные кривые удовлетворительно совпадают с опытными, пока $\eta < 0,70$ в в случае KBr и $\eta < 0,85$ в в случае KJ.

Соотношение (2) нетрудно вывести из уравнения (1) и элементарных представлений о строении двойного слоя.

Из уравнения (1) мы получаем:

$$\left(\frac{\partial \lg i}{\partial \psi_{10}}\right)_{\eta} = - \frac{(1 - \alpha) F}{2,3 RT}. \quad (2)$$

Пока адсорбция анионов мала, мы можем без серьезной ошибки считать, что электрическое поле в плотной части двойного слоя определяется только величиной ε на поверхности электрода, и получаем:

$$\varepsilon = C_r (\varphi - \psi_{10}), \quad (4)$$

где C_r — емкость внешнего гельмгольцевского слоя в отсутствие адсорбции анионов. Из (4) следует:

$$\left(\frac{\partial \psi_{10}}{\partial \varepsilon}\right)_{\eta} = - \frac{1}{C_r}. \quad (5)$$

Так как емкость при отсутствии адсорбции анионов в рассматриваемом интервале потенциалов мало изменяется с потенциалом, то величину C_r можно отождествить с дифференциальной емкостью внешнего гельмгольцевского слоя. Последняя в растворах указанной концентрации почти не отличается от емкости двойного слоя, в целом. Из (3) и (5) следует:

$$\left(\frac{\partial \lg i}{\partial \varepsilon}\right)_{\eta} = \left(\frac{\partial \lg i}{\partial \psi_{10}}\right)_{\eta} \left(\frac{\partial \psi_{10}}{\partial \varepsilon}\right)_{\eta} = \frac{(1 - \alpha) F}{2,3 RT C_r}. \quad (6)$$

Подставляя в (5) $C_r = 18 \mu\text{ф/см}^2$ и $\alpha = 0,5$, получаем:

$$\left(\frac{\partial \lg i}{\partial \varepsilon}\right)_{\eta} \approx 0,5. \quad (7)$$

Когда адсорбция анионов становится более сильной, ψ_{10} определяется не только величиной ε на поверхности электрода, но и зарядом адсорбированных анионов, уравнение (3) становится поэтому неправильным. Однако, по последним данным Грэма (5), в случае KJ, когда $|\varepsilon| > 10 \mu\text{кул/см}^2$ ($\eta > 0,85$ в), адсорбированные анионы лежат еще далеко от поверхности электрода, и наше допущение, по-видимому, еще справедливо в качестве первого приближения.

Из сказанного выше видно, что влияние адсорбции галоидных анионов на перенапряжение водорода можно количественно связать с измене-

и ем заряда поверхности ϵ . Поэтому результаты измерений перенапряжения следует сопоставлять со значениями ϵ , а не с пограничным натяжением или дифференциальной емкостью. Пограничное натяжение — результат интегрирования плотности заряда ($\sigma = \int \epsilon d\varphi$), недостаточно чувствительно к малому изменению структуры двойного слоя. Дифференциальная же емкость, представляющая собой производную величины ϵ , слишком чувствительна к небольшим изменениям структуры, которое еще не скачивается на поляризационной кривой.

В этих же растворах были сняты кривые η , $\lg i$ на большом стационарном ртутном катоде. Отсутствие петли гистерезиса на кривых при прямом и обратном ходе поляризации в области малых поляризаций свидетельствует о том, что адсорбция ионов J^- протекает быстро. Гистерезисная петля, обнаруженная в работе ⁽²⁾, была, возможно, вызвана примесью йода или ионов ртути в растворе.

Выражаем благодарность акад. А. Н. Фрумкину за внимание и советы, оказанные при проведении и обсуждении данной работы.

Московский государственный университет
им. М. В. Ломоносова

Поступило
12 III 1959

ЦИТИРОВАННАЯ ЛИТЕРАТУРА

- ¹ А. Фрумкин, Zs. phys. Chem., A164, 121 (1933). ² З. Иофа, Б. Кабаков, Е. Кучинский, Ф. Чистяков, ЖФХ, 13, 1105 (1939). ³ З. А. Иофа, А. И. Колычев, ЖФХ, 14, 58 (1940); Тза Чюан-синь, З. А. Иофа, ДАН, 125, № 5 (1959). ⁴ D. C. Grahame, J. Am. Chem. Soc., 68, 301 (1946); 71, 2975 (1949). В. И. Мелик-Гайказян, ЖФХ, 26, 560 (1952). Б. Б. Дамаскин, ЖФХ, 32, 2199 (1958). ⁵ D. C. Grahame, J. Am. Chem. Soc., 80, 4201 (1958).

И. Н. КРЫЛОВ

О СТРОМАТОЛИТАХ УРАЛЬСКОГО РИФЕЯ

(Представлено академиком Н. С. Шатским 16 I 1959)

В последние годы появился ряд работ советских и иностранных геологов о стратиграфическом значении строматолитов. В серии Бельт (США) по характеру строматолитов выделяется 8 зон (¹⁴), в Конго строматолиты используются для выделения маркирующих горизонтов в докембрийских отложениях (⁹), имеются работы о распространении строматолитов в докембрии и нижнем палеозое Сибири с учетом новейших стратиграфических данных (^{1, 4, 6, 8}). Из анализа этих работ можно сделать вывод, что строматолиты могут быть с успехом использованы как руководящие формы по крайней мере при региональных стратиграфических работах. Кроме того, сходство многих форм из разновозрастных отложений позволяет надеяться, что после дальнейшего изучения строматолиты можно будет использовать и для более широких сопоставлений.

Уральские строматолиты были описаны в 1939 г. В. П. Масловым, который сделал попытку определить с их помощью возраст древних немых свит Южного Урала. Несмотря на то, что в его руках были лишь разрозненные образцы, собранные в разное время различными геологами, В. П. Маслову удалось убедительно показать, что комплексы строматолитов из разных горизонтов отличаются один от другого и что уральские строматолиты очень похожи на строматолиты докембрия и кембрия Сибири и Китая.

В 1956—1957 гг. нами были собраны строматолиты из основных разрезов уральского рифея. Нижняя, бурзянская, серия была просмотрена по рр. Ай и Сатка и в Бакале; средняя, юрматинская, серия — по р. М. Инзер и у пос. Авзян, и верхняя, каратавская, серия — у пос. Кага, Тирлян и Инзер. Особое внимание уделялось проверке стратиграфического положения горизонтов, содержащих строматолиты, так что правильность привязки собранных образцов к той или иной свите сомнений не вызывает.

К сожалению, известняки и доломиты, слагающие строматолиты, сильно перекристаллизованы, и клеточных микроструктур обнаружить не удалось. Поэтому изучалась только форма строматолитовых образований.

Стратиграфия рифейских отложений общеизвестна (^{2, 3, 5}). Выделяются четыре серии — бурзянская, юрматинская, каратавская и ашинская, представляющие собой отложения крупных седиментационных циклов. Строматолиты приурочены к карбонатным горизонтам в верхней части первых трех серий.

Б у р з я н с к а я с е р и я. В саткинской свите строматолиты были встречены в районе пос. Куваши и у г. Куса. Слои, слагающие строматолит, куполовидно изгибаясь, образуют нечеткие столбики толщиной в 5—6 см и высотой 30—50 см. Каждый слой, покрывающий столбик, опускается в межстолбиковую ложбинку и, не прерываясь, поднимается вверх, покрывая следующий столбик. Боковые стенки столбиков отсутствуют. В поперечном сечении столбики имеют овальную форму (см. рис. 1 а).

В бакальской свите, в пределах площади Бакальских рудников, имеются три горизонта, охарактеризованные строматолитами. В нижнебакальском

горизонте (г. Иркутскан) в глинистых сланцах заключены крупные караподообразные тела — биогермы диаметром от 1—2 до 5—7 м и высотой до 1 м. Они сложены тесно прилегающими один к другому строматолитовыми столбиками толщиной от 5—7 до 20—25 см и высотой от 10—15 см до 1,2 м. Столбики сложены налегающими друг над другом куполовидно изогнутыми слоями-пластинами с соотношением высоты купола к его диа-

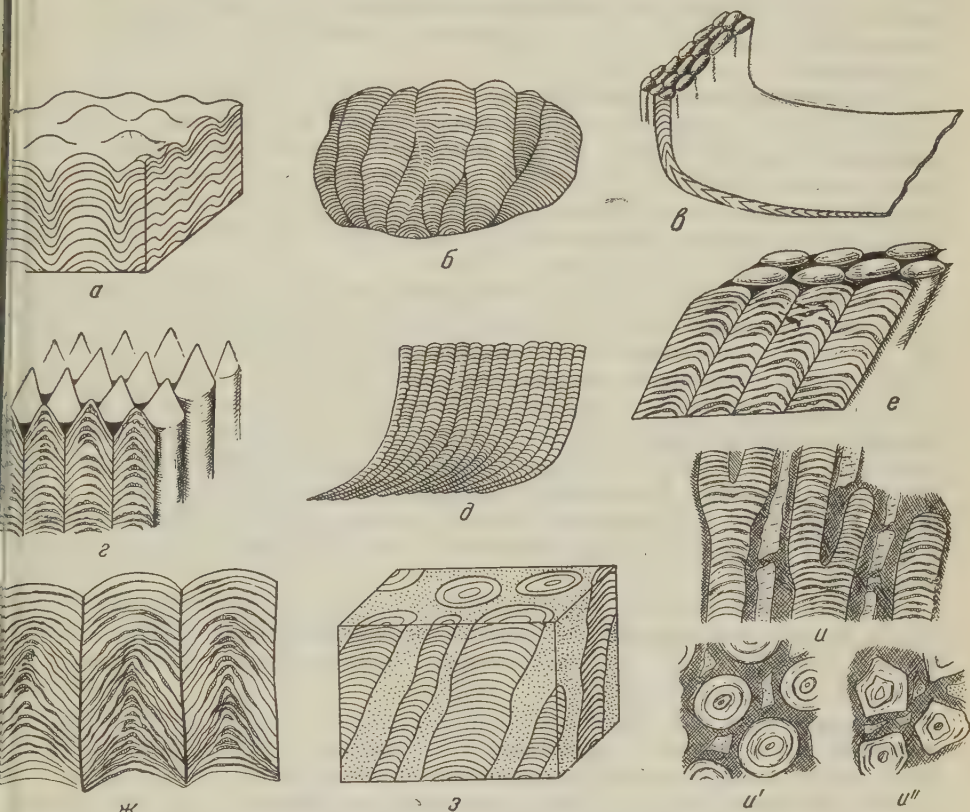


рис. 1. Основные типы строматолитов Южного Урала. а — слоистые строматолиты саткинской свиты, б — крупные столбчатые формы из нижних горизонтов бакальской свиты, в — плоские образования из основания конофитоновых биогермов, бакальская свита, г — основание конофитоновых столбчатых форм (бакальская свита), д — строматолиты верхних горизонтов бакальской свиты, е, ж, з — строматолиты авзянской свиты, и, и', и'' — ветвящиеся коллени миньярской свиты

метру (степень выпуклости слоев) от 1 : 3 до 1 : 2. Боковые стенки слабо выражены или отсутствуют, поперечное сечение округлое. По внешнему облику эти строматолиты близки к формам *Collenia undosa* Walc., *Collenia asymmetrica* Walc. (рис. 1 б).

В среднебакальском горизонте (г. Иркутскан, г. Березовая, месторождение им. ОГПУ) встречаются сложно построенные строматолитовые биогермы диаметром от 10—15 до 100—120 м и высотой от 1—2 до 20—25 м. Они имеют в плане овальную форму, а в вертикальном сечении напоминают горизонтально лежащую, слегка сплюснутую каплю. Основание такого биогерма сложено плоскими, напоминающими лепешки, строматолитовыми образованиями, наложенными одно над другим. Длина их достигает 1,5 м, толщина 10—15 см (рис. 1 в). На них нарастают столбчатые строматолиты, слагающие основную часть биогерма. В нижней части столбики имеют толщину от 5 — 6 до 10 — 12 см и сложены выпуклыми пластинами-слоями, причем степень выпуклости непрерывно увеличивается вверх по столбику. На высоте от 25 до 50 см над основанием столбика купо-

ловидно изогнутые пластины сменяются коническими. Острия конусов все направлены вверх. Увеличивается и толщина столбиков — до 30—35 см. Поперечное сечение круглое или овальное. Столбики отделяются один от другого глинистыми примазками. Высота столбиков колеблется от 1 до 7—8 м. Они тесно прижаты один к другому и в обнажениях похожи на частоклы (рис. 1 з). В самой верхней части биогермов степень выпуклости слоев снова уменьшается, конически изогнутые пластины сменяются куполовидными, и каждый столбик оканчивается плоской или слабо выпуклой «крышкой».

Эти строматолиты в нижней части могут быть определены как *Colletia frequens* Walc., в верхней — *Conophyton cylindricus* Masl., но переход этих форм одна в другую совершенно постепенный и может быть прослежен в пределах каждого столбика. И плоские строматолитовые образования, и столбчатые формы являются стадиями развития единого строматолитового биогерма. Следует отметить сходство в строении этих биогермов и строматолитовых биогермов из серии Бельт США (10).

В сланцах верхнебакальского и буландихинского горизонтов встречаются линзы и невыдержанные прослои строматолитовых известняков длиной до 10—15 м и толщиной 3—4 м. Они сложены тесно прижатыми одними к другому столбиками, имеющими вид изогнутых, расширяющихся кверху рожков толщиной от 1—2 см в основании до 10—12 см в верхней части. Столбики сложены куполовидно изогнутыми пластинами со степенью выпуклости от 1 : 3 до 1 : 2. Поперечное сечение столбиков овальное, боковая стенка нечеткая. Угол наклона столбика к поверхности пласта у основания равен 30—40°, в верхней части 75—80°. Эти строматолиты близки к формам *Collenia columnaris* Fenton a. Fenton из серии Бельт Америки (рис. 1 д).

Ю р м а т и н с к а я с е р и я. В нижних горизонтах авзянской свиты (р. М. Инзер) встречаются строматолиты со столбиками толщиной 15—20 см и высотой до 2—3 м. Они сложены асимметрично куполовидно изогнутыми пластинами со степенью выпуклости от 1 : 2 до 1 : 3. Поперечное сечение овальное. Столбики отделяются один от другого глинистыми примазками. Угол наклона столбиков к основанию пласта равен 75—80°. Эти строматолиты несколько напоминают *Collenia frequens* Walc. (рис. 1 е). Тут же встречены строматолиты с толщиной столбиков 10—15 см и высотой от 30—50 см до 1 м. Они сложены неровными узловатыми пластинами слоями с резко меняющейся в пределах каждого столбика степенью выпуклости слоев — от 1 : 2 до 1 : 1 и более. Поперечное сечение столбиков овальное, боковая стенка нечеткая. Эти образования напоминают конофитоны, но имеют несколько своеобразный, отличный от бакальских форм облик (рис. 1 ж).

Кроме них, в авзянской свите (р. М. Инзер, пос. Авзян) встречены строматолиты со столбиками толщиной от 5—6 до 20 см и высотой до 50 см. Они сложены куполовидно изогнутыми слоями со степенью выпуклости от 1 : 2 (в узких столбиках) до 1 : 4 (в широких столбиках). Поперечное сечение столбиков круглое, боковая стенка отчетливая. Столбики разделяются промежутками в 1—2 см, выполненными неслоистой вмещающей породой. Столбики наклонены к поверхности пласта под углом от 30 до 70—80° (рис. 1 з).

К а р а т а в с к а я с е р и я. Миньярская свита (пос. Инзер, Кага, Тирлян) содержит строматолиты со столбиками толщиной 5—6 см и высотой от 20—30 до 50—60 см, сложенными куполовидно изогнутыми слоями со степенью выпуклости 1 : 2 — 1 : 3. Характерным признаком этих строматолитов является их ветвление: столбик увеличивается по толщине и разделяется на два самостоятельных столбика. Выделяются две разновидности этих строматолитов. Первые (Инзер, Кага) имеют столбики с округлым сечением и тонкой, не очень резко выраженной боковой стенкой; столбики разделяются промежутками, шириной 1—2 см, выполненными неслоистой

карбонатной породой (рис. 1 и). Столбики строматолитов второй разновидности (Тирлян) имеют многогранное, обычно пятиугольное поперечное сечение и отчетливо выраженную боковую стенку; они разделены промежутками шириной до 3—5 см, выполненными неслоистой карбонатной породой (рис. 1 и). Эти строматолиты можно определить как *Collenia buriatica* Masl. Они очень похожи на *Gymnosolen ramsayi* Gteim. с п.-о. Канин, но отличаются значительно большими размерами.

Таким образом, каждая из трех серий уральского рифея характеризуется своим определенным комплексом строматолитов. Для бурзянской серии характерны крупные примитивные коллени со столбиками, лишенными боковых стенок, и конофитоны типа *Conophyton cylindricus* Masl. В юрматинской серии наряду со своеобразными формами конофитонов появляются коллени со столбиками, достаточно четко отделяющимися от вмещающей породы. Каратавская серия характеризуется ветвящимися столбчатыми строматолитами.

Подобное распределение строматолитов по разрезу рифейских отложений отмечается и в других регионах. Конофитоны широко распространены в нижних горизонтах позднего докембрия в Сибири (⁴), Китае (¹¹), Африке (¹², ¹³). В верхних горизонтах рифейских отложений отмечается развитие ветвящихся коллени с четко обособленными столбиками, описываемых различными авторами как *Collenia buriatica* Masl. (², ⁸), *Gymnosolen* (¹⁵), *Collenia chihsien* Kao (¹¹). Имеющиеся у нас образцы строматолитов с Тимана (сборы Е. Раабен) и с Кильдина (сборы Б. М. Келлера) из верхних горизонтов докембрия представлены формами с четко обособленными стенками столбиков и могут сопоставляться со строматолитами каратавской серии Урала.

Все сказанное позволяет сделать вывод, что строматолиты имеют стратиграфическое значение для рифейских отложений восточной и северной окраины Русской платформы и заслуживают самого тщательного и детального изучения.

Геологический институт
Академии наук СССР

Поступило
10 I 1959

ЦИТИРОВАННАЯ ЛИТЕРАТУРА

- ¹ А. Г. Вологдин, Тр. Междуведомств. сов. по разраб. унифицир. схем Сибири, Изд. АН СССР, 1958. ² В. И. Драгунов, там же. ³ И. К. Королюк, там же. ⁴ К. В. Радугин, там же. ⁵ М. И. Гарань, О возрасте и условиях образования древних свит Западного склона Ю. Урала, М.—Л., 1946. ⁶ О. П. Голынова, Э. А. Фалькова, Тр. БашГУ, 9, 1940. ⁷ Б. М. Келлер, Тр. Геол. инст. АН СССР, 109, 1952. ⁸ В. П. Маслов, Проблемы палеонтологии, 5, 1939. ⁹ L. Cahen, Bull. Géol. Soc. Belg., 55, № 6 (1946). ¹⁰ C. L. Fenton, A. Fenton, Bull. Géol. Soc. Am., 44, № 6 (1933). ¹¹ C. S. Kao, Bull. Géol. Soc. China, 13, № 2 (1934). ¹² N. Menchikoff, Bull. Géol. Soc. France, 16, № 5 (1946). ¹³ E. Polinard, Bull. Géol. Soc. Belg., 71, № 5—7 (1948). ¹⁴ R. Rezak, Geol. surv. prof. paper, № 294-D (1957). ¹⁵ Steinmann, Bull. Géogr. Soc. Finn. (1911).

Б. Г. ЛУТЦ

СТРАТИГРАФИЯ И ТЕКТНИКА ЮЖНОЙ ЧАСТИ АНАБАРСКОГО МАССИВА

(Представлено академиком А. Л. Яншиным 9 II 1959)

В статье изложены результаты двухгодичных исследований автора по составлению геологического разреза (с детальностью, отвечающей масштабу 1 : 100000) через Анабарский массив*. Полученные в результате пересечения результаты существенно дополняют имевшиеся раньше (1) представления о первичном составе пород массива и его тектонике.

Изучавшийся массив представляет собой архейский супракрустальный комплекс, претерпевший сильнейший региональный метаморфизм и ультраметаморфизм. Преобладающая масса его пород имеет характерные черты парагнейсовых комплексов, о чем говорит хорошо выраженная слоистость различных гнейсов и плагигнейсов, согласное переслаивание их с кварцитами, мраморами и кальцифирами. Удалось установить, что основные кристаллические сланцы и амфиболиты — все или большая часть — являются основными ортопородами, продуктами архейского вулканизма.

При стратифицировании и расчленении пород Анабарского массива необходимо четко и принципиально различать литологические комплексы с одной стороны, и метаморфические фации — с другой. Метаморфические фации не совпадают с литологическими комплексами и часто даже секуют последние. Полевые наблюдения показывают, что нередко одни и те же кварциты или мраморы встречаются среди пород как гранулитовой фации метаморфизма, так и амфиболитовой.

Сравнительнолитологический анализ позволил выделить первичные и метаморфические комплексы Анабарского массива, установить закономерности в их распределении и в последовательной смене друг друга. Опорными породами при этом были бластоциты несомненно первично-осадочного происхождения: кварциты, кальцифиры, силлиманитовые и кордиеритовые гнейсы. В настоящее время устанавливается следующий литологический формационный ряд пород Анабарского массива.

Вулканогенная формация, аналогом которой в более молодых геосинклиналях являются спилитовая и спилит-кератофитовая, наблюдается в центральной части массива. Для нее характерно широкое развитие мезо- и меланократовых основных кристаллических сланцев, присутствие ультрабазитов и, в единичных случаях, линзочки мраморов. Интересно, что как в меланократовых основных кристаллических сланцах, так и в лейкократовых кварцсодержащих разностях этой формации плаггиокласт один и тот же (№№ 34—40), что косвенно подтверждает генетическую общность пород этой серии. В ее породах слоистости, особенно же тонкой, не наблюдается, и лишь на аэрофотоснимках видна грубая перемежаемость мелано- и мезократовых разностей. В своем развитии эта формация знаменует начальный этап формирования геосинклинали с мощными подводными

* Работы проводились в составе Анабарских отрядов Якутской комплексной экспедиции Якутского филиала Академии наук СССР. В работе помимо автора принимал участие Ю. К. Митюннин, материалы которого частично использованы.

вливаниями основной магмы и подчиненным накоплением псаммито-известкового материала.

Выше по разрезу выделяется терригенная песчано-глинистая формация. Характерной особенностью ее является наличие многочисленных линз кварцитов и силлиманитсодержащих гнейсов и анцев. Остальные породы представлены слоистыми и тонкослоистыми биотит-амфиболовыми, гранатовыми и пироксеновыми плагиогнейсами с редкими пластовыми залежами, дайками и жилами основных ортопород, иногда ультрабазитов.

Наконец, самая верхняя, карбонатно-флишoidная формация наблюдается на западной и восточной окраинах массива. Для нее характерна частая перемежаемость многочисленных линз мраморов, альцифиров и диопсидитов с биотит-гранатовыми, биотитовыми, биотит-амфиболовыми и частично пироксеновыми гнейсами и плагиогнейсами.

Таким образом, архейские отложения Анабарского массива характеризуются разрезом, обычным для геосинклинальных зон, с вулканогенными накоплениями в низах, терригенными песчано-глинистыми отложениями в средней части и карбонатными породами в верхах разреза.

Осадконакопление сопровождалось, особенно в первый этап, основным вулканизмом. Несколько позже произошло внедрение основных и ультраосновных офиолитов, приуроченных главным образом к вулканическим областям. Далее внедрились синорогенные интрузии гранодиоритов-граносиенитов. Надо сказать, что до настоящего времени ультрабазиты Анабарского массива ⁽¹⁾ считались самыми молодыми докембрийскими породами, что неверно. Ультрабазиты тесно связаны здесь с архейским основным вулканизмом и приурочиваются к областям его развития; они метаморфизованы наравне с вмещающими породами и участвовали в складчатости. Находка автором ксенолитов ультрабазита в гранодиорите также с полной очевидностью подтверждает более древний возраст ультрабазитов.

После формирования архейской геосинклинальной зоны дальнейшее развитие массива определялось уже процессами регионального метаморфизма и ультраметаморфизма. Осадочные и вулканогенные породы разнообразного гранулометрического и химического состава в этот период приобрели облик и минеральный состав, который мы наблюдаем в настоящее время.

Фациально-метаморфический и парагенетический анализ пород Анабарского массива говорит об устойчивом качественном минералогическом составе пород, который соответствует, как это было показано А. А. Каденкиным, ассоциациям гранулитовой и амфиболитовой фаций метаморфизма, причем резкие колебания в количественном минеральном составе объясняются частой перемежаемостью, слоистостью первично разнородных пород. Различия в парагенетических ассоциациях разных метаморфических фаций массива обнаруживаются при изучении магнезиально-железистых и акцессорных минералов; все же остальные минералы являются по существу сквозными.

Для пород гранулитовой фации метаморфизма из темноцветных минералов характерно наличие одного гиперстена или гиперстена с диопсидом с магнезиально-железистым гранатом, иногда с амфиболом и биотитом. По полной аналогии с индийскими породами ⁽²⁾ этот комплекс можно назвать гарнокитовым. В породах амфиболовой фации наблюдаются уже минеральные ассоциации нижних субфаций: диопсид-альмандиновой и плагиоклаз-амфиболовой. Из магнезиально-железистых минералов здесь присутствуют роговая обманка, альмандин, иногда диопсид, во всех породах отмечается биотит. Из акцессорных минералов имеется сфен, совершенно отсутствующий в породах гранулитовой фации. Так как гранулитовая фация характеризует устойчивым развитием гиперстена почти во всех породах, то граница между гранулитовой и амфиболитовой фациями проводилась нами по изограле гиперстена.

В структуре Анабарского массива прежде всего совершенно четко устанавливается его куполовидное строение с древними породами вулканогенной формации в ядре; они сменяются терригенной песчано-глинистой формацией и, наконец, на периферии массива, карбонатно-флишовой. Эта общая структура осложняется в западной и центральной части прогибаниями и поднятиями 2-го порядка. На восточном крыле наблюдается моноклиналное залегание, усложненное только складчатостью 3-го и 4-го порядков.

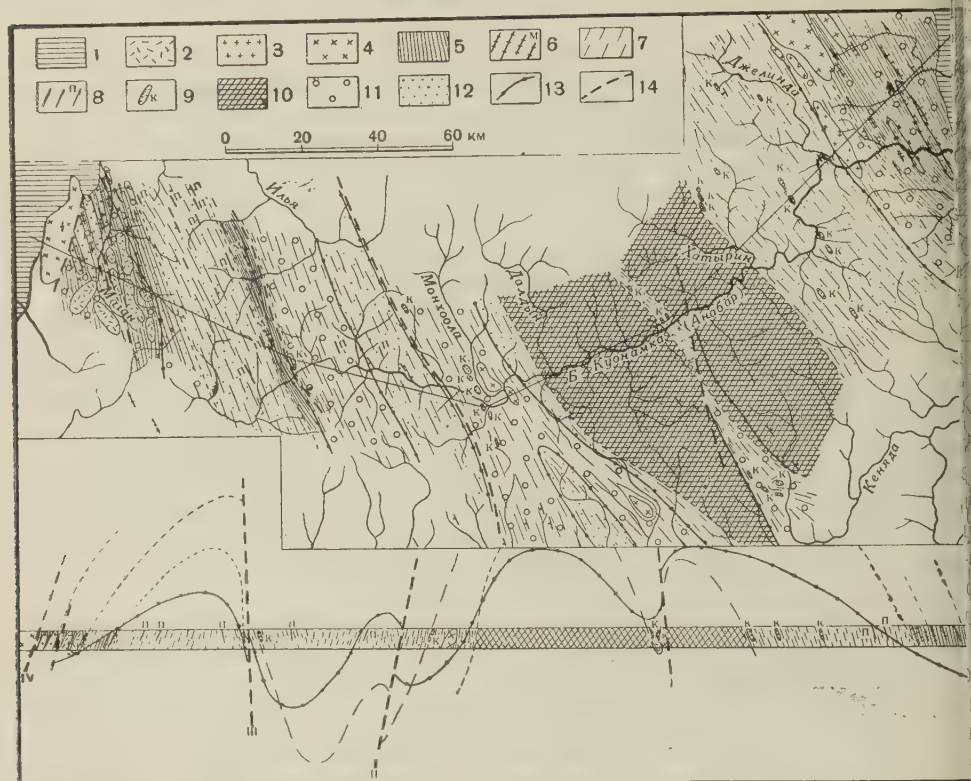


Рис. 1. Схематическая геологическая карта и разрез южной части Анабарского массива. 1 — отложения верхнего докембрия, 2 — анортозиты, 3 — аляскитовые граниты, 4 — разнгейсованные порфировидные гранодиориты-граносиениты, 5 — карбонатно-флишовая формация, 6 — линзы мраморов и кальцифиров, 7 — терригенная песчано-глинистая формация, 8 — силлиманитсодержащие парagneйсы и парасланцы, 9 — кварциты, 10 — вулканогенная формация, 11 — амфиболитовая фация метаморфизма, 12 — гранулитовая фация метаморфизма, 13 — изограда гиперстена (граница между гранулитовой и амфиболитовой фациями метаморфизма), 14 — дизъюнктивные нарушения.

Как показывает разрез (см. рис. 1), метаморфические фации приспособились к общим структурам 2-го порядка. Минералогические ассоциации более глубокой гранулитовой фации наблюдаются в ядрах антиклинальных структур, а амфиболитовой — в синклинальных. Однако метаморфические фации не совпадают полностью со структурами 2-го порядка. Фронт метаморфизма (или изограда гиперстена на разрезе) хотя и пытается копировать структуры 2-го порядка, но отстает и является более выравненным, сниженным относительно последних.

Структуры 2-го порядка формировались в фазу главной складчатости и связанных с ней поднятий; тогда же произошло внедрение интрузий гранодиоритов-граносиенитов. После этой фазы — и, по-видимому, последовавшего за ней размытия и далее общего опускания — имел место региональный

* На рис. 1 складчатость 3-го и 4-го порядков не показана, почему мощности формаций на разрезе не являются истинными.

метаморфизм и вторая фаза складчатости. Во время последней произошло пожатие структур 2-го порядка; появляются своеобразные пережатые субклиинальные складки 3-го и 4-го порядков с отжимом полупластичного материала к их замкам; ширина этих складок 2—1 км и меньше. Граниты аляскинского типа были синкинематичны второй фазе складчатости. Они имеют региональное повсеместное распространение и тесно связаны с полями мигматизации: их мелкие линзовидные тела и жилы всегда строго гармоничны вмещающими породами.

Граниты не несут никаких структурных изменений на своих контактах; часто, особенно в приконтактных частях, аляскисты загрязнены материалом вмещающих пород — гиперстеном, амфиболом, биотитом, гранатом, опсидом. Все перечисленные особенности аляскинских гранитов заставляют предполагать их ультраметагенное происхождение. Воздействие метаморфизма на ранее внедрившиеся гранодиориты-граносиениты сказалось на появлении в них местами гиперстена, развитии порфиробласт полевых шпатов и в их разгнейсовании.

Дальнейшее рассмотрение геологической истории Анабарского массива указывает на затухание процессов метаморфизма, на затухание тангенциальной кинетики этой области и переход ее к радиальной или глыбовой. Необходимо помнить, что в период метаморфизма и ультраметаморфизма весь массив был буквально пропитан гранитным аляскинским материалом. При понижении температуры и затвердевании аляскистов и субстрата получилась абсолютно жесткая конструкция, не способная к изменениям пликативного типа. Продолжающиеся субширотные усилия разбили массив на ряд блоков, причем западные и восточные блоки были надвинуты на центральный. Зоны I, II, IV (см. рис. 1, разрез) картируются сейчас по зонам милонитизации. Анортозиты приурочиваются к этим зонам разломов и имеют уже, по видимому, протерозойский возраст. Разрыв III гораздо более поздний. При исчезновении субширотных напряжений по нему произошло опускание западного блока. Породы в его бортах не милонитизированы.

Пермо-триасовая тектоника, охватившая всю Сибирскую платформу, проявилась и на Анабарском массиве. Об этом свидетельствуют многочисленные узкие трещины, заполненные диабазовой магмой. Интересно, что большая часть диабазовых даек имеет северо-восточное простирание, несвойственное породам Анабарского массива. Это связано, очевидно, с особенностями пермо-триасового тектонического развития Сибирской платформы в целом, и именно с формированием Оленекского прогиба.

Институт геологии
Якутского филиала Сибирского отделения
Академии наук СССР

Поступило
9 II 1959

ЦИТИРОВАННАЯ ЛИТЕРАТУРА

¹ Тр, Науч.-исслед. инст. геол. Арктики, 81, М., 1957. ² C. S. Pichamuthn, The Charnokite Problem, Bangalore, 1953.

В. А. МИЛАШЕВ и Н. И. ШУЛЬГИНА

НОВЫЕ ДАННЫЕ О ВОЗРАСТЕ КИМБЕРЛИТОВ СИБИРСКОЙ ПЛАТФОРМЫ

(Представлено академиком Д. В. Наливкиным 18 II 1959)

В настоящее время на Сибирской платформе обнаружено большое число кимберлитовых тел. Однако в связи с тем, что подавляющая масса их расположена в поле развития кембрийских и ордовикских отложений, обычно можно говорить лишь о послекембрийском или послеордовикском возрасте этих своеобразных пород.

Несколько трубок взрыва расположено непосредственно около нижнеюрских отложений, содержащих *Naorax cf. laevigatus* Orb. («Коллективная» «Аэрогеологическая»). В связи с плохой обнаженностью, взаимоотношения нижней юры и кимберлитов осталось невыясненным, однако геологами, изучавшими эти трубки, высказываются предположения о донижнеюрском возрасте кимберлитов⁽¹⁾. Наличие в кимберлитах ксенолитов основных пород, сходных с сибирскими траппами, по мнению ряда исследователей, определяет нижнюю возрастную границу кимберлитов^(1, 3, 6).

М. Ю. Шейнман, исходя из того, что платформенный вулканизм совпадает по времени с периодами складкообразования в соседних с платформой геосинклиналях, считает кимберлиты нижнетриасовыми, т. е. синхронными траппам⁽⁷⁾.

Вместе с тем нашими работами 1954 г. в истоках р. Марха установлена алмазоносность пермских конгломератов, содержащих пироп и ильменит. Возраст конгломератов определяется достаточно надежно на основании того, что они залегают в основании терригенной толщи, перекрытой базальтовыми туфами и прорванной изверженными породами формации сибирских траппов. В горизонте углисто-глинистых сланцев, залегающих над конгломератами, обнаружены споры и пыльца, которые, по заключению В. Д. Короткевич, позволяют определить возраст вмещающих их отложений как верхнепермский — нижнетриасовый. Интересные результаты, подтверждающие наши данные, получены в 1957 г. участниками 213 партии Амакинской экспедиции В. Т. Изаровым, М. Н. Серебряковой и др. Ими на смежной территории, в верхнем течении р. Сытыкан, установлено, что кимберлитовая трубка «Сытыканская», прорывающая карбонатные отложения ландовери, перекрыта горизонтально залегающими конгломератами, алевролитами и глинистыми сланцами перми, интродуцированными силлами долеритов.

Таким образом, для части кимберлитов достаточно надежно устанавливается доверхнепермский возраст.

В отечественной геологической литературе неоднократно высказывались предположения о верхнемезозойском возрасте сибирских кимберлитов, основывающиеся главным образом на сопоставлениях с Южной Африкой ((⁴) и др.). Однако возраст южноафриканских кимберлитов, несмотря на то, что первые трубки взрыва были открыты почти 100 лет назад, точно не установлен⁽⁵⁾.

Автор в 1958 г. детально изучил кимберлитовую трубку «Обнаженная», расположенную на правом берегу р. Куойка, в 3,5 км от устья (левый при-

ок р. Оленек в среднем течении). Трубка открыта И. Н. Галкиным (Амгинская экспедиция).

В геологическом строении района принимают участие отложения туркутской свиты синия и алданского яруса нижнего кембрия, залегающие горизонтально и прорванные дайками долеритов, принадлежащих к формации сибирских траппов. Туркутская свита сложена водорослевыми и песчанистыми доломитами с прослоями гравелитов. Мощность ее на этом участке достигает 40 м.



Рис. 2. Контакт роstra с вмещающим кимберлитом 17×;
без анализатора

Отложения алданского яруса расчленяются на две свиты: кесюсинскую (нижнюю) и еркекетскую. В кесюсинскую свиту выделена толща терригенных пород: конгломератов, песчаников, алевролитов и глинистых сланцев, а также песчанистых известняков. Мощность этих отложений около 30—40 м. К еркекетской свите относятся пестроцветные глинистые известняки слагающие верхние части водоразделов. Видимая мощность их не превышает 50—60 м (*).

Кимберлиты трубки «Обнаженная» прорывают доломиты туркутской свиты синия. Свое название трубка получила в связи с прекрасной обнаженностью — коренной выход составляет почти $\frac{3}{4}$ ее периметра, при высоте обнажения до 15 м. Кимберлит данного тела, как и всех трубок взрыва вообще, представляет собой эруптивную брекцию, в которой многочисленные ксенолиты различных пород сцементированы ультраосновной изверженной породой — собственно кимберлитом. При документации скального коренного выхода трубки в кимберлите (в «цементе» эруптивной брекции) был обнаружен ростр белемнита, который, как и большинство ксенолитов вытянутой формы, был ориентирован в субвертикальном направлении. Попытка извлечь его вместе с вмещающим кимберлитом даже с помощью зубила не увенчалась успехом: в процессе извлечения кимберлит раздробился в дресву и на самом ростре остались лишь небольшие кусочки породы (рис. 1). см. вклейку к стр. 1258).

Определение белемнита проведено Н. И. Шульгиной при консультации В. И. Бодылевского и Г. Я. Крымгольца. Ростр плохой сохранности, поверхность его местами корродирована, слагающее вещество большей частью перекристаллизовано. В верхней части роstra обломан, и здесь на нем наблюдаются кусочки вмещающего кимберлита (рис. 1). Дефекты, по всей веро-

ятности, являются следствием вулканических процессов. Альвеолярная часть ростра отсутствует. Длина сохранившейся постальвеолярной части 70 мм (264). Диаметр спинно-брюшной — 26,5 мм (100). Поперечный диаметр сохранился лишь наполовину и составляет $13 \times 2 = 26$ мм (98). Форма поперечного сечения имеет четырехугольно-округлое очертание. На разломе поперечного сечения видна радиальная лучистость и концентрические линии нарастания. По субкониической форме ростра, по наличию небольшого уплощения брюшной стороны и хорошо выраженной вентральной бороздке, а также по некоторой сдавленности ростра с боков, белемнит скорее всего можно отнести к роду *Pachyteuthis* (?) sp., характерному для отложений верхней юры — нижнего мела. В пользу определения белемнита как *Pachyteuthis* (?) sp. говорит и расположение апикальной линии, которая вследствие перекристаллизации вещества ростра может быть прослежена лишь на отдельных поперечных срезах. Она сильно прижата к брюшной стороне в центральной части ростра и поднимается к заднему концу его, т. е. имеет явный изгиб к брюшной стороне, что характерно для этого рода.

Более молодые, чем нижнекембрийские, отложения в районе трубки отсутствуют, а ближайшие выходы пород верхнеюрского и мелового возраста известны лишь в 150 км севернее (в Лено-Хатском краевом прогибе) и в 160 км восточнее (в Ленинском краевом прогибе). В связи с этим нельзя установить величину вертикального смещения (провала) ростра вниз по полости трубки от своего первоначального залегания. Можно лишь отметить, что, по-видимому, ростр опустился на несколько сотен метров. Провалы ксенолитов на 500—600 м неоспоримо доказаны в южноафриканских кимберлитовых трубках взрыва (⁸, ⁹).

Таким образом, можно считать установленным, что образование одной части сибирских кимберлитов произошло в доверхнепермское время (по-видимому, в течение карбона — нижней перми), а формирование другой части кимберлитовых тел относится к меловому периоду. Имеются ли кимберлиты промежуточного возраста, неизвестно.

Научно-исследовательский институт
геологии Арктики

Поступило
7 I 1959

ЦИТИРОВАННАЯ ЛИТЕРАТУРА

- ¹ А. П. Бобриневич, Алмазы Сибири, 1957. ² К. К. Демочкин, Объяснительная записка к Геологической карте СССР, лист R — 50—51 (Оленек); масштаб 1 : 1 000 000, М., 1957. ³ М. М. Одинцов, Тр. Вост.-Сиб. филиала АН СССР, сер. геол., в. 14, 1958. ⁴ Н. Н. Сарсадских, Л. А. Попугаева, Разведка и охрана недр, № 5, 1955. ⁵ В. С. Соболев, Геология месторождений алмазов Африки, Австралии, острова Борнео и Северной Америки, М., 1951. ⁶ В. С. Трофимов, Алмазодобывающая провинция в Сибири, Природа, № 7 (1957). ⁷ Ю. М. Шейнман, Разведка и охрана недр, № 1 (1957). ⁸ P. A. Wagner, Die Diamantführenden Gesteine Südafrikas, ihre Abbau und ihre Aufbereitung, Berlin, 1909. ⁹ K. F. Williams, The Genesis of the Diamond, London, 1932.

Д. И. МУСАТОВ и А. П. ТАРКОВ

К ВОПРОСУ О ТЕКТОНИЧЕСКОМ СТРОЕНИИ ЦЕНТРАЛЬНОЙ ЧАСТИ САЯНО-АЛТАЙСКОЙ СКЛАДЧАТОЙ ОБЛАСТИ

(Представлено академиком А. Л. Яншиным 10 XI 1958)

В основу тектонического районирования каледонских складчатых сооружений Кузнецкого Алатау, северного фаса Западного Саяна, западной части Восточного Саяна и фундамента Минусинских межгорных впадин положены результаты формационного анализа и аэромагнитные данные. Нами были выделены следующие типы основных структурных элементов, показанных на тектонической схеме:

А. Выступы фундамента каледонской геосинклинали, сложенные гнейсами, кристаллическими сланцами и амфиболитами, протерозойского возраста:

а) выходящие на поверхность;

б) скрытые под чехлом средне- и верхнепалеозойских образований.

В первом случае они характеризуются интенсивными отрицательными магнитными аномалиями напряженностью до — 700 гамм; во втором случае им соответствуют участки слабо положительного спокойного магнитного поля.

Б. Геосинклинальные трог, сопровождающие глубинные разломы, сложены главным образом терригенными толщами и вулканогенными образованиями основного и среднего состава, имеют резко выраженные линейные формы. Мощности вулканогенных толщ здесь больше, чем в следующей категории структур. Среди интрузий преобладают гипербазиты и габброиды. В магнитном поле трог вырисовываются очень четко. Им соответствуют линейно вытянутые полосы резко варьирующего положительного поля, ограниченные зонами больших горизонтальных градиентов значений ΔT_a . Отдельные положительные аномалии интенсивностью до +1500 γ , осложняющие магнитное поле, связаны с интрузивными массивами среднего и основного состава.

В. Геосинклинальные прогибы сложены вулканогенно-терригенными и карбонатными формациями, характеризуются меньшими мощностями, чем приразломные трог, и в плане часто имеют расплывчатые очертания. Наряду с интрузиями основного состава широко распространены дифференцированные кислые интрузии. Магнитное поле прогибов имеет резко варьирующий характер и переменный знак (чаще положительный).

Г. Геосинклинальные поднятия характеризуются сокращенной мощностью разреза, преобладанием карбонатных формаций и имеют неправильные очертания в плане. Интрузивная деятельность проявлена слабо. В магнитном поле они, как правило, проявляются крупными зонами отрицательных аномалий.

Кроме того, на тектонической схеме показаны разломы, разновозрастные интрузивные комплексы и основные структурные элементы Минусинских средне-верхнепалеозойских межгорных впадин.

Анализ всей совокупности геологических и геофизических данных позволяет отметить следующие закономерности тектонического строения центральной части Саяно-Алтайской складчатой области:

I. С нашей точки зрения, разрез каледонской геосинклинали рассматриваемой территории начинается с терригенно-вулканогенной формации рифейского возраста, которая в Восточном Саяне представлена кувайской серией, в Кузнецком Алатау так называемыми июсской и порталской свитами, в Западном Саяне джебашской серией*.

II. Зарождение каледонской геосинклинали в Восточном и Западном Саяне и Кузнецком Алатау началось на участках троговых прогибов, формирование которых было связано с системами глубинных разломов в понижении А. В. Пейве⁽²⁾. Характерной особенностью троговых зон является относительная прогнутость прилегающих к ним участков, независимо от принадлежности последних к структурам различного знака. Второй закономерностью является сложное строение троговых зон, выражающееся в многочисленных ответвлениях, которые, как правило, расположены под острыми углами к оси трога, в общем параллельны между собой и затухают на различных расстояниях от зоны трога. В Кузнецком Алатау в прогнутых прилегающих к троговой зоне участках поднятий размещаются крупные бабололитоподобные однородного состава гранитоидные массивы (Центральный, западная часть Тыгертышского), образование которых, вероятно, связано с процессами гранитизации. Такая же закономерность намечается и для Восточного Саяна за рамкой схемы (Шиндинский массив). В Кузнецком Алатау и Восточном Саяне троговые зоны к северу расширяются, и очертания их становятся более расплывчатыми; по характеру магнитного поля Алатауский трог продолжается на север в нижнепалеозойском фундаменте Западно-Сибирской низменности примерно до р. Чичка-юл ($57^{\circ}40'$).

Региональная отрицательная аномалия, фиксирующаяся к западу от троговой зоны в междуречье Оби и Кии, позволяет высказать предположение, что в фундаменте Западно-Сибирской низменности, в районе г. Томска, возможно, присутствует крупная древняя глыба типа Дербинского массива. Детальная характеристика троговых зон Западного Саяна не входит в тему настоящей статьи. Однако следует отметить, что в отличие от Восточного Саяна и Кузнецкого Алатау в Западном Саяне имеется несколько троговых зон. Именно с этой особенностью строения Западного Саяна, на наш взгляд, и связана его максимальная мобильность как в нижнем палеозое, так и в силуре при формировании остаточной геосинклинали.

III. В Кузнецком Алатау каледонские структуры наиболее раннего заложения ориентированы в северо-западном направлении, параллельно троговой зоне. Структуры северо-восточного и субширотного простирания являются более молодыми.

IV. Среди всех структур Кузнецкого Алатау, расположенных к востоку от троговой зоны, наиболее консервативными, сохранившими тектонический план и знак движений в течение всего геосинклинального цикла, являются Сыйско-Сережский, Тамалыкский прогибы и Батеневско-Беллыкское поднятие. Остальные структуры в течение нижнего и среднего кембрия испытывали частичную перестройку тектонического плана, что устанавливается анализом мощностей отдельных свит и формаций.

V. На всей рассматриваемой территории улавливается закономерная приуроченность геосинклинальных интрузивных комплексов преимущественно к зонам прогибов. Исключение представляют крупные однородные массивы гранитоидов, тяготеющие к положительным структурам. Для Кузнецкого Алатау на эту закономерность, правда, в предположительной форме, указал еще А. Н. Чураков⁽³⁾.

VI. До сих пор на всех известных тектонических схемах сочленение нижнепалеозойских складчатых структур Кузнецкого Алатау и Восточного

* Джебашская серия рядом исследователей относится к более древнему протерозою и рассматривается как выступ фундамента каледонской геосинклинали.



Рис. 1. Тектоническая схема центральной части Саяно-Алтайской складчатой области.

Основные структурные элементы каледонской геосинклинали. А — выступы досинийского складчатого фундамента (а — выходящие на поверхность, б — залегающие непосредственно под средне-верхнепалеозойским осадочно-вулканогенным чехлом): XVI — Дербинский, XVIa — Конжуский (Восточный Саян), XXII — Пихтерекский, XXIII — Кульчазинский (Кузнецкий Алатау); Б — Геосинклинальные троговые зоны и отдельные их элементы: II — Балыкско-Козеюльская, XIV — Восточно-Саянская (XIVa — Сисимский прогиб, XIVb — Убейский прогиб, XIVc — Езагашский прогиб, XIVd — Даурско-Еловское поднятие); В — геосинклинальные прогибы: IV — Октябрьско-Кашкадакский, Va — Больше-Кундатский, VI — Дудетско-Барандатский, VII — Терсинско-Юзский, X — Черно-Исский, XII — Сыско-Сережский, XIIIa — Калмачатский, XIIIb — Ирджинский, XVII — Тамалынский; XVIII — Шорско-Тубинский, XX — Таштыпско-Шадатский (VII, XX — сложные прогибы); Г — геосинклинальные поднятия: I — Барзасско-Тайдонское, III — Карахаровское, V — Центрально-Кийское, VIIa — Средне-Терсинское, VIII — Урюпско-Березовское, IX — Инжульско-Ничкурское, XI — Усинско-Чулымское, XIII — Батенёвско-Беллыкское, XIIIa — Июско-Сонское, XIIIb — Азыртальское, XIIIc — Беллыкское, XIId — Курбатово-Быскарское, XIIId — Байтакское, XV — Солгонское, XIX — Саксырско-Камешковское, XXa — Ермаковско-Сретенское, XXb — Верхне-Кебежское, XXI — Чазрыско-Ойское (V, XIII — сложные поднятия); Д — глубинные разломы; Е — крупные региональные разломы, заложившиеся в геосинклинальный период (в горных сооружениях и в фундаменте Минусинских впадин); Ж — интрузивные комплексы: 1 — лейкократовые и аляситовые граниты, 2 — широко дифференцированные (от габбро до гранитов) интрузии гранитоидов и сиенитоидов, 3 — очень слабо дифференцированные граниты, 4 — гипербазиты и габброиды, 5 — погребенные интрузивные массивы (а — погребенные части интрузивных массивов показаны знаком соответствующего комплекса; б — погребенные массивы неопределенного состава и возраста).

Средне-верхнепалеозойские Минусинские межгорные впадины. З — положительные структуры (антиклиналы, брахиантиклиналы, антиклинальные зоны и купола); И — отрицательные структуры (синклинали, мульды, впадины, синклинальные зоны); К — щелочные и субщелочные интрузии (а — массивы, выходящие на поверхность; б — погребенные массивы); Л — разломы, заложившиеся в постгеосинклинальный период; М — ось зоны максимального прогибания; Н — граница Минусинских межгорных впадин

яна показывается в виде серии субпараллельных дуг, обращенных выпуклой стороной на север. По нашим представлениям, картина гораздо сложнее. В самом деле имеет место резкий коленообразный разворот основных структур с одновременной виргацией их. Так, например, северо-восточные структуры Кузнецкого Алатау в фундаменте Чебаково-Балахтинской котловины резко изменяют свое простирание на меридиональное. Таким же образом происходит сочленение структур Западного и Восточного Саяна.

VII. На участках наиболее резких разворотов каледонских структур в среднем палеозое возникали системы разломов, к которым и приурочена зона максимального прогибания. За исключением юго-западной части (Ташкентский залив) эта зона сечет нижнепалеозойские структуры. Таким образом, систему Минусинских межгорных впадин в целом следует относить к категории наложенных структур.

VIII. Что касается взаимоотношений отдельных типов средне-верхнепалеозойских структур и каледонских складчатых структур, то устанавливаются следующие закономерности:

1. Средне-верхнепалеозойские структуры по размерам, форме и своему образованию несопоставимы с геосинклинальными структурами фундамента.

2. Тектонические формы Минусинских котловин контролируются в подавляющем большинстве случаев разновозрастными разломами, а не складчатыми структурами фундамента, как это считают Б. Н. Красильников и А. А. Моссаковский⁽¹⁾.

3. Среди отрицательных структур герцинского этажа имеются как унаследованные, так и наложенные. Структуры унаследованные и по тектоническому плану, и по знаку движений, как правило, имеют линейные формы и закономерно расположены на погребенных частях троговых зон (Инжульско-Балахтинская, Александровская синклинали) или на прилегающих к этим зонам участках (Шепчульская синклиналь). Во всех других случаях (особенно для структур изометрической формы) они являются наложенными.

4. Крупные положительные средне-верхнепалеозойские структуры типа Алтайско-Тагарского и Солгонского антиклинальных поднятий являются типичными унаследованными структурами как по тектоническому плану, так и по знаку движений.

5. Мелкие антиклинальные структуры герцинского этажа штампового типа связаны с небольшими дизъюнктивными нарушениями, имеющими, по-видимому, характер сбросо-сдвигов. Среди них можно выделить антиклинали, приуроченные к секущим нарушениям на участках резких разворотов каледонских структур (Кокоревская, Новоселовская и др.). Другая группа штамповых средне-верхнепалеозойских положительных структур (Кавказская, Фыркальская, Локшинская и др.) приурочена к дизъюнктивным нарушениям в зонах сочленения параллельных нижнепалеозойских поднятий и прогибов. Антиклинальные штамповые складки являются наиболее молодыми структурами герцинского этажа, возникшими, по-видимому, в конце палеозоя или даже в мезозое.

IX. Девонские интрузии щелочного и субщелочного состава закономерно приурочены либо к внутригеосинклинальным поднятиям, либо к участкам прогибов, для которых характерна брахиподобная форма складок нижнепалеозойских толщ.

Всесоюзный научно-исследовательский
геологический институт

Поступило
5 XI 1958

ЦИТИРОВАННАЯ ЛИТЕРАТУРА

¹ Б. Н. Красильников, А. А. Моссаковский, Бюлл. МОИП, отд. геол., 33 (2), 1958. ² А. В. Пейве, Изв. АН СССР, сер. геол., № 6 (1956).
А. Н. Чурakov, Кузнецкий Алатау, его геологическое строение и геохимические эпохи, Изд. АН СССР, 1932.

МЭН СЯН-ХУА

К ПЕТРОГРАФИИ ФОСФОРИТОВ БАСЕЙНА КАРАТАУ

(Представлено академиком Н. С. Шатским 10 I 1959)

Существующие классификации фосфоритов для Каратауского бассейна основаны на различных принципах. П. Л. Безруков в 1936—1946 гг. принял за основу классификации структурные особенности ⁽¹⁾, А. С. Соколов, Б. М. Гиммельфарб и А. И. Смирнов в 1948—1957 гг. — химический состав ^(2,3), А. Г. Трухачева в 1952 г. — структуру фосфоритов и характер цемента ⁽⁴⁾ и т. п. Однако генетические типы фосфоритов, так же как типы других осадочных пород, должны выделяться таким образом, чтобы они отражали определенные условия отложения и соответствовали фациальной изменчивости фосфоритовых залежей. Исходя из этого, для распознавания типов фосфоритов необходимо учитывать все элементы, все признаки данных пород, а не только структуры и химический состав, не только степень фосфатизации или характер цемента и зерен.

Петрографическое изучение фосфоритов Каратау позволяет распознавать различные минералогические формы фосфатов и различные формы фосфатных пород. Выделение типов фосфоритов и фосфатсодержащих пород способствовало сравнительному изучению как макроструктурных особенностей пород, так и петрографических разрезов отдельных месторождений и привело к ряду выводов на основании полученных новых данных. В настоящем сообщении описаны некоторые результаты наблюдений, полученных на фосфоритовых месторождениях Каратау, Кок-Джон, Джаны-Тас, Ак-Джар, Кок-Су, Северо-Беркуты и некоторых других.

При изучении месторождений удалось обнаружить фосфориты с явной косой слоистостью, которая характеризуется пологим углом наклона (10—15°) слоев, выдержанными границами их в разрезе, прямолинейной формой, однородным составом и хорошей сортировкой материала слоев. Интересно, что в одном и том же обнажении косая слоистость имеет разное направление. Наличие косой слоистости указывает на прибрежно-морское происхождение фосфоритов. Фосфориты с косой слоистостью обнаружены только в юго-западной части бассейна (месторождение Кок-Джон и Джаны-Тас). О том же свидетельствуют присутствующие здесь понголиты синезеленых водорослей. Наоборот, мы не нашли такой текстуры в фосфоритах северо-восточной части бассейна, где макроструктуры фосфоритов характеризуются в основном тонкой горизонтальной слоистостью.

При микроскопическом исследовании было выделено три структурных типа фосфоритов: 1) зернистые, 2) оолитовые, 3) крупные обломочные; кроме того, встречаются структуры и более сложной, но ближе неопределенной формы. По генезису по стадиям генераций было выделено так же три типа: первая генерация — фосфатные зерна без каемки; вторая генерация — фосфатные зерна с фосфатной кристаллической каемкой и оолиты; третья генерация — типы сложных оолитов гравийных размеров с обломками.

Каемки кристаллического фосфата вокруг фосфатных зерен являются вторичными образованиями. Они возникли вокруг отсортированных и скон-

центрированных движением воды фосфатных зерен и представляют собой элемент обрастания.

В бассейне можно наблюдать интересную закономерность размещения перечисленных типов фосфоритов.

Прежде всего надо отметить, что с северо-востока на юго-запад, вкрест простираясь бассейна, размер зерен увеличивается во много раз. Для северо-западного района (Кок-Су, Ак-Джар) характерны мелкие фосфатные зерна без каемки.

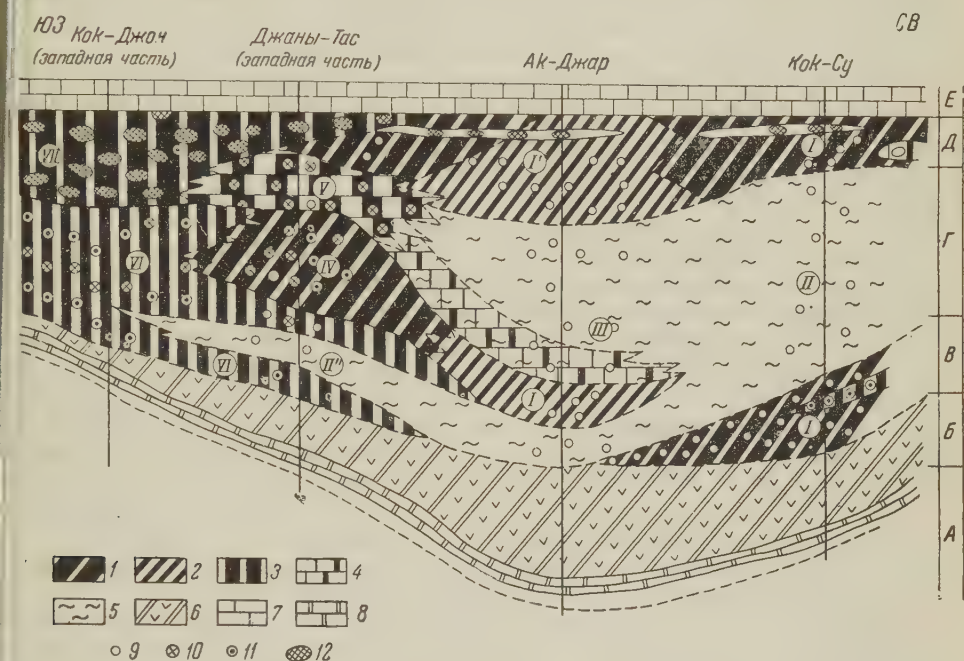


Рис. 1. Схема петрографического разреза Кок-Су, Кок-Джон фосфатноносной формации Малого Каратау. А — нижние доломиты, Б — кремневая пачка, В — нижняя фосфоритная пачка, Г — промежуточная пачка, Д — верхняя фосфоритная пачка, Е — Дамтинская свита. I—VII — главные типы фосфоритовых отложений. 1 — кремнистые фосфориты высокого и среднего качества, 2 — кремнистые фосфориты низкого качества, 3 — карбонатные фосфориты, 4 — фосфато-карбонатные породы, 5 — глинисто-кремнистые породы, 6 — кремний, 7 — карбонатные породы — известняки, 8 — карбонатные породы — толмитовые, 9 — фосфатные зерна без каемки, 10 — фосфатные зерна с каемкой, 11 — фосфатные оолиты, 12 — фосфатные гравелиты с обломками

К юго-западу и юго-востоку мелкозернистый фосфат постепенно заменяется зернами фосфата среднего размера с каемками. Далее следуют фосфатные оолиты. У самой южной окраины бассейна (Джаны-Тас, Кок-Джон) появляются сложные по строению формы оолитов гравийных размеров с обломками, которые наблюдаются в образцах с косой слоистостью из Кок-Джон и Джаны-Тас. По-видимому, последние образовались сложным путем. Они подвергались перемещению и переработке ранее отложенного материала волнениями морской воды. Оолитовые фосфориты, как и оолитовые морские породы вообще, по современным воззрениям, образовывались в теплом море на небольшой глубине, ближе к берегу. М. С. Швецов считает, что типичные оолитовые образования представляют собою отложения около ядра нового осадка из раствора. Как мы знаем, рост оолитов может происходить во взвешенном состоянии и в массе илистого или коллоидного осадка. Эти условия осуществляются в прибрежных частях морей и в источниках с бурлящей водой. Следовательно, степень движения воды и определяет в основном величину оолитов. Поэтому можно думать, что волнения и движения

морской воды в юго-западной части были значительно сильнее по сравнению с северо-восточной.

Давно уже известно отличие по литологическому составу геосинклинальных фосфоритов от платформенных. Первые из них представлены кремнистыми разностями. Для фосфоритоносного бассейна Каратау (¹) характерно преобладание кремнистых разностей фосфоритов на северо-восточной окраине, а на юго-западной — карбонатных.

Сделана попытка подойти к выделению типов фосфоритов по петрографическим признакам. Основными петрографическими генетическими типами фосфоритов и фосфорсодержащих пород месторождений Кок-Джон, Джаны-Тас, Ак-Джар, Кок-Су и других являются следующие (рис. 1) *.

I тип* — кремнистые фосфориты. Фосфат мелкозернистый, без каемки; фосфориты тонко- и среднеслоистые. Содержание P_2O_5 19—30%. Фосфатные зерна связаны халцедоновым цементом и редко карбонатным.

II тип — кремнисто-глинистые фосфатные породы с мелкозернистыми фосфатами без каемки, тонкослоистые, часто переслаивающиеся с отложениями, лишенными фосфатных образований. Содержание P_2O_5 1—19%.

III тип — фосфатно-карбонатные породы, переслаивающиеся с прослойками глинисто-кремнистых сланцев. Фосфат мелкозернистый. Содержание P_2O_5 колеблется в пределах 10—20%.

IV тип* — фосфориты с кремнистым цементом; грубая и средняя слоистость. Структура фосфорита мозаичная или угловатая. Оолиты — зерна с каемками. P_2O_5 24—38%.

V тип — частое чередование карбонатно-кремнистых слоистых фосфоритов, зернисто-оолитовой структуры, с прослойками глинисто-кремнистых сланцев. P_2O_5 10—25%.

VI тип* — карбонатные фосфориты с косой слоистостью. Под микроскопом наблюдается оолитово-зернистый фосфат. P_2O_5 24—35%.

VII тип* — фосфориты гравелитовых разностей с карбонатным цементом, сложная оолитовая косая слоистость. P_2O_5 20—30%.

Породы указанных выше генетических типов закономерно размещаются по разрезу, вкрест простираения бассейна Каратау. В северо-западной части фосфоритового бассейна выделяются следующие две фации (чередующиеся). На северо-западе кремнисто-сланцевая; к ней относятся месторождения Кок-Су, Уч-Бас и особенно Ак-Джар. Карбонатные фосфориты играют совершенно подчиненную роль (I, II и V типы). На юго-западе развита кремнисто-карбонатная фосфоритная фация. К ней относится группа месторождений Кок-Джон, Джаны-Тас (V—VIII типы).

В соответствии с этими двумя фациями закономерно размещаются разные структуры и текстуры фосфоритов и разные генетические типы пород. Так, в первой фации развиты фосфориты в основном с простыми и более мелкими зернами. Во второй фации фосфориты отличаются более сложным строением зерен нескольких генераций и более крупными размерами зерен. В этих фациях отразилась различная история формирования фосфатной серии в различных частях бассейна.

Надо подчеркнуть, что типичные оолитовые фосфориты накапливались, по-видимому, только в более подвижной зоне, которая располагалась на мелководных участках, расположенных ближе к центральному поднятию Каратау.

Что касается палеогеографической обстановки накопления фосфоритов, то наши данные расходятся с представлением П. Л. Безрукова.

Новыми данными установлено, что осадки более мелкого моря располагаются в юго-западной части бассейна. Наоборот, фосфатонакопление в Ак-Джар, Кок-Су и Уч-Бас, которые располагаются на северо-востоке северо-

* Содержание P_2O_5 — по данным Каратауской геологоразведочной экспедиции. Если использовать классификацию фосфоритов по степени фосфатизации, предлагаемой Б. М. Гиммельфарбом и А. С. Соколовым, то можно для любого из типов I, IV, VI и VII выделить ряд подтипов фосфоритов высокого качества (более 28% P_2O_5).

глубоководной части бассейна, осуществилось в условиях относительно более глубоководного моря.

Если вспомнить общую картину палеогеографии среднего кембрия Каратауской геосинклинали, то легко убедиться, что мелководная зона фосфоритового моря примыкала к срединному поднятию Каратау, которое возникло в конце протерозоя — в начале нижнего кембрия, а во второй половине среднего кембрия впервые погрузилось под уровень моря.

На северо-западе бассейна прогибание, по всей вероятности, не было полным. Во времени образования промышленных залежей фосфоритов, приуроченных к нижней и верхней частям фосфоритовой серии, этот район испытывал относительно замедление в прогибании и некоторое обмеление, хотя и не столь медленное, как на юго-востоке и юго-западе. Наибольшее прогибание было на северо-западе бассейна во время отложения средней части фосфоритоносной формации. В этом отношении представляет также интерес распределение зерен терригенного кварца.

В нижней и верхней частях этой серии зерна его более крупные, чем в средней.

Возможно, на месте поднятия существовали отдельные участки выровненной суши, с которой происходил незначительный снос мелкого обломочного материала. Более вероятно существование на ее месте мелкого моря, в котором накопление осадков шло значительно медленнее, чем в прогибах Большого и Малого Каратау⁽⁸⁾.

В более мелководной области накапливалась фосфатная фация, кремнисто-карбонатная. Наоборот, в относительно глубоководной области образовалась фация глинисто-кремнистая. Такие фациальные соотношения, по-видимому, сходны с особенностями формации «Фосфория» в Скалистых горах (США).

Что касается источника фосфора, то пока в этом вопросе много неясного. Однако, исходя из косвенных соображений^(6,9), можно думать, что вероятный источник фосфата связан с вулканической деятельностью.

Московский геологоразведочный институт
им. С. Орджоникидзе

Поступило
5 I 1959

ЦИТИРОВАННАЯ ЛИТЕРАТУРА

- ¹ П. Л. Безруков, Каратауский фосфоритоносный бассейн, Докт. диссертация, М., 1946. ² Б. М. Гиммельфарб, Сов. геол., сборн. 10 (1946). ³ Б. М. Гиммельфарб, Геологические закономерности фосфоритов в СССР и их классификация, Докт. диссертация, М., 1957. ⁴ А. Г. Трухачева, Петрография пластовых фосфоритов Чулак-Тау, Канд. диссертация, М., 1952. ⁵ А. В. Казаков, Тр. Научн. инст. по добр. и инсектофунгисидам, в. 145, 1939. ⁶ Г. И. Макарычев, Стратиграфия девонских толщ Большого Каратау, Канд. диссертация, М., 1957. ⁷ Е. В. Орлова, Фосфоритоносные бассейны зарубежных стран, Минеральные ресурсы зарубежных стран — 19, ГУГФ, 1951. ⁸ Л. А. Русинов, Тр. МГРИ, 20 (1956). ⁹ Н. С. Шаткин и др., Докл. Совещ. по осадочн. породам, в. 2, Отд. геол.-геогр. наук АН СССР, 1955.

К. О. РОСТОВЦЕВ

О БАЗАЛЬНЫХ ОБРАЗОВАНИЯХ БАЙОСА БАССЕЙНОВ РЕК ЗЕЛЕНЧУК И КУБАНЬ

(Представлено академиком А. Л. Яншиным 9 II 1959)

Байосские отложения широко распространены в пределах бассейнов рек Большой и Малый Зеленчук и Кубань. Они протягиваются широкой полосой по склону Скалистого хребта, уходя далеко за пределы интересующего нас района.

Представлен байос в основном довольно однородной толщей серых глин, содержащих на различных уровнях горизонты сидеритовых конкреций и редкие прослои глинистых песчаников. В основании глинистой толщи всюду залегает базальный горизонт мощностью от 0,6 до 10 м, представленный криноидными известняками, песчаниками и гравелитами. Этот базальный горизонт может быть прослежен в виде почти непрерывной полосы обнажения от водораздела р. Большая Лаба и Уруп до долины р. Кубани и далее на восток. В большинстве случаев он образует в рельефе небольшую куэсту, очень четко фиксируется во всех разрезах средней юры. Однако если в отношении возраста вышележащей глинистой толщи среди исследователей геологии Кавказа не имеется серьезных разногласий, то возрастное положение ее базального горизонта с давних пор и до настоящего времени является предметом дискуссии.

А. Я. Затворницкий⁽²⁾, впервые установивший наличие среднеюрских отложений в долине р. Кубани у ст. Красногорка, считал возможным отнести песчаники и конгломераты, залегающие под глинами верхнего байоса к низам байоса и к верхнему лейасу.

Г. Е. Пилученко⁽⁸⁾ полагал, что горизонт криноидных известняков бассейнов рр. Уруп, Большой и Малый Зеленчук относится к нижнему аалену. Верхнеааленские образования, по мнению Г. Е. Пилученко, здесь отсутствуют, что связано с местным перерывом.

Отложения ааленского яруса были объектом детальных исследований Е. Е. Мигачевой⁽⁷⁾. На основании обработки значительного палеонтологического материала она предложила выделить в составе ааленских образований два новых яруса — кяфарский и кардоникский. Горизонт криноидных известняков Е. Е. Мигачева относит западнее р. Аксаут к кардоникскому ярусу, к верхам зоны *Ludwigia murchisonae*, а восточнее р. Аксаут — к верхней части зоны *Ludwigia concava*.

Иной точки зрения придерживаются И. Р. Кахадзе, А. Л. Цагарели др.^(3, 4), считающие пачку буры конгломератов, песчаников и криноидных известняков в долине р. Кубани базальными образованиями трансгрессивного верхнего бассейна.

С. С. Кузнецов⁽⁶⁾ и Н. А. Ансберг⁽¹⁾ относят горизонт криноидных известняков к верхнему аалену, не уточняя его зональную принадлежность. При описании же схемы стратиграфии бассейна р. Белой они вступают в противоречие, указывая, что верхнеааленский горизонт известняков содержит зональные формы нижнего аалена — *Leioceras opalinum* Rein. и *L. costum* Quenst.

Отмеченные противоречия между различными исследователями углубились до того, что даже на совещании по стратиграфии мезозоя альпийской фоны юга СССР в мае 1958 г. не было достигнуто общего мнения, и в унифицированной таблице нижнюю часть рассматриваемого горизонта отнесли к аалену, а верхнюю — к байосу.

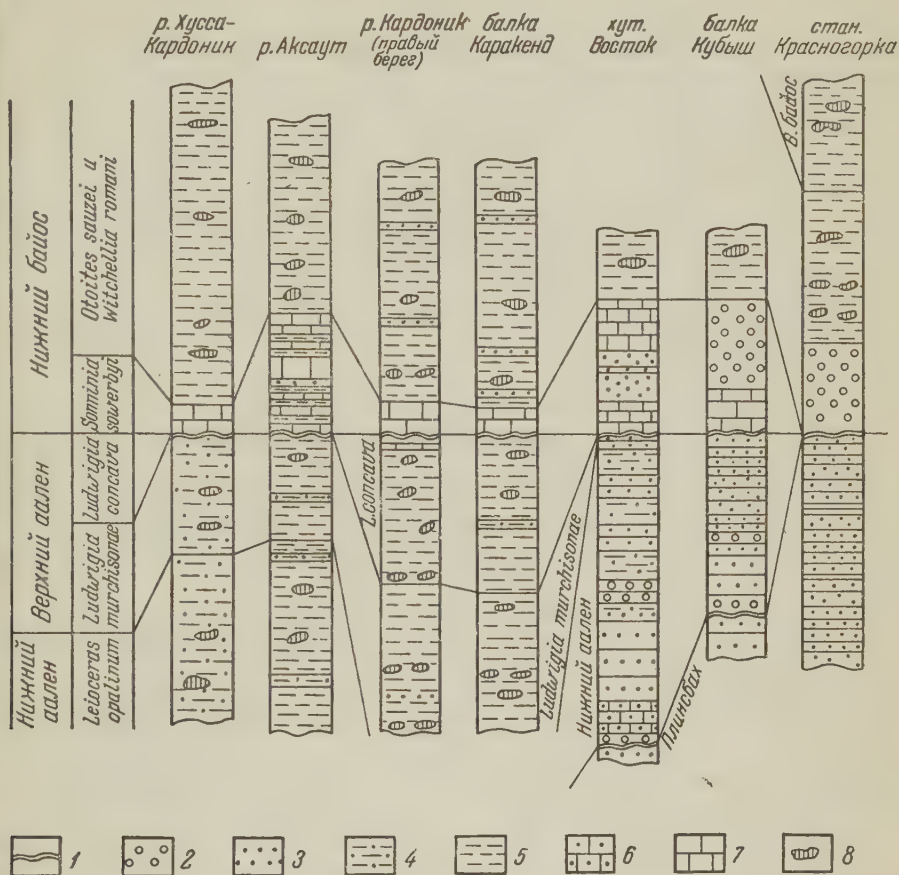


Рис. 1. Сопоставление разрезов пограничной части ааленского и байосского ярусов в бассейнах рр. Зеленчук и Кубань. 1 — поверхности размыта и несогласия, 2 — гравелиты и конгломераты, 3 — песчаники, 4 — глинистые песчаники, 5 — глины, 6 — обломочные органические известняки, 7 — криноидные и песчаные известняки, 8 — сидеритовые конкреции

Такое расхождение во взглядах на базальные образования средней юры объясняется, с одной стороны, бедностью фауны в горизонте криноидных известняков, а с другой — наличием в них переотложенных форм из подлежащих образований аалена и тоара.

Ключ к решению этого запутанного и сложного вопроса следует искать в детальном анализе ископаемой фауны и стратиграфических взаимоотношений с выше- и нижележащими отложениями.

Наши исследования были направлены по этому пути, что позволило сделать определенные выводы, которые положены в основу данной статьи. Для выяснения этого вопроса обратимся к некоторым разрезам интересующих нас образований в бассейнах рр. Зеленчук и Кубань.

В долине рр. Хусса-Кардоник и Аксаут подстилающие байос отложения представлены глинистыми песчаниками и глинами с сидеритовыми конкрециями; мощность пачки 12—15 м. В нижней части ее нами собраны *Leioeceras opalinum* Rein., *L. comptum* Buckm., *L. bifidatum* Buckm. в верхней ча-

сти появляются представители зоны *murchisonae* — *Leioceras sinon* Bayle, *L. uncinatum* Buckm., *L. gotzendorfensis* Dorn., *Ludwigia murchisonae* Sow., *L. bradfordensis* Buckm. В кровле пачки непосредственно под горизонтом криноидных известняков найдены *Leioceras acutum* Quenst., *L. wilsoni* Buckm.

На этих отложениях со следами размыва залегает горизонт криноидных известняков, содержащий в подошве переотложенную фауну аалена, а выше заключающий крупные не определимые до вида *Lytoceras* и *Sonninia*. Образования зоны *Ludwigia concava*, по-видимому, размыты перед отложением базального горизонта криноидных известняков. Последние кверху согласно сменяются толщей глин, в которых непосредственно над известняками нами определены *Stephanoceras freycineti* Bayle, а в 20 м выше *Witchellia subsecta* Buckm., характеризующие зоны *Otoites sauzei* и *Witchellia romani* нижнего байоса. Горизонт криноидных известняков, судя по стратиграфическому положению и заключенной в нем фауне, должен относиться к самым низам байоса — зоне *Sonninia sowerbyi*.

Далее базальный горизонт криноидных известняков прослеживается в бассейне р. Кардоник, где южнее хутора Кызыл Октябрь наблюдается следующий восходящий разрез:

1. Темно-серые песчанистые глины с конкрециями сидеритов, а в кровле — с прослоем оолитовых железняков.

В 8—10 м ниже кровли глинистой толщи из горизонтов конкреций нами определены: *Leioceras acutum* Quenst., *L. götzendorfensis* Dorn.; *Ludwigia murchisonae* Sow., *L. obtusa* Quenst. и другие представители зоны *Ludwigia murchisonae*. Непосредственно под горизонтом из известняков взята *Ludwigia casta* Buckm., указывающая уже на зону *Ludwigia concava* верхнего аалена.

2. Серые и розовые криноидные известняки 0,8 м.

В нижней части пласта нами встречены *Sonninia crassispinata* Buckm. и переотложенные мелкие *Ludwigia*.

3. Выше, как и в остальных районах, следует глинистая толща, на левом берегу р. Кардоник в основании ее выделяется пачка песчаников мощностью до 9 м. Песчаники залегают вполне согласно с горизонтом криноидных известняков, в нижней части переслаиваясь с ними, но не срезают известняки, как считает Н. В. Живаго.

Известняки с пологими углами падения поднимаются по склону долины р. Кардоник и, огибая плато Удардон, переходят на левый склон долины р. Кубань. Здесь, в верховьях балки Каракенд, находится наиболее полно фаунистически охарактеризованный разрез верхнеааленских и нижнебайосских отложений:

1. Серые и сиреневые песчанистые глины с горизонтами сидеритовых конкреций 15 м

В средней части пачки из сидеритовых конкреций нами выбиты *Leioceras decipiens* Horn., *L. acutum* Quenst., *L. wilsoni* Buckm., *L. sinon* Bayle var. *enode* Horn., *Ludwigia murchisonae* Sow., *L. bradfordensis* Buckm., *L. umblicata* Buckm., *L. falcata* Horn. В верхней части появляются формы зоны *Ludwigia concava*, из которых особенно многочисленны представители *Ludwigia casta* Buckm. и *L. corun* Buckm., типичные же виды из группы *Ludwigia concava* как здесь, так и в разрезе р. Кардоник отсутствуют.

2. Темно-серые глинистые песчаники с *Ludwigia casta* Buckm. . . 0,4 м.

3. Темно-серые песчанистые глины, в кровле с прослоями железистых оолитов 3 м.

4. Криноидные и песчанистые известняки 0,6 м.

В известняках собраны крупные *Sonninia fastigata* Buckm. и *S. bouxwellerensis* Gillet, характеризующие зону *Sonninia sowerbyi* нижнего байоса.

5. Вышележащие горизонты байоса представлены в обычной фации темных глин с редкими прослоями глинистых песчаников и горизонтами сидеритовых конкреций.

По направлению к северу и к северо-западу от описанного разреза криноидные известняки постепенно срезают глинистую пачку верхнего аалена у хут. Восток, в верховьях балки Кубыш, ложатся на песчаники нижнего аалена *Leioceras opalinum* Rein., *L. costosum* Buckm., *L. subcostosum* Buckm. Отсюда базальный горизонт байоса прослеживается по левому склону балки Кубыш и далее на север по долине р. Кубань до района стан. Красногорка. В этом направлении базальные образования байоса ложатся последовательно все на более древние горизонты аалена, а несколько севернее балки Кубыш переходят на угленосную толщу плинсбаха. Одновременно в северо-восточном направлении происходит изменение фации базальных слоев, сначала верхняя часть криноидных известняков, а затем и весь горизонт замещается песчаниками и гравелитами, которые к стан. Красногорка становятся все более крупнообломочными. Такое явление связано с наличием севернее стан. Красногорка, в районе г. Черкесска, довольно крупного погребенного поднятия, причем рост последнего был, по-видимому, особенно интенсивным в предбайосское и предкелловейское время.

Следует отметить, что в связи с последовательно развивавшейся трансгрессией байосского моря на Черкесское поднятие в северо-восточном направлении базальный горизонт байоса скользит вверх по возрастной шкале. Так, например, по балке Хумара В. П. Казакова обнаружила в известняках *Witchellia deltafalcata*, а у стан. Красногорка в нескольких метрах выше гравелитов А. Я. Затворницким⁽²⁾, И. Р. Кахадзе и В. И. Зесашвили⁽⁵⁾ нами собрана богатая фауна верхнего байоса зон *Garantiana garantiana* и *Strenoceras subfurcatum*.

Таким образом, как видно из вышеизложенного, горизонт криноидных известняков в южной части рассматриваемого района является базальным образованием байосской глинистой серии и по возрасту относится к отложениям зоны *Sonninia sowerbyi*.

В северо-восточном направлении при приближении к Черкесскому поднятию базальные слои по возрасту отвечают уже верхней зоне нижнего байоса *Witchellia romani*.

Краснодарский филиал
Всесоюзного нефтегазового
научно-исследовательского института

Поступило
9 II 1959

ЦИТИРОВАННАЯ ЛИТЕРАТУРА

- ¹ Н. А. Ансберг, Автореферат канд. диссертации, Ленингр. гос. ун-в., 1950.
² А. Я. Затворницкий, Изв. Геол. ком., **33**, № 5 (1914). ³ И. Р. Кахадзе, Изв. АН СССР, сер. геол., № 3 (1955). ⁴ И. Р. Кахадзе, А. Л. Цагарели и др., Тр. Геол. инст. АН ГрузССР, геол. сер., **10**, 15 (1957). ⁵ И. Р. Кахадзе, В. И. Зесашвили, Тр. Инст. геол. АН ГрузССР, **9**, 14, в. 2 (1956). ⁶ С. С. Кузнецов, Геологическое строение срединной части Сев. Кавказа, Изд. АН СССР, 1956.
⁷ Е. Е. Мигачева, ДАН, **113**, № 3 (1957). ⁸ Г. Е. Пилюченко, К стратиграфии юрских и четвертичных отложений бассейнов рр. Урупа и Кубани на Сев. Кавказе, Изд. Сев.-Кав. геол. упр., 1946.

Э. Н. ЯНОВ

ДЕВОНСКИЕ ОТЛОЖЕНИЯ ЮГО-ВОСТОЧНОГО ГОРНОГО АЛТАЯ (БАССЕЙН ВЕРХОВЬЕВ р. ЧУИ)

(Представлено академиком Д. В. Наливкиным 22 I 1959)

Девонские отложения рассматриваемого района описаны рядом исследователей (1⁸). После 1947 г. геолого-съемочные и тематические исследования здесь вели Р. Т. Грацианова, Н. С. Коржнев, Л. И. Кравцова, А. И. Родыгин, Г. А. Чернов, И. И. Белостоцкий, А. Б. Дергунов, С. П. Красильников, С. Р. Майзелис, И. Ф. Пожарский, М. А. Черноморский, Б. А. Яковлев и др.

По материалам работ, проведенных до 1955 г., межведомственным совещанием по Сибири принята унифицированная стратиграфическая схема, по которой девонский комплекс бассейна верховьев р. Чуи (мощн. 12 км) расчленялся на 2—3 свиты. Автором, на основании результатов его и Л. Э. Алексеевой работы 1956—1958 гг. и других новейших материалов, предложена рассматриваемая ниже стратиграфическая схема, построенная с применением палеонтологического метода и с учетом цикличности осадконакопления, проявляющейся в чередовании морских и континентальных толщ в разрезе девона.

С айлюгемская серия ($D_2e\text{ gv}$), выделенная И. И. Белостоцким в 1956 г., красноцветная континентальная эффузивно-терригенная с подчиненным горизонтом морских известняков. Залегаet с перерывом и несогласием на отложениях ордовика (?) и силура. Внутри сайлюгемской серии крупные перерывы в осадконакоплении и несогласия отсутствуют.

Нами сайлюгемская серия подразделена на следующие свиты (снизу вверх): саржегатинская, таштыпская и себыстейская. Местами таштыпская свита замещается эффузивами и сайлюгемская серия не может быть расчленена на свиты.

С аржегатинская свита ($D_2e\text{ sr}$) (стратотип: левый берег р. Саржематы, в 0,7—2,5 км ниже устья пади Делика). В основании свиты залегают терригенная пачка (уландрьская свита унифицированной схемы) мощностью в бассейне р. Саржематы 650 м, в среднем течении р. Уландрык — свыше 1300 м, а местами до десятков метров; иногда эта пачка выклинивается. Представлена терригенная пачка красноцветными алевролитами и песчаниками, часто косослоистыми, с прослоями серых, зеленых и красноцветных конгломератов, мергелей и сланцев и с базальным горизонтом конгломератов из галек кварца, кварцита и т. д.; имеются горизонты эффузивов, таких же, как в вышележащей пачке.

Верхи разреза свиты слагает эффузивная пачка — фельзиты, альбитофиры, дацитовые порфиры, порфириты, их лавобрекчии, туфобрекчии и туфы. В бассейне р. Кызыл-Шин покровы альбитофиров и порфиритов и их туфы переслаиваются с мощными пачками алевролитов, песчаников и туфо-песчаников коричневато-красных, коричневых, желтых и зеленых. Мощность пачки до 1000 м. Общая мощность саржегатинской свиты местами превышает 2000 м (среднее течение р. Уландрык).

Саржегатинская свита формировалась в континентальных условиях (характерны косая слоистость речного типа, следы капель дождя, трещины

ыхания, борозды размыва, выдержаны красноцветные окраски, фауна отсутствует).

Таштыпская свита ($D_2e\ ts$) (в Чуйской степи отмечается впервые, выделена в 1949 г. Н. А. Беляковым и В. С. Мелешенко в Южно-Минусинской котловине). В наиболее полных разрезах мощность свиты достигает 60—80 м, и она представлена известняками, темно-серыми и черными мергелями с пластами гипса (падь Делика), или же обохренными мраморизованными плитчатыми известняками (междуречье Себыстей — Ирбисту). В пади Делика известняки по простирацию замещаются шаровыми лавами. В бассейне р. Кызыл-Шин мощность свиты всего 10 м, сложена она известняками, пелитоморфными, водорослевыми и оолитовыми, с прослоями желтых и зеленых мергелей и алевролитов.

В таштыпской свите в пади Делика М. А. Черноморским найдены брахиоподы: *Acrospirifer cf. subgregarius* Ržon., *Eoreticularia cf. sinuata* Görich., *Acrospirifer cf. sibiricus* Tschern., *Camaratoechia* sp. (определения М. С. Поповой), видимо верхнеэфельского возраста. На р. Себыстей Л. Э. Алексеевой встречены остатки криноидей, по мнению Р. С. Елтышевой, среднеэфельских, — *Cupressocrinus cf. crassus* Goldf., — и кораллов *Favosites* sp. (определение О. П. Ковалевского). Южнее, в верховьях ключа Азёк, Р. Майзелисом также собраны остатки кораллов и мшанок. Более полное верхнеэфельский возраст таштыпской свиты доказывается фауной в Южно-Минусинской, Рувинской и Уйменской впадинах. Для саржематинской свиты условно принят нижнеэфельский возраст по положению в разрезе и по аналогии с красноцветными эффузивно-терригенными толочковской свитой Южно-Минусинской и Уйменской впадин, чаанекской и саглинской свитами. Таштыпские известняки — нормально-морские; в бассейне р. Кызыл-Шин намечается опресненная, мелководная, прибрежная часть бассейна; пласты гипса накопились при отступлении таштыпского моря в лагунах.

Себыстейская свита ($D_2gv\ sb$) (стратотип: левый берег Себыстей, в 4,5—6 км выше слияния ее с р. Кок-Узек). В междуречье Себыстей — Ирбисту в основании свиты залегают песчаники серовато-фиолетовые, реже серовато-зеленые, кварцево-полевошпатовые с прослоями фиолетовых и серых тонкослоистых алевролитов и аргиллитов; выше преобладают серые и зеленовато-серые кварцево-полевошпатовые и кварцевые песчаники горизонтально- и косослоистые, в верхах свиты фиолетовые, с прослоями гравелитов и конгломератов из гальки кварца, алевролитов и песчаников и с пластами серых и черных, реже зеленовато-серых и фиолетовых алевролитов и пепловых туфов дацитового порфира. Неполная мощность свиты до 1200 м. В среднем течении р. Уландрык, по материалам Г. А. Чернова и Р. Т. Грациановой, себыстейская свита представлена желтовато-зеленовато-серыми фельзитами, реже фельзит-порфирами и кварцевыми порфирами, переслаивающимися с розоватыми и лиловыми туфами и уфобрекчиями. Мощность свиты 1500 м.

В бассейне р. Кызыл-Шин свита сложена красноцветными алевролитами и мелкозернистыми песчаниками, обычно тонко и неправильно переслаивающимися, горизонтально- и диагонально-слоистыми в низах разреза с 1—3 пластами туфа альбитофира и плагиопорфира. Мощность 700 м.

Нами принят нижнеживетский возраст себыстейской свиты по положению ее в разрезе выше таштыпской свиты и по аналогии с красноцветными эффузивно-терригенными абаканской свитой Минусинских котловин, атак-ильской и ихедушингольской свитами Тувы.

Себыстейская свита сформировалась в континентальных условиях, и лишь в бассейне р. Себыстей существенное значение имеют озерные (или лагунные) фации.

Юстыдская серия ($D_2gv\ D_3fr$) выделена в 1955 г. С. П. Крайниковым, представлена сероцветными терригенными и реже карбонатными морскими отложениями с подчиненным горизонтом пестроцветных терригенных континентальных отложений. В районе Чуйской степи несо-

гласно залегает на сайлюгемской серии девона; в хр. Северо-Чуйском, расположенном западнее, эти серии залегают согласно и соединены постепенным переходом. Внутри юстыдской серии крупные перерывы в осадконакоплении и несогласия отсутствуют.

Юстыдская серия подразделяется нами на следующие свиты (снизу вверх): ташантинская, узунтальская и барбургазинская.

Ташантинская свита ($D_2^{gv\ th}$) выделена в 1955 г. С. П. Крайнихниковым. В наиболее полном разрезе ташантинской свиты — на р. Алты-Гимате — преобладают песчаники тонко- и мелкозернистые, темно-серые и зеленовато-серые, аркозовые и кварцево-полевошпатовые, тонко горизонтально-слоистые; алевролиты и аргиллиты темно-серые и черные, переходящие местами в зеленый филлит, с пачками среднезернистого аркозового песчаника и реже темно-серого известковистого мергеля и известняка. В основании разреза — конгломераты. Аргиллиты распространены главным образом в верхах свиты. Мощность до 4000—5000 м.

В низах ташантинской свиты, на р. Алты-Гимате, встречена фауна *Theodossia schmidtii* (Stuck.), *Pterinea minussinensis* Stuck. и др. (определения автора), характерная для нижних бейских слоев Минусинских котловин (верхнеживетский подъярус).

В самых верхах ташантинской свиты, в бассейне р. Кызыл-Шин, развита разнообразная фауна, в том числе брахиоподы *Schizophoria tulliensis* (Van.), *Megastrophis concava* (Hall), *Plicochonetes setigera* (Hall), *Productella spinulicosta* Hall, *P. spinigera* Kindle, *Waagenoconcha nekhorschewi* Nal., *Uncinulus altaicus* Ržon., *Atrypa waterlooensis* Webst. var., *Euryspirifer cheechiel* (Kon.), *Brachyspirifer martianofi* (Stuck.), *B. Kizy. schinus* Grat., *Rhynchospirina* ex gr. *lopatini* (Stuck.), *Rh. stuckenbergi* Ržon., *Athyris concentrica* Buch. и др. (25 форм) (определения автора); трилобиты *Dechenella* aff. *verneuili* Barr. и *Dechenella* sp. n. (определения З. А. Максимовой); кораллы *Thamnopora cervicornis* (Blainv.), *Favosites basalticus* Lec., *Thecostegites* sp., *Zmeionogorskia publichenkivi* Spass., *Nicholsoniella* sp. n., *Tabulophyllum* sp., *Phillipsastraea* ex gr. *pentagona* (Jones), *Phillipsastraea* sp. n. (определения Б. С. Соколова и Н. Я. Спасского); криноидеи и мшанки, морфологически описанные В. П. Нехорошевым ⁽⁶⁾. Фаунистические комплексы вполне/однозначно указывают на верхнеживетский возраст ташантинской свиты в целом. Ташантинская свита формировалась в нормально-морских условиях, на Кызыл-Шинском участке — в прибрежно-морских; в бассейне же р. Алты-Гимате господствуют фации подводной части дельты.

Узунтальская свита ($D_3^{fr\ us}$) (стратотип: правый берег р. Кызыл-Шин, в 2,3—2,5 км выше поворота реки от меридионального течения к широтному). Во всех разрезах, расположенных к востоку от бассейна р. Чаган-Узун, узунтальская свита представлена алевролитами, фиолетовыми, коричнево-красными и зелеными, с прослоями (1—3 м, иногда до 25 м мощностью) песчаника мелко- и среднезернистого, кварцево-полевошпатового и аркозового, желтого и зеленого. Породы неслоистые, горизонтально- и диагонально-слоистые, местами с асимметричными знаками ряби и трещинами усыхания; встречаются остатки пресноводных рыб — *Voithriolepis* sp. и др. (определение Д. В. Обручева), а в низах свиты, у п. Ташанты — остатки филлопод — *Sphaeres theria celsa* Novoj., *Trigonestheria timanica* (Lutk.) и др. (определения Н. И. Новожилова). Судя по текстуре пород и фауне, — это континентальные отложения. Мощность свиты на р. Кызыл-Шин 120—300 м, в районе пади Согонолу 550—900 м, близ г. Табошок 700 м, в бассейне р. Алты-Гимате около 250 м.

Западнее, в бассейне р. Чаган-Узун, в разрезе свиты чередуются континентальные и морские пачки (снизу вверх): пачка I — красочетные алевролиты, желтые и фиолетовые песчаники (континентальные); пачка II — желтые песчаники (морские); пачка III — песчаники и алевролиты, желтые, зеленые и фиолетовые (континентальные, отчасти морские); пачка IV — зеленые алевролиты с прослоями известняка и песчаника (морские); пачка

— красноцветные алевролиты и песчаники (континентальные). Неполная мощность свиты около 1100 м.

В морских пачках встречается фауна, в IV пачке весьма разнообразная. В первом собраны и определены брахиоподы *Douvillina dutertrii* (Murch.), *Aulacella eifeliensis* (Vern.), *Schellwienella umbraculum* Schl., *Plicochonetes setigera* (Hall), *Productella spinulicosta* Hall, *P. productoides* (Murch.), *Ugnax rigauxi* Mark., *Euryspirifer cf. cheehiel* (Kon.), *Lamellispirifer mecostalis* (Hall) var. *tricostata* Ržon., *Cyrtospirifer schelonicus* Nal., *Rhynospirina stuckenbergi* Ržon., *Athyris concentrica* Buch., *Athyris bayeti* Rigaux., *Anathyris peetzi* Khalif. и др. (23 формы). Мшанки описаны С. Краснопеевой⁽²⁾. Фауна несомненно франская, но примесь характерных верхнеживетских форм и отсутствие *Anathyris phalaena* (Phill.), появляющегося в барбургазинской свите, позволяют относить ее к низам нижне-франского подъяруса. Фауна рыб и листоногих ракообразных также характерна для франского яруса.

Барбургазинская свита (D₃fg bb) выделена С. П. Красильниковым в 1955 г.* В наиболее полном разрезе (бассейн р. Бар-Бургазы) мощность свиты достигает 6500 м, представлена свита песчаниками тонкозернистыми, темно-серыми, тонко-горизонтально- и диагональнослоистыми, кварцево-полевошпатовыми; алевролитами и алевроитовыми аргиллитами, темно-серыми и черными, местами желтыми и зелеными. Обособляются пачки с многочисленными слоями средне- и мелкозернистых аркозовых песчаников розовато-серых, реже зеленовато-серых и оранжево-желтых и кварцево-полевошпатовых среднезернистых серых песчаников.

Своеобразный тип разреза свиты, отличающийся заметным участием грубообломочных пород (серые и черные песчаники, алевролиты, конгломераты и гравелиты мощностью до 2000 м) прослежен А. Б. Дергуновым и др. в осевой части Курайского хребта, в бассейне р. Ильдугем.

В низах барбургазинской свиты бассейна р. Кызыл-Шин распространена богатая фауна. Автором собраны и определены брахиоподы *Schuchercella chemungensis* Conr., *Aulacella eifeliensis* (Vern.) var. *subtetragona* Göhrich., *Plicochonetes setigera* (Hall), *Productella subaculeata* (Murch.), *P. spinulicosta* Hall, *Cyrtospirifer achmet* Nal., *C. schelonicus* Nal., *Lamellispirifer novosibiricus* (Toll), *Anathyris phalaena* (Phill), и др. (всего 23 формы). Мшанки описаны В. П. Нехорошевым⁽⁶⁾. В верхах свиты, на р. Бар-Бургазы, нами найдены остатки брахиопод *Lingula beliakovi* Janov и растений *Archaeopteris archetypus* Schm. и *Niaysia altaica* sp. n. (близкая к *N. plumata* Zal.), по мнению Г. П. Радченко и Н. М. Петросян, верхнефранских. Барбургазинская свита формировалась в морской обстановке, причем в начале барбургазинского времени существовали условия открытого моря, а позднее происходило опреснение бассейна и приближение береговой линии; преобладание получили отложения подводной части дельт.

Девонские отложения, более молодые, чем барбургазинская свита, на юго-востоке Горного Алтая неизвестны.

Всесоюзный научно-исследовательский
геологический институт

Поступило
23 II 1959

ЦИТИРОВАННАЯ ЛИТЕРАТУРА

¹ Н. Н. Горностаев, Сборн. Ойротия, М.—Л., 1937. ² П. С. Краснопеева, Матер. по геол. Зап. Сиб. края, № 20 (1935). ³ В. А. Кузнецов, Вестн. Зап.-Сиб. геол.-гидрогеодезич. треста, в. 5 (1934). ⁴ Д. В. Наливкин, Матер. Центр. научно-иссл. геол.-разв. инст., общ. сер., сборн. 3 (1938). ⁵ В. П. Нехорошев, Тр. Всесоюз. геол.-разв. объединения, в. 177 (1932). ⁶ В. П. Нехорошев, Палеонтология СССР, 3, ч. 2, в. I (1948). ⁷ Л. Л. Халфин, Матер. по геол. Зап.-Сиб. края, № 20 (1935). ⁸ Л. Л. Халфин, Изв. Томск. политехн. инст., 65, 1 (1948).

* Из состава барбургазинской свиты С. П. Красильникова автором выделена узунтагальская свита; в барбургазинскую свиту включены литологически тождественные ей отложения, именовавшиеся Н. С. Коржневым «богутинской формацией», так как в 1957 г. Б. Я. Яковлевым и др. доказана их одновозрастность с верхами барбургазинской свиты в ее стратотипе.

ФАНЬ ДЭ-ЛЯНЬ

О ПИРОСМАЛИТЕ В МЕСТОРОЖДЕНИИ ВАФАНЗЫ, КНР

(Представлено академиком А. Г. Бетехтиным 21 III 1959)

Пиросмалит $(\text{Mn}, \text{Fe})_8\text{Si}_6\text{O}_{15}(\text{OH}, \text{Cl})_{10}$, как один из очень редко встречающихся железо-марганцевых минералов, был обнаружен в последнее время автором в месторождении Вафанзы (КНР). До сих пор он был известен лишь в месторождениях Нордмарк и Даннемора (Швеция), Стерлинг Хилл (Нью Джерси, США), Брокен Хилл (Новый Южный Уэльс, Австралия) и Киуразава (Япония). Первые описания пиросмалита из шведских месторождений относятся еще к XIX веку. В последнее время некоторыми авторами опубликованы результаты более точных и детальных исследований этого минерала.

Фрондель и Бауер ⁽¹⁾ описали пиросмалит из своеобразного цинкового месторождения Стерлинг Хилл, где он встречается в виде прожилков и наблюдается в ассоциации с фриделитом, бementитом и виллемитом. Было проведено оптическое, рентгеновское и химическое исследования минерала. Исходя из соотношения содержаний в минерале закиси марганца и железа (MnO 39,09%, FeO 12,43%), авторы предложили назвать его манганопиросмалитом.

Осборн ⁽²⁾ и Стиллуэллом и Мак-Андрю ⁽³⁾ был описан пиросмалит из высокотемпературного свинцово-цинкового месторождения Брокен Хилл. Рудные тела этого месторождения сложены сульфидами свинца и цинка, силикатами марганца (родонит и марганцевый гранат), магнетитом и др. Пиросмалит в них встречается либо в пустотах и трещинах в виде гексагональных пластинок (толщиной 1,5 см и шириной 3 см), либо как второстепенный, но сравнительно широко распространенный минерал в ассоциации с галенитом, сфалеритом, бустамитом, гранатом и кнебелитом.

Указанные выше авторы изучали пиросмалит с помощью оптических, рентгеновских (дебаеграммы и лауэграммы) и химических методов. На основании повышенного содержания марганца в минерале Осборн ⁽²⁾ назвал его манганопиросмалитом, хотя он не отличается от пиросмалита ни по данным дебаегграмм, ни по размерам элементарных ячеек, ни по оптическим свойствам. Стиллуэлл и Мак-Андрю ⁽³⁾ отмечают, что пиросмалит образуется путем замещения кнебелита и что различные соотношения железа и марганца в нем могут объясняться их первоначальным соотношением в безводных силикатах. Учитывая эти данные, а также весьма незначительные изменения оптических и других свойств по мере изменения химического состава, они считают выделение марганцевой разновидности пиросмалита (манганопиросмалита) бессмысленным.

Пиросмалит, описанный Ватанабе ⁽⁴⁾ в месторождении Киуразава, встречается как один из главных рудных минералов марганцево-железистых силикатных руд.

Рудные тела залегают в палеозойских метаморфизованных тонкослоистых и массивных кремнистых породах и сланцах первоначально осадочного происхождения, интродуцированных массивами гранодиорита, вероятно мезозойского возраста. Руды в месторождении сложены, главным образом, силика-

жи железа и марганца. Пиросмалит встречается в виде грубозернистых агрегатов (иногда до 3 см в поперечнике) вместе с кнебелитом, спессартином, рохманитом, сульфидами (сфалерит, пирротин) и др. Часто наблюдается, безводные силикаты марганца — родонит и кнебелит — замещаются пиросмалитом. Ватанабе считает, что пиросмалит и кнебелит образуются при метасоматозе в связи с интрузией гранодиорита.

Геологические условия нахождения и минеральная ассоциация пиросмалита, впервые обнаруженного нами в месторождении Вафанзы (Северо-Восточный Китай), сильно отличаются от тех, которыми характеризуются упомянутые выше месторождения.

В пределах рудного поля широко развиты нижнепалеозойские осадочные породы. Лишь местами встречаются выходы андезитов и диабазов в виде даек и силл. Рудоносные пачки, сложенные пластообразными или изоморфными рудными телами, находятся в верхнесинийских толщах слабометаморфизованных известняков, глинистых и слюдисто-кварцевых сланцев и алевролитов.

По минеральному составу в месторождении Вафанзы выделяются несколько типов руд: марганитовые, браунитовые и родохрозитовые*. Близ контактов рудных пачек с силлами и дайками андезитов и диабазов наблюдается контактово-метасоматическое изменение руд.

Пиросмалит в виде мелких зернышек (0,04—0,2 мм в поперечнике) очень тесно связан с родохрозитовыми рудами, в которых он распространен довольно широко. Помимо родохрозита в этих же рудах пиросмалит встречается в тесной ассоциации с хлоритом и графитом.

Выделения его чаще всего представлены мелкими пластинчатыми кристалликами, а более или менее крупные — радиально-лучистыми агрегатами. Пиросмалит в прозрачных шлифах бесцветен с зеленоватым оттенком. Обладает слабым плеохроизмом: по N_p — зеленовато-белый, по N_g — светло-зеленый. Угасание прямое, удлинение положительное. Величины светопропускания для λ 589 мμ следующие: $N_g = 1,671 \pm 0,001$, $N_p = 1,636 \pm 0,001$, $N_r = 0,035 \pm 0,001$. Оптически отрицательный, одноосный или двуплощный с очень малым углом оптических осей.

Для более точной диагностики минерала он был отобран из прозрачных шлифов, после снятия покровного стекла, под микроскопом на рентгеновский анализ. При этом не удалось избежать примеси родохрозита. Рентгеновская съемка проводилась с железным излучением, диаметр камеры 2 R — 57,3 мм; диаметр образца d — 0,6 мм. Анализ выполнен М. Т. Янченко в рентгенометической лаборатории ИГЕМ АН СССР. Полученные данные рентгеновского анализа пиросмалита месторождения Вафанзы приведены в табл. 1.

Сравнение данных рентгеновского анализа пиросмалита из разных месторождений показывает хорошее совпадение не только главных линий большой интенсивности, но и почти всех остальных линий. Некоторые линии (2,82, 1,998, 1, 757) на дебаеграммах пиросмалита из месторождения Вафанзы объясняются присутствием в нем родохрозита. Присутствие на дебаеграмме пиросмалита из месторождения Брокен Хилл большого числа линий очень слабой интенсивности, отсутствующих в дебаеграммах пиросмалитов Стерлинг Хилл и Вафанзы, объясняется, очевидно, наличием посторонних примесей в пиросмалите месторождения Брокен Хилл.

Для определения содержания хлора была проанализирована проба карбонатной руды, содержащей по наблюдениям в прозрачных шлифах около 1% пиросмалита. Анализ, выполненный И. Никитиной, показывает присутствие в руде 1,92% Cl. Содержание хлора в чистом пиросмалите по литературным данным составляет около 4%. Таким образом, количество хлора в пробе соответствует содержанию его в пиросмалите.

В карбонатных рудах месторождения Вафанзы пиросмалит прежде всего встречается в родохрозите, причем размер и формы его выделений за-

* По данным химических анализов, в родохрозите постоянно содержится небольшое количество железа.

Межплоскостные расстояния $d(hkl)$ и относительная интенсивность (I) дифракционных линий на дебаграммах пиросмалита

1		2		3		1		2		3	
I	$d(hkl), \text{\AA}$	I	$d(hkl), \text{\AA}$	I	$d(hkl), \text{\AA}$	I	$d(hkl), \text{\AA}$	I	$d(hkl), \text{\AA}$	I	$d(hkl), \text{\AA}$
2	11,5	3	11,60	8*	10,36	следы	1,608	—	—	—	—
8	7,16	10	7,16	9	7,07	следы	1,588	—	—	—	—
$1/2$	6,65	1	6,71	—	—	следы	1,566	—	—	—	—
3	6,06	3	6,09	1*	6,20	5	1,521	5	1,523	4	1,51
$1/2$	5,74	1	5,77	—	—	$1/2$	1,459	—	—	1	1,44
2	4,87	2	4,886	2*	4,70	следы	1,427	1	1,432	—	—
1	4,50	1	4,509	—	—	4	1,419	2	1,419	3	1,41
2	4,35	1	4,376	2	4,32	следы	1,397	1**	1,406	—	—
2	3,73	2	3,736	—	—	2	1,370	2	1,371	1	1,37
5	3,58	8	3,583	5	3,53	2	1,342	2	1,342	2	1,33
$1/2$	3,41	4	3,419	2	3,38	следы	1,287	2	1,285	1	1,30
4	3,34	3	3,338	—	—	3	1,282	—	—	2	1,27
следы	3,15	—	—	—	—	$1/2$	1,268	1	1,266	—	—
2	3,03	2	3,035	—	—	следы	1,259	—	—	—	—
1	2,89	2	2,882	—	—	следы	1,245	—	—	—	—
—	—	—	—	7	2,82	3	1,238	1	1,238	2	1,23
1	2,77	2	2,770	—	—	следы	1,226	—	—	—	—
10	2,69	9	2,683	10	2,70	следы	1,216	—	—	—	—
следы	2,61	—	—	—	—	следы	1,192	1	1,194	1	1,19
$1/2$	2,52	2	2,549	—	—	$1/2$	1,178	—	—	1	1,17
1	2,38	2	2,385	2	2,38	следы	1,152	—	—	—	—
—	—	1	2,334	—	—	$1/2$	1,142	—	—	—	—
7	2,25	7	2,251	8	2,23	4	1,126	2*	1,126	3	1,12
следы	2,20	—	—	—	—	следы	1,118	—	—	—	—
следы	2,13	1*	2,102	2	2,16	1	1,102	1**	1,106	3	1,09
$1/2$	2,09	—	—	3	1,998	следы	1,094	—	—	—	—
следы	2,02	—	—	—	—	2	1,0873	2**	1,089	—	—
следы	1,930	—	—	—	—	4	1,0820	2**	1,082	4*	1,08
следы	1,912	—	—	—	—	следы	1,060	1**	1,063	—	—
следы	1,892	—	—	—	—	4	1,0472	1**	1,047	4	1,04
5	1,840	4	1,843	6	1,830	$1/2$	1,0298	—	—	1	1,02
следы	1,797	1**	1,790	—	—	$1/2$	1,0180	—	—	—	—
$1/2$	1,766	1	1,768	4	1,757	$1/2$	1,0100	—	—	—	—
следы	1,734	1*	1,733	—	—	следы	1,0055	—	—	—	—
5	1,672	5	1,672	5	1,665	5	0,9953	—	—	—	—
4	1,629	4	1,627	4	1,620	—	—	—	—	—	—

Примечание. 1—пиросмалит из месторождения Брокен Хилл, Австралия (2); 2—пиросмалит из месторождения Стерлинг Хилл, США (1); 3—пиросмалит из месторождения Вафанзы, КНР.

* Размытые линии.

** Очень размытые линии.

висят от крупности зерен родохрозита. В крупнозернистых родохрозитах развиваются обычно хорошие мелкие пластинчатые кристаллики или радиально-лучистые агрегаты пиросмалита. В оолитовых родохрозитовых рудах отчетливо наблюдаются различные стадии замещения родохрозита пиросмалитом. На рис. 1 показаны типичные концентрически-зональные оолиты родохрозита, пространство между которыми выполнено кремнистой массой, со

Рис. 1. Концентрически-зональные оолиты родохрозита, сцементированные кремнистой массой с пылевидным графитом (черное). Пластинчатые кристаллики пиросмалита расположены в центральной части большого оолита (справа), а также в кремнистой массе, слагающей ядро и один из концентров двух нижних оолитов. Серое — хлорит. Прозрачный шиф. 30×

Рис. 2. Округлые выделения пиросмалита, возникшие путем замещения оолитов родохрозита. Центральные части сложены радиально-лучистыми агрегатами, а периферические — мелкими пластинчатыми кристалликами пиросмалита. Последние наблюдаются также в цементующей хлоритовой массе (черное). Прозрачный шиф. Николи скрещенные. 30×

Рис. 3. Прожилковидные выделения пиросмалита (белое) в крупнозернистом родохрозите (серое). Черное — хлорит. Прозрачный шиф. 46×

Рис. 4. Мелкие пластинчатые выделения пиросмалита (белое) среди цемента обломков чрезвычайно тонкозернистого родохрозита (темное). Отдельные черные выделения — хлорит. Прозрачный шиф. Николи скрещенные. 46×

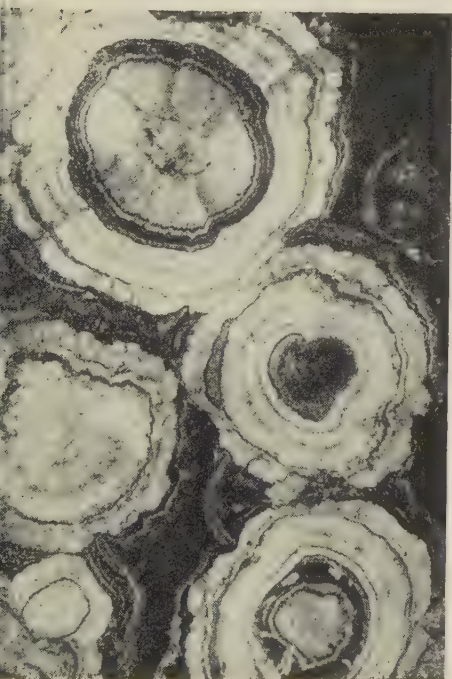


Рис. 1



Рис. 2

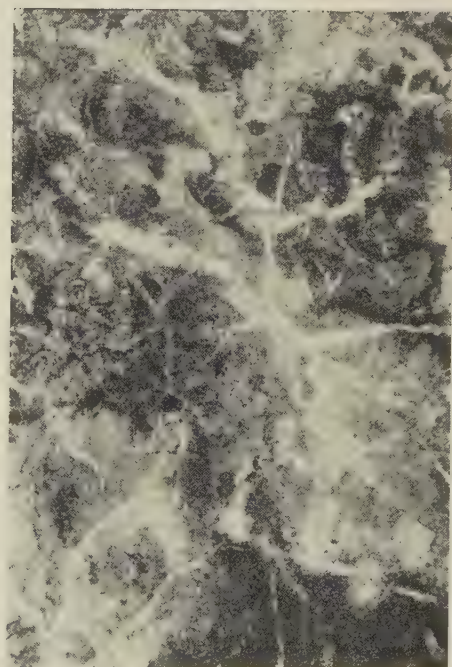


Рис. 3



Рис. 4

ожащей большое число мельчайших пылевидных выделений графита, окрашивающих ее в черный цвет. Кварц с графитом и хлорит слагают также цельные концентры в оолитах. Пиросмалит, представленный пластинчатыми кристалликами, как это видно на снимке (рис. 1), слагает темные центральные части оолитов и развивается в некоторых кремнистых концентраторах. В скрещенных николях выделения пиросмалита видны гораздо отчетливее.

Иногда пиросмалит настолько полно замещает оолиты родохрозита, что концентрически-зональное строение их не сохраняется или наблюдается местами в виде реликтов. На рис. 2 среди черной хлоритовой массы можно видеть округлые выделения пиросмалита, образовавшиеся за счет оолитов родохрозита. Центральные части выделений сложены довольно крупными (до 0,2 мм) радиально-лучистыми агрегатами пиросмалита, а периферические части состоят из мелких пластинчатых кристалликов пиросмалита, наблюдающихся также и среди хлоритовой массы.

В крупнозернистых родохрозитах пиросмалит встречается местами в виде тонких прожилковидных выделений (рис. 3). Эти прожилки располагаются в виде расходящейся из центра сетки и характеризуются неправильной формой и выклиниванием к периферии. Своеобразие их формы и расположения обусловлено, по-видимому, тем, что они выполняют трещинки усыхания в родохрозитовой массе.

В чрезвычайно тонкозернистых родохрозитовых рудах пиросмалит вместе с хлоритом встречается в большом количестве в цементе обломков родохрозита (рис. 4). Он наблюдается в виде хорошо образованных пластинчатых кристалликов и небольших радиально-лучистых агрегатов. В самих родохрозитовых обломках пиросмалит присутствует в незначительном количестве. Обычно он образуется по границам обломков в виде сплошной тонкозернистой каемки. К центру обломков число зерен пиросмалита быстро уменьшается и они бывают представлены тончайшими пластинчатыми кристалликами с неровными, как бы разъеденными очертаниями. Иногда встречаются мелкие хорошо образованные кристаллики.

Большой интерес представляет присутствие в карбонатных рудах с пиросмалитом тонких (до 1 мм) кварцевых прожилков, содержащих различные сульфиды: халькопирит, сфалерит, пирротин, галенит, пирит, марказит. Пиросмалит в этих прожилках наблюдается в виде хорошо образованных пластинчатых кристалликов.

Приведенные выше условия нахождения пиросмалита позволяют считать, что он возникает относительно позже формирования осадочных карбонатных руд марганца. Образование его связано, по-видимому, с привнесом хлора при пропитывании карбонатных руд гидротермальными растворами. Исходниками последних могли послужить изверженные породы, проявления которых в виде силлов и даек андезитов известны в районе месторождения.

В заключение считаю своим долгом выразить благодарность Л. И. Шабыну, оказавшему помощь при диагностике пиросмалита, М. Т. Янченко и И. Никитиной, выполнившим рентгеновский анализ и химическое определение хлора.

Институт геологии рудных месторождений,
петрографии, минералогии и геохимии
Академии наук СССР

Поступило
19 III 1959

ЦИТИРОВАННАЯ ЛИТЕРАТУРА

¹ C. Frondel, L. Bauer, Am. Mineral., 38, № 9/10, 755 (1953). ² H. Osborne, Am. Mineral., 41, № 7/8 (1956). ³ F. Stillwell, J. McAndrew, Mineral. Mag., 31, № 236, 371 (1957). ⁴ T. Watanabe, A. Kato, Mineral. J., 2, № 3, 80 (1957).

В. А. ЛЕОНОВА

О ВЛИЯНИИ ПРИМЕСЕЙ НА ПАРАМЕТР ЯЧЕЙКИ УРАНИНИТА

(Представлено академиком Н. В. Беловым 21 I 1959)

Непостоянство параметра элементарной ячейки уранинита неоднократно отмечалось в литературе. В качестве основной причины этого явления обычно указывается различная степень окисленности природных уранинитов. На примере уранинитов, бедных Th и TR, Г. А. Сидоренко⁽³⁾ показал, что постепенное сокращение параметра ячейки по мере увеличения общей окисленности минерала. Аналогичные исследования, проведенные нами, показали, что возрастание коэффициента общей окисленности уранинита на 0,0 вызывает в среднем уменьшение параметра его ячейки на $0,0003 \text{ \AA}$ (коэффициент окисленности вычисляется как отношение атомных количеств $\frac{U^{6+}}{U^{4+} + U^{6+}}$). Влияния других особенностей химического состава природных уранинитов — содержание примесей Th, TR, Pb — на размеры элементарной ячейки минерала обычно не учитываются.

В настоящей статье рассматривается зависимость параметра элементарной ячейки уранинитов от содержания в них радиогенного свинца и изоморфных примесей Th и TR. В основе статьи лежат результаты изучения серии образцов уранинита из редкоземельных пегматитов одного из районов Советского Союза.

Таблица 1

Химический состав уранинитов

Компонент	1	2	3	4	5	6	7	8	9	10	11	12	13	14
UO ₂	46,41	44,34	42,69	38,40	36,57	35,41	33,66	31,16	29,20	23,07	23,09	18,92	16,64	6,5
UO ₃	28,32	27,27	31,02	35,71	34,71	37,93	38,17	43,17	45,06	51,29	52,27	55,53	59,95	66,5
PbO	20,90	18,01	20,59	20,96	20,41	20,02	20,59	19,85	20,72	19,44	19,91	20,67	19,94	20,3
ThO ₂	0,12	0,85	2,08	2,33	3,96	0,15	1,97	2,27	2,33	2,09	2,24	1,68	2,02	2,3
TR ₂ O ₃	3,35	9,08	3,62	2,60	3,54	5,75	5,61	2,60	1,83	2,44	2,49	2,34	0,55	3,3
Fe ₂ O ₃ (+Al ₂ O ₃)	нет	0,45	—	—	сл.	нет	—	сл.	сл.	сл.	—	—	сл.	—
CaO	0,74	—	—	—	0,64	0,74	—	0,76	0,67	1,42	—	0,69	0,74	—
MgO	0,16	—	—	—	0,17	нет	—	0,19	0,19	0,25	—	0,17	0,16	—
Сумма	100,00	100,00	100,00	100,00	100,00	100,00	100,00	100,00	100,00	100,00	100,00	100,00	100,00	100,00
Уд. вес	8,71	8,28	8,69	—	8,78	8,10	8,38	8,95	8,77	8,57	8,50	8,11	8,91	6,5

Примечание. Анализы 1 и 6 — по Л. В. Комлеву⁽¹⁾ (редкие земли иттриевой группы). Анализ 2 — по И. Е. Старику и др.⁽⁵⁾; содержания U^{IV}, U^{VI}, Pb, Th, T нами пересчитаны на весовые проценты окислов. Анализы 3—5, 7—14 выполнены в кафедре аналитической химии ЛГУ М. Н. Бахваловой и Е. В. Власовой под руководством И. А. Церковницкой.

Данные о химическом составе исследованных уранинитов приведены в табл. 1. Анализы уранинитов пересчитаны на 100% с исключением SiO₂ и потери при прокаливании и расположены в порядке постепенного увеличения отношений UO₃:UO₂. Табл. 1 показывает, что исследованные

раниниты значительно окислены, содержат большое количество радио-
генного свинца*, а также существенную примесь редких земель и тория.

Все анализированные ураниниты были изучены нами рентгенометриче-
ски. Исследование проводилось методом порошка в камерах РКД с диа-
метром 57,3 мм, с использованием неотфильтрованного Си-излучения труб-
ки БСВ. Условия съемки: 35—40 кв, 16—18 ма, диаметр столбика
0,5 мм, экспозиция 6—7 час. Для защиты пленки от радиоактивного из-
лучения образцов применялся двойной слой фольги. Замеры большинства
данных дебаеграмм производились на горизонтальном компараторе ИЗА-2
с точностью $\pm 0,01$ мм. Значения углов отражения исправлялись по
внутреннему стандарту (NaCl). Параметры элементарной ячейки исследо-
ванных уранинитов, полученные путем расчета и индцирования дебае-
грамм и выведенные по 13—16 частным значениям, приведены в табл. 2.

Как видно из табл. 2, параметр
элементарной ячейки исследованных
образцов варьирует в пределах
5,465 — 5,484 Å.

Для чистого UO_2 ребро элемен-
тарного куба, как известно, составляет
5,47 Å. Отклонение параметра элемен-
тарной ячейки природных уранини-
тов от этого значения зависит от
двух основных факторов: степени оки-
сленности минерала и характера и
содержания в нем элементов-примесей
(Th, TR, Pb).

Влияние отдельных элементов, изо-
морфно замещающих U^{4+} в решет-
ке уранинита, различно. Ионный радиус Th^{4+} несколько больше радиуса
 U^{4+} (1,10 Å и соответственно 1,05 Å по Гольдшмидту (9); 1,02 Å и
0,97 Å по Аренсу (7)), и, следовательно, вхождение Th^{4+} на место U^{4+} в
структуре уранинита должно увеличивать параметр ячейки последнего.

Редкие земли иттриевой группы, присутствующие в изученных урани-
нитах, имеют радиусы иона по сравнению с U^{4+} : $R_i(Eu^{3+}-Lu^{3+})=0,98—$
0,85 Å, $R_iY^{3+}=0,92$ Å (по Аренсу), и, следовательно, вхождение их
в решетку уранинита должно уменьшать параметр элементарной ячейки
минерала.

Относительно формы нахождения радиогенного свинца в решетке ура-
нинита высказывались различные предположения. Некоторые исследова-
тели считают, что Pb в уранинитах находится либо в виде атомарного рассе-
яния (6,4), либо в виде твердой фазы окислов (4). Существует также ука-
зание на расположение свинца в структуре минералов по границам бло-
ков (3). Если последние предположения правильны, то в уранинитах, со-
держащих Pb до 20 ат. % и более, следовало ожидать проявления на
рентгенограммах самостоятельной фазы свинца, что на нашем материале
не отмечается.

Согласно данным Вассерштейна (10-12), радиогенный свинец в форме
 Pb^{4+} занимает в структуре уранинита место U^{4+} , и вхождение его в ре-
шетку значительно сокращает параметр ячейки.

Возможность существования Pb^{4+} в решетке уранинита, как нам пред-
ставляется, весьма ограничена, так как Pb^{4+} является сильнейшим окис-
лителем, в присутствии которого должно происходить окисление U^{4+} и
соответственно переход Pb^{4+} в Pb^{2+} . Наиболее вероятной формой нахож-
дения радиогенного свинца в уранинитах является Pb^{2+} , причем послед-
ний располагается в узлах решетки. Это предположение согласуется с

Таблица 2
Параметр элементарной ячейки урани-
нитов

№ обр.	a_0 , Å	Δa_0 , Å	№ обр.	a_0 , Å	Δa_0 , Å
1	5,472	0,002	8	5,474	0,003
2	5,465	0,002	9	5,482	0,002
3	5,475	0,002	10	5,469	0,002
4	5,483	0,003	11	5,477	0,003
5	5,476	0,002	12	5,484	0,002
6	5,475	0,002	13	5,472	0,002
7	5,474	0,002	14	5,480	0,005

* Радиогенный характер свинца в изученных уранинитах доказан рядом исследова-
телей ((2, 6, 1, 5) и др.).

данными Фрондела и Барнеса ⁽⁸⁾, показавших изоструктурность UO_2 и синтезированного ими кубического $\text{Pb}^{2+}(\text{U}^{6+}\text{O}_2)\text{O}_2$, имеющего параметр 5,600 Å. Учитывая различие в радиусах ионов Pb^{2+} (1,20 Å по Аренсу и 1,32 Å по Гольдшмидту) и U^{4+} , можно ожидать увеличения параметра ячейки уранинита с повышением содержания в нем радиогенного свинца. Это увеличение в известной мере должно компенсироваться меньшим радиусом U^{6+} , возникающим в процессе самоокисления в количестве, эквивалентном количеству радиогенного свинца.

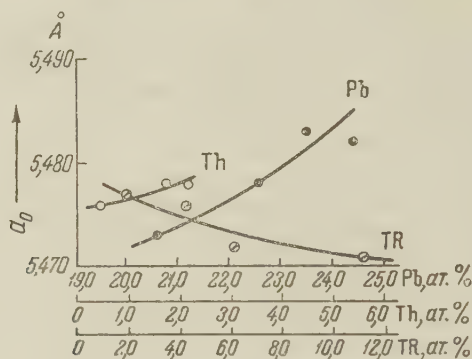


Рис. 1. Зависимость между размерами элементарной ячейки уранинита и содержанием в нем Pb, Th, TR

Влияние элементов-примесей на параметр элементарной ячейки отчетливо видно на примере исследованных уранинитов. На графике (рис. 1) показана зависимость между a_0 изученных уранинитов и содержанием в них Pb, Th, TR (в атомных процентах). Для построения графика использовались данные табл. 3.

Таблица 3

Параметры ячейки для уранинитов с различным содержанием элементов-примесей

Pb				Th				TR			
№№ обр.	ат. %	a_0 , Å		№№ обр.	ат. %	a_0 , Å		№№ обр.	ат. %	a_0 , Å	
		a	б			a	б			a	б
2,10 6,8	20,6	5,467	5,473	1,6,2 12,7	0,5	5,471	5,476	13,9	2,0	5,477	5,477
5,13 1,11, 12,7	22,6	5,474	5,478	13,10 8,3,9,11, 4,14	1,8	5,475	5,478	10,12,11 4,8 1,5	4,3	5,477	5,476
3,9,14 4	23,5	5,478	5,483	—	2,2	5,478	5,478	3,14	6,2	5,476	5,472
	24,4	5,483	5,482	—	—	—	—	7,6,2	11,3	5,471	5,471

Примечание. Исследованные образцы в таблице сгруппированы в разряды с <22; 22—23; 23—24; >24 ат. % Pb, <1,0; 1,0—2,0; 2,0—3,0 ат. % Th, <3,5—5,0; 5,0—7,5 и >7,5 ат. % TR. Атомные проценты Pb, Th, TR для каждого образца получены при пересчете анализов табл. 1 на кристаллохимические формулы. В графах a приведены средние значения a_0 для каждого из разрядов; в б — эти же значения, исправленные на разницу в средних содержаниях Pb, Th, TR между отдельными разрядами. Вводилась также поправка на разницу в степени окисленности образцов, отнесенных к каждому разряду.

Кривые на рис. 1 показывают, что с возрастанием содержания Pb и Th параметр элементарной ячейки уранинита правильно увеличивается; примесь редких земель иттриевой группы, наоборот, вызывает уменьшение параметра. Согласно расчетам, вхождение 1 ат. % Pb^{2+} в решетку

анинита в среднем вызывает увеличение a_0 на $0,0042 \text{ \AA}$ 1 ат. % Th^{4+} $0,0012 \text{ \AA}$, вхождение 1 ат. % YTr^{3+} уменьшает параметр ячейки на $0,010 \text{ \AA}$.

Ленинградский государственный
университет
им. А. А. Жданова

Поступило
5 I 1959

ЦИТИРОВАННАЯ ЛИТЕРАТУРА

¹ Л. В. Комлев, Тр. Радиов. инст. АН СССР, 5, в. 2, 230 (1957). ² К. А. Недкевич, Изв. АН СССР, сер. 6, № 9, 767 (1926). ³ Г. А. Сидоренко, Геохимия, № 1, 22 (1958). ⁴ И. Е. Старик, Э. В. Соболев, Г. П. Ловцюс, В. Ловцюс, Г. В. Авдзейко, Геохимия, № 7, 584 (1957). ⁵ И. Е. Старик, Ф. Е. Старик, Г. В. Авдзейко, А. Я. Крылов и др., Тр. IV сессии миссии по опред. абс. возраста геол. формаций, 83 (1957). ⁶ В. Г. Хлопин, Изв. АН СССР, сер. хим., № 2, 489 (1938). ⁷ L. H. Ahrens, Geochim. et cosmochim. acta, 2, № 3, 155 (1952). ⁸ C. Frondel, I. Barnes, Acta crystallogr., 11, 8, 562 (1958). ⁹ V. M. Goldschmidt, Geochemische Verteilungsgesetze der Elemente, 1, Skr. Norske Videnskaps-Academi, Oslo, 1, Mat. naturv. kl., № 2 (1926). ¹⁰ B. Wasserstein, Nature, 168, № 4270, 380 (1951). ¹¹ B. Wasserstein, Nature, 174, 4439, 1004 (1954). ¹² B. Wasserstein, Nature, 176, № 4473, 159 (1955).

А. А. ТИТЛЯНОВА, А. Н. ТЮРЮКАНОВ и Г. И. МАХОНИНА
О ДЕСОРБИРУЮЩЕМ ДЕЙСТВИИ ПРИРОДНЫХ ЭКСТРАКТОВ

(Представлено академиком И. В. Тюриным 21 III 1959)

Присутствие органических веществ в природных водах, как известно, способствует миграции химических элементов. Действие растворенных в воде органических веществ может быть чрезвычайно разнообразным: это может быть защитное действие на минеральные коллоиды, повышение кислотности среды, образование растворимых простых солей или комплексообразование с различными металлами (¹⁻⁵). Последний процесс особенно важен в связи с миграцией химических элементов, так как растворимые, малодиссоциирующие комплексные соединения являются формой, наиболее способной к миграции. В последние годы, в связи с развитием общих представлений о комплексных соединениях, усилился интерес к природным комплексам, способным переводить металлы непосредственно из кристаллических решеток минералов или из почвенного поглощающего комплекса в почвенные растворы (⁶⁻⁸). Такие природные комплексы существуют в живых организмах, после отмирания последних могут быть экстрагированы из них водой и вновь образоваться при разложении растительных и животных остатков.

Исследуя процессы сорбции и десорбции микроколичеств элементов в почвах, мы изучили десорбирующее действие некоторых природных вытяжек и установили, на примере цинка, комплексную природу этого действия. В числе изученных элементов входили железо, цинк, кобальт и иттрий (обладающие высокими комплексообразующими свойствами), стронций (менее способный к комплексообразованию) и цезий (практически не дающий комплексов). В работе были использованы радиоактивные изотопы этих металлов: Fe⁵⁹, Zn⁶⁵, Co⁶⁰, Y⁹⁰, Sr⁹⁰, Cs¹³⁷. Изотопы были взяты в индикаторных количествах без добавления носителей. Основная часть опытов проведена с луговой почвой (Южный Урал.); в некоторых опытах, кроме того, использованы чернозем (Курская обл.), краснозем (Грузия) и подзол (горизонт А) (Московская обл.).

Было поставлено две серии опытов. В I серии была изучена десорбция железа, кобальта и цинка из различных почв водными вытяжками из зеленых листьев березы, сосны, черемухи и осины, а также зеленой полыни. Для получения вытяжек листья и полынь, в количестве около 100 г, обрабатывали 5 л озерной воды и выдерживали неделю; во II серии опытов, где изучалась десорбция цинка, стронция, иттрия и цезия из луговой почвы, были применены более концентрированные экстракты из листьев осины, черемухи и березы, которые готовили 2-недельным настаиванием 1 л воды на 100 г листьев.

Для сравнения во всех опытах проведена десорбция водой и 0,01% раствором ЭДТА (одного из самых сильных комплексонов).

Методика опытов была следующей. Навеску почвы (1 г) перемешивали в течение некоторого времени (постоянное и достаточное для установления равновесия) в 40 мл раствора определенного радиоизотопа в дистиллированной воде. Затем жидкость центрифугировали, почву промывали 20 мл дистиллированной

ой воды, обрабатывали 40 мл десорбирующего раствора и снова перемешивали с раствором до установления равновесия. По окончании десорбции раствор центрифугировали, и из него брали пробу для определения процента десорбции.

Результаты I серии опытов, представленные на рис. 1, показывают, что вытяжки десорбируют железо, кобальт и цинк меньше, чем раствор ЭДТА, но значительно больше, чем вода. Особенно сильно действуют вытяжки на

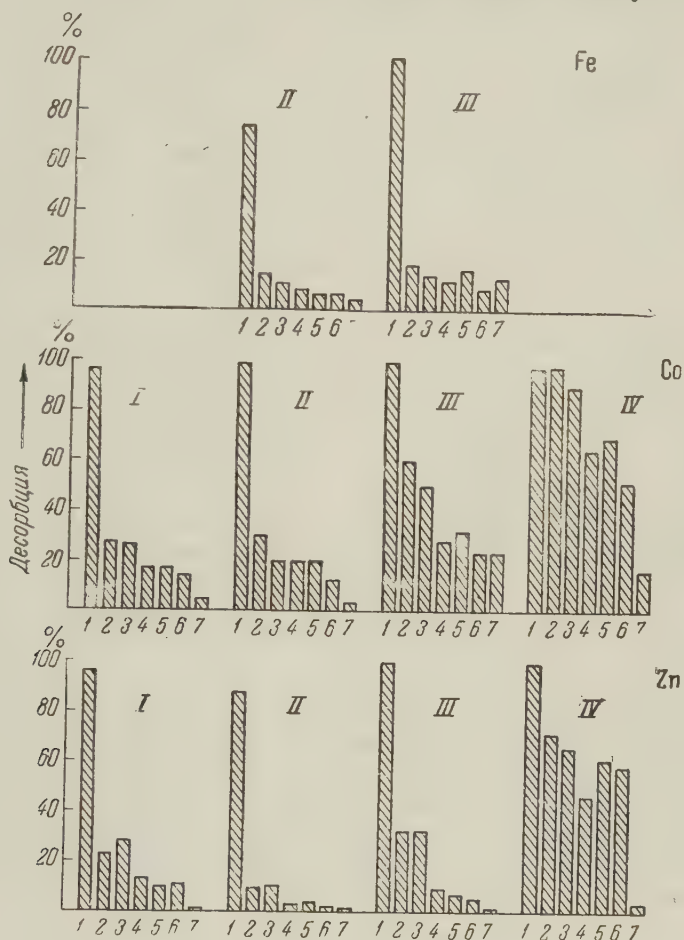


Рис. 1. Десорбция железа, кобальта и цинка из различных почв раствором ЭДТА, природными экстрактами и водой. I — чернозем (11% гумуса), II — луговая почва (10,5% гумуса), III — чернозем (5,7% гумуса), IV — подзол, горизонт A₂. 1 — 0,01 N раствор ЭДТА, 2 — экстракт желтых листьев осины, 3 — экстракт зеленой полыни, 4 — экстракт желтых листьев черемухи, 5 — экстракт желтых листьев березы, 6 — экстракт желтых игл сосны, 7 — дистиллированная вода

кобальт и цинк, железо испытывает меньшее влияние, но и его десорбция вытяжками в среднем в полтора раза выше, чем десорбция водой. Во всех случаях вытяжки из осиновых листьев и из полыни оказывают большее влияние, чем вытяжки из листьев березы, черемухи и сосны. Десорбция на разных почвах происходит по-разному, причем легко заметить, что уменьшение количества гумуса в почве ведет к увеличению процента десорбции. Это можно объяснить, по-видимому, тем, что исследованные элементы связываются прочно органической частью почвы; уменьшение или отсутствие последней приводит к более легкому переходу элементов в раствор. Во II серии опы-

тов (рис. 2) процент десорбции цинка несколько выше, чем в I серии, с более слабыми вытяжками, но порядок действия экстрактов не изменился. Поведение иттрия аналогично поведению железа, цинка и кобальта: он десорбируется вытяжками значительно больше, чем водой, но меньше, чем раствором ЭДТА. Другую картину дает стронций. В отличие от всех остальных изученных элементов, экстракты десорбируют стронций сильнее, чем раствор ЭДТА. В будущей работе необходимо выяснить причины этого явления.

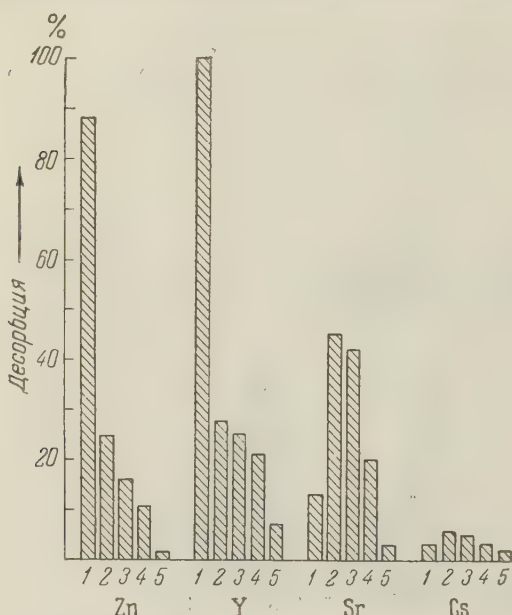


Рис. 2. Десорбция цинка, иттрия, стронция и цезия из луговой почвы раствором ЭДТА, природными экстрактами и водой. 1—0,01 N раствор ЭДТА, 2 — экстракт желтых листьев осины, 3 — экстракт желтых листьев черемухи, 4 — экстракт желтых листьев березы, 5 — дистиллированная вода

к действию ЭДТА (сильнейшего комплексона); в-третьих, нами было еще раньше установлено⁽¹⁰⁾, что такой элемент, как кобальт, десорбируется из чернозема растворами солей и слабой кислотой (0,01 N HCl) незначительно, в то время как раствор ЭДТА десорбировал его на 100%, вытяжек — на 20—30%.

Для доказательства комплексонного действия вытяжек были поставлены специальные опыты с цинком. Прежде всего был установлен pH испытываемых вытяжек, так как довольно часто большую подвижность элементов в водах, богатых органическим веществом, объясняют повышенной кислотностью этих вод. Оказалось, что pH «березовых» вытяжек равнялся 8, а «осиновых» и «черемуховых» 4. Для определения десорбции цинка из почвы водой с различным pH был поставлен специальный опыт. Из результатов опыта видно, что десорбция цинка водой в интервале pH от 8 до 4 остается постоянной и не превышает 1%; небольшое увеличение десорбции происходит при pH 3, и только при pH 2 десорбируется значительное количество цинка:

рН раствора	8	6	4	3	2
Процент десорбции цинка	0,3	0,5	0,4	3,0	20

Следовательно, десорбирующее действие испытанных вытяжек не имеет прямой связи с их активной реакцией.

Полагая, что цинк, десорбированный из почвы вытяжками, находится в растворе не в ионной, а в комплексной форме, мы изучили сорбцию цинка и

Наконец, цезий, элемент практически не комплексующийся чрезвычайно мало десорбируется как раствором ЭДТА так и вытяжками.

На основании полученных результатов возникло предположение, что десорбирующее действие вытяжками объясняется процессами комплексобразования; присутствующие в вытяжках природные комплексоны образуют с поглощенными почвой катионами комплексные растворимые соединения и, таким образом, переводят эти катионы из почвы в раствор. Это предположение имело следующие основания: во-первых, из всех изученных элементов только цезий, не дающий комплексов даже с ЭДТА, чрезвычайно мало десорбировался вытяжками; во-вторых, действие вытяжек в случае десорбции ими кобальта и цинка из подзола приближалось

ших растворов катионитом — смолой «Эспатит-1». Около 50% цинка в этих условиях не поглощается смолой, а остается в растворе:

экстракты	„Березовый“	„Осиновый“	„Черемуховый“
процент цинка, оставшегося в растворе после сорбции	56	42	45

Следующий опыт показал, что из водных растворов с pH 8, 6, 4 и 3 цинк сорбировался смолой на 99%. Результаты этих опытов свидетельствуют о различных формах существования цинка в испытываемых растворах. В водных растворах цинк находится в ионной форме и целиком поглощается катионитом. В вытяжках из листьев осины, черемухи и березы цинк находится в комплексной форме и поглощается смолой частично, в соответствии с тем равновесием, которое устанавливается между сорбированной формой и комплексной, остающейся в растворе. Это равновесие определяется, с одной стороны, прочностью связи цинка со смолой, а с другой, — константами устойчивости его соединений с комплексообразователями, находящимися в экстрактах.

Результаты проделанных опытов позволяют сделать вывод о большом влиянии природных вытяжек (водных настоев листьев и трав) на процессы миграции исследованных элементов в водах и почвах. Эти вытяжки десорбируют металлы из почвы и удерживают их в растворе в широком интервале pH. По-видимому, во всех вытяжках присутствуют те или иные природные комплексоны, способные давать с металлами-комплексообразователями прочные растворимые, малодиссоциированные соединения.

Институт биологии Уральского филиала
Академии наук СССР

Поступило
19 III 1959

Московский государственный университет
им. М. В. Ломоносова

ЦИТИРОВАННАЯ ЛИТЕРАТУРА

- ¹ А. А. Роде, Подзолообразовательный процесс, М., 1937. ² В. В. Пономарева, Почвоведение, № 12 (1947). ³ В. В. Пономарева, Почвоведение, № 11 (1949). ⁴ И. В. Тюрин, Тр. Почв. инст. им. В. В. Докучаева, 23, 23 (1940). ⁵ И. В. Тюрин, Почвоведение, № 10 (1944). ⁶ H. J. Atkinson, I. R. Wright, Soil Sci., 84, № 1 (1957). ⁷ C. Bloomfield, J. Sci. Food and Agric., 6 (1955). ⁸ J. A. Schufle, Soil Sci., 84, № 4 (1957). ⁹ M. H. Miller, A. J. Ohlrogge, Soil Sci. Soc. Am. Proc., 22, № 3, 225 (1958).

И. М. ВАСИЛЬЕВ и Е. И. МАСЛОВА

ДЕЙСТВИЕ РЕНТГЕНОВСКОГО ОБЛУЧЕНИЯ НА МЕРИСТЕМНЫЕ КЛЕТКИ ЗАЧАТОЧНОГО СТЕБЛЯ ПШЕНИЦЫ

(Представлено академиком А. Л. Курсановым 10 III 1959)

И. М. Васильевым было показано, что после облучения небольших растений пшеницы рентгеновскими лучами в дозах, подавляющих рост, листья в течение недели продолжают еще удлиняться. Особенно наглядно это в случае, если растения сразу после облучения срезать на уровне coleoptилей. Тогда из трубок coleoptилей начинают выступать «растающие» листья, создавая впечатление продолжающегося роста. Достигнув примерно трехкратной величины по отношению к длине coleoptилей, эти листья останавливаются в «росте», и теперь уже всегда.

Вместе с этим обращало на себя внимание и следующее явление. После облучения растений не полностью подавляющими рост дозами первые более или менее сформировавшиеся ко времени облучения листья отстают в росте и удлиняются в меньшей степени, чем соответствующие листья необлученных растений. А листья более молодые, напротив, удлиняются сильнее, однако всегда при этом оказываются более узкими. Еще позднее появляющиеся листья приобретают нормальную ширину, но выглядят более укороченными (¹⁻³).

Расшифровку этих явлений нужно искать, прежде всего, в анатомических изменениях зачаточного стебля, поскольку там именно возникают новые листья. В связи с этим были проведены описываемые ниже исследования.

На рис. 1 представлены микрофотографии препаратов, сделанных из суточных растений озимой пшеницы № 599 — необлученного и облученного накануне дозой 3000 г. Были сделаны также препараты из растений, облученных дозами 1000 и 5000 г. Первые имели такой же вид, как необлученные, вторые — как облученные дозой 3000 г. Ко времени облучения растения имели по одному развитому листу.

У необлученного растения мы видим основание 1-го настоящего листа (coleoptиль не показан), составленное из вакуолизированных, но не сильно растянутых клеток, основание 2-го листа, удлиненный купол 3-го листа, зачаток 4-го листа в виде валика, охватывающего конус нарастания, зачаток 5-го листа, который выглядит бугорком справа от конуса нарастания. 2—5-й листья, как и конус нарастания, составлены полностью из меристемных клеток. Ниже конуса нарастания клетки становятся все крупнее и явно вакуолизируются.

Совершенно иначе выглядит зачаточный стебель растения, облученного дозой 3000 г. Все клетки стали крупнее. Вместе с этим произошло резкое изменение в органобразовании, наглядно проявляющееся при сопоставлении самых молодых листьев. 3-й лист здесь представлен в виде несомкнувшегося наверху купола (левая часть его несколько повреждена), явно меньших размеров по сравнению с соответствующим листом необлученного

растения. Зачаток 4-го листа едва наметился в виде небольшого вздутия справа. Зачатка 5-го листа нет. Он не появился.

Посмотрим теперь, как выглядят зачаточные стебли таких же растений через 10 суток после облучения, когда удлинение листьев у растений, облученных подавляющими рост дозами, уже закончилось. На рис. 2 представлены микрофотографии препаратов, сделанных из необлученного, облученного дозой 1000 г и облученного дозой 5000 г растений. Для растений, облученных дозой 3000 г, картина та же, что и для облученных дозой 5000 г.

У необлученного растения имеется теперь шесть листьев, из них 4-й - в виде купола, окаймляющего конус нарастания. У облученного дозой 1000 г тоже шесть листьев, но купол 4-го листа значительно более удлиненный (видны только остатки его вверху), а зачаток 5-го листа более развит, чем соответствующий зачаток необлученного растения. В остальном картина примерно одинаковая. Никаких видимых различий в величине клеток по сравнению с необлученным растением нет.

Резко отлична картина у растения, облученного дозой 5000 г. Число листьев здесь по сравнению с более ранним временем не увеличилось. Но клетки листьев стали значительно крупнее. Сильно растянутые клетки занимают теперь и всю зону собственно стебля. Общее впечатление таково: произошла полная дезорганизация всех находящихся в зачаточном стебле меристемных тканей.

В дополнение к этим визуальным сравнениям были сделаны также количественные определения величины клеток конуса нарастания необлученных и облученных растений через 10 дней после облучения. Результаты получились следующие (в микронах при 630 X):

Необлученные	1000 г	3000 г	5000 г
52,6±3,5	50,2±4,4	186,1±9,8	184,8±14,1

Как мы видим, облучение дозой 1000 г не сказалось на величине клеток конуса нарастания. Облучение дозой 3000 г, напротив, сказалось резко: величина клеток конуса нарастания после такого облучения значительно возросла. Дальнейшее же увеличение дозы до 5000 г уже не вызвало никаких изменений: различий в величине клеток растений, облученных дозами 3000 и 5000 г, практически не было.

Таким образом, микроскопические наблюдения за изменением зачаточного стебля пшеницы после рентгеновского облучения подавляющими рост дозами (3000 и 5000 г) выявляют уже через сутки наличие эффекта облучения в виде прекращения закладывания зачатков новых листьев и увеличения размеров клеток. В последующем размеры клеток еще более возрастают, и через 10 суток после облучения зачаточный стебель оказывается полностью дезорганизованным. Все меристемные ткани в нем исчезают. При облучении меньшей дозой (1000 г), когда рост подавляется только частично, размеры клеток зачаточного стебля не изменяются и меристемные ткани сохраняются. Особенным является повышение темпа развития зачаточных листьев.

В свете этих наблюдений описанное ранее временное удлинение листьев растений пшеницы, наступающее после облучения подавляющими рост дозами, можно рассматривать как следствие вакуолизации и растяжения клеток. Никакого роста в данном случае нет. Он прекращается сразу же после облучения. Что же касается более раннего появления нескольких ярусов очередных листьев у растений, облученных не полностью подавляющими рост дозами, то оно связано с более быстрым развитием зачаточных листьев, которые подвергались облучению. Искать в данном случае причину в увеличении размеров клеток нет основания. Скорее, это происходит за счет более быстрого деления клеток. Однако здесь нельзя говорить о

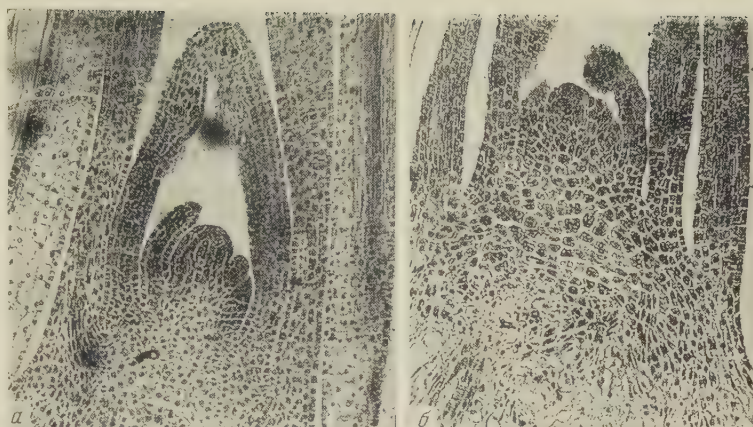


Рис. 1. Микрофотографии продольных разрезов зачаточных стеблей 5-суточных растений озимой пшеницы № 599. *а* — необлученное растение, *б* — облученное накануне дозой 3000 г. Коллептили не показаны

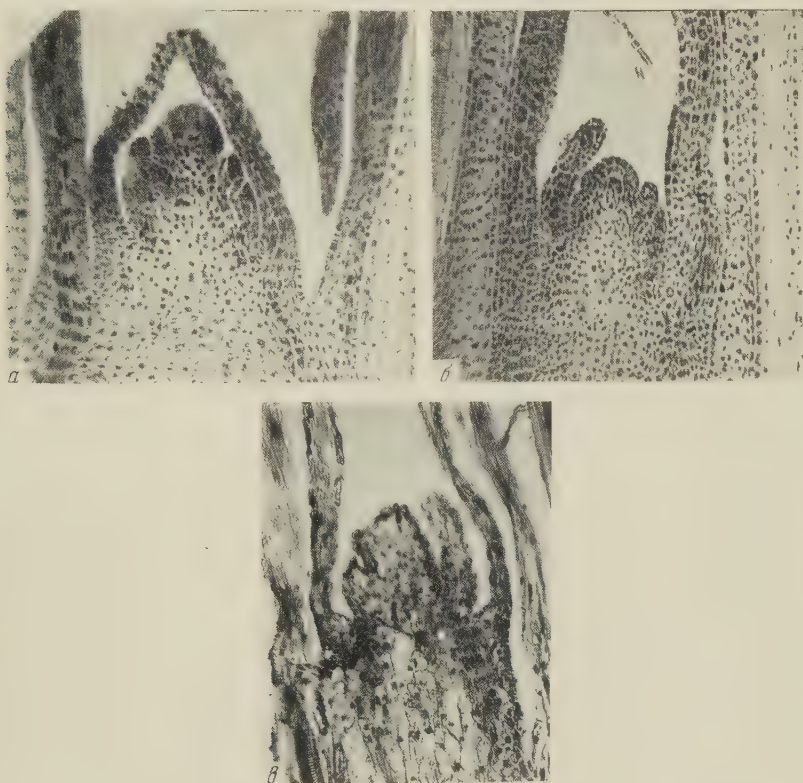
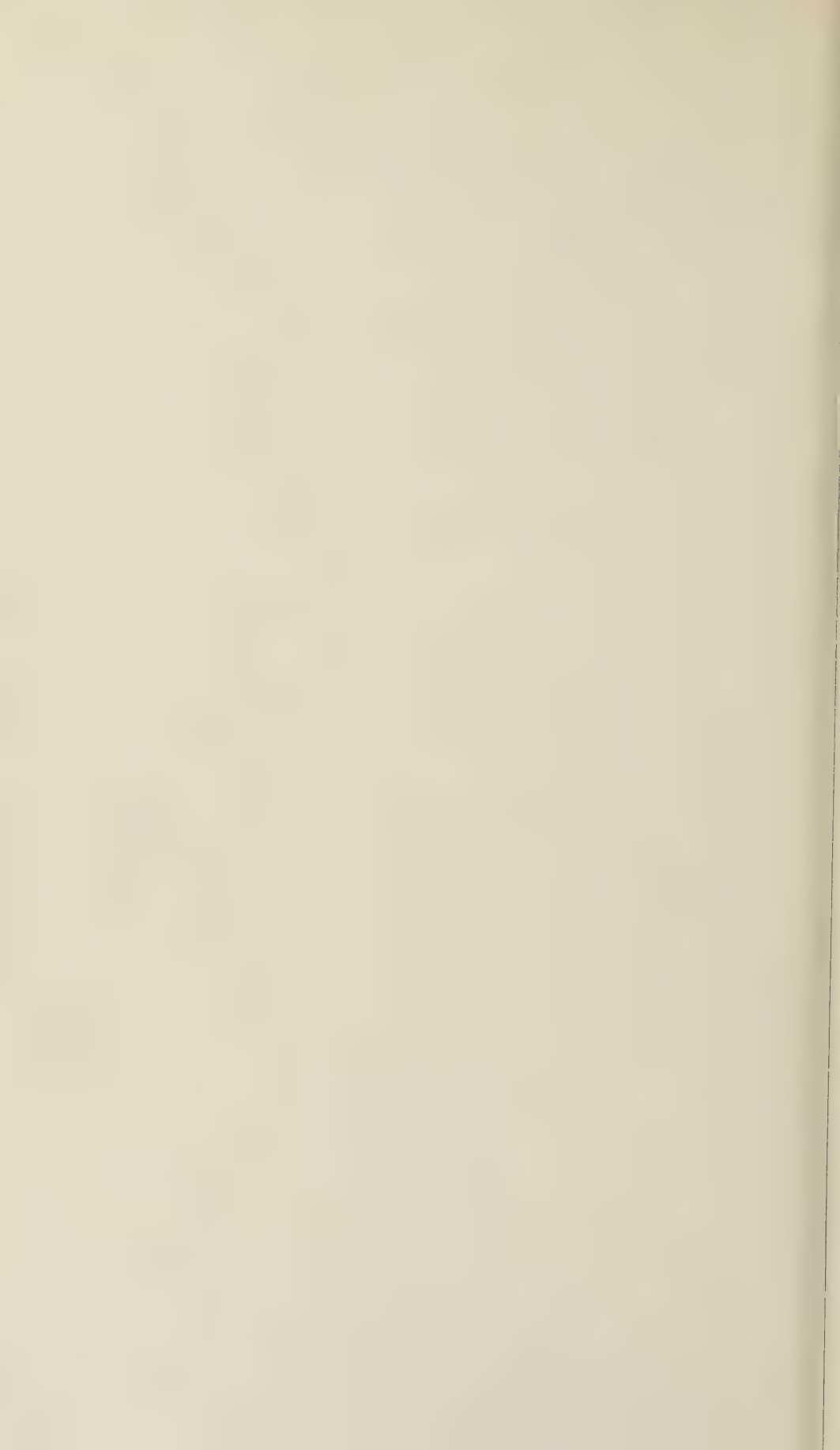


Рис. 2. Микрофотографии продольных разрезов зачаточных стеблей 2-недельных растений озимой пшеницы № 599. *а* — необлученное растение, *б* — облученное дозой 1000 г, *в* — облученное дозой 5000 г 10 дней назад. Коллептили не показаны



стимуляции роста, так как более рано появляющиеся листья у облученных растений всегда оказываются и более узкими. Более интенсивное удлинение листьев в этом случае происходит за счет уменьшения их ширины.

Институт биологической физики
Академии наук СССР

Поступило
9 III 1959

ЦИТИРОВАННАЯ ЛИТЕРАТУРА

¹ И. М. Васильев, ДАН, 116, № 1, 49 (1957). ² И. М. Васильев, ДАН, 116, № 3, 401 (1957). ³ И. М. Васильев, Цинь Су - юнь, Биофизика, 3, в. 4, 154 (1958).

С. Р. ЗУБКОВА и А. Л. ПЛАТОНОВ

К МЕХАНИЗМУ ЗАЩИТНОГО ДЕЙСТВИЯ СПИРТА ПРИ РЕНТГЕНОВСКОМ ОБЛУЧЕНИИ МЫШЕЙ

(Представлено академиком Л. С. Штерн 6 III 1959)

Установлено, что введение раствора этилового спирта до облучения значительно повышает выживаемость различных животных (¹⁻⁵). Высказываемые гипотезы о природе защитного действия спирта имеют большей частью умозрительный характер и недостаточно учитывают роль биохимических факторов в этом процессе. Образование H_2O_2 при облучении вследствие радиолиза воды в ткани привлекло внимание к выяснению роли каталазной системы в развитии лучевого поражения. Хотя результаты, полученные различными авторами при изучении этого вопроса, довольно разноречивы, однако большинство исследователей наблюдали в ранние сроки после тотального облучения животных очень незначительные изменения активности каталазы. Вместе с тем, поскольку каталаза защищает клетки от накопления токсической H_2O_2 , образующейся в физиологических условиях в процессах окисления, можно было предполагать, что при облучении, когда в клетке количество H_2O_2 увеличивается, те химические вещества, которые способны активировать каталазу или ускорить ее оборачиваемость, могут играть защитную роль.

В опытах *in vitro* Л. С. Штерн (⁶) показала, что спирт может защищать каталазу от тормозящего действия некоторых продуктов метаболизма, которым она дала общее название «антикаталаза».

С другой стороны, также в опытах *in vitro* (⁷) было установлено, что если к окислительной системе, реагирующей непосредственно с кислородом, прибавить каталазу и спирт, то каталаза, соединяясь с H_2O_2 , может действовать как пероксидаза и окислять спирт в альдегид.

Таким образом, если процессы, протекающие *in vivo*, подчиняются тем же закономерностям, которые установлены для них *in vitro*, можно предполагать, что при наличии спирта в тканях в процессе облучения может активироваться либо способность каталазы разлагать H_2O_2 , либо ее пероксидазная функция.

В задачу настоящей работы входило: 1) установление условий, при которых можно вызвать защитное действие спирта на эффект облучения; 2) выяснение влияния предварительного введения спирта на активность каталазы и алкогольдегидразы печени в разные сроки после облучения; 3) выяснение влияния предварительного введения спирта на структурные изменения ядерных нуклеопротеидов костного мозга при облучении.

Каталазная активность печени определялась газометрически в разные сроки после облучения и выражалась количеством миллилитров O_2 , выделившегося при разложении 4 мл 0,5 N H_2O_2 (при pH 7) 1 г ткани за 5 мин. В каждом опыте обычно соединялась печень от двух крыс, и из одной навески производилось два параллельных определения.

Алкогольдегидраза определялась по методу Тунберга в присутствии метиленовой сини.

В каждом опыте выживаемость изучалась на 12 мышах. Из них 6 мышам 30 мин. до облучения внутрибрюшинно вводился 25% раствор спирта физиологическом растворе из расчета 1 или 2 мл на 100 г веса животного. Остальные 6 мышей облучались непосредственно, поскольку нами было показано, что предварительное введение физиологического раствора в объеме введенного спирта не оказывает влияния на выживаемость мышей после облучения.

После введения спирта мыши через несколько минут впадали в сонное состояние, и в таком состоянии подвергались облучению.

Условия облучения: аппарат РУП. 190 кв, 15 ма, фильтры 0,5 мм Cu + 0,75 мм Al — расстояние 35 см, мощность дозы 45—50 г/мин.

Облученные мыши обычно взвешивались через день, сроки гибели животных отмечались, и по окончании опыта высчитывалась средняя продолжительность жизни мышей, облученных в различных условиях опыта. Результаты приведены в табл. 1.

Из табл. 1 видно, что при облучении 900 г применяемая доза спирта оказывает эффекта защиты и только незначительно увеличивает продолжительность жизни облученных животных. При облучении 600 г предварительное введение мышам спирта даже в количестве 1 мл на 100 г веса животного дает отчетливый эффект защиты, который еще больше выражен при увеличении дозы спирта до 2 мл.

В этом случае процент мышей, переживших 30 дней, больше чем вдвое превышает контроль.

Подтвердив таким образом установленное другими авторами защитное действие спирта при облучении, мы исследовали влияние этого фактора на каталазу печени облученных животных.

Результаты этих опытов приведены в табл. 2.

Таблица 1

Влияние предварительного введения спирта на продолжительность жизни облученных мышей

Доза облучения, г	Число мышей в опыте	Колич. спирта на 100 г жив. веса, мл	Продолжительность жизни, дн.	Число переживших 30 дней, %
900	34	—	6,7	0
900	34	1	8,7	0
600	46	—	15,8	30
600	12	1	19,3	50
600	34	2	24,4	67

Таблица 2

Каталазная активность печени у мышей в разные сроки после облучения в мл О₂

Норма	Облучение			Облучение в присутствии спирта		
	5 мин.	24 часа	8—10 дн.	5 мин.	24 часа	8—10 дн.
5,84±0,14 (14)	5,66±0,2 (12)	—	—	5,74±0,22 (12)	—	—
5,52±0,8 (12)	—	4,67±0,25 (10)	—	—	4,92±0,20 (14)	—
5,60±0,10 (12)	—	—	2,64±0,50 (12)	—	—	3,88±0,41 (12)

Примечание. В скобках указано число опытов.

Анализ табл. 2 показывает, что в самые ранние сроки после облучения активность каталазы не снижается и у облученных мышей не отличается от активности этого фермента у мышей в норме; предварительное введение спирта каталазной активности не меняет. Через 24 часа отмечается некоторое незначительное снижение активности каталазы при облучении (15,4%). Оно еще менее выражено при облучении в присутствии спирта. На высоте лучевого поражения снижение активности каталазы выражено очень резко, достигая 52,9%. Некоторое отставание снижения в этот период отмечается у мышей с предварительно введенным спиртом.

Изучение действия ингибиторов на каталазу печени в разные сроки после облучения могло бы пролить свет на причины отсутствия изменения активности в ранние сроки и снижение активности в поздние. В качестве ингибитора каталазы мы применили NaNO_3 ⁽⁸⁾, который прибавлялся в среду непосредственно перед прибавлением H_2O_2 . Полученные результаты приведены в табл. 3.

Таблица 3

Действие NaNO_3 на каталазную активность печени мышей
(в процентах торможения каталазной активности)

Концентр. ингибитора	Доза облуч., г	Время после об- лучения	Каталазная активность		
			без об- лучения	облучение	облуч. в присутств. спирта
0,2 мл 3 М	600	5 мин.	79,2	82	82
0,2 мл 0,4 М	600	5 мин.	50	49	52
0,2 мл 0,4 М	900	4 сут.	52	70	67

Если бы молекула каталазы претерпела в ранние сроки после облучения структурные изменения, то, вероятно, ее устойчивость к ингибитору была бы различной в опыте и в контроле. Однако, как видно из табл. 3, процент торможения фермента в ранние сроки после облучения определяется исключительно концентрацией ингибитора и одинаков для контроля и опыта. Это позволяет считать, что в ранние сроки после облучения каталаза не поражается.

В более поздние сроки тормозящий эффект ингибитора выражен в опыте сильнее, чем в контроле. Это, по-видимому, можно объяснить снижением количества фермента в опыте в результате двух параллельно протекающих процессов — усиления процессов распада белка наряду со снижением его синтеза. Последнее предположение находит подтверждение в недавно опубликованной работе ⁽⁹⁾.

Авторы, изучая синтез каталазы у раковых мышей и применяя для этой цели радиоактивное Fe , показали, что к концу опыта при снижении активности каталазы скорость включения Fe^{59} в печень резко снижалась.

Наряду с каталазой нами определялась в печени алкогольдегидраза. Активность этого фермента в печени нормальных мышей подвергалась большим колебаниям. Это не дало нам возможности отметить закономерности в изменении активности алкогольдегидразы под влиянием облучения.

Отсутствие изменений активности каталазы печени в ранние сроки у облученных мышей и тот же эффект при предварительном введении спирта позволяют считать, что каталаза не относится к ферментам, первично поражаемым ионизирующей радиацией. Само защитное действие спирта не связано, по-видимому, с включением каталазы в процесс его окисления, о чем также свидетельствует поведение алкогольдегидразы.

В свете полученных нами данных заслуживает внимания работа ⁽¹⁰⁾. Автор путем однократного внутрибрюшинного введения 3-амино-1-2-4-триазола крысам вызывал резкую редуцию каталазы печени и почек.

Облучение крыс со сниженной каталазой этих органов не увеличивало смертности облученных мышей; отсюда автор приходит к выводу, что летальный эффект не связан с каталазой. Вопрос относительно участия каталазы в окислении спирта *in vivo* изучался также при помощи вышеуказанного ингибитора ⁽¹¹⁾. Вводя спирт крысам нормальным и крысам с редуцированной при помощи 3-амино-1-2-4-триазола каталазой печени, эти авторы определяли скорость окисления спирта, активность алкогольдегидразы и каталазы; ими было показано, что снижение активности каталазы путем введения ингибитора не сопровождалось изменением скорости метаболизма спирта, равно как и изменением активности алкогольдегидразы.

Полученные нами результаты, а также литературные данные позволяют думать, что в процессах, протекающих *in vivo*, защитное действие спирта, видимо, связано с повышением резистентности других, более радиочувствительных биохимических и физиологических систем.

К органам, обладающим высокой радиочувствительностью, относится корковый мозг, который характеризуется высоким уровнем обмена нуклеопроизводств. В настоящий момент считается установленным, что именно эта биохимическая система наиболее легко повреждается ионизирующими излучениями.

Методом люминесцентной микроскопии (¹²) было показано, что в определенных условиях опыта уже через 2 часа после облучения в пунктах коркового мозга можно выявить структурные и физико-химические изменения ядерных нуклеопротеидов. Критерием степени поражения, согласно авторам, может служить количество микронекрозов в костном мозге (пропорциональное дозе облучения).

Ниже представлены данные, полученные при изучении вышеуказанным методом микронекрозов в костном мозге у облученных мышей и у мышей, которым до облучения вводился спирт (число некрозов в 1 мг мозга):

Облучение	Облучение в присутствии спирта
1399 \pm 211	491 \pm 26
(12 опытов)	(12 опытов)

Из этих данных видно, что предварительное введение мышам спирта задерживает наступление ранних поражений, отмечаемых в ткани костного мозга при облучении.

Выводы. 1. Предварительное введение раствора этилового спирта до облучения увеличивает продолжительность жизни мышей.

2. Активность каталазы печени облученных мышей не меняется в ранние сроки после облучения и резко падает на высоте лучевого поражения.

3. Предварительное введение спирта мышам не влияет на активность каталазы в ранние сроки после облучения и несколько задерживает снижение активности фермента на высоте лучевого поражения.

4. Полученные данные позволяют считать, что в повышении резистентности мышей при облучении в присутствии спирта каталаза роли не играет.

5. Предварительное введение спирта задерживает наступление ранних поражений костного мозга.

Институт биологической физики
Академии наук СССР

Поступило
16 III 1959

ЦИТИРОВАННАЯ ЛИТЕРАТУРА

- ¹ W. I. Burnett, G. E. Stapleton et al., Proc. Soc. Expt. Biol. and Med., 7, 636 (1951). ² E. Paterson, H. Mathews, Nature, 168, 1126 (1951). ³ L. S. Cole, M. Ellis, J. Am. Phys., 170, 3, 724 (1952). ⁴ M. Praslicko, P. Pelesko, Československá, Biologie, 5, № 1, 54 (1956). ⁵ Н. В. Лучник, Атомная энергия, № 5, 134 (1956). ⁶ F. Battelli, L. Steru, Die Katalase, 1910. ⁷ D. Keilin, E. Hartry, Biochem. J., 39, 293 (1945). ⁸ Н. С. Демянская, М. П. Знаменская, Микробиология, 25, 5 (1956). ⁹ G. Ceriotti, L. Spandio, A. Agradi, Biochim. et Biophys. Acta, 27, 432 (1958). ¹⁰ W. Friedberg, Proc. Soc. Exp. Biol. and Med., 93, 32 (1956). ¹¹ F. W. Kinard, G. Nelson, M. G. Hay, Proc. Soc. Exp. Biol. and Med., 92, 772 (1956). ¹² М. Н. Мейсель, В. А. Сондак, ДАН, 105, 69, 1221 (1955).

Н. Т. ПРЯНИШНИКОВА и В. А. ПЧЕЛИН

О СВЯЗИ МЕЖДУ АНЕСТЕЗИРУЮЩИМИ СВОЙСТВАМИ АНЕСТЕТИКОВ И ИХ ПОВЕРХНОСТНОЙ АКТИВНОСТЬЮ

(Представлено академиком П. А. Ребиндером 19 III 1959)

В настоящее время вопрос о механизме действия анестезирующих веществ еще недостаточно изучен. Несомненно одно, что в механизме анестезирующего действия имеют значение по крайней мере два фактора: способность анестетиков к адсорбции на поверхности клеток и взаимодействие их со специфическими (в химическом отношении) структурами рецептора.

Существует много исследований, посвященных изучению связи между химическим строением и биологическим действием анестетиков. В настоящее время известно, что анестезирующая активность соединения зависит от присутствия в его молекуле ароматической кислоты, связанной эфирной или изостерной с ней связью с азотсодержащей основной группой. Однако в этих исследованиях не устанавливается зависимость между строением и первой фазой биологического действия — проникновением вещества к месту реакции и адсорбцией его на клеточной поверхности, хотя изучение этого физико-химического процесса, предшествующего химической реакции, не менее важно для понимания механизма биологического действия.

Эдриани⁽¹⁰⁾, Гудмэн и Гильмэн⁽¹²⁾ высказали предположение, что интенсивность и длительность анестезирующего эффекта определяется количеством адсорбированных рецептором молекул и временем, в течение которого молекула анестетика пребывает в адсорбированном состоянии, а это в свою очередь зависит от следующих факторов: а) скорости проникновения молекул к рецептору, б) способности анестетиков к адсорбции, в) скорости инактивирования молекулы анестетика в ткани. В настоящей работе мы изучали один из факторов, определяющих способность веществ к адсорбции на поверхности клеточной структуры. Известно, что таким фактором является поверхностная активность веществ.

Впервые вопрос о влиянии местных анестетиков на поверхностное натяжение воды был освещен в исследованиях, проведенных Траубе и Блюменталь⁽¹⁾, которые пришли к выводу, что анестетики обладают слабой поверхностной активностью. Однако, как справедливо указывает Ребиндер⁽³⁾, использование данных о влиянии веществ на поверхностное натяжение в системе водный раствор — воздух для суждения об их поверхностной и соответственно физиологической активности (Траубе) ошибочно, — необходимо проводить измерения и на границе двух жидкостей.

Адамс с сотр.⁽²⁾ на серии алкил-пара-аминобензоатов и Бенедикт, Дейли и Арним⁽⁴⁾, работая с производными прокаина, Мейшер⁽⁵⁾, изучая препараты из ряда дибукаина, Воян и Крамер⁽⁹⁾ на гомологах 2-алкокси-4-аминометилхолинов установили общую взаимозависимость анестезирующего эффекта и поверхностной активности.

В серии исследований Скоу⁽¹⁴⁾ показано, что анестетики обладают капиллярной активностью как в форме свободного основания, так и в форме катиона, причем между поверхностной активностью препаратов и их анестезирующим и раздражающим действием существует прямая зависи

мость. Резек и Сир (¹⁶), работая с производными карбаминовой кислоты, получили в результате статистической обработки экспериментальных данных коэффициенты корреляции физико-химических констант с анестезирующими свойствами, которые достаточно убедительно показывают связь этих факторов. Авторы более ранних работ — Лефлер и Бриль (⁶), Гарднер и Семб (⁷) и Бюхи (¹¹) — не нашли соответствия между биологической активностью анестетиков и их влиянием на поверхностное натяжение.

При анализе изложенной выше литературы можно отметить противоречивость результатов, полученных разными авторами, а также ряд методических неточностей. Одни исследователи — Адамс (³), Роман и Шерль (⁸), — пользуясь сталагмометрическим методом измерения поверхностного натяжения, сравнивали число капель воды и анестетика при концентрации анестетиков 50 ммол/л без учета влияния величины капли. Многие авторы при определении блокирующей нерв концентрации анестетика не поддерживали постоянную величину pH раствора препарата. Изучение влияния анестетиков на межфазное поверхностное натяжение должно проводиться, как известно, после установления равновесия концентраций веществ в исследуемых фазах. Однако не во всех работах эти условия соблюдались.

Таким образом, вопрос о взаимозависимости анестезирующего действия и поверхностных свойств анестетиков не может считаться

полностью выясненным. В связи с этим задачей настоящего исследования явилось дальнейшее сопоставление поверхностноактивных свойств и анестезирующего действия ряда анестетиков.

Терминальная анестезия изучалась на роговице глаза кролика при помощи метода Ренье — Валета. Для суждения об активности препарата вычислялся индекс по Валету — отношение концентрации контрольного раствора (в наших исследованиях новокаина) и опытного, вызывающих одинаковый анестезирующий эффект, оцениваемый по способу Ренье.

Поверхностная активность определялась путем снятия изотерм адсорбции, которые выражали зависимость поверхностного натяжения от концентрации анестетика на границе двух фаз: водный раствор анестетика — воздух и водный раствор анестетика — бензол. Измерения поверхностного натяжения проводились по методу максимального давления пузырьков на приборе Ребиндера всегда при строго выдержанных условиях: при 20°, после установления равновесия, при pH 5,0 и 7,0. Важным методическим вопросом являлся выбор промежутка времени, необходимого для образования равновесного адсорбционного слоя. Было проведено две серии измерений, причем в I серии определение проводилось сразу после образования границы раздела, а во II серии поверхностное натяжение измерялось че-

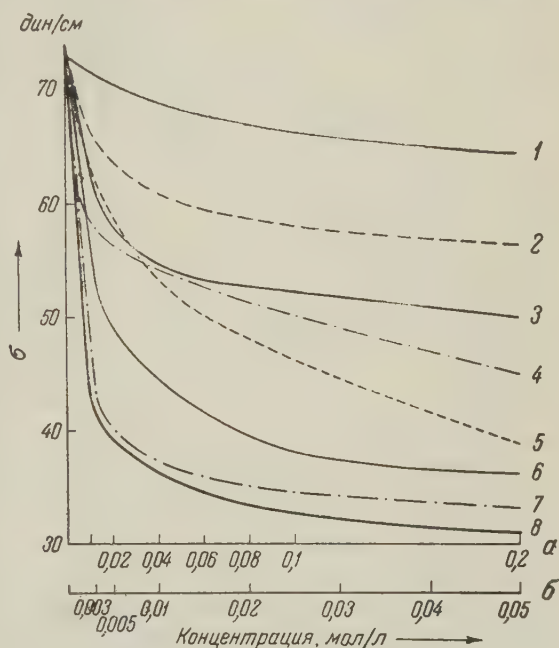


Рис. 1. Поверхностное натяжение растворов анестетиков в воде на границе с бензолом при pH 7,0. а — для анестетиков 1—4, б — для анестетиков 5—8. 1 — новокаин, 2 — кокаин, 3 — ксилокаин, 4 — мезокаин, 5 — дикаин, 6 — совкаин, 7 — оксикаин № 4, 8 — оксикаин № 12

рез 30 мин., 1 и 2 часа после образования границы раздела. Результаты этих исследований показывают, что постоянное значение поверхностного натяжения (σ) достигается сравнительно быстро. В связи с этим определения σ проводились со свежесформированными поверхностями. За достоверный результат принималось среднее значение из 10 повторных измерений.

Из анестезирующих средств были испытаны новые соединения: ксилокаин, мезокаин (производные ди- и триметиланилидов), оксикаин № 4, оксикаин № 12 (производные сложных эфиров пара-алкоксибензойных кислот) и препараты, широко применяющиеся в медицинской практике: новокаин, кокаин, дикаин, совкаин.

Проведенные исследования показали, что оксикаины (№ 4 и № 12), совкаин, дикаин, ксилокаин и мезокаин обладают высокой поверхностной активностью. В порядке убывающей поверхностной активности на границе фаз водный раствор анестетика — воздух и водный раствор анестетика — бензол исследованные препараты располагаются следующим образом: оксикаин № 12, оксикаин № 4, совкаин, дикаин, мезокаин, ксилокаин, кокаин, новокаин. Таким образом, более всего снижает поверхностное натяжение оксикаин № 12, слабой поверхностной активностью обладает новокаин (см. рис. 1).

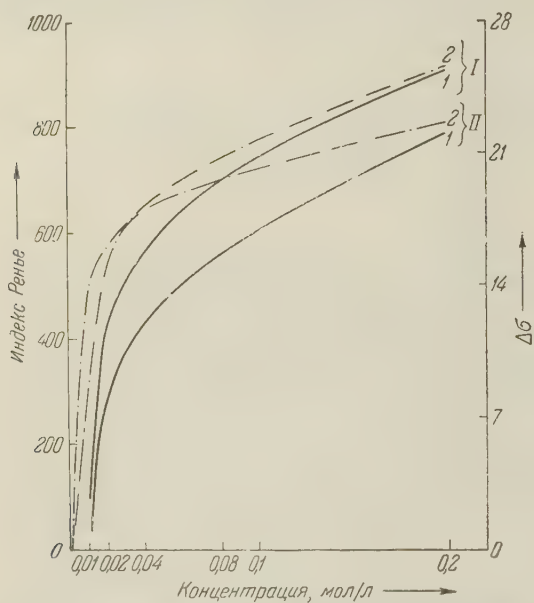


Рис. 2. Анестезирующее действие и поверхностная активность мезокаина (I) и ксилокаина (II) на границе с бензолом при pH 7,0. I — анестезирующее действие, выраженное в индексах Ренье; 2 — поверхностная активность, выраженная в дин/см

Абсолютная активность анестетиков на границе изученных фаз водный раствор анестетика — воздух и водный раствор анестетика — бензол различна.

Установлено, что между способностью исследованных анестетиков вызывать терминальную анестезию и их поверхностной активностью наблюдается симбатная зависимость. Ее можно выявить как при сопоставлении изученных свойств различных анестетиков (см. табл. 1), так и при сравнении результатов исследования одного анестетика (рис. 2). В табл. 1 приведены данные, характеризующие относительную анестезирующую активность (индексы Валета 0,003 M растворов различных анестетиков, вычисленные по отношению к новокаину), и значения поверхностной активности (относительные $\Delta\sigma$ для анестетиков, взятых в разных концентрациях, при условии, что $\Delta\sigma$ для новокаина принята за единицу). При рассмотрении табл. 1 виден параллелизм между поверхностной и анестезирующей активностью испытанных препаратов. Вещества высоко поверхностноактивные, а именно оксикаины № 12, № 4 и совкаин, обладают наиболее сильным анестезирующим действием.

Найдено, что с увеличением pH от 5,0 до 7,0 влияние всех анестетиков на поверхностное натяжение растет, причем порядок взаимнорасположенных веществ при этих двух значениях pH один и тот же. При этом сохраняется также параллелизм между относительной поверхностной и анестезирующей активностью (см. табл. 1).

Полученные результаты говорят в пользу представления о непосредственной связи между поверхностной активностью и анестезирующим дей-

Таблица 1

Препарат	Индекс по Валету (0,003 М раств.)	Относит. Д ₅₀ при различных концентрациях в мол/л													
		0,01	0,02	0,04	0,05	0,1	0,2	0,003	0,005	0,01	0,02	0,04	0,05	0,1	0,2
		рН 5,0						рН 7,0							
Кокаин $\text{H}_{20}\text{O}_2\text{N}_2 \cdot \text{HCl}$	1	1	1	1	1	1	1	1	1	1	1	1	1	1	1
Кокаин $\text{H}_{21}\text{O}_4\text{N} \cdot \text{HCl}$	12,2	7,80	6,70	5,80	5,23	3,32	2,30	×	×	3,78	3,32	3,13	2,79	2,46	2,02
Ксилокаин $\text{H}_{22}\text{O}_4\text{N}_2 \cdot \text{HCl}$	1,97	8,60	8,10	7,66	7,11	4,67	3,40	×	×	5,72	5,36	4,81	4,38	3,71	2,81
Кокаин $\text{H}_{24}\text{O}_4\text{N}_2 \cdot \text{HCl}$	3,21	19,0	13,5	12,2	11,7	7,57	5,14	×	×	8,90	5,87	4,86	4,45	3,99	3,44
Кокаин $\text{H}_{24}\text{O}_2\text{N}_2 \cdot \text{HCl}$	76,8	29,0	27,7	22,8	21,7	+	+	21,1	13,8	10,5	9,00	8,57	7,96	+	+
Кокаин $\text{H}_{25}\text{O}_2\text{N}_3 \cdot \text{HCl}$	168,1	50,4	43,7	31,5	27,9	+	+	38,4	23,5	16,9	12,0	9,64	8,57	+	+
Кокаин № 4 $\text{H}_{30}\text{O}_3\text{N} \cdot \text{HCl}$	188,4	55,3	47,7	36,7	34,5	+	+	58,9	32,7	21,4	13,7	10,5	9,30	+	+
Кокаин № 12 $\text{H}_{30}\text{O}_3\text{N} \cdot \text{HCl}$	193,2	77,0	59,7	42,9	38,5	+	+	60,3	33,6	21,9	14,2	10,9	9,72	+	+

Примечание. Знак × означает, что при данных концентрациях анестетики не показали измеримой поверхностной активности; знак + означает, что при данных концентрациях поверхностная активность не измерялась, так как максимум анестезирующего действия соответствует концентрации 0,05 М.

Вывод. Из этих данных следует, что как поверхностная активность, так и анестезирующий эффект выше у свободных оснований, чем у анестетиков в форме катионов. Этот вывод в особенности важен в связи с тем, что в тканевой среде, имеющей рН ~7,4, анестетики действуют в известной мере в форме свободных оснований.

Параллелизм между анестезирующей и поверхностной активностью не всегда строгий. Так, например, кокаин, который вызывает сравнительно короткую терминальную анестезию, превосходя в этом отношении мезокаин и ксилокаин, уступает этим препаратам по своим поверхностноактивным свойствам. Это расхождение говорит о том, что, как уже указывалось выше, на анестезирующий эффект влияет несколько факторов, изучению которых будут посвящены наши дальнейшие исследования.

Выяснение зависимости анестезирующего действия различных анестетиков от физико-химических свойств может способствовать пониманию механизма их действия и изысканию новых препаратов с заданными свойствами.

Институт фармакологии и химиотерапии
Академии медицинских наук СССР

Поступило
16 II 1959

Московский государственный университет
им. М. В. Ломоносова

ЦИТИРОВАННАЯ ЛИТЕРАТУРА

- 1 J. Traube, F. Blumental, Zs. f. exp. Pat. Ther., 2, 117 (1905).
- 2 R. Adams, R. Rideal et al., J. Am. Chem. Soc., 48, 1758 (1926).
- 3 П. А. Ребиндер и В. Б. Ефимов, Бюл. exper. биол. и мед., 11, 31, 108 (1929).
- 4 H. Benedict, S. Dailey, S. Arnim, Dent. Cosmos., 71, 866 (1929).
- 5 K. Meischer, Helv. Chem. Acta, 15, 163 (1932).
- 6 M. Leffler, H. Brill, J. Am. Chem. Soc., 55, 35 (1933).
- 7 J. Gardner, J. Semb, J. Pharmacol. and Exptl. Therap., 54, 309 (1935).
- 8 C. Rohmann, B. Scheurle, Arch. Pharmazie, 274, 236 (1936).
- 9 H. Wajahn, H. Kramer, Arch. Pharmazie, 276, 303 (1938).
- 10 J. Adriani, The Chemistry of Anesthesia, 1946.
- 11 J. Büchi, Arzneimittel-Forsch., 2, 114 (1952).
- 12 L. Goodman, A. Gilman, The Pharmacological Basis of Therapeutics, 1952.
- 13 Н. А. Преображенский, Э. И. Генкин, Химия органических лекарственных веществ, 1953.
- 14 J. Skou, Acta pharmacol. et toxicol., 9, 281 (1954).
- 15 F. Luduena, I. Horpe et al., Arch. internat. pharmacodyn., 101, 1737 (1955).
- 16 A. Reček, S. Šir, Naturwissenschaften, 43, 303 (1956).

ФИЗИОЛОГИЯ РАСТЕНИЙ

А. Н. БУГАКОВА

СКОРОСТЬ ПОСТУПЛЕНИЯ СЕРЫ В РАСТЕНИЯ СОИ

(Представлено академиком А. Л. Курсановым 25 II 1959)

До недавнего времени прямые способы определения скорости передвижения веществ в растении отсутствовали и вместо этого приходилось прибегать к косвенным методам и расчетам (1, 2).

В последнее время был использован изотопный метод при определении скорости передвижения органических веществ (3-6) и скорости поступления фосфора (7-9).

Установлено, что скорость передвижения фосфора в растении не является постоянной величиной. Она зависит от внутренних причин (вид растения, возраст) и изменяется под влиянием факторов внешней среды. В большинстве случаев скорость передвижения радиофосфора составляла несколько десятков сантиметров в час (от 13 до 100 см/ас), т. е. уже через 1—2 часа после подкормки фосфор может поступить в потребляющие его органы растений.

Нами весной 1954 г. изучалась скорость поступления серы в растения сои (сорт Харбинская 231 а). Растения выращивались в водной культуре на $\frac{1}{4}$ нормы питательной смеси Кнопа. Температурные условия контролировались и поддерживались на одинаковом уровне (20 — 25° днем, 15° ночью). Свет давался в течение 12 час.; в пасмурные дни применялось досвечивание люминесцентными лампами.

В течение опыта мы вели наблюдения за ростом и развитием растений, а также с помощью бинокулярного микроскопа тщательно следили за дифференциацией точек роста, заложением и развитием генеративных органов.

Изучение скорости поступления серы в растения проводилось с помощью радиоактивного изотопа S^{35} . В сосуд на 2,5 л питательной смеси вносилось по 0,62 мКи S^{35} в виде раствора $Na_2S^{35}O_4$. Определялось время, по истечении которого меченая сера появлялась в листьях отдельных ярусов. Для этого в течение 7—10 час. после внесения меченой серы в питательный раствор брались пробы (высечки из листьев) с интервалами в 30—60 мин. Площадь высечки соответствовала площади слюдяного окна торцового счетчика. Свежая высечка листа помещалась на подставку из пластмассы под счетчиком так, что к слюдяному окну была обращена нижняя сторона листа. Подставка давала возможность расположить препараты строго против слюдяной мембраны и каждый раз на одном и том же расстоянии от счетчика. Полученные результаты выражались в импульсах в минуту на площадь препарата. Учитывая явление самораспада изотопа, мы пересчитывали все данные измерений активности на начало опыта.

Зная длину стебля и черешка листа, а также время прохождения этого расстояния радиоактивным изотопом, можно было легко рассчитать скорость передвижения его в листья, значение которой определялось скоростью поглощения корнями и скоростью передвижения по стеблю и тканям листа.

Время обнаружения S^{35} в листьях сои и скорость ее продвижения

Фаза роста и развития	Возраст растений (в днях)	Простой лист		1-й лист		2-й лист		3-й лист		4-й лист		5-й лист	
		а	б	а	б	а	б	а	б	а	б	а	б
Начало роста простого листа	14	1 ч.	8,6	—	—	—	—	—	—	—	—	—	—
Начало простого листа и 1-го тройчатого листа и появление 2-го листа	16	1 ч. 30 м.	5,7	—	—	—	—	—	—	—	—	—	—
Начало 1-го тройчатого листа и роста 2-го листа	24	2 ч.	5,9	1 ч. 30 м.	10,6	—	—	—	—	—	—	—	—
Начало 2-го тройчатого листа и роста 3-го листа. Образование стечничков и пестиков	27	4 ч. 30 м.	3,2	1 ч. 30 м.	15,4	1 ч. 30 м.	14,0	—	—	—	—	—	—
Начало 5-го тройчатого листа. Цветение и образование бобов	33	~24 ч.	—	8 ч.	3,0	2 ч.	13,2	2 ч.	13,4	—	—	—	—
	48	—	—	~24 ч.	—	6 ч.	4,3	3 ч.	11,1	2 ч.	20,6	2 ч.	21,3

Примечание. а—время от момента введения радиоактивной серы в питательный раствор до ее поступления в листья, б— скорость продвижения радиоактивной серы к листьям в сантиметрах в час.

Как видно из данных табл. 1, раньше всего радиоактивная сера обнаружилась в верхних листьях, которые наиболее энергично росли (табл. 1). Чем ниже был расположен лист на стебле, т. е. чем больше был его календарный возраст, тем больше времени проходило от начала опыта до момента обнаружения радиоактивности в листе. Если на первых фазах роста и развития растений в простой лист сера поступала через 1—2 часа, то уже в разгу 2-го тройчатого листа и роста 3-го листа на это потребовалось около 4 час. Данная закономерность наиболее отчетливо выражена у растений фазе 5-го тройчатого листа и появления 6-го листа, где резко видна разница между давно образовавшимися листьями (1-й и 2-й лист) и более молодыми, только появляющимися (4-й и 5-й лист).

Следует, однако, иметь в виду, что при малой интенсивности поступления серы в старые листья в них некоторое время нельзя было обнаружить радиосеру, присутствующую в очень малых количествах.

При рассмотрении данных табл. 1 нетрудно заметить, что чем выше расположен лист на стебле, тем с большей скоростью происходило поступление в него серы. Во 2-й лист 48-дневной сои сера поступала немного быстрее, чем со скоростью 4 см/час, а в 5-й лист того же растения со скоростью более 20 см/час. С возрастом листа скорость поступления серы в него снижалась до ничтожной величины.

В листьях верхних ярусов во все исследуемые нами фазы роста и развития растений радиосера обнаруживалась через 1,5—2 часа после начала опыта, но опытные растения в различные сроки наблюдений сильно отличались по длине стебля. Следовательно, скорость поступления серы в листья верхних ярусов с возрастом растений все увеличивалась: от 5—8 см/час простой лист (являющийся верхним) у 14—16-дневной сои до 20 см/час верхние листья 48-дневного растения. По мере отдаления интенсивно отребляющих серу органов от корневой системы передвижение серы в них ускорялось.

Таким образом, скорость поступления серы в растения сои не является постоянной величиной; она изменяется в онтогенезе и различна для отдельных листьев. Скорость поступления определяется потреблением данного элемента тем или иным органом, а последнее зависит от темпа роста этого органа.

В нашем опыте значения скорости колебались от 10—15 см в сутки до 34 см в час.

Работа выполнена под руководством И. И. Гунара.

Поступило
23 II 1959

ЦИТИРОВАННАЯ ЛИТЕРАТУРА

- ¹ Ф. Кэртис, Передвижение растворенных веществ в растениях, 1937.
² Д. А. Сабинин, Минеральное питание растений, 1940. ³ А. Л. Курсанов, Бот. журн., 39, № 4 (1954). ⁴ А. Л. Курсанов, Меченые атомы в разработке научных основ питания растений, 1954. ⁵ G. P. Verpoen, Iowa State Coll. J. Sci., 27, № 2 (1953). ⁶ G. P. Verpoen, S. Aronoff, Arch. Biochem. and Biophys., 36, № 2 (1952). ⁷ А. П. Ваганов, Новые материалы к физиологическому обоснованию подкормки сельскохозяйственных растений (обычных и внекорневых), Автореферат диссертации, 1953. ⁸ Е. И. Ратнер, Т. А. Акимочкина, ДАН, 86, № 4 (1952). ⁹ O. Biddulph, I. Markle, Am. J. Bot., 31, 2 (1944).

ФИЗИОЛОГИЯ РАСТЕНИЙ

А. Ш. ГАЛСТЯН и А. Г. АВАКЯН

**ИЗМЕНЕНИЕ ФИЗИОЛОГИЧЕСКОЙ АКТИВНОСТИ
КОРНЕЙ ПОМИДОРА ПОД ВЛИЯНИЕМ ЧЕКАНКИ**

(Представлено академиком А. Л. Курсановым 6 III 1959)

Одним из агротехнических приемов, повышающих продуктивность растений, является чеканка. Изучению ее влияния на растения посвящено много работ. Однако при оценке эффективности чеканки исследователи в основном учитывали размеры и качество полученного урожая, обращая при этом внимание только на морфологические изменения и перераспределения питательных элементов надземной части растений ⁽¹⁾. До сих пор мало изучалось действие чеканки на ход физиологических процессов растений, ведущих к образованию урожая. В частности, почти нет исследований влияния чеканки на физиологические процессы в корневых системах.

В настоящей работе изучали влияние чеканки на дыхание корневой системы помидора, выращенного на различных фонах минерального удобрения. Исследование проводилось на помидорах, на средне-позднеспелом сорте Анаит. Рассада выращивалась в парниках и в 45-дневном возрасте (21 V 1958 г.) переносилась в вегетационные вазоны, набитые дерновой почвой — в каждом по 11,5 кг. Опыт имел три повторности. Перед высадкой рассады в вазоны на каждый килограмм почвы были внесены минеральные удобрения в следующих количествах (в г): 1) контроль — без удобрения, 2) N 0,5, P 3,5, K 0,5; 3) N 1; P 7, K 1; 4) N 1,5, P 10,5, K 1,5; 5) N 2, P 14, K 2.

В каждом варианте было по четыре растения, из них на двух производилась глубокая чеканка. Чеканка была проведена 21 VII, в момент появления первых созревших плодов. Удалялись точки роста всех плодоносящих побегов: основного, заменяющего (выходящего вблизи первой плодовой кисти), и трех боковых, выходящих из пазух нижних листьев основного стебля. Образцы для анализов составлялись из корней трех растений с каждого варианта. Корни снимались методом промывки и распределялись по порядкам. Дыхание корней определялось следующим образом ⁽²⁾: навеска корней помещалась в сетчатую корзиночку, и в колбах с хлоркальциевой трубкой с помощью барита учитывалась продукция углекислоты. Одновременно ставился контроль — для учета углекислоты воздуха в колбе. После экспозиции (1 час) титрованием 0,05 N соляной кислотой контроля и опыта определялось количество CO₂ в миллиграммах на 100 г сырого веса корней за час. Приведенные данные являются средними из девяти определений. Активность ферментов определялась общепринятыми методами ⁽³⁾.

Исследования показали, что чеканка меняет физиологическую активность корней растений помидора как по глубине их залегания, так и по порядкам разветвления. Из данных определения дыхания видно, что чеканка надземной части растений сильно сказывается на его корневой системе (рис. 1). При этом в особенности повышается физиологическая активность корневых волосков, которые здесь представлены как корни III порядка. Интенсивность дыхания корней под влиянием чеканки сравнительно

но больше увеличивалась в верхнем горизонте корневой системы; с глубиной продукция углекислоты уменьшалась. Эта закономерность отмечалась не только в отношении интенсивности дыхания, но и для активности пероксидазы (табл. 1).

Таблица 1

Активность ферментов в корнях помидора в зависимости от глубины их залегания и порядковых разветвлений (30 VII) при чеканке

Горизонт и порядок корней	Пероксидаза, мг пурпургалина на 1 г сухой массы за 5 мин.		Инвертаза, мг глюкозы на 1 г сух. массы за 1 час.	
	без чеканки	чеканка	без чеканки	чеканка
0—10 см	88	197	19	34
10—20 см	131	210	17	44
20—30 см	217	214	33	52
I	103	123	29	40
II	132	196	21	31
III	200	302	20	59

Активность пероксидазы в верхнем горизонте корневой системы (0—10 см) повышалась в два с лишним раза. Затем, с глубиной залегания действие чеканки постепенно уменьшилось. Последнее вполне коррелировало с дыханием.

Активность инвертазы корневой системы также повышалась под влиянием чеканки, причем по глубине залегания корней она увеличивалась. В корнях III порядка активность инвертазы и пероксидазы была намного выше, чем в корнях II и I порядка.

Определение интенсивности дыхания корней растений помидора, выращенных на различных фонах минерального удобрения, показало, что

продукция углекислоты корневой системы в различно удобренных вариантах обратно пропорциональна урожаю (рис. 2). Определение дыхания производилось на 40 день после чеканки (30 VII).

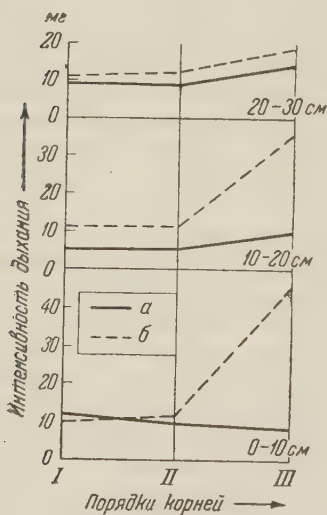


Рис. 1. Интенсивность дыхания (в миллиграммах CO_2 на 100 г сырого веса в час) корней, в зависимости от глубины их залегания, и порядковых разветвлений. а — корни нечеканенных растений, б — корни чеканенных растений (через 10 дней после чеканки, 30 VII)

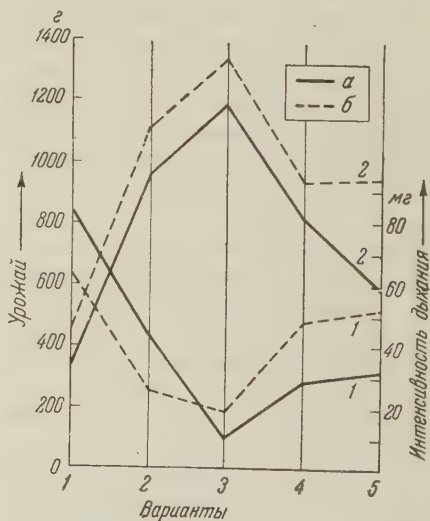


Рис. 2. Влияние удобрений и чеканки на интенсивность дыхания корней (1) и урожай (2). а — нечеканенные растения, б — чеканенные растения. Интенсивность дыхания в тех же единицах, что на рис. 1

Выяснилось, что повышенные и пониженные нормы удобрений повышают интенсивность дыхания корней. Повышение интенсивности дыхания корней наблюдалось также в неудобренном варианте. В варианте № 3 * (1 : 7 : 1).

* Номера вариантов см. выше.

где растения находились при благоприятных условиях питания, получился самый высокий урожай. Корни растений этого варианта имеют сравнительно низкую интенсивность дыхания. Это объясняется тем, что растения по оптимальному варианту питания (1 : 7 : 1) раньше созрели и в момент определения дыхания корней, которое производилось в конце созревания плодов, были ближе к окончанию жизненного цикла. Чеканка во всех вариантах повысила урожай. Только в варианте № 5 (2 : 14 : 2) прибавка урожая складывалась за счет сборов зеленых плодов, а в остальных вариантах урожай полностью созрел.

Таким образом, результаты наших исследований показали, что чеканка повышает физиологическую активность корней. Выяснилось, что с помощью изучения физиологических процессов корневой системы на различных фонах удобрения можно найти наилучшие условия питания, обеспечивающие высокую продуктивность растений.

Лаборатория агрохимии
Академии наук АрмССР

Поступило
10 XI 1958

ЦИТИРОВАННАЯ ЛИТЕРАТУРА

¹ А. Г. А в а к я н, Докл. АН АрмССР, 22, № 3 (1956). ² А. Ш. Г а л с т я н, Г. П. Ц ю п а, Сообщ. лаб. агрохим. АН АрмССР, № 2 (1959). ³ Е р м а к о в и др. Методы биохимических исследований растений, 1952.

ФИЗИОЛОГИЯ РАСТЕНИЙ

С. Н. ЛИТВИНЕНКО

**УКРАИНСКИЙ ГИББЕРЕЛЛИН — ЭФФЕКТИВНЫЙ РОСТОВЫЙ
СТИМУЛЯТОР**

(Представлено академиком А. Л. Курсановым 20 III 1959)

История открытия гиббереллинов — стимуляторов роста и цветения растений — связана с изучением болезни «дурных побегов», или «бакана» риса, заключающейся в чрезмерном удлинении растений, влекущем за собой их ослабление и гибель. Возбудителем болезни оказался грибок *Gibberella fujikuroi* — половозрелая стадия *Fusarium moniliforme*. Из выделений этого грибка Ябута и Хаяси ⁽¹⁾ получили активное вещество, названное по имени возбудителя болезни гиббереллином. Позднее Стодола и др. ⁽²⁾ получили гиббереллин и гибберелловую кислоту ферментативным способом на искусственной среде.

Гиббереллины оказались веществами высокой физиологической активности. Раствор гиббереллина в воде в разведении $1 \cdot 10^{-6}$ во много раз ускоряет рост и развитие растений (фасоль, горох, кукуруза, перец, томаты, табак, просо и др.). Наиболее подробная сводка результатов исследования гиббереллинов за рубежом составлена Стоу и Ямаки ⁽³⁾, цитирующими свыше 200 работ.

В Советском Союзе исключительно интересную работу с гиббереллинами зарубежного происхождения ведет группа ученых во главе М. Х. Чайлахяном. Результаты исследований М. Х. Чайлахяна позволяют сделать выводы о зависимости действия гиббереллинов от фотопериодической реакции растения; установлен факт цветения и плодоношения под действием гиббереллина у озимых форм и сеянцев двухлетних в условиях, исключая яровизирующее действие пониженных температур ⁽⁴⁻⁶⁾.

Препарат, сходный по действию с гиббереллином, получила и испытала группа микробиологов и физиологов растений в Академии наук СССР ^(7, 8). В 1958 г. в Киеве В. И. Билай (Институт микробиологии АН УССР) и Д. А. Вернер (Институт органической химии АН УССР) из отечественных штаммов *Fusarium moniliforme* получили впервые на Украине кристаллический гиббереллин, идентичность которого с гиббереллином, полученным Стодола, была подтверждена методом хроматографии.

Вновь полученный препарат был впервые испытан нами летом 1958 г. в Ботаническом саду АН УССР на различных травянистых и кустарниковых растениях.

Из травянистых однолетних растений для опыта были взяты табак душистый (*Nicotiana odorata*), астра китайская (*Callistephus sinensis*), гентiana толстолистная (*Gentiana crassicaulis*), кермек Жирардов (*Limonium Girardianum*), кукуруза Успех (*Zea mays*), томаты Маяк (*Lycopersicon esculentum*), из кустарниковых — лигуструм обыкновенный (*Ligustrum vulgare*), пираканта красная (*Pyracantha coccinea*).

Растения были взяты в недельном возрасте, причем травянистые имели по 2 настоящих листа, кустарниковые — по 2 семядольных листа.

Гиббереллин применялся в концентрации 0,0025%. Растения обрабатывались по методике, примененной М. Х. Чайлахяном: раствор стимуля-

тора (для контрольных растений — вода) наносился пипеткой на точку роста по одной капле ежедневно. Опыт был заложен в 10 повторностях, каждая из которых включала 5 растений. Все растения были высажены в вазоны и помещены в оранжерею.

Уже к концу 1-й недели стало заметно, что растения табака, астры, кукурузы, томатов, лигуструма, обработанные гиббереллином, обогнали в росте контрольные растения: у них образовалось по 3—4 настоящих листа, начал развиваться стебель, в то время как контрольные растения были почти в таком же состоянии, что и в начале опыта.

К концу 4-й недели с начала опыта растения табака, астры, томатов, обработанные гиббереллином, зацвели; контрольные растения этих видов все еще были в фазе розетки (табак) или имели 5—6 листьев (рис. 1).

Обработанные гиббереллином растения кукурузы к концу 4-й недели достигли в высоту 60—70 см и имели нормально развитый стебель с 10—12 листьями. Контрольные растения кукурузы имели всего 15—18 см в высоту и 3—4 листа.

Сеянцы кустарника лигуструма, обработанные гиббереллином, к концу 4-й недели достигли 10—12 см в высоту и имели 10—12 листьев, тогда как контрольные экземпляры развили всего по 2 настоящим листа при высоте стебля 3—4 см (рис. 2).



Рис. 1. Растения табака душистого в возрасте 5 недель: слева — контрольное, справа — обработанное 0,0025% раствором гиббереллина



Рис. 2. Растения лигуструма обыкновенного в возрасте 5 недель: слева — контрольное, справа — обработанное 0,0025% раствором гиббереллина

Зимой 1958—1959 г. нами был проведен ряд опытов с обработкой украинским гиббереллином семян различных древесных растений, требую-

щих для прорастания длительной стратификации. Семена таких плодовых пород, как яблоня, груша, рябина, должны стратифицироваться 3—4 месяца, а семена кизила, будучи высеяны в грунт даже после 3—4-месячной стратификации, прорастают лишь спустя 12—14 мес.

В нашем опыте семена яблони (*Malus domestica*, *M. Sargentii*, *M. Zumi*), груши (*Pyrus domestica*), рябины (*Sorbus domestica*) и кизила (*Cornus mas*) были подвергнуты намачиванию в 0,02% растворе гиббереллина в течение суток, после чего были высеяны в ящики с речным песком. Семена контрольного варианта перед высевом выдерживали сутки в воде. Ящики с семенами были помещены в оранжерею, где поддерживалась температура около 14°.

Опыт был заложен 3 XII 1958 г.; до опыта семена, собранные осенью того же года, хранились в пакетах в сухом помещении при температуре 18—19° и предварительно не стратифицировались.

Семена яблони (всех трех видов), груши и рябины, обработанные гиббереллином, проросли через 6—7 дней после посева (рис. 3), семена кизила — через 14—15 дней после посева. Контрольные семена всех видов растений до сих пор (конец февраля 1959 г.) не проросли.

Каждый вид был взят для опыта в 10 повторностях, каждая повторность насчитывала 10 семян. Процент прорастания у яблони, груши, рябины и кизила равнялся соответственно 62, 49, 30 и 4%. Показатель точности опыта 18—20%.

Таким образом, предварительные испытания украинского гиббереллина, проведенные нами, констатировали высокую физиологическую активность нового стимулятора, что, наряду с идентификацией его физико-химических свойств и разработкой технологии его получения, позволило рекомендовать украинский гиббереллин к производству в заводских масштабах.

Ботанический сад
Академии наук УССР

Поступило
17 III 1959

ЦИТИРОВАННАЯ ЛИТЕРАТУРА

- ¹ Т. Yabuta, Т. Hayashi, Bull. Agr. Chem. Soc. Japan, 15 (1939).
- ² F. H. Stodola et al., Arch. Biochem. and Biophys., 1, 54 (1955). ³ В. В. Сторов, Т. Yamaki, Annual Rev. Plant. Physiol., 8, 181 (1957). ⁴ М. Х. Чайлахян, Бот. журн., 43, № 7, 3 (1958). ⁵ М. Х. Чайлахян, ДАН, 117, № 6, 1077 (1957). ⁶ М. Х. Чайлахян, Физиол. раст., 5, в. 6 (1958). ⁷ Н. А. Красильников, М. Х. Чайлахян и др., ДАН, 121, № 4, 755 (1958). ⁸ Н. А. Красильников, Вестн. АН СССР, № 6 (1958). ⁹ С. Н. Литвиненко, Акклиматизация раст., 57 (1958).

ФИЗИОЛОГИЯ РАСТЕНИЙ

Ю. В. РАКИТИН и А. Д. ПОТАПОВА

**ВЛИЯНИЕ ГЕРБИЦИДОВ НА ДЫХАНИЕ И ФОТОСИНТЕЗ
ОВСА И ПОДСОЛНЕЧНИКА**

(Представлено академиком А. Л. Курсановым 23 III 1959)

Показано (¹⁻⁶), что 2,4-Д и некоторые другие химические препараты, будучи употреблены в небольших дозах, усиливают дыхание, а в повышенных — затормаживают этот процесс. По имеющимся данным (⁷⁻⁸), карбаматы значительно понижают интенсивность процессов дыхания и фотосинтеза. Ослабляя фотосинтез, изопропилфенилкарбамат (ИФК) подавляет и активность угольной ангидразы (⁹). Установлено также (^{5, 15, 11}), что при помощи 2,4-Д, β-нафтоксиуксусной, монойодуксусной, параклорфеноксиуксусной кислот, фенилуретана, гидроксилamina можно вызвать резкое снижение интенсивности фотосинтеза.

В настоящей статье мы приводим ряд новых данных, касающихся действия гербицидов на процессы дыхания и фотосинтеза растений. Опыты были проведены в период с 1952 по 1954 гг. включительно. Объектами исследований служили подсолнечник сорта Саратовский, овес сорта Московский А-315 и сорняк мокрица (*Stellaria media*). Растения выращивали на полевых делянках. В качестве гербицидов использовали водные растворы натриевой соли 2,4-Д, диэтаноламиновой, триэтаноламиновой и натриевой солей гидразида малеиновой кислоты (ГМК) и водные эмульсии изопропилового эфира хлорфенилкарбаминовой кислоты (хлор-ИФК). Растения опрыскивали из расчета 1000 л раствора или эмульсии на 1 га посева; обработку производили при помощи пульверизатора. Растения обрабатывали на различных фазах их роста и развития. Все физиологические изменения изучали на листьях. Интенсивность дыхания и фотосинтеза, а также активность цитохромоксидазы определяли при помощи аппарата Варбурга. Активность аскорбиноксидазы, пероксидазы и полифенолоксидазы учитывали по методу Бояркина (^{12, 16}) и по методу Поволоцкой и Седенко (¹³). В ряде случаев дыхание учитывали также по выделению углекислоты. В этих случаях листья выдерживали некоторое время в небольших стеклянных приемниках, из которых затем брали пробу воздуха для учета в ней углекислоты при помощи прибора Орса.

Полученные данные, часть из которых сведена в табл. 1 и 2, не оставляют сомнения в том, что гербициды вызывают у растений глубокие нарушения окислительно-восстановительных процессов, причем степень этих нарушений зависит как от фазы развития растения и его биологических особенностей, так и от дозы химических препаратов. Опыты показали, что у всходов подсолнечника в первые два дня после обработки их высокими дозами (0,15 и 0,075%) 2,4-Д интенсивность дыхательного газообмена понижается, но через несколько дней, перед гибелью растений, происходит вспышка этого процесса. Надо заметить, что опытные растения по внешнему виду резко отличались от контрольных. Рост обработанных растений был сильно задержан: если у контрольных растений насчитывалось 5—7 листьев, то у опытных было только 2 небольших листа с утолщенными черешками. С течением времени обработанные растения чернели и засыхали.

Действие 2,4-Д на дыхание овса и подсолнечника

Срок после обработки	Растение	Вариант	Обработка в фазу всходов					Обработка в фазу 3—4 листьев				
			аскорбин-оксидаза	полифенол-оксидаза	пероксидаза	дыхание	цитохром-оксидаза	аскорбин-оксидаза	полифенол-оксидаза	пероксидаза	дыхание	цитохром-оксидаза
2 день	Подсолнечник	Контроль	10,6	23,6	0	184,8	886,0	30,5	302,5	326,5	541,2	1743,0
		2,4-Д	10,2	20,2	0	128,5	1021,6	25,5	180,0	149,0	650,1	1797,0
	Овес	Контроль	0	0,4	0	336,8	1987,2	8,2	0	88,0	485,6	
		2,4-Д	0,6	0	0	500,8	2701,2	5,6	1,3	137,0	436,8	
8 день	Подсолнечник	Контроль	8,6	25,2	12,8	228,5	1645,9	7,2	228,7	331,0	510,8	1372,0
		2,4-Д	3,7	30,5	57,7	268,4	2169,6	54,0	116,0	83,0	567,7	1562,0
	Овес	Контроль	0,6	0,2	67,6	289,3	1689,6	8,3	0	212,5	373,8	1580,0
		2,4-Д	0,9	0	85,8	262,5	1230,9	14,3	0	220,5	500,9	1605,0

Примечания. I. 2,4-Д применяли в виде 0,15% раствора. II. Интенсивность дыхания и активность цитохромоксидазы выражена в микролитрах O_2 на 1 г сырого вещества за 1 час; активность аскорбиноксидазы, полифенолоксидазы и пероксидазы — в миллиграммах окисленной аскорбиновой кислоты за 30 мин. на 1 г сырого вещества.

Как видно из табл. 1, у всходов подсолнечника в первые дни после обработки их 2,4-Д (0,15%) активность аскорбиноксидазы снижается больше, чем в 2,5 раза, тогда как активность пероксидазы резко возрастает, особенно у погибающих растений. Несомненно, что такое большое повышение активности пероксидазы является результатом резкого нарушения обмена веществ. У молодых растений овса, в противоположность подсолнечнику обработка вызывает значительное повышение активности аскорбиноксидазы, особенно на следующий день после обработки.

Таблица 2

Действие 2,4-Д и хлор-ИФК на дыхание овса и подсолнечника

Состояние растений в момент обработки	Срок после обработки	Вариант	Овес					Подсолнечник				
			аскорбин-оксидаза	полифенол-оксидаза	пероксидаза	дыхание	цитохром-оксидаза	аскорбин-оксидаза	полифенол-оксидаза	пероксидаза	дыхание	цитохром-оксидаза
Фаза coleoptilей и первых листьев	2 день	Контроль	1,5	3,5	190,0	440,0	332,4	14,5	51,5	329,0	566,4	261,0
		0,15% 2,4-Д	0	0	194,4	422,8	528,0	16,0	48,0	321,0	464,8	278,0
		2% Хлор-ИФК, +8% ОП-7	0	3,0	198,0	463,2	361,2	14,5	59,5	333,0	1054,4	768,0
Фаза 3—6 листьев	2 день	Контроль	19,0	39,0	278,0	546,0		132,0	332,0	0	687,6	
		0,15% 2,4-Д	6,0	22,0	204,0	776,4		163,0	449,0	196,0	1322,4	
		2% Хлор-ИФК, +8% ОП-7	6,0	40,0	244,0	596,4		129,0	501,0	0	1371,6	
	5 день	Контроль	10,0	20,0	197,0	565,2		40,0	308,0	198,0	639,6	
		8% ОП-7	10,0	20,0	246,0	1098,0		101,0	229,0	0	699,6	
		2% Хлор-ИФК +8% ОП-7	5,0	15,0	170,0	789,6		74,0	386,0	0	1359,6	

Примечание. Интенсивность дыхания и активность ферментов — в тех же единицах, что в табл. 1.

У подсолнечника, подвергнувшегося действию препарата в период бутонизации, и овса — в период выброса метелки, интенсивность дыхания возрастает более чем в 2 раза. При этом у подсолнечника повышению дыхания сопутствует усиление активности аскорбиноксидазы, а у овса — усиление активности полифенолоксидазы. Это свидетельствует о различиях в реакции различных растений на действие одного и того же гербицида.

Сопоставление действия 2,4-Д и хлор-ИФК показало, что оно различно для злаковых и широколистных растений (табл. 2). У всходов подсолнечника

ника на 2 день после обработки их 2,4-Д интенсивность дыхания заметно снижается, тогда как хлор-ИФК вызывает у таких же растений удвоение интенсивности дыхания и утроение активности цитохромоксидазы. У овса того же возраста хлор-ИФК не вызывает заметных изменений дыхательного процесса.

Сравнительные испытания различных солей ГМК показали, что эти вещества также далеко не одинаковы по своему действию на различные растения. У подсолнечника в первые 3—4 дня после обработки его диэтанол-аминовой солью ГМК (0,3—0,1%) интенсивность дыхания повышается более чем в 3,5 раза, тогда как у овса она почти не изменяется, зато натриевая соль ГМК (0,3—0,1%) у тех же растений овса вызывает вдвое более интенсивное дыхание.

На обработку растворами ГМК в тех же концентрациях подсолнечник и овес отвечают повышением активности окислительных ферментов. Диэтанол-амин, используемый как растворитель ГМК, задерживает рост овса и подсолнечника и вызывает у последнего формативные изменения листьев. Кроме того, диэтанол-амин повышает интенсивность дыхания и у тех и у других растений.

Будучи применены в дозе 9—6 кг/га, соли ГМК убивают растения овса и подсолнечника, а более слабые растворы ГМК (0,3—0,1%) задерживают их рост.

Следовательно, в отличие от 2,4-Д, ГМК не обнаружил селективного действия. В дозах 0,75—1,5 кг/га 2,4-Д поражает растения подсолнечника в фазе всходов и в фазе 7—9 листьев и не повреждает растений овса.

Как показали проведенные исследования, гербициды подавляют процесс фотосинтеза у различных растений по-разному (табл. 3). Под влиянием 2,4-Д интенсивность фотосинтеза молодых растений подсолнечника понижается на следующий день после обработки на 27%, а у растений овса того же возраста на 64% против контроля. Препарат хлор-ИФК сильно понижает интенсивность фотосинтеза как у овса, так и у подсолнечника. У овса уже через неделю после обработки 2,4-Д интенсивность фотосинтеза почти полностью восстанавливается, а у подсолнечника заметных сдвигов за это время не обнаруживается.

Хлор-ИФК и вспомогательное вещество ОП-7 почти совсем приостанавливают фотосинтез у растений мокрицы (табл. 3).

Препарат 2,4-Д понижает интенсивность дыхания у всходов подсолнечника в первые дни после обработки, и тем сильнее, чем выше доза гербицида; затем происходит вспышка дыхания, особенно у погибающих растений. У овса того же возраста 2,4-Д вызывает лишь незначительное усиление дыхания. Однако у овса и подсолнечника, обработанных этим препаратом в период выброса метелки и бутонизации, интенсивность дыхания возрастает в 2—2,5 раза. Препарат хлор-ИФК, в противоположность 2,4-Д, резко снижает дыхание овса и подсолнечника в первые 2—3 часа после обработки. С течением времени интенсивность дыхания у подсолнечника возрастает, а у овса все же отстает от растений контрольного варианта. У растений мокрицы, обработанных хлор-ИФК, интенсивность дыхания также ослабляется. Препараты 2,4-Д и хлор-ИФК по-разному изменяют и активность окислительных ферментов. У растений подсолнечника 2,4-Д

Таблица 3
Действие 2,4-Д и хлор-ИФК на интенсивность фотосинтеза овса, подсолнечника и мокрицы

Вариант	На 2 день после обработки		На 7 день после обработки		На 4 день после обработки
	подсолнечник	овес	подсолнечник	овес	мокрица
Контроль	17,40	18,0	21,0	11,7	20,0
0,075% 2,4-Д	9,65	7,0	18,0		
0,15% 2,4-Д	12,55	6,5	15,0	11,0	
2,0% Хлор-ИФК	4,65	5,3	14,0	8,0	3,3

Примечание. I. Опыт поставлен на 15-дневных растениях. II. Интенсивность фотосинтеза в миллиграммах O_2 , выделенного 1 см² площади листа за 10 мин.

вызывает значительное повышение активности пероксидазы, а действие хлор-ИФК — подавление работы этого фермента.

Обращает на себя внимание тот факт, что при действии 2,4-Д, хлор-ИФК и ГМК у растений овса и подсолнечника возрастает активность железосодержащего фермента — цитохромоксидазы, особенно у всходов подсолнечника при обработке их хлор-ИФК. Препарат ГМК, повреждающий как растения овса, так и растения подсолнечника, усиливает окислительно-восстановительные процессы у тех и других растений.

Наши наблюдения показали, что если применяемые дозы препаратов были несколько ниже тех доз, которые убивают растения, то вызываемые обработкой физиологические нарушения со временем преодолеваются растениями. Об этом можно было судить по восстановлению роста после временной его задержки, по прекращению эпинастии листьев и стеблей и также по восстановлению нормальной интенсивности процессов дыхания и фотосинтеза. Как показали наши исследования, скорость преодоления вызванных гербицидами нарушений находится в тесной зависимости от селективности действия применяемых препаратов. В качестве примера можно указать на то обстоятельство, что при действии 2,4-Д процессы роста, фотосинтеза и дыхания восстанавливаются у овса значительно быстрее, чем у мокрицы и подсолнечника.

Полученные данные подтверждают представление (^{1, 14, 15}), что в растительном организме происходит детоксикация чуждых ему химических соединений и что скорость детоксикации зависит от вида и от физиологического состояния растения, а также от химического строения, физических свойств и дозы применяемого соединения.

Институт физиологии растений
им. К. А. Тимирязева
Академии наук СССР

Поступило
20 III 1959

ЦИТИРОВАННАЯ ЛИТЕРАТУРА

- ¹ Ю. В. Ракитин, Усп. совр. биол., **36**, в. 3 (6) (1953). ² Химические средства стимуляции и торможения физиологических процессов растений. Итоги науки под общей редакцией проф. Ю. В. Ракитина, **2**, Изд. АН СССР, 1958. ³ Ю. В. Ракитин, К. Е. Овчаров, Стимуляторы и гербициды в хлопководстве, Изд. АН СССР, 1957. ⁴ R. O. Freeland, Plant Physiol., **24**, 4 (1949). ⁵ Kelly Sally, Avery George S., jr, Am. J. Bot., **38**, 1 (1951). ⁶ Дж. Альгрэн, Г. Клингмэн, Д. Вольф, Борьба с сорными растениями, ИЛ, 1958. ⁷ H. Freed Virgil, J. Agric. and Food Chem., **1** (1953). ⁸ А. Л. Курсанов, Н. Н. Крюкова, Биохимия, **2**, в. 5 (1937). ⁹ И. И. Гунар, Е. Е. Крастина, К. А. Брюшкова, ДАН, **84**, № 1 (1952). ¹⁰ А. М. Кузин, Г. Н. Саенко, Биохимия, **20**, в. 2 (1955). ¹¹ R. A. Lewin, R. H. Mintz, Arch. Biochem. and Biophys., **54**, 1 (1955). ¹² А. Н. Бояркин, Биохимия, **16**, в. 4 (1951). ¹³ К. Л. Поволоцкая, Д. М. Седенко, Биохимия, **20**, в. 1 (1955). ¹⁴ Ю. В. Ракитин, Использование стимуляторов и гербицидов в растениеводстве, 1957. ¹⁵ Ю. В. Ракитин, 1-й Совещ. по проблемам физиологии и экологии растений, Львов, 1958. ¹⁶ А. Н. Бояркин, Тр. Инст. физиол. раст. им. К. А. Тимирязева, **8**, в. 2 (1954).

ФИЗИОЛОГИЯ РАСТЕНИЙ

И. Н. САГАЙДАК

УВЕЛИЧЕНИЕ ПИГМЕНТОВ В ЛИСТЬЯХ СВЕКЛЫ ПУТЕМ ПРИВИВКИ

(Представлено академиком А. Л. Курсановым 10 III 1959)

Прививка широко применяется для получения вегетативных гибридов плодовых, овощных, зерновых и других культур, причем, как правило, производятся прививки надземных частей растений, прививки же корней применяются очень редко. Вместе с тем известно, что корень не только укрепляет растение в почве и берет из нее воду и питательные вещества, но активно участвует и в синтезе биохимических веществ (¹⁻³, ⁶, ⁷, ¹⁰, ¹³) и др.).

Среди биологических процессов важнейшее значение в жизни растений имеет фотосинтез, который осуществляется с помощью хлорофилла. Е. Ф. Вотчал и И. М. Толмачев (²) изучали значение количества пигментов в повышении продуктивности растений. А. А. Табенцкий (¹³) изучал структуру хлорофиллового зерна, влияние внешних факторов, агротехнических приемов и удобрений. В. И. Палладин (⁹) исследовал зависимость количества пигментов от наличия сахаров в тканях.

Известна определенная зависимость между содержанием хлорофилла и фотосинтезом и даже величиной и качеством урожая (⁵, ⁸, ¹⁴).

В 1957 г. нами был проведен опыт, направленный на выяснение влияния взаимной прививки дополнительных корней сахарной и столовой свеклы на количество зеленых пигментов в листьях.

Для опыта были взяты семена столовой свеклы (сорт Сквирская 34) и сахарной свеклы (сорт Верхняяцкая 020), которые были высеяны 5 IV с междурядьями 45 см.

Опыт был заложен по следующей схеме: а) контрольные растения сахарной свеклы, б) сахарная свекла с привитым дополнительным корнем столовой, в) столовая свекла с привитым дополнительным корнем сахарной, г) контрольные растения столовой свеклы.

Начало всходов было отмечено 30 IV, а полные всходы — 3 V. В каждом варианте было оставлено по 25 растений. Прививки дополнительных корней были произведены 5 VI.

Прививка производилась на растениях свеклы, когда их толщина достигала 0,3—0,5 см; растения выкапывали и после прививки дополнительных корней снова высаживали в грунт.

Техника прививки (см. рис. 1) заключается в следующем: 1) на одном растении в верхней части корня делается разрез снизу вверх, а у второго срезаются листья и клинышком сверху заостряется корешок (рис. 1 а); 2) клинышек одного корня помещается в разрез второго, место прививки оборачивается смоченной в воде пергаментной бумагой и плотно обвязывается суровой ниткой (рис. 1 б); 3) привитые растения высаживаются в грунт на постоянное место, причем повязки не снимаются (они гнивают). На рис. 1 в показано растение с прижившимся вторым корнем.

За время вегетации на всем участке 5 раз было произведено рыхление междурядий и в рядах (8 VII, 12 и 31 VIII, 18 IX и 2 XI); было прове-

дено 4 полива (5 VII, 8 и 28 VIII и 14 IX); подкормка фосфорно-калийными удобрениями с поливом произведена 8 VIII, уборка корнеплодов — 22 XI.

На привитых и контрольных растениях 14 и 23 IX и 19 X были взяты листья для анализа содержания сухого вещества и суммы зеленых пигментов (хлорофилл а и б). Листья брали с одних и тех же растений, в 11 час утра, причем всегда восьмой лист (начиная отсчет от самого молодого листа). Проводились анализы на сухое вещество и пигменты в листьях *.

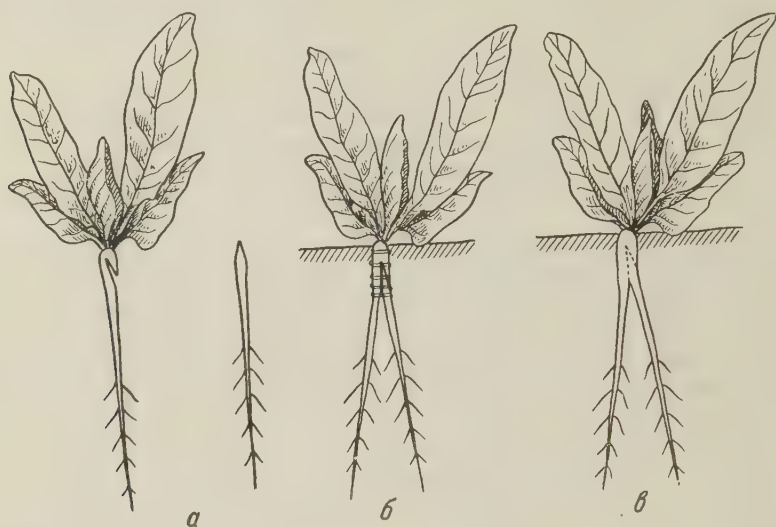


Рис. 1. Схема прививки дополнительных корней свеклы

Определение суммы зеленых пигментов производилось методом хроматографии на бумаге Сиронваля в модификации Е. Г. Судьиной (12). Дальнейшее количественное определение проводилось фотоэлектроколориметром ФЭК-М4.

Кроме того, в корнеплодах производилось определение сахаров по методу Бертрана.

Таблица 1

Содержание сухого вещества и зеленых пигментов в листьях привитых и контрольных растений свеклы

Вариант	Содерж. сух. вещ. в %			Содерж. хлорофилла а+б *		
	14 IX	23 IX	19 X	14 IX	23 IX	19 X
Столовая свекла (контроль)	26,34	26,98	15,94	1,26/100	1,93/100	1,70/100
Столовая + сахарная	22,75	25,04	16,12	2,44/194	2,93/152	2,28/134
Сахарная + столовая	24,06	25,92	16,23	2,00/118	2,53/126	2,30/115
Сахарная свекла (контроль)	24,43	25,12	16,02	1,69/100	2,00/100	2,00/100

* Над чертой — в процентах на абсолютно сухой вес, под чертой — в процентах к контролю.

Из табл. 1 видно, что больше всего сухого вещества оказалось в листьях столовой свеклы. При прививке растениям столовой свеклы дополнительного корня сахарной в листьях имеется тенденция к уменьшению количества сухого вещества. При прививке же к сахарной свекле дополнительного

* Анализы сухого вещества и хлорофилла в листьях проводились К. Б. Бурлай.

корня столовой появляется тенденция к увеличению количества сухого вещества в листьях.

В листьях столовой свеклы, так же как и в листьях привитых вариантов, на 19 X содержание хлорофилла а + b заметно снижается.

В среднем за 3 срока определения в варианте столовой свеклы с привитым дополнительным корнем сахарной свеклы количество пигментов в листьях оказалось на 60% больше, чем в листьях столовой, а в варианте сахарной свеклы с привитым дополнительным корнем столовой свеклы на 20% больше, чем в листьях сахарной.

Обращает на себя внимание тот факт, что в листьях обоих вариантов растений с привитыми дополнительными корнями с течением времени сумма пигментов выравнивается (у варианта столовая + сахарная 2,28%, а у варианта сахарная + столовая 2,30%).

Представляло интерес сопоставить количество зеленых пигментов со средним весом корнеплодов и суммой сахаров по вариантам (табл. 2).

Из табл. 2 видно, что средний вес корнеплода оказался большим у растений привитых вариантов по сравнению с соответствующими контролями. Аналогичные результаты получены нами на растениях помидоров (¹⁰). Обращает на себя внимание изменчивость суммы сахаров у растений привитых вариантов.

Этот опыт не только подтверждает существенную роль корня в образовании пигментов (⁴), но и указывает путь увеличения количества зеленых пигментов в листьях привитых растений, а также расширяет наши познания о роли дополнительных корней в изменении важнейших признаков и свойств растения.

Разработанная нами простая и дающая высокий процент приживаемости техника прививки позволяет получать в массовом масштабе вегетативные гибриды свеклы в полевых условиях.

Одесский государственный университет
им. И. И. Мечникова

Поступило
11 X 1958

ЦИТИРОВАННАЯ ЛИТЕРАТУРА

- ¹ Е. П. Браславская, Агробиология, № 6 (1948).
- ² Е. Ф. Вотчал, И. М. Толмачев, Исследования по ассимиляции CO₂ сельскохозяйственными растениями в природных условиях, Докл. на Всесоюз. съезде ботаников, М., 1926.
- ³ А. Л. Курсанов, Изв. АН СССР, сер. биол., № 6 (1957).
- ⁴ И. Ф. Ляшенко, И. И. Ляшенко, Физиол. раст., 4, в. 6 (1957).
- ⁵ А. А. Ничипорович, Свеговое и углеродное питание растений (фотосинтез), Изд. АН СССР, 1955.
- ⁶ А. С. Оканенко, И. М. Толмачев и А. М. Кекух, Тр. Научн. инст. селекции, 2, 1928.
- ⁷ А. С. Оканенко, Изв. АН СССР, сер. биол., № 6 (1937).
- ⁸ А. С. Оканенко, Журн. Инст. бот. Акад. наук УРСР, № 18—19 (26—27) (1938).
- ⁹ В. И. Паладин, Зап. Харьков. унив., 3 (1893).
- ¹⁰ И. Н. Сагайдак, Селекция и семеноводство, № 1 (1952).
- ¹¹ Д. А. Сабинин, Изв. биол. научн.-иссл. инст. при Пермском гос. унив., 4, прилож. 2 (1925).
- ¹² Э. Г. Судина, Образование и накопление хлорофилла в зависимости от активности хлорофиллазы, Диссертация, Одесса, 1947.
- ¹³ А. А. Табенцкий, Изв. АН СССР, сер. биол., № 5 (1947).
- ¹⁴ А. А. Шмук, Усп. совр. биол., 21, в. 1 (1946).

Таблица 2

Средний вес корнеплодов и сумма сахаров у привитых и контрольных растений свеклы во время уборки

Вариант	Средний вес корнеплода в г	Сумма сахаров в %*
Столовая свекла (контроль)	836	4,95
Столовая + сахарная	1230	12,18/18,64
Сахарная + столовая	615	13,51/18,51
Сахарная свекла (контроль)	550	19,61

* Над чертой — в «столовой» части, под чертой — в «сахарной» части корнеплодов.

Г. Г. АБРИКОСОВ

О РОДОВЫХ ПОДРАЗДЕЛЕНИЯХ И ГЕОГРАФИЧЕСКОМ
РАСПРОСТРАНЕНИИ ГОЛОРОТЫХ (GYMNOLAEMATA)
МШАНОК КОНТИНЕНТАЛЬНЫХ ВОДОЕМОВ

(Представлено академиком Е. Н. Павловским 19 III 1959)

Голоротые мшанки — группа, как известно, в основном морская. Лишь немногие из них проникли в пресные и солоноватые воды, причем в них встречаются только представители отряда Stenostomata. Отряд Cyclostomata (по некоторым авторам — особый класс Stenolaemata) — чисто морской, а из отряда Cheilostomata только в солоноватые водоемы морских побережий проникают представители морского, широко распространенного рода Membranipora⁽⁵⁾. За более чем столетний период изучения ктеностомат континентальных водоемов (первый представитель был открыт в 1831 г. и был описан ряд родов. После детальной проработки можно считать вполне обоснованными рядом наружных и анатомических признаков (строение кишечника) следующие 6 родов: Paludicella, Pottsiella, Hislopia (= Norodomina, Echinella и Norodomia), Arachnoidea (= Arachnidia), Victorella и Tanganella, заключающих 15 видов. Наиболее неясным был род Pottsiella, но после детального анализа вопрос о нем разрешен. Кроме этих родов в солоноватые водоемы морских побережий проникают представители морского широко распространенного рода Bowerbankia⁽⁴⁾. По последней системе ктеностомат⁽²²⁾ первые четыре рода относятся к подотряду Carnosae, а последние два к подотряду Stolonifera.

В настоящее время мшанки континентальных водоемов изучены достаточно хорошо; кроме отдельных работ, имеется и ряд сводных — по Европе⁽¹⁸⁾, Сев. Америке⁽¹⁹⁾, Африке⁽¹¹⁾, Индии⁽⁹⁾, Японии⁽²³⁾ и Бразилии⁽¹⁷⁾. Эти работы представляют возможность дать картину их распространения и провести его анализ. Если для покрыторотых в общем масштабе это сделать труднее и поэтому пока сделано в более узких рамках⁽⁸⁾, для данной группы это вполне возможно.

Из анализа их географического распространения (рис. 1) можно сделать следующие выводы:

1. Ни один из настоящих пресноводных родов ктеностомат не имеет всесветного распространения. Такое распространение вторично (в связи с расселением) имеет только солоноватоводный род Victorella.

2. Ктеностомат континентальных водоемов по их распространению можно разделить на три группы, причем распространение каждой из этих групп отражает степень проникновения их в пресные воды.

Г р у п п а. Сюда относится род Paludicella. Это, по-видимому, наиболее древняя группа пресноводных ктеностомат. В своем приспособлении к обитанию в пресных водах этот род выработал особые приспособления для переживания неблагоприятных условий, сходные по функции с метабластами покрыторотых, так называемые зимующие почки, или гибернакулы. Несмотря на такое приспособление, род этот не «освоил» все пресноводные водоемы и не стал всесветным, а распространен в умеренной зоне (его можно считать голарктическим). Интересно, что он встречается далеко на севере (Гренландия, 69°13' с. ш. ⁽²⁴⁾). На юге он найден только в Таи

ланде ⁽¹⁰⁾ и Гватемале ⁽²⁰⁾, но в виде особого вида (*P. pentagonalis*). В южном полушарии он встречен только в Новой Зеландии ⁽¹⁶⁾, куда, видимо, завезен. Древность этого рода подтверждается тем, что среди морских ктеностомат нельзя обнаружить формы, которые можно было бы считать исходными для него.

II группа. Сюда относятся роды *Pottsiella* и *Hislopia*; они проникают в пресные воды не так сильно и занимают сравнительно небольшие ареалы; особенно это касается первого рода ⁽¹⁹⁾ (рис. 1). Род *Hislopia*—



Рис. 1. Географическое распространение представителей *Ctenostomata* континентальных водоемов. 1—3 — род *Paludicella* Gervais: 1 — *P. articulata* — сплошной ареал, 2 — *P. articulata* — отдельные местонахождения, 3 — *P. pentagonalis*; 4 — род *Pottsiella* Kraepelin; 5 — род *Hislopia* Carter; 6 — род *Victorella* S. Kent; 7 — род *Tanganella* Braem; 8 — род *Arachnoidea* (Moore)

древний вселенец в пресные воды, ранее (третичная эпоха) он населял, по-видимому, пресные воды всей юго-восточной Азии, сейчас ареал его более узкий ^(10, 15) (рис. 1). В Байкале ^(7, 1) — он реликт пресноводной третичной фауны, но не морской «элемент», каким его часто считают. Нахождение в низовьях Енисея ⁽⁸⁾ и на Таймыре ⁽⁶⁾ надо рассматривать как результат вторичного расселения из Байкала. Можно предполагать, что расселение этого рода по водоемам Сибири будет продолжаться.

III группа. Это обитатели солоноватых вод. Сюда относятся роды *Victorella* и *Tanganella*, они являются чисто солоноватоводными родами, обитающими в солоноватых водоемах морских побережий, причем второй род известен пока только с балтийского побережья Германии ⁽¹⁴⁾. *Victorella* — широко распространенный род. Известно только два местонахождения представителей этого рода далеко от моря: это оз. Иссык-Куль ^(12, 2) и оз. Танганьика ⁽²¹⁾. Основным ареалом его являлся понто-каспийский район, затем он широко пассивно расселился и в настоящее время имеет почти всесветное распространение ⁽⁴⁾. Вопрос о морских исходных формах этого рода, казалось, решался очень ясно, когда были обнаружены морские представители его, но детальное изучение их ⁽¹³⁾ показало, что они относятся к совершенно особому роду.

В несколько особом положении находится род *Arachnoidea* — пока он найден только в оз. Танганьика ⁽²¹⁾. Интерес к этому роду увеличивается тем, что два других вида его найдены в море. Если это действительно так, то его можно было бы считать наиболее «молодым» представителем ктено-

стомат пресных вод, а нахождение в Танганьике реликтовым, но случай с «морской» виктореллой заставляет отложить окончательное суждени о нем до более детального изучения его морских представителей.

Таким образом, из анализа географического распространения голоротых мшанок континентальных водоемов можно сделать один общий вывод: их распространение, так же как и покрыторотых ⁽³⁾, имеет свои закономерности, обусловленные как геологическими, так и экологическими причинами и представление о них как о «космополитах» должно быть оставлено.

Поступило
10 III 1959

ЦИТИРОВАННАЯ ЛИТЕРАТУРА

- ¹ Г. Г. Абрикосов, Русск. гидроб. журн., 3, № 11—12 (1924). ² Г. Г. Абрикосов, ДАН, 307—312 (1927). ³ Г. Г. Абрикосов, ДАН, 126, 5 (1959). ⁴ Г. Г. Абрикосов, Зоол. журн., 37, в. 5 (1959). ⁵ Г. Г. Абрикосов, Зоол. журн., 37, в. 12 (1959). ⁶ В. Н. Грезе, Изв. Всесоюзн. геогр. общ., 79, № 3 (1947). ⁷ А. А. Коротнев, Сбор. 50-лет. Вост.-Сиб. отд. РГО, в. 1 (1901). ⁸ П. Л. Пирожников, Бюлл. МОИП, сер. биол., 46, 3 (1937). ⁹ N. Annandale, Fauna British India, 8, 1911, p. 161. ¹⁰ N. Annandale, Mem. As. Soc. Bengal., 6, p. 13 (1916). ¹¹ F. Borg, Senckenbergiana, 18, № 1—2 (1936). ¹² F. Браем, Тр. СПб. общ. естествоисп., 42, в. 2, ч. 1 (1911). ¹³ F. Браем, Zs. Morph. Ökolog. Tiere, 36, 2 (1939). ¹⁴ F. Браем, Zoologica, 37, H. 3, № 102, 1 (1951). ¹⁵ C. Dawydoff, C. R., 226, 1138 (1948). ¹⁶ Ch. Hamilton, Trans. New-Zel. Inst., 35 (1902). ¹⁷ E. Marcus, Bolet. Univ. Sao-Paulo, 25, Zoologia, № 6 (1942). ¹⁸ M. Prenant, G. Robin, Fauna France, 60, Paris, 1956, p. 1. ¹⁹ M. Rongick, Fresh-water Invertebrates of the United States, Chapter 12, 1953, p. 256. ²⁰ M. Rongick, C. Brown, Ann. N.-Y. Acad. Sci., 43, art 3 (1942). ²¹ Ch. Rousselet, Proc. Zool. Soc. London, 250 (1907). ²² J. Soule, Bull. South Calif. Acad. Sci., 56, part 1 (1957). ²³ M. Toriumi, Sci. Repts. Tôhoku Univ., Ser. 4, 22, 2 (1956). ²⁴ C. Wesenberg-Lund, Medd. Grönland, 34 (1908).

О. М. БОЧАРОВА-МЕССНЕР

**ПЕРИТРОФИЧЕСКАЯ ПЕРЕПОНКА В КИШЕЧНИКЕ
ВРЕДНОЙ ЧЕРЕПАШКИ (EURYGASTER INTEGRICEPS PUT.)**

(Представлено академиком Е. Н. Павловским 25 III 1959)

Перитрофическая перепонка, характерная для средней кишки большинства насекомых, издавна привлекает к себе внимание исследователей. Как известно, она всегда присутствует у личинок и взрослых форм на еко-мых с грызущим ротовым аппаратом и, как правило, отсутствует у сосу-щих форм.

Отсутствие перитрофической перепонки у насекомых с сосущим рото-вым аппаратом является одним из оснований считать главнейшей функцией этого образования защиту эпителиальных клеток кишечника от механиче-ских повреждений частицами пищи (¹³, ¹⁶, ¹, ⁹, ⁷) и др.). Однако отдельные случаи нахождения перитрофической перепонки у имаго двукрылых (¹⁵, ³, ⁸, ²) наряду с более углубленным изучением ее строения и происхождения у различных представителей (¹⁰, ¹¹, ¹⁴) и др.) заставляет пересмотреть представления о функциональном значении этого образования.

У вредной черепашки (сем. Pentatomidae), как и у всех представителей надотр. Rhynchota, перитрофическая перепонка до сих пор обнаружена не была. Ее не отмечают ни Труханов (⁴), ни Вадьдани, описавшие у вред-ной черепашки особенности гистологического строения кишечника и дру-гих органов. Скорее всего это связано с тем, что ими давалось описание строения кишечника у клопов, видимо, только периода активной жизне-деятельности на полях, когда, как нам удалось выяснить, перитрофиче-ская перепонка, за редким исключением, действительно отсутствует.

Нами перитрофическая перепонка была обнаружена у молодых, хорошо накормившихся имаго, в конце их подготовки к периоду пассивной жизни, когда это образование выражено обычно наиболее четко и у большинства особей. Имеется, как будет подробнее показано ниже, перитрофическая перепонка и в течение всей пассивной жизни у клопов на зимовках, однако у различных особей и даже у одной особи, но в различных участках кишеч-ника, она выражена различно и обнаруживается с различной легкостью.

Для изучения вскрытые клопы фиксировались: для общей гистологии — по Ценкеру, для реакции на хитин — по Карнуа, для реакции на жир — 10% раствором формалина.

При обработке для общей гистологии и на хитин объекты проводились через метилбензоат или терпинеол и заливались в парафин. Срезы (5—7 μ) окрашивались гематоксилином по Гейденгайну и азановым методом по Гей-денгайну для общей гистологии, а для выявления хитина — хлорцинк-йодом. Для выявления жира объекты заливались в желатину, резались на замораживающем микротоме; срезы (5 и 10 μ) окрашивались суданом III с подкраской гематоксилином Эрлиха.

Как нами установлено, перитрофическая перепонка у вредной черепаш-ки выделяется всеми клетками эпителия первого (мешковидного) отдела средней кишки, т. е. является по классификации Уигглесурса (¹⁶) первич-ной перитрофической перепонкой. Когда она хорошо выражена — это тон-

жая ($0,5 \mu$) бесструктурная мембрана, на которой на толстых косо прошедших срезах можно различить полигональный рисунок, соответствующий границам выделившихся ее клеток.

Перитрофическая перепонка дает положительную реакцию на хитин, суданом III она сплошь окрашивается в ярко-оранжевый цвет — так же как интима передней и задней кишки и хитиновая выстилка трахей. Располагается она или непосредственно прилегая к границам клеток (над щеточной каемкой, когда таковая имеется) (рис. 1а), или на значительном, иногда в 3—4 раза превышающем высоту клеток, расстоянии от последних (рис. 1б—г).

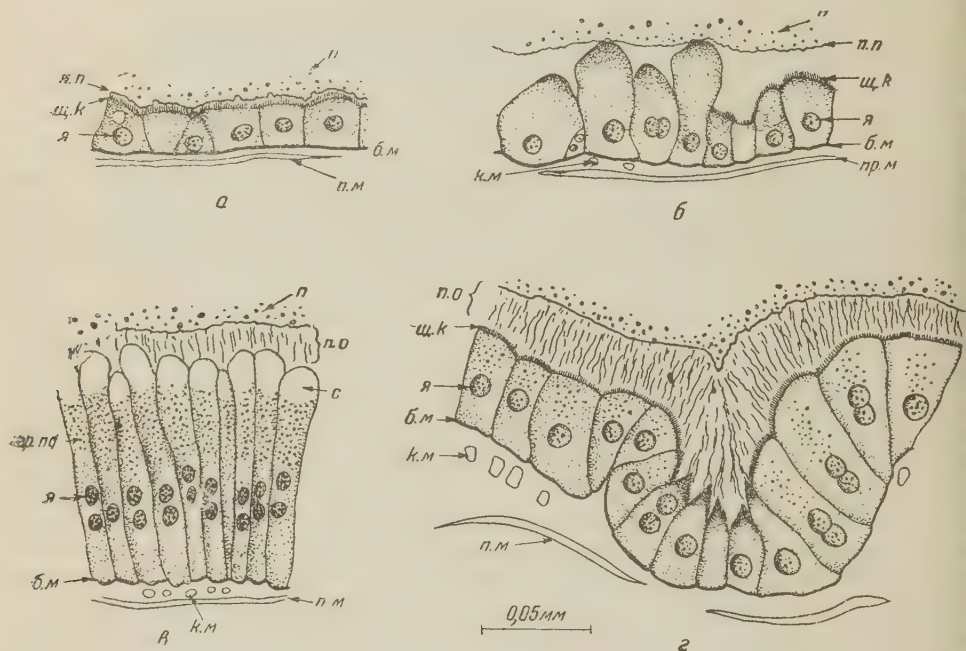


Рис. 1. Особенности расположения перитрофической перепонки в средней кишке вредной черепашки. а — перитрофическая перепонка (п.п.) располагается непосредственно над клетками эпителия; б — п.п. несколько удалена от эпителия; в и г — над эпителиальными клетками образовалась перитрофическая оболочка (п.о), включающая п.п. и студенистый слой, п — пища, щ.к — щеточная каемка, с — секрет, гр. пф. — гранулы профермента, я — ядра, б.м — базальная мембрана, к.м — кольцевые мышцы, п.м — продольные мышцы, стр — струйчатость

Когда перитрофическая перепонка располагается на некотором расстоянии от поверхности эпителия у некоторых объектов в первом (мешковидном) отделе средней кишки, пространство между ними заполнено студенистым, неправильно поперечно исчерченным веществом, которое по Маллори окрашивается в светло-голубой цвет, а при окраске на жир — в зависимости от функционального состояния клопов — в различной интенсивности оранжевые тона. Иными словами, в кишечнике вредной черепашки образуется перитрофическая оболочка, включающая перитрофическую мембрану и студенистый слой (рис. 1в и г).

Сходное образование перитрофической оболочки с наличием поперечно исчерченного «волокнутого» слоя описано Павловским и Зариным⁽¹²⁾ у медоносной пчелы и Вейром⁽¹⁴⁾ у личинки муравья *Murgica*.

Однако у вредной черепашки волокнистая структура не заменяет щеточной каемки, как это описывают для медоносной пчелы Павловский и Зарин. Щеточная каемка отсутствует только тогда, когда она разрушается в связи с секреторной активностью клеток (рис. 1в), чаще же всего как щеточная каемка, так и волокнистая структура перитрофической оболочки присут-

ствуют одновременно (рис. 1г). В местах, где студенистое вещество, видимо, отсутствует (обычно в глубине складок эпителия), хорошо различима у границ клеток нитевидная струйчатость, направляющаяся к перитрофической мембране и переходящая в нее (рис. 2).

Так же как и у личинок *Murgicia* ⁽¹⁴⁾, высота студенисто-волокнутого слоя варьирует не только в различные периоды жизни клопов, не только у различных особей одного периода, но и у одной и той же особи в различных участках средней кишки. Иногда этот слой выражен только над самыми низкими клетками эпителия, иногда же располагается над всеми клетками, причем может быть больше высоты выделивших его клеток.

Перитрофическая перепонка у вредной черепашки обнаруживается, когда она хорошо выражена, вдоль всего первого отдела средней кишки, в трубчатом втором отделе; в пилорическом отделе и в задней кишке перитрофическая перепонка нами не обнаружена.

Студенисто-волокунистый слой наблюдался обычно в первом отделе средней кишки, и преимущественно в передней, грудной, его части.

Как выше отмечено, перитрофическая перепонка имеется у вредной черепашки не на всех этапах ее жизненного цикла. По нашим данным, у личинок всех пяти возрастов, активно питающихся на зерне разной спелости, перитрофическая перепонка отсутствует. Отсутствует она и у молодых имаго в период их активного питания и активного усвоения ими пищевых веществ. Впервые появляется она и очень хорошо бывает выражена у молодых, хорошо накормившихся имаго, когда активное переваривание поступающих пищевых веществ прекращается, а начинается консервация пищевых резервов ^(6, 5). Хорошо выражена перитрофическая перепонка у клопов перед отлетом их с полей на места зимовки и в течение всей пассивной жизни на зимовках, т. е. тогда, когда активное питание у клопов отсутствует, а пищевые запасы расходуются очень экономно и постепенно. Весной, после возвращения клопов на поля, перитрофическая перепонка обнаруживается только у тех клопов, которые не приступили еще к активному питанию на растениях и сохранили достаточные запасы пищевых резервов. С начала активного питания на зеленых частях растений у перезимовавших клопов перитрофической перепонки обнаружить уже не удается.

Такая четкая связь активного питания безусловно заслуживает внимания при трактовке функционального значения этого образования.

У вредной черепашки защитная функция перитрофической перепонки ведущей быть не может, так как последняя отсутствует, как мы только что видели, в период активного питания клопов, когда опасность повреждения клеток пищевой массой, быстро продвигающейся и часто содержащей крупные зерна крахмала, выше, чем в период пассивной жизни.

Наличие хорошо выраженной перитрофической перепонки в период пассивной жизни, когда процессы обработки и усвоения пищи протекают очень экономно, и развитие студенисто-волокнутого слоя между перитрофической перепонкой и поверхностью эпителия преимущественно в первом отделе средней кишки, где сосредоточены, как нами показано, основные процессы секреции пищеварительных ферментов, дают нам основание присоединиться к точке зрения, развиваемой Павловским и Зариным ⁽¹²⁾, Денном ^(10, 11) и Вейром ⁽¹⁴⁾. По мнению последних, перитрофическая оболочка

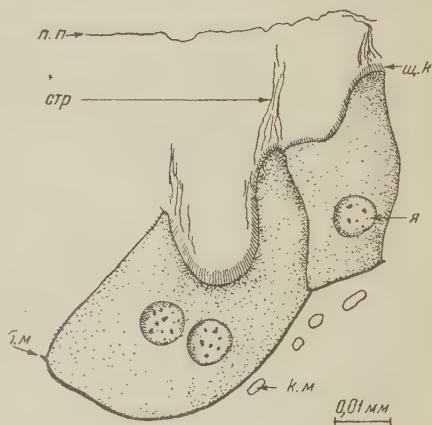


Рис. 2 Образование перитрофической перепонки. Обозначения те же, что на рис. 1

(или оболочки) обеспечивают постепенное и более экономное действие пищеварительных ферментов на пищевой субстрат, обеспечивают постепенное и наиболее полное переваривание пищевых веществ. Как показал Пертерсон (цит. по ⁽¹²⁾), в перитрфической оболочке обнаруживаются пищеварительные ферменты, а по данным Вейра — в последовательных перитрфических оболочках хорошо видны гранулы, видимо являющиеся частицами пищи, смешанными с пищеварительными ферментами. Величина гранул — наиболее крупная у просвета кишки, наименьшая у границы эпителия.

В случаях, отмеченных нами выше, и тогда, когда пищевая масса при окраске на жир суданом III не окрашивается, часто в начальный период пассивной жизни клопов, студенистый слой перитрфической оболочки приобретает различного тона оранжевую окраску, что указывает на концентрацию в ней различного количества жиров в тонкодиспергированном состоянии.

Таким образом, нам кажется бесспорным участие перитрфической оболочки и перитрфической перепонки в обеспечении наиболее экономной и постепенной ферментативной обработки пищевого субстрата.

Институт морфологии животных
им. А. Н. Северцова
Академии наук СССР

Поступило
24 III 1959

ЦИТИРОВАННАЯ ЛИТЕРАТУРА

- ¹ Н. Кузнецов, Основы физиологии насекомых, 1, 1948. ² П. Б. Левитаская, Мед. паразитол. и паразитарн. болезни, № 2 (1947). ³ Н. С. Олсуфьева, Паразитол. сборн. АН СССР, 6 (1936). ⁴ И. Ф. Труханов, Сборн. Вредная черепашка, 1 (1947). ⁵ Р. С. Ушатинская, ДАН, 93, 4 (1953). ⁶ Д. М. Федотов, ДАН, 52, 9 (1944). ⁷ Б. Н. Шванвич, Курс общей энтомологии, М.—Л., 1949. ⁸ Л. В. Ягужинская, Мед. паразитол. и паразитарн. болезни, 9, 6 (1940). ⁹ F. Grassé, Traité de Zoologie, 9, 1948. ¹⁰ M. von Dehn, Zs. Zellforsch., 19, 79 (1933). ¹¹ M. von Dehn, Zs. Zellforsch., 25, 787 (1936). ¹² E. N. Pavlovsky, E. J. Zarin, Quart. J. micr. Sci., 3, 66 (1922). ¹³ H. Weber, Lehrbuch der Entomologie, Leipzig, 1933. ¹⁴ J. S. Weir, Quart. J. micr. Sci., 4, 98, 1957. ¹⁵ V. B. Wigglesworth, Parasitology, 21, (1929). ¹⁶ V. B. Wigglesworth, The Principles of Insect Physiology, London, 1947.

М. Е. ЛОБАШЕВ, В. Б. САВВАТЕЕВ и В. Г. МАРШИН

АДАПТАЦИЯ К БЕЗУСЛОВНОМУ РАЗДРАЖИТЕЛЮ В ПРОЦЕССЕ ОБРАЗОВАНИЯ УСЛОВНОГО РЕФЛЕКСА

(Представлено академиком К. М. Быковым 10 XI 1958)

Процесс приспособления животного организма в онтогенезе принято рассматривать как результат взаимодействия двух систем рефлекторной деятельности — условной и безусловной. Однако взаимоотношение этих систем является сложным комплексом различных по своему механизму синхронно или асинхронно текущих адаптивных процессов.

Рефлекторные адаптивные изменения обуславливаются системой связей, замыкающейся в центральном конце анализатора. Одновременно с этим к каждому из раздражителей в отдельности — как условному, так и безусловному — в начальной фазе выработки условного рефлекса возможна адаптация в рецепторах периферической части анализатора. На ранних этапах онтогенеза, когда рефлекторная дуга не развилась, возможна адаптация преимущественно к контактному действию раздражителей, или точнее — к безусловному действию агента. При этом также может возникать сопряженная адаптация к двум и более одновременно действующим раздражителям. По мере вовлечения условнорефлекторной деятельности в процесс приспособления организма в филогенетическом ряду влияние внешних агентов становится сопряженным по принципу условного рефлекса. Эти соображения дают основания обратить внимание на различные механизмы адаптации к безусловным раздражителям и адаптации, возникающей по принципу условного рефлекса.

Из практики изучения условных рефлексов известно, что если вырабатывать оборонительный условный рефлекс при подкреплении электрическим током, то при ряде его применений наступает адаптация к последнему. По мере увеличения числа сочетаний изменяется порог действия раздражителя и силу подкрепления приходится увеличивать. Увеличение силы безусловного подкрепления вызывается необходимостью повысить уровень возбуждения в безусловном центре для выработки и укрепления условного рефлекса. То же самое имеет место при выработке условных рефлексов на повышение температуры и пр. Эти явления мы обнаружили в опытах на дафниях ⁽¹⁾ при сочетании действия высокой температуры и светового фактора; то же было показано в нашей лаборатории в опытах Гусельникова ⁽²⁾, проводившего выработку условного рефлекса у рыб при электрооборонительном подкреплении; такая же картина была получена в экспериментах Погребковой ⁽³⁾.

В наших опытах у рыб вырабатывался условный рефлекс — остановка дыхания на световой раздражитель при подкреплении повышенной температурой воды. По мере увеличения числа сочетаний учитывалась реакция остановки движений жаберных крышек как на условный, так и на безусловный раздражитель; при каждом сочетании регистрировался температурный порог, при котором происходила остановка дыхания. Все это давало возможность по мере увеличения числа сочетаний учитывать время и характер сигнального действия света и наблюдать динамику адаптации рыбы к безус-

ловному раздражителю — повышению температуры. Повышение температурного порога, при котором наступала остановка дыхания, служило показателем увеличения стойкости к температуре в результате адаптации.

Для образования дыхательного условного рефлекса у рыб (линь — *Tipiscatipca* L.) была разработана конструкция жесткого крепления рыбы в станочке, помещавшемся в аквариум с проточной водой. Основание станочка изготовлялось из металла. На двух параллельных продольных стержнях винтами закреплялись передвигающиеся металлические прутья в виде «ребер», которые охватывали рыбу с обеих сторон. Движение жаберной крышки или нижней челюсти регистрировалось с помощью натянутой резиновой пленки, соединенной с рычажком и писчиками на барабане кимографа.

Условным раздражителем служил свет электроламп от 15 до 25 вт, помещавшихся над аквариумом на расстоянии 20 см. Изменение температуры в экспериментальном аквариуме измерялось с помощью биметаллической пластинки и регистрировалось автоматически на кимографе, причем поднятие рычажка температурной регистрации на 2,5 мм соответствовало повышению температуры приблизительно на 1°. Вода подавалась из двух сосудов, поставленных на высоте 1,5 м над уровнем аквариума. Из одного сосуда поступала вода, нагретая до желаемой температуры, для вызова безусловной реакции — остановки дыхания, а из второго — комнатной температуры (около 10—12°), служившей нормальным температурным фоном.

В начале у подопытных рыб выяснялись ориентировочные реакции на свет различной силы и крайний предел температуры, при которой происходила остановка дыхания.

Было установлено, что ориентировочная реакция в виде замедления частоты движения жаберной крышки или полной остановки дыхания проявляется при освещении лампой более 40 вт. Скорость угашения ориентировочного рефлекса оказалась зависящей от силы светового раздражителя. Это вполне согласуется с «законом силы», установленным для скорости образования условных рефлексов.

Опыты были проведены на 10 животных, на которых в различных вариантах получены идентичные результаты. В качестве примера образования условного дыхательного рефлекса у линя и изменения температурного порога вследствие температурной адаптации приводим следующие данные.

В начале выработки условного рефлекса на свет лампы остановка дыхания происходит, когда температура воды достигает 22—24°. По мере увеличения числа сочетаний возникает адаптация к температуре, и порог, при котором происходит остановка дыхания, повышается до 31—32°, а для некоторых животных и до 34°. Поэтому при выработке условного рефлекса на световой раздражитель при подкреплении температурой приходится при последующих сочетаниях температуру повышать.

№№ сочетаний	1	3	5	7	9	11	13	15	17	19	21	23	25
Температура, при которой происходила остановка дыхания, °С	23*	23	24	25	26	26	28	31	32	31	15	10	10
	22	22	24	26	26	28	29	31	31	16	17	14	10

При первых трех сочетаниях температурный порог, вызывающий остановку дыхания, был около 22—23°. После 15-го применения высокой температуры с действием света остановка дыхания происходила при ~31—32°. Однако после того как укрепилась временная связь, т. е. когда световой раздражитель в сочетании с высокой температурой приобрел сигнальное значение (после 19—20 сочетаний), остановка дыхания стала осуществляться по условному сигналу при любой температуре воды. Достаточно было

* Числа над и под чертой относятся к двум разным экземплярам рыб, соответственно.

включить свет лампы в сопровождении тока воды даже обычной комнатной температуры, как у рыбы останавливалось дыхание (см. рис. 1). При прекращении действия условного раздражителя — света лампы — дыхание может восстанавливаться до нормы и при высокой температуре воды (около 30°) в силу произошедшей адаптации. Здесь ясно видно два механизма адаптации. До укрепления временной связи адаптация организма осуществляется к непосредственному действию безусловного раздражителя, затем та же адаптивная реакция проявляется по сигнальному значению раздражителя. Таким образом, в животном организме можно усмотреть два типа адаптации: безусловно- и условнорефлекторного характера. Оба типа не исключают, а дополняют друг друга, обеспечивая организму возможность приспособиться на разных стадиях онтогенеза и в разные фазы образования условного рефлекса к различным агентам внешней среды. Первый тип адаптации является более универсальным, им обладают животные и растительные организмы. Вторым, возникающий по принципу условного рефлекса, может быть свойствен только животным, имеющим центральную нервную регуляцию. Для обоих типов адаптации, различных по механизму их возникновения, можно было бы предложить два термина: «безусловно-рефлекторная адаптация» (к действию безусловного раздражителя) и «условнорефлекторная адаптация» (возникающая как сигнальная реакция). Последняя позволяет организму целесообразно реагировать на перемены в окружающей среде.

Предлагаемое разграничение дает возможность ряд явлений в физиологии высшей нервной деятельности оценить несколько по-новому.

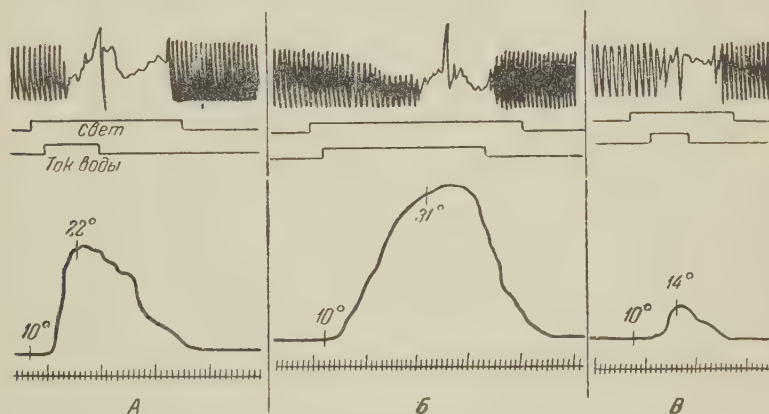


Рис. 1. Кимограммы движения жаберной крышки у линя в процессе выработки условного рефлекса. А — остановка дыхания при первом применении условного раздражителя (1-е сочетание); Б — остановка дыхания при высокой температуре — явление термоадаптации (17-е сочетание); В — остановка дыхания по условному раздражителю (23-е сочетание).
Внизу — температурные кривые и отметка времени (1 сек.)

Например, снижение возбудимости при многократном применении подкрепления любым безусловным раздражителем (температура, химические вещества и проч.) можно рассматривать как выражение адаптации периферических рецепторов к действию безусловного раздражителя. Адаптация в этом случае обеспечивает снижение возбудимости в безусловном центре. При этом снижается сила импульсов, посылаемых с периферических рецепторов, адаптированных к действию теплового раздражителя, как это было в наших опытах. Отсутствие адаптации к действию данного раздражителя ведет к усилению импульсов с рецепторов. С этих позиций угашение ориентировочного рефлекса можно рассматривать как наступление адаптации в рецепторной части рефлекторной дуги.

При перемене температуры увеличивается уровень возбуждения в силу того, что периферические рецепторы не имеют соответствующего уровня

адаптации. Начальной причиной понижения возбудимости при продолжающемся действии на животное температуры можно представить как следствие возникновения адаптации на периферическом конце анализатора. Тот же механизм безусловной адаптации может лежать в основе любого вида подкрепления раздражителем при выработке условных рефлексов. В связи с этим приходится учитывать, что проявление «закона силы» в образовании условного рефлекса зависит от адаптации рецепторов к действующим на них как условным, так и безусловным раздражителям.

Институт физиологии им. И. П. Павлова
Академии наук СССР

Поступило
28 X 1958

ЦИТИРОВАННАЯ ЛИТЕРАТУРА

- ¹ М. Е. Лобашев, Л. А. Кореневич, ДАН, 59, № 9, 967 (1947).
² В. И. Гусельников, Физиол. журн. СССР, 38, № 5, 612 (1952). * А. В. Погребкова, ДАН, 73, № 1, 225 (1950).

Л. В. ДАНИЛОВА

**К ВОПРОСУ О ДИФФЕРЕНЦИАЦИИ СЕГМЕНТОВ
В ЗАТЫЛОЧНОЙ ОБЛАСТИ У ЗАРОДЫШЕЙ ОВЦЫ (OVIS ARIES)**

(Представлено академиком А. Н. Бакулевым 9 III 1959)

В конце прошлого и начале настоящего столетия достигли широкого размаха эмбриологические исследования позвоночных, связанные с проблемой эволюции головы. Благодаря исследованиям большого числа как зарубежных, так и русских ученых, особенно А. Н. Северцова и его школы, сложилось представление, согласно которому эволюция головы идет по пути исчезновения метамерии спереди назад, причем передние сегменты туловища постепенно превращаются в заднюю часть головы (см. напр., ^(10, 12)). В эмбриональном развитии высших позвоночных было обнаружено в затылочной области головы метамерное строение мезодермы и ряда других органов ^(3-6, 9). Однако с этой стороны высшие позвоночные обследованы хуже, чем низшие.

Вместе с тем известно, что сомиты могут служить прекрасным ориентиром для других, несегментированных структур. Поэтому представляет интерес определить число и рассмотреть преобразования сегментов, в частности в затылочной области головы, которая у млекопитающих испытывает значительную редукцию, и установить заднюю границу этой области на стадиях, когда морфологически голова и туловище отграничены недостаточно.

По данным Фрорипа, у млекопитающих сзади блуждающего нерва закладываются три миотома и три или четыре соответствующих им брюшных нервных корешка, формирующих подъязычный нерв ^(4, 6). У коровы на уровне последних двух затылочных сегментов формируются небольшие спинномозговые ганглии ⁽⁶⁾, у овцы найден один ганглий ⁽⁴⁾. На уровне 3-го миотома закладывается каудальная часть черепа, которая до хрящевой стадии подобна закладке туловищного позвонка, но позднее сливается с черепом ^(4, 6). Согласно данным, полученным при изучении более ранних стадий развития, чем только что указанные, в затылочной области у овцы закладываются четыре мускульных пластинки ⁽²⁾. Наблюдения на зародышах птиц и млекопитающих показали, что на ранних стадиях развития происходит редукция 1-го сомита ^(1-3, 7, 9). Достоверные данные были получены для птиц при помощи метода маркирования ^(7, 8, 11). Ввиду недостаточности и противоречивости прежних данных было предпринято исследование дифференциации сегментов у зародышей овцы с момента их появления с целью определения количества и преобразований сегментов, включающихся в затылочную область.

В качестве материала использовали зародышей каракульской овцы, возраст которых отсчитывали от момента осеменения самок до времени забоя.

Появление сомитов у зародышей овцы относится к началу 17-х суток. Вскоре после отделения от недифференцированной мезодермы в сомитах начинается образование миоцелей, которые, как это отметил еще Бонне ⁽²⁾, возникают путем отодвигания из центра сегмента к периферии ядер, а затем цитоплазматических отростков клеток. У 17-суточных зародышей с 9 парами сомитов миоцели 2—6-го сегментов соединяются с целомом при помощи узких каналов. Эта связь непродолжительна, она исчезает на 18-е сутки. У 1-го сомита такого сообщения, по-видимому, во-

обще не возникает, так как он разрушается вскоре после своего появления. В пользу представления о редукции этого сомита свидетельствуют три стадии дифференциации, наблюдавшиеся нами у 17-суточных зародышей, различающихся числом пар сомитов. Так, у 5-сомитного зародыша

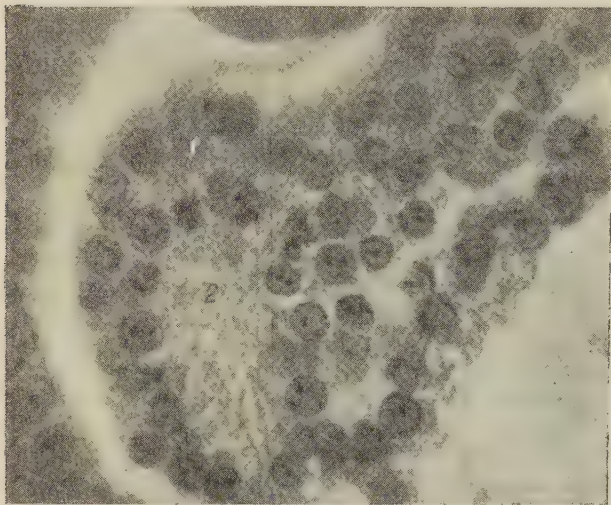


Рис. 1. 1-й сомит зародыша овцы начала 17 суток (5 пар сомитов) Ок. 7, об. 90 \times . 1 — сомит, 2 — цитоплазматические отростки клеток в полости сомита.

1-й сомит не обнаруживает признаков разрушения (рис. 1). Однако он отстаёт в развитии от 2-го, что выражается в незаконченности формирования миоцеля, тогда как у 2-го сомита полость свободна от клеток. У 8-сомитных зародышей первый из них представлен остатком дорсальной стенки, тогда как остальные части сомита претерпели мезенхимный распад (рис. 2); 9-сомитные, так же как и старшие зародыши, имеют нормально сформированный передний сегмент, являющийся уже вторым по счету, или 1-м затылочным сегментом.

На 18-е сутки происходит рассыпание вентро-медиальных стенок сомитов и формирование склеротомной мезенхимы. На 19-е сутки склеротомная мезенхима разделяется на два отдела: передний и задний склеротомиты, начиная со второго по счету, или 3-го затылочного, сегмента. У 2-го сомита такого деления не происходит вообще, у 3-го оно существует непродолжительное время. В конце 19 — начале 20 суток признаки деления склеротома 3-го затылочного сомита исчезают. В то же время у всех следующих сегментов, начиная с 4-го затылочного, происходит уплотнение мезенхимы заднего склеротомита. С 20 до 26 суток склеротомная закладка 4-го затылочного сомита, представляющая зачаток затылочного отдела черепа, ничем не отличается от закладки склеротомов остальных шейных сегментов, (рис. 3 а). С 26 суток в закладке затылочной кости, позвонках и ребрах появляется предхрящевая ткань. В то же время возникают отличия между затылочной частью черепа и позвонками. Первая закладка увеличивается в размерах и вытягивается вперед и вниз, захватывая пространство, занятое недифференцированной мезенхимой, соответствующей склеротому 3-го сегмента. На 28 сутки в скелетных закладках появляется

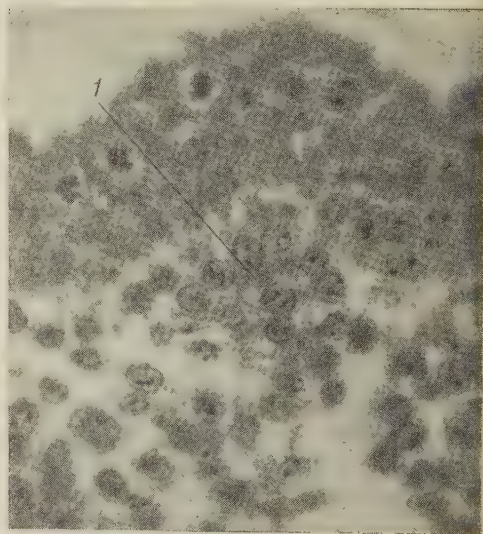


Рис. 2. Остатки разрушающегося 1-го сомита у зародыша овцы начала 17 суток (8 пар сомитов). Ок. 7, об. 90 \times . 1 — остаток дорсальной стенки сомита

хрящ. В это время закладка затылочного отдела черепа уже значительно отличается от закладки позвонка. Рассмотрение дальнейшего формирования черепа не является нашей задачей, потому мы не станем здесь описывать следующих стадий дифференциации затылочного отдела черепа.

На 19 сутки происходит формирование миотомов. Первый миотом появляется у первого по счету, или 2-го затылочного, сомита. С 21 суток во всех миотомах появляются гомогенные миофибриллы. С 23 — начинается задержка в развитии первого миотома, отличающегося от остальных сегментов меньшими размерами и на предыдущих стадиях развития. На 24 сутки в связи с началом формирования затылочного бугра и сгибанием головы вниз, затылочная область испытывает сжатие и связанную с ним

редукцию передних сегментов. Два передних затылочных миотома смещаются по отношению к главной продольной оси тела. На 25 сутки он сокращается до нескольких миобластов и миофибрилл, их расположение не достигает степени упорядоченности и прямолинейности, характерной для остальных сегментов. Расположен он на уровне нижней половины 2-го сегмента, в миофибриллах которого к этому времени возникла поперечная исчерченность. В последующих стадиях развития (26—27 сутки) первый и второй затылочные миотомы испытывают еще большее сжатие, связанное со сгибанием головы, что приводит к значительному сближению их друг с другом (рис. 3 б). Наряду со слиянием затылочных миотомов и приближением к 1-му шейному сомиту в них происходят дегенеративные изменения, о чем свидетельствует появление пикнотических ядер, глыбок хроматина и набухших миофибрилл.

Начиная с 23 суток возникают закладки спинномозговых ганглиев. Первый небольшой ганглий формируется на уровне третьего по счету, или 4-го затылочного, сегмента.

Это ганглий Фрорица (4-6), связанный с третьей ветвью подъязычного нерва. По данным Фрорица (4, 6), ганглий последнего затылочного сегмента редуцируется в плодном развитии.

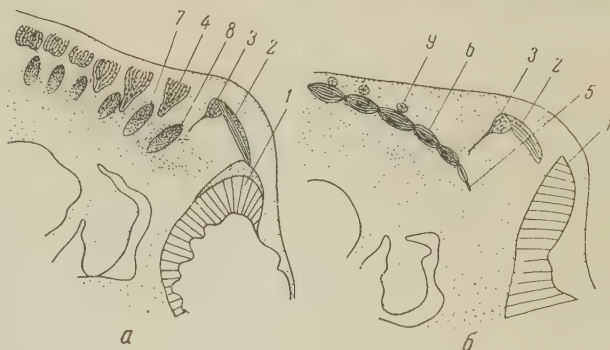


Рис. 3. Зародыш овцы, начало 26 суток. Сагиттальный разрез через затылочную область головы (полусхематично). а — разрез проходит через спинномозговые ганглии и скелетные закладки; б — разрез проходит через миотомы. 1 — головной мозг, 2 — добавочный нерв, 3 — ганглий Фрорица, 4 — первый шейный ганглий, 5 — первый затылочный миотом, 6 — первый шейный миотом, 7 — закладка первого шейного позвонка, 8 — закладка каудального отдела черепа, 9 — эпителиоидный дорсальный «колпачок» дерматома

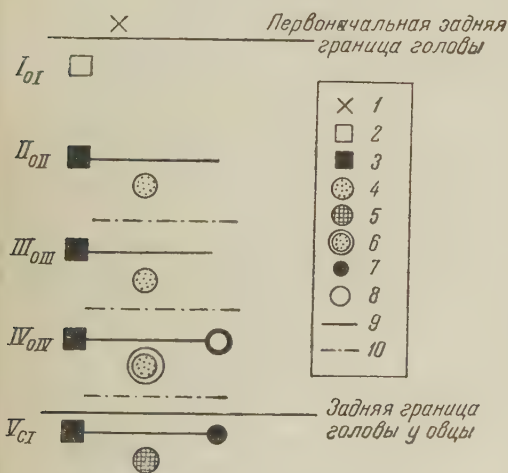


Рис. 4. Сегментация в затылочной области у зародыша овцы. 1 — блуждающий нерв, 2 — рудиментарный сомит, 3 — миотом, 4 — склеротом, 5 — позвонок, 6 — закладка затылочного отдела черепа, 7 — спинномозговой ганглий (CI), 8 — ганглий Фрорица, 9 — брюшной нервный корешок, 10 — межсегментальная артерия

В затылочном отделе головы закладываются метамерные межсегментальные артерии. Первая межсегментальная артерия появляется на 19 сутки спереди от 3-го затылочного сомита. На 22—23 сутки происходит редукция первых двух артерий, и на стадиях, с которых начал исследование Фрорип, их не существует^(4, 6), а первая межсегментальная артерия соответствует третьему затылочному миотому.

Таким образом, вышеприведенные наблюдения показали, что в затылочном отделе у зародыша овцы закладывается четыре сегмента. Первый из них представлен первичным сомитом, который вскоре после своего появления разрушается. Этого сомита Фрорип не видел, так как начал исследование с более взрослых стадий. Первый сегмент, по его данным, представлен у зародышей коровы и овцы первым брюшным корешком подъязычного нерва⁽⁶⁾, однако, судя по его ранним данным, у овцы⁽⁴⁾ четыре ветви этого нерва не всегда бывают достаточно четко выраженными. Первый сомит и его разрушение наблюдал у овцы Боннэ⁽²⁾, однако его сведения о четырех затылочных мускульных пластинках неточны, так как в действительности они закладываются только в трех последних затылочных сегментах. Два передние из них к концу зародышевого периода редуцируются, и незначительные их остатки вместе с третьим миотомом присоединяются к первому шейному сегменту при формировании мускулатуры. Склеротомные закладки трех последних затылочных сегментов также обнаруживают следы метамерии с ранних стадий, что выражается в появлении в центре их слабо выраженной бороздки. Однако дальнейшая дифференциация склеротома, которая на ранних стадиях не отличается от характера дифференциации туловищных позвонков, происходит только в последнем сегменте, где образуется закладка затылочного отдела черепа. Эта закладка начинает отличаться от закладок позвонков с предхрящевой стадии. Редукции подвергаются и две передних межсегментальных артерии. На уровне последнего, 4-го затылочного сегмента закладывается спинномозговой ганглий. Спереди от него по ходу XI добавочного нерва разбросаны небольшие скопления ганглиозных клеток, однако ни одно из них не может быть принято за зачаток спинномозгового ганглия. Такой зачаток, соответствующий 3-му затылочному сегменту, имеется у коровы⁽⁶⁾. В качестве иллюстрации всего вышесказанного приводим диаграмму (рис. 4), изображающую изменения, происходящие в затылочной области у овцы, пользуясь в основном теми обозначениями, которые применил А. Н. Северцов для установления задней границы головы и гомологии сегментов для различных представителей низших позвоночных⁽¹²⁾. Диаграмма показывает, что в затылочной области головы у зародыша овцы формируются четыре сегмента, испытывающие постепенную редукцию в направлении спереди назад, и что каудальный отдел черепа закладывается на уровне 4-го затылочного сомита, т. е. задняя граница головы сдвигается назад, если считать за первоначальную границу блуждающий нерв, как это было установлено в работах на низших позвоночных (напр.,^(10, 12)).

Институт морфологии животных
им. А. Н. Северцова
Академии наук СССР

Поступило
4 III 1959

ЦИТИРОВАННАЯ ЛИТЕРАТУРА

- ¹ L. B. Arey, Contrib. to Embryol., 168, 233 (1938). ² R. Bonnet, Arch. Anat. u. Physiol., Anat. Abt., 1889, 1. ³ E. O. Butcher, Am. J. Anat., 44, 2, 381 (1929). ⁴ A. Froriep, Arch. Anat. u. Physiol., Anat. Abt., 1882, 279. ⁵ A. Froriep, Arch. Anat. u. Physiol., Anat. Abt., 1883, 177. ⁶ A. Froriep, Arch. Anat. u. Physiol., Anat. Abt., 1886, 69. ⁷ G. W. Hirsch, H. L. Hamilton, Anat. Rec., 125, № 2, 225 (1956). ⁸ M. E. Hubbard, Am. Naturalist, 42, 466 (1908). ⁹ R. M. Hunter, J. Morphol., 57, 2, 501 (1935). ¹⁰ Б. С. Матвеев, Дн. зоол. отд. общ. любит. ЕАЭ, 2, № 5, 203 (1915). ¹¹ J. T. Patterson, Biol. Bull., 13, 3, 121 (1907). ¹² А. Н. Северцов, Уч. зап. Московск. унив., отд. ест. истории, в. 11 (1895). ¹³ L. W. Williams, Am. J. Anat., 11, 55 (1910—1911).

ДОКЛАДЫ

АКАДЕМИИ НАУК СССР

Том 126

СИСТЕМАТИЧЕСКИЙ УКАЗАТЕЛЬ

1. МАТЕМАТИКА

- И. А. Бахтин. О нелинейных уравнениях с вогнутыми и равномерно вогнутыми операторами 9
- Любомир Илиев. Критерий аналитической непродолжительности степенных рядов 13
- М. А. Красносельский и А. И. Перов. О существовании решений у некоторых нелинейных операторных уравнений 15
- А. В. Лотоцкий. Выражения $\xi(2)$, $\xi(3)$, ..., рядами через коэффициенты интерполяционных полиномов 19
- О. В. Сарманов и А. Б. Вистелиус. О корреляции между процентными величинами 22
- А. Н. Тихонов и А. А. Самарский. Асимптотическое разложение интегралов с медленно убывающим ядром 26
- А. Х. Турецкий. О классах насыщения в пространстве C 30
- В. Б. Уваров. О связи полиномов, ортогональных с различными весами Хоанг Туй. К структуре измеримых функций 37
- Ю. Е. Аленицын. Об одном распространении принципа подчинения на многосвязные области 231
- Кабирия Андреевн Казаку. О квазиконформных отображениях 235
- А. Архангельский. Аддитивная теорема для веса множеств, лежащих в бикомпактах 239
- А. М. Бабич. О радикале Левицкого И. Я. Бакельман. Об одном классе нелинейных дифференциальных уравнений 242
- В. С. Виденский. О наименее уклоняющихся от нуля многочленах, коэффициенты которых удовлетворяют данной линейной зависимости 244
- Т. А. Гермогенова. Некоторые свойства решений интегральных уравнений на полупрямой с ядром, зависящим от разности аргументов 248
- А. В. Гохман. О внутренней геометрии реономного неголономного пространства 255
- Р. Денчев. О спектре одного оператора Ю. И. Журавлев. О построении минимальных дизъюнктивных нормальных форм для функций алгебры логики 259
- Н. Н. Красовский. К теории оптимального регулирования нелинейных систем второго порядка 263
- Л. В. Мамай. О некоторых теоремах теории положительно-определенных функций 267
- Н. Н. Мейман. К теории аналитических функций, наименее уклоняющихся от нуля в области 271
- С. Г. Михлин. Дифференцирование рядов по сферическим функциям 274
- И. И. Паровиченко. Об антиурысоновых расширениях топологических пространств 278
- С. А. Чунихин. Общий признак существования подгрупп у конечных групп 280
- С. А. Гельфер. О максимуме конформного радиуса фундаментальной области группы дробно-линейных преобразований 284
- В. П. Глушко. Об операторах типа потенциала и некоторых теоремах вложения 463
- Д. Ф. Давиденко. К вопросу о решении методом сеток осесимметрической задачи Дирихле для уравнения Лапласа 467
- Р. Л. Добрушин. Общая формулировка основной теоремы Шеннона в теории информации 471
- М. А. Евграфов. О теоремах, аналогичных теореме Фрагмена—Линделёфа Д. П. Желобенко. Строение группового кольца группы Лоренца 474
- Н. Н. Кузнецов и Б. Л. Рождественский. Существование и единственность обобщенного решения задачи Коши для неоднородного закона сохранения 478
- Г. Ф. Лаптев. Об инвариантном осна-

щении поверхности в пространстве аффинной связности	490	М. С. Бродский. Об интегральном представлении ограниченных несамосопряженных операторов с вещественным спектром	1166
В. И. Лебедев. О конечноразностном аналоге задачи Неймана	494	А. А. Дородницын. К задаче вычисления собственных чисел и собственных векторов матриц	1170
О. Б. Лупанов. Об асимптотических оценках числа графов с n ребрами	498	В. В. Иванов и И. Б. Симоненко. О приближенном отыскании всех решений данного линейного уравнения в пространстве Банаха	1172
В. Б. Меламед. О вычислении индекса неподвижной точки вполне непрерывного векторного поля	501	В. А. Ильин и И. А. Шишмарев. О связи между классическим и обобщенным решениями задачи Дирихле и задачи на собственные значения	1176
Л. Г. Немцова. К вопросу о номографировании уравнений третьего номографического порядка	505	И. С. Кац. О густоте спектра струны	1180
А. Я. Прессман и О. С. Берлянд. О получении асимптотических выражений для некоторого класса функций	508	Е. И. Ким и Л. П. Иванова. Смешанная граничная задача для одной системы дифференциальных уравнений параболического типа	1183
В. П. Хавин. Об одной задаче В. В. Голубева	511	И. А. Киприянов. Дробная производная и теоремы вложения	1187
А. В. Штраус. О характеристических функциях линейных операторов	514	А. А. Киселева и И. Ш. Славутский. О числе классов идеалов квадратичного поля и его колец	1191
Б. В. Боярский. Задача Римана — Гильберта для голоморфного вектора	695	Р. Е. Кричевский. О сложности реализации функций суперпозициями	1195
Д. Ф. Давиденко. К вопросу о численном определении функций тока Стокса	699	В. П. Михайлов. О смешанной задаче для параболической системы на плоскости	1199
П. И. Лизоркин. Граничные свойства некоторого класса функций	703	Е. Складенко. Несколько замечаний о бесконечномерных пространствах	1203
А. Дж. Ловатор. О теоремах Гросса и Иверсена	707	А. Х. Турецкий. О классах насыщения для некоторых методов суммирования рядов Фурье непрерывных периодических функций	1207
А. А. Мальцев. Теорема двойственности для незамкнутых множеств в многообразиях	709	И. С. Хара. Несколько приближенных формул в теории конформных отображений	1210
Р. Ф. Матвеев. О регулярности многомерных стационарных случайных процессов с дискретным временем	713	Н. И. Фельдман. О мере трансцендентности числа π и логарифмов алгебраических чисел	1214
В. Пономарев. Об открытых отображениях нормальных пространств	716		
А. С. Шварц. О роде расслоенного пространства	719		
А. В. Штраус. О теореме умножения характеристических функций линейных операторов	723		
И. И. Баврин. Оценки в теории аналитических функций двух комплексных переменных	919		
И. Я. Бакельман. Задача Дирихле для уравнений типа Монжа — Ампера и их n -мерных аналогов	923		
Ю. А. Брудный и А. Ф. Тиман. Конструктивные характеристики компактных множеств в пространствах Банаха и ϵ -энтропия	927		
М. И. Грабарь. Об изоморфизме динамических систем, различающихся только временем	931		
Д. П. Желобенко. Линейные представления группы Лоренца	935		
А. Ф. Леонтьев. О полинте некоторых систем полиномов в областях комплексной плоскости	939		
П. К. Суетин. О многочленах, ортогональных по площади	943		
Хоанг Туй. О симметрии контингенции графика измеримой функции	946		
С. Д. Эйдельман и Ф. О. Порпер. О некоторых свойствах решений параболических в смысле Г. Е. Шилова систем	948		
Ю. М. Березанский. Об обобщенных решениях краевых задач	1159		
О. В. Бесов. О некотором семействе функциональных пространств. Теоремы вложения и продолжения	1163		

II. МЕХАНИКА

Г. В. Ужик. Составные балки (стержни) как средство повышения несущей способности и предотвращения хрупкого разрушения в местах концентрации напряжений	41
В. В. Казакевич. О монотонной устойчивости инвариантных точек	287
В. В. Казакевич. О процессе экстремального регулирования инерционных объектов при наличии возмущений	517
И. С. Герасимов. Об асимптотическом интегрировании дифференциального уравнения одной автотомодельной динамической задачи	727
В. Я. Шкадов. Об интегрировании уравнений пограничного слоя	730

III. ГИДРОМЕХАНИКА

Г. А. Любимов. Ударная волна со скачком проводимости газа в электромагнитном поле	291
В. Н. Жигулев. О явлениях магнитного «отжатия» потока проводящей среды	521
М. И. Киселев. К расчету ударных волн в магнитной гидродинамике	524
Н. Н. Кочина. Точные решения уравнений движения магнитной гидродинамики	

намики, предельных к автомодел- ным	528	кции Грина в статистической фи- зике	53
Г. А. Любимов. Влияние электромаг- нитного поля на режим детонации	532	Н. И. Калитеевский и М. П. Чайка. Спектроскопическое определение спина ядра Lu^{176}	57
Г. А. Любимов. Стационарное обте- кание угла потоком бесконечно про- водящего газа	733	В. Л. Бонч-Бруевич. К теории темпе- ратурных функций Грина	539
И. Бийбосунов. Пример плоско-парал- лельного околосзвукового тече- ния газа с искривленным скачком уплотнения, оканчивающимся вну- три течения с функцией тока вида $\psi_{2/3} = \rho^{2/3} f_{2/3} \left(\frac{\theta}{\rho} \right)$	951	А. Е. Глауберман, В. В. Владимиров и И. В. Стасюк. Новая форма поля- рной модели кристалла	543
Е. В. Рязанов. Примеры точных ре- шений задач о распространении взрывных волн в гравитирующей газе при нулевом градиенте темпе- ратуры	955	Ш. М. Коган. О температурных кван- товых функциях Грина	546
Ю. Д. Шмыглевский. О телах враще- ния, имеющих минимальное сопро- тивление на сверхзвуковых ско- ростях	958	М. С. Лившиц. Промежуточные си- стемы в квантовой электродинамике	550
Н. Н. Кочина. Об особенностях вбли- зи центра взрыва и о возникновении двух ударных волн.	1216	М. В. Синельников. Электронная эмис- сия с поверхности чистого молиб- дена после облучения электронами	554
И. И. Ночевкина. О приближенном методе исследования плоских вихре- вых течений в магнитной гидроди- намике	1220	И. Р. Юхновский. Свободная энергия систем заряженных частиц	557
Е. В. Рязанов. Некоторые точные реше- ния уравнений магнитной газодина- мики при наличии сил собствен- ного тяготения и нулевого градиен- та температуры	1224	Э. Е. Вайнштейн, М. Н. Бриль и Ю. Ф. Копелев. Тонкая структура рентгеновских K -спектров поглоще- ния титана в титанатах системы $\text{BaO}-$ TiO_2 и ее связь с характером поля- ризации атомов в сегнетоэлектри- ческих кристаллах	744

IV. ТЕОРИЯ УПРУГОСТИ

Г. Я. Попов. Изгиб полубесконечной плиты на комбинированном упру- гом основании	534	И. И. Ольховский. О методе момент- ных приближений в обобщенной гидродинамике	748
А. А. Вакуленко. Термодинамическое исследование связей между напря- жениями и деформациями в изот- ропных упруго-пластических средах	736	М. Г. Петрашку и А. К. Михул. Деле- ние ядер Th^{232} отрицательными μ - и π -мезонами	752
И. И. Ворович и Ю. П. Красовский. О методе упругих решений	740	В. Г. Соловьев. Уравнение для волно- вой функции системы N частиц в задаче многих тел	755
Ю. П. Красовский. Разрешимость плос- кой задачи теории малых упруго- пластических деформаций	961	С. И. Кубарев. О влиянии межмолеку- лярных взаимодействий на спектре молекул	971
В. П. Северденко и В. И. Колос. Об одном поле линий скольжения	964	А. Н. Орлов, В. Г. Галишев и Г. Г. Талуц. Расчет многократного рас- сеяния гамма-лучей семейств урана и тория	975

V. АСТРОНОМИЯ

А. А. Никитин. Эффект автоиониза- ции и его влияние на интенсивность некоторых линий в звездных спек- трах	1227	А. Н. Севченко, Г. П. Гуринович и А. М. Саржевский. О предельной поляризации флуоресценции	979
		В. С. Гречишкин и Ф. И. Скрипов. При- менение ядерного квадрупольного резонанса для определения частот решеточных колебаний в ряде хлора- тов	1229
		А. М. Дыхне. К теории рупоров	1232
		А. П. Комар и Т. Н. Драгнев. Тонкая структура энергетического спектра фотопротонов из Ca^{40}	1234
		Э. В. Теодорович. «Скрытая структура» в модели Ли	1236

VIII. ГИДРОЛОГИЯ

О. А. Алекин и Н. П. Моричева. На- сыщенность карбонатом кальция во- ды эстуариев	295
---	-----

IX. ГЕОФИЗИКА

Л. С. Гандин и Р. Э. Соловейчик. Влияние горизонтального перемеши- вания в направлении ветра на испа- рение с ограниченных водоемов	59
Р. В. Озмидов. Исследование средне- масштабного горизонтального тур- булентного обмена в океане при по- мощи радиолокационных наблюде-	

VII. ФИЗИКА

Н. Н. Боголюбов и С. В. Тябликов. Запаздывающие и опережающие фун-	
---	--

ний над плавающими буями	63
А. И. Фельзенбаум. Средний многолетний дрейф льдов в Центральном Арктическом бассейне	66
Г. Е. Лазарев и С. А. Ушаков. Опыт определения мощности льда в Антарктиде по гравиметрическим данным	299
А. П. Хван. Точное решение уравнения поля ветровых волн на сильно мелководном море	303
П. А. Виноградов. Об аномалии электроотделурического поля в районе Ушканьих островов (оз. Байкал)	561
Ю. В. Ризниченко. О рассеянных отраженно-преломленных сейсмических волнах	759
А. С. Ставровский. Распространение волн на границе упругого полупространства, вызываемых волнами жидкости в бассейне со скачкообразно меняющейся глубиной	763
П. А. Шумский. Плотность ледникового льда	767
В. И. Мороз. Спектр излучения ночного неба в области 1,2—3,4 μ	983
В. Н. Страхов. Об аналитическом продолжении двухмерных магнитных полей	987
И. Я. Баллах и М. Ф. Мирчинк. О возможности применения сейсморазведки для прямых поисков залежей нефти и газа	1239
К. Т. Богданов. Новая амфибромическая система суточной приливной волны в заливе Нортон	1242
Н. И. Вульфсон. О механизме разрешения неустойчивости в свободной атмосфере	1244

X. ТЕХНИЧЕСКАЯ ФИЗИКА

В. Д. Кузнецов и А. И. Лоскутов. Влияние предварительной деформации на пластичность алюминия	70
Л. С. Палатник и Ю. Ф. Комник. О кинетике конденсации металлов в вакууме	74
А. М. Самарин и Д. Я. Свет. О лучеиспускательной способности металлов в жидкой фазе	78
Е. М. Савицкий, В. В. Барон и К. Н. Иванова. Диаграмма рекристаллизации ниобия	771
Н. Л. Брюхатов и Н. А. Гринчар. Магнитный метод исследования внутренних напряжений в листах холоднокатанного никеля	990
Т. Н. Буракова и Т. Н. Верицкая. Кристаллооптическое изучение поликристаллических сегнетоэлектриков в системе $BaTiO_3 - ZrO_2$	994
Ю. В. Воробьев и А. А. Вязигин. О полевых хроматических абберациях в электронном микроскопе	1248
И. М. Грязнов. О характере деформаций на площадке текучести	1250
Л. С. Палатник и В. С. Зорин. К теории зарождения новой фазы при распаде твердых растворов	1254

XI. ЭЛЕКТРОТЕХНИКА

П. И. Чинаев. Об условиях эквивалентной замены передаточной функ-	
---	--

ции операторным $K(D)$ изображением

XII. КРИСТАЛЛОГРАФИЯ

Л. Г. Берг и И. Н. Аверко-Антонович. О природе светимости мрамора	
Н. В. Глики. Изменение габитуса искусственных кристаллов льда в процессе роста	

XIII. ХИМИЯ

А. А. Берлин, Г. Л. Попова и Е. Ф. Исаева. Исследование полимеризации и свойств смешанных полиэфиров акрилового ряда	
Я. Л. Гольдфарб, М. М. Полонская, Б. П. Фабричный и И. Ф. Шалавина. Восстановительное ацетилирование нитросоединений ряда тиофена в присутствии скелетного никеля	
А. И. Камнева, М. Я. Фиошин, А. И. Ефименкова, Ю. Б. Васильев и Л. А. Музыченко. Изучение процесса электрохимической конденсации моно-2-этилгексилового эфира адипиновой кислоты	
А. В. Новоселова, Ю. В. Орлова, Ю. П. Симанов и Л. М. Ковба. О новом ряде полиморфных превращений Na_2BeF_4	
А. М. Понизовский и Н. М. Владимирова. Растворимость системы $Na, Mg Cl, HCO_3 - H_2O$	
А. А. Пономарев и И. А. Маркушина. Синтез производных 1,6-диоксаспиро-(4,4)-нонена-3 при электролитическом алкоксилровании γ -фурилалканолов	
Н. И. Шуйкин и Н. Г. Бекаури. Каталитическая полициклизация высших алканов	
В. М. Фролов, О. В. Крылов и С. З. Рогинский. Каталитическое дегидрирование этанола на германии	
А. Н. Несмеянов и Н. С. Кочеткова. Пентаэтанодифероцен	
Л. Г. Берг и Л. А. Борисова. О природе соли Линка	
Б. А. Казанский, М. И. Розенгарт и З. Ф. Кузнецова. Деструктивное алкилирование бензола пропаном	
Б. М. Михайлов, В. А. Вавер и Ю. Н. Бубнов. Борорганические соединения. Реакция бортриалкилов с соединениями, содержащими подвижный водород	
И. С. Мустафин. О пределе чувствительности аналитических реактивов	
Г. В. Ракова, А. А. Коротков и Ли Цзун-чан. Исследование сополимеризации изопрена с пипериленом и диизопропенилом	
Ю. А. Титов и А. И. Кузнецова. Электрохимическая природа заместителей в диене и диенофиле и структурная направленность диенового синтеза	
Н. П. Шушерина, Р. Я. Левина и Н. Д. Дмитриева. δ -лактоны 3-бромпираны-2	

А. Е. Арбузов, Ф. Г. Валитова, Н. С. Гарифьянов и Б. М. Козырев. О парамагнитном резонансе α, α -дифенил- β -пикрилгидразила, полученного из различных растворителей	774	К. А. Андрианов, А. А. Жданов и Э. А. Кашутина. Синтез триэтилсилокси-производных ванадия и сурьмы	1261
С. Т. Безверхова и Д. В. Сокольский. Гидрирование фурилового спирта на скелетном никелевом катализаторе	777	Б. А. Казанский, И. В. Гостунская и А. И. Леонова. Каталитическое гидрирование диеновых углеводородов с изолированной системой двойных связей в присутствии платины и палладия	1264
М. Е. Вольпин и Д. Н. Курсанов. Действие перекиси водорода на соли тропилина. Новая реакция сужения семичленного цикла	780	Р. Комерс и В. Бажант. Анализ смеси диметилловых эфиров бензолдикарбоновых кислот при помощи газожидкостной хроматографии	1268
А. В. Зимин, С. В. Чурмантеева, А. В. Губанова и А. Д. Верина. Одновременное определение C; H; F и Cl в галоидированных углеводородах методом микроанализа	784	В. В. Коршак, Т. М. Фрунзе, В. В. Курашев и А. Ю. Алыбина. О некоторых особенностях неравновесной поликонденсации	1270
Б. А. Казанский, М. И. Розенгарт и З. Ф. Кузнецова. Влияние добавок щелочных элементов на каталитические свойства алюмохромовых катализаторов	787	А. А. Петров и В. А. Кормер. О присоединении литийдиэтил- и литийдибутиламидов к винилацетилену и винилалкилацетиленам	1278
В. В. Коршак, А. М. Полякова, А. А. Сахарова, А. Д. Петров и Е. А. Чернышев. Полимеризация винилароматических кремнийорганических соединений. Производные α -метилстирола	791	В. В. Камзолкин, А. Н. Башкиров и М. М. Потарин. О синтезе высших кетонов методом окисления парафиновых углеводородов	1282
Н. С. Наметкин, А. В. Топчиев, Т. И. Чернышева и Л. И. Карташева. Изучение реакции присоединения триалкоксиланов к олефинам	794	С. Р. Рафиков, Б. В. Суворов, Б. А. Жубанов, М. И. Хмура и М. В. Прокофьева. Синтез никотиновой кислоты и ее амиды через никотинонитрил	1286
С. Р. Сергиенко, Л. Н. Квитковский и Ал. А. Петров. Вязкостно-температурные свойства высокомолекулярных углеводородов смешанного строения	798	М. Б. Турова-Поляк и Н. В. Руденко. Алкилирование бензола и его замещенных изопропиловым спиртом над алюмосиликатным катализатором при атмосферном давлении	1289
Н. Г. Чернова, Л. С. Ягужинский и А. Я. Верлин. Синтез β -(n -(ди-2-хлорэтил)-аминсфенил)- β -аланина	802	XIV. ФИЗИЧЕСКАЯ ХИМИЯ	
Ю. К. Юрьев, К. Ю. Новицкий и В. Н. Жингарева. Исследования в ряду фурана. Синтез симметричных 2,5-бис-(диалкиламинометил)-фуранов	806	Ю. В. Плесков. Инжекция и экстракция неосновных носителей тока на поверхности германиевого электрода в результате электрохимических процессов	111
К. А. Андрианов и Н. А. Курашева. Синтез циклических диметилсилоксанов, содержащих триэтилсилоксановые группы	997	А. Н. Фрумкин и Л. Н. Некрасов. О кольцевом дисковом электроде	115
Н. С. Наметкин, А. В. Топчиев и Т. И. Чернышева. О присоединении трибензилсилана к олефинам	1001	Ю. Л. Халдна, А. И. Тальвик и В. А. Пальм. Зависимость скорости кислотного-каталитической реакции от основности реагента в случае «общего кислотного катализа»	119
А. Н. Несмеянов, В. А. Сазонов и В. Н. Дрозд. Ферроценилборная и 1,1'-ферроценилендиборная кислоты и их реакции	1004	Б. Л. Цетлин, В. А. Сергеев, С. Р. Рафиков, В. В. Коршак, П. Я. Глазунов и Л. Д. Бубис. Эффект последствия при облучении метилметакрилата в присутствии кислорода	123
О. А. Несмеянова и Э. Г. Перевалова. Диферроценил	1007	Б. В. Эршлер, М. А. Нежевенко и Г. Г. Мясищев. Механизмы радиационного распада перекиси водорода	126
А. Д. Петров, В. А. Пономаренко и Г. В. Одабашян. Синтез кремнеорганических мономеров из дихлорсилана	1009	П. А. Акишин, Л. В. Вилков и Ю. И. Веснин. Электронографическое исследование строения молекул хлористого винила и трифторхлорэтилена	310
Г. И. Самохвалов, Л. И. Захаркин, Л. П. Давыдова и И. М. Хорлина. Новый синтез β -ионолиденукусусного альдегида	1013	Ю. М. Бакши, А. И. Кельбштейн и М. И. Темкин. Равновесие синтеза этилового спирта	314
Н. И. Швецов и В. Ф. Кучеров. Стереохимия гетероциклических соединений. Конфигурация геометрических изомеров 1,2,5-триметил-4-фенилпиперидолов-4	1017	Г. В. Белугина, С. Х. Закиева, П. А. Ребиндер и А. Б. Таубман. Об устойчивости и вязкости концентрированных суспензий в олеогелях металлических мыл	318

Л. Г. Болховитинов. Возможный механизм инициирования жидких взрывчатых веществ	322	В. М. Татевский и Ю. Г. Папулов. Квантовомеханическое обоснование формулы для энергии образования алканов	827
И. Е. Пауков, В. П. Колесов и С. М. Скуратов. Изменение изобарно-изотермического потенциала при стандартных условиях для реакции полимеризации ϵ -капролактама	325	Ю. М. Тюрин. О кривых заряджения родиевой черни	827
И. М. Роднянский, И. С. Галингер и В. И. Коробков. Электропроводность водных растворов едкого натра при высоких температурах	327	Б. Г. Варшавер, Ж. Л. Броун и К. В. Чибисов. О спектральных свойствах оптически несенсибилизированных фотографических эмульсий	1021
О. Я. Самойлов. Координационное число и трансляционное движение частиц в водных растворах электролитов	330	К. Ф. Жигач, М. З. Финкельштейн и И. М. Тимохин. Структурная вязкость водных растворов карбоксиметилцеллюлозы	1025
Д. В. Сокольский и Ю. А. Скопин. Изучение окисно-платинового катализатора электрохимическим методом	334	Ю. Б. Иванов и В. Г. Левич. Изучение нестойких промежуточных продуктов электродных реакций с помощью вращающегося дискового электрода	1028
А. С. Баберкин. Действие γ -излучения Co^{60} на кристаллогидраты азотнокислых солей	591	Н. А. Измайлов. Химические энергии сольватации ионов	1033
И. В. Березин и Н. Ф. Казанская. Последовательность образования продуктов при жидкофазном окислении циклогексана в стальном сосуде	594	В. И. Мусихин, О. А. Есин и Б. М. Лепинских. Катодная поляризация при осаждении ванадия из расплавленных окислов	1037
Я. П. Гохштейн. Общее уравнение осциллографической полярографии, обратные процессы при катодной и анодной поляризации	598	А. М. Бродский, Р. А. Калинин и К. П. Лавровский. О соотношении кинетических изотопных эффектов при разрыве связей $\text{C}^{12} - \text{C}^{14}$ и $\text{C}^{14} - \text{C}^{14}$	1293
Н. В. Декартова и В. Н. Рожанский. Исследование влияния поверхностно-активной среды на процессы деформации и разрушения методом внутреннего трения	602	Ю. А. Вдовин, В. Г. Левич и В. А. Мямлин. Анодное растворение германия	1296
И. Н. Захаров и О. А. Есин. Электропроводность и катодная поляризация хромсодержащих шлаков	605	М. И. Винник, Н. Г. Зарахани, И. М. Медвецкая и Н. М. Чирков. О роли солеобразования в кислотно-каталитических процессах. Кинетика гидролиза циклогексанонаксима	1300
Г. М. Панченков и В. Я. Баранов. Кинетика термического крекинга углеводородов	608	Л. А. Кочанова, И. А. Андреева и Е. Д. Щукин. О хрупком разрыве чистых и легированных монокристаллов цинка	1304
В. К. Потапов, В. Г. Васильев и Н. Н. Туницкий. Ионизация и диссоциация молекул n -октана и n -нонана моноэнергетическими электронами	612	Тза Чюан-синь и З. А. Иофа. К вопросу о влиянии адсорбированных анионов на перенапряжение водорода	1308
Г. П. Ставицкая, Ю. И. Смолин, Н. А. Торопов и Е. А. Порай-Кошиц. К вопросу о кристаллизации гилебрандита в гидротермальных условиях	616	XV. ХИМИЧЕСКАЯ ТЕХНОЛОГИЯ	
Н. Д. Томашов и Н. И. Исаев. Устойчивость пассивного состояния механически напряженного металла	619	П. П. Будников и В. С. Горшков. Влияние температурных условий на устойчивость сульфоалюмината и сульфоферрита кальция	33
И. В. Березин, Н. Ф. Казанская и В. Ф. Привалов. О механизме вырожденных разветвлений при жидкофазном окислении циклогексана в стальном сосуде	809	В. И. Мелик-Гайказян, А. А. Байченко, В. Л. Работкин и А. Н. Горбань. Исследование механизма действия неполярных реагентов при флотации угля	34
Г. В. Манелис и Ф. И. Дубовицкий. Термическое разложение взрывчатых веществ ниже температуры плавления	813	М. Г. Журавлева, В. Н. Богословский и Г. И. Чуфаров. Влияние углекислых солей калия и натрия на восстановление ферритов никеля и кобальта графитом	62
С. З. Рогинский. Кинетика полупроводникового катализа при контроле хемосорбцией	817	С. С. Лисяк и Г. И. Чуфаров. Об ускоряющем влиянии добавки поташа на восстановление магнетита графитом	83
Г. Д. Сахаров. Метод измерения стационарных поверхностных концентраций компонентов каталитической реакции	821	И. И. Астахов, И. Г. Киселева и Б. Н. Кабанов. Полиморфизм двуокиси свинца и строение электролитических осадков	104
		Н. Н. Севрюгова, О. В. Уваров и Н. М. Жаворонков. Разделение изо-	

топов бора ректификацией хлористого бора 1044

XVI. ГЕОЛОГИЯ

- Г. С. Ганешин и И. А. Шилкина.** Искупаемая древесина *Supressinoxylon supressoides* Kräusel в осадках суйфунской свиты (Южное Приморье) 131
- С. К. Горелов.** Некоторые закономерности новейшей тектоники локальных структур Поволжья и Северного Кавказа 134
- И. Д. Гофштейн.** О размахе новейших тектонических движений в Преднепровье 138
- В. И. Смирнов и Т. Я. Гончарова.** О рудных гальках в породах кровли Урупского медно-колчеданного месторождения на Северном Кавказе 142
- И. Е. Старик, М. Г. Равич, А. Я. Крылов и Ю. И. Силин.** Об абсолютном возрасте пород Восточно-Антарктической платформы 144
- Л. П. Хрянина.** Траппы дифференцированных интрузий на р. Бахте и в низовьях Подкаменной Тунгуски (западная часть Сибирской платформы) 147
- В. А. Горин и Т. М. Гадиева.** Нефтевулканические неки и асфальтовая галька в отложениях плиоцена Апшеронского полуострова 344
- Е. А. Гофман.** О среднелейасовых фораминиферах Северного Кавказа 348
- А. И. Елисеев.** К вопросу о происхождении известняковых брекчий карбона гряды Чернышева 351
- Л. Н. Кудрин.** О тектонических особенностях северо-восточной части Верхнетиссенской впадины (Закарпатье) 355
- Л. Д. Мирошников, А. Г. Кравцов и О. С. Щеглова.** Схема стратиграфии нижнего и среднего палеозоя северо-западной окраины Сибирской платформы 359
- В. И. Орлов.** О максимальном четвертичном оледенении Западно-Сибирской низменности 363
- В. Г. Рихтер.** Некоторые черты современной тектоники впадины Каспийского моря 367
- Ч. М. Халифа-Заде.** О генезисе Присамурского месторождения сидеритов Южного Дагестана 371
- А. В. Чекунов.** О некоторых закономерностях развития Крымско-Кавказского передового прогиба 375
- Б. Е. Атыпко.** О южной границе палеогенового моря на юге Западно-Сибирской низменности 626
- М. И. Варенцов и В. И. Дитмар.** К формированию Тенгизской и Карагадинской впадин 630
- Г. П. Дубарь.** О находке шамозитовых пород оолитового строения в Ленском бассейне 634
- О. С. Вялов и Л. С. Пишванова.** Новые данные о фауне нижнего тортона Подольи 834
- П. Ф. Иванкин.** Зональность колчеданного ряда месторождений Иртышской зоны смятия на Алтае 838
- С. С. Коробов и М. Диаров.** К вопросу о влиянии тектоники на литологию галогенных пород 841
- Г. П. Тамразян.** О некоторых закономерностях изменения состава газов нефте-газовых месторождений Апшеронского полуострова 845
- Ю. М. Трофимов.** Семенные флоры четвертичных отложений низовьев Алдана и Лены 849
- А. Г. Алиев.** Об источниках сноса обломочных минералов мезо-кайнозойских отложений нефтеносных районов Азербайджана 1047
- Ю. М. Васильев.** О строении и возрасте сыровых отложений южного Заволжья 1051
- А. Г. Жабны и Г. Н. Мухитдинов.** О гипогенном ореоле выноса редких земель вокруг Вишневогорско-Ильменогорской интрузии миаскистов (южный Урал) 1055
- С. С. Круглов.** Пластовые интрузии хр. Дженту на северо-западном Кавказе 1058
- М. Ф. Мирчинк и В. П. Бухарцев.** О возможности статистического исследования структурных соотношений Г. В. Нехорошев. Верхнепалеозойские отложения хребта Манрак (Восточный Казахстан) 1066
- Г. В. Пинус.** Некоторые закономерности нижнекембрийского вулканизма Тувы 1068
- П. П. Тимофеев.** О некоторых особенностях геологического развития Тувы в среднем и верхнем палеозое и мезозое 1071
- И. Н. Тихвинский.** Об эволюции солевого режима асельско-сакмарского моря юга Татарии и прилегающих районов 1075
- В. И. Чалышев.** Ритмичность нижнепермских угленосных отложений Средней Печоры 1079
- В. П. Боронин.** Некоторые данные о послонной зональности плотности в карбонатных породах Татарии и ее значении для поисков структур с помощью гравиразведки 1312
- И. Н. Крылов.** О строматолитах уральского рифея 1316
- В. Г. Лутц.** Стратиграфия и тектоника южной части Анабарского массива 1320
- В. А. Милашев и Н. И. Шульгина.** Новые данные о возрасте кимберлитов Сибирской платформы 1324
- Д. И. Мусатов и А. П. Тарков.** К вопросу о тектоническом строении центральной части Саяно-Алтайской складчатой области 1327
- Мэн Сян-хуа.** К петрографии фосфоритов бассейна Каратау 1330
- К. О. Ростовцев.** О базальных образованиях байоса бассейнов рек Зеленчук и Кубань 1334
- Э. Н. Янов.** Девонские отложения юго-восточного Горного Алтая (бассейн верховьев р. Чуи) 1338

XVII. ГИДРОГЕОЛОГИЯ

- И. В. Баранов.** Гидрокарбонатные коэффициенты в водах некоторых рек СССР 1082

XVIII. МИНЕРАЛОГИЯ

- Х. С. Мамедов, Р. Ф. Клевцова и Н. В. Белов.** О кристаллической структуре гидрата трехкальциевого силиката 151
- Л. В. Фирсов.** О находке сейригита на Северо-Востоке СССР 155
- Х. С. Мамедов, В. И. Симонов и Н. В. Белов.** О группах вёлерита—ловенита и ринкита — мозандрита 379
- А. П. Бобриевич, Г. И. Смирнов и В. С. Соболев.** Ксенолит эклогита с алмазами 637
- А. И. Комков.** О минералах серий эвксенит-поликраза и приорит-блом-страндин 641
- И. А. Островский, Г. П. Мишина и В. М. Повилайтис.** РТ-проекция системы кремнезем — вода 645
- А. И. Комков.** Рентгеновское исследование искусственных редкоземельных соединений типа TRNbO_4 853
- О. О. Онтоев.** Лиллианит Букуинского месторождения и условия его образования 855
- Фань Дэ-лянь.** О пиросмалите в месторождении Вафанзы, КНР 1342

XIX. ПЕТРОГРАФИЯ

- Г. М. Гапеева.** Уссурит — особая разновидность щелочных базальтоидных пород 157
- Н. В. Логвиненко.** О характере изменений каменноугольных пород в юго-восточном секторе Большого Донбасса 647
- Н. Ф. Шинкарев и Л. Л. Перчук.** О находке щелочных габброидов в Алайско-Туркестанской щелочной провинции 1084

XX. ГЕОХИМИЯ

- Х. И. Амирханов, Е. Н. Бартницкий, С. Б. Брандт и Г. В. Войткевич.** О миграции аргона и гелия в некоторых породах и минералах 160
- И. И. Волков.** О свободном сероводороде и сернистом железе в иловых отложениях Черного моря 163
- В. В. Ковальский и С. В. Летунова.** Значение иловой микрофлоры в миграции кобальта и приспособление микроорганизмов к среде в биогеохимических провинциях с различным содержанием кобальта 167
- В. В. Добровольский.** Элементы — примеси в карбонатных конкрециях из четвертичных отложений аридной зоны 382
- Э. А. Остроумов и Л. С. Фомина.** О формах соединений серы в донных отложениях Марианской впадины 385
- К. К. Вотинцев и Н. В. Верболова.** О влиянии сгонно-нагонных яв-

- ний и внутренних волн на гидрохимический режим озера Байкал 650
- С. К. Гипп.** Титан в бокситах Кайракского месторождения 859
- В. А. Леонова.** О влиянии примесей на параметр ячейки уранинита 1346

XXI. ПОЧВОВЕДЕНИЕ

- К. Е. Гинзбург.** О поглощении фосфора гидратами окисей железа и алюминия и почвами 654
- А. А. Титлянова, А. Н. Тюрюканов и Г. И. Махонина.** О десорбирующем действии природных экстрактов 1350

XXII. ОКЕАНОЛОГИЯ

- Т. В. Сечкина.** Диатомовые в длинной колонке донных отложений из Японского моря 171
- А. П. Лисицын.** Новые данные о распределении и составе взвешенных веществ в морях и океанах в связи с вопросами геологии 863

XXIII. ПАЛЕОНТОЛОГИЯ

- Р. Е. Алексеева.** Новый род сем. At-ripidae Gill. (Brachiopoda) 389
- К. А. Ушко и Л. С. Исаева-Петрова.** Новые данные по плиоценовой флоре Западной Туркмении 392
- К. Б. Корде.** Морфология и систематическое положение представителей рода Eriphyton 1087
- В. В. Ламакин.** Пыльца темнохвойных деревьев в четвертичных отложениях Ольхона на оз. Байкал 1090

XXIV. ЦИТОЛОГИЯ

- Я. Е. Хесин, О. Ф. Сарычева и Ю. Н. Мастюкова.** Изменение объемов ядер культуры Нер-2 под влиянием вируса оспенной вакцины 175

XXV. ГИСТОЛОГИЯ

- Г. А. Брауде.** О форме мышечных волокон в различных скелетных мышцах млекопитающих 396
- Г. Л. Брауде.** О морфологических различиях цилиндрических мышечных волокон в тонических и нетонических скелетных мышцах позвоночных и о морфологическом субстрате тонуса 659
- А. А. Манина.** Динамика включения и распределения радиоактивного фосфора P^{32} в ткани нервной системы белых крыс 867
- А. Г. Гретен.** Морфология хроматофильного вещества в нервных элементах симпатических ганглиев 1094

XXVI. ГЕНЕТИКА

- Н. П. Дубинин, Б. Н. Сидоров и Н. Н. Соколов.** Генетический эффект последствий видимого света 179
- Н. В. Мацкевич.** Экспериментальная полиплоидия у *Populus tremula* L. 183

Н. П. Дубинин, Б. Н. Сидоров и Н. Н. Соколов. О механизме защиты от генетических эффектов радиации . . .	400	на меристемные клетки зачаточного стебля пшеницы	1355
К. В. Косиков и О. Г. Раевская. Эффект торможения направленной мутационной изменчивости ферментативных свойств дрожжей	870	С. Р. Зубкова и А. Л. Платонов. Механизмы защитного действия спирта при рентгеновском облучении мышей	1358
З. В. Лебедева. Влияние чужеродного доопыления на инцухт-депрессию у кукурузы	1096		

XXVII. ЭКОЛОГИЯ

Л. А. Галкина. Явление дегенерации половых клеток у тихоокеанской сельди	404
В. И. Владимиров и К. И. Семенов. Критический период в развитии личинок рыб	663
А. Д. Чинарина. Изменение окраски трески <i>Gadus morhua morhua</i> L. (одиночной и в стае) в зависимости от фона	667

XXVIII. МИКРОБИОЛОГИЯ

В. Д. Федоров. Полифосфаты фотосинтезирующих бактерий	406
И. В. Конова. Физико-химические показатели среды (рН, Eh, rH ₂) при развитии <i>Actinomyces griseus</i> и образования им антибиотического вещества	671
Э. А. Петрова. Источники азотного питания для серных пурпурных бактерий	1100
В. А. Северина, С. В. Горская и И. В. Грачева. Влияние амидов на биосинтез стрептомицина	1103
М. Д. Чумак. Влияние высокого давления на интенсивность потребления глюкозы баротолерантными бактериями	1107

XXIX. БИОФИЗИКА

Н. И. Нуждин и Г. В. Нижник. Влияние гамма-лучей Co ⁶⁰ на ранние стадии эмбриогенеза кроликов	187
Н. И. Шапиро, Е. М. Бочарова и Н. В. Белицина. О кислородном эффекте, наблюдаемом при лучевом повреждении растительных и животных клеток	191
Б. М. Граевская. Ослабление изменений содержания гликогена в печени, вызванных ионизирующей радиацией, при облучении животных в атмосфере с окисью углерода	874
М. М. Громаковская, Е. И. Кричевская и С. Я. Рапопорт. Влияние антигистаминных препаратов на развитие некоторых ранних лучевых нарушений	876
В. Д. Глезер. Колбачковая адаптация как нервный процесс	1110
С. Р. Зубкова и Н. М. Чернавская. Изменение активности холинэстеразы в тканях крыс в разные сроки после облучения	1114
И. М. Васильев и Е. И. Маслова. Действие рентгеновского облучения	

XXX. БИОХИМИЯ

Е. В. Будницкая и И. Г. Борисова. Ферментативное окисление липидов растений при действии ионизирующей радиации	195
Н. С. Гельман, И. Г. Жукова и А. И. Опарин. Влияние дезоксирибонуклеазы на окисление яблочной кислоты лизатами бактерий <i>Micrococcus lysodeikticus</i>	198
С. К. Карапетян и Н. Г. Микаелян. Аминокислотный состав яичных белков при различных условиях содержания птиц	200
В. Б. Евстигнеев и В. А. Гаврилова. Фотосенсибилизация окислительно-восстановительных реакций хлорофиллом в гетерогенных условиях	410
К. А. Кафиани и Б. Ф. Поглазов. К вопросу о сократительных свойствах пленочных нитей мышечных белков	414
Н. В. Лучник. О роли нуклеозидполифосфатов при делении клеток и ауторепродукции нуклеиновых кислот	417
Д. Домян. Влияние температуры на активность кислот и щелочного фосфатаза мозга позвоночных <i>in vitro</i>	675
В. Ф. Купревич, М. М. Голлербах, Е. Н. Моисеева, В. П. Савич и Т. А. Щербакова. Некоторые данные о биологической активности грунтов, почв и лишайников Восточной Антарктиды	678
Н. П. Кораблева. Влияние гамма-лучей на содержание сульфгидрильных соединений в клубнях картофеля	880
Л. Н. Боброва и Б. Н. Степаненко. О гуаниновом производном дрожжевого происхождения, стимулирующем работу сердечной мышцы	1118
Л. П. Гаврилова, А. С. Спирин и А. Н. Белозерский. Действие температуры на состояние макромолекул вирусной рибонуклеиновой кислоты в растворе	1121
А. А. Гуревич и Н. А. Голосова. Об индуцированной реакции восстановления метилового красного аскорбиновой кислотой	1125
М. И. Княгиничев и Ю. Р. Болховитина. Водородные связи и свойства крахмала	1129
Н. К. Кочетков, Р. М. Хомутов, М. Я. Карпейский, Э. И. Будовский и Е. С. Северин. О механизме антибиотического действия циклосерина	1132
Б. П. Плешков. Содержание триптофана в белках ячменя	1135
Н. Т. Прянишникова и В. А. Пчелин. О связи между анестезирующими свойствами анестетиков и их поверхностной активностью	1362

XXXI. АГРОХИМИЯ

- М. Е. Шишняшвили. Новые виды
органо-минеральных микроудобре-
ний и возможности их применения 421

XXXII. БОТАНИКА

- И. М. Распов. К экологии полуш-
ника озерного (*Isoetes lacustris* L.) 1137

XXXIII. МОРФОЛОГИЯ РАСТЕНИЙ

- Е. А. Мирославов. К вопросу о физио-
логической роли неголовчатых три-
хом чашелистников цветка *Melam-
prium nemorosus* L. 203
Г. П. Белостоков. О морфологической
цикличности роста годичных побе-
гов древесных растений 682

XXXIV. АНАТОМИЯ РАСТЕНИЙ

- А. М. Краснитский. Микроскопическое
строение древесины ясеня обыкно-
венного из различных условий про-
израстания 884

XXXV. ФИЗИОЛОГИЯ РАСТЕНИЙ

- В. Г. Карманов. Положение автомати-
ки и кибернетики к растениеводству 207
В. Г. Кулебаев. Вегетативная гибри-
дизация хлопчатника 424
С. И. Пашкар и Т. А. Рейнгард. О раз-
рушении и превращении гетеро-
ауксина тканями различных органов
картофеля 428
А. Ф. Калинин и Г. В. Удовенко.
К вопросу влияния условий пита-
ния на содержание аминокислот в
растениях 684
Ю. В. Ракитин и А. Д. Потапова.
Влияние 2,4-Д и хлор-ИФК на транс-
пирацию и некоторые коллоидные
свойства протоплазмы 688
Н. К. Болдырев. Зависимость между
химическим составом листьев, уро-
жаем и качеством зерна яровой пше-
ницы в связи с применением удобре-
ний 886
В. Л. Витковский. Влияние понижен-
ной и повышенной температуры в
осенне-зимнее время на состояние
почек черной смородины 890
П. И. Гупало. Влияние различных спо-
собов предпосадочного прорастыва-
ния клубней на ход онтогенеза и уро-
жай картофеля 894
А. Н. Бугакова. Скорость поступле-
ния серы в растения сои 1366
А. Ш. Галстян и А. Г. Авакян. Изме-
нение физиологической активности
корней помидора под влиянием че-
канки 1369
С. Н. Литвиненко. Украинский гиб-
береллин — эффективный ростовой
стимулятор 1372
Ю. В. Ракитин и А. Д. Потапова.
Влияние гербицидов на дыхание и
фотосинтез овса и подсолнечника . . 1375

- И. Н. Сагайдак. Увеличение пигмен-
тов в листьях свеклы путем при-
вивки 1379

XXXVI. ЗООЛОГИЯ

- М. Н. Русанова. О характере биоло-
гических различий между беломор-
скими и баренцевоморскими *Balanus
balanoides* Linné 210
И. Д. Шапиро. Внекишечное пищева-
рение у личинок насекомых, живу-
щих в растениях, и его биологическое
значение 214
В. М. Гусев и Б. К. Штегман. Первые
данные о гнездовании индийского
балобана в пределах СССР 432
Г. Г. Абрикосов. О родовых подразде-
лениях покрытотелых (*Phylactolaema-
ta*) пресноводных мшанок 896
Д. В. Наумов. Видовые различия по-
липоидного поколения коронмедуз
Г. Г. Абрикосов. К вопросу о геогра-
фическом распространении покрыто-
телых (*Phylactolaemata*) пресновод-
ных мшанок 1139
Г. Г. Абрикосов. О родовых подраз-
делениях и географическом распро-
странении голоротых (*Cymloaema-
ta*) мшанок континентальных
водоемов 1382
О. М. Бочарова-Месснер. Перитрофи-
ческая перепонка в кишечнике вред-
ной черепашки (*Eurygaster integri-
ceps* Put.) 1385

XXXVII. МОРФОЛОГИЯ

- Е. А. Клебанова. О возможности уве-
личения числа волокон в скелетной
мышце ее рабочей гипертрофии . . . 905

XXXVIII. ЭКСПЕРИМЕНТАЛЬНАЯ МОРФОЛОГИЯ

- Е. А. Пожидаев. Влияние введения
каменноугольной смолы в яичник
крысы на развитие зародышей . . . 217
Л. В. Полежаев. Значение характера
повреждения для заживления мио-
карда у млекопитающих 221
Л. И. Корчак. Некоторые биохими-
ческие особенности черепных костей
кроликов и собак в связи с их спо-
собностью к регенерации 435
А. Я. Фриденштейн. Варианты диф-
ференцировки переходного эпителия,
и его остеогенетическая активность . 438
В. П. Кудкоцев. Регенерация конеч-
ностей у пустынного гологлаза (*Ab-
lepharus deserti* Strauch) 1141
А. И. Матвеева. Регенерация костей
свода черепа у собак, вызванная
ауто трансплантацией костных опи-
лок, и роль твердой мозговой оболоч-
ки в этом процессе 1145

XXXIX. ФИЗИОЛОГИЯ

- Д. Домян. Фосфомоноэстеразы мозга в
филогенезе позвоночных 442
Г. Н. Кассиль, Э. А. Маглина и Р. А.
Соколинская. Адреналиноподобные

вещества и биологическая активность крови при холодовой пробе в условиях нормы и диэнцефальной патологии	446	Е. Ф. Полежаев. О корковой координации при переходе в сон и пробуждении	1149
А. М. Уголев и В. Н. Черниговский. О роли интероцепторов в формировании поведения высших животных	450	М. Е. Лобашев, В. В. Савватеев и В. Г. Маршин. Адаптация к безусловному раздражителю в процессе образования условного рефлекса	1389
В. Г. Кассиль, А. М. Уголев и В. Н. Черниговский. Рецепция желудка и регуляция пищевого поведения у собак	692	<i>XL. ЭМБРИОЛОГИЯ</i>	
З. Н. Шмидт. Изменение проницаемости гемато-энцефалического и гемато-офтальмического барьеров при понижении атмосферного давления	696	И. К. Сванидзе. Особенности развития зрительного нерва и сетчатки скалистой ящерицы	703
Л. С. Штерн, О. Я. Райопорт и М. М. Громаковская. Роль нервной системы в изменении проницаемости гистогематических барьеров при облучении	699	Л. В. Данилова. К вопросу о дифференциации сегментов в затылочной области у зародышей овцы (<i>Ovis arieo</i>)	1389
Е. Ф. Полежаев. Особенности корковой координации при внешнем торможении	909	<i>XLI. ПАРАЗИТОЛОГИЯ</i>	
		Е. Д. Логачев и Б. Р. Брускин. О тканевых взаимоотношениях в системе паразит—хозяин в онтогенезе сибирской двуустки	454

- Абрикосов Г. Г. XXXVI, 896, 1139, 1382
 Авакян А. Г. XXXV, 1369
 Аверко-Антонович XII, 81
 Акишин П. А. XIV, 310
 Алевин О. А. VIII, 295
 Александров А. Я. IV, 1
 Алексеева Р. Е. XXIII, 389
 Аленыцын Ю. Е. I, 231
 Алиев А. Г. XVI, 1047
 Алыбина А. Ю. XIII, 1270
 Амиранов Х. И. XX, 160
 Андреева И. А. XIV, 1304
 Андрианов К. А. XIII, 997, 1261
 Антыпко Б. Е. XVI, 626
 Арбузов А. Е. XIII, 774
 Аржаных И. С. VI, 45
 Архангельский А. I, 239
 Астахов И. И. XV, 1041
 Баберкин А. С. XIV, 591
 Бабич А. М. I, 242
 Баврин И. И. I, 919
 Бажант В. XIII, 1268
 Байченко А. А. XV, 341
 Бакельман И. Я. I, 923
 Бакшин Ю. М. XIV, 314
 Баллах И. Я. IX, 1239
 Баранов И. В. XVII, 1082
 Баранов В. Я. XIV, 608
 Барон В. В. X, 771
 Бартницкий Е. Н. XX, 160
 Бахтин И. А. I, 9
 Башкиров А. Н. XIII, 1282
 Безверхова С. Т. XIII, 777
 Бекаури Н. Г. XIII, 103
 Белицина Н. В. XXIX, 191
 Белов Н. В. XVIII, 151, 379
 Белозерский А. Н. XXX, 1121
 Белостоков Г. П. XXXIII, 682
 Белугина Г. В. XIV, 318
 Берг Л. Г. XII, 81, XIII, 569
 Березанский Ю. М. I, 1159
 Березин И. В. XIV, 594, 809
 Берлин А. А. XIII, 83
 Берлин А. Я. XIII, 802
 Берлянд О. С. I, 508
 Бесов О. В. I, 1163
 Бейбосунов И. III, 951
 Бобринев А. П. XVIII, 637
 Боброва Л. Н. XXX, 1118
 Богданов К. Т. IX, 1242
 Боголюбов Н. Н. VII, 53
 Богословский В. Н. XV, 623
 Болдырев Н. К. XXXV, 886
 Болховитина Ю. Р. XXX, 1129
 Болховитинов Л. Г. XIV, 322
 Бонч-Бруевич В. Л. VII, 539, 1385
 Борисова И. Г. XXX, 195
 Борисова Л. А. XIII, 569
 Боронин В. П. XVI, 1312
 Бочарова Е. М. XXIX, 191
 Бочарова-Месснер О. М. XXXVI, 1
 Боярский Б. В. I, 695
 Брандт С. Б. XX, 160
 Брауде Г. Л. XXV, 659, 396
 Бриль М. Н. VII, 744
 Бродский А. М. XIV, 1293
 Бродский М. С. I, 1166
 Броун Ж. Л. XIV, 1021
 Брудный Ю. А. I, 927
 Брускин Б. Р. XII, 454
 Брюхатов Н. Л. X, 990
 Бубис Л. Д. XIV, 123
 Бубнов Ю. Н. XIII, 575
 Бугакова А. Н. XXXV, 1366
 Будников П. П. XV, 337
 Будовский Э. И. XXX, 1132
 Будницкая Е. В. XXXI, 195
 Бураков Т. Н. X, 994
 Бухарцев В. П. XVI, 1062
 Вавер В. А. XIII, 575
 Вайнштейн Э. Е. VII, 744
 Вакуленко А. А. IV, 736
 Валитова Ф. Г. XIII, 774
 Варенцов М. И. XVI, 630
 Варшавер Б. Г. XIV, 1021
 Васильев В. Г. XIV, 612
 Васильев И. М. XIX, 1355
 Васильев Ю. Б. XIII, 90
 Васильев Ю. М. XVI, 1051
 Вдовин Ю. А. XIV, 1996
 Верина А. Д. XIII, 784
 Вербицкая Т. Н. X, 994
 Верболова Н. В. XX, 650
 Веснин Ю. И. XIV, 310
 Виденский В. С. I, 248
 Вилков Л. В. XIV, 310
 Винник М. И. XIV, 1300
 Виноградов П. А. IX, 561
 Вистелиус А. Б. I, 22
 Витковский В. Л. XXXV, 890
 Владимиров В. В. VII, 543
 Владимиров В. И. XXVII, 663
 Владимирова Н. М. XIII, 97
 Войткевич Г. В. XX, 160
 Волков И. И. XX, 163
 Вольпин М. Е. XIII, 780
 Воробьев Ю. В. X, 1248
 Ворочин И. И. IV, 740
 Вотищев К. К. XX, 650
 Вязигин А. А. X, 1248
 Вялов О. С. XVI, 834
 Гаврилова В. А. XXX, 410
 Гаврилова Л. П. XXX, 1121
 Гадиева Т. М. XVI, 344
 Галингер И. С. XIV, 327
 Галишев В. С. VII, 1
 Галкина Л. А. XXVII, 404
 Галстян А. Ш. XXXV, 1369
 Гандин Л. С. IX, 59
 Ганешин Г. С. XVI, 131
 Гапеева Г. М. XIX, 157
 Гарифьянова Н. С. XIII, 774
 Гельбштейн А. И. XIV, 314
 Гельман Н. С. XXX, 198
 Гельфер С. А. I, 463
 Герасимов И. С. II, 727
 Герменова Т. А. I, 251
 Гинзбург К. Е. XXI, 654
 Гипп С. К. XX, 859
 Глазунов П. Я. XIV, 123
 Глауберман А. Е. VII, 543, 539
 Глезер В. Д. XXIX, 1110
 Глики Н. В. XII, 1258
 Глушко В. П. I, 467
 Говорун Н. Н. VI, 49
 Голлербах М. М. XXX, 678
 Голосова Н. А. XXX, 1125
 Гольдфарб Я. Л. XIII, 86
 Гончаров Т. Я. XVI, 142
 Горбань А. Н. XV, 341
 Горелов С. К. XVI, 134
 Горин В. А. XVI, 344
 Горская С. В. XXVIII, 1103
 Горшков В. С. XV, 337
 Гостунская И. В. XIII, 1264
 Гофман Е. А. XVI, 348
 Гофштейн И. Д. XVI, 138
 Гохман А. В. I, 255
 Гоштейн Я. П. XIV, 598
 Грабарь М. И. I, 931
 Граевская Б. М. XXIX, 874
 Грачева И. В. XXVIII, 1103
 Гретен А. Г. XXV, 1094
 Гречишкин В. С. VII, 1229
 Гринчар Н. А. X, 990
 Громаковская М. М. XXIX, 876
 Громаковская М. М. XXXIX, 699
 Грязнов И. М. X, 1250
 Губанова А. В. XIII, 784
 Гупало П. И. XXXV, 894
 Гуревич А. К. XXX, 1125
 Гуринович Г. П. VII, 979
 Гусев В. М. XXXVI, 432
 Давиденко Д. Ф. I, 699, 471
 Давыдов Л. П. XIII, 1013
 Данилова Л. В. XL, 1389
 Декартова Н. В. XIV, 602
 Денчев Р. I, 259
 Диаров М. XVI, 841
 Дитмар В. И. XVI, 630
 Дмитриева Н. Д. XIII, 589
 Добровольский В. В. XX, 382
 Добрушин Р. Л. I, 474

* Первое число после фамилии и инициалов автора обозначает номер разряда по систематическому указателю, второе—страницу.

Домян Д. XXXIX, 442,
XXX, 675
Дородницын А. А., 1, 1170
Драгнев Т. Н. VII, 1234
Дрозд В. Н. XIII, 1004
Дубарь Г. П. XVI, 634
Дубинин Н. П. XXVI, 179,
400
Дубовицкий Ф. И. XIV, 813
Дыхне А. М. VII, 1232

Евграфов М. А. 1, 478
Евстигнеев В. Б. XXX,
410
Елисеев А. И. XVI, 351
Есин О. А. XIV, 605, 1037
Ефименкова А. И. XIII, 90

Жабин А. Г. XVI, 1055
Жаворонков Н. М. XVI,
1044
Жданов А. А. XIII, 1261
Желобенко Д. П. 1, 482,
935
Жигач К. Ф. XIV, 1025
Жигулев В. Н. III, 521
Жингарева В. Н. XIII, 806
Жубанов Б. А. XIII, 1286
Жукова И. Г. XXX, 198
Журавлев Ю. И. 1, 263
Журавлева М. Г. XV, 623

Закиева С. Х. XIV, 318
Зарахани Н. Г. XIV, 1300
Захаркин Л. И. XIII, 1013
Захаров И. Н. XIV, 605
Зимин А. В. XIII, 784
Зорин В. С. X, 1254
Зубкова С. Р. XXIX, 1114, 1358

Иванкин П. Ф. XVI, 838
Иванов В. В. 1, 1172
Иванова Л. П. 1, 1183
Иванов Ю. Б. XIV, 1029
Иванова К. Н. X, 771
Измайлов Н. А. XIV, 1033
Ильин В. А. 1, 1176
Иофа З. А. XIV, 1308
Исаев Н. И. XIV, 619
Исаева Е. Ф. XIII, 83
Исаева-Петрова Л. С. XXIII,
392

Кабанов Б. Н. XV, 1041
Кабрия Андреян Казаку 1,
235
Казакевич В. В. II, 287,
517
Казанская Н. Ф. XIV, 594,
809
Казанский Б. А. XIII, 571
787, 1264
Калиненко Р. А. XIV, 1223
Калинкевич А. Ф. XXXV,
684
Калитеевский Н. И. VII, 57
Камзолкин В. В. XIII, 1282
Камнева А. И. XIII, 90
Карапетян С. К. XXX, 200
Карманов В. Г. XXXV, 207
Карлейский М. Я. XXX,
1132

Карташева Л. И. XIII, 794
Кассиль Г. Н. XXXIX,
446
Кассиль В. Г. X, 692
Кафанин К. А. XXX, 414
Кац И. С. 1, 1180
Кашутина Э. А. XIII, 1261
Квитковский Л. Н. XIII,
798

Ким Е. И. 1, 1183
Киприянов И. А. 1, 1187
Киселев А. А. 1, 1191
Киселев М. И. III, 524
Киселева И. Г. XV, 1041
Клебанова Е. А. XXVII,
905
Клевцова Р. Ф. XVIII, 151
Княгиничев М. И. XXX,
1129

Ковальский В. В. XX, 167
Ковба Л. М. XIII, 93
Коган Ш. М. VII, 546
Козырев Б. М. XIII, 774
Колесов В. П. XIV, 325
Колос В. И. IV, 964
Комар А. П. VII, 1234
Комерс Р. XIII, 1268
Комков А. И. XVIII, 641,
853

Комник Ю. Ф. X, 74
Конова И. В. XXVIII, 671
Копелев Ю. Ф. VII, 744
Кораблева Н. П. XXX,
880
Кордэ К. Б. XXIII, 1087
Кормер В. А. XIII, 1278
Коробков В. И. XIV, 327
Коробов С. С. XVI, 841
Коротков А. А. XIII, 582
Корчак Л. И. XXXVIII, 435
Коршак В. В. XIV, 123,
XIII, 791, 1270

Косиков К. В. XXVI, 870
Кочанова Л. А. XIV, 1304
Кочетков Н. К. XXX, 1132
Кочетков Н. С. XIII, 307
Кочина Н. Н. III, 528, 1216
Кравцов А. Г. XVI, 359
Краснитский А. М. XXXIV,
884
Красовский Ю. П. IV, 740,
961

Красовский Н. Н. 1, 267
Красовский Ю. П. IV,
Красносельский М. А. 1, 15
Кричевская Е. И. XXIX, 876
Кричевский Р. Е. 1, 1195
Круглов С. С. XVI, 1058
Крылов А. Я. XVI, 144
Крылов И. Н. XVI, 1316
Крылов О. В. XIII, 107
Кубарев С. И. VII, 971
Кудокоцев В. П. XXXIX,
1141

Кудрин Л. Н. XVI, 355
Кузнецов В. Д. X, 70
Кузнецов Н. Н. 1, 486
Кузнецова А. И. XIII, 586
Кузнецова З. Ф. XIII, 571,
787
Кулебяев В. Г. XXXV,
424

Купревич В. Ф. XXX, 678
Курашев В. В. XIII, 1270
Курашева Н. А. XIII, 997
Курсанов Д. Н. XIII, 780
Кучеров В. Ф. XIII, 1017

Лавровский К. П. XIV, 1293
Лазарев Г. Е. IX, 299
Ламакин В. В. XXIII, 1090
Лаптев Г. Ф. 1, 490
Лебедев В. И. 1, 494
Лебедева З. В. XXVI, 1096
Левина Р. Я. XIII, 589
Левич В. Г. XIV, 1029, 1296
Леонова А. И. XIII, 1264
Леонова В. А. XX, 1346
Леонтьев А. Ф. 1, 939
Лепинских Б. М. XIV, 1037
Летунова С. В. XX, 167
Лившиц М. С. VII, 550
Лизоркин П. И. 1, 703
Лисицын А. П. XXI, 863
Лисняк С. С. XV, 831
Литвиненко С. Н. XXXV,
1372

Ли Цзун-чан XIII, 582
Лобашев М. Е. XXXIX, 1389
Ловатор А. Дж. 1, 707
Логачев Е. Д. XLI, 454
Логвиненко Н. В. XIX, 647
Лоскутов А. И. X, 70
Лотоцкий А. В. 1, 19
Лупанов О. Б. 1, 498
Лутц Б. Г. XVI, 1320
Лучник Н. В. XXX, 417
Любимов Г. А. III, 291, 532,
733

Любомир Илиев 1, 13

Мальцев А. А. 1, 709
Мамай Л. В. 1, 271
Мамедов Х. С. XVIII, 151, 379
Манелис Г. Б. XIV, 813
Манина А. А. XXV, 867
Маркушина И. А. XIII, 99
Маршин В. Г. XXXIX, 1389
Маслова Е. И. XXIX, 1355
Мастюкова Ю. Н. XXIV, 175
Матвеев Р. Ф. 1, 713
Матвеева А. И. XXXVIII,
1145

Матлина Э. А. XXXIX, 446
Махонина Г. И. XXI, 1350
Мацкевич Н. В. XXVI, 183
Медведская И. М. XIV, 1300
Мейман Н. Н. 1, 274
Меламед В. Б. 1, 501
Мелик-Гайказян В. И. XV,
341

Микаелян Н. Г. XXX, 200
Милашев В. А. XVI, 1324
Мирославов Е. А. XXXIII,
203

Мирошников Л. Д. XVI,
359
Мирчинк М. Ф. XVI, 1239
1062, IX,

Михайлов В. П. 1, 1199
Михайлов Б. М. XIII, 575
Михлин С. Г. 1, 278
Михул А. К. VII, 752
Мишина Г. П. XVIII, 645

- Моисеева Е. Н. XXX, 678
 Моричева Н. П. VIII, 295
 Мороз В. И. IX, 983
 Музыченко Л. А. XIII, 90
 Муравьева К. М. XIII, 1274
 Мусатов Д. И. XVI, 1327
 Мусихин В. И. XIV, 1037
 Мустафин И. С. XIII, 579
 Мухитдинов Г. Н. XVI, 1055
 Мэн Сян-хуа XVI, 1330
 Мямлин В. А. XIV, 1296
 Мяснищева Г. Г. XIV, 126

 Наметкин Н. С. XIII, 794, 1001
 Наумов Д. В. XXXVI, 902
 Нежевенко М. А. XIV, 126
 Некрасов Л. Н. XIV, 115
 Немцова Л. Р. 1, 505
 Несмеянова О. А. XIII, 1007
 Несмеянов А. Н. XIII, 307, 1004
 Нехорошев Г. В. XVI, 1066
 Нижник Г. В. XXIX, 187
 Никитин А. А. V, 1227
 Новицкий К. Ю. XIII, 806
 Новоселова А. В. XIII, 93
 Ночевкин И. И. III, 1220
 Нуждин Н. И. XXIX, 187
 Одабашян Г. В. XIII, 1009
 Озлиндов Р. В. IX, 63
 Ольховский И. И. VII, 748
 Онтоев Д. О. XVIII, 855
 Опарин А. И. XXX, 198
 Орлов А. Н. VII, 975
 Орлов В. И. XVI, 363
 Орлова Ю. В. XIII, 93
 Островский И. А. XVIII, 645
 Остроумов Э. А. XX, 385

 Палатник Л. С. X, 74, 1254
 Пальм В. А. XIV, 119
 Панченков Г. М. XIV, 608
 Папулов Ю. Г. XIV, 823
 Паровиченко И. И. 1, 280
 Пауков И. Е. XIV, 325
 Пашкарь С. И. XXXV, 428
 Перевалова Э. Г. XIII, 1007
 Перчук Л. Л. XIX, 1084
 Петрашку М. Г. VII, 752
 Петрова А. А. XIII, 798, 1278
 Петров А. Д. XIII, 791, 1009
 Петров А. И. 1, 15
 Петрова Э. А. XXVIII, 1100
 Пинус Г. В. XVI, 1068
 Пишванова Л. С. XVI, 834
 Платонов А. Л. XXIX, 1358
 Плесков Ю. В. XIV, 111
 Плешков Б. П. XXX, 1135
 Повилайтис В. М. XVIII, 645
 Поглазов Б. Ф. XXX, 414
 Пожидаев Е. А. XXXVIII, 217
 Полежаев Е. Ф. XXXIX, 909, 1149
 Полежаев Л. В. XXXVIII, 221

 Полонская М. М. XIII, 86
 Полякова А. М. XIII, 791
 Понизовский А. М. XIII, 97
 Пономарев А. А. XIII, 99
 Пономарев В. 1, 716
 Пономаренко В. А. XIII, 1009
 Попов Г. Я. IV, 534
 Попова Г. Л. XIII, 83
 Порай-Кошиц Е. А. XIV, 616
 Порпер Ф. О. 1, 948
 Потапова А. Д. XXXV, 688
 Потапов В. К. XIV, 612
 Потапова А. Д. XXXVI, 1375
 Потарин М. М. XIII, 1282
 Прессман А. Я. 1, 508
 Привалов В. Ф. XIV, 809
 Прокофьева М. В. XIII, 1286
 Прянишникова Н. Т. XXX, 1362
 Пчелин В. А. XXX, 1362

 Работкин В. Л. XV, 341
 Равич М. Г. XVI, 144
 Раевская О. Р. XXVI, 870
 Ракитин Ю. В. XXXV, 688, 1375
 Ракова Г. В. XIII, 582
 Рапопорт С. Я. XXXIX, 699, XXIX, 876
 Распопов И. М. XXXII, 1137
 Рафиков С. Р. XIV, 123, XIII, 1286
 Ребиндер П. А. XIV, 318
 Рейнгард Т. А. XXXV, 428
 Ризниченко Ю. В. IX, 759
 Рихтер В. Г. XVI, 367
 Рогинский С. З. XIII, 107, XIV, 817
 Роднянский И. М. XIV, 327
 Рожанский В. Н. XIV, 602
 Рождественский Б. Л. 1, 486
 Розенгарт М. И. XIII, 571, 787
 Ростовцев К. О. XVI, 1334
 Руденко Н. В. XIII, 1289
 Русанова М. Н. XXXVII, 210
 Рязанов Е. В. III, 955, 1224

 Савватеев В. В. XXXIX, 1389
 Савицкий Е. М. X, 771
 Савич В. П. XXX, 678
 Сагайдак И. Н. XXXV, 1379
 Сазонов В. А. XIII, 1004
 Самарин А. М. X, 78
 Самарский А. А. 1, 26
 Самойлов О. Я. XIV, 330
 Самохвалов Г. И. XIII, 1013
 Саржевский А. М. VII, 979
 Сарманов О. В. 1, 22
 Сарычева О. Ф. XXIV, 175
 Сахаров Г. Д. XIV, 821
 Сахарова А. А. XIII, 791
 Сванидзе И. К. XL, 703
 Свет Д. Я. X, 78
 Северденко В. П. IV, 964
 Северин Е. С. XXX, 1132
 Северина В. А. XXVIII, 1103

 Севрюгова Н. Н. XVI, 1044
 Севченко А. Н. VII, 979
 Семенов К. И. XXVII, 663
 Сергеев В. А. XIV, 123
 Сергиенко С. Р. XIII, 798
 Сечкина Т. В. XXII, 171
 Сидоров Б. Н. XXVI, 179, 400
 Силин Ю. И. XVI, 147
 Симанов Ю. П. XIII, 93
 Симоненко И. Б. 1, 1172
 Симонов В. И. XVIII, 379
 Синельников М. В. VII, 554
 Скляренко Е. 1, 1203
 Скопин Ю. А. XIV, 334
 Скрипов Ф. И. VII, 1229
 Скуратов С. М. XIV, 325
 Славутский И. Ш. 1, 1191
 Смирнов Г. И. XVIII, 637
 Смирнов В. И. XVI, 142
 Смолин Ю. И. XIV, 616
 Соболев В. С. XVIII, 637
 Соколинская Р. А. XXXIX, 446
 Соколов Н. Н. XXVI, 179, 400
 Сокольский Д. В. XIV, 334, XIII, 777
 Солорейчик Р. Э. IX, 59
 Соловьев В. Г. VII, 755
 Спирин А. С. XXX, 1121
 Ставицкая Г. П. XIV, 616
 Ставровский А. С. IX, 763
 Старик И. Е. XVI, 144
 Стасюк И. В. VII, 543
 Степаненко Б. Н. XXX, 1118
 Страхов В. Н. IX, 987
 Суворов Б. В. XIII, 1286
 Суетин П. К. 1, 943
 Талуц Г. Г. VII, 975
 Тальвик А. И. XIV, 119
 Тамразян Г. П. XVI, 845
 Тарков А. П. XVI, 1327
 Татевский В. М. XIV, 823
 Таубман А. Б. XIV, 318
 Темкин М. И. XIV, 314
 Теодорович Э. В. VII, 1236
 Тза Чюан-синь XIV, 1308
 Тиман А. Ф. 1, 927
 Тимофеев П. И. XVI, 1071
 Тимохин И. М. XIV, 1025
 Титлянова А. А. XXI, 1350
 Титов Ю. А. XIII, 586
 Тихвинский И. Н. XVI, 1075
 Тихонов А. Н. 1, 26, 967, VI
 Томашов Н. Д. XIV, 619
 Топчиев А. В. XIII, 794, 1001
 Торопов Н. А. XIV, 616
 Трофимов Ю. М. XVI, 849
 Туницкий Н. Н. XIV, 612
 Турецкий А. X. 1, 30, 1207
 Турова-Поляк М. Б. XIII, 1289
 Тюрин Ю. М. XIV, 827
 Тюрюканов А. Н. XXI, 1350
 Тябликов С. В. VII, 53
 Уваров В. Б. 1, 33
 Уваров Л. В. XVI, 1044
 Уголев А. М. XXXIX, 450, 692
 Удовенко Г. В. XXXV, 684

- Ужик Г. В. II, 41
 Ушаков С. А. IX, 299
 Ушко К. А. XXIII, 392
 Фабричный Б. П. XIII, 86
 Фань Дэ-лянь XVIII, 1342
 Федоров В. Д. XXVIII, 406
 Фельдман Н. И. I, 1214
 Фельзенбаум А. И. IX, 66
 Финкельштейн М. З. XIV, 1025
 Фиошин М. Я. XIII, 90
 Фирсов Л. В. XVIII, 155
 Фомина Л. С. XX, 385
 Фриденштейн А. Я. XXXVIII, 438
 Фролов В. М. XIII, 107
 Фрумкин А. Н. XIV, 115
 Фрунзе Т. М. XIII, 1270
 Фульфсон Н. И. IX, 1244
 Хавин В. П. I, 511
 Халдна Ю. Л. XIV, 119
 Халифа-Заде Ч. М. XVI, 371
 Хара И. С. I, 1210
 Хван А. П. IX, 303
 Хесин Я. Е. XXIV, 175
 Хмура М. И. XIII, 1286
 Хоанг Туй I, 37, 946
 Хомутов Р. М. XXX, 1132
 Хорлина И. М. XIII, 1013
 Цетлин Б. Л. XIV, 123
 Чайка М. П. VII, 57
 Чалышев В. И. XVII, 1079
 Чекунов А. В. XVI, 375
 Чернавская Н. М. XXIX, 1114
 Черниговский В. В. XXXIX, 450, 692
 Чернышев Е. А. XIII, 791
 Чернышева Т. И. XIII, 794, 1001
 Чернова Н. Г. XIII, 802
 Чибисов К. В. XIV, 1021
 Чинаев П. И. XI, 565
 Чинарина А. Д. XXVII, 667
 Чирков Н. М. XIV, 1300
 Чумак М. Д. XXVIII, 1107
 Чунихин С. А. I, 284
 Чурмантеев С. В. XIII, 784
 Чуфаров Г. И. XV, 623, 831
 Шалавина И. Ф. XIII, 86
 Шапиро И. Д. XXXVI, 214
 Шапиро Н. И. XXIX, 191
 Шварц А. С. I, 719
 Швецов Н. И. XIII, 1017
 Шилкина И. А. XVI, 131
 Шинкарев Н. Ф. XIX, 1084
 Шишмарев И. А. I, 1176
 Шишнихашвили М. Е. XXXI, 421
 Шкадов В. Я. II, 730
 Шмидт З. Н. XXXIX, 696
 Шмыглевский Ю. Д. III, 958
 Штегман Б. К. XXXVII, 432
 Штерн Л. С. XXXIX, 699
 Штраус А. В. I, 514, 723
 Шуйкин Н. И. XIII, 103
 Шульгина Н. И. XVI, 1324
 Шумский П. А. IX, 767
 Шушерина Н. П. XIII, 589
 Щеглова О. С. XVI, 359
 Щербакова Т. А. XXX, 678
 Щукин Е. Д. XIV, 1304
 Щукина М. Н. XIII, 1274
 Эйдельман С. Д. I, 948
 Эршлер Б. В. XIV, 126
 Юрьев Ю. К. XIII, 806
 Юхновский И. Р. VII, 557
 Ягужинский Л. С. XIII, 802
 Янов Э. Н. XVI, 1338

